# Consultez nos catalogues sur le Web...

# http://www.dunod.com

Bienvenue

News

Presse

Contacteznous



**Accueil Auteurs** 

Catalogue général

Nouveautés

Où trouver nos ouvrages

# Micro-ondes 1. Lignes, guides et cavités

Cours et exercices

**Paul François Combes** 

Professeur d'université Docteur ès sciences

Ce pictogramme mérite une explication. Son objet est d'alerter le lecteur sur la menace que représente pour

l'avenir de l'écrit, particulièrement dans le domaine de l'édition technique et universitaire, le développement massif du photocopillage.

Le Code de la propriété intellectuelle du 1er juillet 1992 interdit en effet expressément la photocopie à usage collectif sans autorisation des ayants droit. Or, cette pratique s'est généralisée dans les établisse-

ments d'enseignement supérieur, provoquant une baisse brutale des achats de livres et de revues, au point que la possi-

bilité même pour les auteurs de créer des œuvres nouvelles et de les faire éditer correctement est aujourd'hui menacée.

Nous rappelons donc que toute reproduction, partielle ou totale, de la présente publication est interdite sans autorisa-

tion du Centre français d'explaitation du droit de copie (CFC, 3 rue Hautefeuille, 75006 Paris).

#### © Dunod, Paris, 1996 ISBN 2100028405

DANGER

Toute représentation ou reproduction, intégrale ou partielle, faite sans le consentement de l'auteur, ou de ses ayants droit, ou ayants caruse, est illicite (loi du 11 mars 1957, alinéa 1er de l'article 40). Cette représentation ou reproduction, par quelque procédé que ce soit, constituerait une contrefaçon sanctionnée par les articles 425 et suivants du Code pénal. La loi du 11 mars 1957 n'autorise, aux termes des alinéas 2 et 3 de l'article 41, que les copies ou reproductions strictement réservées à l'usage privé du copiste et non destinées à une utilisation collective d'une part, et, d'autre part, que les analyses et les courtes citations dans un but d'exemple et d'illustration.

# **Avant-propos**

Les micro-ondes se sont beaucoup développées depuis les années 1940 et elles ont actuellement des applications nombreuses et très importantes pour les télécommunications tant terrestres que spatiales, pour le radar et les systèmes de radionavigation, pour l'observation et la télédétection de la Terre ainsi que pour le chauffage industriel et domestique. Elles présentent aussi une grande utilité en médecine où l'hyperthermie micro-onde est étudiée pour le traitement des tumeurs cancéreuses, en radioastronomie où les grands radiotélescopes micro-ondes ont permis des progrès décisifs dans la connaissance de l'Univers, en recherche physique aussi bien en spectroscopie que pour le traitement et la caractérisation des matériaux. Par ailleurs, les très grandes puissances fournies par des tubes micro-ondes comme les klystrons sont indispensables dans les accélérateurs de particules, les dispositifs étudiés pour la fusion thermonucléaire contrôlée ou même le projet très ambitieux de satellite de puissance solaire.

L'enseignement des micro-ondes a suscité beaucoup d'ouvrages en langue anglaise mais relativement peu en langue française. Pourtant les chercheurs français se sont intéressés très sérieusement aux micro-ondes dès les années 1930 et, après la coupure de la Seconde Guerre mondiale, un nouvel élan, surtout industriel, a été pris dans les années 1950.

Mais il aura fallu attendre les années 1970 pour que la recherche universitaire micro-ondes devienne très active en France, comme en témoigne, depuis lors, l'organisation régulière de Journées nationales de Micro-ondes présentant les travaux de nombreux centres de recherches dynamiques. Cependant, cette activité a donné lieu à des publications très spécialisées et à des ouvrages de synthèse d'un niveau trop élevé pour nos étudiants d'IUT, de licence et de maîtrise, d'IUP et de formation continue ainsi que pour la plupart des élèves des Écoles d'ingénieurs.

Le présent ouvrage a pour but de proposer une présentation pédagogique de l'enseignement des micro-ondes, adaptée aux niveaux du premier cycle (2<sup>e</sup> année) et du second cycle de l'enseignement supérieur, c'est-à-dire à un stade de formation où les jeunes gens ont à découvrir les micro-ondes et à acquérir une solide formation de base. Il est le fruit de ma déjà longue expérience de l'enseignement des micro-ondes non seulement à l'université Paul Sabatier tant à l'IUT qu'en maîtrise EEA, en licence de télécommunications et à l'IUP mais aussi en troisième année d'Écoles d'ingénieurs, notamment à Sup-

Aéro, Sup-Télécom, l'ENSEEIHT et l'ENAC et enfin en formation continue. La rédaction de ces chapitres a donc été testée et renouvelée à travers un enseignement complet à des promotions d'étudiants, d'élèves-ingénieurs et de stagiaires de divers niveaux et cursus.

Cet ouvrage est formé de deux volumes que les éditions Dunod publieront en 1996 et en 1997. Le premier volume traite des notions de base, présentées en deux parties :

- L'une concerne les lignes utilisées pour la transmission et les circuits. Leur étude est effectuée à l'aide des concepts de tension et courant qui permettent un exposé didactique et facilitent la compréhension des principales propriétés caractéristiques du phénomène de propagation. Les sujets traités approfondissent également la réflexion sur une ligne, le diagramme de Smith et le problème de l'adaptation. Les cas des lignes avec pertes et des lignes en régime transitoire font l'objet de deux chapitres. Enfin sont exposées les applications de ces bases théoriques pour les lignes bifilaires, coaxiales, microbandes et à fentes ainsi que pour la réalisation des impédances et des circuits accordés, essentielle pour les circuits de l'électronique micro-onde.
- L'autre partie de ce premier volume concerne les guides d'ondes et les cavités qui sont évidemment étudiés à l'aide des concepts de champs électrique et magnétique. La progression pédagogique adoptée, permet d'étudier d'abord la réflexion et la réfraction des ondes électromagnétiques à une interface entre deux milieux. Puis le guide d'ondes rectangulaire est présenté comme une structure dans laquelle les ondes se propagent par réflexions successives sur les surfaces métalliques planes qui le délimitent; c'est seulement après avoir donné cette présentation physique des phénomènes qu'est effectuée l'étude mathématique de la propagation dans les guides d'ondes métalliques à partir des équations de Maxwell. On retrouvera ces deux aspects complémentaires dans l'étude des guides d'ondes diélectriques. Enfin, le chapitre sur les cavités électromagnétiques ne traite pas seulement des conditions de résonance d'une cavité et de sa modélisation, il s'intéresse également au couplage d'une cavité par un ou deux accès.

Afin que ce livre soit un outil d'étude et de travail complet, des énoncés d'exercices sont proposés à la fin de la plupart des chapitres, avec indication du paragraphe auquel se rapporte chaque exercice. En général, il s'agit d'exercices qui doivent pouvoir être traités en quinze à trente minutes maximum pour un étudiant qui a bien appris son cours. La solution complète de chacun des 82 exercices est donnée à la fin du livre. En faisant lui-même ces exercices, en étudiant ensuite la solution proposée, le lecteur de ce livre dispose d'une réelle possibilité d'approfondissement et d'assimilation du sujet étudié.

Je tiens à remercier très vivement les collègues qui m'ont fait l'amitié de vérifier l'exactitude des solutions fournies, et simultanément, d'effectuer la relecture des chapitres correspondants : Messieurs Michel Aubès et Cabriel Soum lout parti-

to A Mar Character of Cheigher Hate . Advertison two

Le second volume de cet ouvrage sur les micro-ondes devrait être publié en 1997 ; il maitera, en trois parties, des sujets importants que sont :

- · les circuits passifs réciproques et non réciproques,
- la propagation des ondes électromagnétiques en espace libre,
- · les antennes,

etil inclura, de même, des exercices avec solutions complètes.

Comme il faut beaucoup de persévérance pour mener à bien une telle œuvre et que les encouragements de ma famille ont été essentiels, je veux dire, en terminant, que je dédie cet ouvrage à la mémoire de mes chers parents, à mes filles Marie-Christine et Florence et à Claude, ma femme.

Toulouse, le 20 juillet 1995

# Table des matières

(	Chapitr	e 1. Les micro-ondes et leurs applications	1
	1.1	Définition et classification	1
	1.2	Historique et applications	3
	1.3	Les lignes pour la transmission et les circuits	6
	1.4	Les systèmes terrestres de transmission en espace libre	13
	1.5	Les systèmes spatiaux de transmission en espace libre	17
	1.6	Attribution des bandes de fréquences micro-ondes	22
		1 <sup>re</sup> partie	
		Lignes pour la transmission et les circuits	25
	Chapitr	e 2. Propagation sur une ligne en haute fréquence	27
	2.1	Modélisation de la ligne	27
	2.2	Équation de propagation	29
	2.3	Étude des solutions de l'équation de propagation	32
	2.4	Expression de la tension du courant et de l'impédance	34
	2.5	Cas particulier: ligne terminée par $Z_R = Z_C$ – Ondes progressives	35
	2.6	Cas particulier : ligne en court-circuit ou en circuit ouvert	37
	2.7	Cas particulier: ligne quart d'onde - ligne demi-onde	38
	2.8	La vitesse de groupe	39
	Exer	CICES	44
	Chapitr	e 3. Étude de la réflexion à l'extrémité d'une ligne	47
	3.1	Équations correspondant aux nouvelles hypothèses	47
	3.2	Coefficient de réflexion	49
	3.3	Cas particulier où $\Gamma_R = 1 - \text{Régime d'ondes stationnaires}$	49
	3.4	Cas général des lignes à coefficient de réflexion quelconque	54
	3.5	Mesures de tensions sur une ligne	58
	3.6	Mesure de l'impédance de charge d'une ligne	60
	Exe	RCICES	62
	•	e 4. Diagramme de Smith	65
	4.1	Intérêt	65
	4.2	Principe et construction du diagramme	66
	4.3	Propriétés du diagramme	69
	4.4	Détermination de l'impédance de charge d'une ligne	73
	EXE	RCICES	75

Chanitre	5. Les dispositifs d'adaptation	7 <b>7</b>
5.1	Le problème de l'adaptation	77
5.2	Conditions d'adaptation	78
5.3	Adaptation par ligne quart d'onde	79
5.4	Adaptation à l'aide d'un stub	81
5.5	Adaptation à l'aide de deux stubs	83
5.6	Utilisation du diagramme de Smith	84
5.7	Adaptation par réseau d'impédances et tronçon de ligne	88 -
EXER		. 90
Chapitre	e 6. Lignes avec pertes	93
6.1	Étude du paramètre de propagation et de l'impédance caractéristique	ie 93
6.2	Importance de la condition d'Heaviside – Moyens de la réaliser	95
6.3	Expressions de la tension, du courant et de l'impédance	97
6.4	Étude des variations de la tension et du courant	98
6.5	Variations de l'impédance et du coefficient de réflexion	101
6.6	Puissance transportée par une ligne	103
Exer	CICES	106
Chapitr	e 7. Lignes en régime impulsionnel	107
7.1	Introduction	107
7.2	Étude en régime d'impulsion de tension	108
7.3	Étude en régime d'échelon de tension	113
Chanitr	e 8. Lignes bifilaires et coaxiales	121
0 1	Paramètres primaires	121
9.2	Paramètres secondaires de la ligne coaxiale	123
8.3	Dimension optimale d'une ligne coaxiale	125
8.4	Puissance transportable par une ligne coaxiale	126
8.5	Paramètres secondaires de la ligne bifilaire	127
8.6	Paramètres secondaires des lignes utilisées en basse fréquence	129
8.7.	Exemples de lignes utilisées en télécommunications	130
	Abaque d'impédances caractéristiques	133
8.8	RCIĆES	135
A. EVE	RCICES	
Chapit	re 9. Les lignes à bandes et à fentes	137
9.1	Les principaux types de lignes	137
9.2	Permittivité effective des lignes microbande - Longueur d'onde	
33	et vitesse de propagation	139
9.3	Impédance caractéristique des lignes microbande	141
9.4	Affaiblissement d'une ligne microbande	145
9.5	La ligne triplaque	147
1.9.6	La ligne à fente	150
St. Committee of the Co	RRCICES	153

Ch	apitre	10. Réalisation des impédances et des circuits résonnants	155
	10.1	Équivalence entre un tronçon de ligne et une inductance ou un	
		condensateur	156
	10.2	Réalisation d'inductances et condensateurs	158
	10.3	Réalisation de circuits résonnants	161
	10.4	Équivalence entre une ligne $\lambda/4$ ou $\lambda/2$ et un circuit résonnant	164
	10.5	Réalisation des impédances par des éléments à constantes	166
	-	localisées	173
	Exerc	ICES	173
		2 <sup>e</sup> partie	
		Guides d'ondes et cavités	175
Ch	apitre	11. Réflexion et réfraction des ondes électromagnétiques	177
	11.1	Introduction	177
	11.2	Réflexion sur un plan conducteur sous incidence normale	179
	11.3	Réflexion sur un plan conducteur sous incidence oblique	183
	11.4	Réflexion et transmission à l'interface de deux diélectriques	188
	Exerc	CICES	200
Cł	napitre	12. Les guides d'ondes rectangulaires	203
	12.1	Les divers types de guide d'ondes étudiés	203
	12.2	Propagation entre deux plans parallèles	204
	12.3	Propagation dans un guide d'ondes rectangulaire	207
	12.4	Longueurs d'onde de propagation guidée et de coupure	210
	12.5	Étude du mode fondamental	213
	12.6	Étude des modes $TE_{mo}$ ou $TE_{on}$	216
	12.7	Dimensions et bande passante d'un guide d'ondes rectangulaire	218
	12.8	Atténuation dans les guides d'ondes rectangulaires	219
	12.9	Guides rectangulaires surdimensionnés	222
	12.10	Les guides d'ondes à nervure	223
	12.11	La ligne à ailettes	225
	Exerc	CICES	. 228
C	hapitre	13. Étude générale de la propagation	
	,	en guides d'ondes métalliques	231
	13.1	Introduction	231
	13.2	Équations de propagation des ondes guidées	232
	13.3	Les différents types d'ondes de propagation guidée	237
	13.4	Les guides d'ondes rectangulaires	243
	13.5	Les guides d'ondes circulaires	248
	1.77	Fran Derman a Junean annual	

#### MICRO-ONDES

	13.6	Étude générale de la réflexion des ondes guidées	255
	13.7	Le concept d'impédance, d'impédance d'onde et	
		d'impédance réduite	260
	Exer	CICES	263
•	Chapitro	e 14. Les guides d'ondes diélectriques	265
	14.1	Introduction	265
	14.2	Propagation en guides diélectriques à structure plane	266
	14.3	Propagation en guides diélectriques à structure cylindrique	269
	14.4	Les fibres optiques	271
	14.5	Caractéristiques des fibres optiques	274
	14.6	Théorie électromagnétique des guides diélectriques	278
	14.7	Caractéristiques de la propagation	282
	EXER	CICES	285
(	Chapitre	2 15. Les cavités électromagnétiques	287
	15.1	Introduction	287
	15.2	Étude des conditions de résonance d'une cavité	288
	15.3	Principaux types de cavités résonnantes	291
	15.4	Coefficient de surtension d'une cavité	297
	15.5	Modélisation d'une cavité - Impédance d'entrée	301
	15.6	Cavités couplées par un accès	306
	15.7	Cavités couplées par deux accès	310
	15.8	Applications des cavités	314
	Exer		319
5		s des exercices	321
		ices du chapitre 2	321
	Exerc	ices du chapitre 3	324
	Exerc	ices du chapitre 4	327
		ices du chapitre 5	333
		ices du chapitre 6	338
		ices du chapitre 8	340
	Exerc	ices du chapitre 9	343
	Exerc	ices du chapitre 10	345
		ices du chapitre 11	347
		ices du chapitre 12	349
		ices du chapitre 13	353
		ices du chapitre 14	357
	Ехего	ices du chapitre 15	359
Ŧ	Bibliogra	aphie	363

# Conventions de notations

Nous voulons représenter par la première lettre de l'alphabet une quantité scalaire (par exemple une tension ou un courant) ou vectorielle (par exemple un champ électrique ou magnétique) qui est une fonction de l'espace (représenté par la variable r) et du temps (représenté par la variable t).

Nous noterons  $\underline{a}(r, t)$  la valeur instantanée complexe de cette quantité. En régime sinusoïdal :

$$\underline{a}(r, t) = \underline{A}(r) e^{j\omega t}$$

 $\underline{A}(r)$  est l'amplitude complexe dont le module est A et la phase  $\phi$ :

$$\underline{A}(r) = A(r) e^{j\varphi(r)}$$

En notation réelle, la valeur instantanée réelle est :

$$a(r, t) = \Re [\underline{a}(r, t)] = A(r) \cos [\omega t + \varphi(r)]$$

Nous utiliserons, en général, la notation complexe qui a le grand avantage de permettre la mise en facteur du terme e  $j\omega$  représentant la variation temporelle, ce qui n'est pas possible en notation réelle. Ainsi, il est possible de conduire tous les calculs intermédiaires en amplitudes complexes, ce qui permet de bien simplifier les calculs.

Pour la notation des logarithmes, les conventions sont les suivantes :

- logarithme népérien ln,
- logarithme décimal log.

scae un enté

. En

ge de relle, tous

sim-

# Chapitre 1

# Les micro-ondes et leurs applications

## 1.1 DÉFINITION ET CLASSIFICATION

### 1.1.1 Définition des micro-ondes

Le mot micro-ondes est la traduction littérale de l'anglais microwaves (wave = onde). Le terme spécifiquement français est hyperfréquences, mais l'utilisation de micro-ondes est plus largement répandue.

Les micro-ondes sont des ondes électromagnétiques dont la fréquence est comprise entre 300 MHz et 300 GHz (MHz = Megahertz =  $10^6$  Hz et GHz = Gigahertz =  $10^9$  Hz).

La fréquence f d'une onde est reliée à sa longueur d'onde  $\lambda_0$  dans l'air ou le vide par  $\lambda_0 = c/f$  où  $c = 3 \cdot 10^8$  m/s. C'est la vitesse (ou célérité) des ondes électromagnétiques dans l'air ou le vide.

- À 300 MHz, la longueur d'onde est  $\lambda_0 = 1$  m,
- à 300 GHz, la longueur d'onde est  $\lambda_0 = 1$  mm.

Les micro-ondes sont donc des ondes :

- décimétriques entre 300 MHz ( $\lambda_0 = 10 \text{ dm}$ ) et 3 GHz ( $\lambda_0 = 1 \text{ dm}$ ),
- centimétriques entre 3 GHz ( $\lambda_0 = 10$  cm) et 30 GHz ( $\lambda_0 = 1$  cm),
- millimétriques entre 30 GHz ( $\lambda_0 = 10$  mm) et 300 GHz ( $\lambda_0 = 1$  mm).

CRO-ONDES

Évidemment, les frontières inférieure et supérieure ne sont pas brutales et l'on pourra être amené à s'intéresser à des dispositifs, des lignes ou des types de propagation qui concernent :

- les ondes sub-millimétriques jusque vers 1 000 GHz ( $\lambda_0 = 0.3$  mm),
- les ondes métriques jusque vers 100 MHz ( $\lambda_0 = 3$  m).

# 1.1.2 Situation des micro-ondes dans le spectre électromagnétique

Dans le spectre des ondes électromagnétiques, on trouve successivement, en partant des ondes les plus longues :

- Les ondes radio-électriques de  $\lambda_0 = 10$  km pour f = 30 kHz (kHz = kilohertz =  $10^3$  Hz) à  $\lambda_0 = 1$  m pour f = 300 MHz.
- Les micro-ondes de  $\lambda_0 = 1$  m pour f = 300 MHz à  $\lambda_0 = 1$  mm pour f = 300 GHz.
- Les ondes infra-rouges de  $\lambda_0 = 1$  mm pour f = 300 GHz à  $\lambda_0 = 1$   $\mu$ m pour f = 300 THz (THz = Terahertz =  $10^{12}$  Hz).
- Les ondes visibles de  $\lambda_0 = 0.9 \, \mu \text{m}$  à  $\lambda_0 = 0.5 \, \mu \text{m}$  (1  $\mu \text{m} = 1 \, \text{micron} = 10^{-6} \, \text{m}$ ).
- Les ondes ultraviolettes de  $\lambda_0 = 0.5 \, \mu \text{m}$  pour  $f = 600 \, \text{THz}$  à  $\lambda_0 = 10 \, \text{nm}$  (1 nm = 1 nanomètre =  $10^{-9} \, \text{m}$ ) pour  $f = 30 \cdot 10^{15} \, \text{Hz}$ .
- Les rayons X et les rayons gamma pour des fréquences supérieures à  $3\cdot 10^{16}$  Hz soit pour des longueurs d'onde inférieures à  $10^{-8}$  m.

Les micro-ondes sont donc situées plutôt dans la moitié inférieure, si l'on raisonne en fréquences, du spectre des ondes électromagnétiques tandis que les ondes visibles de l'optique sont situées plutôt dans la moitié supérieure.

# 1.1.3 Classification des micro-ondes en bandes de fréquences ou en gammes de longueurs d'ondes

On distingue successivement:

- Les ultra hautes fréquences (en anglais : ultra high frequencies) ou UHF, de 300 MHz à 3 000 MHz. Elles correspondent aux ondes décimétriques (de  $\lambda_0$  = 10 dm à  $\lambda_0$  = 1 dm).
- Les supra hautes fréquences (en anglais : supra high frequencies) ou SHF, de 3 GHz à 30 GHz. Elles correspondent aux ondes centimétriques (de  $\lambda_0 = 10$  cm à  $\lambda_0 = 1$  cm).
- Les extra hautes fréquences (en anglais : extra high frequencies) ou EHF, de 30 GHz à 300 GHz. Elles correspondent aux ondes millimétriques (de  $\lambda_0 = 10 \text{ mm}$  à  $\lambda_0 = 1 \text{ mm}$ ).

Pour la partie des micro-ondes située entre 1 GHz et 100 GHz, les utilisateurs ont classifié un certain nombre de sous-bandes qui sont indiquées dans le tableau ci-dessous, avec les fréquences et les longueurs d'onde correspondantes.

Bande	Bande de f	Gamme de $\lambda_0$	
L	1 à 2 GHz	30 à 15 cm	
S	2 à 4 GHz	15 à 7,5 cm	
С	4 à 8 GHz	7,5 à 3,75 cm	
X	8 à 12 GHz	3,75 à 2,5 cm	
Ku	12 à 18 GHz	2,5 à 1,67 cm	
K	18 à 27 GHz	1,67 à 1,11 cm	
Ka	27 à 40 GHz	1,11 à 0,75 cm	
U	40 à 60 GHz	7,5 à 5 mm	
V	60 à 80 GHz	5 à 3,75 mm	
W	80 à 100 GHz	3,75 à 3 mm	

# **1.2** HISTORIQUE ET APPLICATIONS

Le théoricien fondateur de l'électromagnétisme moderne et, par conséquent, des bases théoriques des micro-ondes est James Clerck Maxwell qui formula, dans les années 1860, les célèbres équations (vol. 2, chapitre 5) qui portent son nom et qu'il publia en 1873 dans son *Traité sur l'électricité et le magnétisme*.

Une vingtaine d'années plus tard, en 1888, Heinrich Hertz fut le premier à produire expérimentalement et à détecter des ondes électromagnétiques à une fréquence de l'ordre de 1 GHz. C'est pourquoi, on appelle souvent ondes hertziennes, les ondes décimétriques. Lord Rayleigh, pour sa part, démontra théoriquement en 1897, la possibilité de faire propager des ondes dans des tuyaux métalliques creux à section rectangulaire ou circulaire, que l'on appelle guides d'ondes.

À la suite des travaux de Hertz, la radioélectricité connut un développement très important. Les expériences de Marconi, dans les années 1890, montrèrent qu'il était possible d'établir une liaison entre deux points de la Terre par propagation d'ondes radioélectriques en espace libre. Kennelly et Heaviside, au début du xx<sup>e</sup> siècle, découvrirent les propriétés réfléchissantes, vis-à-vis d'ondes décamétriques, de certaines couches de l'ionosphère vers 100 km de hauteur. Les radio ou télécommunications modernes (la TSF, « télégraphie sans fil », comme l'on disait alors) étaient nées [1].

Les ondes re étaient prod Pendant 50 solide, ces tr

Des techniq premières és un émetteur posa ainsi d domaine mi

Dans les an

tron, et de la le développ Radio Detectuées dans la résultats important ment très pe pace aérien mondiale frachnology tion [2] de micro-ondes référence qui

Dès lors, le nombreuses

Grâce
priété
triques
chauffe
nelles.

Médec
L'hype
céreuse
zone o
sieurs l
n impo

Radio

exemp

dans le

Les ondes radioélectriques nécessaires pour ces liaisons de télécommunications étaient produites par des tubes électroniques inventés en 1907 par Lee de Forest. Pendant 50 ans, jusqu'à l'avènement des transistors et des dispositifs à l'état solide, ces tubes – triodes et tétrodes – furent universellement utilisés.

Des techniques radioélectriques nouvelles virent ensuite le jour. En 1920, les premières émissions de radiodiffusion eurent lieu, notamment en France, depuis un émetteur situé à la Tour Eiffel, sous l'impulsion du général Ferrié qui transposa ainsi dans le domaine civil, les progrès effectués par l'électronique dans le domaine militaire pendant la Première Guerre mondiale.

Dans les années 1930, la mise au point du premier tube micro-onde, le magnétron, et de la première antenne micro-onde, le réflecteur paraboloïdal, permirent le développement d'un système spécifiquement micro-onde : le radar (pour Radio Detection and Ranging). Des recherches importantes furent alors effectuées dans les grands pays industrialisés. Les équipes françaises obtinrent des résultats importants, concrétisés par l'implantation de radars à bord des navires, notamment en 1935, à bord du paquebot Normandie. Les radars anglais, également très performants, permettaient, dès 1939, une surveillance efficace de l'espace aérien britannique. L'apport des États-Unis pendant la Seconde Guerre mondiale fut considérable et les recherches du Massachusetts Institute of Technology (le célèbre MIT) furent publiées entre 1945 et 1950, en une collection [2] de 25 volumes qui servirent de bible aux étudiants et chercheurs en micro-ondes du monde entier. Certains de ces volumes ont une telle valeur de référence qu'ils ont été à nouveau publiés ces dernières années!

Dès lors, le développement des micro-ondes fut considérable et les applications nombreuses et importantes :

### Chauffage industriel et domestique (fours à micro-ondes) [3]

Grâce à l'utilisation de magnétrons comme tubes de puissance et la propriété des micro-ondes, de pénétrer au cœur de matériaux de type diélectiques à pertes, il est possible d'y dissiper de l'énergie. Ceci permet un chauffage plus rapide et plus homogène que par les méthodes tradition-helles. La fréquence utilisée est de 2 450 MHz.

#### Médecine

adio

L'hyperthermie micro-ondes est étudiée pour le traitement de tumeurs cancéreuses. Le problème étant de n'irradier à une température précise, que la l'anne occupée par la tumeur. Inversement, une exposition prolongée (plulieurs heures) aux micro-ondes peut être dangereuse, de même d'ailleurs qu'à l'importe quel type de rayonnement électromagnétique (celui du soleil, par exemple). Le seuil à ne pas dépasser est de 1 mW/cm² soit 10 W/m².

### Radioastronomie [4]

On a découvert que le rayonnement des étoiles et des galaxies est très riche dans le domaine des micro-ondes et que l'on peut en retirer des informa-

tions complémentaires de celles recueillies dans le domaine du visible. C'est ainsi qu'ont été mis au point des radiotélescopes munis d'une grande antenne parabolique, de 100 m de diamètre ou plus (vol. 2, chap. 13 « Les antennes à réflecteurs »), et d'amplificateurs à très faible bruit (Masers), refroidis si nécessaire, à la température de l'hélium liquide (4 K). La radioastronomie a permis de faire de grands progrès dans la connaissance de l'univers, notamment par l'observation à plusieurs centaines de millions, voire à plusieurs milliards d'années-lumière, de galaxies ou de sources nouvelles telles que les quasars.

#### Électronique

On sait maintenant réaliser des circuits et des dispositifs très performants qui accomplissent en micro-ondes les grandes fonctions de l'électronique classique : oscillation, amplification, inélange et multiplication de fréquence [55]. Cela a été possible grâce à la conception et à l'élaboration de composants actifs tels que diodes et transistors spécifiques, et de composants passifs appropriés (vol. 1, chap. 10 et vol. 2, chap. 1). La miniaturisation de ces circuits, grâce à l'utilisation d'une technologie d'intégration hybride ou monolithique, les rend particulièrement aptes à être utilisés dans les techniques spatiales.

#### Radiométrie micro-onde [6]

Cela consiste à mesurer à l'aide d'un récepteur très sensible (radiomètre à puissance totale ou radiomètre de Dicke), la puissance émise en micro-ondes par une zone couverte par le diagramme d'une antenne reliée au radiomètre. Ces radiomètres peuveut être aéroportés ou sur satellite et sont utilisés en télédétection pour l'évaluation de caractéristiques physiques (humidité, par exemple) ou naturelles (ressources agricoles, par exemple) de la zone observée. L'avantage de la radiométrie micro-onde est qu'elle reste opérationnelle, aussi bien la nuit que le jour et même en présence d'une couverture miageuse et (ou) de précipitations.

### Radionavigation

Outre le radar [7], plusieurs systèmes [8] permettent d'assurer le repérage et le guidage des avions : le V.O.R. (VHF Omnidirectionnal Range) pour indiquer la direction, le D.M.E. (Distance Measurement Equipment) et le T.A.C.A.N. (militaire) pour indiquer la distance ainsi que l'1.L.S. (Instrument Landing System) et bientôt le M.L.S. (Microwave Landing System) pour l'atterrissage automatique.

#### Accélérateurs de particules

Ce sont des klystrons (tubes spécifiquement micro-ondes) de très fortes puissances (100 kW en régime permanent) qui fournissent aux particules l'énergie nécessaire pour les accélérer à des vitesses relativistes (vitesses proches de 3 · 10<sup>8</sup> m/s). De même, dans les dispositifs étudiés pour la fusion thermonucléaire contrôlée, on compte sur des superklystrons pour produire,

dans un espace confiné, la température de plusieurs dizaines de millions de degrés, qui est nécessaire pour produire la fusion des atomes d'hydrogène.

#### Recherche physique

Les micro-ondes sont très utilisées aussi bien en spectroscopie que pour le traitement (par polymérisation) et la caractérisation (mesure de la permittivité diélectrique) des matériaux, notamment les matériaux composites. Des mesures à l'aide de guides d'ondes (chap. 12 et 13) ou cavités résonnantes (chap. 15) sont particulièsement performantes.

Citons, enfin, le projet très ambitieux de Satellite de puissance solaire (S.P.S., Solar Power Satellite) [9] qui a pour but de placer en orbite une gigantesque station spatiale (20 000 tonnes) transformant l'énergle solaire en micro-ondes et la rayounant vers la Terre price à un faisceau produit par une antenne de plus d'un kilomètre de diamètre.

Ce pref survol des principales applications des micro-endes a laissé volontairement de côté des sujets que gous avons choisi de développer maintenant en raison de leur importance et de leur étroite relation avec des thèmes traités dans plusieurs chapitres de cet ouvrage : il s'agit des lignes suilisées pour les télécommunications et les circuits (§ 1.3) et des transmissions en espace libre (§ 1.4).

# 1.3 LES LIGNES POUR LA TRANSMISSION ET LES CIRCUITS

Certaines de ces lignes servent pour les télécommunications terrestres : c'est le cas des lignes bifilaires, coaxiales et des fibres optiques ; d'autres, telles que les lignes à bandes sont très utiligées pour réaliser les composants passifs et le substrat des circuits électroniques micro-ondes ; enfin, les guides d'ondes métalliques trouvent toujours une place essentielle dans les techniques de mesure en laboratoire et dans la réalisation des circuits passifs. Nous étudierons ces diverses lignes et les guides dans le premier volume de cet ouvrage.

# 1.3.1 Les principaux types de lignes et de guides

### a) La ligne bifilaire

Figure 1.
Ligne bifilaire.



La ligne bifilaire est historiquement le premier type de ligne qui a été utilisé pour les liaisons télégraphiques et téléphoniques. Ses deux conducteurs (fig. 1) étaient maintenus à distance constante au moyen de supports isolants régulièrement espacés. Avec deux conducteurs espacés de 20 cm environ et l'air comme diélectrique, l'affaiblissement de tra fignes était très faible et permettait des liaisons de plusieurs dizainer de literature sans amplification. Musion ne pouvait transmettre avec une ligne qu'une sont communication téléphonique d'où une infrastructure très lourde des qu'il fallait transmettre plusieurs dizaines de communications.

#### b) La ligne coaxiale

Cette ligne (fig. 2) est plus élaborée que la précidente car l'enveloppe extérieure qui sert de blindage pour le conducteur central joue sussi le rôle de conducteur de retour, en général mis à la serre. Le conducteur central est maintenuexactement dans l'axe du conducteur extérieur par un manchon cylindrique de diélectrique:



Pigure Ligne (

Les lignes conxiales présentent des bandes passantes importentes, ce qui permet d'acheminer simultanément plusieurs centaines de communications téléphoniques préalablement échelonnées en fréquences, grâce au procédé de multiplexage.

L'affaiblissement présenté par cette ligne dépend de la qualité du diélectrique employé. L'amélioration des câbles coaxiaux a été rendue possible par l'élaboration d'excellents diélectriques dont le tableau ci-après donné les principales caractéristiques.

Polyéthylène	2,26 de 1 à 3 000 MHz	0,0002 à 1 MH2 0,0005 à 3 000 MHz
Chlorure de polyvinyle à 100 %	.3,2 à 2,8 de 60 à 3 000 MHz	0,008 à 100 MHz 3
Polystyrène	2,56 de 60 à 3 000 MHz	0,0001 à 100 MHz 0,003 à 3 000 MHz
Polytetrafluorethylène (Téflon)	2,1 de 60 à 3 000 MHz	0,002 à 100 MHz 0,00015 à 3 000 MHz

#### c) Les lignes à bandes et à fentes (strip and slot lines)

Les principaux types de lignes sont :

• La microbande (en anglais, *microstrip*) qui comporte un substrat en diélectrique complètement métallisé sur l'une de ses faces, et recouvert d'une bande métallique sur l'autre face (fig. 3a).

robande, à fente, planaire.

Figure 4.
d'ondes
a section

irculaire.

ieurs

ique orabales

pho-

ıulti-

MICRO-ONDES

- La ligne à fente (en anglais, slot line) où les deux conducteurs formant la ligne, sont déposés sur la même face du substrat diélectrique (fig. 3b).
- · La ligne coplanaire (en anglais, coplanar waveguide) qui présente trois bandes métalliques séparées par deux fentes d'un même côté du substrat (fig. 3c).

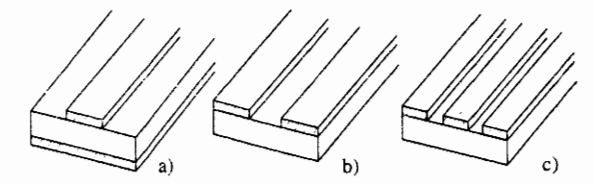


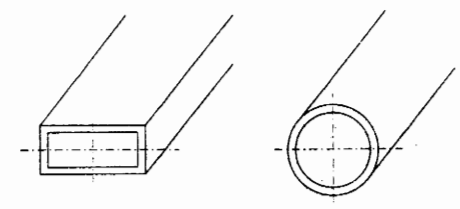
Figure 3. microbande. igne à fente, Figure 2. e coplanaire. Ligne coax

> Ces lignes qui peuvent être fabriquées en mettant en œuvre la technique très précise et bon marché des circuits imprimés, se prêtent particulièrement bien à la réalisation et à la miniaturisation des circuits actifs micro-ondes pour les faibles puissances.

#### d) Les guides d'ondes métalliques

Ce sont des tuyaux métalliques, de section rectangulaire ou circulaire remplis, en général, par de l'air à la pression normale (fig. 4).

Figure 4. ides d'ondes ues à section ctangulaire et circulaire.



Comme leurs dimensions transversales sont de l'ordre de la longueur d'onde, ils ne sont utilisés qu'en micro-ondes entre 3 GHz et 90 GHz.

Leurs pertes sont très faibles car :

- · ils utilisent comme diélectrique l'air, dont les propriétés isolantes sont remarquables.
- · les conducteurs dont la section est relativement grande, causent de très faibles pertes par effet Joule, d'autant qu'il est possible de les dorer ou de les argenter intérieurement.

Leur construction est relativement facile et ils offrent aux ondes qu'ils transmettent un blindage total.

### e) Les guides d'ondes diélectriques

La partie centrale de ces guides, appelée cœur, est un diélectrique complètement entouré par un autre diélectrique, appelé gaine, dont la permittivité diélectrique est légèrement plus petite. La structure transversale est le plus souvent à symétrie de révolution (fig. 5).

La propagation des ondes s'effectue par réflexions successives à l'interface des deux diélectriques, de la même façon que dans les guides métalliques où il y a réflexion à l'interface diélectrique-métal.

C'est aux fréquences optiques que l'on trouve des diélectriques tels que la silice et ses dérivés, présentant des pertes très faibles, inférieures au décibel par kilomètre. D'où le nom de fibres optiques donné aux guides utilisés à ces fréquences.

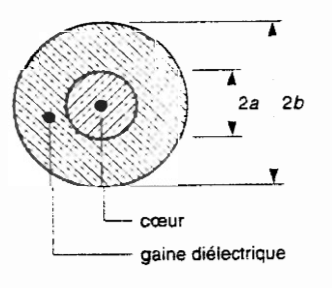


Figure 5. Guide d'onde diélectrique.

Comme le diamètre du cœur va de quelques dizaines de microns dans les fibres dites multimodes, à quelques microns dans les fibres monomodes, on conçoit la difficulté de leur réalisation et de leurs raccordements. En contrepartie, les diélectriques qu'elles utilisent sont très abondants et bon marché.

## 1.3.2 Les câbles utilisés en télécommunications

#### a) Les câbles téléphoniques à lignes bifilaires

L'augmentation très rapide du nombre de liaisons téléphoniques a déterminé la réalisation de câbles regroupant des centaines de lignes bifilaires, appelées « paires » par les techniciens des télécommunications. C'est ainsi qu'ont été fabriqués des câbles urbains et inter-urbains à 182 paires (fig. 6) et à 1 792 paires. Expaires sont groupées par deux, constituant ainsi une

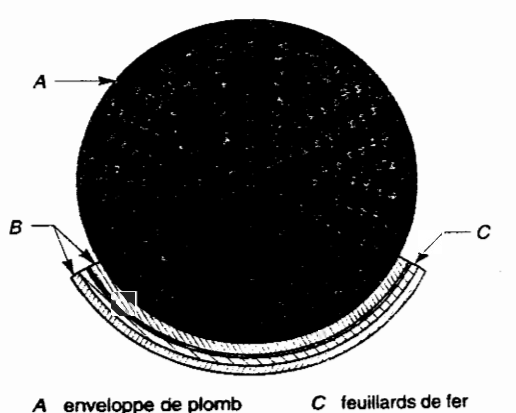


Figure 6. Câble à  $2 \times 91$  to coaxiales, d'après [10, page

« quarte ». La ligne bifilaire élémentaire est constituée de conducteurs en fil de cuivre, de diamètre compris entre 0,5 et 2 mm, isolés par du papier sec ou du polyéthylène. Ces câbles peuvent être enterrés ou supportés par les poteaux télé-

B jute goudronné

phoniques existants lorsqu'ils ne sont pas trop gros.

# b) Les câbles téléphoniques à lignes coaxiales

Pour transmettre les bandes de fréquences de plusieurs MHz élaborées par le procédé de multiplexage, il faut une ligne dont l'affaiblissement par km soit relativement faible et ne varie pas trop avec la fréquence dans la bande considérée. Seule la ligne (ou « paire ») coaxiale répond à ces exigences.

Trois types de câbles à circuits coaxiaux sont utilisés en France :

- le câble 2,6/9,5 (fig. 7) qui comprend 4 paires coaxiales ayant chacune un conducteur intérieur de 2,6 mm et un conducteur entérieur de 9,5 mm. Sa bande passante maximale est de 12 MHz (soit 2 700 voice);
- le câble 1,2/4,4 (fig. 8) qui comprend de 4 à 28 paires coaxiales et qui a une bande passante maximate de 12 MHz (soit 2 700 voies);
- le câble 3,7713,5 qui comprend de 4 à 10 paires coaxiales et qui a une bande passante maximale de 60 MHz (soit 10 800 voies).

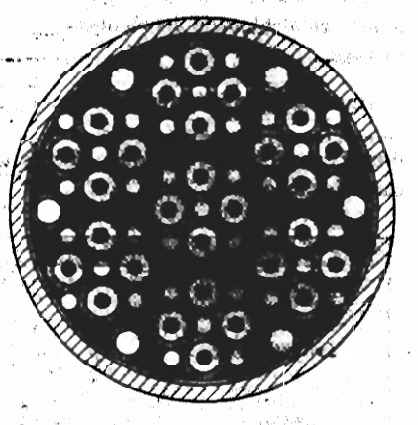
Le pas d'amplification est de 4,5 km pour le premier câble et de 2 km pour les deux autres.

Figure 7.

Câble interurbain à 4 paires coaxiales, 12 quartes en étoile et une paire centrale, d'après [10, p. 12].





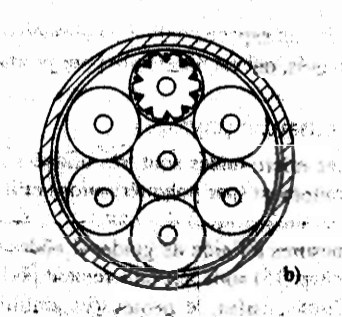


#### c) Les câbles téléphoniques à fibres optiques

Les fibres optiques sont de plus en plus utilisées pour les télécommunications. Parmi les diverses techniques utilisées pour l'élaboration de câbles réunissant plusieurs dizaines de fibres, nous décrirons la technique dite « à jonc cylindrique rainuré ».

Prenons l'exemple d'un câble à 70 fibres (fig. 9). Ce câble rassemble 7 joncs en plastique (fig. 9b) qui servent de support. Chaque jonc (fig. 9a) supporte 10 fibres qui sont déposées dans des rainures gravées à la surface du jonc. L'ensemble des joncs est protégé par une enveloppe en aluminium et une gaine plastique de 22 mm de diamètre. Le raccordement de deux tronçons de câble pose de délicats problèmes de connectique qui sont aujourd'hui bien résolus.





d) Les câbles sous-marin

The state of the s

Depuis les années 1960, les liaisons intercontinentales de télécommunications par câbles sous-marins ont concurrencé celles qui s'effectuent par satellite artificiel. Les deux systèmes se sont développés en présentant des performances techniques et des coûts d'exploitation à peu près comparables. Jusqu'en 1986, les câbles sous-marins utilisaient la acchnologie coaxiale, et modulation analogique. Le câble posé le plus performant fut le TAT 6 (TransAtlantique n° 6) qui permettait de transmettre 4 000 voies téléphoniques avec des répéteurs bidirectionnels espacés de 9,5 km.

Depuis 1986, les câbles sous-marins posés utilisent la technologie fibre optique monomode, en modulation numérique, qui offre une qualité de transmission et un nombre de voies bien supérieurs à ceux des câbles coaxiaux. En 1988 a été posé le câble TAT 8 constitué de deux paires de fibres par linison, avec des répéteurs espacés de 60 km (affaiblissement de 0.35 dB/km). Chaque paire de fibres permet un débit numérique de 280 Mbit/s, correspondant à la transmission de 23 000 communications téléphoniques (ou l'équivalent, en transmission de données et en canaux de télévision). Le TAT 9, posé en 1991, offre un débit de 560 Mbit/s par paire de fibres avec des répéteurs espacés de 120 km (affaiblissement de 6,22 dB/km). La durée de vie prévue de ces systèmes est de 25 ans.

Les nouveaux systèmes TAT 12 (1995) et TAT 13 (1996) utilisent deux câbles comportant chacun deux paires de fibres optiques dopées à l'erbium et des amplificateurs optiques distants de 45 km. Chaque paire de fibres petit transmettre un débit de 2,5 Gbit/s. Les performances ont donc été multipliées par un facteur de 10 en 10 ans, ce qui est remarquable.

La mise en place de ces câbles pose de délicats problèmes. D'une part, ils sont soumis à des tractions très importantes lors de la pose, d'où la mise au point de structures spécifiques (câble à minitube en acier avec armature double – fig. 10). D'autre part, afin de les protéger des chalus trainés par lés bateaux de pêche jusqu'à de très grandes profondeurs (plus de 1 000 m), ils sont enfouis au fond d'une tranchée par une charrue sous-marine rélécommandée depuis le navire câblice.

THE BUTTER

Figure rurbain coaxiale en étoi central 10, p. 12

28 paire 28 paire épartie 7 toror chacus p. 139

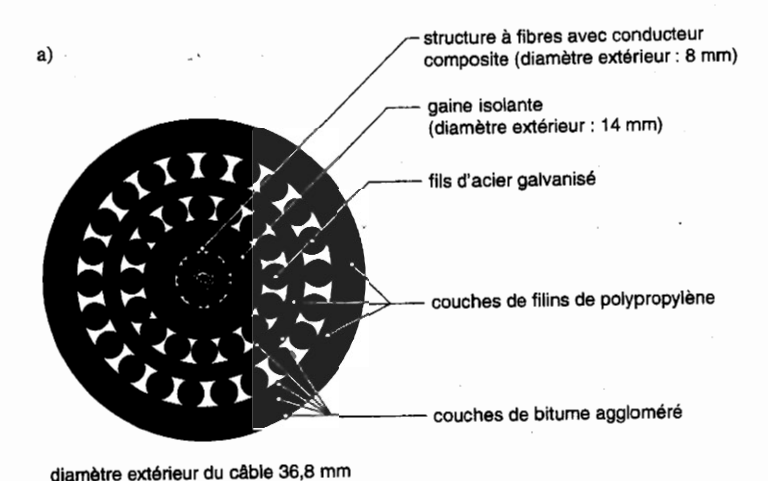
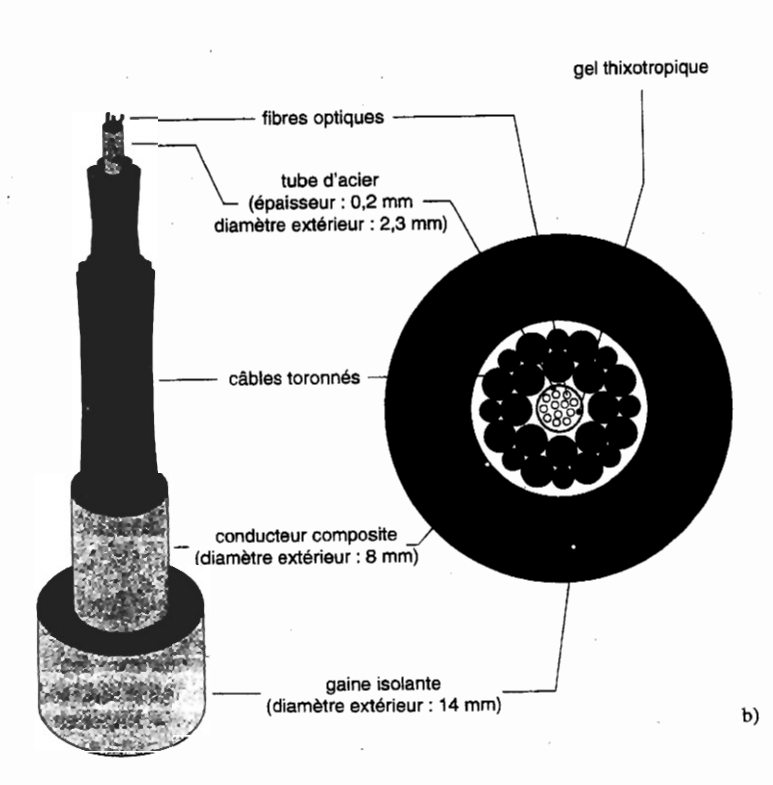


Figure 10.

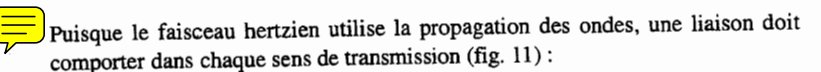
a. Coupe transversale
d'un câble à minitube
en acier avec armure
double,
b. Partie centrale
(sans armure double)
du câble,
d'après [13, p. 8].



# 1.4 LES SYSTÈMES TERRESTRES DE TRANSMISSION EN ESPACE LIBRE

# **1.4.1** Les télécommunications par faisceau hertzien [14]

### a) Structure d'une liaison



- un émetteur E et un récepteur R,
- un modulateur M et un démodulateur D,
- · des antennes.

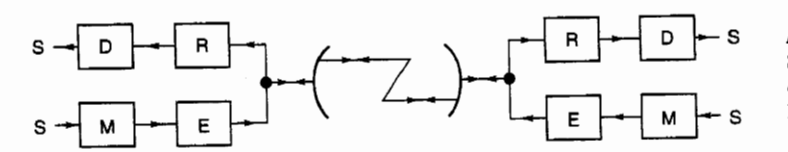


Figure 13.

n hertzienne
elais passif.

Figure 12.

n hertzienne

avec relais.

Le modulateur modifie les caractéristiques d'une onde électromagnétique pour lui faire porter l'information à transmettre. Le démodulateur effectue l'opération inverse : il doit fournir un signal S aussi semblable que possible à celui qui a été appliqué au modulateur.

L'émetteur produit une onde de puissance et de fréquence convenables pour qu'elle puisse transporter l'information à travers l'atmosphère. Le récepteur élabore, à partir de l'onde qu'il reçoit, un signal utilisable par le démodulateur.

Les antennes sont des dispositifs de couplage entre des lignes de transmission reliées à l'émetteur ou au récepteur et l'espace libre où se propage l'onde électromagnétique.

pi les deux points à relier sont suffisamment rapprochés (courbure de la Terre négligeable) et dégagés pour que les antennes soient en visibilité directe, la liaison peut être établie en un seul bond.

En revanche, si la distance entre les deux points est trop grande, la liaison doit être établie en plusieurs bonds en utilisant des stations relais (fig. 12) qui amplifient les ondes reçues avant de les réémettre.

Mais dans le cas de régions montagneuses où un obstacle s'interpose entre deux stations rapprochées, il est possible d'utiliser un relais passif constitué par un réflecteur plan, en visibilité directe de chacune des stations (fig. 13).

ONDES

station terminale station terminale station terminale

#### Modulations utilisées

our le faisceau hertzien, l'affaiblissement de l'onde porteuse en cours de propation est sujet à des fluctuations. D'autre part, certains éléments de la chaîne cro-onde ont une réponse non linéaire en amplitude. Toutes ces causes de distions d'amplitude de l'onde porteuse font que la modulation d'amplitude et pas souhaitable pour les liaisons hertziennes.

modulation angulaire, en revanche, est très peu sensible aux conditions de pagation et aux réponses non linéaires en amplitude des équipements. Elle en outre, une bonne protection contre le bruit et la plupart des brouillages n'affectent que l'amplitude de la porteuse.

est la raison pour laquelle la très grande majorité des faisceaux hertziens anagiques utilise la modulation angulaire. Ils sont employés pour transmettre:

des multiplex analogiques de téléphonie dont la capacité peut aller jusqu'à 2 700 voies téléphoniques,

du télex ou des transmissions de données à moyenne et grande vitesse, les signaux vidéo de la télévision.

En modulation numérique, les faisceaux hertziens présentent, dans des conditions ormales de propagation, une qualité presque parfaite puisque l'on sait qu'à raport signal/bruit identique les modulations numériques permettent une meilleure génération du signal que les modulations analogiques. Mais si les conditions de ropagation viennent à se dégrader, la régénération du signal n'est plus possible, modulation numérique, dès que le rapport signal/bruit tombe en dessous d'un rain séuil alors que la réception est encore possible en modulation analogique.

es faisceaux hertziens numériques servent à transmettre :

- des multiplex numériques de téléphonie dont le débit peut aller jusqu'à 140 Mbit/s,
- des données numériques à grandes vitesses,
- du visiophone et de la télévision codée.

# **1.4.2** Les radiocommunications avec les mobiles

#### a) Description du système

Les systèmes de radiocommunication avec les mobiles sont en plein développement [15]. Ils permettent à un abonné d'appeler ou d'être appelé au téléphone. Cet appel s'effectue par l'intermédiaire d'une station de base qui est un émetteur-récepteur muni d'une antenne assurant la couverture d'une zone ou cellule. Une région géographique relativement étendue peut ainsi être couverte par un réseau multicellulaire de plusieurs stations, où une fréquence spécifique est utilisée pour chaque cellule du réseau.

Il existe, par exemple, des réseaux à 7 fréquences (fig. 14). Cet ensemble de fréquences peut être réutilisé en dehors de la région couverte par le réseau multi-ellulaire. Évidemment, la puissance de chaque émetteur doit rester moyenne (< 10 watts) pour que sa portée ne déborde pas des limites du réseau, tout en restant suffisamment efficace à l'intérieur de la cellule desservie.

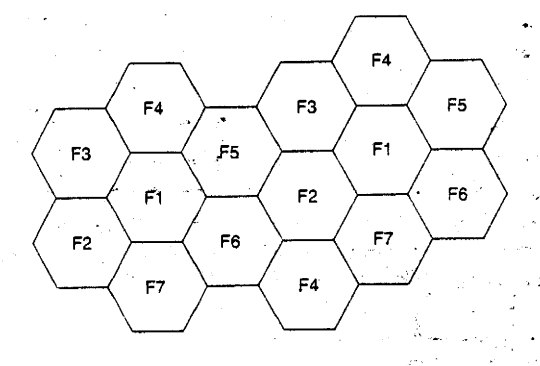


Figure 14.
Exemple de réutilisation des fréquences d'un réseau multicellulaire à 7 fréquences.



Lorsque l'utilisateur se déplace, sa communication téléphonique est traitée par la station de base du réseau grâce à laquelle le bilan de la liaison est le plus favorable. La taille d'une cellule élémentaire desservie par une station de base, est d'un diamètre de 10 km environ. Dans des cas bien précis – en zone urbaine où la propagation des ondes est plus difficile et où les mobiles se déplacent plus lentement – il est envisagé de réaliser des réseaux microcellulaires où le diamètre d'une cellule élémentaire est de 1 km environ.

n dolt

Figure Schén d'une hertzi

pérmin púi a che

les production de la company d

smi**eti**o nde **de** 

irecte.

eisend pri ma

110



Il apparaît donc qu'au prix de l'implantation d'un nombre suffisant de stations de base, il est possible d'assurer la couverture de régions étendues. Évidemment, ce sont les zones à forte densité de population et les axes autoroutiers que les sociétés de radiotéléphonie équipent en priorité. Les antennes utilisées sur les pylônes des stations de base sont du type dipôles (vol. 2, chap. 11 « Les dipôles rayonnants ») et la connaissance de la propagation des ondes (vol. 2, chap. 7 « Influence de la Terre et de l'atmosphère sur la propagation des ondes ») est essentielle pour faire des prévisions de couverture radioélectrique.

Les stations mobiles sont de trois types:

- les stations montées dans les véhicules, avec antenne à l'extérieur du véhicule,
- · les stàtions portables avec antenne amovible, qui peuvent être portées à la main ou montées dans un véhicule,
- les stations portatives avec antenne liée au bloc émetteur-récepteur (masse = 500 g, volume  $\approx 500 \text{ cm}^3$ , autonomie de 24 heures en veille et de 2 à 3 heures en communication).

#### b) Les divers systèmes existants

Au cours des années 1980, le développement des systèmes de radiocommunication analogique s'est effectué d'une manière assez diverse d'un pays à l'autre.

- · Les États-Unis et le Canada ont développé d'une manière unifiée le système AMPS (10 millions d'abonnés) dans la bande des 800 MHz.
- Le Royaume-Uni, l'Italie, l'Espagne et l'Autriche ont adopté le système TACS, dérivé de l'AMPS, qui opère dans la bande des 900 MHz.
- Le système NMT 900, également dans la bande des 900 MHz, s'est développé d'abord en Scandinavie et ensuite en Suisse, aux Pays-Bas, en Espagne et en France.
- L'Allemagne a adopté le système C-NETZ et l'Italie le système RTMS, tous deux dans la bande des 450 MHz.
- En France, Matra a développé le réseau Radiocom 2000 dans les bandes 174-223 MHz et 400-430 MHz.

Comme on le voit, l'Europe a adopté, sans aucune concertation, des systèmes différents. Heureusement, depuis une dizaine d'années (1987), une norme européenne a été définie : le GSM (Global System for Mobile Communications) qui est un système numérique opérant entre 890 et 915 MHz pour l'émission des mobiles (voie montante) et entre 935 et 960 MHz pour l'émission des stations fixes (voie descendante). Cette norme se développe en France sous l'impulsion de deux opérateurs : la SFR (Société Française de Radiotéléphonie) et France Télécom (Réseau Itinéris).

Un système complémentaire, le DCS 1800 est en cours de définition en vue d'une utilisation en milieu urbain à des fréquences voisines de 1 800 MHz et pour des portées réduites de l'ordre de quelques kilomètres au maximum.







### 1.5 LES SYSTÈMES SPATIAUX DE TRANSMISSION EN ESPACE LIBRE



[16, 17, 18]

# 1.5.1 Les divers types de liaisons par satellites artificiels

Ces liaisons qui utilisent les micro-ondes, servent à satisfaire des besoins de plus en plus importants, tels que:

- les télécommunications avec des stations fixes ou mobiles,
- · la radiodiffusion.
- · la radiolocalisation et la radionavigation,
- · les liaisons avec les sondes spatiales,
- · l'observation de la Terre.



#### a) Les télécommunications

Le service fixe de télécommunications assure des liaisons entre stations fixes pour la transmission:

- · de communications téléphoniques,
- · de messages sous forme de télécopie de textes,
- · de données numériques à haut débit pour la télématique,
- · de signaux audio et vidéo pour les téléconférences,
- de canaux de télévision pour les échanges internationaux d'émissions.

Les satellites qui assurent ce genre de liaisons sont principalement les satellites géostationnaires Intelsat au niveau international, Eutelsat au niveau européen ainsi que des satellites nationaux comme, par exemple, Telecom en France. Le tableau de la page suivante donne les principales caractéristiques de ces satel-

Le service mobile de télécommunications assure des liaisons entre deux stations mobiles ou entre une station fixe et une mobile, par l'intermédiaire d'un satellite assurant le relais. Ce service s'est d'abord développé pour les liaisons maritimes grâce aux satellites géostationnaires Inmarsat ; il s'est progressivement étendu aux liaisons aériennes.

#### b) La radiodiffusion



La radiodiffusion par satellite permet, depuis un satellite géostationnaire émettant une forte puissance (200 à 250 W), de diffuser des émissions de TV ou de radio FM pouvant être directement captées par un usager équipé d'un système

ions

llite

endu

stème

Common Decade Construction	ja.	C. 200 KW		qualiques satellites			
	us.		a wall	Printince (W)2	Durée de vie	Bandes de F. (GHz) <sup>3</sup>	
Intelsat 6	1989	4 200	40 000 + 2 TV	5 000	10 ans	6/4 et 14/11	
Intelsat 7	1995	3 600	60 000 + 3 TV	3 900	12 ans	6/4 et 14,2/11,1 ; 11,6 ; 11,8 ; 12,6	
Eutelsat 1	1983	600	2 000 + 8 TV	300	7 ans	14/11 et 14/12	
Eutelsat 2	1990	900	8 000 + 16 TV	800	7-10 ans	14 à 14,5/11 à 12,75	
Telecom 1	1984	700	2 500 + 2 TV	200	7 ans	6/4 et 14/12	
Telecom 2	1 <b>9</b> 91	1 500	5 200 + 4 TV	600	10 ans	6/4 et 14/12	
<b>TDF</b> 1/2	1988	1 300	5 TV	1 000	8-9 ans	17,3 à 18,1/11,7 à 12,5	

1. Il s'agit de la masse du satellite en orbite

2. Il s'agit de la puissance radiofréquence.

3. Le premier chiffre (le plus élevé) correspond à la fréquence dans le sens montant / le second chiffre (le plus faible) à la fréquence dans le sens descendant.

de réception constitué d'une antenne paraboloïdale de 40 à 50 cm de diamètre et d'un récepteur hyperfréquence à faible bruit. En Europe, plusieurs satellites de radiodiffusion sont en fonctionnement, notamment TV-SAT pour l'Allemagne et TDF pour la France (voir le tableau). Leurs programmes sont diffusés selon la norme haute définition D2 Mac Paquet qui donne une image excellente et un son haute fidélité. Des satellites de télécommunications comme Intelsat VI ou Eutelsat I diffusent aussi des émissions de TV, mais avec une puissance plus réduite (20 à 40 W), ce qui nécessite une antenne de réception de 1,50 m de diamètre.

#### La radiolocalisation et la radionavigation

de radiolocalisation des mobiles à la surface de la Terre est possible grâce aux natellites à défilement placés en orbites basses (850 ou 1 000 km) quasipolaires du système international de détresse et de sécurité Sarsat (États-Unis), Cospars (URSS). Ces satellites captent les signaux émis à 121,5 MHz ou à 406 MHz (reuveau système) par des balises activées manuellement ou automatiquement en cas de détresse. Il existe divers types de balises : maritimes (par exemple ARGOS), aéronautiques ou terrestres. La densité actuelle des stations sol et le course de satellites de ce système permettent d'alerter les services de sauvetage heure, en moyenne, et avec une précision de quelques kilomètres.



Il existe aussi des services commerciaux de radiorepérage par satellites autorisant l'échange de brefs messages tels que les systèmes Locstar en Europe et Geostar aux États-Unis. La précision de ces systèmes (de l'ordre de 100 m), la légèreté des terminaux à bord des mobiles (antenne de 10 cm) sont particulièrement intéressants pour les transports terrestres de marchandises ou de passagers par la route ou par le rail.

La radionavigation est assurée par les satellites GPS (Global Positionning System). Il s'agit d'une constellation de 24 satellites lancés entre 1983 et 1993, qui effectuent un tour de la Terre en 12 heures à une altitude de 20 185 km. Ils sont regroupés par 4, régulièrement répartis dans 6 plans orbitaux. Chaque satellite émet deux fréquences, l'une à 1 575 MHz et l'autre à 1 227 MHz, qui sont porteuses de signaux codés occupant des bandes de fréquence de 20 MHz. En service payant, les précisions obtenues sont de 21 m en position horizontale et de 34 m en position verticale ; elles sont multipliées par cinq en service gratuit. Les antennes de réception sont miniaturisées (Micro-ondes, vol. 2, chap. 15 « Les antennes à éléments imprimés »).

#### d) Les liaisons avec les sondes spatiales

Grâce à ces liaisons, qui se situent en bande X, il est possible de communiquer avec des sondes explorant notre système solaire et qui se trouvent à des distances de centaines de millions voire de milliards de kilomètres. Citons notamment :

- les sondes soviétiques Venera et les sondes américaines Mariner et Pioneer, pour l'exploration de Vénus;
- les sondes soviétiques Mars et Phobos et les sondes américaines Mariner et Viking, pour l'exploration de Mars;
- les sondes américaines Pioneer 10 et 11 et Voyager 1 et 2, pour l'exploration de Jupiter et Saturne;
- la sonde Voyager 2 qui, après avoir survolé Jupiter le 9 juillet 1979 et Saturne le 26 août 1981 survola Uranus le 24 janvier 1986 et Neptune le 24 août 1989, transmettant des images d'une qualité remarquable et d'un intérêt inestimable pour la connaissance du système solaire;
- la sonde Giotto qui a transmis le 13 mars 1986 les images de sa rencontre avec la comète Halley.
- la sonde Galileo qui, depuis décembre 1995, nous envoie d'excellentes vues de Jupiter et ses satellites (lo et Europe).
- la sonde Cassini qui doit atteindre Saturne et son satellite Titan en 2004.

### e) L'observation de la Terre

Ces applications se sont notamment développées depuis le début des années 1980 :

 Satellites météorologiques comme Météosat (1977-1981 et 1989) suivis par les MOP lancés en 1989, 1990 et 1993;

- Satellites d'observation des océans comme Topex-Poseïdon (1992) qui permet de mieux commune les courants océaniques, la position des glaces polaires, l'état de la mer et de mesurer le niveau des surfaces marines avec une précision de 2 à 4 cm!
- Satellites photographiant la surface de la Terre, comme SPOT qui fournit des images de surfaces de 60 x 60 km² avec une résolution de 10 m ou comme le satellite militaire Hélios (1995) dont la résolution aerait de 1 m;
- Satellites de telédétection passive (à l'aide de radiomètres) ou active (à l'aide de radior) comme ERS-1 (1991). Celui-ci permet d'étudier l'évolution des zones agricoles, des fortes des calones polaires. Il peut messure la température et le niveau de la surface des cadens, la hautour des vagues, la vapeur d'eau atmosphérique. Comme il est doté d'instruments qui fonctionnent en micro-ondes (radiomètre, radar) il observe même la nuit et à travers une couverture nuageuse, voire des précipitations.

# 1.5.2 Organisation des liaisons par satellites

Les satellites artificiels sont les points centraux d'un réseau de liaisons qui s'effectuent en micro-ondes. Les éléments essentiels en sont les antennes et les circuits passifs (répéteurs) que l'on tronve tant au niveau des stations terriennes que du satellite lui-même. Ces autennes et ces circuits passifs seront étudiés dans le second volume de cet ouvrage, ainsi que le bilan de la liaison satellite-Terre.

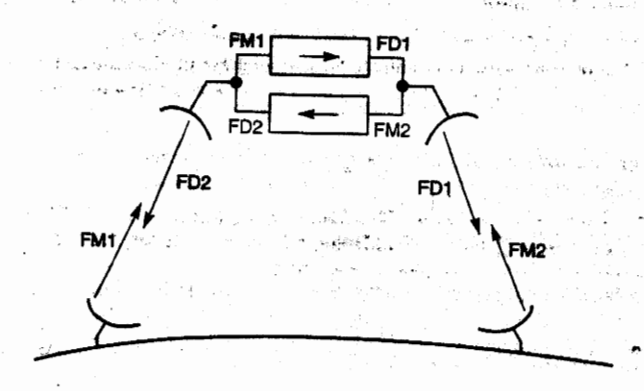
## a) Liaisons de télécommunications

the first the boundary of the state of the s

give in the control of the property of the property of the control of the control

Le satellite doit permettre la liaison simultanée entre plusieurs couples de stations à la surface de la Terre (fig. 15). Le répéteur du satellite assure l'amplification et la régénération des signaix.

Figure 15.
Organisation
d'une liaison de
télécommunications
par satellite.



La capacité d'un répéteur (1 000 voies téléphoniques pour une largeur de bande de 36 MHz sur Intelsat ou Eutelsat) permet d'écouler le trafic entre plusieurs couples de stations, à condition d'utiliser une technique d'accès multiple pour

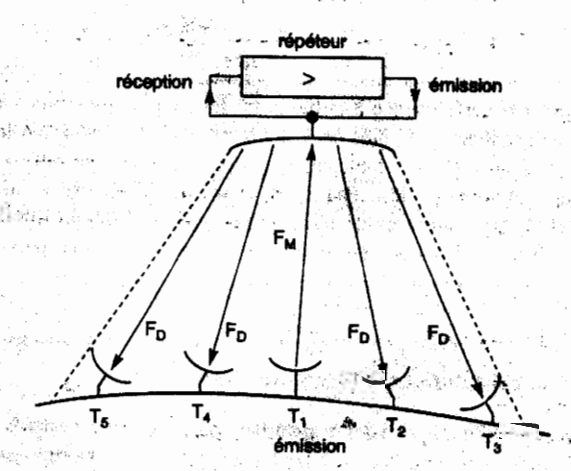
- en frequence, des lizisons se faisant simultanément (Acrès Multiple har Répartition en Préculence, Ahre?; en anglais: Frequency Division Multiple Acress, FDMA);
- dans je temps, des liaisons se fairum dans la même bande de fréquences (Accès Multiple par Répartition dans le Temps, AMRT; en anglais : rume Division Multiple Access. TDMA).

Notons aussi qu'une combinaison judicieuse de l'antilimation des deux types d'accès (Accès Multiple par Réparution Coitée en termes et en fréquence, AMRC; en augusts: Code Division Multiple Accèss, CDMA) parmet d'utiliser, au mieux, la capacité des répéteurs du satellité.

Les antennes utilisées sont des réflecteurs (vol. 2, chap. 13 « Les antennes à réflecteur ») alimentés par un réseau de sources primaires. Leur rayonner qui est à faisceaux multiples ou à faisceau conformé, permet de s'adapte." ... mieux au type de converture qui doit être assuré.

#### b) Liaisons de radiodiffusion (fig. 16)

Les émissions à transmettre sont envoyées vers le satellite depuis la station d'émission T<sub>1</sub>. D'autres signaux de télémesure et de télécommande sont envoyés par une station de contrôle opérationnel.



Après traitement (amplification et changement de fréquence) par le ou les népéteurs: les émissions destinées au grand public sont rayonnées vers la Terre par une intenne qui assure la couverture de la zone à desservir. Cette couverture peut être obtenue soit par un faisceau à découpe ci culaire ou elliptique enge que antenne à reflecteur atimenté par une source primaire unique.

**5**2:

soit par un faisceau conformé, engendré par une antenne à réflecteur alimenté nar un réseau de plusieurs sources primaires.

Des bandes de fréquences ont été attribuées aux divers systèmes de radiodiffusion. Chaque bande de fréquence est partagée en un certain nombre de canaux, chaque canal étant réservé à un programme de TV ou de radio FM. Par exemple, la bande 11,7-12,5 GHz a été partagée en 20 canaux émis en polarisation circulaire gauche et 20 autres en polarisation circulaire droite. Les fréquences centrales de deux canaux émis dans la même polarisation sont séparées de 40 MHz environ et celles de deux canaux émis en polarisations orthogonales sont séparées de 20 MHz environ. En Europe, chacun des 8 pays utilisateurs de cette bande s'est vu allouer 5 canaux.

Le satellite d'un pays utilisateur (tel que TDF1 pour la France ou TVSAT pour l'Allemagne) va donc émettre ces 5 canaux sur sa zone de couverture. Ce satellite a 5 répéteurs qui amplifient chacun 1 canal. Un multiplexeur d'émission permet de rassembler ces canaux, sans les mélanger, pour les envoyer vers l'antenne d'émission.

# **1.6** ATTRIBUTION DES BANDES DE FRÉQUENCES MICRO-ONDES

### **A partir de 100 MHz** ( $\lambda_0 = 3 \text{ m}$ )

Les principales attributions légalisées en France sont les suivantes :

- la radiodiffusion FM (Bande II) de 87,5 à 108 MHz;
- la radionavigation pour l'aviation civile : ILS de 108 à 112 MHz et VOR de 112 à 118 MHz;
- les radioamateurs de 144 à 148 MHz ;
- la radiodiffusion TV (Bande III) et les radiocommunications avec les mobiles terrestres de 174 à 223 MHz;
- la radionavigation pour l'aviation civile : ILS de 328 à 335 MHz;
- la radiodiffusion TV (Bandes IV et V) de 470 à 830 MHz;
- les radiocommunications avec les mobiles terrestres (système GSM) de 890 à 960 MHz;
- la radionavigation pour l'aviation civile et les armées (DME, Tacan, Radar) de 960 à 1 260 MHz et de 1 260 à 1 350 MHz :
- la radioastronomie de 1 400 à 1 427 MHz;
- les liaisons mobiles pour les reportages TV: 1 429-1 452 MHz, 1 460-1 484 MHz et 1 492-1 515 MHz;

- la radionavigation (système GPS) de 1 217 à 1237 MHz et de 1 565 à 1 585 MHz;
- les télécommunications par satellite avec les mobiles (bateaux ou avions) via le système Inmarsat de 1 530 à 1 544 MHz (liaison descendante) et 1 626 à 1 645 MHz (liaison montante);
- les radiocommunications avec les mobiles autour de 1 800 MHz ;
- les faisceaux hertziens de 2 100 à 2 300 MHz;
- le chauffage industriel et domestique (fours à micro-ondes) à 2 450 MHz ;
- la radionavigation pour l'aéronautique de 2 700 à 2 900 MHz.

#### Au-delà de 3 GHz ( $\lambda_0 = 10$ cm)

Les micro-ondes sont surtout utilisées pour les télécommunications par faisceaux hertziens et par satellites artificiels ainsi que pour l'aviation civile.

- Les principales bandes utilisées pour les faisceaux hertziens sont les suivantes : 3,8 à 4,2 GHz ; 4,4 à 4,99 GHz (armées) ; 5,4 à 7,1 GHz ; 7,4 à 7,9 GHz (armées) ; 8,2 à 8,5 GHz ; 10,7 à 11,7 GHz : 12,7 à 13,2 GHz ; 14,4 à 15,35 GHz ; 17,7 à 19,7 GHz.
- Les principales bandes utilisées pour l'aviation civile sont : 4,2 à 4,4 GHz (systèmes d'altimétrie); 5 à 5,1 GHz (MLS. microwave landing system) : 5.35 à 5,47 GHz (radars de bord).
- Les principales bandes utilisées pour les liaisons par satellite (Région I) sont les suivantes :
- de 3,4 à 4,2 et de 5,725 à 7,075 GHz pour les télécommunications civiles,
- de 7,25 à 7,75 et de 7,9 à 8,4 GHz pour les télécommunications militaires,
- de 10,7 à 11,7 GHz pour les télécommunications civiles et la radiodiffusion,
- de 11,7 à 12.7 GHz et de 14 à 14,8 GHz pour la radiodiffusion,
- de 17,3 à 19,7 GHz pour les télécommunications civîles.

Comme on le remarque, certaines de ces bandes sort utilisées en partage avec les faisceaux hertziens, selon des conventions d'exploitation très précises.

### Au-delà de 20 GHz ( $\lambda_0 = 1.5$ cm)

Les bandes de fréquences ne sont pas encore définitivement attribuées. Des recherches sont en cours pour l'utilisation de ces fréquences, en dehors des raies d'absorption de la vapeur d'eau (vers les 22 GHz).

Figure l
Organiss
d'une lis

de radio

ont

es répéerre par verture ptique, unique,

1<sup>re</sup> partie

LIGNES POUR
LA TRANSMISSION
ET LES CIRCUITS

# Chapitre 2

# Propagation sur une ligne en haute fréquence

# 2.1 MODÉLISATION DE LA LIGNE

## 2.1.1 Le modèle

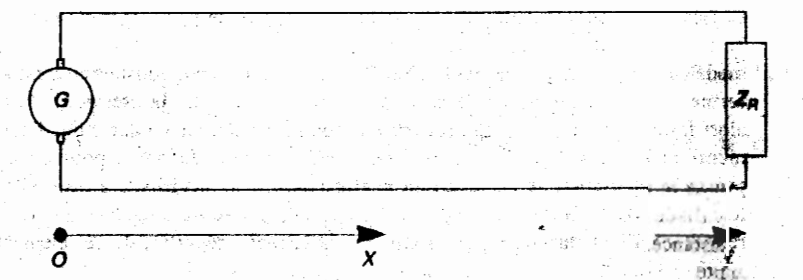


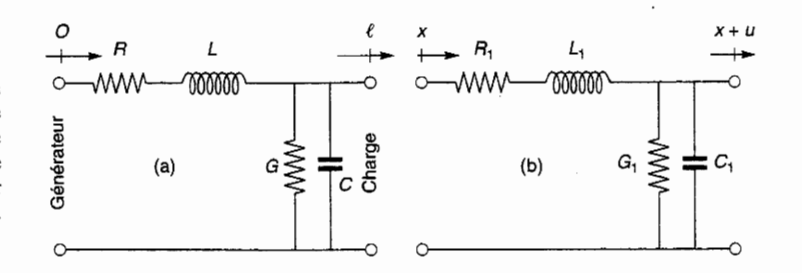
Figure 1.
Ligne de longue
G, générateur;
Z<sub>R</sub>, impédance de charge.

Soit une ligne de transmission, de longueur  $\ell$ , alimentée à une extrémité par un générateur de tensions H.F. et fermée à l'autre extrémité sur une impédance  $Z_R$  (fig. 1). En haute fréquence, du fait que la lengueur de la ligne est, en jténéral, grands devant la longueur d'onde  $\lambda$ , il en resulte que la tension et le courant (ou lei el amps électrique et magnétique, si les precidents concurs ne peuvent pas être utilisés) varient le long de la ligne.

legure 3 Sentation ripolaire

de ligne

Figure 2.
Modélisation
par un quadripôle
a. de la ligne
b. d'un tronçon de
ligne de longueur
unité.



Pour faire l'étude de ces phénomènes, il convient d'adopter une modélisation de la ligne. Le modèle utilisé est un réseau (fig. 2) qui comporte :

- en série, une résistance R et une inductance L, pour représenter respectivement les pertes d'énergie active et réactive dans les conducteurs de la ligne,
- en parallèle, une conductance G et une capacité C pour représenter les pertes d'énergie active et réactive dans le diélectrique de la ligne.

En haute fréquence, la difficulté du problème vient de ce qu'il est impossible du moins dès que la ligne n'est pas de longueur très faible devant  $\lambda$  – de la modéliser par un seul quadripôle (fig. 2a) que l'on pourrait considérer comme fermé à une extrémité sur le générateur et à l'autre sur la charge. Il faut alors faire l'approximation qui revient à décomposer la ligne en une suite d'éléments identiques, l'élément unité étant pris très petit devant  $\lambda$  pour qu'on puisse le représenter avec une erreur négligeable par le quadripôle à constantes localisées de la figure 2b.  $R_1$ ,  $L_1$ ,  $G_1$ ,  $C_1$  représentent respectivement la résistance, l'inductance, la conductance et la capacité réparties de cet élément unité.

### 2.1.2 Domaine de validité

 $R_1$ ,  $L_1$ ,  $G_1$ ,  $C_1$  sont appelées les constantes ou paramètres primaires de la ligne. Les seules lignes pour lesquelles il sera possible de les calculer sans difficulté, sont les lignes dites T.E.M. où les notions de tension et courant gardent un sens. Sur ces lignes, en effet, les champs E et H se trouvent dans des plans perpendiculaires aux conducteurs (d'où l'appellation T.E.M. = Transversal Electric and Magnetic fields) et il est donc possible d'en déduire les tension et courant. Les lignes coaxiales, bifilaires et triplaques en sont de bons exemples (voir chapitres 1, 8 et 9).

Par contre, dès que les champs ont une composante longitudinale (c'est-à-dire dans la direction des conducteurs), la notion de tension n'a plus de sens et les constantes primaires ne peuvent plus être calculées directement. C'est le constantes primaires ne peuvent plus être calculées directement. C'est le constantes primaires ne peuvent plus être calculées directement. C'est le constantes primaires ne peuvent plus être calculées directement.

Par ailleurs, il est très important de noter, dès maintenant, que l'étude qui sera faite dans ce chapitre et les suivants est spécifique dans ses détails, mais néanmoins générale dans ses conclusions. En effet, les équations que nous écrirons, les relations que nous établirons en appliquant les concepts tension et courant au modèle décrit au paragraphe 2.1.1, ne sont valables dans leur forme et dans le détail des calculs que pour les lignes de type TEM. Cependant, tout ce qui sera exposé dans ces chapitres concernant la nature et les caractéristiques des régimes de propagation, le diagramme de Smith, le problème de l'adaptation, les régimes impulsionnels, est également valable pour d'autres types de lignes comme les guides d'ondes.

## 2.1.3 Intérêt de ce modèle

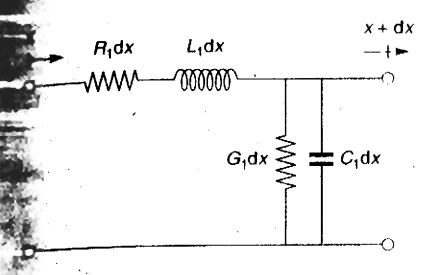
Il provient de ce que, à propos d'une étude particulière aux lignes bifilaires et coaxiales à l'aide des concepts tension-courant et du modèle  $(R_1, L_1, G_1, C_1)$ , nous établirons des résultats et expliquerons des phénomènes que l'on pourrait trouver pour les guides d'ondes, par exemple, en utilisant les concepts de champ électrique et magnétique.

Il faut d'ailleurs noter que les lignes T.E.M. pourraient aussi être considérées et étudiées comme des guides d'ondes électromagnétiques, les champs se propageant dans le diélectrique où les conducteurs sont plongés. Ce fut le point de vue des premiers théoriciens de la radio-électricité (Hertz et Poincaré notamment). Malheureusement, l'exposé de cette méthode est assez ardu et peu explicite tandis que l'utilisation des concepts tension et courant permet, tout en restant correct, de donner un exposé simple et significatif.

# 2.2 ÉQUATION DE PROPAGATION

Nous étudions une ligne de transmission, de longueur  $\ell$ , alimentée, à une extrémité, par un générateur de tensions H.F. et fermée, à l'autre extrémité, sur une impédance  $Z_R$  (fig. 1). Pour les applications, l'origine des abscisses sera prise soit au générateur, soit à la charge, soit en un point de la ligne où se trouve une discontinuité à étudier. Si l'origine est au générateur (à la charge), l'axe des abscisses est orienté vers la charge (le générateur) afin qu'un point de la ligne ait toujours une abscisse positive. Pour ce chapitre, nous supposerons que l'axe est orienté du générateur vers la charge avec origine au générateur.

None allone traiter le con conémal de la le



Grâce à l'utilisation de la notation complexe, il est possible d'écrire que les valeurs instantanées complexes de la tension  $\underline{v}(x, t)$  et du courant  $\underline{i}(x, t)$  sont le produit des amplitudes complexes  $\underline{V}(x)$  et  $\underline{I}(x)$ , qui ne dépendent que de la variable spatiale x, par la fonction  $\underline{F}(t)$  représentant les variations dans le temps. En

deime sinusoïdal :  $F(t) = e^{j\omega t}$ ; nous avons donc :

$$\underline{\underline{v}}(x, t) = \underline{\underline{V}}(x) e^{j\omega t}$$
 avec  $\underline{\underline{V}}(x) = V(x) e^{j\phi_{\nu}(x)}$ 

$$\underline{i}(x, t) = \underline{I}(x) e^{j\omega t}$$
 avec  $\underline{I}(x) = I(x) e^{j\phi_i(x)}$ 

V(x) et I(x) sont les amplitudes réelles ou modules.

(x) et  $\varphi_i(x)$  sont les phases.

s et

icite

stant

prise

e une

gne ait exe est Les valeurs instantanées réelles sont :

$$v(x,\,t)=\Re\left[\underline{v}(x,\,t)\right]=V(x)\,\cos\left[\omega t+\varphi_v(x)\right]$$

$$i(x, t) = \Re \left[i(x, t)\right] = I(x) \cos \left[\omega t + \varphi_i(x)\right]$$

notation réelle, les variables t et x sont liées dans la fonction cosinus et ne vent être séparées. C'est pourquoi il est plus intéressant d'utiliser la notation implexe dans laquelle la dépendance temporelle  $\underline{F}(t) = e^{j\omega t}$  peut être mise en cieur.

variation de tension dy quand on se déplace de dx sur la ligne est égale à la tenne :

**Let la variation** de tension  $-R_1 dx i due à la résistance;$ 

**de la variation** de tension –  $L_1$  dx  $(\partial \underline{i}/\partial t)$  due à l'inductance.

$$\frac{\partial v}{\partial x} = -R_1 \underline{i} - L_1 \frac{\partial \underline{i}}{\partial t} \tag{1}$$

**l'ariation** d'intensité de courant d<u>i</u> quand on se déplace de dx sur la ligne est

courant s'écoulant par défaut d'isolement  $-G_1 dx y$ ; courant s'écoulant par la capacité  $-C_1 dx (\partial y/\partial t)$ ,

$$\frac{\partial \underline{i}}{\partial \mathbf{r}} = -G_1 \, \underline{v} - C_1 \, \frac{\partial \underline{v}}{\partial t} \tag{2}$$

tir de (1) et (2), on montre facilement que i et  $\underline{\nu}$  satisfont les équations, de télégraphistes.

$$\frac{\partial^2 y}{\partial x^2} - L_{+} C_{+} \frac{\partial^2 y}{\partial t^2} - (R_{+} C_{+} + L_{+} G_{+}) \frac{\partial y}{\partial t} - R_{+} G_{+} \underline{y} = 0$$
 (3)

$$\frac{\partial^{2} i}{\partial x^{2}} - L_{1} C_{1} \frac{\partial^{2} i}{\partial r^{2}} - (R_{1} C_{1} + L_{1} G_{1}) \frac{\partial i}{\partial t} - R_{1} G_{1} \underline{i} = 0$$
 (4)

Dans le cas où le régime est sinusoïdal, (1), (2), (3) et (4) deviennent :

$$\frac{\partial \underline{V}}{\partial x} = -(R_1 + j L_1 \omega) \underline{I}$$
 (5)

$$\frac{\partial \underline{I}}{\partial x} = -(G_1 + \mathbf{j} C_1 \omega) \underline{Y}$$
 (6)

$$\frac{\partial^2 V}{\partial x^2} = (R_1 + j L_1 \omega) (G_1 + j C_1 \omega) \underline{V}$$
 (7)

$$\frac{\partial^2 \underline{I}}{\partial x^2} = (R_1 + \mathrm{j} L_1 \, \omega) \, (G_1 + \mathrm{j} C_1 \, \omega) \, \underline{I}$$
 (8)

Posons:

$$\gamma = \sqrt{(R_1 + j L_1 \omega) (G_1 + j C_1 \omega)}$$
(9)

C'est une quantité complexe que l'on appelle la constante de propagation et dont nous ferons l'étude plus loin. (7) et (8) s'écrivent donc :

$$(10a) i \sqrt{\frac{\partial^2 \underline{V}}{\partial x^2} = \gamma^2 \underline{V}}$$
 (10b)

Ce sont les équations de propagation de la tension et du courant le long de la ligne.

(10a) et (10b) admettent des solutions de la forme

$$\underline{V}(x) = \underline{V}_{i} e^{-\gamma x} + \underline{V}_{i} e^{\gamma x}$$
 (11a)

$$I(x) = I_x e^{-\gamma x} + I_x e^{\gamma x}$$
 (11b)

 $\underline{V}_i, \underline{I}_i$ :  $\underline{V}_r$ ,  $\underline{I}_r$  sont des constantes d'intégration. Il est évident d'après (5) ou (6) qu'elles sont liées deux à deux puisque l'on a en effet :

$$\frac{V_i}{l_i} = -\frac{V_r}{l_r} = \sqrt{\frac{R_1 + j L_1 \omega}{G_1 + j C_1 \omega}}$$
 (12)

quantité qui est homogène à une impédance.

y et Z<sub>e</sub> sont aussi appelés les paramètres secondaires de la ligne. Posons:

$$Z_c = \sqrt{\frac{R_1 + j L_1 \omega}{G_1 + j C_1 \omega}}$$
 (13)

quantité que l'on appelle l'impédance caractéristique de la ligne et dont nous verrons plus tard la signification et l'importance.

# **2.3** ÉTUDE DES SOLUTIONS DE L'ÉQUATION DE PROPAGATION

 $\underline{V}$  et  $\underline{I}$  ayant la même forme, il suffit de faire cette étude uniquement pour  $\underline{V}$ , par exemple.

# 2.3.1. Mise en évidence de la superposition de deux ondes

Nous voyons, d'après (9), que  $\gamma$  est de la forme  $\alpha + i\beta$ . Donc :

$$\underline{Y}(x, t) = \underline{Y}(x)e^{j\omega t} = \underline{V}_{t}e^{-\alpha x}e^{j(\omega t - \beta x)} + \underline{Y}_{t}e^{\alpha x}e^{j(\omega t + \beta x)}$$
(14)

Cette expression est la somme de deux termes :

- L'un dont l'amplitude diminue lorsque x augmente, c'est-à-dire pour un déplacement du générateur vers le récepteur ; il caractérise une onde incidente (indice i).
- L'autre dont l'amplitude diminue lorsque x diminue, c'est-à-dire pour un déplacement du récepteur vers le générateur ; il caractérise une onde réfléchie (indice r).

Par conséquent, la tension sur la ligne résulte de la superposition de deux ondes se propageant en sens contraire. Même chose pour le courant.

# 2.3.2. Caractéristiques de ces ondes

Étudions le terme 
$$y_i(x, t)$$

$$\underline{V}_{i}(x, t) = \underline{V}_{i} e^{-\alpha x} e^{j(\omega x - \beta x)}$$
(15)

Passons aux valeurs instantanées réelles :  $v_t(x, t) = \Re [y_t(x, t)]$ 

 $\underline{V}_i$  étant complexe, nous écrirons :  $\underline{V}_i = V_i e^{j\phi}$ 

Donc: 
$$v_i(x, t) = V_i e^{-\alpha x} \cos(\omega t + \phi - \beta x)$$
 (16)

Il s'agit d'une onde dont l'amplitude diminue exponentiellement à mesure que l'on se rapproche du récepteur.

En un point donné de la ligne, la tension est une fonction sinusoïdale du temps dont la périodicité dans le temps est la période :

$$T = \frac{2\pi}{\omega} \tag{17}$$

À un instant donné, la tension est une fonction sinusoïdale de l'abscisse x dont la périodicité dans l'espace est la longueur d'onde :

$$\lambda = \frac{2\pi}{\beta} \tag{18}$$

Enfin, cette onde se déplace vers les x croissants avec la vitesse constante  $v_p = \omega/\beta$ , appelée « vitesse de phase ». Il suffit en effet pour trouver la vitesse de l'onde, d'écrire que :  $\omega r + \varphi - \beta x = \text{cte}$ .

Soit encore:  $\omega dt - \beta dx = 0$ .

D'où:

L'étude du terme  $\underline{\nu}_r(x, t) = \underline{V}_r e^{\alpha x} e^{j(\omega t + \beta x)}$  mettrait de la même façon en évidence une onde :

- dont l'amplitude diminue exponentiellement à mesure que l'on se déplace vers le générateur,
- de périodicité dans l'espace  $\lambda = 2\pi/\beta$  et dans le temps  $T = 2\pi/\omega$ .
- qui se déplace en sens inverse avec la même vitesse ω/β.

De telles ondes sont appelées des ondes progressives amorties. Leur superposition donne naissance à un phénomène d'ondes semi-stationnaires, qui est le régime général de fonctionnement d'une ligne. Nous l'étudierons en détail dans le prochain chapitre pour le cas d'une ligne sans perte et dans le chapitre VI pour le cas d'une ligne avec pertes.

# 2.3.3 Le paramètre de propagation $\gamma$

Le paramètre γ apparaît comme un paramètre de propagation dont :

- la partie réelle α est un paramètre d'affaiblissement exprimé en Nepers par mètre ou en décibels par mètre (1 dB = 0,151 Np);
- la partie imaginaire  $\beta$  est un paramètre de phase exprimé en radians par mètre (1 radian = 57,30°).

Dans le cas particulier des lignes sans perte (LSP) :  $R_1 = G_1 = 0$ 

$$\rightarrow \qquad \alpha = 0, \ \beta = \omega \sqrt{L_1 C_1} \ \text{et } \nu_p = \frac{1}{\sqrt{L_1 C_1}}.$$

n évi-

(19)

e vers

1i est le tail dans pitre VI

Vepers par

s par mètre

es ondes se propagent sans affaiblissement et l'on peut montrer que leur vitesse de propagation  $v_p$  est égale à la vitesse de propagation des ondes électromagnétiques dans le diélectrique dont est constituée la ligne.

Nous allons maintenant étudier les expressions de la tension, du courant et de l'impédance en un point d'une ligne de transmission de longueur finie tout d'abord dans le cas général et ensuite dans quelques cas particuliers.

# EXPRESSIONS DE LA TENSION, DU COURANT ET DE L'IMPÉDANCE

Les quantités connues sont  $\underline{V}_0$ ,  $\underline{I}_0$ ,  $\gamma$  et  $Z_c$ . Nous voulons calculer  $\underline{V}(x)$  et  $\underline{I}(x)$  en fonction de ces quantités dans le cas où la ligne est terminée sur une charge quelconque. D'après (11a) et (11b):

$$\underline{V}_0 = \underline{V}_i + \underline{V}_r = Z_c (\underline{I}_i - \underline{I}_r)$$

$$\underline{I}_0 = \underline{I}_i + \underline{I}_r = \frac{\underline{V}_i - \underline{V}_r}{Z_c}$$

partir de ces relations, nous obtenons :

$$\underline{V}_i = \frac{\underline{V}_0 + Z_c \underline{I}_0}{2} \tag{20}$$

$$\underline{V}_r = \frac{\underline{V}_0 - Z_c \underline{I}_0}{2} \tag{21}$$

$$\underline{I}_{i} = \frac{\underline{I}_{0}}{2} + \frac{\underline{V}_{0}}{2Z_{c}}$$
 (22)

$$\underline{I}_r = \frac{\underline{I}_0}{2} - \frac{\underline{V}_0}{2\,Z_c} \tag{23}$$

portant ces valeurs dans (11a) et (11b), nous obtenons :

$$\underline{V}(x) = \underline{V}_0 \operatorname{ch} \gamma x - Z_c \underline{I}_0 \operatorname{sh} \gamma x \tag{24}$$

$$\underline{I}(x) = \underline{I}_0 \operatorname{ch} \gamma x - \frac{\underline{V}_0}{Z_c} \operatorname{sh} \gamma x \tag{25}$$

$$Z(x) = Z_c \frac{Z_0 - Z_c \operatorname{th} \gamma x}{Z_c - Z_0 \operatorname{th} \gamma x}$$
 (26)

as le cas des lignes sans perte, les relations (24), (25) et (26) s'écrivent :

$$\underline{V}(x) = \underline{V}_0 \cos \beta x - j Z_c I_0 \sin \beta x \tag{27}$$

$$\underline{I}(x) = \underline{I}_0 \cos \beta x - j \frac{\underline{V}_0}{Z_c} \sin \beta x$$
 (28)

$$Z(x) = Z_c \frac{Z_0 - j Z_c \operatorname{tg} \beta x}{Z_c - j Z_0 \operatorname{tg} \beta x}$$
 (29)

Enfin, il peut être intéressant de connaître la valeur de l'impédance d'entrée  $Z_0$ en fonction de l'impédance de charge  $Z_R$ . D'après (26) :

$$Z_0 = Z_c \frac{Z_R + Z_c \operatorname{th} \gamma \ell}{Z_c + Z_R \operatorname{th} \gamma \ell}$$
 (30)

Dans le cas des lignes sans pertes :

$$Z_0 = Z_c \frac{Z_R + j Z_c \operatorname{tg} \beta \ell}{Z_c + j Z_R \operatorname{tg} \beta \ell}$$
(31)

# 2.5. CAS PARTICULIER: LIGNE TERMINÉE PAR $Z_R = Z_C \rightarrow$ ONDES PROGRESSIVES Int d'après (30): $Z_0 = Z_C$

Si  $Z_R = Z_c$ , il vient d'après (30) :  $Z_0 = Z_c$ .

Il apparaît donc que l'impédance d'entrée de la ligne est  $Z_c$ . Tout se passe comme si le générateur était directement fermé sur  $Z_c$ . D'après (26) nous voyons

que dans ces conditions:  $Z(x) = Z_a$ 

En tout point de la ligne, l'impédance est donc l'impédance caractéristique. Comme:

$$\underline{V}_i = \underline{I}_0 \frac{Z_0 + Z_c}{2} \qquad \underline{I}_i = \frac{\underline{I}_0}{2} \left( 1 + \frac{Z_0}{Z_c} \right)$$

$$V_r = I_0 \frac{Z_0 - Z_c}{2}$$
  $I_r = \frac{I_0}{2} \left( 1 - \frac{Z_0}{Z_c} \right)$ 

il en résulte que :

$$\underline{V}_i = \underline{V}_0$$
;  $\underline{V}_r = 0$  et  $\underline{I}_i = \underline{I}_0$  et  $\underline{I}_r = 0$  (33)

d'où: 
$$\underline{V}(x) = \underline{V}_0 e^{-\gamma x}$$
 (34)

et: 
$$l(x) = l_0 e^{-\gamma x}$$
 (35)

Lorsqu'une ligne est terminée sur son impédance caractéristique d'onde reflechie. Le régime qui s'établit sur cette ligné d'ondes progressives.

■ Passons aux valeurs instantanées complexes :

$$\underline{V}(x, t) = \underline{V}_0 e^{-\alpha x} e^{j(\omega t - \beta x)}$$
(36)

$$\underline{i}(x, t) = \underline{I}_0 e^{-\alpha x} e^{\underline{j}(\omega t - \beta x)}$$
(37)

Nous retrouvons dans ces expressions les caractéristiques d'une onde progressive, déjà signalées au paragraphe 2.3.2 « Caractéristiques de ces ondes » :

- l'amplitude décroît exponentiellement lorsque x augmente ;
- la phase se déplace avec une vitesse « de phase »  $\omega/\beta$ .

Notons en outre que  $\underline{\nu}$  et i sont en phase dans le temps et dans l'espace : donc toute la puissance transportée par une onde progressive l'est sous forme de puissance active. Ce régime d'ondes progressives est le régime de fonctionnement d'une ligne le plus favorable pour le transport de l'énergie.

■ Avec un millivoltmètre H.F. qui mesure directement la valeur efficace de la tension appliquée, ce sont les valeurs efficaces de la tension H.F. sur la ligne que l'on obtient :

$$V_{\rm ef} = \frac{V(x)}{\sqrt{2}} = \frac{V_0}{\sqrt{2}} e^{-\alpha x}$$
 (38)

On observe donc lorsqu'on déplace la sonde de mesure vers les x > 0:

- · une tension d'amplitude constante si la ligne est sans perte,
- une tension d'amplitude décroissant exponentiellement si la ligne a des pertes (fig. 4).

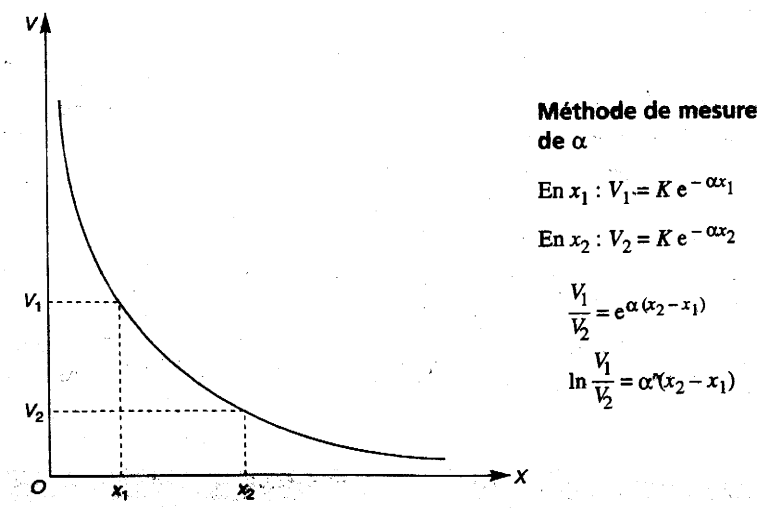


Figure 4.
Décroissance
exponentielle de la
tension, le long d'une
ligne à pertes.

 $\alpha_{\text{Np/m}} = \frac{1}{x_2 - x_1} \ln \frac{V_1}{V_2}$  (39)

# 2.6 CAS PARTICULIER: LIGNE EN COURT-CIRCUIT OU EN CIRCUIT OUVERT

L'étude du régime d'ondes stationnaires qui s'établit, dans ce cas, sur la ligne est effectuée de façon détaillée au chapitre suivant.

# **2.6.1** Ligne en court-circuit ( $Z_R = 0$ )

Cela signifie que pour  $x = \ell$ , Z = 0 et  $\underline{Y} = 0$ . Écrivons donc que pour  $x = \ell$ ,  $\underline{Y}(\ell) = 0$ . D'après (24):

$$0 = \underline{V}_0 \operatorname{ch} \gamma \ell - Z_c I_0 \operatorname{sh} \gamma \ell \tag{40}$$

En calculant  $\underline{V}_0$  ou  $\underline{I}_0$  d'après cette relation et en portant la valeur ainsi obtenue dans les relations (24) ou (25), il vient :

$$\underline{V}(x) = \underline{V}_0 \frac{\sin \gamma (\ell - x)}{\sin \gamma \ell} \tag{41}$$

$$\underline{I}(x) = \underline{I}_0 \frac{\operatorname{ch} \gamma (\ell - x)}{\operatorname{ch} \gamma \ell}$$
(42)

$$Z(x) = Z_0 \frac{\text{th } \gamma(\ell - x)}{\text{th } \gamma \ell}$$
 (43)

$$Z_0 = Z_c \text{ th } \gamma \ell \tag{44}$$

Pour les lignes sans pertes :

$$\underline{V}(x) = \underline{V}_0 \frac{\sin \beta (\ell - x)}{\sin \beta \ell}$$
 (45)

$$\underline{I}(x) = \underline{I}_0 \frac{\cos \beta (\ell - x)}{\cos \beta \ell}$$
 (46)

$$Z(x) = Z_0 \frac{\operatorname{tg} \beta (\ell - x)}{\operatorname{tg} \beta \ell}$$
 (47)

$$Z_0 = j Z_c \operatorname{tg} \beta \ell \tag{48}$$

# **.6.2** Ligne en circuit ouvert ( $Z_R = \infty$ )

Cela signifie que pour  $x = \ell$ ,  $Z = \infty$  et  $\underline{I} = 0$ . Écrivons donc que pour  $x = \ell$ ,  $\underline{=}$  0. D'après (25):

$$0 = \underline{l}_0 \operatorname{ch} \gamma \ell - \frac{\underline{V}_0}{Z_c} \operatorname{sh} \gamma \ell \tag{49}$$

D'où

nue

(41)

(42)

(43)

(44)

(45)

(46)

(47)

(48)

$$\underline{V}(x) = \underline{V}_0 \frac{\operatorname{ch} \gamma(\ell - x)}{\operatorname{ch} \gamma\ell}$$
 (50)

$$\underline{I}(x) = \underline{I}_0 \frac{\sinh \gamma (\ell - x)}{\sinh \gamma \ell}$$
 (51)

$$Z(x) = Z_0 \frac{\operatorname{th} \gamma \ell}{\operatorname{th} \gamma (\ell - x)}$$
 (52)

$$Z_0 = \frac{Z_c}{\tanh \gamma \ell} \tag{53}$$

Pour les lignes sans pertes :

$$\underline{V}(x) = \underline{V}_0 \frac{\cos \beta (\ell - x)}{\cos \beta \ell}$$
 (54)

$$\underline{I}(x) = \underline{I}_0 \frac{\sin \beta (\ell - x)}{\sin \beta \ell}$$
 (55)

$$Z(x) = Z_0 \frac{\lg \beta \ell}{\lg \beta (\ell - x)}$$
 (56)

$$Z_0 = \frac{Z_c}{\text{j tg }\beta\ell} \tag{57}$$

# CAS PARTICULIER: LIGNE QUART D'ONDE - LIGNE DEMI-ONDE

Nous avons vu que dans le cas où une ligne sans pertes est fermée sur une impétance terminale  $\mathbb{Z}_R$ , l'impédance d'entrée est :

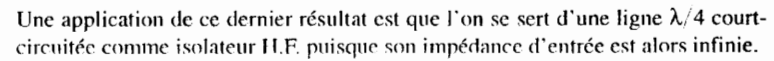
$$Z_0 = Z_c \frac{Z_R + j Z_c \lg \beta \ell}{Z_c + j Z_R \lg \beta \ell}$$
 (58)

• Si  $\beta \ell = (2n+1) \pi/2$  c'est-à-dire si  $\ell = (2n+1) \lambda/4$ :

$$Z_0 = \frac{Z_c^2}{Z_R} \tag{59}$$

Donc la ligne  $\lambda/4$  est un inverseur d'impédance :

- si  $Z_R$  est réactif,  $Z_0$  le sera aussi mais de signe contraire ;
- si  $Z_R$  est une résistance,  $Z_0$  sera aussi une résistance plus grande ou plus petite que  $Z_c$  selon que  $Z_R$  est plus petit ou plus grand que  $Z_c$ .



• Si  $\beta \ell = n\pi$  c'est-à-dire si  $\ell = n\lambda/2$ :

$$Z_0 = Z_R \tag{60}$$

Une ligne demi-onde a une impédance d'entrée égale à son impédance de charge. Ceci est utilisé pour ramener en un endroit donné une impédance égale à une impédance de charge (antenne par exemple) sur laquelle on ne peut pas faire directement des mesures.



### 2.8 LA VITESSE DE GROUPE

Nous avons vu au paragraphe 2.5 qu'une onde progressive de pulsation  $\omega$  se propage avec une vitesse  $v_n = \omega/\beta$ , appelée vitesse de phase :

$$\underline{y}(x,t) = \underline{V}_0 e^{-\alpha x} e^{j(\omega t - \beta x)}$$
(61)

En fait, les ondes qui se propagent sur les lignes de télécommunications ne sont jamais monochromatiques. Elles sont modulées par des signaux représentant les informations à transmettre et ces ondes modulées occupent une bande de fréquence utile d'étendue  $2\Delta f$  autour d'une fréquence centrale  $f_0: 2\Delta f = (f_0 + \Delta f) - (f_0 - \Delta f)$ .

# 2.8.1 Cas de deux fréquences discrètes

Considérons, d'abord, deux ondes sinusoïdales de pulsations  $\omega_0 + \Delta \omega$  et  $\omega_0 - \Delta \omega$  pour lesquelles les valeurs du paramètre de phase sont  $\beta_0 + \Delta \beta$  et  $\beta_0 - \Delta \beta$ :

$$\underline{v}(x,t) = \underline{V}_0 \, \mathrm{e}^{-\alpha x} \left[ \mathrm{e}^{\mathrm{i} j \left[ (\omega_0 + \Delta \omega) t - i \beta_0 + \Delta \beta) x \right]} + \mathrm{e}^{\mathrm{i} j \left[ (\omega_0 - \Delta \omega) t - (\beta_0 - \Delta \beta) x \right]} \right]$$

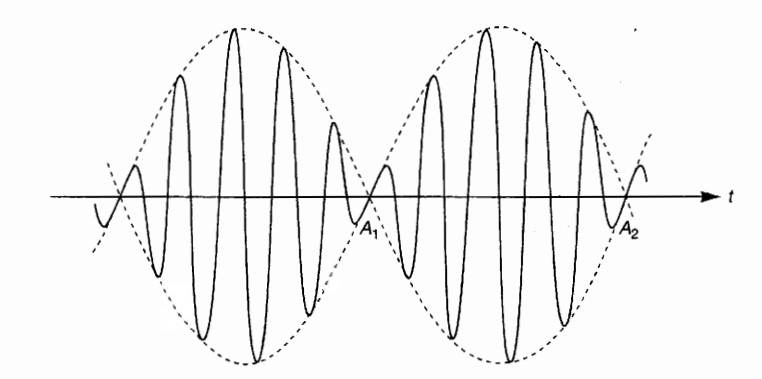
$$\underline{y}(x,t) = 2V_0 e^{-\alpha x} \cos(t\Delta\omega - x\Delta\beta) e^{j(\omega_0 t - \beta_0 x)}$$
 (62)

Cette expression représente une onde sinusoïdale de pulsation  $\omega_0$  – onde porteuse e  $j(\omega_0 t - \beta_0 x)$  – dont l'amplitude, qui est modulée à la pulsation  $\Delta\omega$ , a pour

enveloppe la courbe  $e^{-\alpha x}$  cos  $(t \Delta \omega - x \Delta \beta)$ . Nous pouvons donc définir :

- une vitesse de propagation de la porteuse, d'après :  $\omega_0 t \beta_0 x = \text{cte} \implies \nu_p = \omega_0/\beta_0$  vitesse de phase,
- une vitesse de propagation de l'enveloppe, d'après :  $t \Delta \omega x \Delta \beta = \text{cte} \implies v_g = \Delta \omega / \Delta \beta$  vitesse de groupe.

Figure 5.
Représentation d'une onde porteuse (traits pleins) dont les amplitudes sont modulées (enveloppe en traits pointillés).



La représentation graphique (fig. 5) de l'expression (62) apparaît comme une succession de battements (ou groupes ou paquets d'ondes) qui se répètent périodiquement :

- si nous considérons l'un de ces groupes, compris entre les nœuds  $A_1$  et  $A_2$ , nous constatons qu'il se déplace à la vitesse  $\Delta\omega/\Delta\beta$ ;
- si, par contre, nous concentrons notre attention sur les ondes porteuses (en traits pleins) qui se trouvent à l'intérieur de chacun de ces groupes, nous constatons qu'elles se déplacent avec leur vitesse de phase propre  $\omega/\beta$ .

Aux nœuds indiqués par  $A_1$  et  $A_2$ , v et i (et, par conséquent, les champs E et H) sont nuls. Il semble donc impossible que l'énergie électromagnétique soit transférée dans l'une ou l'autre direction à travers ces points. L'énergie emmagasinée dans le paquet compris entre  $A_1$  et  $A_2$ , doit se déplacer avec la même vitesse que l'enveloppe :  $\Delta\omega/\Delta\beta$ . La vitesse de groupe apparaît donc comme la vitesse de propagation de l'énergie.

# 2.8.2 Cas d'un spectre continu de fréquences

Prenons maintenant l'exemple, beaucoup plus réaliste en télécommunications, d'une onde modulée qui occupe une bande de fréquences  $2\Delta f$  autour d'une fréquence centrale  $f_0$ .

$$\omega_0 - \Delta\omega \leqq \omega \leqq \omega_0 + \Delta\omega \iff \beta_0 - \Delta\beta \leqq \beta \leqq \beta_0 + \Delta\beta$$

$$\underline{v}(x, t) = \underline{V}_0 e^{-\alpha x} \int_{\omega_0 - \Delta \omega}^{\omega_0 + \Delta \omega} A(\omega) e^{j(\omega t - \beta x)} d\omega$$
 (63)

Supposons que dans toute la bande de fréquences,  $\beta(\omega)$  diffère peu de sa valeur pour  $\omega = \omega_0$  et que nous puissions écrire, avec une bonne approximation :

$$\frac{\beta - \beta_0}{\omega - \omega_0} = \left(\frac{d\beta}{d\omega}\right)_{\omega = \omega_0} = \beta'(\omega_0) = \beta'_0$$
 (64)

Nous avons successivement:

$$\beta = \beta_0 + (\omega - \omega_0) \beta_0'$$

$$\omega t - \beta x = \omega t - \beta_0 x - (\omega - \omega_0) \ \beta_0^* x = (\omega - \omega_0) t - (\omega - \omega_0) \ \beta_0^* x + (\omega_0 t - \beta_0 x)$$

Dans ces conditions, l'expression (63) s'écrit :

$$\underline{y}(x,t) = \underline{V}_0 e^{-\alpha x} e^{j(\omega_0 t - \beta_0 x)} \int_{\omega_0 - \Delta\omega}^{\omega_0 + \Delta\omega} A(\omega) e^{j(\omega - \omega_0)(t - \beta_0' x)} d\omega$$
 (65)

- Le terme hors de l'intégrale représente une porteuse, de pulsation  $\omega_0$ , se déplaçant à une vitesse  $\omega_0/\beta_0$ , qui est la vitesse de phase.
- L'intégrale représente l'équation de l'enveloppe de la porteuse, qui se déplace à une vitesse définie par :

$$t - \beta_0' x = \text{cte} \implies v_g = \frac{1}{\beta_0'} = \left(\frac{d\omega}{d\beta}\right)_{\omega = \omega}$$
 (66)

 $v_g$  est la vitesse de groupe.

En fait, l'approximation qui conduit à la relation (64) est rarement vérifiée dans toute la bande de fréquences occupée par l'onde modulée. Il en résulte que la vitesse de groupe ne garde pas dans toute cette bande la valeur constante résultant de la relation ci-dessus.

Dans le cas général, la vitesse de groupe dépend donc de la fréquence :

$$v_g = \frac{d\omega}{d\beta} \tag{67}$$

cas parti

ie ligne T

La variation de  $v_g(f)$  a des conséquences que nous allons étudier maintenant sur la qualité de la transmission.

# 2.8.3 Diagramme de Brillouin - Dispersion

Le diagramme qui, pour une ligne donnée, donne les variations de  $\omega$  en fonction de  $\beta$  (fig. 6) est très commode. En effet, pour un point M de la courbe  $\omega(\beta)$ :

- la vitesse de phase est la pente de la droite OM;
- la vitesse de groupe est la pente de la tangente en M.

)

K. H

4)

**:**)

(65)

lace

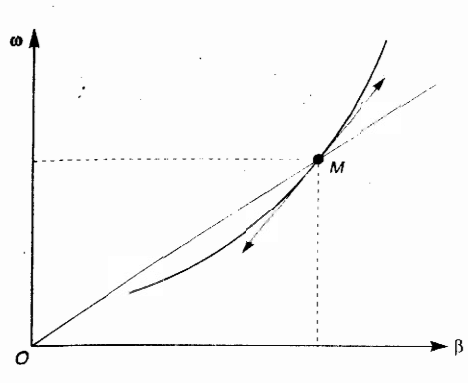
(66)

dans jue la résul-

(67)

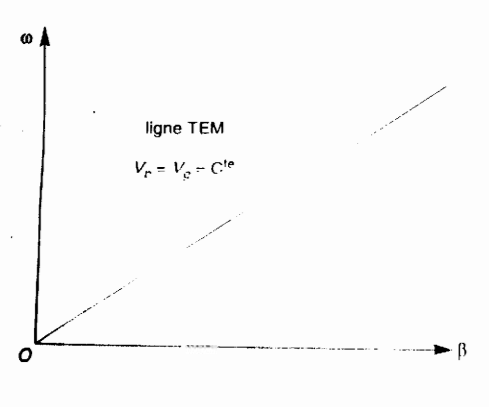
ant sur

Conction B):



Lorsque cette courbe n'est pas droite,  $v_p$  et  $v_g$  sont différentes l'une de l'autre et leurs valeurs varient avec la fréquence. Comme la vitesse de groupe est la vitesse de propagation des diverses composantes constituant le spectre de fréquences de l'onde modulée, cela signifie que le temps de propagation de ces composantes sur une lon-

gueur de ligne  $\ell$  donnée, ne sera pas le même. Il en résultera des distorsions du signal que représente ce spectre de fréquences. Ce phénomène, très gênant en télécommunications, est appelé la dispersion d'une ligne.



Pour une ligne T.E.M. (fig. 7), nous démontrons que la vitesse de propagation est indépendante de la fréquence lorsque les pertes sont nulles, faibles ou minimisées (chap. 2. § 2.3 « Étude des solutions de l'équation de propagation » et chap. 6, § 6.1 « Étude de la constante de propagation et de l'impédance caractéristique »):

$$v_p = \frac{1}{\sqrt{L_1 C_1}}$$
 (68)

**De** telles lignes sont donc exemptes de dispersion et  $v_p = v_g \ \forall f$ . Nous verrons **qu'il n'en est** pas de même pour les guides d'ondes.

# 2.8.4 Temps de propagation de groupe

Pour une ligne de longueur  $\ell$ , le temps de propagation de groupe  $t_g$  est lié à la vitesse de groupe  $v_g$ , par :

$$\tau_g = \frac{\ell}{v_o} \tag{69}$$

Lorsqu'il y a de la dispersion

$$(v_g)_{\min} \leq v_g \leq (v_g)_{\max} \implies (\tau_g)_{\min} = \frac{f}{(v_g)_{M}} \leq \tau_g \leq (\tau_g)_{M} = \frac{f}{(v_g)_{\min}}$$

Pour que toutes les composantes du spectre de fréquences du signal transmis arrivent en phase, il faut donc des dispositifs correcteurs du temps de propagation de groupe : ce sont des filtres introduisant des retards  $\Delta \tau$  variables, tels que :

$$\tau_{p}(f) + \Delta \tau(f) = \text{cle } \forall f$$
 (70)

Lorsque c'est une impulsion qui se propage, soient  $(v_g)_{\rm M}$  et  $(v_g)_{\rm m}$  les vitesses extrêmes du spectre de fréquences que l'on transmet.

$$\Delta T = (\tau_g)_M - (\tau_g)_m = \ell \left[ \frac{1}{(v_e)_m} - \frac{1}{(v_g)_M} \right]$$
 (71)

 $\Delta T$  est appelé l'élargissement d'impulsion pour une longueur  $\ell$ . Dans les techniques de transmission numérique, ce temps doit rester inférieur à l'intervalle de temps séparant deux impulsions successives. C'est lui qui limite le débit numérique d'une liaison pour une transmission sur une longueur  $\ell$ .



# **EXERCICES**



#### **EXERCICE 2.1**

(Paragraphe 2.2 - Équation de propagation)

Démontrer la relation (12):  $\underline{V}_i/\underline{I}_i = -\underline{V}_r/\underline{I}_r = Z_c$ .



#### **EXERCICE 2.2**

(Paragraphe 2.2 - Équation de propagation)

Les paramètres primaires d'une ligne téléphonique d'abonné (fréquences vocales de l'ordre de 1 kHz) sont les suivants :

$$R_1 = 7 \cdot 10^{-3} \,\Omega/\text{m}$$
  $L_1 = 3.1 \cdot 10^{-6} \,\text{H/m}$   
 $G_1 = 3.8 \cdot 10^{-9} \,\text{S/m}$   $C_1 = 5.8 \cdot 10^{-12} \,\text{F/m}$ 

1) À la fréquence de 1 kHz, calculer :

 $R_1 + j L_1 \omega$  sous la forme  $\rho_1 e^{j\varphi_1}$ .  $G_1 + j C_1 \omega$  sous la forme  $\rho_2 e^{j\varphi_2}$ .

2) En déduire  $Z_c = R + jX$  et  $\gamma = \alpha + j\beta$ .



#### **EXERCICE 2.3**

(Paragraphe 2.3 – Étude des solutions de l'équation de propagation)

Même ligne téléphonique qu'à l'exercice 2.2.

- 1) À 1 kHz, calculer la longueur d'onde et la vitesse de propagation.
- 2) Cette ligne est supposée sans perte. À 1 kHz, calculer la vitesse de propagation et  $\beta$ .



#### **EXERCICE 2.4**

(Paragraphe 2.4 – Expression de la tension, du courant et de l'impédance)

Un générateur de force électromotrice 100 volts, d'impédance interne  $Z_G=50~\Omega$  alimente une ligne d'impédance caractéristique  $Z_c=100~\Omega$  sur laquelle la longueur d'onde  $\lambda=1,5$  m. Cette ligne qui a une longueur  $\ell=10$  m, est fermée sur une impédance  $Z_R$  inconnue. L'impédance ramenée à l'entrée de la ligne (interface lignegénérateur) est  $Z_0=(125-\mathrm{j}~120)~\Omega$ .

- 1) Calculer les amplitudes complexes de la tension  $\underline{V}_0$  et du courant  $\underline{I}_0$ , à l'entrée de la ligne.
- 2) Calculer les amplitudes complexes de la tension  $\underline{V}_R$  et du courant  $\underline{I}_R$ , à l'extrémité de la ligne.
- 3) En déduire  $Z_R$  et vérifier la valeur ainsi trouvée par un calcul direct à partir de  $Z_0$ .



### **EXERCICE 2.5**

(Paragraphe 2.5 - Ondes progressives)

Les paramètres secondaires d'une ligne de longueur  $\ell = 100 \text{ m}$  sont les suivants :

 $Z_c = 800 - \text{j} \ 200 \ \Omega \text{ et } \gamma = 0.00775 + \text{j} \ 2.55 \ (\text{m}^{-1}).$ 

Cette ligne est fermée sur une impédance  $Z_R=Z_c$  et elle est alimentée par un générateur dont les caractéristiques sont f=100 MHz, E=100 volts et  $Z_G=75$   $\Omega$ .

- 1) Calculer le courant  $I_0$  et la tension  $\underline{V}_0$  à l'entrée de la ligne.
- 2) En déduire le courant  $I_R$  et la tension  $\underline{V}_R$  sur la charge.
- 3) Quelle est la puissance moyenne active absorbée par l'impédance de charge  $Z_R$ ?



#### **EXERCICE 2.6**

(Paragraphes 2.2 et 2.6 – Équation de propagation et Cas particulier où  $Z_R = 0$  et  $Z_R = \infty$ )

Une ligne téléphonique de longueur  $\ell=100~\mathrm{km}$  est alimentée par un générateur de fréquence  $f=1~\mathrm{kHz}$ . On mesure son impédance d'entrée  $Z_0$  lorsque son autre extrémité est :

- en court-circuit :  $(Z_0)_{cc} = 530 e^{-j 35^\circ}$ ,
- en circuit ouvert :  $(Z_0)_{c0} = 1 070 e^{j 21^\circ}$ .
- 1) Calculer les paramètres secondaires de la ligne :  $Z_c$  et  $\gamma = \alpha + j\beta$ .
- 2) Déduire des résultats précédents les valeurs des paramètres primaires de la ligne :  $R_1$ ,  $L_1$ ,  $G_1$ ,  $C_1$ .



### **EXERCICE 2.7**

(Paragraphe 2.7 – Ligne quart d'onde, ligne demi-onde)

On veut adapter une antenne FM de type dipôle replié dont l'impédance est de 300  $\Omega$ 

- à l'entrée d'un tuner dont l'impéd 75  $\Omega$ .
- Déterminer l'impédance cara d'une ligne d'adaptation λ/4.
- 2) On veut effectuer cette adaptati fois en utilisant deux lignes λ/ sachant que l'impédance intern de 150 Ω. Quelle sera l'impédan ristique de ces deux lignes?



#### **EXERCICE 2.8**

(Paragraphe 2.8 - La vitesse de g

La longueur d'onde  $\lambda_d$  sur une ligne est reliée à la longueur d'onde  $\lambda$  d tion en espace libre par la relation :

$$\left(\frac{2\pi}{\lambda}\right)^2 = \left(\frac{2\pi}{\lambda_d}\right)^2 + \left(\frac{2\pi}{\lambda_c}\right)^2$$

 $\lambda_c$  est appelée longueur d'onde de cla ligne considérée. Elle ne dépendimensions de cette ligne. On notera

$$\frac{2\pi}{\lambda} = k$$
,  $\frac{2\pi}{\lambda_d} = \beta$ ,  $\frac{2\pi}{\lambda_c} = k_c$ 

- 1) Démontrer que le produit de la phase  $v_p$  sur cette ligne par sa v groupe  $v_g$  est égal au carré de  $v_r$  propagation en espace libre.
- 2) Calculer la valeur de  $v_p$  en foncti et  $\lambda_d$ . En déduire celle de  $v_g$ .

QUENCE

'impédance,

e caractéris

adaptation en gnes  $\lambda/4$  en intermédian impédance  $\alpha$  es ?

В\_\_\_\_

tesse de groupe,

une ligne disponde  $\lambda$  de properties elation:

$$+\left(\frac{2\pi}{\lambda_c}\right)^2$$

onde de coup ne dépend @ On notera :

$$\frac{2\pi}{\lambda_c} = k_c.$$

duit de la vité ne par sa vité carré de v, vité cibre.

p en fonction  $\phi$  de  $\nu_g$ .

# Chapitre 3

# Étude de la réflexion à l'extrémité d'une ligne

# **3.1** ÉQUATIONS CORRESPONDANT AUX NOUVELLES HYPOTHÈSES

Au contraire des hypothèses qui avaient été prises au chapitre précédent, nous supposerons que les valeurs connues sont la tension et le courant en bout de ligne, côté charge.



Figure 1.
Ligne de longe (origine de l'a des x à la chair G, générateur.
Z<sub>R</sub>, impédance charge.

Soit une ligne de longueur  $\ell$ , d'impédance caractéristique  $Z_c$ , alimentée par un générateur de f.e.m. instantance  $e=E_0\cos\omega t$  et de fréquence f, terminée sur une impédance  $Z_R$  (fig. 1). Nous avons vu que l'état électrique en un point quelconque d'une telle ligne nésultait de la superposition d'une onde incidente et

pour l'étude du phénomène dans le cas où l'origine était prise au générateur et l'axe des abscisses orienté du générateur vers le récepteur. Puisque, dans ce chapitre, nous allons étudier le phénomène de réflexion à l'extrémité de la ligne, il vaut mieux prendre l'origine au récepteur et orienter l'axe des abscisses du récepteur vers le générateur.

Pour savoir comment sont modifiées les relations écrites au chapitre précédent, il suffit de remarquer que la variation de x, notée précédemment + dx, est maintenant – dx. Dans ces conditions, les relations (5) et (6) deviennent :

$$\frac{\partial \underline{V}}{\partial x} = (R_1 + j L_1 \omega) \underline{I}$$
 (1a)

$$\frac{\partial \underline{I}}{\partial x} = (G_1 + j C_1 \omega) \underline{V}$$
 (1b)

Nous aurons toujours:

$$\frac{\partial^2 V}{\partial x^2} = \gamma^2 \, \underline{V} \tag{2a}$$

$$\frac{\partial^2 \underline{I}}{\partial x^2} = \gamma^2 \, \underline{I} \tag{2b}$$

dont les solutions générales devront être écrites ici :

$$\underline{V}(x) = \underline{V}_i e^{\gamma x} + \underline{V}_r e^{-\gamma x}$$
 (3a)

$$\underline{I}(x) = \underline{I}_i e^{\gamma x} + \underline{I}_r e^{-\gamma x}$$
(3b)

À partir de (1a), (1b), (3a) et (3b), on démontre que l'on a toujours :

$$\frac{\underline{V}_i}{\underline{I}_i} = -\frac{\underline{V}_r}{\underline{I}_r} = Z_c$$

Soient  $\underline{V}_R$  et  $\underline{I}_R$  les tension et courant au récepteur. Nous avons ici :

$$\underline{V}_i = \frac{\underline{V}_R + Z_c \underline{I}_R}{2} \tag{4a}$$

$$\underline{V}_r = \frac{\underline{V}_R - Z_c \, \underline{I}_R}{2} \tag{4b}$$

Les expressions de la tension, du courant et de l'impédance en un point quelconque de la ligne s'écrivent donc maintenant :

$$\underline{V}(x) = \underline{V}_R \operatorname{ch} \gamma x + Z_c \underline{I}_R \operatorname{sh} \gamma x \tag{5}$$

$$\underline{I}(x) = \underline{I}_R \operatorname{ch} \gamma x + \frac{\underline{V}_R}{Z_c} \operatorname{sh} \gamma x \tag{6}$$

$$Z(x) = Z_c \frac{Z_R + Z_c \operatorname{th} \gamma x}{Z_c + Z_R \operatorname{th} \gamma x}$$
 (7)

# 3.2 COEFFICIENT DE RÉFLEXION

Le coefficient de réflexion en un point d'abscisse x quelconque est défini comme le rapport de l'amplitude de l'onde réfléchie à l'amplitude de l'onde incidente en ce point :

$$\underline{\Gamma}(x) = \frac{\underline{V}_r e^{-\gamma x}}{\underline{V}_i e^{\gamma x}} = \frac{\underline{V}_r}{\underline{V}_i} e^{-2\gamma x}$$
(8)

Comme:  $\frac{\underline{V}_r}{\underline{V}_i} = \frac{\underline{V}_R - Z_c \underline{I}_R}{\underline{V}_R + Z_c \underline{I}_R} = \frac{Z_R - Z_c}{Z_R + Z_c}$ 

il vient:  $\underline{\Gamma}(x) = \frac{Z_R - Z_c}{Z_R + Z_c} e^{-2\gamma x}$  (9)

Pour x = 0, c'est-à-dire sur le récepteur, nous obtenons :

$$\underline{\Gamma}_R = \frac{Z_R - Z_c}{Z_R + Z_c} \tag{10}$$

Il y a deux valeurs particulièrement intéressantes du module du coefficient de réflexion. Ce sont  $\Gamma_R = 0$  et  $\Gamma_R = 1$ .

La première valeur se produit lorsque Z<sub>R</sub> = Z<sub>c</sub>. Il n'y a alors pas d'onde réfléchie et nous avons :

$$\underline{V}(x) = \underline{V}_i e^{\gamma x}$$
 et  $\underline{I}(x) = \underline{I}_i e^{\gamma x}$ 

Dans ce cas, il s'établit sur la ligne un régime d'ondes progressives qui a été étudié au chapitre précédent.

• La deuxième valeur se produit dans les trois cas suivants :

$$Z_R=0 \quad ; \quad Z_R=\infty \quad ; \quad |Z_R-Z_c|=|Z_R+Z_c|$$

Dans chacun de ces cas, il s'établit sur la ligne un régime d'ondes stationnaires pures. Nous n'en ferons l'étude détaillée que dans le cas de la ligne court-circuitée, en supposant qu'il s'agit d'une ligne sans pertes afin que les caractéristiques du régime d'ondes stationnaires ne soient pas masquées par des effets dus aux pertes.

# 3.3 Cas particulier où $\Gamma_R = 1$ Régime d'ondes stationnaires

# 3.3.1 Ligne en court-circuit

Puisque  $Z_R = 0$ ,  $\underline{\Gamma}_R = -1$  et  $\underline{V}_R = 0$ . Donc:

$$\underline{V}(x) = Z_c \, \underline{I}_R \, \text{sh} \, \gamma x \tag{11}$$

ondes stationas de la ligne es afin que les masquées par

$$\underline{I}(x) = \underline{I}_R \operatorname{ch} \gamma x \tag{12}$$

$$Z(x) = Z_c \text{ th } \gamma x \tag{13}$$

Dans le cas des lignes sans pertes, nous obtenons :

$$\underline{V}(x) = j Z_c \underline{I}_R \sin \beta x \tag{14}$$

$$\underline{I}(x) = \underline{I}_R \cos \beta x \tag{15}$$

$$Z(x) = j Z_c \operatorname{tg} \beta x \tag{16}$$

### a) Variations de la tension et du courant

Pour passer des amplitudes complexes aux grandeurs physiques réelles, il faut multiplier ces expressions par e jor et prendre la partie réelle. On obtient ainsi :

$$v(x, t) = \Re \left[ \underline{V}(x) e^{j\omega t} \right] \qquad i(x, t) = \Re \left[ \underline{I}(x) e^{j\omega t} \right]$$

 $I_R$  étant complexe, nous écrirons :  $I_R = I_R e^{j\phi}$ . Donc :

$$v(x, t) = \Re \left[ j Z_c I_R \sin \beta x e^{j(\omega t + \phi)} \right]$$
$$i(x, t) = \Re \left[ I_R \cos \beta x e^{j(\omega t + \phi)} \right]$$

$$v(x,t) = -Z_c I_R \sin \beta x \sin (\omega t + \phi)$$
 (17)

$$i(x, t) = I_R \cos \beta x \cos (\omega t + \phi)$$
 (18)

Ou encore:

$$v(x, t) = Z_c I_R \sin \beta x \sin (\omega t + \phi + \pi)$$

$$i(x, t) = I_R \sin\left(\beta x + \frac{\pi}{2}\right) \sin\left(\omega t + \phi + \frac{\pi}{2}\right)$$

Nous voyons aisément, d'après ces deux dernières formules, que v et i sont constamment en quadrature dans le temps et dans l'espace. La puissance transportée sera donc purement réactive. Autrement dit, il n'y a pas de transmission d'énergie active. Ce sont là les caractéristiques d'un régime d'ondes stationnaires.

- Recherchons la périodicité des variations de la tension et du courant dans le temps et dans l'espace, d'après les relations (17) et (18):
- Si nous prenons x comme variable : i est nul pour :  $\beta x = (2k + 1) \pi/2 \implies x = (2k + 1) \lambda/4$

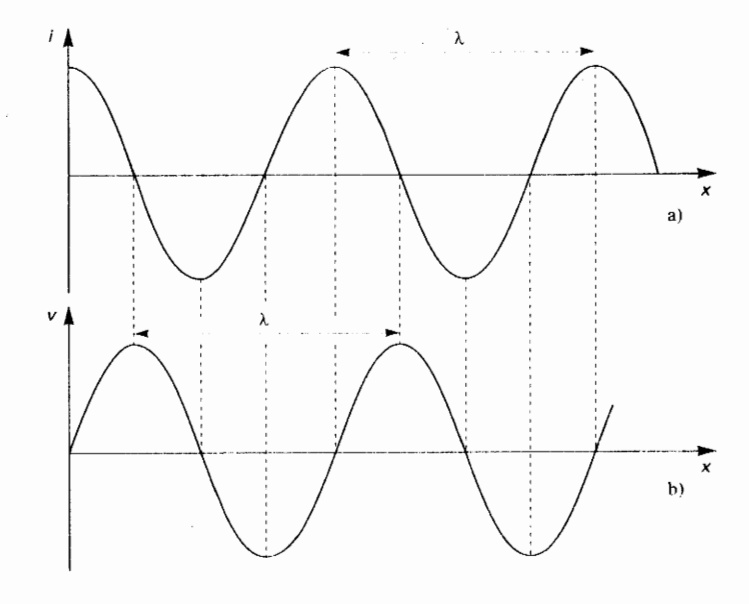
i est nul pour :  $\beta x = (2k + 1) \pi/2 \implies x = (2k + 1)$ i est max ou min pour :  $\beta x = k \pi \implies x = k \lambda/2$ .

La figure 2a représente ces variations. Nous y voyons que deux points où i est nul sont distants de  $\lambda/2$ , deux minima ou deux maxima sont distants de  $\lambda$ . Il apparaît donc pour i une périodicité dans l'espace de  $\lambda$ .

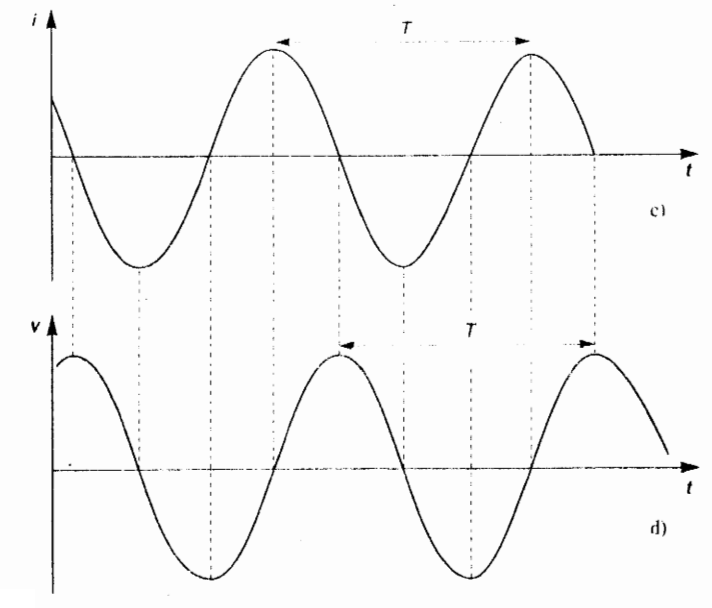
• Si nous prenons t comme variable: i est nul pour:  $(\omega t + \phi) = (2k + 1) \pi/2 \implies t = (2k + 1) T/4 - \phi/\omega$ 

i est max ou min pour :  $(\omega t + \phi) = k \pi \implies t = k T/2 - \phi/\omega$ 

Les variations de i en f(i) sont représentées sur la figure 2c; nous y voyons que deux instants où i est nul sont séparés par T/2 et que deux minima ou deux maxima sont séparés par T. Il en résulte que i a une périodicité dans le temps de T.







#### Remarque

Avec les appareils de mesure habituels — milivoltmètre 'HF ou indicateur d'ondes stationnaires (voir § 3.5 « Mesures de tensions sur une ligne ») — la périodicité que l'on observe est \(\lambda/2\), puisque ces appareils mesurent des valeurs efficaces.

- Pour la tension (fig. 2b et 2d) les phénomènes sont identiques, mais :
- À un instant donné, ν est nul aux endroits où i est max ou min et réciproquement.
- À un endroit donné, v est nul aux instants où i est max ou min et réciproquement.

Il ne faut pas oublier que, lors des mesures, ce sont les valeurs efficaces de la tension et du courant qui sont accessibles, c'est-à-dire  $V(x)/\sqrt{2}$  et  $I(x)/\sqrt{2}$ .

Or

tg βx

$$V(x) = Z_c I_R |\sin \beta x| \tag{19a}$$

$$I(x) = I_R |\cos \beta x| \tag{19b}$$

Les valeurs absolues de sin  $\beta x$  et de cos  $\beta x$  expliquent le fait que l'on observe une périodicité de  $\lambda/2$  et non de  $\lambda$ .

# b) Variations de l'impédance d'entrée d'une ligne en court-circuit

Puisque  $Z(x) = j Z_c$  tg  $\beta x$ , les variations de l'impédance d'entrée d'une ligne en court-circuit sont les mêmes que celles de tg  $\beta x$ . C'est pourquoi nous avons représenté ces variations en fonction de  $\beta x$  sur la figure 3.

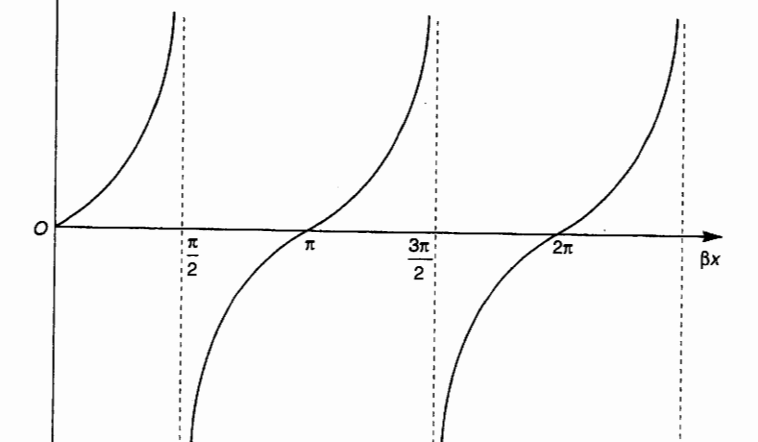


Figure 3. Variations de la  $\lg \beta x : \text{si } \lg \beta x > 0$ ,  $Z_e \text{ est inductive };$   $\text{si } \lg \beta x < 0$ ,  $Z_e \text{ est capacitive.}$ 

- Pour  $0 < \beta x < \pi/2$ ,  $Z_e$  est inductive. Une ligne court-circuitée de longueur comprise entre 0 et  $\lambda/4$  est équivalente à une inductance.
- Pour  $\beta x = \pi/2$ ,  $Z_e = \infty$ . Une ligne court-circuitée de longueur  $\lambda/4$  est équivalente à un circuit résonnant parallèle à la résonance.

- Pour  $\pi/2 < \beta x < \pi$ ,  $Z_e$  est capacitive. Une ligne court-circuitée de longueur comprise entre  $\lambda/4$  et  $\lambda/2$  est équivalente à une capacitance.
- Pour βx = π, Z<sub>e</sub> = 0. Une ligne court-circuitée de longueur λ/2 est équivalente à un circuit résonnant série à la résonance.

Le stub constitue une application directe de ces propriétés. Le stub est un élément de ligne court-circuitée, de longueur variable. Il sert à réaliser une impédance d'entrée variable simplement en agissant sur sa longueur. Le stub  $\lambda/4$  est utilisé comme isolateur (propriété déjà vue au 2.7).

# 3.3.2 Ligne en circuit ouvert

Puisque  $Z_R = \infty$ ,  $\Gamma_R = 1$  et  $I_R = 0$ . Donc:

$$\underline{V}(x) = \underline{V}_R \operatorname{ch} \gamma x \tag{20}$$

$$\underline{I}(x) = \frac{\underline{V}_R}{Z_c} \sinh \gamma x \tag{21}$$

$$Z(x) = \frac{Z_c}{\text{th } \gamma x} \tag{22}$$

Dans le cas des lignes sans pertes, nous avons :

$$\underline{V}(x) = \underline{V}_R \cos \beta x \tag{23}$$

$$\underline{I}(x) = j \left( \frac{\underline{V}_R}{Z_c} \right) \sin \beta x \tag{24}$$

$$Z(x) = -j \frac{Z_c}{\lg \beta x}$$
 (25)

Comme au paragraphe 3.3.1 « Ligne en court-circuit », passons aux valeurs physiques réelles :

$$v(x, t) = \Re \left[ \underline{V}(x) e^{j\omega t} \right]$$
$$i(x, t) = \Re \left[ \underline{I}(x) e^{j\omega t} \right]$$

Soit:

$$v(x, t) = V_R \sin\left(\beta x + \frac{\pi}{2}\right) \cos\left(\omega t + \phi\right)$$
 (26)

$$i(x, t) = \frac{V_R}{Z_c} \sin \beta \hat{x} \cos \left( \omega t + \phi + \frac{\pi}{2} \right)$$
 (27)

v(x, t) et i(x, t) étant ici constamment en quadrature, nous observerons sur la ligne un régime d'ondes stationnaires. La seule différence avec le cas de la ligne en court-circuit c'est que les variations de la tension et du courant sont ici les mêmes, dans le temps et dans l'espace, que celles observées au paragraphe 3.3.1 « Ligne en court-circuit » respectivement pour le courant et la tension.

ongueur

walente

(20)

(22)

(24)

(25)

leurs phy-

(26)

**(27)** 

ons sur la de la ligne sont ici les raphe 3.3.1

RE RUX variations de l'impédance d'entrée, elles sont les mêmes que celles de by et les valeurs de  $Z(x)/Z_c$  sont exactement inverses de celles du cas pré-

# **13.2** Ligne terminée sur une réactance

Dans ce cas :

$$Z_R = j X_R \text{ et } \underline{\Gamma}_R = \frac{j X_R - Z_c}{j X_R + Z_c}$$

**Dans les cas où**  $Z_c$  est réel :  $\Gamma_R = -\frac{Z_c - j X_R}{Z_c + j X_R}$ 

$$\underline{\Gamma}_R = -\frac{Z_c - j X_R}{Z_c + j X_R}$$

**L** est donc de la forme  $\Gamma_R$  e  $^{\mathrm{j}\phi}$ . Nous avons :

$$\Gamma_R = 1$$
 et  $\phi = \text{Arg } \Gamma_R = \pi - 2 \arctan \frac{X_R}{Z_C}$  (28)

Nous pouvons écrire, d'après les expressions (3a) et (3b) :

$$V(x) = V_i e^{\gamma x} [1 + e^{j\phi} e^{-2\gamma x}]$$
 (29)

$$I(x) = I_i e^{\gamma x} [1 - e^{j\phi} e^{-2\gamma x}]$$
 (30)

B. dans le cas des lignes sans pertes :

$$\underline{V}(x) = \underline{V}_i e^{j\beta x} \left[ 1 + e^{j(\phi - 2\beta x)} \right]$$
 (31)

$$\underline{I}(x) = \underline{I}_i e^{j\beta x} \left[ 1 - e^{j(\phi - 2\beta x)} \right]$$
 (32)

• Pour  $\phi - 2\beta x = 2k\pi$ , la tension est max et le courant est nul.

Pour  $\phi - 2\beta x = (2k + 1) \pi$ , le courant est max et la tension est nulle.

variation de la tension et du courant est donc la même que dans le cas d'une Libe en court-circuit ou en circuit ouvert, mais les maxima et les minima nuls sont tous décalés d'une longueur identique dépendant de la valeur de la charge.

# CAS GÉNÉRAL DES LIGNES À COEFFICIENT DE RÉFLEXION QUELCONQUE

De la définition du coefficient de réflexion en un point quelconque d'une ligne donnée au paragraphe 3.1 « Équations correspondant aux nouvelles hypothèses », il résulte que les formules fondamentales (3a) et (3b) peuvent s'écrire :

$$\underline{Y}(x) = \underline{Y}_i e^{\gamma x} \left[ 1 + \underline{\Gamma}_R e^{-2\gamma x} \right]$$
 (33)

$$I(x) = I_i e^{\gamma x} [1 - \Gamma_R e^{-2\gamma x}]$$
 (34)

d'où:

$$Z(x) = Z_C \frac{1 + \Gamma_R e^{-2\gamma x}}{1 - \Gamma_R e^{-2\gamma x}}$$
(35)

Dans le cas des lignes sans perte et en tenant compte du fait que  $\Gamma_R = \Gamma_R e^{j\phi}$ :

$$\underline{V}(x) = \underline{V}_i e^{j\beta x} \left[ 1 + \Gamma_R e^{j(\phi - 2\beta x)} \right]$$
(36)

$$\underline{I}(x) = \underline{I}_i e^{j\beta x} \left[ 1 - \Gamma_R e^{j(\phi - 2\beta x)} \right]$$
(37)

$$Z(x) = Z_c \frac{1 + \Gamma_R e^{j(\phi - 2\beta x)}}{1 - \Gamma_R e^{j(\phi - 2\beta x)}}$$
(38)

Intéressons-nous aux valeurs efficaces (que l'on observe avec les appareils de mesures). Il suffit pour les avoir de prendre le module des amplitudes complexes et de diviser par  $\sqrt{2}$ .

$$V(x) = \frac{V_i}{\sqrt{2}} \left| 1 + \Gamma_R e^{j(\phi - 2\beta x)} \right|$$
 (39)

$$I(x) = \frac{I_i}{\sqrt{2}} \left| 1 - \Gamma_R e^{j(\phi - 2\beta x)} \right|$$
 (40)

$$Z(x) = Z_c \frac{\left| 1 + \Gamma_R e^{j(\phi - 2\beta x)} \right|}{\left| 1 - \Gamma_R e^{j(\phi - 2\beta x)} \right|}$$
(41)

# 3.4.1 Étude des variations de V, I et Z

#### a) Pour $\phi - 2\beta x = 2k\pi$

· La tension est maximale

$$\underline{V}_{M} = \underline{V}_{i} (1 + \Gamma_{R})$$
 ou  $V_{M} = \left(\frac{V_{i}}{\sqrt{2}}\right) (1 + \Gamma_{R})$  (42)

· Le courant est minimal :

$$\underline{l}_{m} = \underline{l}_{i} (1 - \Gamma_{R}) \qquad \text{ou} \qquad l_{m} = \left(\frac{l_{i}}{\sqrt{2}}\right) (1 - \Gamma_{R})$$
 (43)

• L'impédance est maximale :

$$Z_{\rm M} = Z_{\rm c} \frac{1 + \Gamma_{\rm R}}{1 - \Gamma_{\rm R}} \tag{44}$$

#### b) Pour $\phi - 2\beta x = (2k + 1) \pi$

· La tension est minimale :

$$\underline{V}_{m} = \underline{V}_{i} (1 - \Gamma_{R}) e^{i\beta x}$$
 ou  $V_{m} = \left(\frac{V_{i}}{\sqrt{2}}\right) (1 - \Gamma_{R})$  (45)

· Le courant est maximal:

$$I_{\mathbf{M}} = I_{i} (1 + \Gamma_{R}) e^{j\beta x}$$
 ou  $I_{\mathbf{M}} = \left(\frac{I_{i}}{\sqrt{2}}\right) (1 + \Gamma_{R})$  (46)

• L'impédance est minimale :

$$Z_{\rm m} = Z_c \frac{1 - \Gamma_R}{1 + \Gamma_R} \tag{47}$$

Deux maxima ou deux minima étant séparés par  $\lambda/2$ , nous pouvons en conclure que les variations de toutes ces quantités se font avec une périodicité de  $\lambda/2$ . Pour mettre en évidence qu'il s'agit d'une variation sinusoïdale, il suffit de considérer l'expression de la tension, par exemple :

$$V(x) = \frac{V_i}{\sqrt{2}} \left| 1 + \Gamma_R e^{j(\phi - 2\beta x)} \right|$$

Soit:

$$V(x) = \left(\frac{y_i}{\sqrt{2}}\right) \sqrt{1 + 2\Gamma_R \cos(\phi - 2\beta x) + \Gamma_R^2}$$
 (48)

c) Faisons une représentation graphique de ces phénomènes (fig. 4):

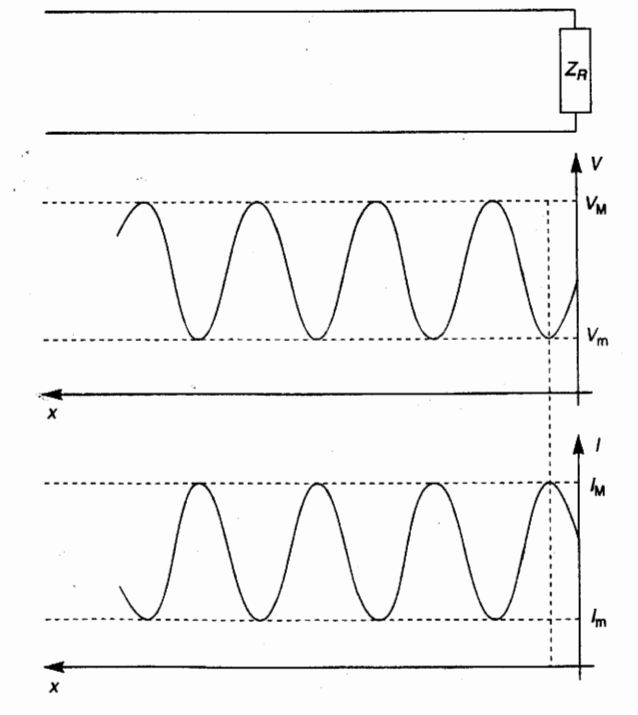


Figure 4. Variations des valeurs efficaces de la tension, et du courant en régime d'ondes semi-stationnaires.

- La tension oscille entre V<sub>M</sub> et V<sub>m</sub>.
- Le courant oscille entre I<sub>M</sub> et I<sub>m</sub>.
- L'impédance oscille entre Z<sub>M</sub> et Z<sub>m</sub>.

Ces variations se font avec une périodicité de  $\lambda/2$ , la tension et le courant étant en quadrature. Si l'on considère, par exemple, les variations de la tension, nous pouvons décomposer ce régime en la superposition ;

- d'un régime d'ondes progressives d'amplitude  $V_m$ ;
- à un régime d'ondes stationnaires d'amplitude variant de 0 à  $V_{\rm M} V_{\rm m}$ .

On peut donc parler de régime semi-stationnaire avec comme cas particuliers :

- si  $\Gamma_R = 1$  le régime d'ondes stationnaires (O.S.) pures ;
- si  $\Gamma_R = 0$  le régime d'ondes progressives (O.P.) pures.

# 3.4.2 Rapport d'ondes stationnaires

La quantité  $V_{\rm M}/V_{\rm m} = I_{\rm M}/I_{\rm m} = \rho$  est appelée le Rapport d'Ondes Stationnaires ou R.O.S.; en anglais: Voltage Standing Waves Ratio ou V.S.W.R. Elle est liée au module du coefficient de réflexion de la charge par :

$$\rho = \frac{1 + \Gamma_R}{1 - \Gamma_R} \tag{49}$$

Comme  $0 \le \Gamma_R \le 1$ , la valeur de  $\rho$  est comprise entre 1 et l'infini.

Lorsque p est voisin de 1, on peut dire que le régime qui est établi sur la ligne étudiée est proche du régime d'ondes progressives. Dès que p vaut quelques unités, c'est qu'il y a une désadaptation ligne-charge assez sérieuse. Enfin, des valeurs de p supérieures à 10 caractérisent un régime qui se rapproche du régime d'ondes stationnaires.

Le R.O.S. est parfois appelé T.O.S. (Taux d'Ondes Stationnaires) ce qui n'est pas une appellation très judicieuse pour une quantité qui n'est pas comprise entre 0 et 1.

Notons enfin deux importantes relations :

$$Z_{\rm M} = \frac{V_{\rm M}}{I_{\rm m}} = \rho Z_{\rm c}^{\rm A} \tag{50}$$

$$Z_{\rm m} = \frac{V_{\rm m}}{I_{\rm M}} = \frac{Z_c}{\rho} \tag{51}$$

Comme, en général,  $Z_c$  est réelle,  $Z_{\rm M}$  et  $Z_{\rm m}$  sont réelles ; nous pouvons donc énoncer ce résultat très important :

nt étant n, nous

iers :

nnaires est liée

(49)

la ligne uelques fin, des régime

n'est mprise

**(50)** 

(51)

ns donc

Prsqu'une ligne d'impédance caractéristique réelle est fermée sur une impéence quelconque, il y a deux points de cette ligne où l'impédance est réelle : ce les points où la tension est maximale et minimale. La valeur de l'impédance es points est égale au produit et au quotient de l'impédance caractéristique na le R.O.S.

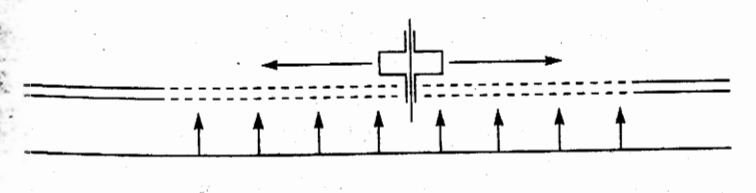
# MESURES DE TENSIONS SUR UNE LIGNE

# 3.5.1 La ligne de mesures

est l'élément indispensable pour que l'on puisse effectuer des mesures sur une le le se compose (fig. 5):

- d'un tronçon de ligne, identique à la ligne que l'on veut étudier, à la surface duquel une fente longitudinale a été usinée sur une longueur d'au moins une longueur d'onde;
- d'un chariot que l'on peut déplacer avec grande précision le long de ce tronçon de ligne fendue;
- d'une sonde très fine portée par le chariot et qui peut pénétrer par la fente à l'intérieur de la ligne à étudier.

La sonde jouant le rôle d'antenne pour le champ électrique sera donc sensible à tension sur la ligne à l'endroit où elle se trouye. Cette tension pourra être mesurée à l'aide d'un millivoltmètre (VHF ou UHF selon la fréquence à laquelle fonctionne cette ligne) qui en donnera la valeur efficace. Mais les millivoltmètres sont très coûteux dans ces gammes de fréquences et n'existent pas en hyperfréquences. Aussi préfère-t-on associer à la sonde un appareillage de mesure plus simple, valable de la HF aux hyperfréquences, l'indicateur d'ondes stationnaires.



# 3.5.2 Indicateur d'ondes stationnaires

Lest constitué, selon le schéma équivalent de la figure 6 :

cristal détecteur choisi pour la gamme de fréquences utilisées ;

· d'un milliampèremètre ou millivoltmètre continu.

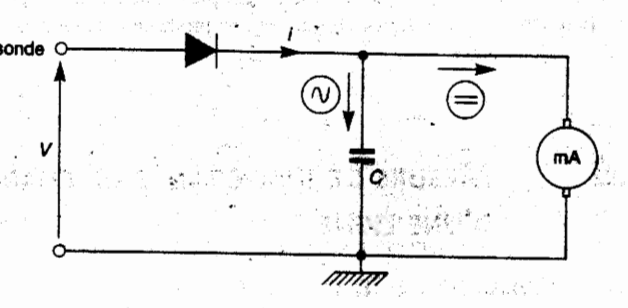


Figure 6.
Schéma équivalent
d'un indicateur
d'ondes stationnaires.

Soit  $v = A \cos \omega t$  la tension appliquée au cristal détecteur par l'intermédiaire de la sonde (cette tension est directement proportionnelle à la tension sur la ligne à l'endroit où se trouve la sonde). Si v est dans les limites convenables — précisées par les constructeurs pour chaque type de cristal — le courant qu'il délivre est de la forme :  $i = a_1 v + a_2 v^2 + \text{termes d'ordre supérieur négligeables}$ .

Soit:

$$i = a_1 (A \cos \omega t) + a_2 (A \cos \omega t)^2$$

$$i = a_1 A \cos \omega t + \frac{a_2 A^2}{2} \cos 2\omega t + \frac{a_2 A^2}{2}$$

Les composantes alternatives sont court-circuitées par la capacité. Seule parvient au milliampèremètre la composante continue qui est proportionnelle au carré de l'amplitude de la tension appliquée au cristal.

Le milliampèremètre donnera donc une indication proportionnelle au carré de l'amplitude de la tension HF sur la ligne ; on dit que la diode est à détection quadratique.

Soit  $i_{\rm M}(i_{\rm m})$  le courant lu sur le milliampèremètre lorsque la sonde se trouve en un maximum (minimum) de tension sur la ligne. Le R.O.S. devra être calculé d'après :

$$\rho = \frac{V_{\rm M}}{V_{\rm m}} = \sqrt{\frac{i_{\rm M}}{i_{\rm m}}} \tag{52}$$

# 3.5.3 Mesure du R.O.S. à niveau constant

Une autre méthode de mesure du R.O.S. consiste à opérer avec un niveau constant, soit  $i_0$ , du courant détecté. En un maximum de tension  $V_{\mathbf{M}}$ , réglons à  $A_{\mathbf{M}}$  (dB) l'atténuation d'un atténuateur calibré de précision pour que le courant détecté soit  $i_0$ . En un minimum de tension  $V_{\mathbf{m}}$ , l'atténuateur devra être réglé à  $A_{\mathbf{m}}$  (dB) pour que le courant détecté soit toujours égal à  $i_0$ ; nous avois :  $20 \log V_{\mathbf{M}}/V_{\mathbf{m}} = A_{\mathbf{M}} - A_{\mathbf{m}}$  (dB).

D'où: 
$$\rho = 10 \frac{A_{\rm M} - A_{\rm m}}{20}$$
 (53)

L'intérêt de cette méthode est que la détermination du R.O.S. reste précise, même si le courant détecté par la diode n'est plus exactement proportionnel au carré de la tension sur la ligne, ce qui peut se produire avec une diode vieillissante ou endommagée.

# 3.6 MESURE DE L'IMPÉDANCE DE CHARGE D'UNE LIGNE

#### 3.6.1 Principe de la mesure

Il résulte de la relation (10) que :

$$Z_R = Z_C \frac{1 + \Gamma_R}{1 - \Gamma_R} \tag{54}$$

Le calcul de l'impédance de charge d'une ligne d'impédance caractéristique  $Z_c$  connue nécessite donc la détermination du coefficient de réflexion de la charge :  $\Gamma_R = \Gamma_R \, \mathrm{e}^{\mathrm{j}\phi}$ .

Cela peut se faire à partir de la configuration de la tension le long de la ligne. Nous avons vu, en effet, que :

$$\rho = \frac{1 + \Gamma_R}{1 - \Gamma_R}$$

Donc, après avoir mesuré le R.O.S., on pourra calculer :

$$\Gamma_R = \frac{\rho - 1}{\rho + 1} \tag{55}$$

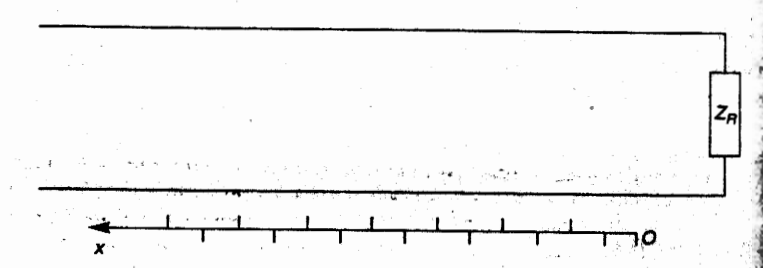
D'autre part, la position d'un minimum de tension est définie, à partir de la charge par :  $\phi - 2\beta x_m = (2k+1)\pi$ .

Donc, la mesure de  $x_m$  permettra de trouver à  $2k\pi$  près :

$$\phi = 2\beta x_{\mathbf{m}} + \pi \tag{56}$$

#### 3.6.2 Technique de mesure

La mesure du R.O.S. découle directement de ce qui a été exposé au paragraphe 3.5.2 « Indicateur d'ondes stationnaires ». La mesure de  $x_{\rm m}$  est aisée lorsqu'il est possible de connaître avec précision la distance entre la charge et l'un des minima de tension sur la ligne.



Mais, dans certains cas, la graduation portée par la ligne de mesure ne donne par la distance du point où se trouve la sonde à la charge : soit que cette graduation n'ait pas été positionnée de telle sorte que son zéro coïncide avec l'extrémité de la ligne de mesure où l'on place les charges à mesurer, soit que la charge n'ai pas été insérée en bout de ligne mais plus loin (fig. 7).

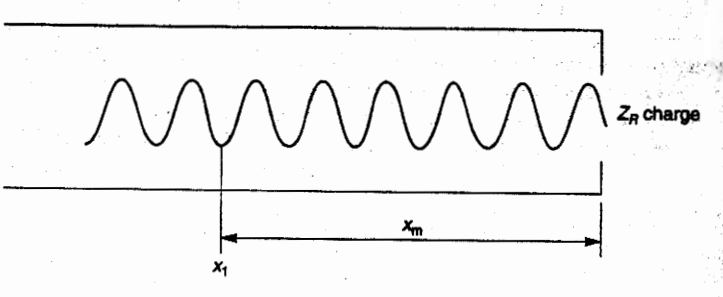
La méthode de mesure de  $x_{\rm m}$  sera alors la suivante (fig. 8a et 8b) :

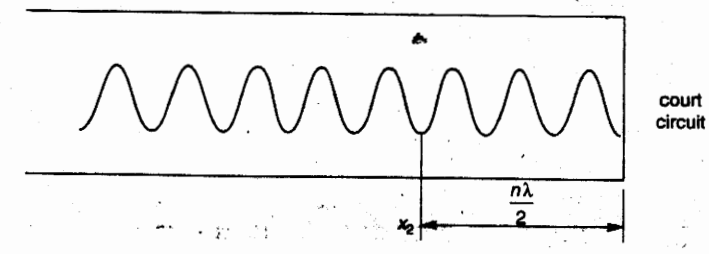
- a) Placer la charge étudiée et pointer sur la ligne de mesure la position x<sub>1</sub> d'un minimum de tension.
- b) Remplacer la charge par un court-circuit et pointer la position  $x_2$  d'un minimum nul de tension. Nous savons dans ce cas que :  $x_2 = n \lambda/2$ .
- c) x<sub>m</sub> sera enfin déterminé par :

$$x_{\rm m} = x_1 - x_2 + n \, \frac{\lambda}{2} \tag{57}$$

ce qui donnera toujours à 2km près:

$$\phi = 2\beta(x_1 - x_2) + \pi \tag{58}$$





#### **EXERCICE 3.1**

(Paragraphe 3.1 – Équations correspondant aux nouvelles hypothèses)

Une ligne de longueur  $\ell = 10$  m a les caractéristiques suivantes :

$$Z_c = 500 \Omega$$
;  $\alpha = 0$ ;  $\beta = 2,856 \text{ rad/m}$ .

L'impédance de charge est :

$$Z_R = 2\ 000 + \mathrm{j}\ 1\ 000\ \Omega.$$

Le courant dans cette charge est :

$$I_R = 0.0341 \text{ e}^{-\text{j} 45.166^\circ} \text{ A}.$$

- 1) Calculer la tension  $\underline{Y}_e$  et le courant  $\underline{I}_e$  à l'entrée de la ligne  $(x = \ell)$ .
- 2) En déduire  $Z_e$  et, pour vérifier le résultat, calculer  $Z_e$  par la formule de transformation des impédances.
- 3) Puissance active transportée par la ligne.



#### **EXERCICE 3.2**

(Paragraphes 3.1 et 3.2 - Coefficient de réflexion)

Une ligne d'impédance caractéristique  $Z_c$  = 75  $\Omega$  est terminée par une impédance de charge  $Z_R$  = 125 + j 100  $\Omega$ .

1) Calculer les valeurs de  $\Gamma_R$  en coordonnées polaires et en cartésiennes.

- 2) Sachant que  $V_R = 143.2$  V, calculer  $V_i$  et  $V_r$ .
- Si la phase de <u>V</u><sub>i</sub> est prise pour référence, déterminer <u>V</u><sub>i</sub>, <u>V</u><sub>r</sub>, <u>I</u><sub>i</sub> et <u>I</u><sub>r</sub>.
- En déduire <u>V</u><sub>R</sub>, <u>I</u><sub>R</sub> et la puissance active absorbée par la charge.



#### **EXERCICE 3.3**

(Paragraphe 3.2 - Coefficient de réflexion)

- 1) Exprimer le module et l'argument du coefficient de réflexion d'une impédance réactive pure :  $Z_R = j \ X_R \ (X_R > 0 \ \text{ou} < 0)$  chargeant une ligne d'impédance caractéristique  $Z_c$  réelle.
- 2) Application au cas où  $Z_c = 75 \Omega$  et :
  - a)  $Z_R = j \ 100 \Omega$  (charge inductive),
  - **b)**  $Z_R = -j 50 \Omega$  (charge capacitive).



#### **EXERCICE 3.4**

(Paragraphes 3.2 et 3.4 – Cas général des lignes à coefficient de réflexion quelconque)

Une ligne coaxiale d'impédance caractéristique 50  $\Omega$  alimente une antenne dont l'impédance d'entrée est de 300  $\Omega$ . Les pertes sont de 0,3 dB/m et la longueur d'onde de 0,3125 m.

- 1) Calculer  $\alpha$  (Np/m) et  $\beta$  (rad/m).
- 2) À une distance  $\ell = 1$  m de l'antenne, déterminer :
  - a) le coefficient de réflexion,
  - b) l'impédance.



#### **EXERCICE 3.5**

(Paragraphe 3.4 - Cas général des lignes à coefficient de réflexion quelconque)

Une ligne d'impédance caractéristique  $Z_c = 50 \Omega$  est fermée sur une impédance  $Z_R = 115 + j 75 \Omega$ . À la fréquence utilisée, le paramètre de phase  $\beta = 3,307 \text{ rad/m}$ .

- 1) Calculer  $\underline{\Gamma}_R$  et le R.O.S.
- Déterminer Z<sub>M</sub>, Z<sub>m</sub> et les positions x<sub>M</sub> et x<sub>m</sub> des premiers maxima et minima de tension à partir de la charge.



#### **EXERCICE 3.**

(Paragraphe 3.4 – Cas gér à coefficient de réflexion

Soit une ligne sans perte transance active de 100 W.  $Z_c = \rho = 2$ .

Calculer les valeurs efficaminimales, de la tension  $v_m$ ,  $I_M$ ,  $I_m$ .



#### **EXERCICE 3.**

(Paragraphe 3.6 – Mesure charge d'une

Même énoncé que pour l'ex de plus, que le 1<sup>er</sup> minimo 0,75 m de la charge et que  $\lambda$ 

- 1) Calculer  $\underline{\Gamma}_R$  et  $Z_R$ .
- 2) Calculer  $I_R$  et  $V_R$  en mod

efficaces, mar sion et du cour

#### E 3.7

1esure de l'impéd d'une ligne)

our l'exercice 3, ninimum de ten et que λ = 10 m.

en modules.

# Chapitre 4

### Diagramme de Smith

#### 4.1 INTÉRÊT

Nous avons vu, au chapitre précédent, qu'il y avait une relation simple (formule 35) entre le coefficient de réflexion  $\underline{\Gamma}(x) = \underline{\Gamma}_R e^{-2\gamma x}$  et l'impédance Z(x) en un point d'une ligne :

$$Z(x) = Z_c \frac{1 + \Gamma(x)}{1 - \Gamma(x)} \tag{1}$$

Dans le cas particulier où l'on se place sur l'impédance de charge :

$$Z_R = Z_c \frac{1 + \Gamma_R}{1 - \Gamma_R} \tag{2}$$

En raisonnant en impédances réduites z, qui sont le quotient de l'impédance Z par l'impédance caractéristique  $Z_c$ , nous avons :

$$z(x) = \frac{1 + \Gamma(x)}{1 - \Gamma(x)} \tag{3}$$

e

$$z_R = \frac{1 + \Gamma_R}{1 - \Gamma_R} \tag{4}$$

Il est donc possible de calculer  $z_R$  d'après le coefficient de réflexion  $\Gamma_R = \Gamma_R e^{j\phi}$ :

• la détermination de  $\Gamma_R$  résulte de la mesure du R.O.S. d'après :

$$\Gamma_R = \frac{\rho - 1}{\rho + 1} \tag{5}$$

- celle de  $\phi$  résulte du pointage d'un minimum de tension d'après :

$$\varphi = 2\beta x_{\rm m} + \pi \tag{6}$$

De même, il est possible de calculer z(x) d'après le coefficient de réflexion  $\underline{\Gamma}(x) = \underline{\Gamma}_R e^{-2\gamma x}$ . Mais ces calculs sont longs. Le diagramme de Smith est un abaque d'impédances qui permet, connaissant  $\underline{\Gamma}$ , de déterminer z et inversement.

# 4.2 PRINCIPE ET CONSTRUCTION DU DIAGRAMME

La valeur du coefficient de réflexion est, dans le cas général :

$$\underline{\Gamma}(x) = \frac{z(x) - 1}{z(x) + 1} \tag{7}$$

Nous savons que :  $\underline{\Gamma}(x) = \underline{\Gamma}_R e^{-2\gamma x}$ .

Dans le cas des lignes sans perte :  $\underline{\Gamma}(x) = \Gamma_R e^{j(\varphi - 2\beta x)}$ 

En posant : 
$$\psi = \varphi - 2\beta x$$
 (8)

la relation (7) peut s'écrire : 
$$\Gamma_R e^{j\psi} = \frac{z-1}{z+1}$$
 (9)

### **4.2.1** Représentation de $\Gamma_R$ e $j\psi$

Nous pouvons en faire deux représentations dans le plan complexe.

#### a) En coordonnées polaires (fig. 1a)

Figure 1a.

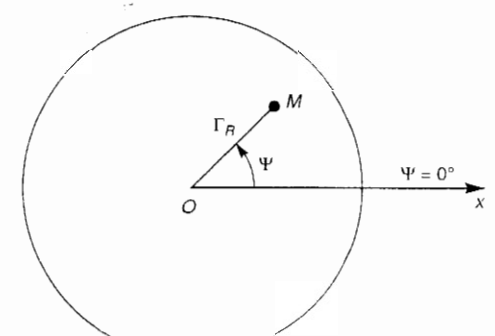
complexe

polaires:

Représentation de  $\underline{\Gamma}(x)$  dans le plan

en coordonnées

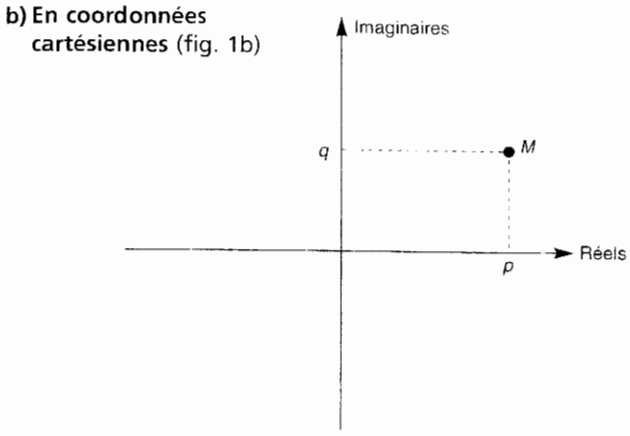
 $\underline{\Gamma}(x) = \Gamma_R e^{j\psi}$ 



Dans ce cas, les points représentatifs des différentes valeurs du coefficient de réflexion sont déterminés de façon unique à partir d'un point O de référence et d'un axe Ox de référence par :

- leur rayon vecteur qui est proportionnel à Γ<sub>R</sub>,
- leur position angulaire qui représente ψ.

Comme dans tous les cas  $\Gamma_R \le 1$ , un cercle de rayon unité comprendra toutes les valeurs possibles de l'impédance.



Cela est rendu possible puisque:

$$\Gamma_R e^{j\Psi} = p + jq \tag{10}$$

Dans ce cas, il suffit de rapporter le plan aux deux axes réel et imaginaire. Un point représentatif M est alors repéré de façon unique par :

• son abscisse p qui est la projection de M sur l'axe des réels :

$$p = \Gamma_R \cos \psi \tag{11}$$

• son ordonnée q qui est la projection de M sur l'axe des imaginaires :

$$q = \Gamma_R \sin \Psi \tag{12}$$

#### c) Compatibilité des deux représentations de $\Gamma_{\!\scriptscriptstyle R}$ e $^{\mathrm{j}\psi}$

Dans la mesure où l'origine et l'unité de longueur choisies sont les mêmes que dans la représentation précédente et si, en outre, l'axe des réels coïncide avec l'axe Ox, les points représentatifs obtenus en coordonnées cartésiennes et en coordonnées polaires sont confondus.

#### **4.2.2** Représentation de z = r + jx

Le coefficient de réflexion est connu (déterminé par les mesures). Nous venons d'en indiquer quelles en sont les deux représentations ; il s'agit maintenant de trouver l'impédance correspondante. Autrement dit, connaissant p et q, déterminer r et x. Pour cela, nous allons utiliser la relation :

$$p + jq = \frac{(r-1) + jx}{(r+1) + jx}$$
 (13)

déduite de (9) et (10) et qui lie le couple de valeurs (p, q) au couple (r, x). En égalant parties réelles et parties imaginaires, nous obtenons deux équations à deux inconnues r et x.

• r

٠,

ure 2.

■ Éliminons x entre ces deux équations ; il vient

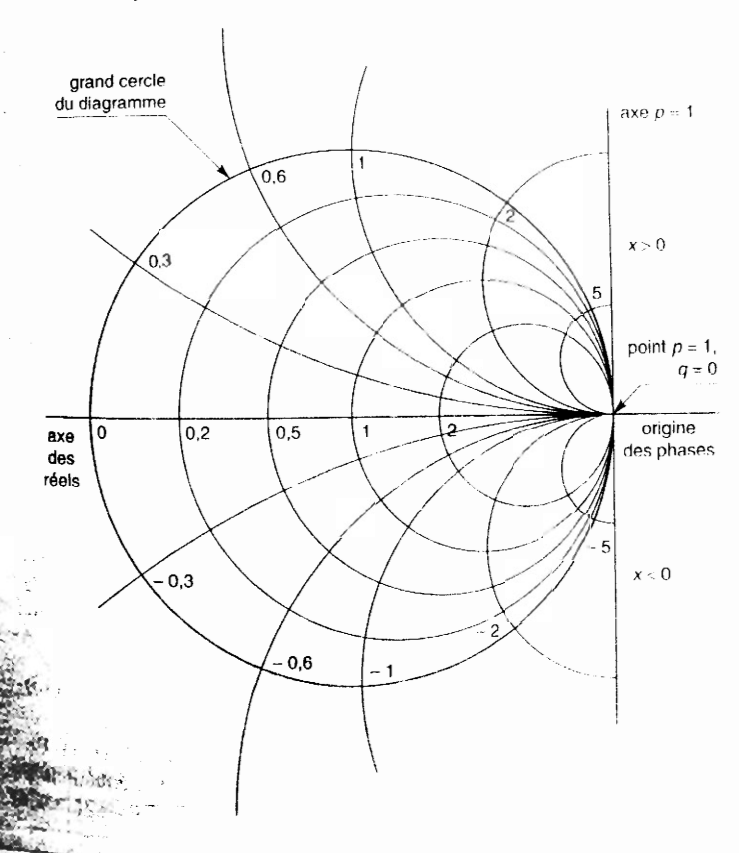
$$\left(p - \frac{r}{1+r}\right)^2 + q^2 = \left(\frac{1}{1+r}\right)^2 \tag{14}$$

Si p et q sont connus, il est possible de déterminer r par cette relation.

Mais on peut remarquer que, sous cette forme, cette relation définit des cercles de rayon  $1/(1+\tau)$ , centrés au point du plan complexe  $p=\tau(1+\tau)$ , q=0. Ce sont donc des cercles centrés sur l'axe p qui passent tous par un point fixe : p=1, q=0. Par conséquent, en prenant  $\tau$  comme paramètre, il sera possible de tracer, dans le plan complexe précédemment défini, un abaque dont chacun des cercles correspondra à une valeur de  $\tau$  (fig. 2).

Cas particuliers de ce faisceau de cercles à r = cte.

- r=0  $\rightarrow$  Cercle de centre (p=0, q=0) de rayon R=1. C'est le grand cercle du diagramme.
- $r = \infty$   $\rightarrow$  Cercle de centre (p = 1, q = 0) de rayon R = 0. C'est un cercle point.



(10)

ginaire. Un

(11)

(12)

mêmes que incide avec ennes et en

ous venons intenant de et q, déter-

(13)

le (r, x). En équations à

■ Éliminons r entre les deux équations ; il vient :

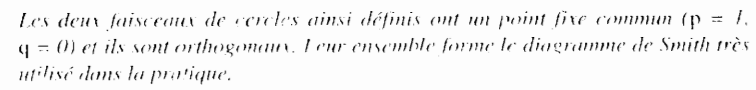
$$(p-1)^{2} + \left(q - \frac{1}{2}\right)^{2} = \left(\frac{1}{2}\right)^{2}$$
 (15)

Si p et q sont connus, il est possible de déterminer x par cette relation.

Mais, on peut remarquer, comme précédemment, que cette relation définit des cercles de rayon L x centrés au point du plan complexe p=1, q=1/x. Ce sont danc des cercles centrés sur un axe mené par p=1, parallèlement à l'axe imaginaire. Ils forment un faisceau dont le point fixe est p=1, q=0. Par conséquent, en prenant x comme paramètre, il est possible de tracer un abaque où, à chaque valeur de x, correspond un cercle (fig. 2)

Cas particuliers de ce faisceau de cercles à x = ete.

- x = 0 ⇒ Cercle de centre (p = 1, q = ∞) de rayon R = ∞. C'est l'axe hori zontal
- $x = \infty$   $\rightarrow$  Cercle de centre (p = 1, q = 0) de rayon R = 0. C'est un cercle point.





#### 4.3 Propriétés du diagramme

#### 4.3.1 Positionnement d'un point

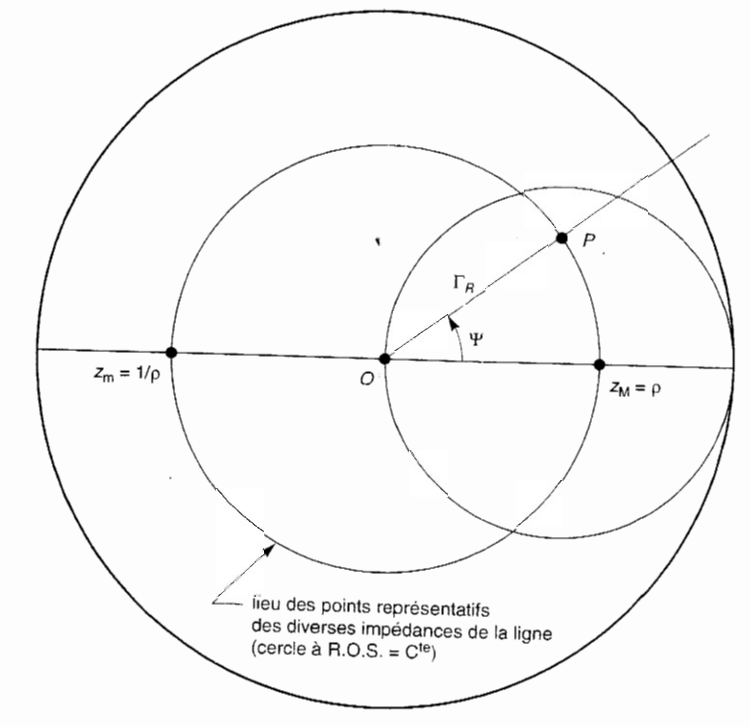
- Si l'on connaît \(\Gamma\_R\) et \(\psi\), le point représentatif (fig. 3) est à l'intersection du cercle ayant pour centre le centre du diagramme et pour rayon \(\Gamma\_R\) (se rappeler que pour le grand cercle du diagramme, \(\Gamma\_R=1\)\) avec la droite faisant l'angle \(\psi\) avec l'axe horizontal des réels (résistances), \(\psi\) étant compté comme sur le cercle trigonométrique.
- Si l'on connaît r et x, il suffit de positionner ce point par interpolation avec les faisceaux à r = cte et x = cte tracés sur le diagramme.

Dans l'un et l'autre cas, on voit combien il est aisé de passer de  $\Gamma_R$  e <sup>jiji</sup> à r+jx ou réciproquement.

# 4.3.2 Lieu des points représentatifs des diverses impédances de la ligne (fig. 3)

D'après la formule (7), les variations sur la ligne de l'impédance réduite et du coefficient de réflexion sont hées. Comme, sur le diagramme de Smith, un point représente z(x) et  $\underline{\Gamma}(x)$ , rechercher le fieu de  $\underline{\Gamma}(x)$  lorsque x varie revient au même que de rechercher le lieu de  $\underline{\Gamma}(x)$ 

Figure 3. Positionnement d'un point sur le diagramme de Smith. Lieu des points représentatifs de  $\underline{\Gamma}(x)$  et z(x).



Comme

$$\Gamma(x) = \Gamma_R e^{-2\alpha x} e^{j(\phi - 2\beta x)}$$
(16)

nous voyons que lorsque x varie :

- sur une ligne avec pertes, ce lieu est une spirale logarithmique ;
- sur une ligne sans perte, le lieu de  $\underline{\Gamma}(x)$  est un cercle de rayon  $\Gamma_R$  centré au centre de diagramme.

#### Donc:

- $\bullet$  pour une ligne avec pertes, il faut connaître  $\alpha$  pour pouvoir tracer la spirale logarithmique;
- pour une ligne sans perte, il suffira de connaître le point représentatif d'une de ses impédances pour pouvoir tracer le cercle sur lequel se trouvent les points représentatifs de toutes les impédances de la ligne.

#### Remarque

Aux intersections d'un tel cercle avec l'axe des réels, on lit le R.O.S. et son inverse. On sait, en effet, qu'il y a deux points de la ligne où l'impédance est réelle : ce sont les points où l'impédance est maximale ou minimale ; en ces points :

$$Z_{\mathbf{M}} = \rho Z_{c} \to z_{\mathbf{M}} = \rho \tag{17}$$

$$Z_{\rm M} = \rho Z_c \rightarrow z_{\rm M} = \rho \tag{17}$$

$$Z_{\rm m} = \frac{Z_c}{\rho} \rightarrow z_{\rm m} = \frac{1}{\rho} \tag{18}$$

- le point correspondant au maxima est entre 1 et  $\infty \to \rho$ ,
- le point correspondant au minima est entre 0 et 1  $\rightarrow$  1/ $\rho$ .

### 4.3.3 Diagramme d'admittance

Nous avons placé z = r + jx (r, résistance, x réactance) et nous voulons trouver  $y = g + \mathrm{j}b$  (g, conductance, b, susceptance). Il suffit pour cela de remarquer que :

$$z = \frac{1 + \Gamma_R e^{j\psi}}{1 - \Gamma_R e^{j\psi}}$$
 (19)

$$y = \frac{1 - \Gamma_R e^{j\Psi}}{1 + \Gamma_R e^{j\Psi}}$$
 (20)

On passe d'une formule à l'autre en ajoutant  $\pi$  à  $\psi$ .

Donc, le diagramme d'admittance se déduira du diagramme d'impédance par une symétrie par rapport au centre. Il suffira pour représenter une admittance de prendre le symétrique de r + jx.

### 4.3.4 Changement de base

Base 
$$Z_c$$
: 
$$z = \frac{Z_R}{Z_c} = r + jx$$
 (21)

Base 
$$Z'_c$$
:  $z' = \frac{Z_R}{Z'_c} = z \frac{Z_c}{Z'_c}$  (22)

### 4.3.5 Échelles marginales (fig. 4)

Une échelle donne les longueurs de ligne divisées par  $\lambda$  pour les déplacements :

- vers le générateur (en tournant dans le sens trigonométrique inverse);
- · vers la charge (en tournant dans le sens trigonométrique direct).

Une autre échelle donne directement les angles de déphasage par rapport à l'origine de  $0 \text{ à} + 180^{\circ}$ .

En dessous du diagramme de Smith, on trouve souvent, sous le titre Radially Scalled Parameters, des échelles qui ont une utilité pratique. Nous allons donner la signification des principales en renvoyant le lecteur, pour les autres, aux ouvrages spécialisés (voir référence bibliographique 28).

MICRO

agramme de S

trouver

ME DE SI

(19)

(20)

ince par tance de

(21)

(22)

ments:

rt à l'ori-

Radially ns donner tres, aux

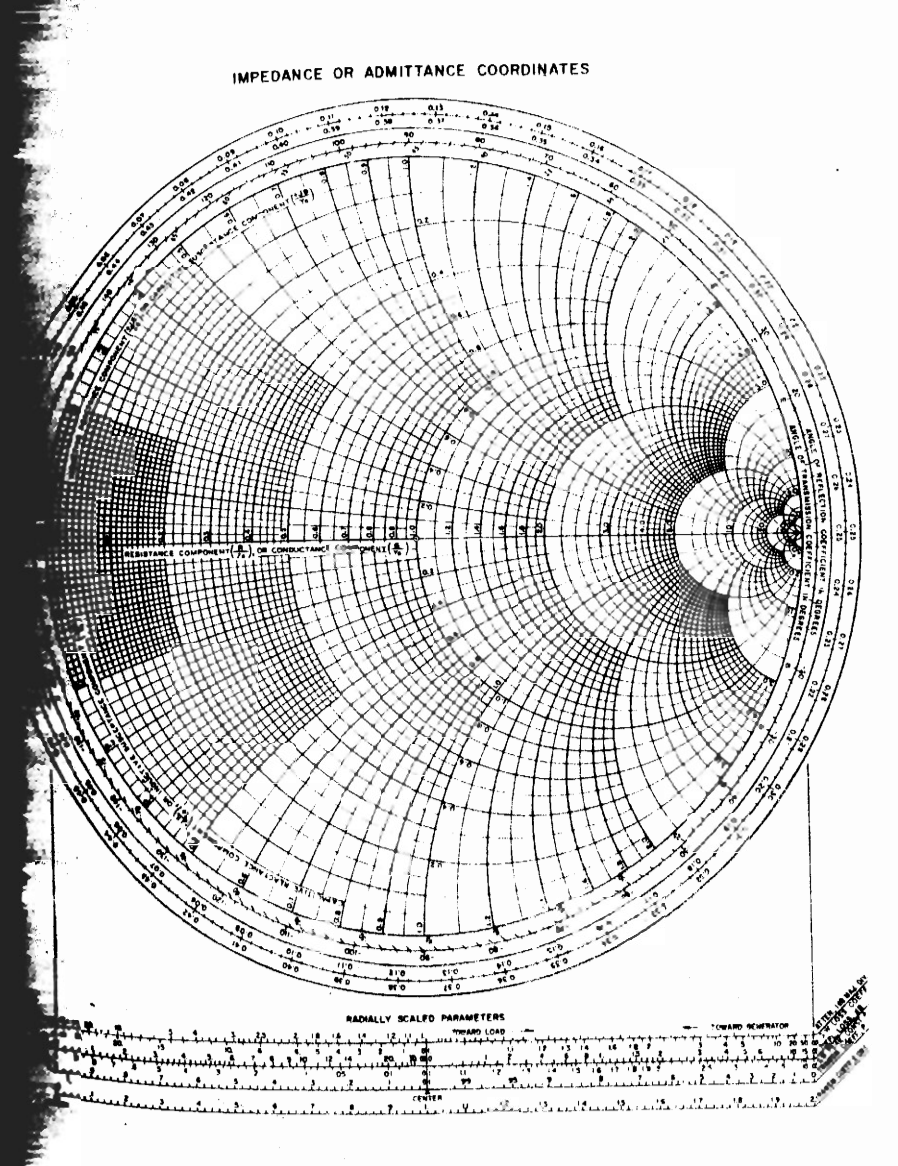


Figure 4. ne de Smith. Abaque extraite de « Electronic applications of the Smith chart » par P.H. Smith. Editions Mac Graw Hill, New York, USA (1969).

- 1. Une échelle marquée S.W.R. et une autre marquée Reflection coefficient donnent respectivement les valeurs du R.O.S. et du coefficient de réflexion d'une charge correspondant à un rayon vecteur OP.
- 2. L'échelle Return Loss in dB donne le rapport, calculé en dB, entre la puissance arrivant sur un plan de désadaptation d'une ligne ou sur une charge et la puissance réfléchie sur ce plan ou sur cette charge. La valeur de ce rapport est exprimée en fonction du coefficient de réflexion I sur ce plan ou sur cette charge par :  $-10 \log \Gamma^2$ .
- 3. L'échelle Reflected Loss in dB donne le rapport, calculé en dB, entre la puissance arrivant sur un plan de désadaptation d'une ligne ou sur une charge, et la puissance transmise an delà de ce plan on de cette charge. La valeur de ce rapport est exprimée en fonction de  $\Gamma$  par  $\sim 10 \log (1 - \Gamma^2)$ .

#### DÉTERMINATION DE L'IMPÉDANCE DE CHARGE D'UNE LIGNE

Nous avons expliqué au chapitre 3.6 comment on pouvait déterminer l'impédance de charge  $Z_R$  d'une ligne par le calcul en connaissant le R.O.S. et la position d'un minimum de tension sur la ligne. Nous allons voir que l'on peut trouver  $Z_R$  plus simplement et beaucoup plus rapidement à l'aide du diagramme de Smith (fig. 5).

D'abord, il faut tracer le cercle à R.O.S. = ete sur lequel se trouve l'impédance recherchée. Pour cela il suffit de repérei sur l'axe horizontal à droite, le point M correspondant au R.O.S. et par lequel passe ce cercle.

Ensuite, il suffit de constater que le point N, diamétralement oppose qui représente l'impédance minimale de la ligne, représente aussi un minimum de tension.

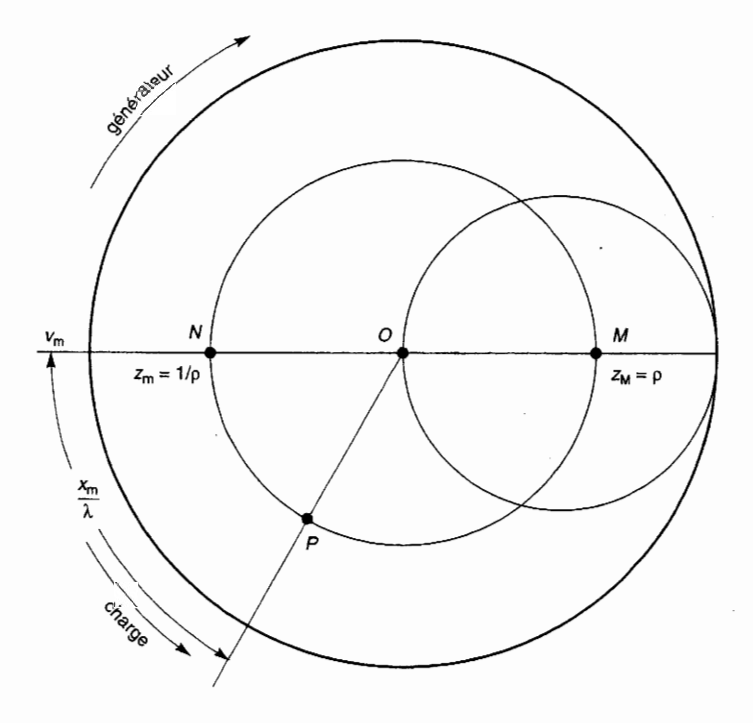
Soit, enfin a<sub>m</sub> la distance mesurée entre ce minimum de tension et la charge. En tournant à partir de N, vers la charge, de  $x_{\rm in}$   $\lambda$  nous obtenons le point P représentatif de l'impédance  $Z_R$  recherchée.

Une petite difficulté survient lorsque la distance  $x_{\rm m}$  doit être mesurée indirectement d'après :  $x_m = (x_1 - x_2) + n \lambda / 2$ .

Comme nous l'avons expliqué à la fin du chapitre précédent :

- si  $x_2$  se trouve entre  $x_1$  et le plan de la charge, la rotation de  $|x_1 x_2| = \lambda$  sur le diagramme doit bien être effectuée vers la charge :
- \* mais si y2 se trouve, au contraire, entre y4 et le générateur, la rotation de  $|x_1 - x_2| + \lambda$  doit alors être effectuée vers le générateur.

Figure 5.
Détermination du point P représentatif de l'impédance de charge d'une ligne.



#### **EXERCICES**



#### **EXERCICE 4.1**

(Paragraphes 4.3.1 et 4.3.3 – Positionnement d'un point et Diagramme d'admittance)

- 1) Sur une ligne sans perte d'impédance caractéristique  $Z_c = 50 \ \Omega$ , une impédance  $Z_R$  crée un coefficient de réflexion  $\Gamma_R = 0.54 \ {\rm e}^{\rm J}$   $^{\rm 128^\circ}$ . En utilisant l'abaque de Smith, déterminer : le R.O.S.  $\rho$ , l'impédance  $Z_R$  et l'admittance  $Y_R$ .
- 2) Mêmes questions pour  $\underline{\Gamma}_R = 0.4 \,\mathrm{e}^{-\mathrm{j}\,62^\circ}$ .



#### **EXERCICE 4.2**

(Paragraphes 4.3.1 et 4.3.3)

- 1) Soit une ligne sans perte d'impédance caractéristique  $Z_c = 50 \Omega$ , terminée par une impédance  $Z_R = 40 + j$  65  $\Omega$ . En utilisant l'abaque de Smith, déterminer : l'admittance  $Y_R$ , le R.O.S.  $\rho$ , le coefficient de réflexion  $\Gamma_R$  de la charge.
- 2) Mêmes questions pour  $Z_R = 30 j 70 \Omega$ .



#### **EXERCICE 4.3**

(Paragraphe 4.3 – Propriétés du diagramme de Smith)

Une ligne sans perte d'impédance caractéristique  $Z_c = 50 \Omega$  est chargée par l'impédance  $Z_R = 30 - j 55 \Omega$ .  $\lambda = 8 \text{ cm}$ .

1) Rapport d'ondes station  $\Gamma_R$ .

 $\begin{array}{c} \operatorname{con}_{1}(\lambda_{1} = \\ Z_{c_{1}} = \\ Z_{2} = (10) \end{array}$ 

 $\lambda_2 =$ 

dmitt

ces deux

sácha:

a une

- 2) Impédance ramenée à 11 🖾
- Position des maxima et m sur la ligne et valeur de l'i points.



#### **EXERCICE 4.4**

(Paragraphe 4.3 – Propriéle de Smith)

Une ligne sans perte de longud'impédance caractéristique Z minée par une impédance  $z_R$  valeur réduite.  $\lambda = 1.9$  m.

- 1) Déterminer son impédance
- 2) Rapport d'ondes stationne cient de réflexion  $\underline{\Gamma}_R$ .
- 3) Distance du 1<sup>er</sup> minimum charge et valeur de  $Z_{\rm m}$ .



#### EXERCICE 4.5

(Paragraphe 4.3 – Propriété) de Smith)

- Calculer la longueur d'u circuitée dont l'admittance (λ = 5 cm).
- Calculer la longueur d'ur ouvert dont l'impédance d' (λ = 10 cm).

### EXERCICE 4.6

eragraphe 4.3 – Propriétés du diagramme de Smith)

tronçons de ligne sont mis en parallèle :

In de  $Z_{c_1} = 50 \Omega$ , chargé par une impénce  $Z_1 = 50 - \text{j} 75 \Omega$ , de longueur  $z = 10 \text{ cm} (\lambda_1 = 30 \text{ cm})$ ;

where de  $Z_{c_2}$  = 75  $\Omega$ , chargé par une impérice  $Z_2$  = (100 + j 75)  $\Omega$ , de longueur  $\mathbb{P} 6$  cm ( $\lambda_2$  = 20 cm).

ther l'admittance  $Y_e$  ramenée entre les où ces deux tronçons de ligne sont mis allèle, sachant que la ligne à laquelle ils cotdent a une  $Z_c = 50 \ \Omega$ .

#### EXERCICE 4.7

graphe 4.4 - Détermination de l'impédance de charge d'une ligne)

the ligne sans perte de longueur  $\ell = 145$  cm quelle  $\lambda = 100$  cm. Cette ligne est ter-

minée par une impédance inconnue  $Z_R$ . On mesure un R.O.S. égal à 2.7 et la position du premier minimum de tension à partir de la charge est  $x_m = 34.8$  cm.

Déterminer en valeurs réduites :

- 1) L'impédance de la charge.
- 2) L'impédance d'entrée de la ligne.

#### **EXERCICE 4.8**

(Paragraphe 4.4 – Détermination de l'impédance de charge d'une ligne)

Une ligne sans perte d'impédance caractéristique  $Z_c = 50~\Omega$  est chargée par une impédance inconnue  $Z_R$ . On mesure un R.O.S. égal à 5 et une longueur d'onde  $\lambda = 50~\mathrm{cm}$ .

- Lorsqu'on court-circuite la ligne, un minimum de tension se déplace de 5,25 cm vers la charge; déterminer la valeur de Z<sub>R</sub>.
- 2) De combien et dans quel sens se serait déplacé un minimum si  $\mathbb{Z}_R$  avait été remplacée par un circuit ouvert ?

## Chapitre 5

# Les dispositifs d'adaptation

#### **5.1** LE PROBLÈME DE L'ADAPTATION



Figure 1. Gér ligne et récep-

Figure 2. Schéma équi

Le problème le plus général est schématisé sur la figure 1

#### Nous avons

- Un générateur de force électromotrice e = E<sub>i</sub> F(t), d'impédance interne complexe Z<sub>G</sub>.
- Une figne d'impédance caractéristique réelle  $Z_c$ .
- Un récepteur (ou charge) d'impédance complexe  $Z_R$ .

Il s'agit de transmettre, par l'intermédiaire de cette ligne, le maximum de puis sance du générateur vers le récepteur.

Le problème se pose, et se résout, à deux niveaux : au niveau du générateur et au niveau du récepteur. U faut, en effet, que :

- d'une part, le générateur puisse transmettre à la ligne le maximum de puissance (puissance disponible).
- d'autre part, le récepteur reçoive de la figne le plus possible de cette puissance.

.5

riétés du **é** ith)

onnaires

11 cm **de** 

et minim

le l'im**pé** 

riétés du d

ongueur -

que  $Z_c = 1$ 

 $z_R = 2, 1$ 

ance d'en ionnaires

num d'imi

r d'une l tance d'e

d'une liga ce d'entre - gramın

parallèle : une impéle longueur

de longueur

remenée entre les ligne sont mis laquelle ils

**L'impédance** 

 $\ell = 145$  cm ligne est ter-

minée par une impédance inconnue  $Z_R$ . On mesure un R.O.S. égal à 2,7 et la position du premier minimum de tension à partir de la charge est  $x_m = 34,8$  cm.

Déterminer en valeurs réduites :

- 1) L'impédance de la charge.
- 2) L'impédance d'entrée de la ligne.



#### **EXERCICE 4.8**

(Paragraphe 4.4 – Détermination de l'impédance de charge d'une ligne)

Une ligne sans perte d'impédance caractéristique  $Z_c = 50 \Omega$  est chargée par une impédance inconnue  $Z_R$ . On mesure un R.O.S. égal à 5 et une longueur d'onde  $\lambda = 50$  cm.

- Lorsqu'on court-circuite la ligne, un minimum de tension se déplace de 5,25 cm vers la charge; déterminer la valeur de Z<sub>R</sub>.
- 2) De combien et dans quel sens se serait déplacé un minimum si  $Z_R$  avait été remplacée par un circuit ouvert ?

# **Chapitre 5**

# Les dispositifs d'adaptation

#### **5.1** LE PROBLÈME DE L'ADAPTATION

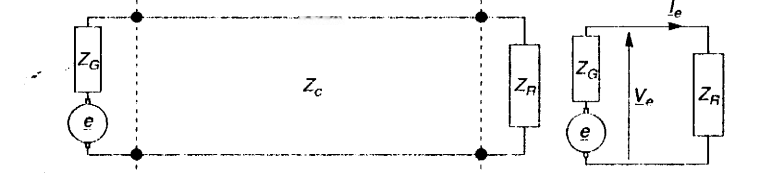


Figure 1. Génligne et récept

Figure 2. Schéma équiv

Le problème le plus général est schématisé sur la figure 1.

#### Nous avons:

- Un générateur de force électromotrice  $\underline{e} = \underline{E} \underline{F}(t)$ , d'impédance interne complexe  $Z_G$ .
- Une ligne d'impédance caractéristique réelle Z<sub>e</sub>.
- Un récepteur (ou charge) d'impédance complexe  $Z_R$ .

Il s'agit de transmettre, par l'intermédiaire de cette ligne, le maximum de puissance du générateur vers le récepteur.

Le problème se pose, et se résout, à deux niveaux : au niveau du générateur et au niveau du récepteur. Il faut, en effet, que :

- d'une part, le générateur puisse transmettre à la ligne le maximum de puissance (puissance disponible),
- d'autre part, le récepteur reçoive de la ligne le plus possible de cette puissance

pédance d'en

surformaires

eur de l'impé

inimum d'imp Z.,

5 5

Similar du

imittance de

eur d'une lig édance d'entre

MICRO-O

#### 5.2 CONDITIONS D'ADAPTATION

#### 5.2.1 Condition d'adaptation du générateur

Soit  $Z_e = R_e + j \ X_e$  l'impédance d'entrée de la ligne. Cela veut dire que tout se passe comme si le générateur était fermé sur  $Z_e$  (fig. 2). Calculons quelle est la puissance active P fournie par le générateur, d'impédance interne  $Z_G = R_G + j \ X_G$ , à la ligne. Soient  $\underline{V}_e$  et  $\underline{I}_e$  les amplitudes complexes de la tension et du courant à l'entrée de la ligne :

$$P = \frac{1}{2} \Re \left[ \underline{V}_e \, \underline{I}_e^* \right] = \frac{1}{2} \Re \left[ Z_e \, \underline{I}_e \, \underline{I}_e^* \right] = \frac{1}{2} \, R_e \, I_e^2 \tag{1}$$

Or:

$$\underline{I}_{e} = \frac{\underline{E}}{Z_{G} + Z_{e}} = \frac{\underline{E}}{(R_{G} + R_{e}) + j(X_{G} + X_{e})}$$
(2)

Donc:

$$P = \frac{1}{2} R_e \frac{E^2}{(R_G + R_e)^2 + (X_G + X_e)^2}$$
 (3)

Recherchons les conditions pour que la puissance délivrée soit maximale :

Il faut tout d'abord que :

$$X_G + X_e = 0 \rightarrow X_e = -X_G \tag{4}$$

· Nous avons alors:

$$P = \frac{1}{2} R_e \frac{E^2}{(R_G + R_e)^2} = \frac{1}{2} \cdot \frac{E^2}{\left(\frac{R_G}{\sqrt{R_e}} + \sqrt{R_e}\right)^2}$$
 (5)

Au dénominateur, nous avons la somme de deux nombres positifs dont le produit est constant. Pour que sa valeur soit minimale, il faut que :

$$\frac{R_G}{\sqrt{R_e}} = \sqrt{R_e} \rightarrow R_G = R_e \tag{6}$$

Finalement:

$$Z_e = Z_G^* \tag{7}$$

⇒ Il faudra donc placer entre la ligne et le récepteur un dispositif d'adaptation qui transforme l'impédance de charge Z<sub>R</sub> de la ligne en Z<sub>c</sub>.

⇒ Il faudra donc

utiliser un dispositif

d'adaptation qui transforme l'impédance d'entrée de la

ligne en ZG

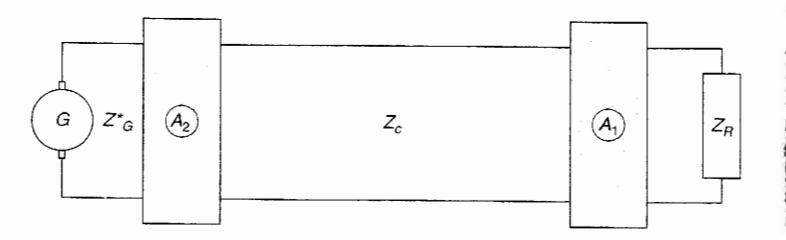
### 5.2.2 Condition d'adaptation du récepteur

Le récepteur est adapté à la ligne lorsque  $\Gamma_R=0$ , puisqu'alors il n'y a pas d'onde réfléchie ; nous sommes en régime d'ondes progressives et la puissance transmise par la ligne est uniquement de la puissance active. La condition  $\Gamma_R=0$  est réalisée lorsque :

$$Z_R = Z_c \tag{8}$$

#### 5.2.3 Synthèse de ces conditions

Nous venons de démontrer que, pour adapter le générateur d'impédance interne  $Z_G$ , au récepteur d'impédance  $Z_R$ , lorsqu'ils sont reliés par une ligne d'impédance caractéristique  $Z_c$ , il était nécessaire d'utiliser deux dispositifs d'adaptation (fig. 3) :



- l'un  $A_1$ , à l'interface ligne-récepteur, qui doit transformer l'impédance  $Z_R$  de la charge en une impédance  $Z_C$ . Notons que, dans ces conditions, l'impédance d'entrée de la ligne est :  $Z_C = Z_C$ ;
- l'autre  $A_2$ , à l'interface ligne-générateur, qui doit transformer l'impédance  $Z_e = Z_c$  en  $Z_G^*$ .

Dans le cas particulier où l'impédance interne du générateur  $Z_G$  est réelle, il suffit d'avoir  $Z_C=Z_G$  pour que l'adaptation soit réalisée du côté du générateur. Les générateurs commercialisés ont, en général, des impédances internes de 50 ou 75  $\Omega$ , voire 300  $\Omega$ .

En revanche, les dispositifs à l'état solide utilisés dans les circuits intégrés ou semi-intégrés pour micro-ondes présentent des impédances d'entrée complexes et il est donc nécessaire d'utiliser un dispositif d'adaptation pour réaliser la condition  $Z_e = Z_G^*$ .

Les dispositifs d'adaptation que nous allons étudier maintenant sont de divers types :

- · adaptateurs par ligne quart d'onde ;
- adaptateurs à l'aide d'un ou deux « stubs » qui sont des tronçons de ligne court-circuités;
- adaptateurs par réseau d'impédances et tronçon de ligne.

#### 5.3 ADAPTATION PAR LIGNE QUART D'ONDE

Considérons un élément de ligne de longueur  $\lambda/4$ , d'impédance caractéristique  $Z_c$  fermé sur une impédance  $Z_s$  (fig. 4). Nous avons vu qu'il ramène à son entrée une impédance :

e interne

d'impéd'adapta-

Z<sub>R</sub>

ce  $Z_R$  de npédance

pédance

réelle, il nérateur. ernes de

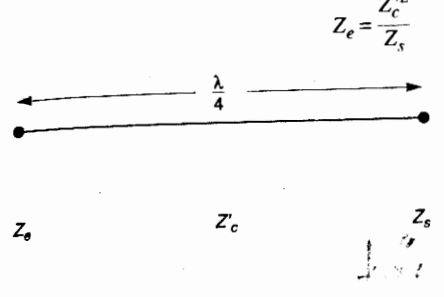
égrés ou implexes aliser la

de divers

de ligne

IDE

éristique on entrée MICRO-ONDES



$$Z_e = \frac{Z_c^{\prime 2}}{Z_s} \tag{9}$$

Une telle ligne peut servir d'adaptateur puisqu'elle permet d'effectuer une transformation d'impédances. En particulier, dans le cas qui nous intéresse, nous avons :  $Z_e = Z_c$  et  $Z_s = Z_R$ 

d'où: 
$$Z_c' = \sqrt{Z_c Z_R}$$
 (10)

### 5.3.1 Cas d'une impédance de charge $Z_R$ réelle

Dans ce cas, l'adaptation sera réalisée en utilisant une ligne  $\lambda/4$  d'impédance caractéristique réelle  $Z_c^* = \sqrt{Z_R Z_c}$ . Seul le tronçon  $\lambda/4$  travaille en régime d'ondes semi-stationnaires ; le reste de la ligne est parcouru par des ondes progressives.

# **5.3.2** Cas d'une impédance de charge $Z_R$ complexe

Dans ce cas, si la ligne  $\lambda/4$  est fermée sur  $Z_R$ , son impédance caractéristique devra être complexe. Pour avoir  $Z_c$  réelle, il faudrait que la sortie de la ligne  $\lambda/4$  se trouve en un endroit de la ligne où l'impédance est réelle, c'est-à-dire :

Soit en un maximum de tension, situé à une distance x<sub>M</sub> de la charge, où l'impédance est maximale Z<sub>M</sub> = ρZ<sub>C</sub>.

Dans ce cas:

$$Z_c^* = Z_c \sqrt{\rho} \tag{11}$$

• Soit en un minimum de tension, situé à une distance  $x_m$  de la charge, où l'impédance est minimale  $Z_m = Z_c/\rho$ .

Dans ce cas: 🚄

$$Z_c' = \frac{Z_c}{\sqrt{\rho}}$$
 (12)

Afin d'avoir  $Z_c$  réel, une autre possibilité est de placer la sortie de la ligne  $\lambda/4$  directement sur la charge, et de compenser la partie imaginaire de l'impédance charge en mettant en parallèle sur celle-ci un tronçon de ligne court-circuité dont l'impédance est imaginaire pure.

#### **5.3.3** Adaptation à large bande passante

Les dispositifs d'adaptation que nous venons d'étudier ne sont valables qu'à la fréquence pour laquelle la longueur de la ligne est égale à  $\lambda/4$ : ce sont donc des dispositifs d'adaptation à bande étroite. Pour obtenir une adaptation à large bande, on peut fractionner l'adaptation en un certain nombre de tronçons  $\lambda/4$  (fig. 5) tels que les impédances d'entrée successives de ces différents tronçons soient:  $Z_c > Z_2 > Z_1 > Z_R$ , et pour n tronçons :  $Z_c > Z_n > ... > Z_1 > Z_R$ .

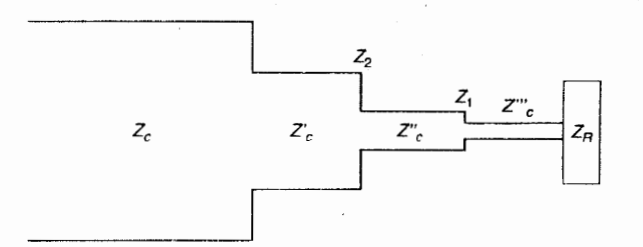


Figure 5.
Adaptation à la

À la limite, on pourrait montrer qu'il existe une possibilité d'adaptation utilisant des tronçons de ligne dont l'impédance caractéristique varierait de façon continue : le profil idéal serait exponentiel et la largeur de bande importante. C'est le cas des lignes non-uniformes.

#### 5.4 ADAPTATION À L'AIDE D'UN STUB

Un stub est un tronçon de ligne court-circuité de longueur s que l'on branche en dérivation sur la ligne principale à une distance d de la charge (fig. 6). Son impédance d'entrée étant :

$$Z(s) = j Z_c tg \frac{2\pi}{\lambda} s$$
 (13)

nous voyons qu'il est équivalent à une réactance dont on peut faire varier le signe et la grandeur en faisant varier sa longueur.

D'ailleurs, on pourrait aussi bien utiliser un élément localisé, capacitif ou inductif, placé en dérivation sur une ligne.

Les quantités connues sont :  $Z_R$ ,  $Z_c$  et  $\lambda$  ; les inconnues sont : d et s. Nous allons raisonner :

- en admittances parce que nous avons des éléments disposés en parallèle,
- en valeurs réduites pour pouvoir les placer sur le diagramme de Smith.

Pour la charge :

$$z_R = \frac{Z_R}{Z_C} \qquad \text{et} \qquad y_R = \frac{Z_C}{Z_R} = g_R + j h_R$$
 (14)

Pour le stub :

$$z(s) = \frac{Z(s)}{Z_c} = j \operatorname{tg} \frac{2\pi}{\lambda} s = j \operatorname{tg} \beta s$$
(15)

$$y(s) = -j \cot \beta s \tag{16}$$

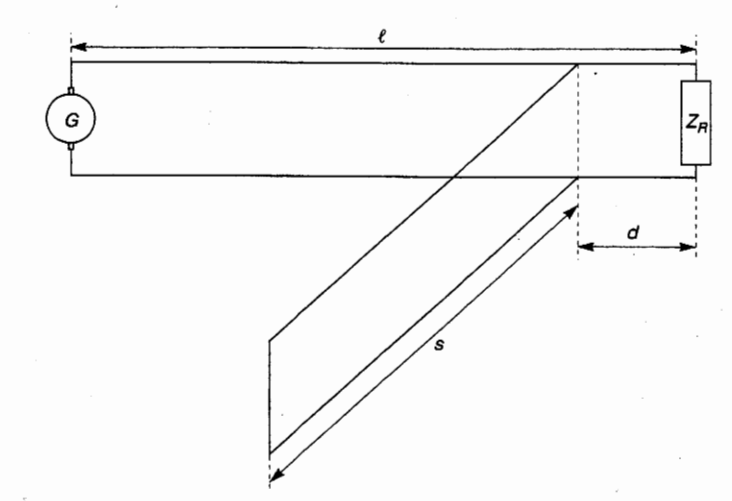


Figure 6.
Adaptation à un stub.

Nous allons calculer successivement les admittances aux divers endroits de la ligne :

- Dans le plan de charge :  $y_R = g_R + j b_R$
- Dans un plan situé à la distance  $d-\epsilon$  , c'est-à-dire juste avant le stub :

$$y(d-\varepsilon) = \frac{y_R + j \operatorname{tg} \beta (d-\varepsilon)}{1 + j y_R \operatorname{tg} \beta (d-\varepsilon)}$$
 (17)

Puisque  $\epsilon$  est pris aussi petit que l'on veut :

$$y (d - \varepsilon) = \frac{y_R + j \operatorname{tg} \beta d}{1 + j y_R \operatorname{tg} \beta d} = \frac{g_R + j b_R + j \operatorname{tg} \beta d}{1 - b_R \operatorname{tg} \beta d + j g_R \operatorname{tg} \beta d}$$
(18)

$$y(d-\varepsilon) = \frac{[g_R + j(b_R + \lg \beta d)][(1 - b_R \lg \beta d) - jg_R \lg \beta d]}{(1 - b_R \lg \beta d)^2 + g_R^2 \lg^2 \beta d}$$
(19)

Cette expression peut s'écrire sous la forme :

$$y(d-\varepsilon) = g(d-\varepsilon) + jb(d-\varepsilon)$$
 (20)

• Dans un plan situé à la distance  $d + \varepsilon$ , c'est-à-dire juste après le stub :

$$y(d+\varepsilon) = y(d-\varepsilon) + y(s) = g(d-\varepsilon) + j[b(d-\varepsilon) - \cot \beta s]$$
 (21)

Pour que l'adaptation soit réalisée à partir de la distance  $(d + \varepsilon)$ , il faut que :

$$y(d+\varepsilon) = 1 + j O$$
 (22)

On déduit de cette condition les deux équations qui vont fournir les deux incounues d et s:

① 
$$g(d-\varepsilon) = 1 \rightarrow \frac{g_R(1 + tg^2 \beta d)}{(1 - b_R tg \beta d)^2 + g_R^2 tg^2 \beta d} = 1$$
 (23)

C'est une équation du second degré en tg  $\beta d$  qui fournit deux solutions : d et  $d^2$   $\lambda/2$  prés.

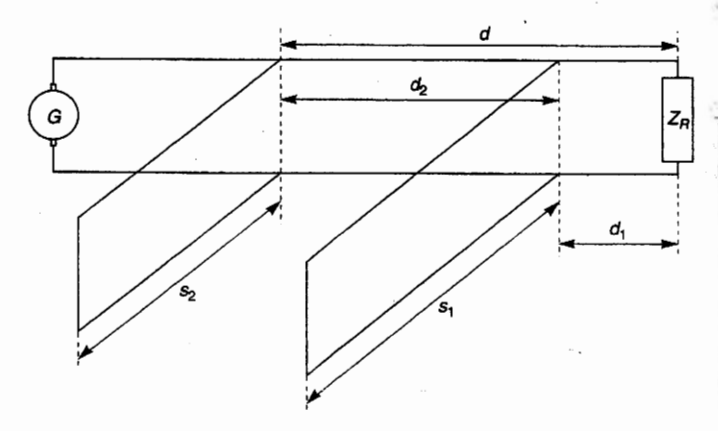
$$2 \qquad b(d-\epsilon) = \cot \beta s \ \to \ \frac{b_R + (1 - g_R^2 - b_R^2) \tan \beta d - b_R \tan^2 \beta d}{(1 - b_R \tan \beta d)^2 + g_R^2 \tan^2 \beta d} = \cot \beta s$$
 (2)

D'après cette relation, nous voyons qu'aux deux valeurs d et d' corresponde les deux valeurs s et s'.

Il y a donc deux couples de solutions : (d, s) et (d', s'). On choisit celui qui co respond à la plus faible valeur de d afin que le tronçon de ligne qui ne fontionne pas en ondes progressives soit le plus réduit possible.

#### 5.5 ADAPTATION À L'AIDE DE DEUX STUBS

Comme précédemment, nous raisonnerons en admittances et en valeurs réduites



Données :  $Z_R$ ,  $Z_c$ ,  $\beta$ ,  $d_1$  et  $d_2$ .

Inconnues:  $s_1$  et  $s_2$ .

Nous allons calculer successivement les diverses admittances de la ligne.

$$y_R = g_R + j b_R$$

DAPTAT

• à la distance 
$$(d_1 - \varepsilon)$$
:  $y(d_1 - \varepsilon) = \frac{y_R + j \operatorname{tg} \beta (d_1 - \varepsilon)}{1 + j y_R \operatorname{tg} \beta (d_1 - \varepsilon)}$  (26)

Nous pouvons écrire, puisque  $\epsilon$  est pris aussi petit que l'on veut :

$$y(d_1 - \varepsilon) = \frac{y_R + j \lg \beta d_1}{1 + j y_R \lg \beta d_1}$$
 (27)

Pour la suite, nous poserons :

$$y(d_1 - \varepsilon) = g(d_1 - \varepsilon) + jb(d_1 - \varepsilon)$$
 (28)

• à la distance 
$$(d_1 + \varepsilon)$$
:  $y(d_1 + \varepsilon) = y(d_1 - \varepsilon) + y(s_1)$  (29)

$$y(d_1 + \varepsilon) = g(d_1 - \varepsilon) + j[h(d_1 - \varepsilon) - \cot g\beta s_1]$$
 (30)

• à la distance 
$$d - \varepsilon$$
:  $y(d - \varepsilon) = \frac{y(d_1 + \varepsilon) + j \lg \beta d_2}{1 + j y(d_1 + \varepsilon) \lg \beta d_2}$  (31)

 $\rightarrow$  Dans cette expression, l'inconnue est  $s_4$ ; nous écrirons :

$$y(d-\varepsilon) = g(d-\varepsilon) + j h(d-\varepsilon)$$
 (32)

• à la distance 
$$(d + \varepsilon)$$
:  $y(d + \varepsilon) = y(d - \varepsilon) + y(s_2)$  (33)

$$y(d+\varepsilon) = g(d-\varepsilon) + j[b(d-\varepsilon) - \cot \beta s_2]$$
 (34)

 $\rightarrow$  Dans cette expression, les inconnues sont  $s_1$  et  $s_2$ .

Pour que l'adaptation soit réalisée à partir de la distance  $d + \varepsilon$ , il faut que  $y(d + \varepsilon) = 1 + i O$ . D'où les conditions :

L'explicitation de cette relation fournit une équation du second degré en cotg  $\beta s_1$ à partir de laquelle on calcule, si son déterminant est > 0, deux solutions  $s_1^*$ et s<sub>1</sub>".

$$b (d - \varepsilon) = \cot \beta s_2$$
 (36)

C'est une équation du premier degré en cotg  $\beta s_2$ . Donc, aux deux valeurs  $s_1$  et  $s_1''$  de  $s_1$  correspondent les deux valeurs  $s_2''$  et  $s_2''$  de  $s_2$ .

Il y a donc, dans ce cas également, deux couples de solutions :

$$(s'_1, s'_2)$$
 et  $(s''_1, s''_2)$ 

#### 5.6 UTILISATION DU DIAGRAMME DE SMITH

La recherche des inconnues dans les adaptations à un et à deux stubs est bien simplifiée si l'on utilise le diagramme de Smith.

### 5.6.1 Adaptation à un stub (fig. 8)

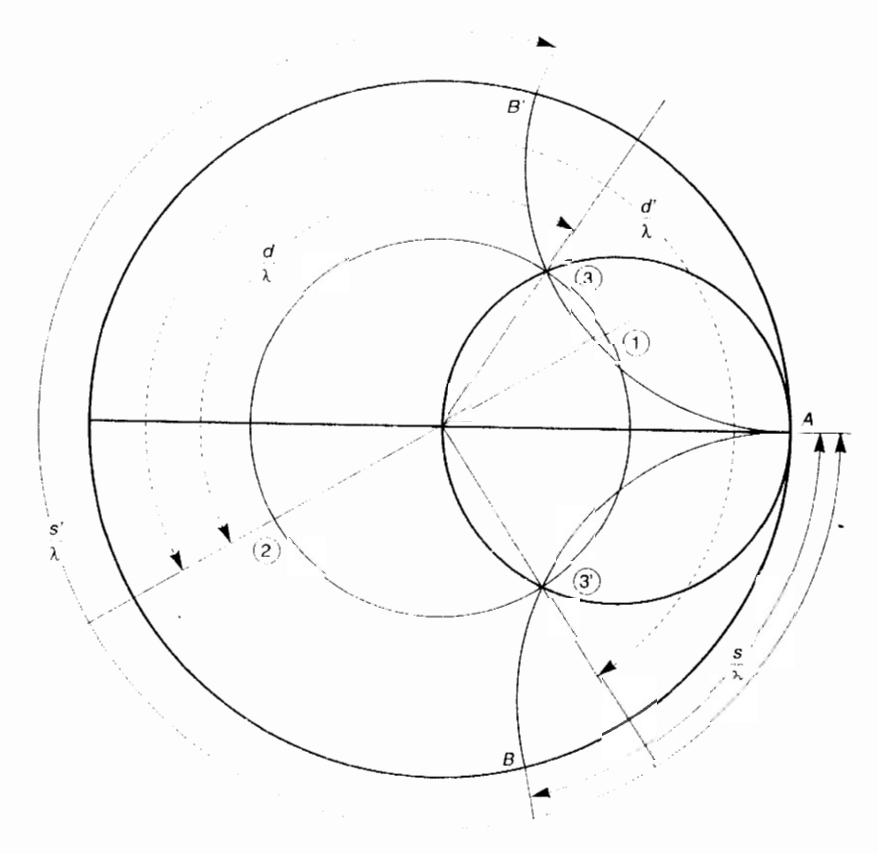


Figure 8. Adaptation à un stub

Point 1:  $z_1 = 2 + j \cdot 1.5$ 

Point 2:  $y_2 = 0.32 \text{ j } 0.24$ 

Point B:  $y(s) = -\frac{1}{3} + \frac{3}{3} \rightarrow s/\lambda = 0.104$ Point 3':  $y_{3'} = 1 - j \cdot 1, 3$ ;  $d' / \lambda = 0.372$ 

Point 3.  $y_2 = 1 + j \cdot 1.3 : d \cdot \lambda = 0.212$ 

Point B':  $y(s') = j \cdot 1.3 \rightarrow s' \cdot \lambda = 0.396$ 

Plaçons tout d'abord les points 1 et 2 représentatifs des impédance et admittance réduites de la charge. Le cercle à R.O.S. = cte passant par ces points est le lieu des points représentatifs de toutes les impédances et admittances aux divers points de la ligne compris entre la charge et le stub exclu. C'est, en particulier, un lieu de  $y(d-\varepsilon)$ .

Comme d'autre part  $y(d-\varepsilon) = y(d+\varepsilon) - y(s)$  est de la forme 1-jb, le cercle à g = 1 est un deuxième lieu de  $y(d - \varepsilon)$ .

Nous pouvons écrire, puisque  $\epsilon$  est pris aussi petit que l'on veut :

$$y(d_1 - \varepsilon) = \frac{y_R + j \text{ tg } \beta d_1}{1 + j y_R \text{ tg } \beta d_1}$$
 (27)

Pour la suite, nous poserons :

$$y(d_1 - \varepsilon) = g(d_1 - \varepsilon) + jb(d_1 - \varepsilon)$$
(28)

• à la distance 
$$(d_1 + \varepsilon)$$
:  $y(d_1 + \varepsilon) = y(d_1 - \varepsilon) + y(s_1)$  (29)

$$y(d_1 + \varepsilon) = g(d_1 - \varepsilon) + j[b(d_1 - \varepsilon) - \cot \beta s_1]$$
(30)

• à la distance 
$$d - \varepsilon$$
:  $y(d - \varepsilon) = \frac{y(d_1 + \varepsilon) + j \operatorname{tg} \beta d_2}{1 + j y(d_1 + \varepsilon) \operatorname{tg} \beta d_2}$  (31)

 $\rightarrow$  Dans cette expression, l'inconnue est  $s_1$ ; nous écrirons :

$$y(d-\varepsilon) = g(d-\varepsilon) + jb(d-\varepsilon)$$
 (32)

• à la distance 
$$(d + \varepsilon)$$
:  $y(d + \varepsilon) = y(d - \varepsilon) + y(s_2)$  (33)

$$y(d+\varepsilon) = g(d-\varepsilon) + j[b(d-\varepsilon) - \cot \beta s_2]$$
(33)

 $\rightarrow$  Dans cette expression, les inconnues sont  $s_1$  et  $s_2$ .

Pour que l'adaptation soit réalisée à partir de la distance  $d + \varepsilon$ , il faut que  $y(d + \varepsilon) = 1 + j O$ . D'où les conditions :

$$g(d-\varepsilon) = 1 \tag{35}$$

L'explicitation de cette relation fournit une équation du second degré en  $\cot \beta s_1$  à partir de laquelle on calcule, si son déterminant est > 0, deux solutions  $s_1$  et  $s_1$ .

$$b (d - \varepsilon) = \cot \beta s_2$$
 (36)

C'est une équation du premier degré en cotg  $\beta s_2$ . Donc, aux deux valeurs  $s_1'$  et  $s_1'$  de  $s_1$  correspondent les deux valeurs  $s_2'$  et  $s_2''$  de  $s_2$ .

Il y a donc, dans ce cas également, deux couples de solutions :

$$(s_1', s_2')$$
 et  $(s_1'', s_2'')$ 

# 5.6 UTILISATION DU DIAGRAMME DE SMITH

La recherche des inconnues dans les adaptations à un et à deux stubs est bien simplifiée si l'on utilise le diagramme de Smith.

#### 5.6.1 Adaptation à un stub (fig. 8)

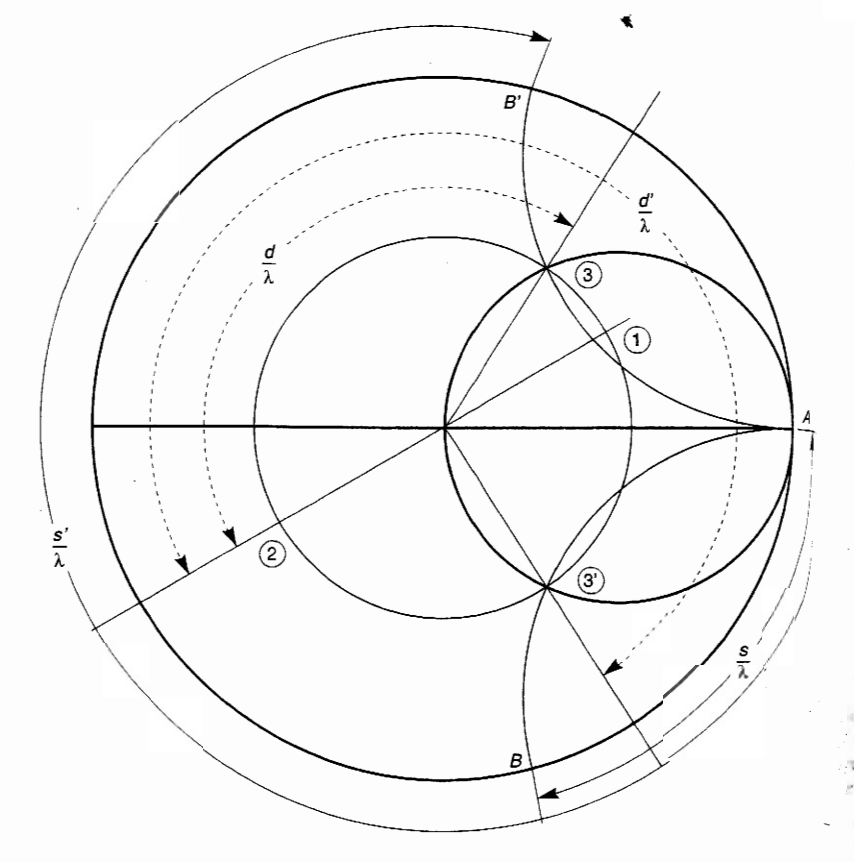


Figure 8.
Adaptation à un stub.

Point 1:  $z_1 = 2 + j \ 1,5$  Point B:  $y(s) = -j \ 1,3 \rightarrow s/\lambda = \emptyset$ Point 2:  $y_2 = 0,32 - j \ 0,24$  Point 3:  $y_3 = 1 - j \ 1,3$ ;  $d'/\lambda = \emptyset$ ; Point B:  $y(s) = -j \ 1,3 \rightarrow s/\lambda = \emptyset$ ; Point B:  $y(s) = -j \ 1,3 \rightarrow s/\lambda = \emptyset$ ;

Plaçons tout d'abord les points 1 et 2 représentatifs des impédance et admittance réduites de la charge. Le cercle à R.O.S. = cte passant par ces points est le lieu des points représentatifs de toutes les impédances et admittances aux divers points de la ligne compris entre la charge et le stub exclu. C'est, en particulier, un lieu de y  $(d-\varepsilon)$ .

Comme d'autre part  $y(d-\varepsilon) = y(d+\varepsilon) - y(s)$  est de la forme 1-jb, le cercle à g=1 est un deuxième lieu de  $y(d-\varepsilon)$ .

MICRO-ONDES

Les solutions du problème sont donc données par les deux points d'intersection 3 et 3' de ces deux cercles.

#### a) Point 3

Le stub doit être placé à une distance  $d/\lambda$  de la charge qui est lue sur le bord du diagramme. (Dans l'exemple choisi :  $d/\lambda = 0.042 + 0.170 = 0.212$ .)

Soit 1+j  $b_3$  l'admittance à y  $(d-\varepsilon)$ ; le stub doit avoir une longueur s telle que : y(s)=-j  $b_3$  (ici =-j 1,3). Comme le stub est un tronçon de ligne court-circuité, s est déterminé en lisant sur le bord du diagramme de combien il faut tourner (vers le générateur) pour passer du point  $A(y=\infty)$  au point B(y=-j  $b_3)$ . Ici  $s/\lambda=0.354-0.250=0.104$ .

#### b) Point 3'

Le stub doit être placé à une distance  $d'/\lambda$ . (Ici  $d'/\lambda = 0.042 + 0.33 = 0.372$ ). L'admittance à y ( $d' - \varepsilon$ ) étant 1 - j  $b_3$ , le stub doit avoir une longueur s' telle que y (s') = + j  $b_3$  (ici + j 1.3). s' est déterminé en lisant sur le bord du diagramme de combien il faut tourner (vers le générateur) pour passer du point A au point B' ( $\Leftrightarrow 0 + j$   $b_3$ ). Ici  $s'/\lambda = 0.250 + 0.146 = 0.396$ .

#### 5.6.2 Adaptation à deux stubs (fig. 9)

Il faut d'abord placer les points 1 et 2 représentatifs des impédance et admittance réduites de la charge et déduire de 2, par une rotation de  $d_1/\lambda$  vers le générateur (ici  $d_1/\lambda = 0,122$ ), le point 3 représentatif de y ( $d_1 - \varepsilon$ ).

Nous avons vu que les parties réelles de y  $(d_1 + \varepsilon)$  et y  $(d_1 - \varepsilon)$  étaient les mêmes. Un lieu de y  $(d_1 + \varepsilon)$  est donc le cercle à partie réelle constante (ici,  $g_1(d-\varepsilon) = 0.3$ ) passant par 3.

De même, les parties réelles de y  $(d+\varepsilon)$  et y  $(d-\varepsilon)$  étant identiques et égales à 1, le cercle à g=1 est un lieu de y  $(d-\varepsilon)$ . Il est facile d'en déduire un lieu de y  $(d_1+\varepsilon)$  car, dans un déplacement le long de la ligne, le point O reste invariant; il suffit donc de trouver le point A' qui se déduit de A par une rotation de  $d_2/\lambda$  vers la charge (ici  $d_2/\lambda=0.180$ ) et l'on peut alors tracer le cercle de diamètre OA' qui est un deuxième lieu de y  $(d_1+\varepsilon)$ .

Les points 4' et 4" qui se trouvent à l'intersection des deux lieux de y  $(d_1 + \varepsilon)$  vont nous permettre de calculer les longueurs possibles  $s'_1$  et  $s''_1$  du premier stub. Nous avons, en effet, puisque :

$$y(d_1 + \varepsilon) = y(d_1 - \varepsilon) + y(s_1)$$
  
$$y(s_1') = y_4 - y_3 \text{ et } y(s_1'') = y_4 - y_3$$

Il suffit de lire sur le bord du diagramme, en tournant vers le générateur, quelles sont les distances  $s_1^*/\lambda$  et  $s_1^*'/\lambda$  qu'il y a entre le point A et les points B' et B'' réprésentatifs de  $y'(s_1^*)$  et  $y'(s_1^*)$ .

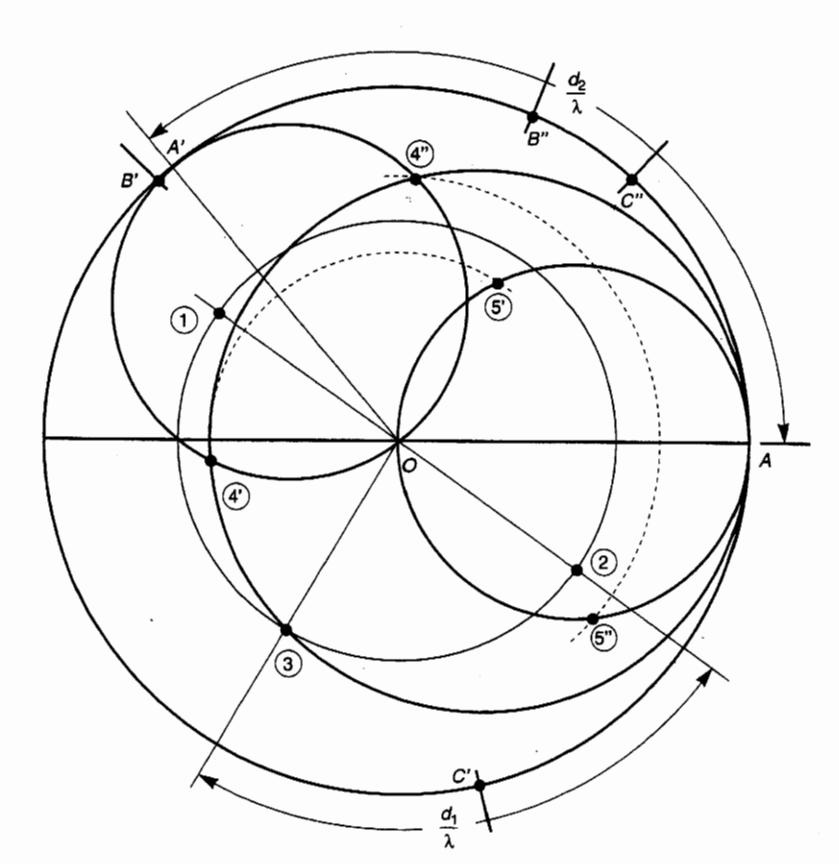


Figure 9. Adaptation à deux stubs

Point 1:  $z_1 = 0.26 + j 0.3$  Point 2:  $y_2 = 1.65 - j 1.9$ 

 $d_1/\lambda = 0.122 \rightarrow \text{Point 3}: y_3 = 0.3 - \text{j } 0.5; d_2/\lambda = 0.180 \rightarrow \text{Point } A'.$ Point 4':  $y_{4'} = 0.3 - \text{j } 0.06.$  Point 4":  $y_{4''} = 0.3 + \text{j } 1$ 

Point B':  $y(s_1') = j \ 0.44 \rightarrow s_1'/\lambda = 0.316$ 

Point B":  $y(s_1") = j \ 1.5 \rightarrow s_1"/\lambda = 0.406$ 

Point 5':  $y_{5'} = 1 + j \cdot 1,28$  Point C':  $y(s_2') = -j \cdot 1,28 \rightarrow s_2'/\lambda = 0,105$ Point 5'':  $y_{5''} = 1 - j \cdot 2,2$  Point C'':  $y(s_2'') = j \cdot 2,2 \rightarrow s_2''/\lambda = 0,432$ 

Dans cet exemple  $y(s_1) = j \cdot 0.44 \rightarrow s_1/\lambda = 0.250 + 0.066 = 0.316$  et  $y(s_1) = j \cdot 1.5 \rightarrow s_1/\lambda = 0.250 + 0.156 = 0.406$ .

Les points 5' et 5" qui se déduisent de 4' et 4" par la rotation de  $d_2/\lambda$  vers le générateur représentent les deux valeurs possibles de y  $(d - \varepsilon)$  et appartiennent au cercle g = 1.

$$y_{5'} = 1 + j b_{5'}$$
 et  $y_{5''} = 1 + j b_{5''}$ .

 $1.3 \rightarrow s/\lambda$  $1.3 ; d'/\lambda = 3 \rightarrow s'/\lambda$ 

ance lieu ivers

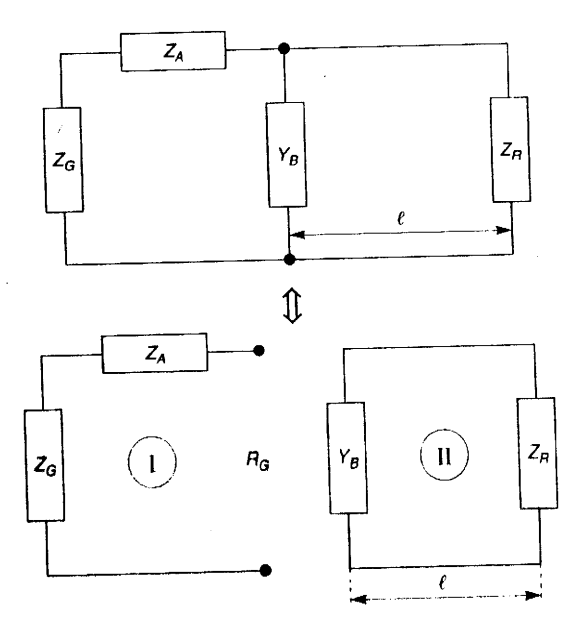
ulier,

Les longueurs du second stub qui peuvent conduire à l'adaptation finale sont donc  $s_2^*$  et  $s_2^*$  telles que :  $y(s_2^*) = -j b_{5^*}$  et  $y(s_2^*) = -j b_{5^*}$ . (Ici,  $y(s_2^*) = -j 1.28$  et  $y(s_2^*) = j 2.2$ ).

À ces valeurs correspondent les points  $C^*$  et  $C^*$  sur les bords du diagramme ; on en déduit  $s_2^*$  et  $s_2^*$ .

Dans cet exemple  $y(s_2) = -j 1.28 \rightarrow s_2/\lambda = 0.355 - 0.250 = 0.105$  et  $y(s_2) = j 2.2 \rightarrow s_2/\lambda = 0.250 + 0.182 = 0.432$ .

# 5.7 ADAPTATION PAR RÉSEAU D'IMPÉDANCES ET TRONÇON DE LIGNE



leure 10. par réseau apédances a de ligne.

Dans les cas que nous avons traités aux paragraphes précédents, il s'agissait d'adapter une charge d'impédance  $Z_R$  complexe à un générateur d'impédance interne  $\mathbb{Z}_G$  réelle et égale à l'impédance caractéristique de la ligne qui le relie à la charge.

Le cas le plus général est celui où l'on veut adapter une charge d'impédance  $Z_R$  complexe à un générateur d'impédance interne  $Z_G$  complexe (fig. 10).

Pour effectuer cette adaptation, on peut placer en série avec le générateur une impédance imaginaire pure  $Z_A = \mathbf{j} \ X$  afin de compenser la partie imaginaire de l'impédance interne du générateur. Cette réactance peut être obtenue en plaçant en série avec le générateur soit un stub soit un composant passif inductif ou capacitif. Ainsi, l'impédance ramenée aux bornes du réseau I est  $R_G$ .

D'autre part, on place en parallèle à une distance  $\ell$  de la charge une admittance imaginaire pure  $Y_B = j$  B qui peut être obtenue en mettant en parallèle sur la ligne soit un stub soit un composant passif inductif ou capacitif. Le réseau II constitue l'équivalent d'un dispositif d'adaptation à un stub qui doit ramener à ses bornes une impédance égale à  $R_G$ , ce qui réalise l'adaptation désirée.

Notons enfin que lorsque la distance  $\ell$  entre  $Z_G$  et  $Z_R$  est imposée, il est toujours possible d'utiliser, conformément au schéma de la figure 3, deux dispositifs d'adaptation l'un placé entre la charge et la ligne, l'autre placé entre le générateur et la ligne.

#### **EXERCICES**



#### **EXERCICE 5.1**

(Paragraphe 5.3 – Adaptation par ligne quart d'onde)

Une ligne de transmission est composée de trois tronçons comme cela est représenté sur la figure 11. L'impédance de charge  $Z_R$  est constituée par une résistance de 50  $\Omega$  en série avec une inductance de  $2 \cdot 10^{-8}$  H. Les deux tronçons extrêmes ont pour impédance caractéristique  $Z_c = 100 \Omega$ . Le tronçon central a une lon-

gueur  $\ell_2$  = 15 cm et est placé à une distance  $\ell_1$  de  $Z_R$ ;  $\nu = c$ .

- 1) La fréquence étant de 500 MHz, déterminer la plus petite valeur de  $\ell_1$  conduisant à l'adaptation de l'ensemble et la valeur correspondante de  $Z_c$ .
- 2) La fréquence étant de 600 MHz, déterminer  $z_2$  et le R.O.S. apparent de l'ensemble, si l'on ne retouche pas aux valeurs de  $Z_c$  et de  $\ell_1$  trouvées précédemment.

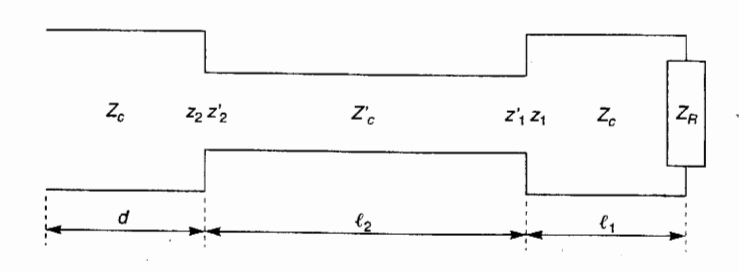


Figure 11.



#### **EXERCICE 5.2**

(Paragraphe 5.2 - Conditions d'adaptation)

Un générateur à transistor a une impédance interne  $Z_G=(7.5+\mathrm{j}\ 11)\ \Omega$  (voir fig. 12). Il est relié à une ligne de longueur  $\ell$  et d'impédance

caractéristique  $Z_c$  qui est la moyenne géométrique entre 50  $\Omega$  et la partie réelle de  $Z_C$ . La charge est un dispositif d'impédance  $Z_R=50~\Omega$  avec lequel est mis en série un condensateur d'adaptation, de capacité C. On demande de calculer  $\ell$  et C pour que l'adaptation soit réalisée à la fréquence de 2,45 GHz.

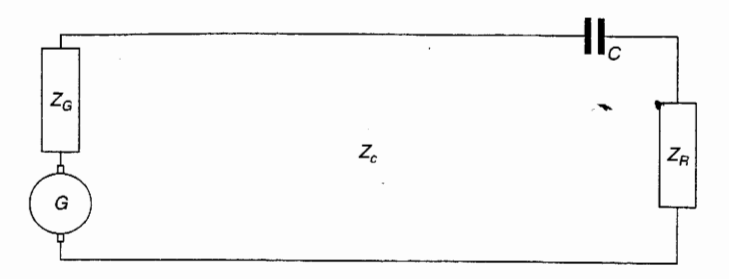


Figure 12.



#### **EXERCICE 5.3**

(Paragraphes 5.4 et 5.6.1 – Adaptation à l'aide d'un stub)

Une ligne d'impédance caractéristique  $Z_c=50~\Omega$  est terminée par une impédance  $Z_R=(100~+$  j 75)  $\Omega$ . La longueur d'onde est de 0,5 m. Déterminer les caractéristiques d'une adaptation par un stub de longueur s, situé à une distance d de charge et d'impédance caractéristique 50  $\Omega$ .



#### **EXERCICE 5.4**

(Paragraphes 5.4 et 5.6.1 – Adaptation à l'aide d'un stub)

Une ligne coaxiale à diélectrique air, d'impédance caractéristique  $Z_c=50~\Omega$  est terminée par une impédance  $Z_R=(15-\mathrm{j}~42,5)~\Omega$ . La fréquence est de 1 GHz.

On veut réaliser l'adaptation en plaçant, à une distance d de la charge, un stub en circuitouvert, d'impédance caractéristique  $Z_c' = 100~\Omega$  et de longueur s.

Déterminer les caractéristiques de cette adaptation.



#### **EXERCICE 5.5**

(Paragraphes 5.5 et 5.6.2 – Adaptation à l'aide de 2 stubs)

Une ligne d'impédance caractéristique est terminée par une impédance  $Z_R = 1125$ )  $\Omega$ . La longueur d'onde est de 0.51 veut réaliser l'adaptation en utilisant stubs en court-circuit d'impédance caractique  $50 \Omega$ . Le premier est placé à  $6 \Omega$  charge et le second est à  $15 \Omega$  cm du premier est placé à  $15 \Omega$  cm du premier est p

Déterminer les longueurs des stubs qui a sent à l'adaptation.



#### **EXERCICE 5.6**

Une ligne d'impédance caractér  $Z_c = 100 \Omega$  est terminée par une impédance à l'aide de deux stubs circuités : le premier en parallèle sur le t le deuxième placé à  $\lambda/8$  en sérié ligne.

Déterminer les longueurs  $s_1$  et  $s_2$  de stubs qui conduisent à l'adaptation.

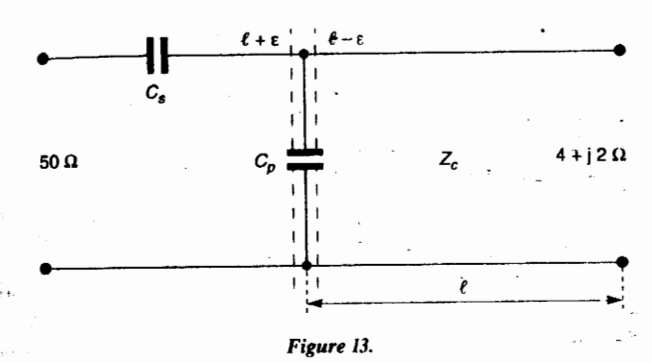
#### ERCICE 5.7

oraphe 5.7 - Adaptation par réseau unedances et tronçon de ligne)

rateur d'impédance interne  $Z_G = 50 \Omega$ enter un amplificateur à transistor dont hee d'entrée est  $Z_e = (4 + j 2) \Omega$ , à la de 600 MHz. Afin de permettre une

transmission de puissance optimale, on utilise un circuit d'adaptation (fig. 13) constitué d'une capacité  $C_s$  série et d'une capacité parallèle  $C_n$ .

Entre ce circuit et l'amplificateur, il y a une ligne microbande d'impédance caractéristique  $Z_c = 40 \Omega$ , de longueur  $\ell = 2$  cm sur laquelle  $\lambda = 25$  cm. Trouver les valeurs de  $C_n$  et de  $C_n$ pour que l'adaptation soit réalisée.



# Chapitre 6

## **Lignes avec pertes**

#### 6.1 ÉTUDE DU PARAMÈTRE DE PROPAGATION ET DE L'IMPÉDANCE **CARACTÉRISTIQUE**

#### **6.1.1** Expression de $\alpha$ , $\beta$ et $Z_c$

Dans le chapitre « Propagation sur une ligne », nous avons montré que l'expression du paramètre de propagation  $\gamma$  était :  $\gamma = \sqrt{(R_1 + j L_1 \omega)(G_1 + j C_1 \omega)}$ 

C'est une quantité complexe que nous avons écrite sous la forme :  $\gamma = \alpha + j \beta$ .

Il est, dès lors, facile de calculer les expressions de  $\alpha$  et  $\beta$  en remarquant que :

• d'une part :

$$\gamma^2 = \alpha^2 - \beta^2 + 2j\alpha\beta$$

• d'autre part : 
$$\gamma^2 = (R_1 G_1 - L_1 C_1 \omega^2) + j \omega (L_1 G_1 + R_1 C_1)$$
.

En identifiant:

$$\alpha^2 - \beta^2 = R_1 G_1 - L_1 C_1 \omega^2$$

$$2\alpha\beta = \omega \left(L_1 G_1 + R_1 C_1\right)$$

d'où

$$\alpha = \sqrt{\frac{1}{2} \left| \sqrt{(R_1^2 + L_1^2 \omega^2)(G_1^2 + C_1^2 \omega^2) + (R_1 G_1 - L_1 C_1 \omega^2)} \right|}$$
 (1)

$$\beta = \sqrt{\frac{t}{2} \left| \sqrt{(R_1^2 + L_1^2 \omega^2)(G_1^2 + C_1^2 \omega^2) - (R_1 G_1 - L_1 C_1 \omega^2)} \right|}$$
 (2)

.6

6.2 - A4stubs)

caractér

pédance

onde est

on en u

mpédan st placé

5 cm du

des stub

ce car par une i On veut deux parallèle  $\lambda/8$  en s

S<sub>1</sub> et s<sub>2</sub> daptation nce interne  $Z_G = 50 \Omega$ ficateur à transistor dont  $Z_e = (4 + j 2) \Omega$ , à la Afin de permettre une transmission de puissance optimale, on utilise un circuit d'adaptation (fig. 13) constitué d'une capacité  $C_s$  série et d'une capacité parallèle  $C_p$ .

Entre ce circuit et l'amplificateur, il y a une ligne microbande d'impédance caractéristique  $Z_c = 40 \Omega$ , de longueur  $\ell = 2$  cm sur laquelle  $\lambda = 25$  cm. Trouver les valeurs de  $C_s$  et de  $C_p$  pour que l'adaptation soit réalisée.

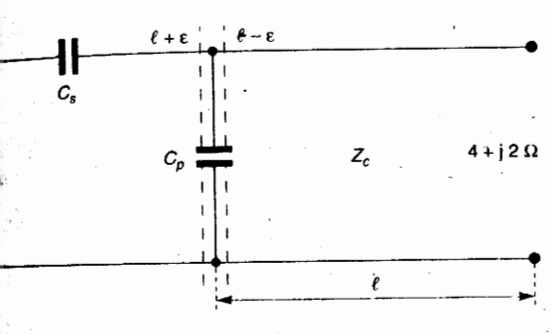


Figure 13.

## Chapitre 6

## **Lignes avec pertes**

# **6.1** ÉTUDE DU PARAMÈTRE DE PROPAGATION ET DE L'IMPÉDANCE CARACTÉRISTIQUE

#### **6.1.1** Expression de $\alpha$ , $\beta$ et $Z_c$

Dans le chapitre « Propagation sur une ligne », nous avons montré que l'expression du paramètre de propagation  $\gamma$  était :  $\gamma = \sqrt{(R_1 + j L_1 \omega)(G_1 + j C_1 \omega)}$ .

C'est une quantité complexe que nous avons écrite sous la forme :  $\gamma = \alpha + j \beta$ .

Il est, dès lors, facile de calculer les expressions de  $\alpha$  et  $\beta$  en remarquant que :

• d'une part : 
$$\gamma^2 = \alpha^2 - \beta^2 + 2j\alpha\beta$$

• d'autre part : 
$$\gamma^2 = (R_1 G_1 - L_1 C_1 \omega^2) + j \omega (L_1 G_1 + R_1 C_1)$$
.

En identifiant:

$$\alpha^2 - \beta^2 = R_1 G_1 - L_1 C_1 \omega^2$$

$$2\alpha\beta = \omega \left( L_1 G_1 + R_1 C_1 \right)$$

d'on

$$\alpha = \sqrt{\frac{1}{2} \left| \sqrt{(R_1^2 + L_1^2 \omega^2)(G_1^2 + C_1^2 \omega^2) + (R_1 G_1 - L_1 C_1 \omega^2)} \right|}$$
 (1)

$$\beta = \sqrt{\frac{1}{2} \left[ \sqrt{(R_1^2 + L_1^2 \omega^2) (G_1^2 + C_1^2 \omega^2) - (R_1 G_1 - L_1 C_1 \omega^2)} \right]}$$
 (2)

Pour ce qui est de  $Z_c$  dont l'expression est :  $\sqrt{\frac{R_1 + j L_1 \omega}{G_1 + j C_1 \omega}}$  nous pouvons l'écrire sous la forme :

$$Z_{c} = \sqrt{\frac{R_{1} G_{1} + L_{1} C_{1} \omega^{2} + j \omega (L_{1} G_{1} - R_{1} C_{1})}{G_{1}^{2} + C_{1}^{2} \omega^{2}}}$$
(3)

Les expressions trouvées pour  $\alpha$ ,  $\beta$  et  $Z_c$  sont générales, mais difficilement utilisables. Elles se simplifient beaucoup dans le cas des lignes à faibles pertes qui est très important pour les applications, notamment en télécommunications.

#### 6.1.2 Cas des lignes à faibles pertes

Il est alors possible de négliger  $\alpha^2$  et  $R_1$   $G_1$ ; nous avons :

$$-\beta^{2} = -L_{1} C_{1} \omega^{2}$$

$$2\alpha\beta = \omega (L_{1} G_{1} + R_{1} C_{1}).$$

D'où:

$$\beta = \omega \sqrt{L_1 C_1} \tag{4}$$

$$v = \frac{1}{\sqrt{L_1 C_1}} \tag{5}$$

et:

$$\alpha = \frac{1}{2} \left( R_1 \sqrt{\frac{C_1}{L_1}} + G_1 \sqrt{\frac{L_1}{C_1}} \right)$$
 (6)

Notons que  $\nu$  est indépendante de la fréquence : un signal se propagera donc sur la ligne sans distorsion (voir § 6.2.2)

D'après (3) et en négligeant  $R_1$   $G_1$  et  $G_1^2$ , nous obtenons :

$$Z_c = \sqrt{\frac{L_1}{C_1}} \sqrt{1 + j \frac{G_1}{C_1 \omega} - j \frac{R_1}{L_1 \omega}}$$
 (7)

De plus, si les pertes dans le diélectrique sont négligeables par rapport aux pertes dans les conducteurs, on pourra supprimer dans (6) et (7) le terme en  $G_1$ .

#### 6.1.3 Minimisation des pertes

Pour que  $\alpha$  soit minimale, il faut que  $d\alpha^2/dL_1 = 0$ .

Soit:

$$\sqrt{\frac{G_1^2 + C_1^2 \omega^2}{R_1^2 + L_1^2 \omega^2}} L_1 \omega^2 - C_1 \omega^2 = 0$$

De cette relation, on déduit la célèbre condition de Heaviside :

$$L_1 G_1 = R_1 C_1 \tag{8}$$

alors:

$$\alpha = \sqrt{R_1 G_1} \tag{9}$$

$$\beta = \omega \sqrt{L_1 C_1}$$
 (4) et  $\nu = \frac{1}{\sqrt{L_1 C_1}}$  (5)

# 6.2 IMPORTANCE DE LA CONDITION D'HEAVISIDE – MOYENS DE LA RÉALISER

Voyons combien la réalisation de cette condition est importante à propos d'un exemple simple : la transmission d'un signal radioélectrique représentant la voix humaine dans une liaison téléphonique par câble.

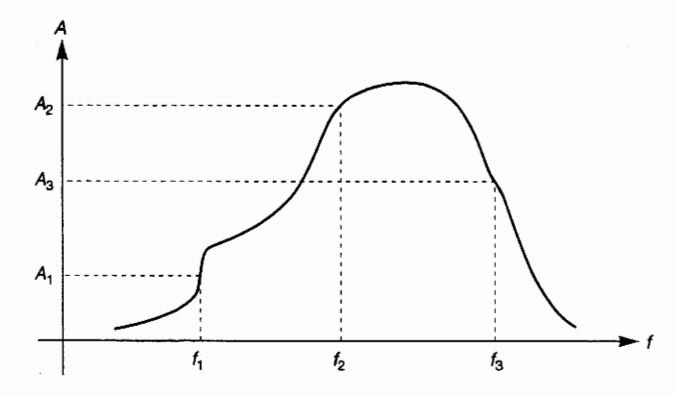


Figure 1.
Courbe a fréquence appelée • fréquence

On sait qu'à un instant donné, ce signal a un spectre de fréquences bien défini ; c'est-à-dire que si l'on trace la courbe amplitude-fréquence qui lui correspond, nous trouvons à des fréquences  $f_1, f_2, f_3$ ... des amplitudes qui ont respectivement pour valeurs  $A_1, A_2, A_3$ ... (fig. 1).

#### 6.2.1 La distorsion d'amplitude

Si l'amortissement dû à la propagation est indépendant de la fréquence, nous avons à la réception des amplitudes  $A_1$ ,  $A_2$ ,  $A_3$ ... correspondant respectivement aux fréquences  $f_1$ ,  $f_2$ ,  $f_3$ ... et  $A_1'/A_1 = A_2'/A_2 = A_3'/A_3 = ...$ 

HICRO-ONDES

(8)

*(*9)~

l'un voix

fini ; ond, ment

nous ment

Autrement dit, les amplitudes relatives sont conservées et le spectre de fréquences du signal à la réception est le même qu'à l'émission.

Si, en revanche, l'affaiblissement α dépendait de la fréquence, la précédente relation ne serait plus vérifiée et le spectre de fréquences du signal à la réception ne serait plus le même qu'à l'émission. La conséquence pratique en est une déformation de la voix humaine. Dans un tel cas, on dit qu'il y a « distorsion d'amplitude ».

Pour combattre la distorsion d'amplitude, dont aucun câble n'est rigoureusement exempt, il faut disposer à l'arrivée des filtres de fréquences du type passe-bande afin de découper le signal par bandes de fréquences, puis amplifier chacune de ces bandes de telle sorte que le coefficient d'amplification A dépende de la fréquence et vérifie la relation :  $\alpha(f) \cdot A(f) = \text{cte } \forall f$ .

#### 6.2.2 La distorsion de phase

Le fait que la vitesse de propagation soit indépendante de la fréquence implique que les différentes fréquences composant un signal émis à un instant t seront toutes reçues au même instant t', ce qui est la condition nécessaire à la reconstitution d'un spectre de fréquences identique à celui du signal émis pourvu, bien sûr, qu'il n'y ait pas eu distorsion d'amplitude ou qu'elle ait été corrigée.

Mais si v dépendait de la fréquence, cela signifierait que les composantes du spectre de fréquences reconstitué à un instant t' n'ont pas été émises au même instant. Il en résulterait une impossibilité de reconstituer le spectre de fréquences correspondant au son émis à l'instant t d'où une inaudibilité totale de la voix humaine. Cela s'appelle la « distorsion de phase ». Elle est beaucoup plus grave que la distorsion d'amplitude car les moyens à mettre en œuvre pour la compenser (disposer dans chaque bande de fréquences des lignes à retard variables) sont beaucoup plus onéreux.

#### 6.2.3 Moyens de réaliser la condition d'Heaviside

Pour les communications téléphoniques à courte, moyenne et longue distance par câbles urbains, interurbains et intercontinentaux ou transocéaniques, les cables utilisés sont, en général, tels que  $L_1$   $G_1 
leq R_1$   $C_1$ . Des procédés bien épronvés sont employés pour satisfaire la condition d'Heaviside en augmentant 🚉 de sont la « pupinisation » et la « krarupisation ».

#### a) La « pupinisation »

Ele est d'un usage courant sur les lignes téléphoniques terrestres, urbaines et interurbaines. Elle consiste à augmenter  $L_1$  en moyenne en intercalant à intervalles réguliers des inductances en série avec la ligne; en France, l'espace est de 955 m ou 1 830 m. Tant que l'on n'approche pas trop des fréquences pour lesquelles  $\lambda$  serait de l'ordre de l'espacement d des bobines de charge, tout se passe comme si l'on avait augmenté  $L_1$  de manière continue. En fait, la théorie montre que la condition de validité de ce procédé est :  $\lambda \gg \pi d$ .

#### b) La « krarupisation »

Elle est utilisée pour les câbles téléphoniques intercontinentaux ; elle consiste à enrouler autour du ou des conducteurs de la ligne, un ruban de permalloy de 0,2 à 0,3 mm d'épaisseur en une spirale aussi serrée que possible.

#### 6.3 **EXPRESSIONS DE LA TENSION** DU COURANT ET DE L'IMPÉDANCE

Au chapitre 3, nous avons établi les expressions de la tension, du courant et de l'impédance en un point d'une ligne fermée sur une charge  $Z_R$  caractérisée par son coefficient de réflexion  $\Gamma_R = \Gamma_R e^{j\phi}$ . Dans le cas où l'origine est prise sur cette charge, axe des x orienté vers le générateur :

$$\underline{V}(x) = \underline{V}_i \left( e^{\gamma x} + \underline{\Gamma}_R e^{-\gamma x} \right) \tag{10}$$

$$\underline{I}(x) = \underline{I}_i \left( e^{\gamma x} - \underline{\Gamma}_R e^{-\gamma x} \right)$$
 (11)

$$Z(x) = Z_c \frac{1 + \Gamma_R e^{-2\gamma x}}{1 - \Gamma_R e^{-2\gamma x}}$$
 (12)

L'impédance en valeur réduite est donc :

$$z(x) = \frac{1 + \prod_{R} e^{-2\gamma x}}{1 - \prod_{R} e^{-2\gamma x}}$$
(13)

En prenant un argument complexe  $\theta = \theta' + i \theta''$  tel que :

$$-e^{-2\theta} = \Gamma_R e^{j\phi}$$
 (14)

$$z(x) = \frac{1 - e^{-2\theta} e^{-2\gamma x}}{1 + e^{-2\theta} e^{-2\gamma x}} = \text{th} (\theta + \gamma x)$$
 (15)

Nous avons donc mis z(x) sous une forme particulièrement simple. Il en est de même pour  $\underline{V}(x)$  et  $\underline{I}(x)$  lorsque l'on remplace  $\prod_{R} par - e^{-2\theta}$ :

$$\underline{V}(x) = \underline{V}_i \left( e^{\gamma x} - e^{-2\theta} e^{-\gamma x} \right) \tag{16}$$

$$I(x) = I_i (e^{\gamma x} + e^{-2\theta} e^{-\gamma x})$$
 (17)

En mettant  $e^{-\theta}$  en facteur, nous obtenons successivement:

$$\underline{V}(x) = \underline{V}_i e^{-\theta} \left( e^{(\theta + \gamma x)} - e^{-(\theta + \gamma x)} \right)$$
 (18)

$$\underline{I}(x) = \underline{I}_i e^{-\theta} \left( e^{(\theta + \gamma x)} + e^{-(\theta + \gamma x)} \right)$$
 (19)

Soit finalement en amplitudes complexes:

$$\underline{V}(x) = 2 \underline{V}_i e^{-\theta} \operatorname{sh} (\theta + \gamma x)$$
 (20)

$$\underline{I}(x) = 2 \underline{I}_i e^{-\theta} \operatorname{ch} (\theta + \gamma x)$$
 (21)

- et en valeurs efficaces :

$$V(x) = \sqrt{2} V_i |e^{-\theta}| |\sinh(\theta + \gamma x)| = A |\sinh(\theta + \gamma x)|$$
 (22)

$$I(x) = \sqrt{2} I_i \left| e^{-\theta} \right| \left| \operatorname{ch} (\theta + \gamma x) \right| = \frac{A}{Z_c} \left| \operatorname{ch} (\theta + \gamma x) \right|$$
 (23)

# **6.4** ÉTUDE DES VARIATIONS DE LA TENSION ET DU COURANT

Nous mènerons cette étude à partir des expressions (22) et (23) et prendrons comme exemple pour le calcul, la tension. En nous rappelant que :  $\theta = \theta' + j \theta''$  et  $\gamma = \alpha + j \beta$ , nous avons successivement :

$$\begin{split} \operatorname{sh} \left( \theta + \gamma x \right) &= \operatorname{sh} \left[ \left( \theta' + \alpha x \right) + \operatorname{j} \left( \theta'' + \beta x \right) \right] \\ &= \operatorname{sh} \left( \theta' + \alpha x \right) \operatorname{ch} \operatorname{j} \left( \theta'' + \beta x \right) + \operatorname{ch} \left( \theta' + \alpha x \right) \operatorname{sh} \operatorname{j} \left( \theta'' + \beta x \right) \\ &= \operatorname{sh} \left( \theta' + \alpha x \right) \operatorname{cos} \left( \theta'' + \beta x \right) + \operatorname{j} \operatorname{ch} \left( \theta' + \alpha x \right) \operatorname{sin} \left( \theta'' + \beta x \right) \end{split}$$

$$\begin{aligned} |\sinh(\theta + \gamma x)| &= [\sinh^2(\theta' + \alpha x)\cos^2(\theta'' + \beta x) + \cosh^2(\theta'' + \alpha x)\sin^2(\theta'' + \beta x)]^{1/2} \\ &= [\{\sinh^2(\theta' + \alpha x)\}\{1 - \sin^2(\theta'' + \beta x)\} + \cosh^2(\theta'' + \alpha x)\sin^2(\theta'' + \beta x)]^{1/2} \\ &= [\sinh^2(\theta' + \alpha x) + \sin^2(\theta'' + \beta x)]^{1/2} \end{aligned}$$

Soit: 
$$V(x) = A \sqrt{\sinh^2(\theta' + \alpha x) + \sin^2(\theta'' + \beta x)}$$
 (24)

De même : 
$$I(x) = \frac{A}{Z_c} \sqrt{\sinh^2(\theta' + \alpha x) + \cos^2(\theta'' + \beta x)}$$
 (25)

#### 6.4.1 Cas général

Lorsque  $Z_R$ , c'est-à-dire  $\theta = \theta' + j \theta''$  est quelconque, l'étude des variations de la tension peut se faire en remarquant que V(x) est la somme :

- d'une fonction périodique  $\sin^2(\theta'' + \beta x)$
- d'une fonction monotone  $sh^2(\theta' + \alpha x)$ .

V(x) pourra elle-même être considérée comme une fonction périodique à condition que la variation du sh<sup>2</sup> soit assez faible pendant que le sin<sup>2</sup> varie entre un maximum et un minimum. Cela nécessite que la ligne ne présente pas de trop grandes pertes. Dans ces conditions, nous pouvons dire avec une bonne approximation (voir fig. 2) que :

- la périodicité des phénomènes est  $\lambda/2$ ;
- les valeurs des maxima et des minima sont obtenues pour les valeurs de x telles que  $\sin^2(\theta^n + \beta x) = 1$  ou 0. Soient  $x_M$  et  $x_m$  ces valeurs :

$$V_{\mathbf{M}} = A \operatorname{ch} \left( \mathbf{\theta'} + \alpha x_{\mathbf{M}} \right) \tag{26}$$

$$V_{\rm m} = A \, \operatorname{sh} \left( \theta' + \alpha x_{\rm m} \right) \tag{27}$$

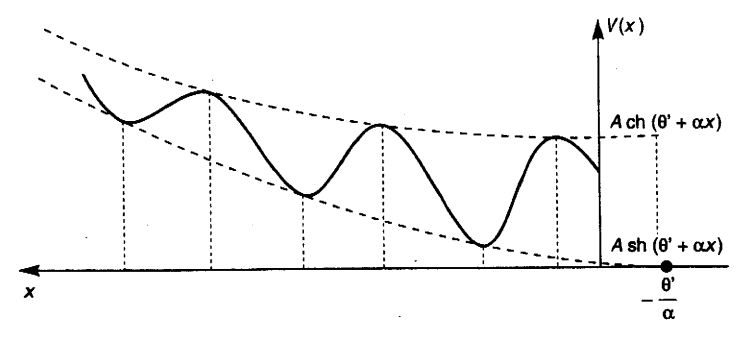


Figure 2 Courbe de la tend d'une la pertes : La des main minima A ch (6' A sh (6' Courbe la character)

Pour I(x), le problème est identique. Les seules différences dans les résultats consistent en ce que :

- les amplitudes sont divisées par  $Z_c$ ;
- les variations sont en opposition de phase, puisque dans (25),  $\cos^2(\theta'' + \beta x)$  remplace le  $\sin^2(\theta'' + \beta x)$  de (24).

#### **6.4.2** Cas particuliers

Nous ne reviendrons pas sur le cas où la ligne est terminée par son impédance caractéristique puisque l'étude du régime d'ondes progressives qui s'établit alors a été effectuée au chapitre 2 « Propagation sur une ligne en haute fréquence » en tenant compte du paramètre d'affaiblissement  $\alpha$ . Restent donc à étudier les cas où  $\Gamma_R = +1$  et  $\Gamma_R = -1$ . Nous allons déterminer dans chacun de ces cas les valeurs de  $\theta$ ,  $\theta$ ',  $\theta$ '' et voir comment s'écrivent les relations (22), (23), (24), (25).

#### a) Ligne en court-circuit $Z_R = 0 \Rightarrow \Gamma_R = -1$

Donc:

$$-e^{-2\theta} = -1 \Rightarrow e^{-2\theta} = 1.$$

Ou:

$$e^{-2\theta} = e^{-j2k\pi} \Rightarrow \theta = jk\pi$$
.

Comme :  $\theta = \theta' + j \theta''$ , il vient :  $\theta' = 0$  et  $\theta'' = k\pi$ .

VEC PER

ondire un rop

roxi-

de x

(26)(27)

 $+\beta x$ 

ultats

dance t alors e » en

es cas as les , (25).

(22) 
$$\rightarrow$$
  $V(x) = A \left| \operatorname{sh} (j k\pi + \gamma x) \right| = A \left| \operatorname{sh} \gamma x \right|$ 

(23) 
$$\rightarrow$$
  $I(x) = \frac{A}{Z_c} \left| \operatorname{ch} \left( j \, k \pi + \gamma x \right) \right| = \frac{A}{Z_c} \left| \operatorname{ch} \gamma x \right|$  (29)

(24) 
$$\rightarrow V(x) = A \sqrt{\sinh^2 \alpha x + \sin^2 (k\pi + \beta x)} = A \sqrt{\sinh^2 \alpha x + \sin^2 \beta x}$$
 (30)

(25) 
$$\rightarrow I(x) = \frac{A}{Z_c} \sqrt{\sinh^2 \alpha x + \cos^2 (k\pi + \beta x)} = \frac{A}{Z_c} \sqrt{\sinh^2 \alpha x + \cos^2 \beta x}$$
 (31)

D'après ces relations nous avons :

$$V_{\mathbf{M}} = A \operatorname{ch} \alpha x$$

$$V_{\rm m} = A \, \text{sh} \, \alpha x \tag{33}$$

(28)

(35)

(38)

(33)

(35)

$$I_{\mathbf{M}} = \frac{A}{Z_{\mathbf{n}}} \operatorname{ch} \alpha x \tag{3}$$

$$I_{\rm m} = \frac{A}{Z_c} \sinh \alpha x$$

$$V(x=0) = 0$$
 (36)  $I(x=0) = \frac{A}{Z_0}$  (37)

#### b) Ligne en circuit ouvert $Z_R = \infty \Rightarrow \Gamma_R = +1$

Donc:

$$-e^{-2\theta}=1 \Rightarrow e^{-2\theta}=-1$$
.

Ou:

$$e^{-2\theta} = e^{-j(2k+1)\pi} \Rightarrow \theta = j(2k+1)\pi/2.$$

Comme:

$$\theta = \theta' + i \theta''$$
, il vient  $\theta' = 0$  et  $\theta'' = (2k + 1) \pi/2$ .

(22) 
$$\rightarrow V(x) = A \left| \sinh \left| j (2k+1) \frac{\pi}{2} + \gamma x \right| \right| = A \left| \cosh \gamma x \right|$$

(23) 
$$\rightarrow$$
  $I(x) = \frac{A}{Z_c} \left| \operatorname{ch} \left[ j \left( 2k + 1 \right) \frac{\pi}{2} + \gamma x \right] \right| = \frac{A}{Z_c} \left| \operatorname{sh} \gamma x \right|$  (39)

(24) 
$$\rightarrow$$
 
$$V(x) = A \sqrt{\sinh^2 \alpha x + \sin^2 \left[ (2k+1) \frac{\pi}{2} + \beta x \right]}$$
$$= A \sqrt{\sinh^2 \alpha x + \cos^2 \beta x}$$
 (40)

(25) 
$$\rightarrow I(x) = \frac{A}{Z_c} \sqrt{\sinh^2 \alpha x + \cos^2 \left| (2k+1) \frac{\pi}{2} + \beta x \right|}$$
  
$$= \frac{A}{Z_c} \sqrt{\sinh^2 \alpha x + \sin^2 \beta x}$$
 (41)

D'après ces relations nous avons :

V(x=0) = A

$$V_{\rm M} = A \, \mathrm{ch} \, \mathrm{ca} x$$
 (32)  $V_{\rm m} = A \, \mathrm{sh} \, \mathrm{ca} x$ 

$$I_{\mathbf{M}} = \frac{A}{Z} \operatorname{ch} \alpha x \tag{3}$$

$$I_{\rm m} = \frac{A}{Z_{\rm c}} \sinh \alpha x$$

$$I(x=0) = 0 (43)$$

$$I(x=0)=0$$

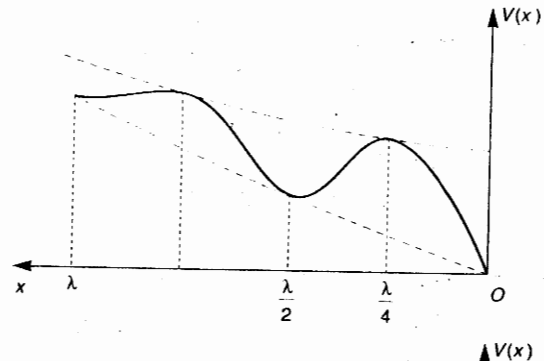


Figure 3. Courbe des van de la tension le d'une ligne av pertes court-ci

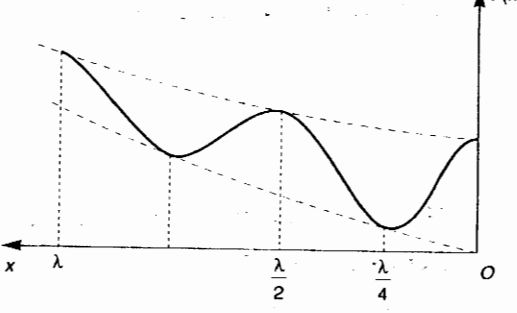


Figure 4. Courbe des vai de la tension le d'une ligne ave pertes en circui ouvert.

Les courbes ci-dessus montrent les variations des amplitudes de la tension pour une ligne en court-circuit (fig. 3) et pour une ligne en circuit ouvert (fig. 4). Dans les deux cas, les variations de la tension sont comprises entre des courbes en ch ax et sh ax. Pour ce qui est des variations du courant, la figure 3 correspondrait au cas d'un circuit ouvert et la figure 4 au cas d'un court-circuit.

#### 6.5 VARIATIONS DE L'IMPÉDANCE ET DU COEFFICIENT DE RÉFLEXION

### 6.5.1 Étude de l'impédance

D'après (20) et (21): 
$$Z(x) = \frac{\underline{V}(x)}{\underline{I}(x)} = Z_c \frac{\sinh(\theta + \gamma x)}{\cosh(\theta + \gamma x)}$$

D'après (24) et (25) : 
$$Z(x) = \frac{V(x)}{I(x)} = Z_c \frac{\sqrt{\sinh^2(\theta' + \alpha x) + \sin^2(\theta'' + \beta x)}}{\sqrt{\sinh^2(\theta' + \alpha x) + \cos^2(\theta'' + \beta x)}}$$
 (45)

En faisant la même approximation qu'au paragraphe 6.4.1 nous pouvons remarquer que :

• (45) est maximale lorsque  $\sin^2(\theta'' + \beta x) = 1$  (et alors  $\cos^2(\theta'' + \beta x) = 0$ )

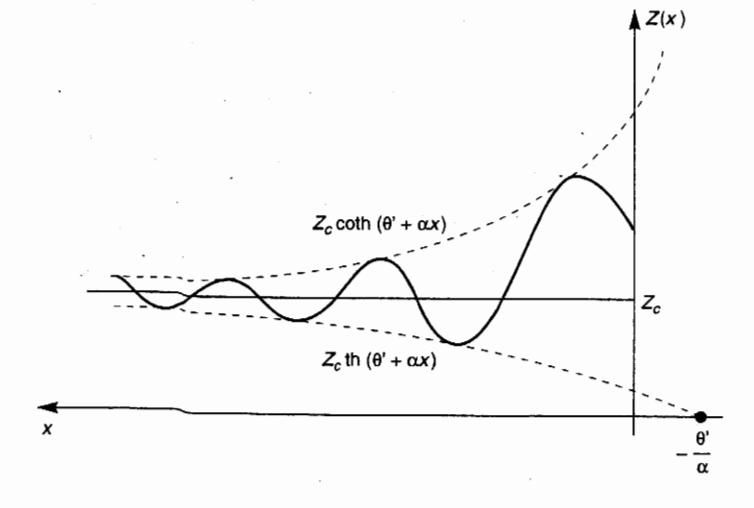
d'où 
$$Z_{M} = Z_{c} \frac{\sqrt{1 + \sinh^{2}(\theta' + \alpha x)}}{\sqrt{\sinh^{2}(\theta' + \alpha x)}} = Z_{c} \coth(\theta' + \alpha x)$$
 (46)

• (45) est minimale lorsque  $\sin^2(\theta'' + \beta x) = 0$  (et alors  $\cos^2(\theta'' + \beta x) = 1$ )

d'où 
$$Z_{\rm m} = Z_c \frac{\sqrt{\sinh^2(\theta' + \alpha x)}}{\sqrt{1 + \sinh^2(\theta' + \alpha x)}} = Z_c \operatorname{th}(\theta' + \alpha x) \tag{47}$$

Les variations de l'impédance s'effectuent donc, comme le montre la figure 5, entre les courbes représentatives de  $Z_c$  th  $(\theta' + \alpha x)$  et de  $Z_c$  coth  $(\theta' + \alpha x)$ . Notons qu'à mesure que x augmente th  $(\theta' + \alpha x)$  tend vers coth  $(\theta' + \alpha x)$ ; il en résulte que  $Z(x) \rightarrow Z_c$ . Le rôle des pertes semble donc, à grande distance, d'adapter la ligne; c'est évidement un procédé d'adaptation inadéquat.

Figure 5. Courbe des variations de l'impédance le long d'une ligne avec pertes : les enveloppes des maxima et des minima sont en  $Z_c \coth (\theta' + \alpha x)$ et  $Z_c$  th  $(\theta' + \alpha x)$ .



### 6.5.2 Étude du coefficient de réflexion

Nous avons vu que:  $\underline{\Gamma}(x) = \frac{\underline{V}_r e^{-\gamma x}}{V_c e^{\gamma x}} = \Gamma_R e^{j\phi} e^{-2\gamma x}$ 

 $\Gamma(x) = \Gamma_R e^{-2\alpha x} e^{j(\varphi - 2\beta x)}$  $\Gamma_R e^{-2\alpha x}$ Soit: (48)

• le module de  $\Gamma(x)$  est :

• l'argument de  $\underline{\Gamma}(x)$  est :

 $\phi - 2\beta x$ 

La courbe représentative des variations de  $\Gamma(x)$  dans le plan complexe (fig. 6) est donc une spirale logarithmique qui coupe tous les rayons vecteurs sous le même angle et s'enroule asymptotiquement autour de l'origine lorsque x augmente indéfiniment.

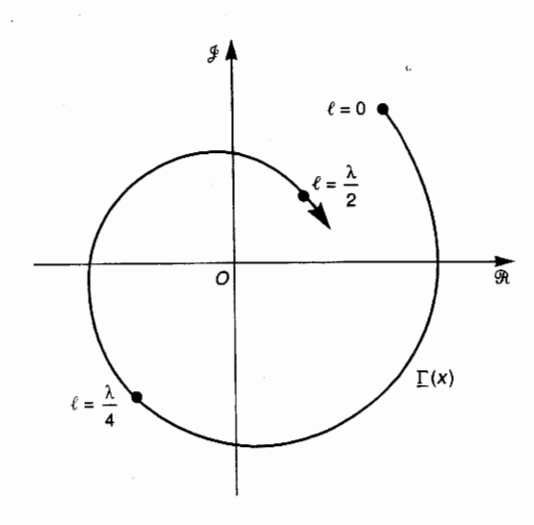


Figure ( Courbe (q du coeffo réflexion plan com

MICR

#### 6.6 Puissance transportée par une ligne

#### **6.6.1** Relation donnant P(x)

Nous savons qu'en un point quelconque d'une ligne, dans le cas où l'origine des abscisses est prise au récepteur et l'axe orienté du récepteur vers le générateur :

$$\underline{V}(x) = \underline{V}_i (e^{\gamma x} + \underline{\Gamma}_R e^{-\gamma x})$$

$$\underline{I}(x) = \underline{I}_i (e^{\gamma x} - \underline{\Gamma}_R e^{-\gamma x})$$

Par définition, la puissance active en ce point est donnée par :

$$P(x) = \frac{1}{2} \mathcal{R} \left[ \underline{V}(x) \cdot \underline{I}^*(x) \right]$$

Soit:

$$P(x) = \frac{V_i^2}{2 Z_c} \Re \left[ \left( e^{\gamma x} + \underline{\Gamma}_R e^{-\gamma x} \right) \left( e^{\gamma x} - \underline{\Gamma}_R e^{-\gamma x} \right)^* \right]$$
 (49)

Le terme entre crochets s'écrit successivement :

$$[e^{\alpha x} e^{j \beta x} + \Gamma_R e^{-\alpha x} e^{j(\phi - \beta x)}] [e^{\alpha x} e^{j \beta x} - \Gamma_R e^{-\alpha x} e^{j(\phi - \beta x)}] *$$

$$[e^{\alpha x} e^{j \beta x} + \Gamma_R e^{-\alpha x} e^{j(\phi - \beta x)}] [e^{\alpha x} e^{-j \beta x} - \Gamma_R e^{-\alpha x} e^{-j(\phi - \beta x)}]$$

$$e^{2\alpha x} + \Gamma_R e^{j(\phi - 2\beta x)} - \Gamma_R e^{-j(\phi - 2\beta x)} - \Gamma_R^2 e^{-2\alpha x}$$

dont la partie réelle est :

$$e^{2\alpha x} - \Gamma_R^2 e^{-2\alpha x}$$

D'où:

$$P(x) = \frac{V_i^2}{2 Z_c} (e^{2\alpha x} - \Gamma_R^2 e^{-2\alpha x})$$
 (50)

AVEC PERT

NE

(49)

(50)

# **6.6.2** Étude de la perte de puissance par transmission

À l'entrée de la ligne où  $x = \ell$ , la puissance fournie par le générateur est :

$$P(\ell) = \frac{V_i^2}{2 Z_c} (e^{2\alpha \ell} - \Gamma_R^2 e^{-2\alpha \ell})$$

À l'extrémité chargée où x = 0, la puissance absorbée par la charge est :

$$P(0) = \frac{V_i^2}{2 Z_c} (1 - \Gamma_R^2)$$

D'où la perte de puissance par transmission :

$$K = \frac{P(0)}{P(\ell)} = \frac{1 - \Gamma_R^2}{e^{2\alpha\ell} - \Gamma_R^2 e^{-2\alpha\ell}} = e^{-2\alpha\ell} \frac{1 - \Gamma_R^2}{1 - \Gamma_R^2 e^{-4\alpha\ell}}$$
(51)

L'étude de K est délicate à faire car on ne peut séparer complètement l'influence de la ligne et l'influence de la désadaptation. En effet, K est le produit de trois termes :

- l'un,  $e^{-2\alpha\ell}$  qui représente uniquement l'influence de la ligne ;
- l'autre,  $1 \Gamma_R^2$  qui représente uniquement l'influence de la désadaptation ;
- le dernier,  $\frac{1}{1 \Gamma_R^2 e^{-4\alpha \ell}}$  dans lequel les deux influences sont liées.

Les trois cas à considérer sont les suivants :

1. Si  $\alpha = 0 \rightarrow K = 1$ .

Cela signifie que la puissance est la même en tous les points de la ligne comme le montre d'ailleurs la relation :  $P(x) = (V_i^2/2Z_c)$   $(1 - \Gamma_R^2)$  qui est indépendante de x et ne dépend que de  $\Gamma_R$ .

2. Si  $\Gamma_R = 0 \rightarrow K = e^{-2\alpha \ell}$ .

Il y a sur la ligne une perte qui est exprimée :

- en Nepers par : (1/2) in  $K = -\alpha \ell$  (52)
- en Décibels par :  $10 \log K = -8,68 \alpha \ell$  (53)
- 3. Dans le cas général où α ≠ 0 et Γ<sub>R</sub> ≠ 0, il est intéressant de remarquer, par rapport au cas précédent, que l'influence de la désadaptation se traduit par l'apparition dans K d'un facteur :

$$\frac{1 - \Gamma_R^2}{1 - \Gamma_R^2 e^{-4\alpha\ell}} \tag{54}$$

Les pertes totales, dans ce cas, sont donc la somme ;

- des pertes propres à la ligne, dues à l'influence de  $\alpha$  seul, qui apparaissent dans le facteur e  $-2\alpha\ell$  de la relation (51),
  - Dittes causées par la désadaptation, dues à l'action conjuguée de  $\alpha$  et  $\Gamma_R$ , le paraissent dans le facteur (54) suscité.

# 6.6.3 Étude de la perte de puissance par désadaptation

L'expression (54) représente l'augmentation de la perte due à une mauvaise adaptation de la ligne. L'abaque de la figure 7 permet de connaître directement, en décibels, cette perte par désadaptation. Le R.O.S. p., associé à la charge, est porté en abscisses et les pertes propres à la ligne en ordonnées. L'augmentation de perte due à la désadaptation de la ligne se lit sur les courbes cotées.

Par exemple, nous allons calculer la perte totale d'une ligne de 20 m, d'affaiblissement linéique  $\alpha=0.05$  dB/m, d'impédance caractéristique 320  $\Omega$ , fermée sur une résistance de 40  $\Omega$ . Nous avons  $\alpha\ell=0.05\cdot 20=1$  dB et  $\rho=320/40=8$ . Le point d'abscisse 8 et d'ordonnée 1 est situé sur la courbe 2, Cela signifie que la désadaptation de la ligne fait perdre 2 dB. Comme les pertes propres à la ligne sont de 1 dB ( $\alpha\ell=1$  dB), il en résulte que la perte totale sera de 3 dB.

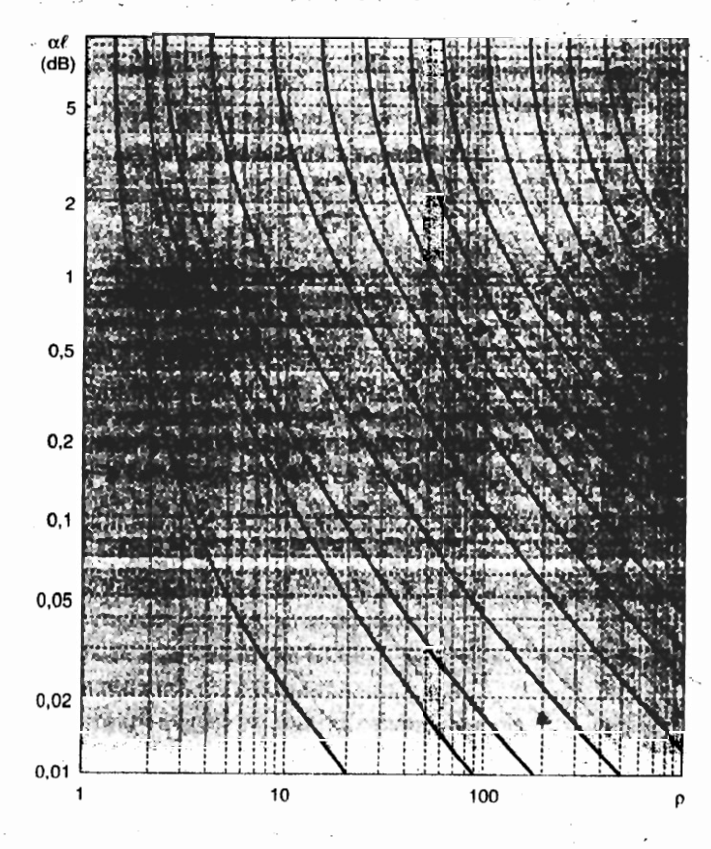


Figure 7.
Abaque donnar la perte par désadaptation d' ligne à pertes désadaptée; α/ est la perte projectte ligne et ρ. R.O.S. de la lig

D'après Roubin « Lignes et ante p. 136, Éditions Revue d'Optique Paris (1954).

#### **EXERCICES**



#### **EXERCICE 6.1**

(Paragraphe 6.1.1 – Étude du paramètre de propagation)

Démonstration des expressions (1) et (2) de  $\alpha$  et  $\beta$  dans le cas général où l'on ne fait aucune approximation.



#### **EXERCICE 6.2**

(Paragraphe 6.1.2 - Cas des lignes à faibles pertes)

- Dans l'hypothèse des lignes à faibles pertes, démontrer l'expression de Z<sub>c</sub> en fonction de R<sub>1</sub>, L<sub>1</sub>, G<sub>1</sub>, C<sub>1</sub>.
- 2) Si de plus  $G_1 = 0$ , montrer qu'il est possible d'exprimer  $Z_c$  en fonction de  $L_1$ ,  $C_1$  et  $\alpha$ ,  $\beta$ .



#### EXERCICE 6.3

(Paragraphe 6.6.2 – Étude de la perte de puissance par transmission)

Pour une ligne avec pertes adaptée, de longueur  $\ell$ , la perte relative de puissance par transmission est :  $K = P(0)/P(\ell) = e^{-2\alpha\ell}$ .

Exprimer K en Nepers et en Décibels.

Démontrer la relation de passage des Nepers aux Décibels.



#### **EXERCICE 6.4**

(Paragraphe 6.6.3 – Étude de la perte de puissance par désadaptation)

Calculer la perte totale d'une ligne de longueur  $\ell=10$  m, d'affaiblissement linéique  $\alpha=0.1$  dB/m, d'impédance caractéristique  $Z_c=300~\Omega$ , fermée sur une antenne d'impédance d'entrée  $Z_R=75~\Omega$ .

Même question si  $Z_c = 75 \Omega$  et  $Z_R = 300 \Omega$ .

# **Chapitre 7**

# Lignes en régime impulsionne

#### 7.1 INTRODUCTION

Dans les précédents chapitres, nous avons toujours fait l'étude des ligne régime sinusoïdal. Dans ce chapitre, nous allons nous intéresser aux ph mènes qui se produisent sur une ligne avec ou sans pertes en régime im sionnel, c'est-à-dire lorsque la tension appliquée à l'entrée de la ligne van façon quasi instantanée de 0 à une valeur constante E, avant de revenir apre intervalle de temps  $\tau$ , également de façon quasi instantanée, à la valeur 0 est nettement plus petit que le temps de propagation sur la ligne étudiée, dirons qu'il s'agit d'une impulsion de tension et, dans le cas contraire, échelon de tension.

Cette étude est très utile car l'emploi des impulsions en hyperfréquences, en t et en VHF permet beaucoup d'applications pratiques dont les principales sont

- · la radionavigation, avec la plupart des radars ;
- les télécommunications où l'on utilise de plus en plus des systèmes de mod lation par impulsion;
- · les méthodes de mesure des caractéristiques d'une ligne.

Cette étude est également très intéressante d'un point de vue pédagogique compréhension physique des phénomènes est, en effet, beaucoup plus ais régime impulsionnel où l'on peut distinguer (et au besoin visualiser) faciles ondes incidentes et les ondes réfléchies qu'en régime sinusordal où l'apeut séparer l'onde incidente de l'onde réfléchie que par la pensée.

#### **EXERCICES**



#### **EXERCICE 6.1**

(Paragraphe 6.1.1 – Étude du paramètre de propagation)

Démonstration des expressions (1) et (2) de  $\alpha$  et  $\beta$  dans le cas général où l'on ne fait aucune approximation.



#### **EXERCICE 6.2**

(Paragraphe 6.1.2 – Cas des lignes à faibles pertes)

- 1) Dans l'hypothèse des lignes à faibles pertes, démontrer l'expression de  $Z_c$  en fonction de  $R_1, L_1, G_1, C_1$ .
- 2) Si de plus  $G_1 = 0$ , montrer qu'il est possible d'exprimer  $Z_c$  en fonction de  $L_1$ ,  $C_1$  et  $\alpha$ ,  $\beta$ .



#### **EXERCICE 6.3**

(Paragraphe 6.6.2 – Étude de la perte de puissance par transmission)

Pour une ligne avec pertes adaptée, de longueur  $\ell$ , la perte relative de puissance par transmission est :  $K = P(0)/P(\ell) = e^{-2\alpha\ell}$ .

Exprimer K en Nepers et en Décibels.

Démontrer la relation de passage des Nepers aux Décibels.



#### **EXERCICE 6.4**

(Paragraphe 6.6.3 – Étude de la perte de puissance par désadaptation)

Calculer la perte totale d'une ligne de longueur  $\ell=10$  m, d'affaiblissement linéique  $\alpha=0.1$  dB/m, d'impédance caractéristique  $Z_c=300~\Omega$ , fermée sur une antenne d'impédance d'entrée  $Z_R=75~\Omega$ .

Même question si  $Z_c$  = 75  $\Omega$  et  $Z_R$  = 300  $\Omega$ .

# **Chapitre 7**

# Lignes en régime impulsionnel

#### 7.1 Introduction

Dans les précédents chapitres, nous avons toujours fait l'étude des lignes en régime sinusoïdal. Dans ce chapitre, nous allons nous intéresser aux phénomènes qui se produisent sur une ligne avec ou sans pertes en régime impulsionnel, c'est-à-dire lorsque la tension appliquée à l'entrée de la ligne varie de façon quasi instantanée de 0 à une valeur constante E, avant de revenir après un intervalle de temps  $\tau$ , également de façon quasi instantanée, à la valeur 0. Si  $\tau$  est nettement plus petit que le temps de propagation sur la ligne étudiée, nous dirons qu'il s'agit d'une impulsion de tension et, dans le cas contraire, d'un échelon de tension.

Cette étude est très utile car l'emploi des impulsions en hyperfréquences, en UHF et en VHF permet beaucoup d'applications pratiques dont les principales sont :

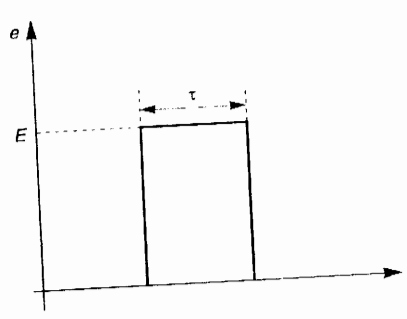
- la radionavigation, avec la plupart des radars ;
- les télécommunications où l'on utilise de plus en plus des systèmes de modulation par impulsion ;
- les méthodes de mesure des caractéristiques d'une ligne.

Cette étude est également très intéressante d'un point de vue pédagogique. La compréhension physique des phénomènes est, en effet, beaucoup plus aisée en régime impulsionnel où l'on peut distinguer (et au besoin visualiser) facilement les ondes incidentes et les ondes réfléchies qu'en régime sinusoïdal où l'on ne peut séparer l'onde incidente de l'onde réfléchie que par la pensée.

# 7.2 ÉTUDE EN RÉGIME D'IMPULSION DE TENSION

Figure 1.

Inton de tension
d'amplitude E,
de durée  $\tau$ .



L'impulsion peut se définir comme un signal (électrique, dans cette étude des lignes) ayant la forme indiquée à la figure 1 et dont la durée t est très faible vis-à-vis des temps de propagation considérés. C'est ainsi que pour une ligne de 100 m de long sur laquelle la vitesse de propagation est de l'ordre de 200 000 km/s, un signal électrique ne pourra être

vraiment considéré comme une impulsion que si :  $\tau \ll T = 100/2 \cdot 10^8 = 0.5 \,\mu s$ .

Figure 2. Générateur Lions, ligne de Mongueur  $\ell$  et Lione de charge.

ul-

de

šiτ

un

HF

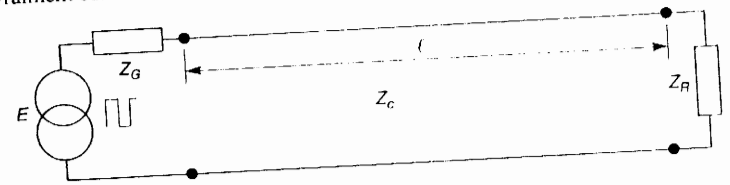
ıdu-

. La

e en

nent

ne ne

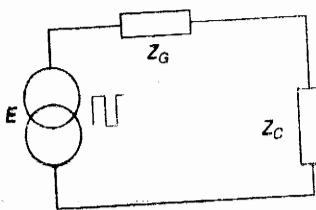


Considérons une ligne d'impédance caractéristique  $Z_c$ , de longueur  $\ell$ , terminée par une charge d'impédance  $Z_R$  (fig. 2). Nous supposons que cette ligne est alimentée par un générateur d'impulsions de force électromotrice E et d'impédance interne  $Z_G$ . Nous allons étudier deux cas fondamentaux.

# 7.2.1 Générateur adapté à la ligne – $Z_R$ réelle

C'est le cas où  $Z_G = Z_c$ ; le coefficient de réflexion à la jonction ligne-généraleur est donc nul. En revanche, au niveau de la charge :  $\Gamma_R = \frac{Z_R - Z_c}{Z_R + Z_c} \neq 0$  puisqu'en général :  $Z_R \neq Z_c$ .

Figure 3, eu équivalent à l'instant t = 0.



La force électromotrice du générateur d'impulsion étant fixe, l'amplitude des impulsions qu'il va délivrer à l'entrée de la ligne dépend de l'impédance qui charge ce générateur. Or, à l'instant t = 0 où une impulsion arrive à l'entrée de la ligne, on peut considérer que l'impédance de charge du générateur est  $Z_c$  (fig. 3). De 0 à 2T,

instant où l'impulsion réfléchie sur la charge (à l'instant T) reviendra sur le

générateur, tout se passe comme si ce dernier était fermé sur une ligue infiniment longue dont l'impédance en tous points peut être considérée, nous l'avons vu, comme égale à  $Z_\ell$ .

À l'instant  $t \neq 0$ , nous avons donc, à l'entrée de la ligne, une impulsion de tension d'amplitude :

$$V_c = F \frac{Z_c}{Z_c + Z_G} \tag{1}$$

Puisque nous étudions le cas où  $Z_G=Z_G,\ V_c=E/2$ . Cette impulsion va se réfléchir sur la charge à l'instant  $T=\ell/v$  et retourne vers le générateur, qu'elle atteint à l'instant 2T, avec une amplitude  $\Gamma_R$  E/2. Elle ne peut se réfléchir à l'entrée de la ligne puisque  $\Gamma_G=0$ .

En branchant un oscilloscope aux bornes d'entrée de la ligne, nous observerons l'impulsion aller (t=0) d'amplitude E/2 et l'impulsion retour (t=2T) d'amplitude  $\Gamma_R E/2$ , de polarité positive ou négative selon que  $\Gamma_R$  est positif ou négatif (fig. 4).

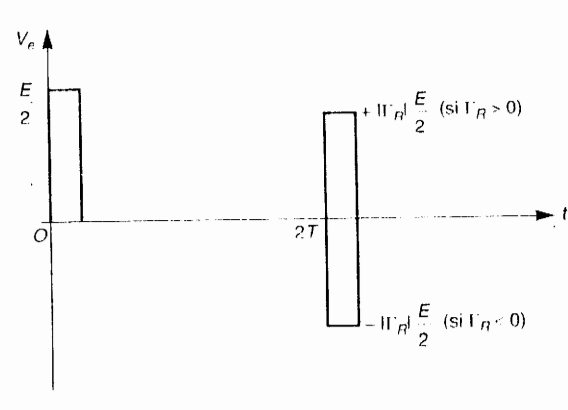


Figure 4.
Phénomènes observables oscilloscope de la ligne doù le général adapté.

Les cas particuliers intéressants sont ceux où :

- a)  $Z_R = \infty$  Alors,  $\Gamma_R = +1$ . L'impulsion réfléchie est positive, de même amplitude que l'impulsion incidente.
- b)  $Z_R = 0$  Alors,  $\Gamma_R = -1$ . L'impulsion réfléchie est négative, de même amplitude que l'impulsion incidente.
- c)  $Z_R = Z_c$  Alors,  $\Gamma_R = 0$ . Il n'y a pas d'impulsion réfléchic.

### 7.2.2 Générateur désadapté – $Z_R$ réelle

Dans ce cas une impulsion se propageant sur la ligne pourra être réfléchie tant au niveau de la charge :  $\left(\Gamma_R = \frac{Z_R - Z_C}{Z_R + Z_C} \neq 0\right)$ 

que du générateur :  $\left(\Gamma_G = \frac{Z_G - Z_c}{Z_G + Z_c} \neq 0\right)$ 

À l'instant t = 0, nous avons à l'entrée de la ligne une impulsion de tension d'amplitude :

$$V_e = E \frac{Z_c}{Z_c + Z_G} = E^{\gamma}$$
 (2)

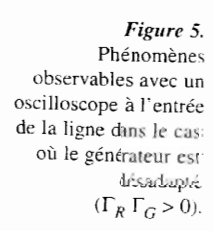
 $E^*$  est ici différent de  $E_\ell/2$  puisque  $Z_G$  est différent de  $Z_c$ . Si  $Z_G > Z_c$ ,  $E^* < E/2$  et si  $Z_G < Z_c$ ,  $E^* > E/2$ . Cette impulsion se réfléchit sur la charge à l'instant t = T et revient à l'entrée de la ligne avec une amplitude  $\Gamma_R$   $E^*$ ; à l'instant t = 2T, elle se réfléchit sur le générateur et repart vers la charge avec une amplitude  $\Gamma_R$   $\Gamma_G$   $E^*$ ; et ainsi de suite...

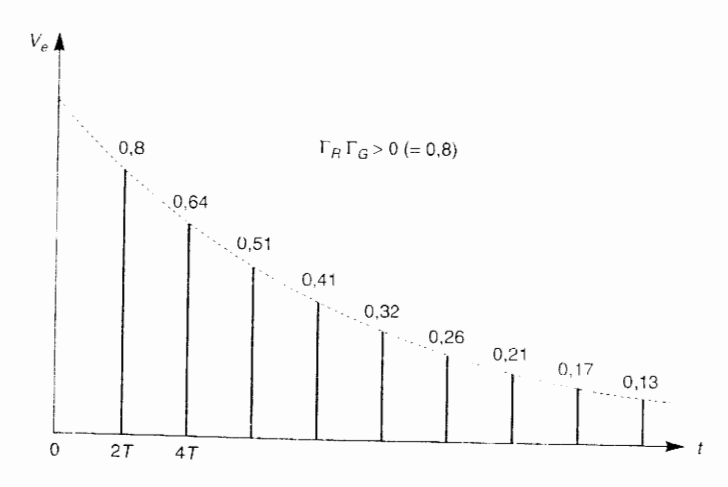
Il y a donc à l'entrée de la ligne une succession d'impulsions d'amplitudes E,  $\Gamma_R$   $\Gamma_G$  E,  $\Gamma_R^2$   $\Gamma_G^2$  E, respectivement aux instants 0, 2T, 4T...; il y a de même au niveau de la charge une succession d'impulsions d'amplitudes E  $\Gamma_R$ . E  $\Gamma_R^2$   $\Gamma_G$ . E  $\Gamma_R^3$   $\Gamma_G^2$ ... respectivement aux instants T, 3T, 5T...

Comme  $\Gamma_R \Gamma_G$  est inférieur à 1 en module, les variations de la tension  $V_e$  à l'entrée de la ligne représentent une succession d'impulsions d'amplitudes progressivement décroissantes, toutes positives ou alternativement positives et négatives selon que  $\Gamma_R \Gamma_G$  est positif ou négatif (fig. 5 et 6).

#### Remarque

Dans le cas où l'on a une ligne avec pertes, la décroissance est plus rapide puisque le facteur multiplicatif qui permet de passer d'une impulsion à la suivante n'est plus  $\Gamma_{\rm R}$   $\Gamma_{\rm G}$  mais  $\Gamma_{\rm R}$   $\Gamma_{\rm G}$   $r_{\rm G}$   $r_{\rm G}$ 





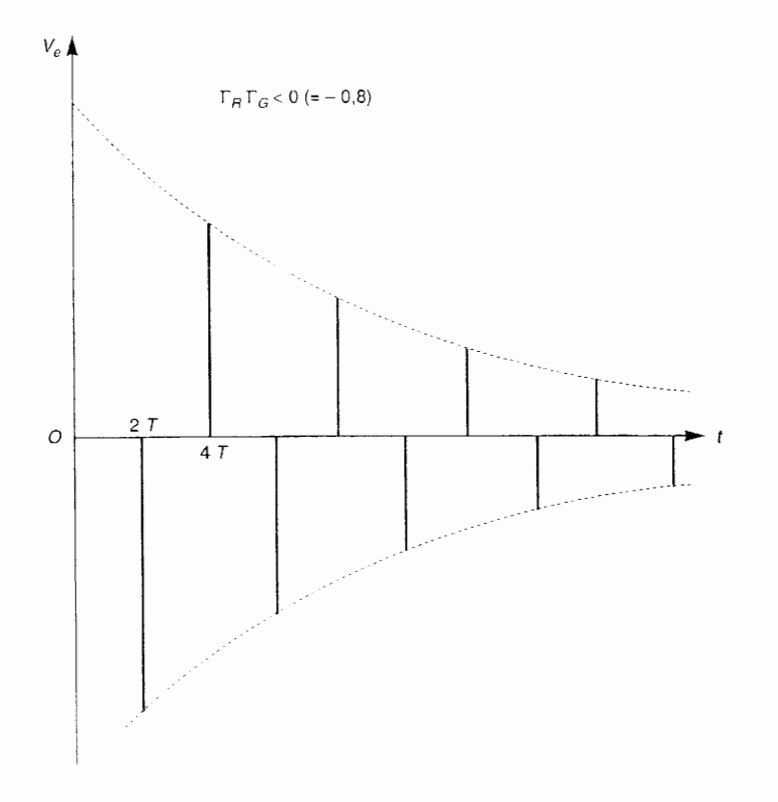


Figure 6.
Phénomène de la lignet où le génén désadapté (Γ<sub>R</sub> Γ<sub>C</sub> 5)

#### 7.2.3 Phénomènes observables en pratique

La description qui vient d'être faite des variations de la tension à l'entrée de la ligne repose sur deux hypothèses :

- a) Les impulsions utilisées sont infiniment courtes en durée.
- b) La mesure de  $V_e$  se fait exactement à l'endroit où s'effectue la réflexion à la jonction ligne-générateur.

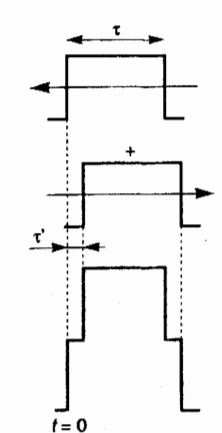
Or, ces deux conditions ne peuvent être exactement réalisées dans la pratique :

- on utilise des impulsions qui, si courtes soient-elles, ont une durée  $\tau$  non négligeable ;
- la mesure de  $V_e$  se fera le plus souvent à une petite distance de la jonction ligne-générateur, côté ligne.

La conséquence en est qu'une partie de l'impulsion « incidente » (celle qui vient de la charge) et de l'impulsion « réfléchie » (celle qui repart vers la charge) peuvent se superposer.

Figure 7.

pe, au niveau
nt de mesure,
n'impulsion
incidente et
ion réfléchie
n sénérateur.

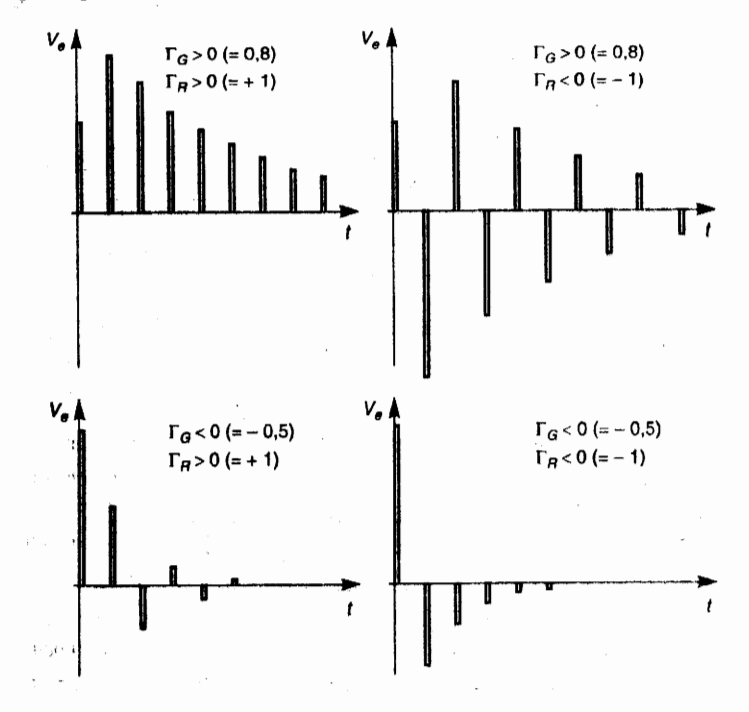


Le schéma de la figure 7 montre, en effet, que l'impulsion « réfléchie » arrive au point de mesure alors que l'impulsion « incidente » n'est pas encore terminée. Il suffit, pour cela, que la durée  $\tau$  de l'impulsion « incidente » soit supérieure au temps  $\tau$ ' que met le front avant de cette impulsion à effectuer l'aller-retour entre le point de mesure et le point où s'effectue la réflexion.

Dans ces conditions, nous observerons à l'oscilloscope :

- À t = 0, une impulsion « simple » d'amplitude E'.
- À t=2T, une impulsion « double » d'amplitude E'  $\Gamma_R$   $(1+\Gamma_G)$ , résultant de la superposition de l'impulsion « incidente » d'amplitude E'  $\Gamma_R$  et de l'impulsion « réfléchie » d'amplitude E'  $\Gamma_R$   $\Gamma_G$ .
- À t = 4T une impulsion « double » d'amplitude  $E' \Gamma_R^2 \Gamma_G (1 + \Gamma_G)$ ; etc.

Or, si nous avons toujours, en module : E'  $\Gamma_R$   $(1 + \Gamma_G) > E'$   $\Gamma_R^2$   $\Gamma_G$   $(1 + \Gamma_G) > \dots$  puisque l'on passe d'une impulsion à sa suivante en la multipliant par  $\Gamma_R$   $\Gamma_G$ , nous n'avons pas forcément : E' > E'  $\Gamma_R$   $(1 + \Gamma_G)$  car  $\Gamma_R$   $(1 + \Gamma_G)$  peut être plus grand que 1, en module.



Cela dépend des valeurs de  $\Gamma_R$  et de  $\Gamma_G$ . Il ne faudra donc pas s'étonner si la première impulsion observée est plus petite que la suivante. Les différents cas possibles sont représentés aux figures 8 à 11.

# 7.3 ÉTUDE EN RÉGIME D'ÉCHELON DE TENSION

Un échelon de tension peut être considéré comme une impulsion dont la durée est beaucoup plus grande que le temps de propagation aller-retour sur la ligne de longueur  $\ell$  à laquelle elle est appliquée (fig. 12).

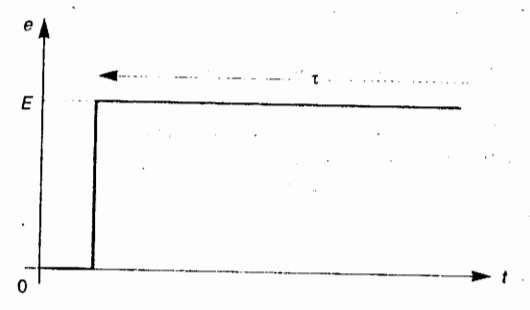


Figure 12. Échelon de tensi d'amplitude E.

C'est un signal particulièrement intéressant car la plupart des phénomènes impulsionnels peuvent se ramener à une superposition d'échelons de tension : c'est ainsi, par exemple, qu'une impulsion d'amplitude E peut être envisagée comme la superposition de deux échelons de tension décalés de  $\tau$  dans le temps, le premier d'amplitude +E, le second d'amplitude -E.

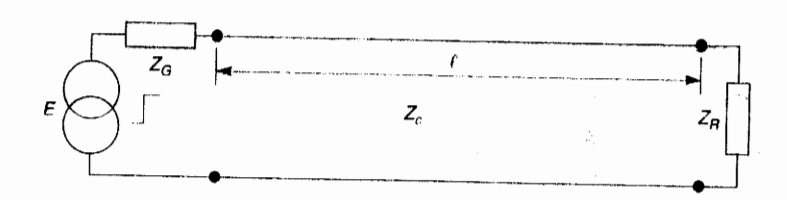


Figure 13.
Générateur d'échde tension, ligne longueur  $\ell$  et impédance de ch

Considérons, comme au paragraphe 7.2.« Étude en régime d'impulsion de tension », une ligne d'impédance caractéristique  $Z_c$  de longueur  $\ell$ , terminée par une charge d'impédance  $Z_R$  (fig. 13). Nous supposons, cette fois-ci, qu'un générateur de signaux, de force électromotrice E, envoie à cette ligne un échelon de tension. Nous allons étudier trois cas fondamentaux.

de la

n à la

ıe : négli-

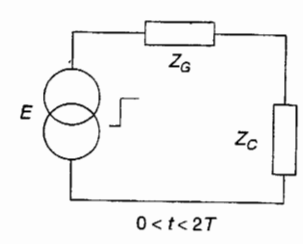
iction

vient

) peu-

### 7.3.1 Générateur adapté à la ligne – $Z_R$ réelle

Figure 14. Réseau équivalent pour 0 < t < 2T.



Soit t=0, l'instant où l'échelon de tension est appliqué à l'entrée de la ligne. Durant l'intervalle de temps 2T que le front de l'échelon de tension mettra à aller sur la charge, s'y réfléchir et revenir à l'entrée de la ligne, tout se passe comme si le générateur avait entre ses bornes une impédance  $Z_c$  (fig. 14). La tension à l'entrée de la ligne sera donc égale à :

$$V_e = E \frac{Z_c}{Z_c + Z_G} = \frac{E}{2}$$
 (3)

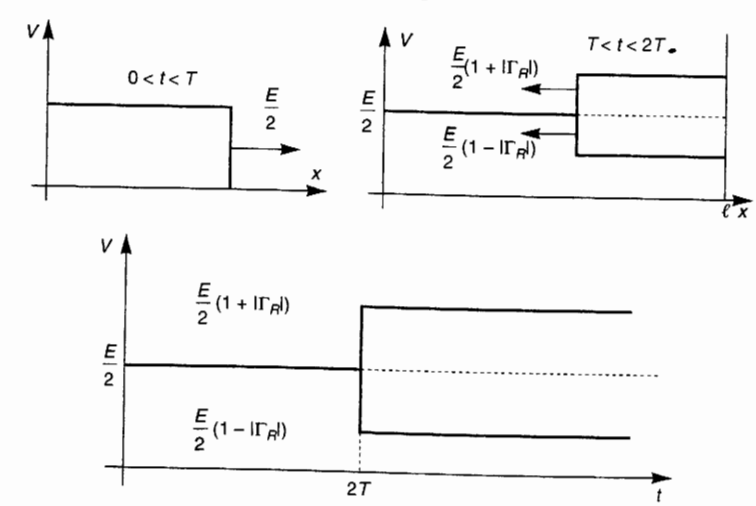
C'est, par conséquent, un front d'onde d'amplitude E/2 qui se propage vers la charge où il se réfléchit à l'instant t=T (fig. 15). Alors prend naissance une onde réfléchie d'amplitude  $\Gamma_R$  E/2 tandis qu'il existe toujours une onde incidente d'amplitude E/2.

- Si  $\Gamma_R > 0$ , les amplitudes des deux ondes se superposeront ; l'amplitude résultante sera :  $(1 + |\Gamma_R|) E/2$  (fig. 16).
- Si  $\Gamma_R < 0$ , les amplitudes des deux ondes se retrancheront ; l'amplitude résultante sera :  $(1 |\Gamma_R|) E/2$  (fig. 16).

Figure 15. Propagation de l'échelon de tension sur la ligne pour 0 < t < T.

Figure 16. Propagation de l'échelon de tension sur la ligne pour T < t < 2T.

Figure 17.
Phénomènes
observables avec un
oscilloscope à l'entrée
de la ligne dans le cas
où le générateur est
adapté.



Arrivée à l'entrée de la ligne, l'onde réfléchie ne pourra pas, à son tour, se réfléchir puisque  $\Gamma_G=0$ . À partir de l'instant 2T, la ligne sera donc chargée à la tension (fig. 17) :

$$\left(1 \pm \left| \Gamma_R \right| \right) \frac{E}{2} \tag{4}$$

Les cas particuliers intéressants sont ceux où :

- a)  $Z_R = \infty$  Alors  $\Gamma_R = 1$ : l'onde réfléchie double la charge prise sur la ligne.
- b)  $Z_R = 0$  Alors  $\Gamma_R = -1$ : l'onde réfléchie annule la charge prise par la ligne.
- c)  $Z_R = Z_c$  Alors  $\Gamma_R = 0$ : il n'y a pas d'onde réfléchie. La ligne est tout entière chargée à la valeur E/2 dès que t = T.

# 7.3.2 Générateur adapté à la ligne – $Z_R$ imaginaire pure

L'originalité de ce cas, par rapport au précédent, tient à ce que  $\Gamma_R$  est fonction du temps ; il faudra donc se demander quel est le régime transitoire sur l'impédance de charge.

#### a) Charge capacitive : $Z_R = 1/jC\omega$

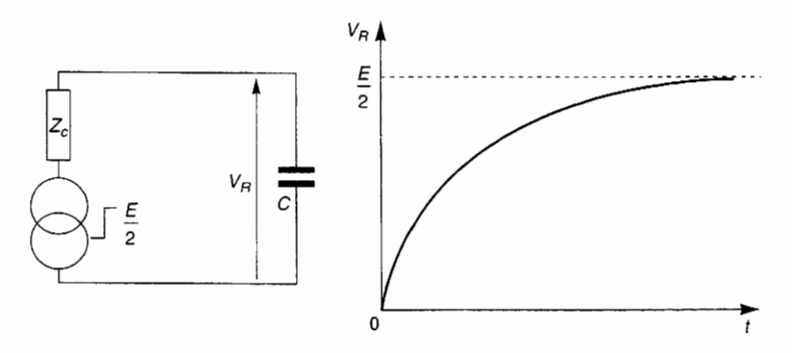


Figure Résem variant en forma aux bu charant sourme de to

Lorsqu'au bout de t = T, l'échelon de tension d'amplitude E/2 arrive sur C, tout se passe comme si, à cet instant précis, on constituait en bout de ligne le circuit de la figure 18. Le condensateur va donc se charger exponentiellement à la valeur E/2 avec une constante de temps  $\tau = C Z_c$  (fig. 19).

À l'extrémité de la ligne, il y a, à t=T, un courant instantané de charge, de valeur  $I_R=E/2$   $Z_c$  et, comme la charge commencé juste,  $V_R=0$ ; donc  $Z_R=0$  et  $\Gamma_R$  (T)=-1. Tout se passe comme s'il y avait un court-circuit en bout de ligne. En fin de charge,  $I_R=0$  et  $V_R=E/2$  donc  $Z_R=\infty$ : le condensateur est équivalent à un circuit ouvert. Alors  $\Gamma_R=1$ . Dans le régime transitoire, le coefficient de réflexion passe donc de -1 à +1 au fur et à mesure que la charge s'effectue.

À l'entrée de la ligne, entre 0 et 2T, la tension est E/2 (fig. 20).

MICRO-ONDES

la ligne. se par la

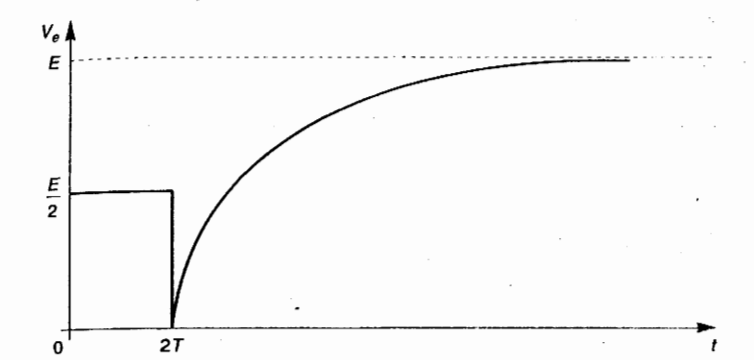
est tout

fonction r l'impél'entrée

échelon

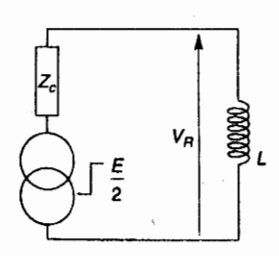
r C, tout le circuit nent à la

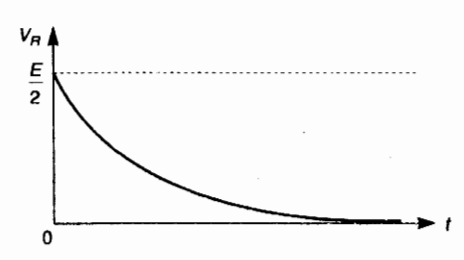
arge, de  $Z_R = 0$  et bout de ateur est e coeffirge s'ef-



À l'instant 2T, il arrive une onde d'amplitude – E/2, ce qui fait que la tension s'annule comme si la ligne était court-circuitée. Mais, au fur et à mesure que t augmente,  $\Gamma_{\rm p}$  passe de - 1 à + 1 avec une constante de temps égale à celle du condensateur. Dans ces conditions, l'amplitude de l'onde réfléchie croît avec la même constante de temps de -E/2 à +E/2 donc  $V_a$  croît de 0 à +E.

#### b) Charge inductive : $Z_R = jL\omega$





Lorsqu'au bout de t = T, l'échelon de tension d'amplitude E/2 arrive sur L, tout se passe comme si, à cet instant précis, on constituait en bout de ligne le circuit (fig. 21). Il va donc apparaître aux bornes de L une force électromotrice d'induction propre qui va s'opposer à l'établissement d'un courant dans L. Pour t = T, elle a pour valeur E/2 et elle va décroître ensuite exponentiellement pour s'annuler avec la constante de temps  $\tau = L/Z_c$  (fig. 22).

A l'extrémité de la ligne, nous avons pour t = T:  $I_R = 0$ ,  $V_R = E/2$  d'où  $Z_R = \infty$ . Tout se passe comme si l'on avait une ligne ouverte. Donc :  $\Gamma_R(T) = +1$ . En fin de charge, au contraire,  $V_R = 0$ , donc  $Z_R = 0$  et  $\Gamma_R = -1$ . Tout se passe comme si l'on avait une ligne court-circuitée. Dans le régime transitoire, le coefficient de réflexion passe donc de +1 à -1.

À l'entrée de la ligne, la tension est égale à E/2 entre 0 et 2T (fig. 23). À l'instant 2T arrive une onde d'amplitude E/2: la tension double comme si la ligne était ouverte. Mais, au fur et à mesure que t augmente,  $\Gamma_R$  passe de + 1 à - 1

avec une constante de temps égale à celle de l'inductance. Alors l'amplitude réfléchie diminue de E/2 à -E/2 et la tension à l'entrée de la ligne décroît de E

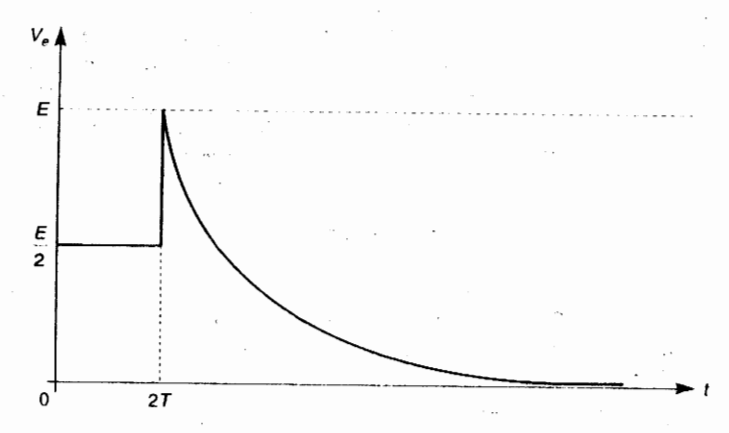


Figure 23. Phénomènes observables as oscilloscope à d'une ligne po générateur ada une charge ind

#### 7.3.3 Générateur désadapté – $Z_R$ réelle

À partir de l'instant (soit t = 0), où l'échelon de tension est appliqué à la ligne, nous avons vu qu'une onde incidente initiale d'amplitude  $E' = E Z_c/(Z_c + Z_G)$  se propageait du générateur vers la charge. La charge ayant un coefficient de réflexion  $\Gamma_R$ , il y prend naissance, à t = T, une onde réfléchie d'amplitude  $\Gamma_R E'$ qui se propage vers le générateur. En arrivant sur le générateur, à t = 2T, cette onde donne à son tour naissance à une seconde onde incidente d'amplitude  $\Gamma_R \Gamma_G E'$  et ainsi de suite.

La différence entre ce régime et celui d'impulsions de tension est que nous nous intéressons ici à la propagation d'ondes qui se superposent les unes aux autres alors que nous avions à faire précédemment à des impulsions qui étaient bien séparées les unes des autres. Pour faire une étude mathématique du phénomène, appelons en les affectant d'un numéro d'ordre :

- · Ol, les ondes qui se déplacent vers la charge,
- OR, les ondes qui se déplacent vers l'entrée de la ligne.

$$OI_1 = E'$$

$$OR_1 = \Gamma_R E'$$

$$OI_2 = \Gamma_R \Gamma_G E'$$

$$OR_2 = \Gamma_R^2 \Gamma_G E'$$

$$OR_3 = \Gamma_R^3 \Gamma_G^2 E'$$

$$\dots$$

$$OI_n = (\Gamma_R \Gamma_G)^{n-1} E'$$

$$OR_n = \Gamma_R^n \Gamma_G^{n-1} E'$$

Faisons la somme de toutes ces ondes :

$$\begin{aligned} OI_{1} + OR_{1} &= E' \left( 1 + \Gamma_{R} \right) \\ OI_{2} + OR_{2} &= E' \left( 1 + \Gamma_{R} \right) \Gamma_{R} \Gamma_{G} \\ OI_{3} + OR_{3} &= E' \left( 1 + \Gamma_{R} \right) \left( \Gamma_{R} \Gamma_{G} \right)^{2} \\ & \dots \\ OI_{n} + OR_{n} &= E' \left( 1 + \Gamma_{R} \right) \left( \Gamma_{R} \Gamma_{G} \right)^{n-1} \\ S &= E' \left( 1 + \Gamma_{R} \right) \sum_{i=0}^{n-1} \left( \Gamma_{R} \Gamma_{G} \right)^{i} \end{aligned}$$

C'est une série géométrique de raison  $q = \Gamma_R \Gamma_G$  et de terme général  $a = E'(1 + \Gamma_R)$  dont la somme lorsque  $n \to \infty$  est :

$$S = \frac{a}{1 - q} = E' \frac{1 + \Gamma_R}{1 - \Gamma_R \Gamma_G}$$
 (5)

Or: 
$$E' = E \frac{Z_c}{Z_c + Z_G}, \quad \Gamma_R = \frac{Z_R - Z_c}{Z_R + Z_c} \quad \text{et} \quad \Gamma_G = \frac{Z_G - Z_c}{Z_G + Z_c}$$

Nous trouvons:

$$S = E \frac{Z_R}{Z_R + Z_G} \tag{6}$$

Tout se passe donc, en fin de compte, comme si le générateur était directement fermé sur  $Z_R$ . Physiquement, cela correspond au fait que lorsque  $t \to \infty$  les réflexions aux extrémités de la ligne deviennent négligeables ; le régime transitoire est alors terminé et l'on se trouve en régime permanent continu pour lequel la ligne étudiée sert tout simplement à connecter le générateur à l'impédance  $Z_R$ .

En principe, le régime transitoire dure un temps infiniment long puisque, tous les 2T, il y a un accroissement de tension supplémentaire. En fait, le régime permanent s'établit assez vite sur la ligne car, d'une part les accroissements sont de plus en plus faibles, d'autre part les intervalles de temps 2T sont très courts (de l'ordre de  $1 \mu s$  pour une ligne de 100 m).

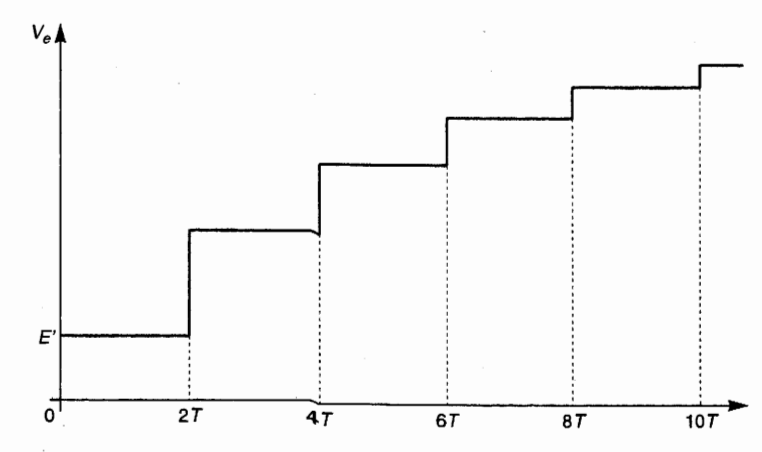
Avec un oscilloscope, nous observerions aux instants 2T, 4T, 6T... les variations de la tension à l'entrée de la ligne résultant de la superposition à la tension déjà existante d'une onde de tension venant de la charge et de l'onde réfléchie à l'entrée de la ligne à laquelle elle donne naissance. Nous aurons ainsi successivement (fig. 24):

• de 0 à 
$$2T - \varepsilon$$
: E'

• de 
$$2T$$
 à  $4T - \varepsilon$ :  $E' + \Gamma_R E' + \Gamma_R \Gamma_G E' = E' + \Gamma_R (1 + \Gamma_G) E'$ 

• de 
$$4T \ge 6T - \epsilon$$
:  $E' + \Gamma_R (1 + \Gamma_G) E' + \Gamma_R^2 \Gamma_G E' + \Gamma_R^2 \Gamma_G^2 E'$   
=  $E' + \Gamma_R (1 + \Gamma_G) E' + \Gamma_R^2 \Gamma_G (1 + \Gamma_G) E'$ 

$$= E' + \Gamma_R (1 + \Gamma_G) E' [1 + \Gamma_R \Gamma_G]$$
 etc.



Figur Phéna observ oscilla d'une généra dans le

La tension à la fin du régime transitoire est la somme de E' et de la série :

$$\Gamma_R(1+\Gamma_G) E' [1+\Gamma_R \Gamma_G + \Gamma_R^2 \Gamma_G^2 + \dots]$$

dont le terme général est :  $\Gamma_R (1 + \Gamma_G) E$ , et la raison :  $\Gamma_R \Gamma_G$ .

La tension à l'entrée de la ligne lorsque le régime permanent est établi est donc :

$$E' + E' \frac{\Gamma_R (1 + \Gamma_G)}{1 - \Gamma_R \Gamma_G} = E' \frac{1 - \Gamma_R \Gamma_G + \Gamma_R \Gamma_G}{1 - \Gamma_R \Gamma_G} = E' \frac{1 + \Gamma_R}{1 - \Gamma_R \Gamma_G}$$
(7)

C'est bien là le résultat qui avait été trouvé, en sommant d'une façon différente à la formule (5).

D'autres « cas de figure » que celui représenté ci-dessus (qui correspond à  $\Gamma_R$  et  $\Gamma_G > 0$ ) sont possibles selon que  $\Gamma_R$  et  $\Gamma_G$  sont tous deux < 0 ou l'un > 0 et l'autre < 0. Il est vivement conseillé au lecteur de tracer, pour chacun d'eux, les graphiques  $V_e$  (t) à titre d'exercice.

#### Remarque

Tous les raisonnements de ce paragraphe ont été faits en supposant que l'on avait une ligne sans perte. Dans le cas d'une ligne avec pertes, ils restent qualitativement valables ; dans les relations écrites, on tiendra compte des pertes en ajoutant un facteur multiplicatif  $e^{-\alpha \ell}$  chaque fois qu'une longueur de ligne  $\ell$  a été parcourue par une des ondes considérées.

nc:

**(7)** 

nte à

 $\Gamma_R$  et 0 et

k, les

#### ERCICE 11.1

raplie 11.2.2 – Réflexion à la surface d'un conducteur imparfait)

est caractérisée par une conducti-3 m<sup>-1</sup>) et une permittivité relative

o ε<sub>n</sub> ε<sub>r</sub> > 10, on peut considérer de mer se comporte comme un Imparfait. À partir de quelle frétre propriété est-elle vraie ?

quence de 10 MHz, calcular la coefficient de réflexion à l'interonducteur dans le càs d'une inci-

mphe 11.3 – Réflexion sur un plan ncteur sous incidence oblique)

Mide qui se réfléchit sur un plan Misous une incidence de 45°. Le Etique étant de l'air, calculer les d'onde dans les cas T.E. et T.M.

Réflexion et transmission

ement sec est caractérisé par 0 ± 10 = 3 (S · m = 1) et une

permittivité relative  $\varepsilon_r = 15$ , c'est-à-dire par une permittivité complexe  $\varepsilon = \varepsilon - j \sigma/\omega$  avec  $\varepsilon = \varepsilon_0 \ \varepsilon_r$ .

- 1) Lorsque  $\sigma/\omega \, \epsilon_0 \, \epsilon_r < 1/10$ , on peut considérer que le sol se comporte comme un diélectrique à pertes. À partir de quelle fréquence cette propriété est-elle vraie ?
- 2) À la fréquence de 1 GHz, calculez le coefficient de réflexion à l'interface air (milieu 1) - sol (milieu 2) pour un angle d'incidence de 60° par rapport à la normale, dans les deux cas de polarisation.

#### **EXERCICE 11.4**

(Paragraphe 11.4 - Réflexion et transmission à l'interface de deux diélectriques)

De part et d'autre d'une interface  $\Sigma$  entre deux milieux diélectriques, nous avons :

- une onde incidente  $(\vec{E}_i, \vec{H}_i)$  selon la direction  $\vec{u}_i$ ;
- une onde réfléchie  $(\vec{E_r}, \vec{H_r})$  selon la direction  $\dot{u}_{i}$ ;
- une onde transmise  $(\vec{E}_t, \vec{H}_t)$  selon la direction  $\vec{u}_{\mu}$
- 1) À partir des vecteurs de Poynting de chacune de ces ondes, écrire la relation qui traduit la conservation de la puissance.
- 2) Par projection sur un axe des z perpendiculaire à l'interface  $\sum_{i}$  en déduire la relation

qu'il y a entre les modules des coefficients  $(R_1, T_1)$  d'une part et  $(R_2, T_1)$  d'une part et  $(R_2, T_1)$ de réflexion et de transmission.

d'autre part satisfont bien cette relation.

# Chapitre 8

# Lignes bifilaires et coaxiales

#### **8.1** PARAMÈTRES PRIMAIRES

Nous avons expliqué au chapitre « Propagation sur une ligne en haute fréquence – Modélisation de la ligne », l'importance et le tôle des paramètres dits primaires  $R_1$ ,  $L_1$ ,  $G_1$  et  $G_1$  dans la modélisation d'une ligne. Pour les lignes T.E.M. comme les lignes bifilaires et coaxiales – où les notions de tension et de courant conservent un sens, car les champs  $\vec{E}$  et  $\vec{H}$  sont transversaux — ces paramètres ont une signification physique et peuvent être déterminés par des formules analytiques simples.

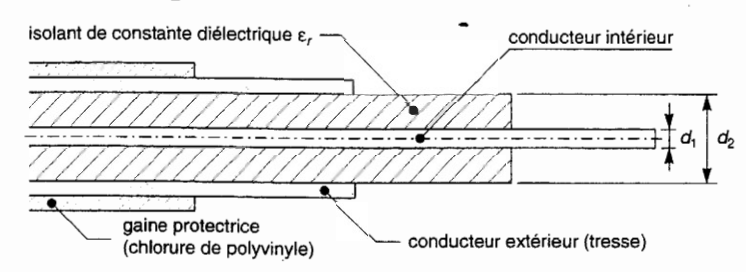
La détermination de  $L_1$  et  $C_1$  peut être effectuée à partir des lois fondamentales de l'électromagnétisme dans l'approximation des états quasi-stationnaires ; en effet, pour les lignes T.E.M., la répartition du champ dans un plan transversal est la même que l'on soit en régime stationnaire ou en régime variable

Pour ce qui est de  $R_1$  et  $G_1$ , on doit tenir compte des phénomènes liés aux hautes fréquences : pour  $R_1$ , il s'agit de la localisation superficielle des courants dans les conducteurs (effet de peau) et pour  $G_1$  des perfes de nature conductrice dans le diélectrique

Divers ouvrages [22, 24, 26, 32] détaillent les méthodes de déterinination de ces paramètres et l'exercice 8.1 traite le cas important de la ligne coaxiale.

### 8.1.1 La ligne coaxiale

Figure 1.
Ligne coaxiale : géométrie et éléments constitutifs.



Soient  $d_1$  le diamètre du conducteur intérieur de conductivité  $\sigma_1$ ,  $d_2$  le diamètre intérieur du conducteur extérieur de conductivité  $\sigma_2$ ,  $\varepsilon_r$  la constante diélectrique relative et tg  $\delta$  le facteur de pertes du diélectrique.

Les valeurs par unité de longueur de la résistance, de l'inductance, de la conductance et de la capacité sont respectivement :

$$R_{1} = \sqrt{\frac{\mu_{0}f}{\pi}} \left( \frac{1}{d_{1}\sqrt{\sigma_{1}}} + \frac{1}{d_{2}\sqrt{\sigma_{2}}} \right)$$

$$= 0.632 \cdot 10^{-3} \sqrt{f} \left( \frac{1}{d_{1}\sqrt{\sigma_{1}}} + \frac{1}{d_{2}\sqrt{\sigma_{2}}} \right) (\Omega/m)$$
 (1)

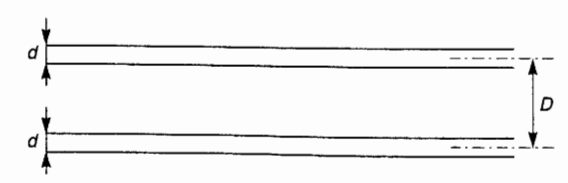
$$L_1 = \frac{\mu_0}{2\pi} \ln \frac{d_2}{d_1} = 0.2 \cdot 10^{-6} \ln \frac{d_2}{d_1} \text{ (H/m)}$$
 (2)

$$G_1 = 4\pi^2 \frac{\varepsilon f \, \text{tg } \delta}{\ln \frac{d_2}{d_1}} = 0.349 \cdot 10^{-9} \frac{\varepsilon_r f \, \text{tg } \delta}{\ln \frac{d_2}{d_1}} \, \text{(S/m)}$$
 (3)

$$C_1 = \frac{2\pi\varepsilon}{\ln\frac{d_2}{d_1}} = 0,055 \cdot 10^{-9} \frac{\varepsilon_r}{\ln\frac{d_2}{d_1}} \text{ (F/m)}$$
 (4)

### 8.1.2 La ligne bifiliaire

Figure 2. Ligne bifilaire : géométrie.



Soient *d* le diamètre des conducteurs de la ligne et *D* leur espacement d'axe à axe.

Les valeurs par unité de longueur de la résistance, de l'inductance, de la conductance et de la capacité sont respectivement :

$$R_{1} = \sqrt{\frac{\mu_{0}f}{\pi\sigma}} \frac{1}{d\sqrt{1 - \left(\frac{d}{D}\right)^{2}}} = 1.26 \cdot 10^{-3} \sqrt{\frac{f}{\sigma}} \frac{1}{d\sqrt{1 - \left(\frac{d}{D}\right)^{2}}} (\Omega/m)$$
 (5)

$$L_1 = \frac{\mu_0}{\pi} \ln \frac{2D}{d} = 0.40 \cdot 10^{-6} \ln \frac{2D}{d} \text{ (H/m)}$$
 (6)

$$G_1 = 2\pi^2 \frac{\varepsilon f \operatorname{tg} \delta}{\ln \frac{2D}{d}} = 0.175 \cdot 10^{-9} \frac{\varepsilon_r f \operatorname{tg} \delta}{\ln \frac{2D}{d}} (\text{S/m})$$
 (7)

$$C_1 = \frac{\pi \varepsilon}{\ln \frac{2D}{d}} = 0.028 \cdot 10^{-9} \frac{\varepsilon_r}{\ln \frac{2D}{d}} \text{ (F/m)}$$
 (8)

# **8.2** PARAMÈTRES SECONDAIRES DE LA LIGNE COAXIALE

#### 8.2.1 Affaiblissement

Nous nous plaçons dans le cas des lignes à faibles pertes qui est évidemment le seul intéressant en pratique. L'affaiblissement doit alors se calculer d'après la formule (5) du chapitre 6 « Lignes avec pertes » et l'on obtient :

$$\alpha \text{ (Np/m)} = \sqrt{\varepsilon f \pi} \left( \frac{1}{d_1 \sqrt{\sigma_1}} + \frac{1}{d_2 \sqrt{\sigma_2}} \right) \left( \frac{1}{\ln \frac{d_2}{d_1}} \right) + \frac{\pi f \operatorname{tg} \delta}{v}$$
 (9)

Dans cette formule, il est facile de reconnaître que le premier terme représente les pertes  $\alpha_c$  dans les conducteurs et que le second représente les pertes  $\alpha_d$  dans le diélectrique. En explicitant numériquement  $\varepsilon$  et  $\nu = 1/\sqrt{\varepsilon \mu}$ , nous obtenons :

$$\alpha_c (dB/m) = 45.8 \cdot 10^{-6} \sqrt{\epsilon_r f} \left( \frac{1}{d_1 \sqrt{\sigma_1}} + \frac{1}{d_2 \sqrt{\sigma_2}} \right) \left( \frac{1}{\ln \frac{d_2}{d_1}} \right)$$
 (10)

$$\alpha_d (dB/m) = 91 \cdot 10^{-9} \sqrt{\varepsilon_r} f \text{ tg } \delta$$
 (11)

(8)

ès la

ésente

ons:

(10)

(11)

### 8.2.2 Paramètre de phase

Pour le paramètre de phase β, nous savons d'après la relation (4) du chapitre 6 « Lignes avec pertes » que :  $\beta = \omega \sqrt{L_1 C_1}$ .

En tenant compte des relations (2) et (4), nous avons :

$$\beta = 2\pi \frac{c}{\lambda_0} \sqrt{\varepsilon \mu_0} = 2\pi \frac{\sqrt{\varepsilon_r}}{\lambda_0}$$
 (12)

Comme, par définition,  $\beta = 2\pi/\lambda$ , il en résulte que la longueur d'onde sur la ligne  $\lambda = \lambda_0 / \sqrt{\epsilon_r}$  est la même qu'en espace libre diélectrique.

D'autre part, la vitesse de phase :

$$v_p = \frac{\omega}{\beta} = \frac{1}{\sqrt{L_1 C_1}} = \frac{1}{\sqrt{\varepsilon \mu_0}} = \frac{c}{\sqrt{\varepsilon_r}}$$
 (13)

est aussi la même qu'en espace libre.

Enfin, puisque  $v_n$  est indépendante de la fréquence, nous avons pour la vitesse de groupe :  $v_g = d\omega/d\beta = \omega/\beta = v_p$ .

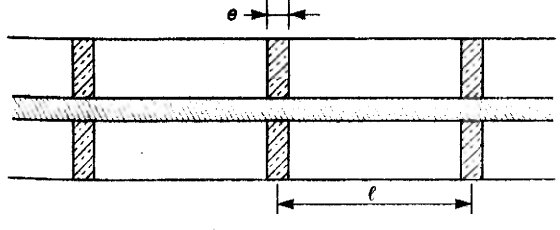
La ligne coaxiale est donc exempte de distorsion de phase.

Toutes ces propriétés sont normales puisque le mode de propagation est un mode T.E.M., comme en espace libre.

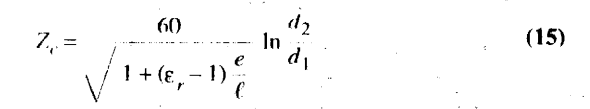
### 8.2.3 Impédance caractéristique

En se plaçant toujours dans l'hypothèse des lignes à faibles pertes, l'impédance caractéristique est donnée par la formule (7) du chapitre « Lignes avec pertes ». En VHF et aux fréquences supérieures, il est possible de négliger les termes en  $R_1/2L_1\omega$  et  $G_1/2C_1\omega$  (voir exercice 8.3) d'où :  $Z_c = \sqrt{L_1/C_1}$ 

$$Z_c = \frac{60}{\sqrt{\varepsilon_r}} \ln \frac{d_2}{d_1} = \frac{138}{\sqrt{\varepsilon_r}} \log \frac{d_2}{d_1} (\Omega)$$
 (14)



Afin de réduire les pertes, on a intérêt à utiliser l'air comme diélectrique, d'où \*\*mploi d'isolants dits semi-aérés (notamment dans les lignes rigides) où le Thrage des conducteurs est obtenu au moyen de disques de permittivité  $\varepsilon_r$  et d'épaisseur e espacés d'une périodicité  $\ell$  (fig. 3) ; alors :



#### 8.3 **DIMENSION OPTIMALE** D'UNE LIGNE COAXIALE

Pour rendre les pertes minimales, on a évidemment intérêt à utiliser un diélectrique et des conducteurs de très bonne qualité. Ceci étant, nous constatons d'après la relation (9) que α dépend de la fréquence et des dimensions du coaxial. À une fréquence donnée, seul le terme a représentant les pertes dans les conducteurs, dépend des dimensions du coaxial :

$$\alpha_c = K \left( \frac{1}{d_1 \sqrt{\sigma_1}} + \frac{1}{d_2 \sqrt{\sigma_2}} \right) \left( \frac{1}{\ln \frac{d_2}{d_1}} \right)$$

Dans le cas particulier, important en pratique, où  $\sigma_1 = \sigma_2 = \sigma$ , nous avons :

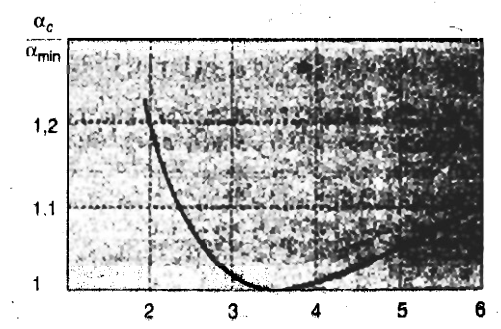
$$\alpha_c = K \frac{1}{d_2 \sqrt{\sigma}} \left( \frac{d_2}{d_1} + 1 \right) \left( \frac{1}{\ln \frac{d_2}{d_1}} \right)$$

Si  $d_2$  est fixé, nous voyons que le minimum de  $\alpha_c$ , donc de  $\alpha$ , correspond au minimum de la fonction :  $(1 + x)/\ln x$  avec  $x = d_2/d_1$ .

Sa dérivée s'annule pour  $\ln x = 1 + 1/x$  soit pour x = 3,59.

Pour qu'une ligne coaxiale présente des pertes minimales, il faut donc que  $d_2/d_1 = 3.59$ . D'après (14), la valeur correspondante de l'impédance caractéristique est :  $Z_c = 76.7/\sqrt{\varepsilon_r}$ 

Il est intéressant de noter qu'au voisinage du minimum, α varie relativement peu en fonction de  $d_2/d_1$  (fig. 4). Ceci laisse donc une marge pour choisir  $d_2/d_1$  afin que la valeur correspondante de Z<sub>c</sub> soit



adaptée au problème à traiter ou à la normalisation établie.

Figure 4. Variation de l'affaiblisser nen relatif d'une ligcoaxiale en #onc du rapport  $d_{2}/d$ 

#### **Exemples**

1. Avec du téflon dont  $\varepsilon_r = 2$ ,  $Z_c = 50 \Omega$ , si :

$$\ln \frac{d_2}{d_1} = \frac{50\sqrt{2}}{60} = 1,178 \iff \frac{d_2}{d_1} = 3,25$$

2. Avec du polyéthylène dont  $\varepsilon_r = 2,25, Z_c = 50 \Omega \text{ si}$ :

$$\ln \frac{d_2}{d_1} = \frac{50 \cdot 1.5}{60} = 1.25 \iff \frac{d_2}{d_1} = 3.5$$

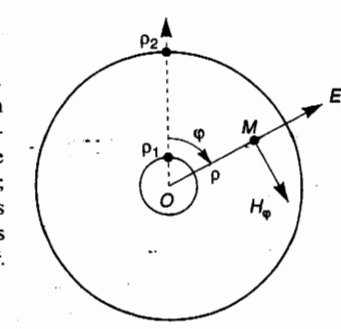
3. Avec du polyéthylène dont  $\varepsilon_r = 2,25, Z_c = 75 \Omega \text{ si}$ :

$$\ln \frac{d_2}{d_1} = \frac{75 \cdot 1.5}{60} = 1.875 \iff \frac{d_2}{d_1} = 6.52$$

# **8.4** PUISSANCE TRANSPORTABLE PAR UNE LIGNE COAXIALE

Figure 52.5.

Champs E et H en urun
point M du diélectectrique d'une lignerne
coaxiale. OM = ρ φ;
ρ<sub>1</sub> et ρ<sub>2</sub> sont les rayonans
des conducteurairs
intérieur et extérieuneur.



Soit un point  $M(\rho, \phi)$  de la section droite d'un coaxial dont la distance radiale à l'axe est  $OM = \rho$ . Les champs  $\vec{E}$  et  $\vec{H}$  en ce point sont définis respectivement par leurs composantes radiale et tangentielle (fig. 5).

$$\underline{E}_{\rho} = -j \frac{2\pi}{\lambda} \cdot \frac{A}{\rho} e^{-j \frac{2\pi}{\lambda} z}$$
 (16)

$$\underline{H}_{\varphi} = \underline{E}_{\rho} \sqrt{\frac{\varepsilon}{\mu}}$$
 (17)

A est une constante qu'il est judicieux de déterminer en fonction de la valeur du champ électrique  $E_1$  à la surface du conducteur intérieur puisque c'est à cet endroit que le champ électrique est le plus élevé.

Nous avons, en module :  $E_1 = (2\pi/\lambda) \cdot (A/\rho_1)$ 

d'où: 
$$\underline{E}_{\rho} = -j E_1 \frac{\rho_1}{\rho} e^{-j \frac{2\pi}{\lambda} z}$$
 (18)

D'après le vecteur de Poynting :  $\vec{P} = (1/2)\vec{E} \wedge \vec{H}^*$ , la densité de puissance transportée n'a qu'une composante, parallèle à l'axe du coaxial, qui a pour expression en M:

$$P_{z} = \frac{1}{2} \, \underline{E}_{\rho} \, \underline{H}_{\phi}^{*} = \frac{1}{2} \, E_{\rho}^{2} \, \sqrt{\frac{\varepsilon}{\mu}} = \frac{1}{2} \, E_{\rho}^{2} \, \frac{\sqrt{\varepsilon_{r}}}{120\pi}$$

$$P_{z} = \frac{\sqrt{\varepsilon_{r}}}{240\pi} \, E_{1}^{2} \left(\frac{\rho_{1}}{\rho}\right)^{2} \tag{19}$$

La puissance moyenne active transportée par le coaxial est donnée par le flux de  $P_*$  à travers la section droite :

$$P = \iint_{S} P_{z} \, dS = \frac{\sqrt{\varepsilon_{r}}}{240\pi} E_{1}^{2} \, \rho_{1}^{2} \iint_{S} \frac{\rho \, d\rho \, d\phi}{\rho^{2}} = \frac{\sqrt{\varepsilon_{r}}}{240\pi} E_{1}^{2} \, \rho_{1}^{2} \int_{0}^{2\pi} d\phi \int_{\rho_{1}}^{\rho_{2}} \frac{d\rho}{\rho}$$

$$d'où: \qquad P = \frac{\sqrt{\varepsilon_{r}}}{120} E_{1}^{2} \, \rho_{1}^{2} \ln \left(\frac{\rho_{2}}{\rho_{1}}\right)$$
(20)

En appelant  $E_0$  la rigidité du diélectrique utilisé, nous obtenons l'expression de la puissance maximale transportable par le coaxial :

$$P_{\text{max}} = \frac{\sqrt{\varepsilon_r}}{120} E_0^2 \rho_1^2 \ln \frac{\rho_2}{\rho_1}$$
 (21)

Nous voyons que cette puissance dépend des dimensions du coaxial. Pour un coaxial de diamètre extérieur  $d_2$  donné, nous voyons que  $P_{\text{max}}$  dépend de la fonction  $(1/x^2)$  ln x avec  $x=d_2/d_1$ . Cette fonction passe par un maximum pour  $x=\sqrt{e}=1,65$ .

# 8.5 PARAMÈTRES SECONDAIRES DE LA LIGNE BIFILAIRE

## 8.5.1 L'affaiblissement

d'où:

Dans l'hypothèse des lignes à faibles pertes, nous savons que l'affaiblissement doit se calculer d'après la formule (5) du chapitre 6 « Lignes avec pertes ». Compte tenu des valeurs des paramètres primaires donnés au paragraphe 8.1.2, nous obtenons :

$$\alpha \text{ (Np/m)} = \sqrt{\frac{\pi \,\varepsilon f}{\sigma}} \frac{\left[1 - \left(\frac{d}{D}\right)^2\right]^{-\frac{1}{2}}}{d \ln \frac{2D}{d}} + \frac{\pi f \,\operatorname{tg}\,\delta}{v} \tag{22}$$

de

(21)

num

8.1.2

(22)

Comme pour la ligne coaxiale, le premier terme représente les pertes  $\alpha_c$  dans les conducteurs et le second les pertes  $\alpha_d$  dans le diélectrique. En explicitant numériquement  $\epsilon$  et  $\nu=1/\sqrt{\epsilon\mu}$ , il vient :

$$\alpha_c (dB/m) = 45.8 \cdot 10^{-6} \sqrt{\frac{\varepsilon_r f}{\sigma}} \cdot \frac{\left[1 - \left(\frac{d}{D}\right)^2\right]^{-\frac{1}{2}}}{d \ln \frac{2D}{d}}$$
 (2.38)

$$\alpha_d (dB/m) = 91 \cdot 10^{-9} \sqrt{\varepsilon_r} f \text{ tg } \delta$$
 (24)

L'affaiblissement le plus important est celui dû aux conducteurs. Nous voyons que, pour un diélectrique et des conducteurs donnés, il dépend en première approximation des dimensions par la fonction  $1/d \ln (2D/d)$ . Pour un écartement des fils D= cte, cette fonction passe par un minimum pour 2D/d=2,72. En pratique, cette condition n'est pas respectée car cela obligerait à prendre des fils de diamètre trop important (d'où augmentation du poids et du coût). Heureusement, la variation de  $\alpha_c$  avec le diamètre des fils est très lente puisque la valeur du minimum est seulement multipliée par deux pour 2D=10d.

### 8.5.2 Le paramètre de phase

Pour le paramètre de phase  $\beta$ , nous trouvons comme pour la ligne coaxiale :  $\beta = \omega \sqrt{L_1 C_1} = \omega \sqrt{\varepsilon \mu}$  d'où les mêmes conclusions concernant  $\lambda$ ,  $\nu_p$  et  $\nu_g$ .

### 8.5.3 L'impédance caractéristique

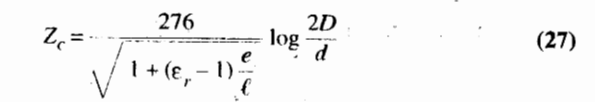
Elle pourra être calculée, dans les mêmes conditions que pour la ligne coaxiale, d'après:

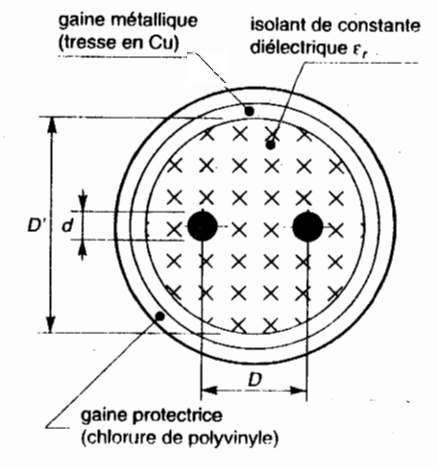
$$Z_c = \sqrt{\frac{L_1}{C_1}} = \sqrt{\frac{\mu_0}{\pi} \cdot \frac{1}{\pi \varepsilon} \ln^2 \frac{2D}{d}} = \frac{120}{\sqrt{\varepsilon_r}} \ln \frac{2D}{d} = \frac{276}{\sqrt{\varepsilon_r}} \log \frac{2D}{d} \quad (25)$$

S'il s'agit d'une ligne bifilaire sous écran (fig. 6), l'impédance caractéristique est donnée par :

$$Z_{c} = \frac{276}{\sqrt{\varepsilon_{r}}} \log \left[ \frac{2D}{d} \cdot \frac{1 - \left(\frac{D}{D'}\right)^{2}}{1 + \left(\frac{D}{D'}\right)^{2}} \right]$$
 (26)

pour une ligne bifilaire à diélectrique air dont l'écartement entre les deux detauts en cuivre est maintenu constant au moyen d'entretoises isolantes de mittivité  $\varepsilon_r$ , d'épaisseur  $\varepsilon$  et d'espacement  $\ell$  (fig. 7):





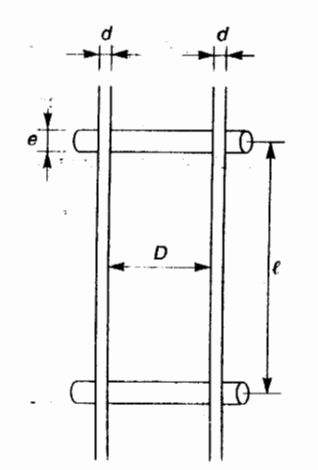


Figure 6.
Ligne bifilaire écran en couptransversale:
géométrie et éconstitutifs

Figure 7. Ligne bifilaire entretoises isol

# **8.6** PARAMÈTRES SECONDAIRES DES LIGNES UTILISÉES EN BASSE FRÉQUENCE

Les paramètres secondaires déterminés au paragraphe 8.2 pour la ligne coaxiale et au paragraphe 8.5 pour la ligne bifilaire l'ont été dans l'approximation des hautes fréquences qui suppose que  $R_1 \ll L_1 \omega$  et  $G_1 \ll C_1 \omega$ . Pour les lignes coaxiales, cette approximation est, en général, valable car elles ne sont pas utilisées en télécommunications à des fréquences inférieures à 100 KHz. Les lignes bifilaires, en revanche, sont utilisées aussi bien pour acheminer des signaux multiplex HF (comprenant de 12 à 120 voies téléphoniques) que pour les liaisons entre centraux et abonnés où elles fonctionnent alors aux fréquences vocales, c'est-à-dire à des basses fréquences comprises entre 0 et 4 KHz. À ces fréquences, alors que la condition  $G_1 \ll C_1 \omega$  est toujours satisfaite, la condition  $R_1 \ll L_1 \omega$  ne l'est plus et l'on a, au contraire,  $R_1 \gg L_1 \omega$  (à moins que  $L_1 \omega$  ne soit relevé artificiellement par le procédé de pupinisation, expliqué au chapitre 6).

De plus, en BF, l'inductance  $L_1$  est fonction de la fréquence ; elle est, en effet, la somme :

• d'une inductance externe  $L_e$ , due aux lignes de force du champ magnétique qui ne pénètrent pas dans les conducteurs.  $L_e$  est indépendante de la fréquence et se calcule par les formules (2) ou (6) :

 d'une inductance interne L<sub>i</sub>, due aux lignes de force qui se ferment dans les conducteurs. L<sub>i</sub> dépend de la fréquence; elle vaut 0,1 mH/km aux fréquences vocales, elle décroît quand la fréquence augmente à cause de l'effet de peau et tend vers zéro aux hautes fréquences.

Voyons maintenant quelles formules doivent être utilisées en BF pour le calcul des paramètres secondaires des lignes, compte tenu de ce que :  $R_1 \gg L_1 \omega$  et  $G_1 \cong 0$ .

$$\gamma = \sqrt{(R_1 + j L_1 \omega) (G_1 + j C_1 \omega)} \approx \sqrt{j R_1 C_1 \omega} = \sqrt{R_1 C_1 \omega} \left( \frac{1}{\sqrt{2}} + \frac{j}{\sqrt{2}} \right)$$

D'où: 
$$\alpha = \beta = \sqrt{\frac{R_1 C_1 \omega}{2}}$$
 (28)

et: 
$$v = \frac{\omega}{\beta} = \sqrt{\frac{2\omega}{R_1 C_1}}$$
 (29)

L'affaiblissement et la vitesse de propagation augmentent comme la racine carrée de la fréquence ; il y a donc de la distorsion d'amplitude et de phase.

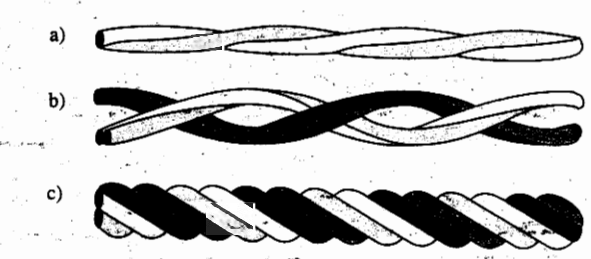
$$Z_c = \sqrt{\frac{R_1 + jL_1\omega}{G_1 + jC_1\omega}} \cong \sqrt{\frac{R_1}{jC_1\omega}} = \sqrt{\frac{R_1}{C_1\omega}} e^{-j\frac{\pi}{4}}$$
 (30)

Le module de  $Z_c$  varie donc en raison inverse de  $\sqrt{f}$ .

# 8.7 EXEMPLES DE LIGNES UTILISÉES EN TÉLÉCOMMUNICATIONS

# 8.7.1 Câbles téléphoniques pour fréquences vocales

Figure 8.
a. Ligne bifilaire appelée « paire ».
b. Quarte constituée par deux lignes bifilaires.
c. Quarte dite « en étoile ».



Ces câbles sont constitués de plusieurs lignes bifilaires ou « paires », en général groupées par deux pour former une quarte (fig. 8). Ils servent à relier les abonnés aux centraux téléphoniques.

Les conducteurs sont isolés par du papier sec ou du plastique ( $\varepsilon_r \approx 2$ ); la distance entre axes des conducteurs est d'environ 1,5 fois leur diamètre (2D/d = 3); dans l'exemple qui suit d = 0,4 mm.

#### a) Paramètres primaires (fig. 9, d'après [33 p. 223-224])

- La résistance  $R_1$  a la même valeur en BF qu'en courant continu, soit de l'ordre de  $100 \Omega/\text{km}$ . À partir de 100 KHz, elle augmente proportionnellement à  $\sqrt{f}$  (relation (5)) sous l'influence de l'effet de peau.
- La conductance G₁ peut être négligée ∀ f.
- L'inductance L<sub>1</sub> n'atteint sa valeur de 0,44 mH/km donnée par (6) qu'en HF;
   lorsque la fréquence diminue, elle augmente pour atteindre une valeur de l'ordre de 0,6 mH/km aux BF; cette augmentation est due à l'adjonction de l'inductance interne L<sub>i</sub> dont nous avons parlé au paragraphe 8.6.
- Enfin, la capacité C<sub>1</sub> est d'après (8): 0,051 μF/km.

#### b) Paramètres secondaires

En BF, par exemple à 1 KHz, où  $L_1\omega \cong 4 \Omega/\text{km} \ll R_1$  ces paramètres doivent se calculer à l'aide des formules (28), (29) et (30).

$$\rightarrow \alpha = \sqrt{\frac{R_1 C_1 \omega}{2}} = 0,1265 \text{ Np/km} \approx 1 \text{ dB/km}$$

$$\rightarrow v_p = \sqrt{\frac{2\omega}{R_1 C_1}} = 4,962 \cdot 10^4 \text{ km/s}$$

$$\rightarrow Z_c = \sqrt{\frac{R_1}{C_1 \omega}} e^{-j\frac{\pi}{4}} = 558 \Omega \angle -45^\circ$$

En HF, par exemple à 1 MHz, où  $L_1\omega \cong 3$  140  $\Omega \gg R_1$ , ces paramètres doivent se calculer à l'aide des formules (23), (13) et (25).

$$\rightarrow \alpha = 45.8 \sqrt{\frac{\varepsilon_r}{\sigma}} \sqrt{f_{\text{MHz}}} \cdot \left[ d \ln \frac{2D}{d} \right]^{-1} \text{dB/km}$$

En prenant  $\varepsilon_r = 2$ ,  $\sigma = 5.65 \cdot 10^7$ , d = 0.4 mm et 2D/d = 3:  $\alpha = 26$  dB/km.

$$\rightarrow v_p = \frac{1}{\sqrt{L_1 C_1}} = 198\,000 \text{ km/s (avec } L_1 = 0.50 \text{ mH/km)}$$

$$\rightarrow Z_c = \frac{120}{\sqrt{\varepsilon_r}} \ln \frac{2D}{d} = 93.2 \,\Omega$$

Les figures 10, 11 et 12 d'après [33 p. 224-225] montrent respectivement les variations de  $Z_c$ ,  $\alpha$  et  $v_p$  dans la gamme de fréquences 1 KHz-10 MHz.

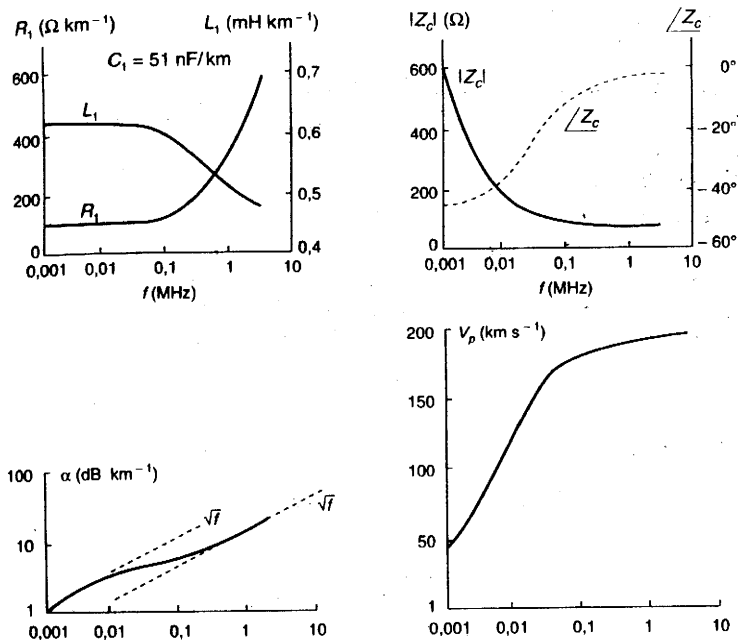
AXIA

se

ent/

it les

9. Constitution of the second of the second



Les figures 9 à 12 sont extraites du livre de K.F. Sander et G.A.L. Reed « Transmission and propagation of electromagnetic waves » (Chap. VI, p. 223 à 225). Éditeur Cambridge University Press (1978).

f (MHz)

# **8.7.2** Câbles téléphoniques à circuits coaxiaux pour multiplex

Ces câbles sont constitués par le regroupement de plusieurs lignes coaxiales dont les diamètres des conducteurs intérieur et extérieur sont 2,6 et 9,5 mm dans les réalisations les plus courantes. Ils servent aux liaisons interurbaines entre centraux téléphoniques et permettent l'acheminement de 960 voies ( $\Delta f = 4$  MHz), 2 700 voies ( $\Delta f = 12$  MHz) ou 10 800 voies ( $\Delta f = 60$  MHz). Il existe aussi des câbles du type 1,2/4,4 mm qui acheminent 300 voies ( $\Delta f = 1,3$  MHz), 1 200 voies ( $\Delta f = 6$  MHz) ou 2 700 voies ( $\Delta f = 12$  MHz). Enfin les câbles 3,7/13,5 mm sont utilisés pour 10 800 voies ( $\Delta f = 60$  MHz).

Nous allons nous intéresser aux câbles 2,6/9,5 mm dont le diélectrique est de l'air sauf pour des rondelles de polyéthylène régulièrement espacées qui assurent le centrage des conducteurs. La constante diélectrique relative équivalente est  $\varepsilon_r = 1,09$ .

# (a) Paramètres primaires

B'après (1), (2), (3) et (4), nous avons :

f (MHz)

$$\rightarrow R_1 = 41 \sqrt{f} \Omega / \text{km} \quad (f \text{en MHz})$$

$$\rightarrow L_1 = 0.26 \text{ mH/km}$$

$$\rightarrow G_1 \cong 0$$
 car, à 10 MHz,  $\log \delta = 1.5 \cdot 10^{-4} \implies G_1 < 10^{-3} \text{ S/km}$ 

$$\rightarrow C_1 = 0.046 \,\mu\text{F/km}$$

#### b) Paramètres secondaires

Ils se déterminent d'après (10), (13) et (14) :

$$\rightarrow \alpha = 19.9 \cdot 10^{-6} \frac{\sqrt{\varepsilon_r}}{\sqrt{\sigma}} \sqrt{f} \left( \frac{1}{d_1} + \frac{1}{d_2} \right) \frac{1}{\log \frac{d_2}{d_1}}$$

Avec :  $\varepsilon_r = 1,09$  ;  $\sigma = 5,65 \cdot 10^7$ ,  $d_1 = 2,6$  mm et  $d_2 = 9,5$  mm :

$$\alpha = 2.42 \sqrt{f_{\text{MHz}}} \text{ dB/km}$$

$$\rightarrow v_p = \frac{1}{\sqrt{L_1 C_1}} = 287 356 \text{ km/s}$$

$$\rightarrow Z_c = \frac{60}{\sqrt{\varepsilon_r}} \ln \frac{d_2}{d_1} = 74.4 \Omega.$$

### 8.8 ABAQUE D'IMPÉDANCES CARACTÉRISTIQUES

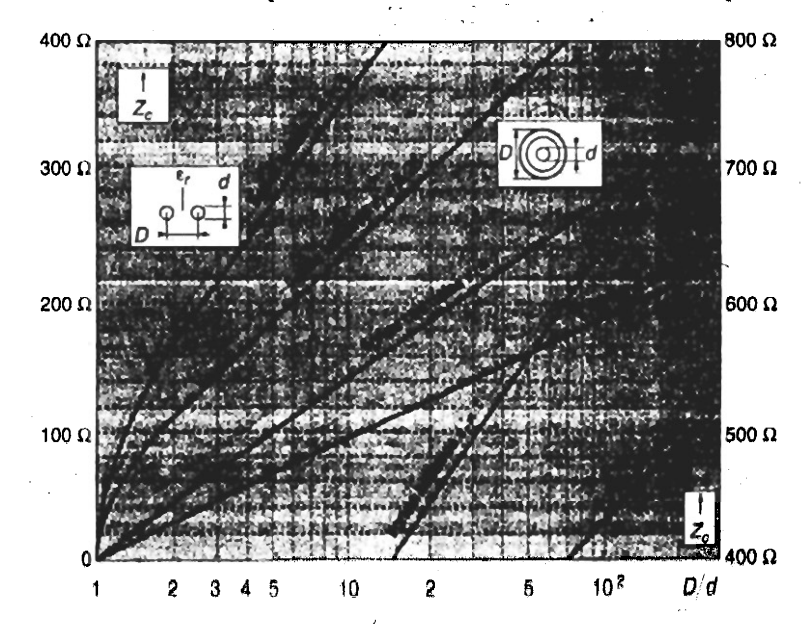


Figure 13. Abaque donnani variation de l'impédance caractéristique  $(0 < Z_c < 400 \Omega)$  $(400 < Z_c < 800)$ fonction des dinsions géométriq (rapport D/d) de lignes bifilaires coaxiales à diélectrique air  $(\varepsilon_1 = 1)$  et polyéthylène  $(\varepsilon_r = 2,26)$ .

D'après Liot (L) « Lignes de transion et filtres poi hautes fréquence Dunod (1959).

M	ICRO-ONDES
---	------------

Le diagramme de la figure 13, d'après [27], est très intéressant parce qu'il donne les valeurs des impédances caractéristiques des lignes bifilaires et coaxiales dont nous venons d'étudier la technologie, en fonction des dimensions transversales de ces lignes et pour  $\varepsilon_p$ , constante diélectrique relative de l'isolant, égale à 1 (air) ou à 2,26 (polyéthylène).

### **EXERCICES**



#### **EXERCICE 8.1**

(Paragraphe 8.1 – Paramètres primaires d'une ligne coaxiale)

Démontrer les formules (1) à (4) donnant les paramètres primaires d'une ligne coaxiale, en appliquant les lois fondamentales de l'électromagnétisme des régimes stationnaires pour  $L_1$  et  $C_1$  et des régimes variables pour  $R_1$  et  $G_1$ . On tiendra compte de ce que, dans le diélectrique d'un coaxial :

- les lignes de champ électrique sont radiales,
- les lignes de champ magnétique sont des cercles concentriques.

On notera  $r_1$  et  $r_2$  ( $d_1$  et  $d_2$ ) les rayons (diamètres) des conducteurs intérieur et extérieur.



#### **EXERCICE 8.2**

(Paragraphe 8.2.1 – Affaiblissement d'une ligne coaxiale)

Le paramètre d'affaiblissement  $\alpha$  d'une ligne coaxiale est la somme de deux termes  $\alpha_c$  et  $\alpha_d$  qui représentent respectivement les pertes dans les conducteurs et dans le diélectrique.

Démontrer les expressions (9), (10) et (11) de  $\alpha(Np/m)$ ,  $\alpha_c(dB/m)$  et  $\alpha_d(dB/m)$  dans l'approximation des lignes à faibles pertes.



#### EXERCICE 8.3

(Paragraphe 8.2.3 – Impédance caractéristique d'une ligne coaxiale)

L'impédance caractéristique d'une ligne à faibles

pertes est donnée par :

$$Z_c = \sqrt{\frac{L_1}{C_1}} \left( 1 - j \frac{R_1}{2L_1 \omega} + j \frac{G}{2C_1} \right)$$

(exercice 6.2).

Soit une ligne coaxiale utilisée à la pour laquelle :  $d_2 = 1$  cm,  $d_2/d_1$   $\sigma_1 = \sigma_2 = 5.8 \cdot 10^7$  S/m,  $\varepsilon_r = \log \delta = 10^{-3}$ .

- 1) Démonter que les termes en  $\mathbb{R}_1$  $G_1/2C_1\omega$  peuvent être négligés.
- 2) Établir, dans ces conditions, l'expe $Z_c$  et calculer sa valeur numérique



### **EXERCICE 8.4**

(Paragraphe 8.4 – Puissance transposer une ligne coaxiale)

La puissance transportée par un control est donnée par la formule (20) où champ électrique à la surface du control en conducteur, de rayon  $\rho_1$ ;  $\rho_2$  est la relative du diélectrique.

- 1) Quelle est la valeur optimale  $\rho_2/\rho_1 = x$  pour que la puissance soit maximale pour  $E_1$  et  $\rho_2$  don
- 2) On donne :  $E_1 = 10^3$  V/cm,  $\beta$ :  $\epsilon_r = 1$ .
  Calculer la puissance maximatable.

# Chapitre 9

# Les lignes à bandes et à fentes

### **9.1** LES PRINCIPAUX TYPES DE LIGNES

Il y a une grande variété de lignes à structure bidimensionnelle, appelées parfois lignes planaires, qui ont été étudiées et ont fait l'objet d'applications pour la réalisation des circuits passifs et aussi des circuits actifs hyperfréquences. Nous les avons classifiées en deux catégories : les lignes à bandes et les lignes à fentes.

### **9.1.1** Les principaux types de lignes à bandes

#### a) La ligne microbande (en anglais microstrip)

Elle comporte un substrat en diélectrique, complètement métallisé sur l'une de ses faces et couvert d'une bande métallique sur l'autre (fig. 1).

#### b) La ligne triplaque (stripline)

e utilis**ée** 1 cm, **d** ' S/m, ε

ermes **en** e négli**gés.** 

ditions, l'e

ir numéria

8.4

e coaxiale)

e par un

ule (20) o surface di

 $\epsilon_r$  est  $\epsilon_r$ 

r optimali

)3 V/cm,

ce maxim

Elle est constituée par deux plaques métalliques séparées par un substrat de diélectrique au sein duquel se trouve une bande métallique (fig. 2).

C'est, en quelque sorte, une ligne microbande rendue symétrique par l'adjonction d'un plan métallique supérieur, image du plan métallique inférieur par rapport au plan où se trouve la bande centrale.

# Chapitre 9

# Les lignes à bandes et à fentes

### **9.1** LES PRINCIPAUX TYPES DE LIGNES

Il y a une grande variété de lignes à structure bidimensionnelle, appelées parfois lignes planaires, qui ont été étudiées et ont fait l'objet d'applications pour la réalisation des circuits passifs et aussi des circuits actifs hyperfréquences. Nous les avons classifiées en deux catégories : les lignes à bandes et les lignes à fentes.

### **9.1.1** Les principaux types de lignes à bandes

#### a) La ligne microbande (en anglais microstrip)

Elle comporte un substrat en diélectrique, complètement métallisé sur l'une de ses faces et couvert d'une bande métallique sur l'autre (fig. 1).

#### b) La ligne triplaque (stripline)

e utilis**ée** 1 cm, **d** ' S/m, ε

ermes **en** e négli**gés.** 

ditions, l'e

ir numéria

8.4

e coaxiale)

e par un

ule (20) o surface di

 $\epsilon_r$  est  $\epsilon_r$ 

r optimali

)3 V/cm,

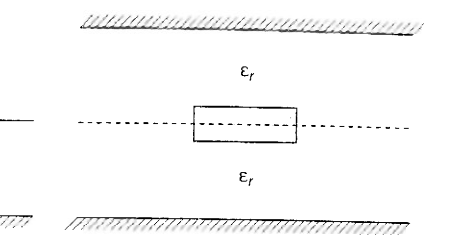
ce maxim

Elle est constituée par deux plaques métalliques séparées par un substrat de diélectrique au sein duquel se trouve une bande métallique (fig. 2).

C'est, en quelque sorte, une ligne microbande rendue symétrique par l'adjonction d'un plan métallique supérieur, image du plan métallique inférieur par rapport au plan où se trouve la bande centrale.

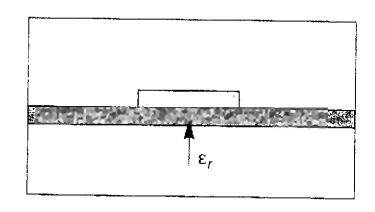
Figure 1.
Ligne microbande.

Figure 2. Ligne triplaque.



#### c) La ligne à substrat suspendu (suspended substrate line)

Figure 3. Ligne à substrat suspendu.



Elle est constituée par un substrat de diélectrique supportant une bande métallique (fig. 3), le tout étant enfermé dans le plan H d'un guide d'ondes qui se trouve à la coupure pour la bande de fréquences utilisée. Ce guide d'ondes joue uniquement le rôle de boîtier empêchant le rayonnement de la ligne qui devien-

drait non négligeable au-delà de 10 à 20 GHz.

## 9.1.2 Les principaux types de lignes à fentes

#### a) La ligne à fente (slot line)

Figure 4. Ligne à fente.



Les deux conducteurs formant la ligne sont déposés sur la même face du substrat diélectrique (fig. 4).

#### b) Le guide coplanaire (coplanar wave guide)

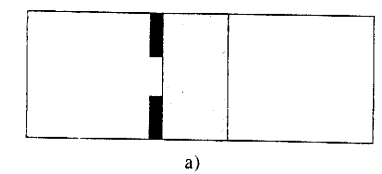
Figure 5.
Guide coplanaire.

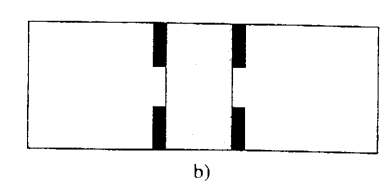


Il présente 3 bandes métalliques séparées par deux fentes d'un même côté du substrat'(fig. 5).

#### c) La ligne à ailettes (fin line)

Figure 6.
Lignes à ailettes.
a. unilatérale,
b. bilatérale.

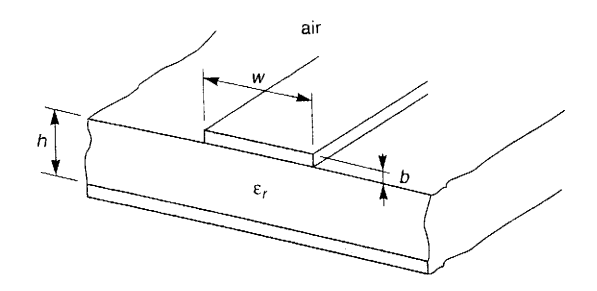




C'est une ligne à fente unilatérale (fig. 6a) ou bilatérale (fig. 6b) enfermée (pour éviter des pertes par rayonnement) dans le plan E d'un guide d'ondes à la coupure pour la bande de fréquences utilisée.

La ligne la plus utilisée est, sans conteste, la ligne microbande, en raison de sa simplicité de fabrication et des applications qu'elle permet tant en circuits passifs qu'en circuits actifs. C'est donc elle que nous étudierons le plus longuement. Nous nous intéresserons aussi à la ligne triplaque qui a été très utilisée dans les années 1960 et 70 et dont il existe encore beaucoup de réalisations. La ligne à fente, qui est complémentaire de la microbande, et la ligne à ailettes, qui en est la version à utiliser au-delà de 20 GHz pour éviter les pertes par rayonnement, seront également étudiées : la première dans ce chapitre et la seconde à la fin du chapitre 12 « Les guides d'ondes rectangulaires ». Pour les autres types de lignes et leurs variantes, nous renvoyons le lecteur aux ouvrages spécialisés, notamment la référence [34].

# 9.2 PERMITTIVITÉ EFFECTIVE DES LIGNES MICROBANDE – LONGUEUR D'ONDE ET VITESSE DE PROPAGATION



Les paramètres caractérisant la microbande sont (figure 7) :

- pour le substrat, son épaisseur h et sa constante diélectrique relative qui est souvent élevée (≈ 10) afin d'y concentrer le champ électromagnétique et de réduire ainsi les pertes par rayonnement;
- pour la bande, sa largeur w qui est, en général, de l'ordre de grandeur de  $h(0.1 \le w/h \le 10)$  et son épaisseur b, presque toujours petite  $(b/h \le 1)$ .

La difficulté de l'étude de la propagation dans une ligne microbande vient de ce que cette propagation s'effectue dans le substrat, de permittivité  $\varepsilon_r$ , et dans l'air, de permittivité 1, comme le montre la forme des lignes de champ électrique sur la figure 8.

Pigure 9. Nobende réelle Selvicrobande équivalente. Figure 8. de champ de la ligne de la ligne

u-

as-

nt.

les

e à

est

ent,

du

nes

am-

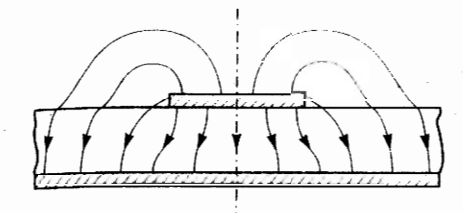
qui est

leur 🗯

nt de 💐

ns l'aid

ique su

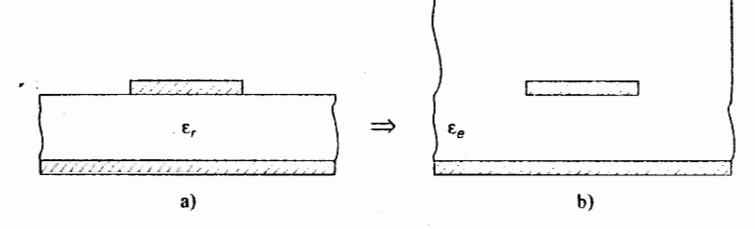


Il s'agit donc d'une propagation par modes hybrides ayant les six composantes du champ électromagnétique non nulles.

En fait, les composantes longitudinales  $E_z$  et  $H_z$  sont très faibles et le mode de propagation dominant peut être

considéré comme quasi T.E.M. Mais, même dans ce cas, il est difficile de définir une vitesse de propagation. On sait, en effet, que pour un mode T.E.M. :  $v_p = c/\sqrt{\varepsilon_r}$ ,  $\varepsilon_r$  étant la constante diélectrique relative du milieu où s'effectue la propagation. Or, dans notre cas, la propagation s'effectue dans deux milieux de  $\varepsilon_r$  nettement différents.

Figure 9. Pode réelle. Microbande Equivalente.



Le problème serait beaucoup plus simple si l'on avait un diélectrique homogène et illimité entourant la bande. La vitesse de propagation serait alors définie sans ambiguïté puisque la propagation serait purement T.E.M. C'est pourquoi une des méthodes d'étude de la microbande réelle (fig. 9a) consiste à en rechercher une modélisation équivalente par une ligne microbande à diélectrique homogène illimité, que nous appellerons désormais ligne microbande équivalente (fig. 9b). La clé du problème réside dans la détermination de la constante diélectrique effective  $\varepsilon_e$  de ce modèle en fonction de  $\varepsilon_r$ , h et w.

Pendant 25 ans, depuis Assadourian et Rimai (1952) jusqu'à Hammerstad (1975 [35]) sans oublier la contribution majeure de Wheeler [36] les efforts des chercheurs ont porté sur la détermination la mieux approchée de  $\varepsilon_e$ , pour les diverses valeurs de w/h.

Une formule explicite de  $\varepsilon$ , a été donnée par Hammerstad.

• Pour les bandes telles que  $w/h \ge 1$ :

$$\varepsilon_e = \frac{1}{2} \left( \varepsilon_r + 1 \right) + \frac{1}{2} \left( \varepsilon_r - 1 \right) \left( 1 + 12 \frac{h}{w} \right)^{-\frac{1}{2}} \tag{1}$$

• Pour les bandes telles que  $w/h \le 1$ :

$$\varepsilon_e = \frac{1}{2} (\varepsilon_r + 1) + \frac{1}{2} (\varepsilon_r - 1) \left[ \left( 1 + 12 \frac{h}{w} \right)^{-\frac{1}{2}} + 0.04 \left( 1 - \frac{w}{h} \right)^2 \right]$$
 (2)

Ces relations donnent une approximation meilleure que 1 % lorsque  $0.05 \le w/h \le 20$  et  $\varepsilon_r \le 16$ . Le graphique de la figure 10 permet de calculer, d'après ces relations,  $\sqrt{\varepsilon_e}$  en fonction de w/h pour diverses valeurs de  $\varepsilon_r$ .

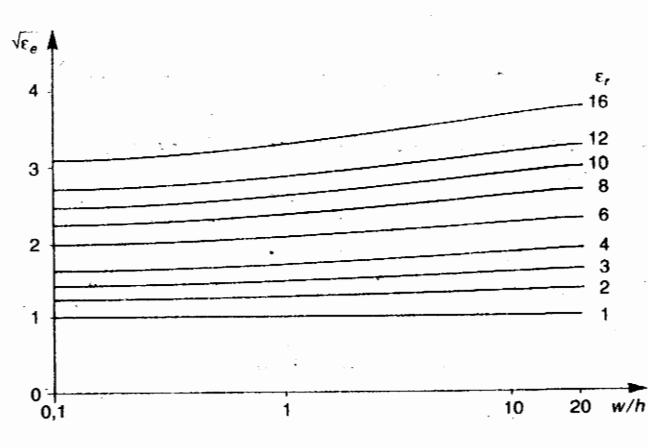


Figure 10. Abaque pou de  $\varepsilon_e$  en forw/h pour divaleurs de  $\varepsilon$ Gardiol /37

Pour une meilleure approximation sur  $\varepsilon_e$  et un domaine de validité plus étendu concernant w/h et  $\varepsilon_r$ , on se reportera aux expressions beaucoup plus compliquées de Bhartia et Bahl [38, p. 277].

Notons que, de cette permittivité effective, l'on déduit :

la longueur d'onde λ<sub>m</sub> sur la ligne microbande, d'après :

$$\lambda_m = \frac{\lambda_0}{\sqrt{\varepsilon_e}} \quad \text{avec} \quad \lambda_0 = \frac{c}{f}$$
 (3)

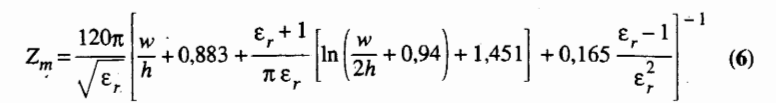
• le paramètre de phase 
$$\beta$$
, d'après :  $\beta = \frac{2\pi}{\lambda_m} = \frac{2\pi\sqrt{\epsilon_e}}{\lambda_0}$  (4)

• la vitesse de propagation d'après : 
$$v_p = \frac{c}{\sqrt{\varepsilon_e}}$$
 (5)

# 9.3 IMPÉDANCE CARACTÉRISTIQUE DES LIGNES MICROBANDE

### 9.3.1 Résultats de Wheeler pour b = 0

• Pour les bandes telles que w/h > 2:



• Pour les bandes telles que w/h < 2:

$$Z_m = \frac{60\sqrt{2}}{\sqrt{\varepsilon_r + 1}} \left[ \ln\left(\frac{8h}{w}\right) + \frac{1}{8} \left(\frac{w}{2h}\right)^2 - \frac{\varepsilon_r - 1}{2(\varepsilon_r + 1)} \left(\ln\frac{\pi}{2} + \frac{1}{\varepsilon_r} \ln\frac{4}{\pi}\right) \right]$$
 (7)

La figure 11 permet d'obtenir l'impédance caractéristique  $Z_m$  de la ligne microbande d'après :

$$Z_m = \frac{Z_0}{\sqrt{\varepsilon_e}} \tag{8}$$

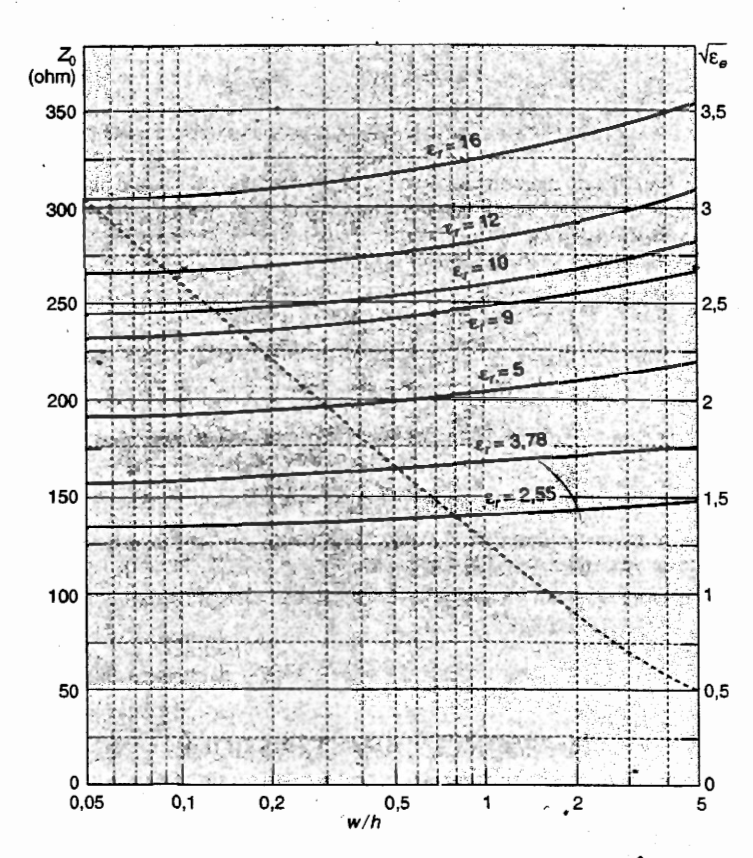


Figure 11. Abaque pour le calcul de  $Z_m = Z_0/\sqrt{\varepsilon_e}$ , en fonction de w/h pour diverses valeurs de  $\varepsilon_r$ . D'après Gupta [34, p. 12].

 $Z_0$  est l'impédance caractéristique qu'aurait la même ligne microbande avec uniquement de l'air pour diélectrique.  $\varepsilon_e$  est la permittivité effective de la micro-

bande équivalente. Pour un rapport w/h donné,  $Z_0$  est obtenu d'après la courbe en tirets et se lit en ordonnées à gauche, tandis que  $\sqrt{\varepsilon_e}$  est obtenu d'après l'une des courbes en traits pleins (chacune d'elles correspond à une valeur intéressante de  $\varepsilon_r$ ) et se lit en ordonnées à droite.

# 9.3.2 Résultats de Hammerstad pour b = 0

• Pour les bandes telles que w/h > 1:

$$Z_m = \frac{120\pi}{\sqrt{\varepsilon_e}} \left[ \frac{w}{h} + 1,393 + 0,667 \ln \left( \frac{w}{h} + 1,444 \right) \right]^{-1}$$
 (9)

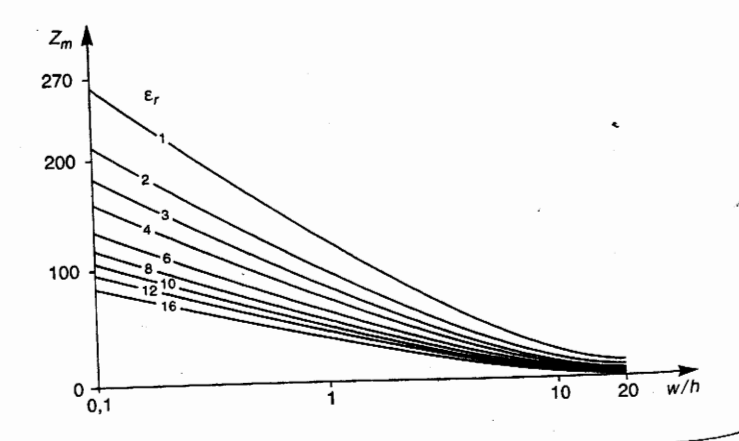
 $\varepsilon_{\rho}$  est donné par la formule (1).

• Pour les bandes telles que  $w/h \le 1$ :

$$Z_m = \frac{60}{\sqrt{\varepsilon_e}} \ln \left( \frac{8h}{w} + \frac{w}{4h} \right) \tag{10}$$

ε, est donné par la formule (2)

La figure 12 donne les variations de l'impédance caractéristique  $Z_m$  en fonction de w/h pour différentes valeurs de  $\varepsilon_r$ . Cette figure est intéressante à deux points de vue : d'une part elle permet une estimation directe de la valeur approchée de  $Z_m$  en fonction de w/h et  $\varepsilon_r$ ; d'autre part, elle montre que les impédances caractéristiques des lignes microbandes sont comprises entre une dizaine d'ohms pour les plus faibles, qui correspondent à des valeurs élevées de w/h ( $w/h \sim 10$ ) et de  $\varepsilon_r$  ( $\varepsilon_r > 10$ ), et  $200~\Omega$  environ pour les plus fortes qui correspondent à des valeurs faibles de w/h ( $w/h \approx 0.1$ ) et de  $\varepsilon_r$  ( $\varepsilon_r \approx 2$ ).



#### 9.3.3 Facteurs de correction

Bien que très faible, l'épaisseur de la bande n'est pas nulle. On peut en tenir compte, dans les relations précédentes, en substituant à la largeur réelle w du ruban, une largeur équivalente  $w_e$  un peu plus grande, donnée par :

$$w_e = w + \frac{b}{\pi} \left( 1 + \ln \frac{2x}{b} \right) \tag{11}$$

avec:  $x = h \text{ si } w > h/2\pi \text{ et } x = 2\pi \text{ w si } h/2\pi > w > 2b$ .

Par ailleurs, les formules (8), (9) et (10) sont indépendantes de la fréquence. Il est possible d'en tenir compte de façon approchée en remplaçant  $\varepsilon_e$  dans ces formules

(9)

10)

$$\varepsilon_e(f) = \varepsilon_r - \frac{\varepsilon_r - \varepsilon_e}{1 + G\left(\frac{f}{f_d}\right)^2}$$
 (12)

avec :

$$f_d = \frac{10^7}{8\pi} \cdot \frac{Z_m}{h} \tag{13}$$

et:

$$G = 0.6 + 0.009 Z_m \tag{14}$$

Si  $f \le f_d$ , il n'est pas nécessaire d'effectuer la correction. D'autres expressions sont données dans  $\{38, p. 279-280\}$ .

# **9.3.4** Dimensions d'une ligne microbande en fonction de $Z_m$

Des relations dues à Wheeler [36] permettent de trouver le rapport w/h en fonction de l'impédance caractéristique  $Z_m$  de la ligne réelle (avec  $Z_0 = 120\pi$ ):

• Pour le cas où w/h < 2:

$$\frac{w}{h} \approx 4 \left[ \frac{1}{2} e^A - e^{-A} \right]^{-1} \tag{15}$$

avec

$$A = \pi \sqrt{2(\varepsilon_r + 1)} \frac{Z_m}{Z_0} + \frac{\varepsilon_r - 1}{\varepsilon_r + 1} \left( 0.23 + \frac{0.11}{\varepsilon_r} \right)$$
 (16)

• Pour le cas où w/h > 2:

$$\frac{w}{h} = \frac{\varepsilon_r - 1}{\pi \, \varepsilon_r} \left[ \ln (B - 1) + 0.39 - \frac{0.61}{\varepsilon_r} \right] + \frac{2}{\pi} [B - 1 - \ln (2B - 1)] \tag{17}$$

avec: 
$$B = \frac{\pi}{2\sqrt{\varepsilon_r}} \cdot \frac{Z_0}{Z_m}$$
 (18)

# 9.4 AFFAIBLISSEMENT D'UNE LIGNE MICROBANDE

Il y a trois types de pertes dans les lignes microbandes: dans les conducteurs, dans le diélectrique et par rayonnement. Le calcul étant assez long et complexe, nous ne donnons ici que les résultats, d'après [34].

#### 9.4.1 Pertes dans les conducteurs

• Si 
$$w/h \le 1$$
:  $\alpha_c (dB/m) = 1.38 A \frac{R_S}{h Z_m} \cdot \frac{32 - \left(\frac{w_e}{h}\right)^2}{32 + \left(\frac{w_e}{h}\right)^2}$  (19)

• Si 
$$w/h \ge 1$$
:  $\alpha_c (dB/m) = 6.1 \cdot 10^{-5} A \frac{R_S Z_m \varepsilon_e}{h} \left[ \frac{w_e}{h} + \frac{0.667 \frac{w_e}{h}}{\frac{w_e}{h} + 1.444} \right]$  (20)

avec :

$$A = 1 + \frac{h}{w_e} \left( 1 + \frac{1.25}{\pi} \ln \frac{2B}{b} \right)$$
 (21)

et:

$$B = h \operatorname{si} w/h \ge 1/2\pi \text{ et } B = 2\pi w \operatorname{si} w/h \le 1/2\pi.$$

 $R_S = \sqrt{\pi \mu \rho f}$  où  $\rho$ , résistivité des conducteurs.

 $Z_m$ , impédance caractéristique de la microbande.

we, largeur équivalente du ruban.

Ces valeurs théoriques sont valables pour des conducteurs dont la surface est plane. Mais si la surface présente des rugosités, l'affaiblissement est nettement plus grand. En pratique, on obtient une limite supérieure de  $\alpha_c$  en utilisant la formule approchée suivante :

$$\alpha_c (dB/m) = 8.686 \frac{R_S}{w Z_m}$$
 (22)

### 9.4.2 Pertes dans le dié lectrique

$$\alpha_d \text{ (dB/m)} = 4.3484 \frac{120\pi}{\sqrt{\varepsilon_e}} \cdot \frac{\varepsilon_e - 1}{\varepsilon_r - 1} \sigma_d$$
 (23)

ou

$$\alpha_d (dB/m) = 27.3 - \frac{\varepsilon_r}{\varepsilon_r - 1} \cdot \frac{\varepsilon_e - 1}{\sqrt{\varepsilon_e}} \cdot \frac{\text{tg } \delta}{\lambda_0}$$
 (24)

 $\sigma_d = \omega \, \varepsilon_0 \, \varepsilon_r \, \text{tg } \delta$  est la conductivité  $\xi$  du diélectrique, tg  $\delta$  est la tangente de l'angle de pertes.

Sauf si le substrat est en semi-conducteteur (Silicium ou AsGa),  $\alpha_d \ll \alpha_c$  comme le montrent les courbes tracées sur la figigure 13.

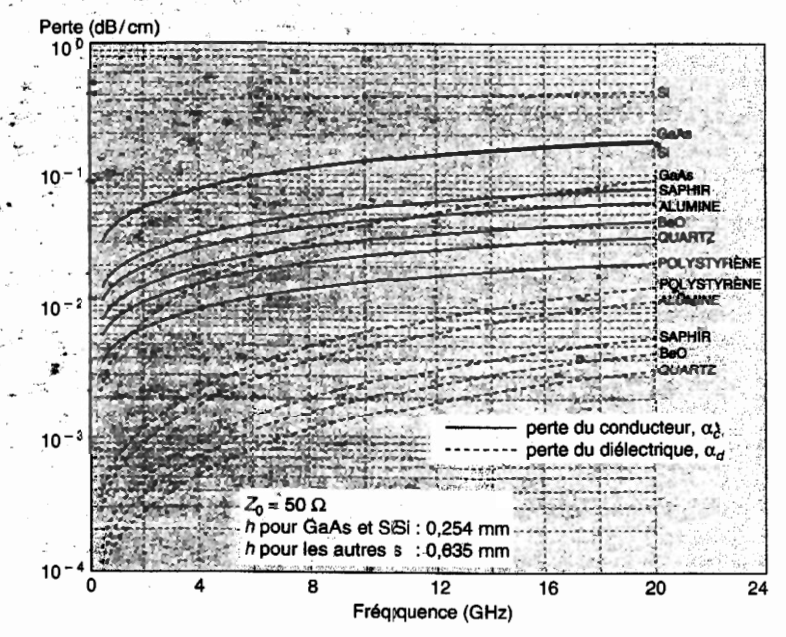


Figure 13.
Graphique donnant les pertes conductrices  $\alpha_c$  et diélectriques  $\alpha_d$  pour différents substrats.

D'après Gupta [34, p. 75].

## 9.4.3 Pertes par rayonmement

Le rayonnement d'une ligne microbancide est le fait des modes d'ordre supérieur qui sont engendrés par les discontinuilités. D'après Hammerstad ces pertes sont proportionnelles à  $(hf)^2/\sqrt{\epsilon_r}$  pour unune ligne de 50  $\Omega$ .

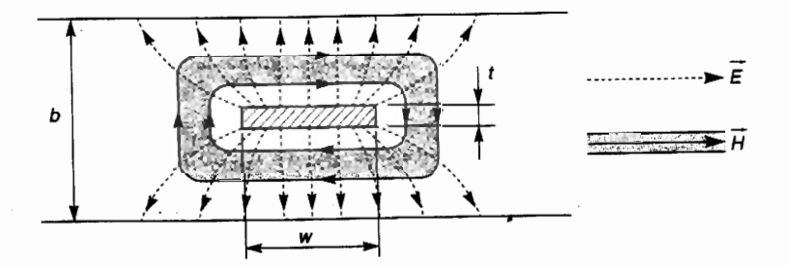
La fréquence limite au-dessus de la aquelle plus de 1 % de la puissance est rayonnée à l'extrémité d'une ligne ouvwerte est donnée par :

$$f_M(\text{GHz}) = 2.14 \frac{(\epsilon_r)^{1/4}}{h \text{ (mm)}}$$
 (25)

Par exemple [37, p. 85], pour un substrat de h = 1 mm,  $f_{\rm M} = 3$  GHz si  $\varepsilon_r = 2.5$  et  $f_{\rm M} = 4$  GHz si  $\varepsilon_r = 10$ .

#### 9.5 LA LIGNE TRIPLAQUE

La ligne triplaque (fig. 14) est constituée par trois conducteurs – une bande centrale et deux plans de masse – et elle est remplie par un diélectrique homogène. Elle fonctionne donc en mode T.E.M. tant que sa hauteur b est suffisamment petite pour qu'il n'y apparaisse pas de modes d'ordre supérieur, c'est-à-dire tant que :  $b < \lambda_0/2\sqrt{\epsilon_r}$ .



Dans ces conditions, les champs  $\vec{E}$  et  $\vec{H}$  sont contenus dans un plan de section transversale (fig. 14) où ils sont concentrés autour de la bande centrale si bien qu'il est possible de limiter la largeur des deux plaques inférieure et supérieure à 5w

Pour le cas limite où t = 0 (bande centrale d'épaisseur nulle) l'impédance caractéristique  $Z_t$  est donnée par la relation :

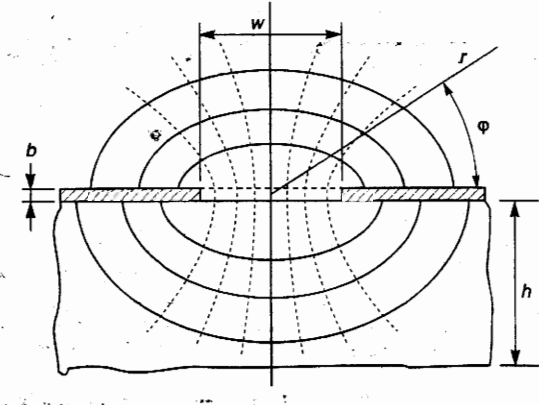
$$Z_t \sqrt{\varepsilon_r} = 30\pi \frac{K(u)}{K(u')}$$
 (26)

K(u) est une intégrale elliptique complète du premier ordre.

$$K(u) = \int_0^{\pi} \sqrt{1 - u^2 \sin \phi} \, d\phi$$
 (27)

$$u = ch^{-1} (\pi w/2b)$$
  $u' = \sqrt{1 - u^2} = th (\pi w/2b)$ 

### **9.6** LA LIGNE À FENTE



Dans la ligne à fente (slot line) les deux conducteurs formant la ligne de transmission sont déposés sur la même face du substrat diélectrique (fig. 16). Les résultats donnés dans ce paragraphe sont tirés de la méthode d'analyse due à Cohn [44] qui est la plus généralement utilisée.

### 9.6.1 Le champ électromagnétique

En étudiant la ligne à fente comme un guide d'ondes électromagnétique, il est possible de déterminer les six composantes du champ électromagnétique. Dans le cas où la largeur w de la fente est très inférieure à la longueur d'onde  $\lambda_0$  en espace libre, la fente peut être considérée comme une source linéaire de courant magnétique. En zone de champ lointain, c'est-à-dire à des distances  $r \gg w$ , le champ produit par la fente a trois composantes :

$$H_{z} = A H_{0}^{(1)}(k_{c} r) \tag{36}$$

$$H_r = -\frac{\gamma_z}{k_c^2} : \frac{\partial H_z}{\partial r} = \frac{A}{\sqrt{1 - \left(\frac{\lambda_s}{\lambda_0}\right)^2}} H_1^{(1)}(k_c r)$$
 (37)

$$E_{\phi} = \frac{j\omega\mu}{k_c^2} \cdot \frac{\partial H_z}{\partial r} = -\sqrt{\frac{\mu}{\epsilon}} \cdot \frac{\lambda_S}{\lambda_0} H_r$$
 (38)

 $\gamma_z$ , est le paramètre de propagation selon l'axe de la fente (axe des z).  $\lambda_S$ , est la longueur d'onde selon l'axe de la fente.

$$k_c = \frac{2\pi}{\lambda_0} \sqrt{1 - \left(\frac{\lambda_0}{\lambda_S}\right)^2}$$
 (39)

Pour que la ligne à fente ait peu de pertes par rayonnement, il convient que ces champs soient concentrés à son voisinage et diminuent donc rapidement avec la distance r. Il faut, pour cela, que l'argument  $k_c$  r des fonctions de Hankel intervenant dans les expressions de  $H_z$ ,  $H_r$  et  $E_\phi$  soit imaginaire. En effet, le comportement asymptotique de telles fonctions est donné par :

$$H_n^{(1)}(jx) \sim \frac{2}{\sqrt{j\pi x}} e^{-x-j\frac{n\pi}{2}-j\frac{\pi}{4}}$$
 (x grand et > 0) (40)

Si donc  $k_c r = j | k_c r |$ , tous les champs sont affectés d'un affaiblissement  $e^{-k_c r}$ . Ceci se produit si :  $1 - (\lambda_0/\lambda_S)^2 < 0 \implies \lambda_0 > \lambda_S$ .

Or, selon une approximation grossière concernant une fente sur un substrat supposé infini,  $\lambda_0/\lambda_S \simeq \sqrt{(\varepsilon_r+1)/2}$ . On a donc intérêt à prendre  $\varepsilon_r > 1$  et aussi grand que possible. Le choix de substrats à haute permittivité diélectrique (en pratique,  $\varepsilon_r > 9$ ) permet de concentrer les champs au voisinage de la fente.

Notons enfin que, d'après la formule asymptotique de  $H_n^{(1)}$  (jx) donnée ci-dessus, les deux composantes en  $H_r$  et  $H_z$  du champ magnétique sont en quadrature de phase. Il en résulte que ce champ est polarisé elliptiquement. Cette propriété pourra être utilisée pour réaliser des dispositifs non réciproques, en plaçant au voisinage de la ligne à fente des barreaux de ferrite convenablement polarisés.

# 9.6.2 Longueur d'onde et impédance caractéristique

Les travaux de Cohn [44] ont permis de présenter sous forme graphique les résultats concernant la longueur d'onde  $\lambda_S$  et l'impédance caractéristique  $Z_S$  de la ligne à fente pour plusieurs cas particulièrement significatifs (voir par exemple Gupta et al. [34, p. 204 à 207]).

Il a été possible de déduire de ces résultats graphiques une formulation empirique qui souffre d'une erreur inférieure à 2 % lorsque  $9.7 \le \varepsilon_r \le 20$  pour b = 0.

#### • Pour 0,02 $\leq w/h < 0.2$

$$\frac{\lambda_{S}}{\lambda_{0}} = 0.923 - 0.448 \log \varepsilon_{r} + 0.2 \frac{w}{h} - \left(0.29 \frac{w}{h} + 0.047\right) \log \left(\frac{h}{\lambda_{0}} \cdot 10^{2}\right) \tag{41}$$

$$Z_{S} = 72.62 - 35.19 \log \varepsilon_{r} + 50 \frac{\left(\frac{w}{h} - 0.02\right) \left(\frac{w}{h} - 0.1\right)}{\frac{w}{h}}$$

$$+ \log \left(\frac{w}{h} \cdot 10^{2}\right) \left(44.28 - 19.58 \log \varepsilon_{r}\right) - \left[0.32 \log \varepsilon_{r} - 0.11\right]$$

$$+ \frac{w}{h} (1.07 \log \varepsilon_{r} + 1.44) \cdot \left[11.4 - 6.07 \log \varepsilon_{r} - \left(\frac{h}{\lambda_{0}} \cdot 10^{2}\right)\right]^{2}$$

$$(42)$$

• Pour 0,2  $\le w/h \le 1$ 

$$\frac{\lambda_S}{\lambda_0} = 0.987 - 0.483 \log \varepsilon_r + \frac{w}{h} (0.111 - 0.0022 \varepsilon_r) - \left(0.121 + 0.094 \frac{w}{h} - 0.0032 \varepsilon_r\right) \log \left(\frac{h}{\lambda_0} \cdot 10^2\right)$$
(43)

$$Z_{S} = 113.19 - 53.55 \log \varepsilon_{r} + 1.25 \frac{w}{h} (114.59 - 51.88 \log \varepsilon_{r})$$

$$+ 20 \left( \frac{w}{h} - 0.2 \right) \left( 1 - \frac{w}{h} \right)$$

$$- \left[ 0.15 + 0.23 \log \varepsilon_{r} + \frac{w}{h} (-0.79 + 2.07 \log \varepsilon_{r}) \right]$$

$$\cdot \left[ 10.25 - 5 \log \varepsilon_{r} + \frac{w}{h} (2.1 - 1.42 \log \varepsilon_{r}) - \frac{h}{\lambda_{0}} \cdot 10^{2} \right]^{2}$$
(44)

### **EXERCICES**



#### **EXERCICE 9.1**

(Paragraphe 9.2 – Permittivité effective des lignes microbande et 9.3 – Abaque de Wheeler)

Une ligne microbande a pour dimensions géométriques h = 0.635 mm et w = h/2. Son diélectrique a pour caractéristiques :  $\varepsilon_r = 9$  et tg  $\delta = 10^{-3}$ .

- 1) Calculer sa permittivité équivalente  $\varepsilon_e$  et comparer cette valeur avec le résultat trouvé graphiquement.
- Trouver Z<sub>m</sub> d'après l'abaque de Wheeler et comparer cette valeur avec le résultat calculé à partir des formules.



#### **EXERCICE 9.2**

(Paragraphe 9.3.1 - Résultat de Wheeler)

Démonstration de la formule (8) :

$$Z_m = Z_0 / \sqrt{\varepsilon_e}$$
.



#### **EXERCICE 9.3**

(Paragraphe 9.3.3 - Facteurs de correction)

Les données sont les mêmes qu'à l'exercice 9.1 et  $Z_m = 70 \Omega$ .

Déterminer la fréquence à partir de laquelle on peut considérer que le terme de correction fréquentielle a une importance inférieure à 1 % dans la formule donnant  $\varepsilon_c(f)$ .



#### **EXERCICE 9.4**

(Paragraphes 9.3.3 et 9.3.4 - Dimension d'une lis microbande en fonction de Z<sub>m</sub>)

On veut obtenir une impédance caractéristic de 50  $\Omega$  avec une ligne microbande dont substrat a pour permittivité  $\varepsilon_r = 10$ . Calculei valeur du rapport w/h.

Si h = 0.635 mm et b = 0.01 mm (épaisseur la métallisation), calculer la largeur  $w_c$  ruban.



#### **EXERCICE 9.5**

(Paragraphe 9.4 – Affaiblissement d'une ligne microbande)

Une ligne microbande a pour dimensions  $\varphi$  métriques : h = 0.635 mm et w = h. Son dié trique a pour caractéristiques :  $\varepsilon_r = c$  tg  $\delta = 10^{-3}$ .

- 1) Quelle est la fréquence en dessous de laque on peut considérer que les pertes par ray nement sont négligeables?
- 2) Pour f = 1 GHz, faire le calcul des perdans les conducteurs, sachant que résistivité de la métallisation est  $\rho = 0.5$   $10^{-7} \Omega \cdot m$  et son épaisseur b = 0.01 min
- 3) Calculer enfin les pertes dans le diél trique.

(42)

sup-

(en

ssus,

riété

empi-

(41)

TOTAL .

#### **EXERCICE 9.6**

(Paragraphe 9.5 - La ligne triplaque)

realculer les rapports w/b et t/b (fig. 15) nour obtenir une impédance caractéristique

- de 50  $\Omega$  avec une ligne triplaque dont le diélectrique a une permittivité  $\varepsilon_r = 2,26$
- 2) Dans le cas où w/b = 0.6 et b = 1 cm, quelle est la fréquence limite pour un fonctionnement en mode T.E.M.?

# **Chapitre 10**

# Réalisation des impédances et des circuits résonnants

En régime alternatif, jusqu'à des fréquences de l'ordre de 10 MHz, les composants passifs tels que les résistances, inductances ou condensateurs classiques présentent des caractéristiques (R, L, C) qui sont indépendantes de la fréquence et les tronçons de lignes connectant ces composants (dans les circuits non intégrés) ont un comportement « neutre ». On dit qu'il s'agit d'éléments à « constantes localisées ». Pour des fréquences supérieures (hautes fréquences), au contraire, les composants passifs classiques ont des caractéristiques (R, L, C) qui ne correspondent plus aux valeurs nominales données par les constructeurs et varient avec la fréquence, tandis que les lignes de connexion se comportent comme des impédances dont l'inductance ou la capacité change avec la fréquence. On dit alors qu'il s'agit d'éléments à « constantes réparties ou distribuées ».

Dans une première partie de ce chapitre, nous allons voir comment il est possible de tirer parti du comportement de tronçons de ligne pour réaliser des inductances et des condensateurs (§ 10.1 et § 10.2) ou des circuits résonnants (§ 10.3 et § 10.4). Ces tronçons de ligne, qui ont des dimensions très petites devant la longueur d'onde, peuvent être considérés comme des éléments à constantes « semi-localisées » puisque leurs caractéristiques sont à bande relativement étroite.

C'est pourquoi toute une technologie - rendue possible par le développement des techniques photolithographiques de miniaturisation - s'est développée pour

#### **EXERCICE 9.6**

(Paragraphe 9.5 - La ligne triplaque)

realculer les rapports w/b et t/b (fig. 15) nour obtenir une impédance caractéristique

- de 50  $\Omega$  avec une ligne triplaque dont le diélectrique a une permittivité  $\varepsilon_r = 2,26$
- 2) Dans le cas où w/b = 0.6 et b = 1 cm, quelle est la fréquence limite pour un fonctionnement en mode T.E.M.?

# **Chapitre 10**

# Réalisation des impédances et des circuits résonnants

En régime alternatif, jusqu'à des fréquences de l'ordre de 10 MHz, les composants passifs tels que les résistances, inductances ou condensateurs classiques présentent des caractéristiques (R, L, C) qui sont indépendantes de la fréquence et les tronçons de lignes connectant ces composants (dans les circuits non intégrés) ont un comportement « neutre ». On dit qu'il s'agit d'éléments à « constantes localisées ». Pour des fréquences supérieures (hautes fréquences), au contraire, les composants passifs classiques ont des caractéristiques (R, L, C) qui ne correspondent plus aux valeurs nominales données par les constructeurs et varient avec la fréquence, tandis que les lignes de connexion se comportent comme des impédances dont l'inductance ou la capacité change avec la fréquence. On dit alors qu'il s'agit d'éléments à « constantes réparties ou distribuées ».

Dans une première partie de ce chapitre, nous allons voir comment il est possible de tirer parti du comportement de tronçons de ligne pour réaliser des inductances et des condensateurs (§ 10.1 et § 10.2) ou des circuits résonnants (§ 10.3 et § 10.4). Ces tronçons de ligne, qui ont des dimensions très petites devant la longueur d'onde, peuvent être considérés comme des éléments à constantes « semi-localisées » puisque leurs caractéristiques sont à bande relativement étroite.

C'est pourquoi toute une technologie - rendue possible par le développement des techniques photolithographiques de miniaturisation - s'est développée pour

élaborer jusqu'à des fréquences de plus en plus élevées (30 GHz en 1996) des composants dont les caractéristiques restent indépendantes de la fréquence et méritent donc le label « constantes localisées ». Le paragraphe 10.5 expose les réalisations correspondantes.

# 10.1 ÉQUIVALENCE ENTRE UN TRONÇON DE LIGNE ET UNE INDUCTANCE OU UN CONDENSATEUR

Nous savons qu'un tronçon de ligne d'impédance caractéristique  $Z_c$ , fermé sur une impédance  $Z_R$ , présente, à une distance x de cette dernière (fig. 1), une impédance Z(x) donnée par :

$$Z(x) = Z_c \frac{Z_R + j Z_c \operatorname{tg} \beta x}{Z_c + j Z_R \operatorname{tg} \beta x}$$
 (1)

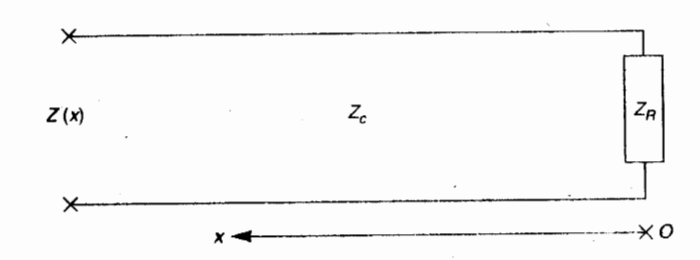


Figure 1. Notations et tions utilisées ur un tronçon de ligne.

Les tronçons utilisés ont une longueur x telle que : tg  $\beta x = \beta x$ , à 10 % près  $\Rightarrow \beta x < \pi/6$  ou  $x < \lambda/12$ .

Dans ces conditions, (1) peut s'écrire :

$$Z(x) = Z_c \frac{Z_R + j Z_c \beta x}{Z_c + j Z_R \beta x}$$
 (2)

### a) Cas où $Z_R \ll Z_c \beta x$

La réalisation technologique de cette condition peut se faire avec une ligne dont l'impédance caractéristique  $Z_c$  est très grande devant son impédance de charge  $Z_R$ . Pour avoir  $Z_c$  élevée avec une ligne microbande, nous voyons, d'après la figure 6 (chap. 9), qu'il faut un rapport w/h inférieur à 1 et une permittivité  $\varepsilon_r$  faible.

Remarquons que, puisque  $\beta x < \pi/6$ , la condition  $Z_R \ll Z_c$   $\beta x$  implique numériquement que  $Z_R$   $\beta x \ll Z_c$ ; nous avons alors, d'après (2):

$$Z(x) \simeq j Z_c \beta x = j Z_c \frac{\omega}{v} x$$

Un tel tronçon de ligne se comporte donc comme une impédance inductive jLw et l'on peut dire qu'il est équivalent à l'inductance

$$L = Z_c \frac{x}{y} \tag{3}$$

Un cas particulier de la condition  $Z_R \ll Z_C \beta x$  est le cas où la ligne est en courtcircuit ( $Z_R = 0$ ). Dans ce cas,  $Z(x) = j Z_C$  tg  $\beta x$  et nous savons (chap 3, § 3.3.1.b) que cette impédance est inductive pour  $0 < x < \lambda/4$ .

#### b) Cas où $Z_R \beta x \gg Z_C$

La réalisation technologique de cette condition peut se faire avec une ligne dont l'impédance caractéristique  $Z_c$  est très petite devant son impédance de charge  $Z_R$ . Pour avoir  $Z_c$  faible avec une ligne microbande, nous voyons toujours d'après la figure 6 (chap. 9), qu'il faut un rapport w/h supérieur à 1 et une permittivité  $\varepsilon_r$  élevée ; en fait, au-delà de w/h = 6 et  $\varepsilon_r = 6$ , la diminution de  $Z_c$  est très lente.

Remarquons aussi que, puisque  $\beta x < \pi/6$ , il en résulte numériquement que  $Z_R \gg Z_c \beta x$ ; dans ces conditions, nous obtenons d'après (2):

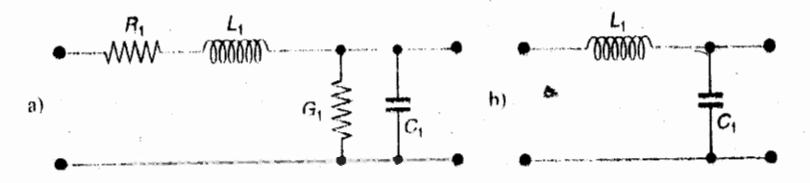
$$Z(x) \simeq -j \frac{Z_c}{\beta x} = -j Z_c \frac{v}{\omega} \cdot \frac{1}{x}$$

Un tel tronçon de ligne se comporte donc comme une impédance capacitive  $-\mathrm{j}/C\omega$  et il est équivalent à la capacité :

$$C = \frac{1}{Z_c} \cdot \frac{x}{v} \tag{4}$$

Un cas particulier de la condition  $Z_R \beta x \gg Z_c$  est le cas où la ligne est en circuit ouvert  $(Z_R = \infty)$ . Dans ce cas,  $Z(x) = -j Z_c \cot \beta x$ , impédance qui est capacitive pour  $0 < x < \lambda/4$ .

Il serait possible d'arriver aux mêmes conclusions à partir de la représentation quadripolaire classique d'un tronçon de ligne de longueur unité (fig. 2a)



Représes quadripo tronçon a. Avec

Si nous nous plaçons dans l'approximation des lignes sans perte (qui est utilisée dans le raisonnement précédent), le quadripôle se réduit à celui représenté sur la figure 2b. Pour un tel quadripôle, nous pouvons écrire, d'après la théorie des lignes :

$$\beta = \omega \sqrt{L_1 C_1}$$
 on  $\frac{\omega}{v} = \sqrt{(L_1 \omega)(C_1 \omega)}$ 

D'autre part :

$$Z_c = \sqrt{\frac{L_1 \, \omega}{C_1 \, \omega}}$$

D'où:

$$L_1 \omega = \frac{\omega}{v} Z_c$$
 et  $C_1 \omega = \frac{\omega}{v} \cdot \frac{1}{Z_c}$ 

Donc, pour un tronçon de ligne de longueur  $\ell$ :

$$L_{\omega} = \frac{\omega \ell}{v} Z_c$$
 et  $C_{\omega} = \frac{\omega \ell}{v} \cdot \frac{1}{Z_c}$ 

La représentation quadripolaire d'un tronçon de ligne n'étant valable que pour des longueurs de ligne  $\ell \ll \lambda$  (en pratique  $\ell < \lambda/10$ ), nous pouvons dire que, dans ces conditions :

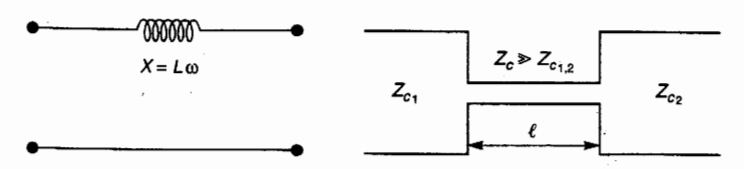
- Pour modéliser une inductance série, il faut prendre un tronçon de ligne à forte impédance caractéristique car alors  $L\omega \gg C\omega$ . Cette inductance a pour valeur :  $L = Z_c \ell/\nu$ . C'est la relation (3).
- Pour modéliser une capacité parallèle, il faut prendre un tronçon de ligne à faible impédance caractéristique car alors  $L\omega \ll C\omega$ . Cette capacité a pour valeur :  $C = (1/Z_c) \cdot (\ell/\nu)$ . C'est la relation (4).

# 10.2 RÉALISATION D'INDUCTANCES ET CONDENSATEURS

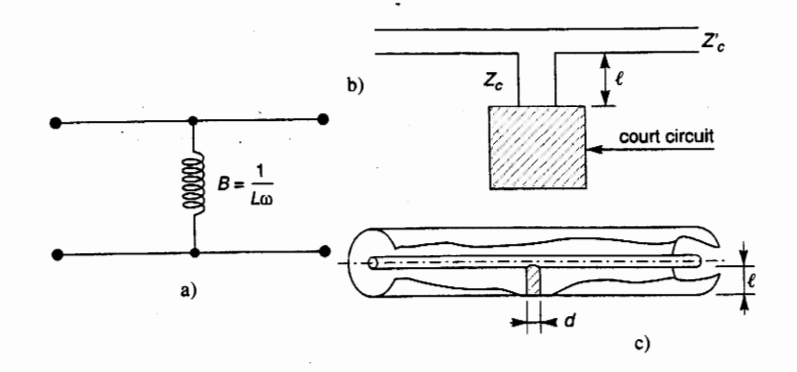
De tout ce qui vient d'être expliqué découle la réalisation d'inductances et condensateurs avec des tronçons de ligne. Cette réalisation est particulièrement aisée en technologie microbande puisque l'impédance caractéristique d'une telle ligne est inversement proportionnelle à la largeur de la bande.

• Une inductance série (fig. 3) s'obtient par un fort rétrécissement de la bande métallique; en effet, le tronçon de faible largeur, qui présente donc une forte impédance caractéristique, se trouve chargé à ses extrémités par des lignes dont l'impédance caractéristique est plus faible (condition du cas où  $Z_R \ll Z_c \beta x$ ).

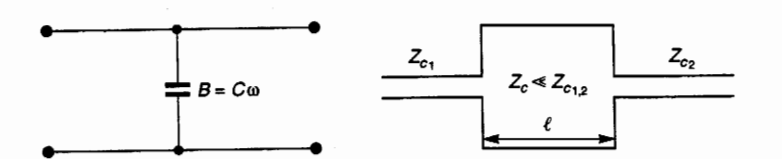
Figure 3.
Réalisation d'une inductance série en ligne microbande.



• Une inductance parallèle (fig. 4) s'obtient en plaçant en dérivation sur la ligne principale un tronçon de ligne court-circuité. Ceci peut d'ailleurs se faire aussi bien en technologie microbande (fig. 4 b) que coaxiale (fig. 4 c).



 Une capacité parallèle (fig. 5) s'obtient par un élargissement important de la bande métallique; ce tronçon, qui présente une faible impédance caractéristique, se trouve chargé à ses extrémités par des lignes dont l'impédance caractéristique est plus forte (condition du cas où Z<sub>R</sub> βx ≥ Z<sub>c</sub>).



Réali capad ligne

• Une capacité série est plus délicate à réaliser car elle nécessite de couper a ligne sur une très petite longueur (quelques microns ou dizaines de microns). Quantitativement, la valeur de la capacité ainsi obtenue ne peut se calculer qu'avec une approximation grossière et qualitativement, le schéma équivalent d'une telle discontinuité comporte non seulement une capacité en série, mais aussi des capacités parasites en parallèle. Aussi préfère-t-on utiliser des capacités sous forme d'éléments localisés telles que celles qui sont décrites au paragraphe 10.5.3 « Réalisation des condensateurs ».

# 10.2.1 Discontinuité dans la largeur d'une ligne microbande

Les réalisations qui viennent d'être étudiées présentent des discontinuités dans la largeur w de la ligne microbande. La figure 6a montre une telle discontinuité et la figure 6b représente sa modélisation par une cellule en T comprenant deux inductances séries  $L_1$ ,  $L_2$  et une capacité parallèle  $C_S$ . La référence [52, p. 130 et sq] étudie, parmi d'autres, ce type de discontinuité.

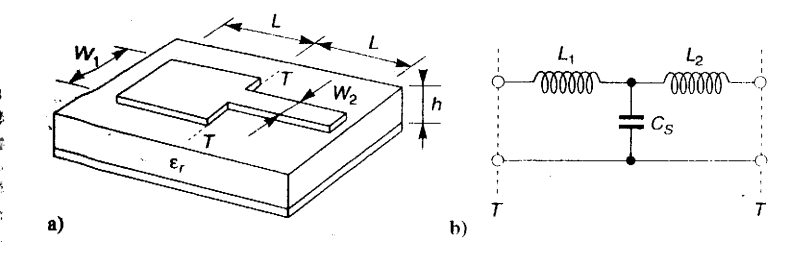
Fig a.R. indu b. E mic

rac-

er la

culer alent mais capaes au

ans la ité et deux . 130



• Les inductances L<sub>1</sub> et L<sub>2</sub> sont données par :

$$L_1 = \frac{L_{w_1}}{L_{w_1} + L_{w_2}} L_S \tag{5}$$

et

$$L_2 = \frac{L_{w_2}}{L_{w_1} + L_{w_2}} L_S \tag{6}$$

La valeur approchée de  $L_S = L_1 + L_2$  est la suivante :

$$L_{S}(nH) = h \left[ 40.5 \left( \frac{w_1}{w_2} - 1 \right) - 75 \log \frac{w_1}{w_2} + 0.2 \left( \frac{w_1}{w_2} - 1 \right)^2 \right]$$
 (7)

Cette relation est approchée à mieux que 5 % pour  $w_1/w_2 \le 5$  et  $w_2/h \approx 1$ .

 $L_{w_1, \gamma}$  est l'inductance par unité de longueur d'une microbande de largeur  $w_1 >$ d'impédance caractéristique  $Z_m$  et de permittivité effective  $\varepsilon_e$ , sa valeur est :

$$L_w \text{ (H/m)} = \frac{Z_m \sqrt{\varepsilon_e}}{3 \cdot 10^8}$$
 (8)

• Pour la capacité C<sub>s</sub>, nous avons :

$$C_S \text{ (pF)} = \sqrt{w_1 w_2} \left[ (10.1 \log \varepsilon_r + 2.33) \frac{w_1}{w_2} - 12.6 \log \varepsilon_r - 3.17 \right]$$
 (9)

Cette expression approchée donne une précision meilleure que 10 % pour :  $\varepsilon_r \le 10$  et  $1.5 \le w_1/w_2 \le 3.5$ .

Pant le cas d'un substrat d'alumine ( $\varepsilon_r = 9.6$ ),  $C_S$  est fourni avec une précision de l'ordre de 0,5 % par :

$$||\mathbf{G}_{S}(\mathbf{pF})| = \sqrt{w_1 w_2} \left[ 130 \log \left( \frac{w_1}{w_2} \right) - 44 \right] \quad \text{pour } 1,5 \le \frac{w_1}{w_2} \le 10 \quad (10)$$

### 10.2.2 Cas particulier d'un circuit ouvert

Si l'on raisonne selon les concepts des circuits à constantes distribuées, cette capacité  $C_S$  a le même effet qu'une augmentation  $\Delta\ell$  de la longueur de la ligne la plus large (fig. 6a), compensée par une diminution de la même longueur de la ligne la plus étroite. Une expression approchée de  $\Delta \ell$  est :

$$\Delta \ell = \Delta \ell_{co} \left( 1 - \frac{w_2}{w_1} \right) \tag{11}$$

Si  $w_2 = 0$ , la discontinuité est un circuit ouvert et  $\Delta \ell = \Delta \ell_{co}$ ;  $\Delta \ell_{co}$  est donc l'augmentation de longueur correspondant à la capacité qui modéliserait l'effet de bout dû à un circuit ouvert :

$$\Delta \ell_{eo} = 0.412h \frac{\varepsilon_e + 0.3}{\varepsilon_e - 0.258} \left( \frac{\frac{w}{h} + 0.264}{\frac{w}{h} + 0.8} \right)$$
 (12)

#### 10.3 RÉALISATION DE CIRCUITS RÉSONNANTS

Nous avons signalé au paragraphe précédent la difficulté qu'il y avait à réaliser des capacités série avec des tronçons de ligne. Il en résulte que les seuls circuits résonnants que l'on puisse réaliser en lignes microbandes sont des circuits série (fig. 7) ou des circuits parallèle (fig. 8) placés en dérivation sur la ligne principale.

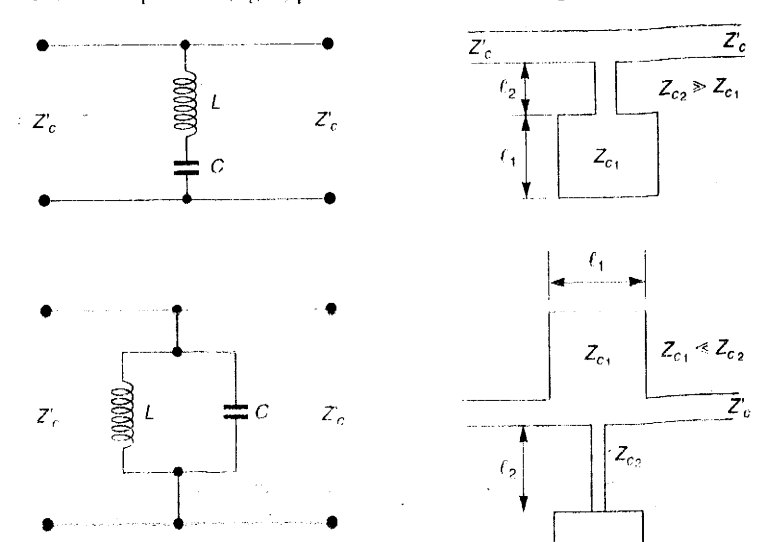
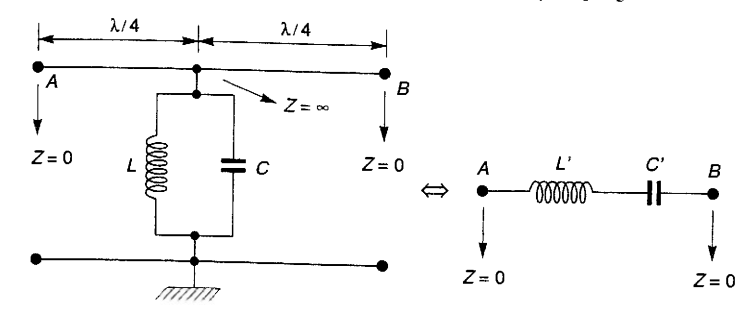


Figure 7. Réalisation circuit rése mis en dé une ligne

Figure 8. Réalisation circuit rés parallèle p dérivation ligne micre

■ Pour ce qui est des circuits résonnants série ou parallèle placés en série sur la ligne principale, ils ne peuvent être obtenus, à partir des précédents, qu'en utilisant la propriété qu'ont les lignes quart d'onde d'inverser les impédances. Nous savons, en effet, que l'impédance d'entrée  $Z_e$  d'une ligne  $\lambda/4$ , d'impédance caractéristique  $Z_c$ , chargée par une impédance  $Z_S$  est :  $Z_e = Z_c^2/Z_S$ .

Figure 9. Réseau équivalent à un circuit résonnant série (L', C') mis en série sur une ligne.



Ainsi, un circuit résonnant parallèle mis en dérivation entre deux lignes quartd'onde est équivalent à un circuit résonnant série mis sur la ligne principale (fig. 9). Pour que les deux circuits soient équivalents, il faut que les impédances vues à leurs bornes A et B soient les mêmes pour  $\omega = \omega_0$  (Z = 0) et pour  $\omega \neq \omega_0$ . Les conditions d'équivalence (exercice 10.2) sont :

$$L\,\omega_0 = \frac{Z_c^2}{L'\,\omega_0} \tag{13}$$

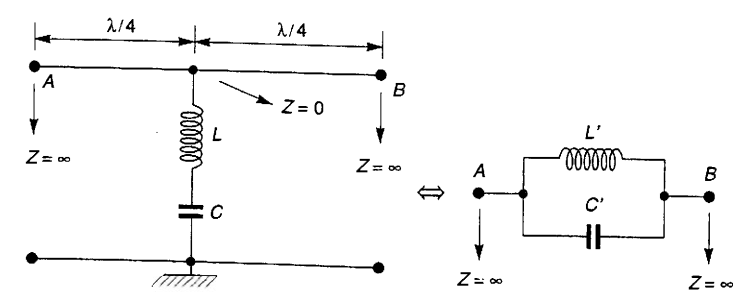
et

$$C \omega_0 = \frac{Y_c^2}{C' \omega_0} \tag{14}$$

 $Z_c$  est l'impédance caractéristique de la ligne  $\lambda/4$ ;  $Y_c = 1/Z_c$ .

■ De même, un circuit résonnant série mis en dérivation entre deux lignes quartd'onde est équivalent à un circuit résonnant parallèle mis en série sur la ligne principale (fig. 10).

Figure 10.
Réseau équivalent à un circuit résonnant parallèle (L', C') mis en série sur une ligne.



Les conditions d'équivalence sont exactement les mêmes que dans le cas précédent.

#### Réseaux inverseurs d'impédance ou d'amittance

Il serait également possible d'utiliser d'autres ypes de réseaux inverseurs que la ligne  $\lambda/4$ : réseaux quadripolaires ou longeurs de ligne, avec des éléments réactifs en série ou en parallèle (fig. 11a et 11b) [45, 52].

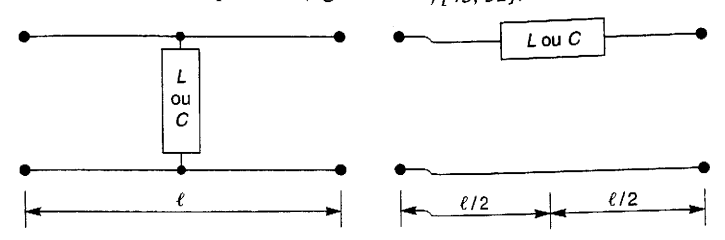


Figure II.

a. Réseau ime
d'impédance
b. Réseau ime
d'admittance

• Le réseau de la figure 11a est un réseau inverseur d'impédances : une réactance  $X=L\omega$  ou  $X=-1/C\omega$  est mise en Parallèle sur une ligne d'impédance caractéristique  $Z_c$  et de longueur  $\ell$ . Les impédances d'entrée  $Z_e$  et de sortie  $Z_s$  sont reliées par un coefficient de transformation d'impédances K tel que :

$$Z_e = \frac{K^2}{Z_c} \tag{15}$$

Le coefficient K se calcule d'après :

$$K = Z_c \operatorname{tg} \left| \frac{\emptyset}{2} \right| \tag{16}$$

avec

$$\theta = \frac{2\pi\ell}{\lambda} \tag{17}$$

$$\theta$$
 est lié à  $X$  par :

$$\theta = -\arctan \frac{\partial X}{Z} \tag{18}$$

Si  $X > 0 \rightarrow \theta < 0$  et  $\ell < 0$ . Il s'agit d'une longueur de ligne fictive qui devra être déduite des longueurs des autres lignes se trouvant de part et d'autre de ce réseau.

Si  $X < 0 \rightarrow \theta > 0$  et  $\ell > 0$ . Il s'agit ici d'une longueur de ligne réelle.

• Le réseau de la figure 11b est un réseau inverseur d'admittances : une susceptance  $B=-1/L\omega$  ou  $B=C\omega$  est mise en série sur une ligne d'admittance caractéristique  $Y_c$  et de longueur  $\ell$ . Les admittances d'entrée  $Y_e$  et de sortie  $Y_s$ , sont reliées par un coefficient de transformation d'admittance J tel que :

$$Y_e = \frac{J^2}{Y_c} \tag{19}$$

Le coefficient J se calcule d'après :

$$J = Y_c \operatorname{tg} \left| \frac{\theta}{2} \right| \tag{20}$$

avec :  $\theta = 2\pi \ell / \lambda$  (17).

nents

réac-

ance

ie  $Z_{\varsigma}$ 

(15)

(16)

(17)

(18)

evra

sont

(19)

(20)

Jylicko o

 $\theta$  est lié à B par la relation :  $\theta = -\arctan \frac{2B}{Y_c}$ 

$$0 = -\arctan \frac{2B}{Y_c}$$
 (21)

# **10.4** ÉQUIVALENCE ENTRE UNE LIGNE $\lambda/4$ OU $\lambda/2$ ET UN CIRCUIT RÉSONNANT

Des lignes de longueur  $\lambda/4$  ou  $\lambda/2$  court-circuitées ou en circuit ouvert sont équivalentes, selon les cas, à des circuits résonnants série (Z=0) ou parallèle  $(Z=\infty)$ . Mais, pour établir cette équivalence, nous devons nous assurer que le comportement d'une telle ligne et du circuit résonnant correspondant sont les mêmes lorsque la fréquence varie autour de la résonance.

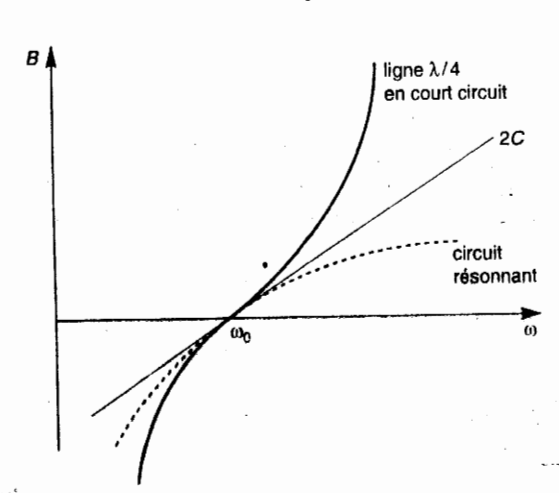
a) Considérons le circuit résonnant parallèle de la figure 12, G étant la conductance de pertes et Q le coefficient de surtension en charge.

La susceptance de ce circuit, pour une variation  $\Delta\omega$  autour de  $\omega_0$ , est :

$$B = 2 \frac{G}{Q} \cdot \frac{\Delta \omega}{\omega} = 2C \omega_0 \frac{\Delta \omega}{\omega}$$
 (22)

Le taux de variation de la susceptance au voisinage de  $\omega_0$  est :

$$\frac{\mathrm{d}B}{\mathrm{d}\omega} = \frac{2G}{Q\,\omega_0} = 2C\tag{23}$$



A variation exacte de B est donnée par la courbe en pointillés de la figure 13.

Pour une ligne en courtcircuit de longueur  $\ell = (2n+1) \lambda_0/4$  à la pulsation  $\omega_0$ , avec une conductance de charge G (fig. 14), on démontre [45] que:

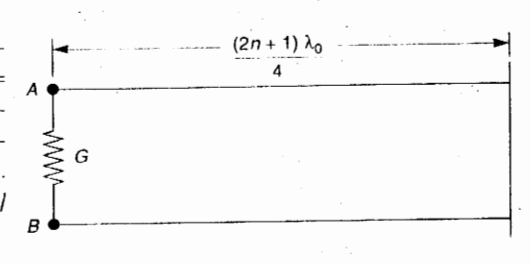


Figure 14
Ligne qua
court-circ
conductar

 $B = Y_c \frac{\pi}{2} \cdot \frac{\Delta \omega}{\omega_0} \tag{24}$ 

et:

$$\frac{\mathrm{d}B}{\mathrm{d}\omega} = \frac{Y_c}{4f_0} \tag{25}$$

Nous voyons qu'au voisinage de la fréquence d'accord, une ligne quart d'onde en court-circuit présente la même variation de susceptance qu'un circuit résonnant parallèle à condition que son admittance caractéristique satisfasse à la relation:

$$Y_c = 8Cf_0 \tag{26}$$

- Notons toutefois que cette variation est une courbe en cotangente (en trait gras sur la figure 13) alors qu'avec un circuit résonnant il s'agissait de la courbe en pointillés. La représentation d'un circuit résonnant parallèle par une ligne quart-d'onde en court-circuit ne sera donc valable que si les courbes de variation de la susceptance peuvent être confondues avec leur tangente commune, soit en pratique dans une bande relative de quelques pour cent.
- b) Considérons maintenant le circuit résonnant série de la figure 15. A — dont R est la résistance de pertes et Q le coefficient de surtension en charge.

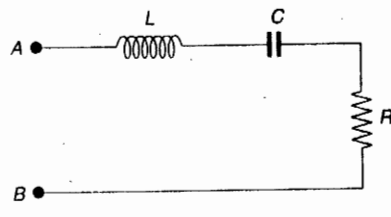


Figure 15 Circuit ré avec résis pertes.

La réactance de ce circuit pour une variation  $\Delta \omega$  autour de  $\omega_0$  est :

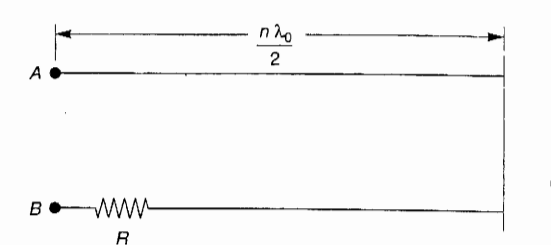
$$X = 2QR \frac{\Delta \omega}{\omega} = 2L \omega_0 \frac{\Delta \omega}{\omega}$$
 (27)

Le taux de variation de la réactance, au voisinage de  $\omega_0$ , est :

$$\frac{\mathrm{d}X}{\mathrm{d}\omega} = \frac{2QR}{\omega_0} = 2L \tag{28}$$

Pour une ligne en court-circuit de longueur  $\ell = n \lambda_0/2$  à la pulsation  $\omega_0$ , en série avec une résistance de charge R (fig. 16), on démontre (exercice 10.4) que :

Figure 16. Ligne demi-onde court-circuitée avec résistance de pertes.



#### NB

Comme au cas précédent, on remarquerait que cette équivalence n'est valable que dans une bande de fréquence réduite à quelques pour cent.

Une ligne demi-onde en court circuit se comporte donc comme un circuit résonnant série, à condition que son impédance caractéristique satisfasse à la relation :

$$Z_c = 4Lf_0 \tag{31}$$

#### 10.5 RÉALISATION DES IMPÉDANCES PAR DES ÉLÉMENTS À CONSTANTES LOCALISÉES

Aux fréquences inférieures à 3 GHz, les éléments passifs à constantes semilocalisées que nous venons d'étudier, nécessitent beaucoup plus de place que les composants actifs. Il est donc normal de chercher à élaborer des composants passifs à constantes localisées dont les dimensions doivent être beaucoup plus petites que la longueur d'onde ( $< \lambda/10$ ) afin de ne présenter que des variations de phase négligeables. Vers les fréquences supérieures, la limite d'utilisation des éléments localisés dépend des possibilités offertes par les techniques de miniaturisation. En 1996, la frontière semble s'établir vers les 30 GHz.

La bibliographie relative aux éléments localisés (lumped elements en anglais) est assez dispersée. Nous nous sommes référés, pour notre part, au chapitre de synthèse rédigé par Caulton [47]. Il fournit, par ailleurs, une importante liste de références où se trouve la démonstration ou la justification des formules approchées ou semi-empiriques que nous donnons dans ce qui suit.

#### 10.5.1 Réalisation des résistances

La résistance d'une bande métallique de longueur  $\ell$ , de largeur w et d'épaisseur t, est donnée par :

$$R = \rho \frac{\ell}{wt}$$
 (\rho, r\'esistivit\'e\) (32)

Si l'on considère une bande carrée ( $w = \ell$ ), on notera sa résistance :

$$R_S = \frac{\rho}{t} \tag{33}$$

Dans le cas d'une bande de cuivre on calcule que :

$$R_S = 2.61 \cdot 10^{-7} \sqrt{f}$$
 (34)

La résistance d'un carré est donc égale à sa résistivité p divisée par son épaisseur t; elle est indépendante des dimensions du carré. Nous exprimerons donc  $R_S$  en ohms par carré. Pour calculer la résistance totale d'une bande, nous la considérerons comme une succession de n carrés et sa résistance vaudra donc nfois la résistance d'un carré. Pour réaliser des résistances assez grandes, on peut replier la bande métallique en méandres ; le problème est alors de déterminer le nombre de carrés équivalents à une telle structure.

En fait, une bande métallique n'est équivalente à une résistance pure que si elle se trouve dans un circuit de polarisation, par exemple, découplée par une capacité et donc parcourue par un courant continu. En revanche, si cette bande est utilisée comme résistance de charge d'un amplificateur ou d'un oscillateur, elle se comportera comme une ligne à constantes réparties. Cela signifie qu'elle présentera non seulement une partie réelle résistive dont la valeur est donnée par (32) mais aussi une partie imaginaire inductive dont le comportement est étudié ci-après (§ 10.5.2.a)

### 10.5.2 Réalisation des inductances

#### a) Ruban métallique

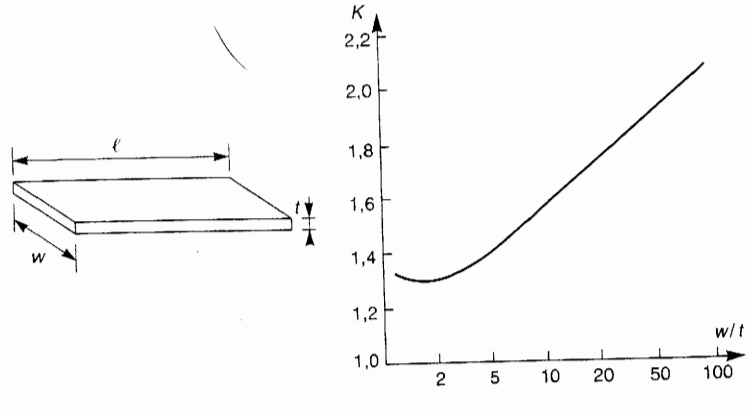


Figure 1

En espace libre, un ruban métallique de largeur w, de longueur  $\ell$  et d'épaisseur t(fig. 17) présente une inductance par unité de longueur :

$$L (\text{nH/cm}) = 2 \left( \ln \frac{\ell}{w+t} + 1,19 + 0.22 \frac{w+t}{\ell} \right)$$
 (35)

En hyperfréquences, cette valeur doit être réduite d'environ 10 % pour tenir compte de l'effet de peau. La résistance par unité de longueur de ce ruban est :

William Co.

SONNAN

(34)

ais-

ionc

ıs la nc n

er le

elle

e est

elle

pré-

par

tudié

seur t

(35)

tenir t

$$R = \frac{K R_S}{2(w+t)} \tag{36}$$

 $R_3$  est la résistance superficielle en  $\Omega/\text{carr\'e}$ ; K est un facteur de correction qui tien compte de la coupure des lignes de courant sur les bords du ruban. Il dépend donc de w/t et ses variations sont représentées sur la figure 18.

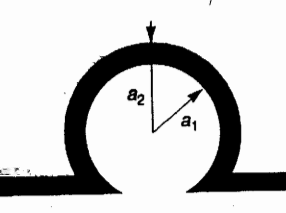
Dens ces conditions, le coefficient de surtension présenté par un ruban de cuivre (pour lequel  $R_S = 2.61 \cdot 10^{-7} \sqrt{f}$ ) est :

$$Q_{\text{Cu}} = 4.81 \cdot 10^2 \sqrt{f} L \, (\text{nH/cm}) \, \frac{w}{K}$$
 (37)

Pour un métal de résistivité  $\rho$  et en normalisant les fréquences à 2 GHz, on démontre que le coefficient de surtension est :

$$Q = 2,15 \cdot 10^{3} L \text{ (nH/cm)} \frac{w}{K} \left[ \frac{\rho \text{ (Cu)}}{\rho} \right]^{\frac{1}{2}} \cdot \left[ \frac{f \text{ (GHz)}}{2} \right]^{\frac{1}{2}}$$
 (38)

b) Inductance boucle



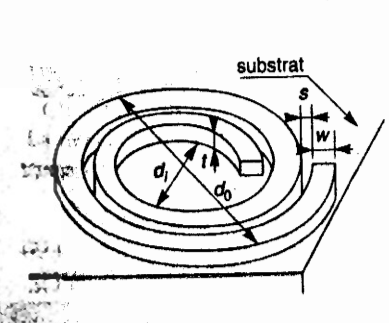
L'inductance boucle, qui présente un encombrement plus réduit que la bande, a la forme d'un omega majuscule. Soit  $a = (a_1 + a_2)/2$  son rayon moyen, w sa largeur et t son épaisseur.

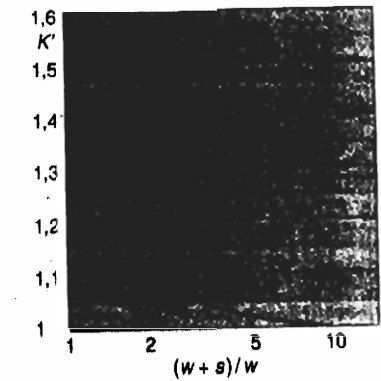
$$L (\text{nH/cm}) = 2 \left( \ln \frac{\ell}{w+t} - 1.76 \right)$$
 (39)

l est la longueur de la circonférence de la boucle.

Lorsqu'elle est presque refermée, nous prendrons :  $\ell = 2\pi a$ .

#### c) Inductance spirale





Les inductances obtenues avec une bande ou une boucle sont de l'ordre du nanoHenry et leurs coefficients de surtension peuvent être de l'ordre de 100, ou plus, pour des rapports  $\ell/w < 10$ . Pour avoir des inductances plus importantes, il faut prendre des longueurs  $\ell$  plus grandes, ce qui conduit à utiliser des spirales comportant un nombre n de spires.

Pour une spirale à n spires, dont les paramètres géométriques sont indiqués sur la figure 20, une expression approchée de l'inductance est :

$$L (nH) = 393 \frac{a^2 n^2}{8a + 11c}$$
 (40)

avec :

$$a = \frac{d_o + d_i}{4}$$
 (cm) et  $c = \frac{d_o - d_i}{2}$  (cm)

Cette expression est valable dans l'approximation BF et si :  $d_o > 1.2 \ d_i$ ; n > 1 et t > trois épaisseurs de peau.

La résistance de la spirale est:

$$R = K'\pi na \frac{R_S}{w}$$
 (41)

 $R_S$  est la résistance superficielle en  $\Omega/{\rm carr\'e}$ ; K' est un facteur de correction permettant de tenir compte des couplages entre deux spires voisines. La figure 21 montre la variation de ce facteur en fonction du rapport (s+w)/w.

Dans ces conditions, le coefficient de surtension de la spirale est :

$$Q_S = 2 \cdot 10^9 fL \frac{w}{K \cdot R_S} |L(8a + 11c)|^{-\frac{1}{2}}$$
 (42)

Une autre approximation, due à Bryan [48] et valable si  $n \approx 10$  est :

$$L (nH) = 21.5a n^{1.5} ln \frac{8a}{c}$$
 (a est en cm) (43)

Il est possible d'obtenir des inductances plus grandes sur une même surface en utilisant des « spirales » carrées. Bryan a donné une expression approchée de leur inductance :

$$L (nH) = 0.24 h_{cm} n^{5/3} ln \frac{8b}{c}$$
 (44)

où b (qui remplace le a des formules de la spirale circulaire) est la dimension moyenne d'un demi-côté du carré.

Cette relation peut aussi être utilisée sous une autre forme, en faisant intervenir la surface S de la spirale carrée:



Figure 22. Inductance « spirale car

 $L \text{ (nH)} = 8.5 \, n^{-5/3} \, S^{-1/2}$  (S est en cm<sup>2</sup>)

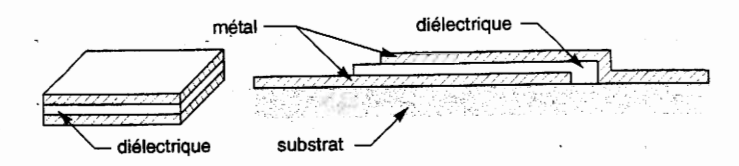
### d) Domaine de validité des formules des inductances

Toutes les valeurs de L qui ont été données dans ce paragraphe ne sont valables que si les métallisations formant les inductances peuvent être considérées comme isolées dans l'espace. Or, ces métallisations sont réalisées sur des lignes microbandes comportant un plan de masse sur la face du diélectrique opposée à la métallisation. On démontre [47, p. 159-160] que la condition précitée n'est remplie que si le produit de  $\sqrt{\varepsilon_r}$  par l'impédance caractéristique de la ligne a une valeur au moins égale à 300  $\Omega$ .

### 10.5.3 Réalisation des condensateurs

#### a) Condensateurs en « pavé »

Figure 23.
Représentations tridimensionnelle et en coupe d'un condensateur en pavé.



Ces condensateurs se présentent sous la forme d'un parallélépipède rectangle en diélectrique dont les faces supérieure et inférieure sont recouvertes de métallisation. Pour un pavé de surface S, d'épaisseur d et de constante diélectrique relative  $\varepsilon_r$ , la capacité est ;

$$C (pF) = 8.84 \frac{\varepsilon_r S}{d}$$
 (46)

La résistance des plaques métalliques du condensateur est :

$$\frac{2}{3}R_S\frac{\ell}{w}$$
 (R<sub>S</sub>, résistance superficielle en  $\Omega$ /carré) (47)

Il lui correspond un coefficient de surtension :

$$Q_m = \frac{3}{2} \cdot \frac{1}{\omega C R_S} \cdot \frac{w}{\ell} \tag{48}$$

La conductance due aux pertes dans le diélectrique est :

$$\frac{1}{Q_d} \cdot \frac{1}{C\omega\ell} \tag{49}$$

où  $Q_d=1/{\rm tg}$   $\delta$  est le coefficient de surtension diélectrique et  $\delta$  est l'angle de pertes du diélectrique. Notons que tg  $\delta$  est à peu près constant pour les diélectriques utilisés en hyperfréquences.

Le coefficient de surtension global du condensateur est donc :

$$\frac{1}{Q} = \frac{1}{Q_m} + \frac{1}{Q_d} \tag{50}$$

#### Exemple

De tels condensateurs utilisent souvent du diélectrique en silice (Si  $O_2$ ) dont la constante diélectrique relative  $\varepsilon_r$  vaut 2,25. Pour  $S=1~\mathrm{mm}^2$  et  $d=10~\mu$ , nous obtenons une capacité de 2 pF.

### b) Condensateurs à structure interdigitale

Ces capacités interdigitales sont une structure plane (fig. 24) de N minces bandes conductrices parallèles, de longueur  $\ell$ , reliées alternativement à l'une ou l'autre des deux bandes, de longueur w, qui leur sont perpendiculaires. Le tout est déposé sur la surface d'un substrat qui est souvent de l'alumine ( $\varepsilon_r \cong 10$ ). Alley [49] a calculé sa capacité:

$$C \text{ (pF)} = \frac{\varepsilon_r + 1}{w} \ell \left[ (N - 3) A_1 + A_2 \right]$$
 (51)

$$A_1$$
 (pF) = 8,85 · 10<sup>-2</sup> w (cm) et  $A_2$  (pF) = 9,92 · 10<sup>-2</sup> w (cm).

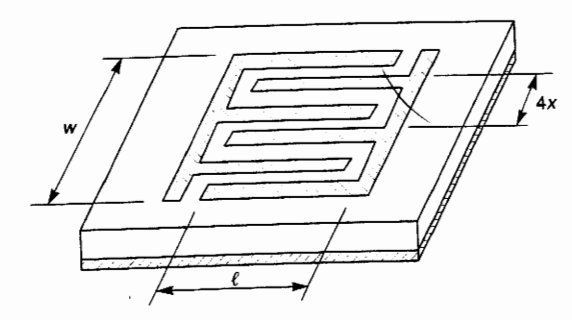


Figure 1 Condens structure

Les valeurs couramment obtenues sont de l'ordre de 0,1 à 15 pF.

#### NE

Ces formules ne sont valables que si l'épaisseur du diélectrique est suffisamment importante (> 1 mm) par rapport à l'espacement des doigts (qui est de l'ordre de 10 à 100  $\mu$ m). Quant à l'épaisseur de la métallisation, elle n'a qu'une importance secondaire.

La résistance d'un tel condensateur est :

$$R = \frac{4}{3} \cdot \frac{\ell}{XN} R_S \tag{52}$$

(50)

iont la

, nous

ninces

une ou le tout

≅ 10).

(51)

Son coefficient de surtension est donné par :

$$Q_c = \frac{1}{\omega CR} \tag{53}$$

Des coefficients de plusieurs centaines peuvent être obtenus à des fréquences de quelques GHz pour des condensateurs de quelques pF.

### **EXERCICES**



#### **EXERCICE 10.1**

(Paragraphe 10.1 – Équivalence entre un tronçon de ligne et une inductance ou un condensateur)

On dispose d'une ligne microbande dont le substrat a pour permittivité  $\varepsilon_r = 4$ . Sachant que l'on peut faire varier le rapport w/h entre 0,1 et 5, calculer, à f = 1 GHz, les valeurs maximales de l'inductance et de la capacité que l'on peut réaliser avec un tronçon de longueur  $\lambda/12$ .



#### **EXERCICE 10.3**

(Paragraphe 10.3 – Réseaux inverseurs d'impédances)

Un réseau inverseur d'impédances doit un coefficient de transformation d'impéd K donné ; on connaît aussi  $Z_c$ . Détermilongueur  $\ell$  de la ligne et la valeur de la tance X mise en parallèle sur cette ligne.



### **EXERCICE 10.4**

(Paragraphe 10.4 – Équivalence entre une lig ou λ/2 et un circuit résonnant)

Équivalence entre un circuit résonnant (fig. 15) et une ligne demi-onde court-cir (fig. 16) avec une résistance demandémentrer les formules (27) et (30) cr tenu de ce que  $\omega = \omega_0 + \Delta \omega$  avec  $\Delta \omega \ll \omega$ 

#### **EXERCICE 10.2**

(Paragraphe 10.3 – Réalisation de circuits résonnants)

Démontrer les relations  $L\omega_0 = Z_c^2/L^2\omega_0$  et  $C\omega_0 = Y_c^2/C^2\omega_0$  pour les circuits de la figure 9.

de or-

(52)

2<sup>e</sup> partie

GUIDES D'ONDES ET CAVITÉS

# Chapitre 11

# Réflexion et réfraction des ondes électromagnétiques

#### 11.1 Introduction

Dans ce chapitre, nous allons étudier la réflexion d'une onde électromagnétique (O.E.M.) sur une plan conducteur ainsi que la réflexion et la réfraction d'une O.E.M. sur une interface entre deux milieux diélectriques. Ces phénomènes physiques sont, en effet, à la base des études que nous effectuerons dans les chapitres suivants au sujet de la propagation des ondes en guides d'ondes métalliques et diélectriques.

Nous demandons au lecteur d'admettre les quelques propriétés suivantes d'une O.E.M., qui seront démontrées dans le chapitre 6 « Propagation des O.E.M. en espace libre » du second volume de cet ouvrage.

1) Une O.E.M. est constituée d'un champ électrique  $\vec{E}$  et d'un champ magnétique  $\vec{H}$  qui forment un trièdre direct avec la direction de propagation ; soit  $\vec{u}$  le vecteur unitaire de cette direction, nous avons :

$$\vec{E} = \vec{H} \wedge \vec{u} \sqrt{\frac{\mu}{\epsilon}}$$
 (1)

$$\vec{H} = \vec{u} \wedge \vec{E} \sqrt{\frac{\epsilon}{\mu}}$$
 (2)

ε et μ sont la permittivité et la perméabilité magnétique du milieu où s'effectue la propagation. Dans le cas de l'air ou du vide :

$$\varepsilon = \varepsilon_0 = \frac{1}{36\pi \cdot 10^9}$$
 (F/m) et  $\mu = \mu_0 = 4\pi \cdot 10^{-7}$  (H/m)

D'autre part,  $\vec{E}$  et  $\vec{H}$  forment un plan perpendiculaire à la direction de propagation que l'on appelle le plan d'onde.

2) L'équation de propagation en espace libre diélectrique, selon une direction Oz, des champs électrique et magnétique, pris en valeurs instantanées complexes  $\vec{e}(z, t)$  et  $\vec{h}(z, t)$  est:

$$\frac{\partial^2 \vec{e} \text{ ou } \vec{h}}{\partial z^2} - \varepsilon \mu \frac{\partial^2 \vec{e} \text{ ou } \vec{h}}{\partial t^2} = 0$$
 (3)

En régime sinusoïdal, ces équations admettent des solutions de la forme :

$$\vec{\underline{e}}(z,t) = \vec{\underline{E}}(z) e^{j\omega t}$$
 (4)

 $\underline{E}(z)$  est l'amplitude complexe :

$$\underline{E}(z) = E_0 e^{-j\omega} \frac{z}{v} = E_0 e^{-jkz}$$
(5)

οù

$$v = \frac{1}{\sqrt{\varepsilon \mu}} \tag{6}$$

est la vitesse de propagation de l'onde

$$k = \frac{\omega}{\nu} = \frac{2\pi}{\lambda} \tag{7}$$

est le paramètre de phase de l'onde.

De même : 
$$\underline{\vec{h}}(z, t) = \underline{\vec{H}}(z) e^{j\omega t}$$
 (8)

avec: 
$$\underline{H}(z) = H_0 e^{-j\omega x} = H_0 e^{-jkz}$$
 (9)

Le rapport des modules de  $\underline{E}$  et  $\underline{H}$  s'exprime en ohms :

$$\frac{E}{H} = \frac{E_0}{H_0} = \zeta \tag{10}$$

Il est appelé impédance d'onde et a pour valeur :

$$\zeta = \sqrt{\frac{\mu}{\varepsilon}}$$
 (11)

Dans l'air ou dans le vide :

$$\zeta = \zeta_0 = \sqrt{\frac{\mu_0}{\varepsilon_0}} = 120\pi \simeq 377 \ \Omega \tag{12}$$

- 3) Les conditions aux limites à l'interface diélectrique-conducteur sont :
  - la composante tangentielle du champ  $\vec{E}$  est nulle :

$$E_T = 0 ag{13}$$

– la composante normale du champ  $\vec{H}$  est nulle :

$$H_N = 0 ag{14}$$

Les conditions aux limites à l'interface entre deux milieux diélectriques parfaits 1 et 2 sont :

- continuité des composantes tangentielles des champs  $\vec{E}$  et  $\vec{H}$ , soit :

$$E_{T-1} = E_{T-2} \tag{15}$$

et 
$$H_{T,1} = H_{T,2}$$
 (16)

- continuité des composantes normales des vecteurs  $\vec{D} = \varepsilon \vec{E}$  et  $\vec{B} = \mu \vec{H}$ , soit:

$$\varepsilon_1 E_{N-1} = \varepsilon_2 E_{N-2} \tag{17}$$

$$\epsilon_1 E_{N, 1} = \epsilon_2 E_{N, 2}$$
et
$$\mu_1 H_{N, 1} = \mu_2 H_{N, 2}$$
(17)
(18)

### RÉFLEXION SUR UN PLAN CONDUCTEUR **SOUS INCIDENCE NORMALE**

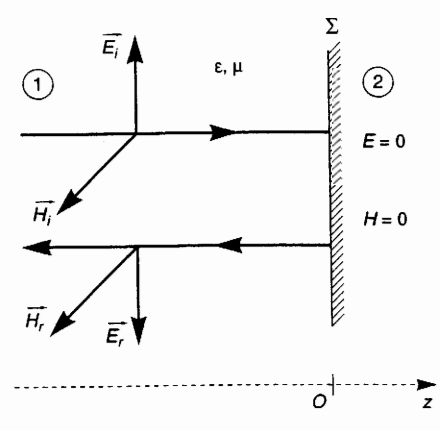


Figure 1. Réflexion

### 11.2.1 Réflexion à la surface d'un conducteur parfait

Le milieu (1) est un diélectrique caractérisé par  $\epsilon$  et  $\mu$  dans lequel se propagent l'onde plane incidente  $(\vec{E}_i, \vec{H}_i)$  et l'onde plane réfléchie  $(\vec{E}_r, \vec{H}_r)$ . Le milieu (2) est un conducteur parfait à l'intérieur duquel le champ électromagnétique est nul.  $\Sigma$  est l'interface entre ces deux milieux (fig. 1).

La direction de propagation de l'onde incidente étant normale à la surface  $\Sigma$ , un plan d'onde quelconque de cette onde est parallèle à  $\Sigma$  et il en est de même pour  $\vec{E}_i$  et  $\vec{H}_i$ . Si nous prenons un axe de référence Oz parallèle à la direction de propagation (fig. 1),  $\vec{E}_i$  et  $\vec{H}_i$  sont donnés, en valeurs instantanées complexes par :

$$\vec{\underline{e}}_i(z,t) = \vec{E}_i e^{j(\omega t - kz)}$$
 (19)

$$\vec{\underline{R}}_{i}(z,t) = \vec{H}_{i} e^{j(\omega t - kz)}$$
 (20)

$$\frac{E_i}{H_i} = \zeta = \sqrt{\frac{\mu}{\epsilon}}$$
, impédance d'onde du milieu (1)

Cette onde incidente donne naissance à une onde réfléchie  $(\vec{E_r}, \vec{H_r})$  qui se propage perpendiculairement à  $\Sigma$ . L'expression des champs  $\vec{E_r}$  et  $\vec{H_r}$  est donnée, en valeurs instantanées complexes, par :

$$\overrightarrow{\underline{e}}_r(z,t) = \overrightarrow{E}_r e^{j(\omega t + kz)}$$
 (21)

$$\vec{\underline{H}}_r(z,t) = \vec{H}_r e^{j(\omega t + kz)}$$
 (22)

Le trièdre formé par les vecteurs  $(\vec{E_i}, \vec{H_i}, \vec{z})$  ainsi que celui formé par les vecteurs  $(\vec{E_r}, \vec{H_r}, -\vec{z})$  doivent être directs. Il en résulte donc que :

$$\frac{E_i}{H_i} = -\frac{E_r}{H_r} = \zeta = \sqrt{\frac{\mu}{\epsilon}}$$
 (23)

 $(\vec{E}_i\,,\,\vec{H}_i)$  et  $(\vec{E}_r\,,\,\vec{H}_r)$  sont aussi liés par les conditions aux limites imposées par le plan conducteur  $\Sigma: E_T=0$  et  $H_N=0$ . Les champs incidents et réfléchis étant parallèles à  $\Sigma$ , il n'y a pas de composantes normales et la seule condition que l'on doit écrire est :  $\vec{E}_i + \vec{E}_r = 0$ 

soit: 
$$\vec{E}_r = -\vec{E}_i$$
 (24)

Il résulte enfin de (23) et (24) que

(2)

$$\vec{H}_r = \vec{H}_i \tag{25}$$

Si l'on se donne le champ  $\vec{E}_i$ , l'orientation de  $\vec{H}_i$  résulte de l'application de la règle du trièdre direct et celles de  $\vec{E}_r$  et  $\vec{H}_r$  résultent des relations (24) et (25).

L'état electromagnétique en un point d'abscisse z du diélectrique résulte de la superposition des champs de l'onde incidente et de l'onde réfléchie :

$$\frac{\vec{e}}{\vec{e}}(z,t) = \vec{E}_i e^{j(\omega t - kz)} + \vec{E}_r e^{j(\omega t + kz)}$$

$$= \vec{E}_i \left( e^{-jkz} - e^{jkz} \right) e^{j\omega t} = -2j \vec{E}_i \sin kz e^{j\omega t}$$
(26)

$$\vec{\underline{h}}(z,t) = \vec{H_i} e^{j(\omega t - kz)} + \vec{H_r} e^{j(\omega t + kz)}$$

$$= \vec{H_i} (e^{-jkz} + e^{jkz}) e^{j\omega t} = 2 \vec{H_i} \cos kz e^{j\omega t}$$
(27)

Comme (26) peut encore s'écrire :

$$\vec{e}(z,t) = 2 \vec{E}_i \cos\left(kz - \frac{\pi}{2}\right) e^{j(\omega t - \frac{\pi}{2})}$$
 (28)

nous constatons que les champs électrique et magnétique sont constamment en quadrature dans le temps et dans l'espace. Cela signifie qu'il existe dans le milieu diélectrique un régime d'ondes stationnaires :

- dans le plan  $\sum (z=0)$  et dans tous les plans situés à  $n \lambda/2$  de  $\sum$ , le champ électrique est nul et le champ magnétique est maximal ou minimal;
- dans tous les plans situés à  $(2n + 1) \lambda/4$ , c'est le contraire : le champ électrique est maximal ou minimal et le champ magnétique est nul.

Remarquons enfin que les problèmes de polarisation ne présentent pas de difficulté dans ce cas de l'incidence normale puisque les champs électrique et magnétique gardent une polarisation uniforme en tous points de l'espace.

# 11.2.2 Réflexion à la surface d'un conducteur imparfait

D'après le paragraphe précédent, les amplitudes complexes des champs ( $\vec{E}$  //Ox et  $\vec{H}$  //Oy) des ondes incidente et réfléchie se propageant dans le diélectrique, sont données par :

$$\underline{E}_{ix} = \underline{E}_i e^{-jkz}$$
 (29)

$$\underline{H}_{iv} = \zeta_d^{-1} \underline{E}_{ix} \tag{30}$$

$$\underline{E}_{rx} = \underline{E}_r e^{jkz}$$
 (31)

$$\underline{H}_{rv} = -\zeta_d^{-1} \underline{E}_{rx} \tag{32}$$

 $\zeta_d = \sqrt{\mu/\epsilon}$  est l'impédance d'onde du diélectrique.

Puisque le conducteur n'est pas parfait, la réflexion n'est pas totale et il y a une onde transmise de la forme :

$$\underline{E}_{tr} = \underline{E}_{t} e^{-\gamma z} \tag{33}$$

ζ est l'impédance d'onde du conducteur imparfait.

Comme la réflexion et la transmission s'effectuent sur une interface avec un milieu imparfait, nous avons pris  $E_i$ ,  $E_r$ , et  $E_r$  complexes.

Nous démontrons au chapitre 6 du second volume « Propagation des O.E.M. en espace libre » que le paramètre de propagation  $\gamma = \alpha + j\beta$  dans un milieu conducteur imparfait est tel que :

$$\alpha = \beta = \sqrt{\pi \mu \alpha f} = \frac{1}{\delta}$$
 (35)

D'autre part, l'impédance d'onde de ce milieu est donnée par :

$$\underline{\zeta}_c = \sqrt{\frac{\omega\mu}{\sigma}} e^{j\frac{\pi}{4}}$$
 (36)

Nous pouvons donc écrire :

$$\underline{E}_{tx} = \underline{E}_{t} e^{-(1+j)\frac{z}{\delta}}$$
 (37)

$$\underline{H}_{ty} = \underline{E}_t \sqrt{\frac{\sigma}{\omega \mu}} e^{-j\frac{\pi}{4}} e^{-(1+j)\frac{z}{\delta}}$$
 (38)

Les équations de continuité des composantes tangentielles de  $\underline{E}$  et  $\underline{H}$  pour z=0, nous donnent :

$$\underline{E}_i + \underline{E}_r = \underline{E}_t \tag{39}$$

$$\zeta_d^{-1} (\underline{E}_i - \underline{E}_r) = \underline{E}_t \underline{\zeta}_c^{-1}$$
 (40)

d'où: 
$$\frac{\underline{E}_{i} + \underline{E}_{r}}{\underline{E}_{i} - \underline{E}_{r}^{*}} = \frac{\zeta_{c}}{\zeta_{d}} = \sqrt{\frac{\omega \varepsilon}{\sigma}} e^{j\frac{\pi}{4}}$$
 (41)

et: 
$$\frac{1+\underline{R}}{1-\underline{R}} = \sqrt{\frac{\omega\varepsilon}{2\sigma}} (1+j) = \underline{K}$$
 (42)

Le coefficient de réflexion complexe est donc donné par :

$$\underline{R} = \frac{\underline{K} - 1}{\underline{K} + 1} = \frac{\underline{\zeta}_c - \zeta_d}{\underline{\zeta}_c + \zeta_d}$$
(43)

# 11.3 RÉFLEXION SUR UN PLAN CONDUCTEUR SOUS INCIDENCE OBLIQUE

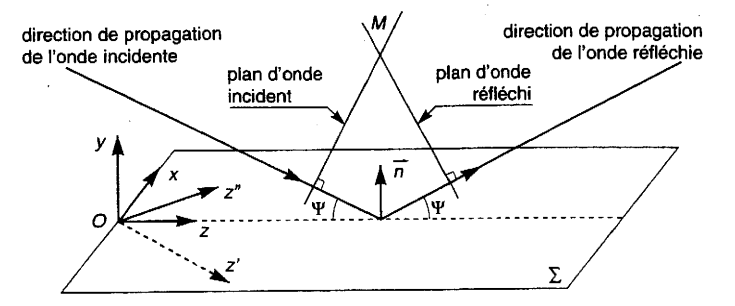


Figure 2 Réflexion incidence d Géométrie problème

### 11.3.1 Position du problème

Pour traiter cette question, nous choisirons un trièdre de référence Oxyz tel que yOz coïncide avec le plan d'incidence et xOz avec le plan conducteur. Le plan d'incidence de l'onde est le plan défini par la direction d'incidence de l'onde et la normale à  $\Sigma$  (fig. 2).

Considérons une onde incidente plane dont la direction de propagation fait l'angle  $\psi$  avec la surface plane  $\Sigma$  du milieu conducteur. Cette onde va donner naissance à une onde réfléchie dont la direction de propagation fait aussi l'angle  $\psi$  avec  $\Sigma$ .

L'état électromagnétique en un point quelconque du diélectrique résulte de la superposition de l'onde incidente (O.I.) et de l'onde réfléchie (O.R.). Pour trouver cet état, il nous faut déterminer l'expression mathématique des champs correspondant aux ondes incidente et réfléchie :

- pour l'étude de l'onde incidente, nous rapporterons la figure à un système d'axes Oxy'z' dans lequel Oz' est parallèle à la direction de cette onde ;
- pour l'étude de l'onde réfléchie, nous rapporterons la figure à un système d'axes Oxy"z" dans lequel Oz" est parallèle à la direction de cette onde.

Nous nous ramènerons ensuite au système d'axes Oxyz grâce aux formules de changement d'axes :

$$z' = -y \sin \psi + z \cos \psi$$
;  $z'' = y \sin \psi + z \cos \psi$ 

Dans ces conditions:

• l'amplitude complexe de l'une des composantes de l'O.I. est de la forme :

$$\underline{A}_{i} = A e^{-jkz'} = A e^{jky} \sin \psi e^{-jkz} \cos \psi$$
 (44)

• l'amplitude complexe de l'une des composantes de l'O.R. est de la forme :

$$\underline{A}_r = A e^{-jkz} = A e^{-jky \sin \psi} e^{-jkz \cos \psi}$$
 (45)

A représente l'amplitude à l'origine de la composante du champ E ou H considérée.

Ces expressions ne nous donnent que l'amplitude et la phase des champs : reste le problème de la polarisation. Il est particulièrement intéressant de traiter les deux cas fondamentaux de polarisation suivants :

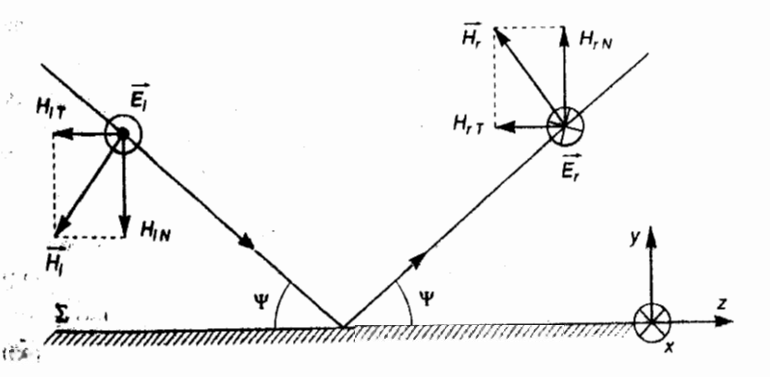
- champ électrique E perpendiculaire au plan d'incidence (et alors le champ magnétique H se trouve dans le plan d'incidence)  $\rightarrow$  c'est le cas T.E. (Transverse Électrique);
- champ magnétique H perpendiculaire au plan d'incidence (et alors le champ électrique E se trouve dans le plan d'incidence)  $\rightarrow$  c'est le cas T.M. (Transverse Magnétique).

Il y deux raisons à cela:

- d'une part, un champ électrique (ou magnétique) ayant une polarisation quelconque peut toujours se décomposer en une composante perpendiculaire au plan d'incidence et une composante dans le plan d'incidence;
- d'autre part, si le champ incident  $\vec{E}_i$  (ou  $\vec{H}_i$ ) est perpendiculaire au plan d'incidence, le champ réfléchi  $\overrightarrow{E_r}$  (ou  $\overrightarrow{H_r}$ ) est lui aussi perpendiculaire au plan d'incidence. Le champ total électrique (ou magnétique) a donc une polarisation uniforme dans tout l'espace.

C'est en fait une démarche qui est très générale pour traiter tous les problèmes de réflexion, réfraction ou diffraction des ondes : plutôt que de résoudre ces problèmes dans un cas de polarisation quelconque, ce qui nécessiterait des calculs très lourds et dont la signification physique serait difficile à saisir, on préfère les résoudre dans les deux cas fondamentaux de polarisation. Un cas de polarisation quelconque peut ensuite être traité très facilement en superposant de façon appropriée, les résultats obtenus dans les deux cas fondamentaux de polarisation.

## **11.3.2** $\vec{E}$ est perpendiculaire au plan d'incidence (cas TE)



#### a) Onde incidente

Prenons  $\vec{E}_i$  dirigé d'arrière en avant du plan de la figure 3. Comme le trièdre formé par  $\vec{E}_i$ ,  $\vec{H}_i$  et la direction de propagation doit être direct,  $\vec{H}_i$  est dirigé vers le bas ; il a donc :

- une composante normale à la surface  $\sum : H_{iN}$
- une composante tangentielle à la surface  $\sum : H_{iT}$

Les expressions de ces champs en amplitudes complexes sont :

$$\underline{E}_{ix} = -E e^{jkx \sin \psi} e^{-jkz \cos \psi}$$
 (46)

$$\underline{H}_{iy} = -H\cos\psi \,\mathrm{e}^{\,\mathrm{j}ky\,\sin\psi}\,\mathrm{e}^{\,\mathrm{-j}kz\,\cos\psi} \tag{47}$$

$$H_{iz} = -H \sin \psi e^{jky \sin \psi} e^{-jkz \cos \psi}$$
 (48)

E et H représentent les amplitudes prises à l'origine du champ électrique et du champ magnétique de l'onde incidente. Leur rapport E/H est l'impédance d'onde du milieu diélectrique.

Si le milieu est un diélectrique sans perte, les champs E et H sont en phase. Dans ces conditions, les amplitudes E et H dans les relations (46) à (48) sont réelles et l'impédance d'onde est une quantité réelle. C'est le cas que nous considérons dans ce paragraphe.

Mais si le milieu était un diélectrique avec pertes, son impédance d'onde serait complexe et il faudrait alors considérer que les amplitudes <u>E</u> et <u>H</u> sont des quantités complexes si bien que les champs correspondants E et H ne sont pas en

#### b) Onde réfléchie

Dans l'onde réfléchie, compte tenu des conditions de continuité, le champ électrique reste perpendiculaire au plan d'incidence yOz et il n'a donc qu'une seule composante selon x; le champ magnétique reste dans le plan d'incidence où il a deux composantes, l'une selon y et l'autre selon z. Avant de donner les amplitudes complexes  $E_{rr}$ ,  $H_{rv}$  et  $H_{rr}$  de ces composantes, nous devons déterminer l'orientation des champs réfléchis.

Celle du champ  $\vec{E}_r$  s'obtient en écrivant la condition aux limites qui est imposée sur  $\Sigma$  au champ électrique tangentiel  $\vec{E}_T = 0$ , soit ici :  $\vec{E}_i + \vec{E}_r = 0$ , puisque les champs  $\vec{E}_i$  et  $\vec{E}_r$  sont parallèles à  $\sum_i \vec{E}_r$  est donc dirigé de l'avant vers l'arrière de la figure 3 et puisque le trièdre formé par  $\vec{E}_r$ ,  $\vec{H}_r$  et la direction de propagation, doit être direct.  $\overrightarrow{H}_r$  est dirigé vers le haut.

Les amplitudes complexes des composantes du champ réfléchi s'écrivent donc :

$$E_{\text{max}} = E e^{-jky \sin \psi} e^{-jkz \cos \psi}$$
 (49)

$$\underline{E}_{rx} = E e^{-jky} \sin \psi e^{-jkz} \cos \psi$$

$$\underline{H}_{ry} = H \cos \psi e^{-jky} \sin \psi e^{-jkz} \cos \psi$$
(49)
(50)

$$\underline{H}_{rz} = -H\sin\psi \, e^{-ikv\sin\psi} \, e^{-jkz\cos\psi} \tag{51}$$

#### c) Champ total

En un point quelconque du diélectrique, l'état électromagnétique résulte de la superposition de ces deux ondes incidente et réfléchie. Les amplitudes complexes des composantes des champs résultants sont :

$$\underline{E}_x = -2j E \sin(ky \sin \psi) e^{-jkz \cos \psi}$$
 (52)

$$\underline{H}_{y} = -2j H \cos \psi \sin (ky \sin \psi) e^{-jkz \cos \psi}$$
 (53)

$$\underline{H}_z = -2 H \sin \psi \cos (ky \sin \psi) e^{-jkz \cos \psi}$$
 (54)

Il est maintenant possible de savoir dans quel sens se propage l'énergie, en calculant les trois composantes du vecteur de Poynting :  $\vec{P} = \frac{1}{2} \vec{E} \wedge \vec{H}^*$ 

$$\underline{P}_x = \frac{1}{2} \left( \underline{E}_y \underline{H}_z^* - \underline{E}_z \underline{H}_y^* \right) = 0$$
 (55)

Il n'y a pas de puissance transportée selon la direction Ox.

$$\underline{P}_{y} = \frac{1}{2} \left( \underline{E}_{z} \underline{H}_{x}^{*} - \underline{E}_{x} \underline{H}_{z}^{*} \right) = -\frac{1}{2} \underline{E}_{x} \underline{H}_{z}^{*}$$
 (56)

$$\underline{P}_{y} = -2j EH \sin \psi \sin (ky \sin \psi) \cos (ky \sin \psi)$$
 (57)

Cette expression est imaginaire pure : la puissance qui se propage selon la direction Oy est de la puissance réactive.

$$\underline{P}_z = \frac{1}{2} \left( \underline{E}_x \underline{H}_y^* - \underline{E}_y \underline{H}_x^* \right) = \frac{1}{2} \underline{E}_x \underline{H}_y^*$$
 (58)

$$P_{\pi} = 2 EH \cos \psi \sin^2 (ky \sin \psi)$$
 (59)

Cette expression est réelle : la puissance qui se propage selon la direction Oz est de la puissance active.

La propagation est donc caractérisée par l'existence d'un régime d'ondes stationnaires pures dans une direction perpendiculaire à  $\Sigma$  et d'un régime d'ondes progressives dans la direction Oz. Dans une direction quelconque, on observerait un régime d'ondes semi-stationnaires.

Enfin, il est intéressant de déterminer l'impédance d'onde dans la direction Oz de propagation de la puissance active. Il s'agit de la composante  $\zeta_z$  de cette impédance qui est le rapport des composantes de  $\vec{E}$  et  $\vec{H}$  perpendiculaires à Oz:

$$\zeta_z = \frac{\underline{E}_x}{\underline{H}_y} = \frac{E}{H\cos\psi} \tag{60}$$

ce que nous écrirons:

$$\zeta_{\text{TE}} = \frac{\zeta}{\cos \psi} \tag{61}$$

# 11.3.3 $\vec{H}$ est perpendiculaire au plan d'incidence (cas TM)

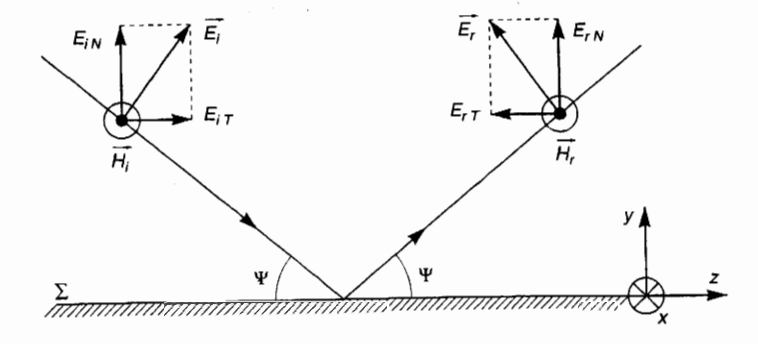


Figure 4.

Champ H
perpendicular
plan de la filo
dirigé de
l'arrière ven
de l'arrière.

#### a) Onde incidente

Prenons  $\vec{H}_i$  dirigé d'arrière en avant du plan de la figure 4.  $\vec{E}_i$ , qui est dans le plan de la figure, est donc dirigé vers le haut et il a :

- une composante normale à la surface  $\Sigma$  :  $E_{iN}$
- une composante tangentielle à la surface  $\sum : E_{iT}$

Les expressions de ces champs, en amplitudes complexes, sont :

$$\underline{H}_{ix} = -H e^{jky} \sin \Psi e^{-jkz} \cos \Psi$$
 (62)

$$\underline{E}_{iy} = E \cos \psi e^{jky \sin \psi} e^{-jkz \cos \psi}$$
 (63)

$$\underline{E}_{iz} = E \sin \Psi e^{jky \sin \Psi} e^{-jkz \cos \Psi}$$
(64)

Même remarque pour E et H qu'au paragraphe 11.3.2.a.

#### b) Onde réfléchie

Dans l'onde réfléchie, compte tenu des conditions de continuité, le champ magnétique reste perpendiculaire au plan d'incidence et le champ électrique reste dans le plan d'incidence où il a deux composantes, l'une selon y et l'autre selon z. Avant de donner les amplitudes complexes  $\underline{H}_{rx}$ ,  $\underline{E}_{ry}$  et  $\underline{E}_{rz}$  de ces composantes, nous devons déterminer l'orientation des champs réfléchis.

 $\vec{H}_i$  et  $\vec{H}_r$  étant parallèles à la surface  $\Sigma$ , nous ne pouvons rien dire sur l'orientation de  $\vec{H}_r$ , par rapport à celle de  $\vec{H}_i$ , puisque la condition de continuité du champ magnétique total à la surface de  $\Sigma$  ( $\vec{H}_N=0$ ) porte sur la composante normale. Ce que nous savons, en revanche, c'est que :  $\vec{E}_{i\,T}+\vec{E}_{r\,T}=0$  sur  $\Sigma$ .

Cette condition nous montre que  $\vec{E}_{r,T} = -\vec{E}_{i,T}$  et permet de déterminer  $\vec{E}_r$  qui doit être perpendiculaire à la direction de l'onde réfléchie, d'une façon unique :  $\vec{E}_r$  est dirigé vers le haut de la figure. Il en résulte donc que  $\vec{H}_r = \vec{H}_i$ . Par conséquent, les amplitudes complexes des champs réfléchis s'écrivent :

$$\underline{H}_{rx} = -H e^{-jky \sin \psi} e^{-jkz \cos \psi}$$
 (65)

$$\underline{E}_{ry} = E \cos \psi e^{-jky \sin \psi} e^{-jkz \cos \psi}$$
 (66)

$$\underline{E}_{rz} = -E \sin \psi e^{-jky} \sin \psi e^{-jkz} \cos \psi$$

$$\underline{E}_{rz} = -E \sin \psi e^{-jky} \sin \psi e^{-jkz} \cos \psi$$
(67)

#### c) Champ total

Les amplitudes complexes des champs résultant de la superposition des composantes de ces deux ondes sont :

$$\underline{H}_x = -2H\cos(ky\sin\psi) e^{-jkz\cos\psi}$$
 (68)

$$\underline{E}_{y} = 2E \cos \psi \cos (ky \sin \psi) e^{-jkz \cos \psi}$$
 (69)

$$\underline{E}_{z} = 2j E \sin \psi \sin (ky \sin \psi) e^{-jkz \cos \psi}$$
 (70)

Par un calcul tout à fait analogue à œlui effectué dans le cas précédent, à partir des composantes du vecteur de Poynting complexe, nous démontrerions que  $P_x$  est nulle,  $P_y$  est imaginaire pure et  $P_z$  réelle. Cela signifie qu'il n'y a propagation de puissance active que selon Oz et amène aux mêmes conclusions que dans le cas T.E. quant à la nature des régimes d'ondes s'établissant dans le diélectrique.

L'impédance d'onde dans la direction Oz est donnée par le quotient de  $E_y$  par  $H_x$ ; comme l'ordre des opérations est effectué en sens inverse de la permutation circulaire directe sur (x, y, z) nous devons affecter ce quotient d'un signe moins :

$$\zeta_z = -\frac{\underline{E}_y}{\underline{H}_x} = \frac{E}{H} \cos \psi \tag{71}$$

ce que nous écrirons :

$$\zeta_{\text{TM}} = \zeta \cos \Psi \tag{72}$$

# RÉFLEXION ET TRANSMISSION À L'INTERFACE DE DEUX DIÉLECTRIQUES

Nous nous proposons de déterminer les coefficients de réflexion R et de transnission T à la surface de séparation de deux milieux diélectriques. Comme pour l'étude de la réflexion sur un plan conducteur, nous nous placerons dans les deux cas fondamentaux de polarisation : les cas T.E. (T.M.) dans lesquels le champ E(H) est perpendiculaire au plan d'incidence. Nous ne ferons aucune hypothèse préliminaire sur l'orientation relative des champs incidents, réfléchis et transmis. En effet, si nous avons toujours le droit de donner une orientation à  $\vec{E}_i$  (et, par conséquent, à  $\vec{H}_i$ ), nous ne savons rien quant à celles de  $\vec{E}_r$ ,  $\vec{H}_r$ ,  $\vec{E}_t$  et  $\vec{H}_t$ , puisque ce sont précisément les signes de R et T qui vont nous les donner.

# 11.4.1 Le champ E est perpendiculaire au plan d'incidence (Cas TE)

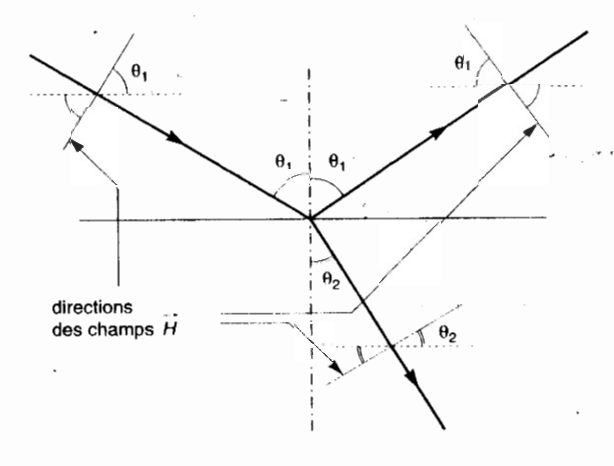


Figure 5. Les champerpendic plan de la

Nous allons écrire les conditions de continuité des champs  $\vec{E}$  et  $\vec{H}$  à la surface de séparation de deux milieux diélectriques. Comme elles s'appliquent aux composantes tangentielles des champs, il est important de remarquer que, dans ce cas de polarisation (fig. 5):

- les champs électriques sont tangentiels à  $\Sigma$ ,
- les composantes tangentielles des champs magnétiques sont en  $\cos \theta$ .

En passant immédiatement aux amplitudes complexes, nous avons :

$$\oint \underline{E}_i + \underline{E}_r = \underline{E}_t \tag{73}$$

$$\left\langle (\underline{H}_i + \underline{H}_r) \cos \theta_1 = \underline{H}_t \cos \theta_2 \right\rangle \tag{74}$$

Comme:  $\frac{\underline{E}_i}{\underline{H}_i} = \zeta_1, \quad \frac{\underline{E}_r}{\underline{H}_r} = -\zeta_1, \quad \frac{\underline{E}_t}{\underline{H}_t} = \zeta_2$ 

$$\left(\underline{E}_{i} + \underline{E}_{r} = \underline{E}_{t}\right) \tag{75}$$

il vient:  $\left\{ \underline{E}_i - \underline{E}_r = \underline{E}_i \frac{\zeta_1}{\zeta_2} \cdot \frac{\cos \theta_2}{\cos \theta_1} \right\}$  (76)

$$(75)/\underline{E}_i \qquad \rightarrow \qquad \qquad 1 + R_{E_\perp} = T_{E_\perp} \tag{77}$$

$$(75) + (76) \rightarrow 2 \underline{E}_i = \underline{E}_i \left( 1 + \frac{\zeta_1 \cos \theta_2}{\zeta_2 \cos \theta_1} \right)$$
 (78)

et: 
$$\underline{E}_{t} = 2 \underline{E}_{i} \frac{\zeta_{2} \cos \theta_{1}}{\zeta_{1} \cos \theta_{2} + \zeta_{2} \cos \theta_{1}}$$

d'où: 
$$T_{E_{\perp}} = \frac{2 \zeta_2 \cos \theta_1}{\zeta_2 \cos \theta_1 + \zeta_1 \cos \theta_2}$$
 (79)

 $R_{E_1} = T_{E_1} - 1$ 

d'où: 
$$R_{E_{\perp}} = \frac{\zeta_2 \cos \theta_1 - \zeta_1 \cos \theta_2}{\zeta_2 \cos \theta_1 + \zeta_1 \cos \theta_2}$$
 (80)

#### Remarque

Puisque  $(\underline{H}_r/\underline{H}_i) = -(\underline{E}_r/\underline{E}_i)$ , il suffit de changer de signe le coefficient de réflexion relatif au champ E pour obtenir le coefficient de réflexion relatif au champ H:

$$R_{H_{\perp}} = -R_{E_{\perp}} \tag{81}$$

En ce qui concerne le coefficient de transmission,

$$\frac{\underline{\mathbf{H}}_{t}}{\underline{\mathbf{H}}_{i}} = \frac{\underline{\mathbf{E}}_{t}}{\underline{\mathbf{E}}_{i}} \cdot \frac{\zeta_{I}}{\zeta_{2}}$$

$$T_{\rm H_{\perp}} = T_{\rm E_{\perp}} \frac{\zeta_I}{\zeta_2} \tag{82}$$

En général,  $\mu_1=\mu_2=\mu_0$ . Donc :  $\zeta_1=\sqrt{\mu_0/\epsilon_1}$  et  $\zeta_2=\sqrt{\mu_0/\epsilon_2}$  . Les formules (80) et (79) deviennent alors, après multiplication du numérateur et du dénominateur par  $\sqrt{\epsilon_1 \, \epsilon_2}$ , puis simplifications :

$$R_{E_{\perp}} = \frac{\sqrt{\varepsilon_1} \cos \theta_1 - \sqrt{\varepsilon_2} \cos \theta_2}{\sqrt{\varepsilon_1} \cos \theta_1 + \sqrt{\varepsilon_2} \cos \theta_2}$$
 (83)

$$T_{E_{\perp}} = \frac{2\sqrt{\varepsilon_{1}}\cos\theta_{1}}{\sqrt{\varepsilon_{1}}\cos\theta_{1} + \sqrt{\varepsilon_{2}}\cos\theta_{2}}$$
 (84)

Nous voyons tout de suite que si  $T_{E_{\perp}}$  est toujours positif, par contre  $R_{E_{\perp}}$  peut, selon les valeurs respectives de  $\sqrt{\epsilon_1}\cos\theta_1$  et  $\sqrt{\epsilon_2}\cos\theta_2$ , être positif ou négatif. D'où les deux cas de figure 6 et 7, en prenant pour hypothèse que  $E_i$  est dirigé de l'arrière vers l'avant.

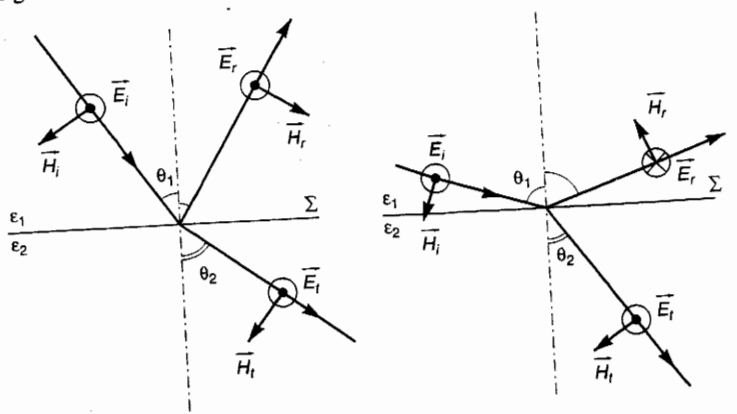


Figure 6 Cas où e alors 0,  $\Rightarrow \cos \theta$ Figure 7 Cas où alors 0, ⇒ cos (

• Cham

l'arrièn ⊗ Chi l'avant

# 11.4.2 Le champ H est perpendiculaire au plan d'incidence (Cas TM)

Remarquons tout d'abord que, dans ce cas de polarisation (fig. 8) :

- les champs magnétiques sont tangentiels à  $\Sigma$ ,
- les composantes tangentielles des champs électriques sont en  $\cos\theta.$

En passant immédiatement aux amplitudes complexes, les conditions de continuité des composantes tangentielles s'écrivent :

$$\begin{cases} \underline{H}_i + \underline{H}_r = \underline{H}_t \\ (\underline{E}_i + \underline{E}_f) \cos \theta_1 = \underline{E}_t \cos \theta_2 \end{cases}$$
(85)

Compte tenu de : 
$$\frac{\underline{E}_i}{\underline{H}_i} = -\frac{\underline{E}_r}{\underline{H}_r} = \zeta_1$$
, et de  $\frac{\underline{E}_t}{\underline{H}_t} = \zeta_2$ :

$$\int \underline{E}_{i} - \underline{E}_{r} = \frac{\zeta_{1}}{\zeta_{2}} \underline{E}_{t}$$
 (87)

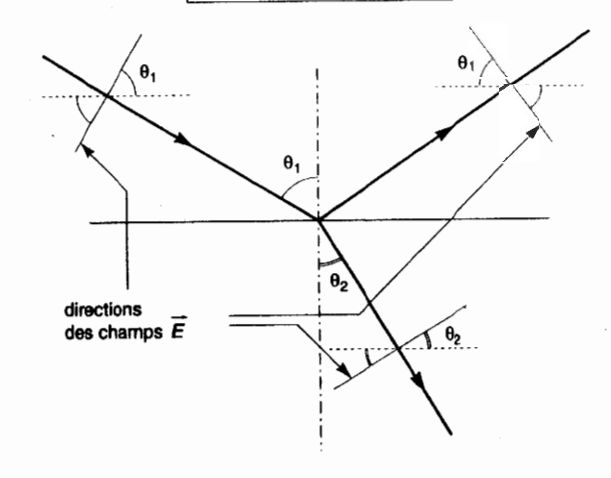
$$\frac{E_i + E_r = \frac{\cos \theta_2}{\cos \theta_1} E_r}{E_i + E_r} \tag{88}$$

$$(87)/E_i \qquad \rightarrow \qquad \qquad 1 - R_{E_{\parallel}} = \frac{\zeta_1}{\zeta_2} T_{E_{\parallel}} \tag{89}$$

$$(87) + (88) \rightarrow 2 \underline{E}_{i} = \underline{E}_{i} \left[ \frac{\zeta_{1}}{\zeta_{2}} + \frac{\cos \theta_{2}}{\cos \theta_{1}} \right]$$
 (90)

et: 
$$2 \underline{E}_{i} = \underline{E}_{t} \frac{\zeta_{1} \cos \theta_{1} + \zeta_{2} \cos \theta_{2}}{\zeta_{2} \cos \theta_{1}}$$

d'où: 
$$T_{E_{H}} = \frac{2 \zeta_{2} \cos \theta_{1}}{\zeta_{1} \cos \theta_{1} + \zeta_{2} \cos \theta_{2}}$$
 (91)



$$R_{E_{//}} = 1 - \frac{\zeta_1}{\zeta_2} T_{E_{//}}$$

$$R_{E_{H}} = \frac{\zeta_2 \cos \theta_2 - \zeta_1 \cos \theta_1}{\zeta_1 \cos \theta_1 + \zeta_2 \cos \theta_2}$$
(92)

#### Rémerque

Nous avons, comme dans le cas précédent :

$$R_{H_u} = -R_{E_u} \tag{93}$$

$$T_{H_{ij}} = T_{E_{ij}} \frac{\zeta_1}{\zeta_2}$$
 (94)

in the cas général où  $\mu_1=\mu_2=\mu_0$ ,  $\zeta_1=\sqrt{\mu_0/\epsilon_1}$ ,  $\zeta_2=\sqrt{\mu_0/\epsilon_2}$  et l'on obtient enfin :

$$R_{E_{H}} = \frac{\sqrt{\varepsilon_{1} \cos \theta_{2} - \sqrt{\varepsilon_{2} \cos \theta_{1}}}}{\sqrt{\varepsilon_{2} \cos \theta_{1} + \sqrt{\varepsilon_{1} \cos \theta_{2}}}}$$
(95)

$$T_{E_{II}} = \frac{2\sqrt{\varepsilon_1 \cos \theta_1}}{\sqrt{\varepsilon_2 \cos \theta_1} + \sqrt{\varepsilon_1 \cos \theta_2}}$$
 (96)

Dans ce cas également,  $T_{E_{/\!/}}$  est constamment positif alors que  $\mathbf{R}_{\mathbf{E}_{/\!/}}$  peut être positif ou négatif selon les valeurs respectives de  $\sqrt{\varepsilon_1}$   $\cos\theta_2$  et  $\sqrt{\varepsilon_2}$   $\cos\theta_1$ .

Pour chacun des deux cas de figure 9 et 10, nous avons supposé que  $H_i$  est dirigé de l'arrière vers l'avant.

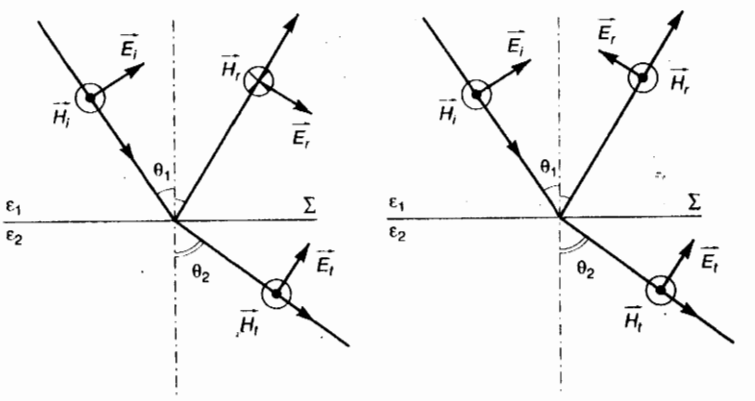


Figure 9.  $\sqrt{\varepsilon_1} \cos \frac{1}{2} \cos \frac{1}{$ 

Figure 10  $\sqrt{\varepsilon_1} \quad \text{co}$   $<\sqrt{\varepsilon_2} \quad \text{c}$  © Champlarière v ⊗ chample

l'avant vo

## 11.4.3 Étude des variations des coefficients de réflexion

L'étude de ces variations est particulièrement intéressante car elle va nous permettre de préciser dans quels cas ils peuvent être positifs ou négatifs et dans quelles conditions il peut y avoir réflexion totale ou, au contraire, réflexion nulle. Nous allons effectuer cette étude en utilisant les coefficients relatifs au champ électrique que nous noterons désormais  $R_{\perp}$  et  $R_{\parallel}$  pour plus de simplicité.

Nous voyons immédiatement d'après la loi de Descartes

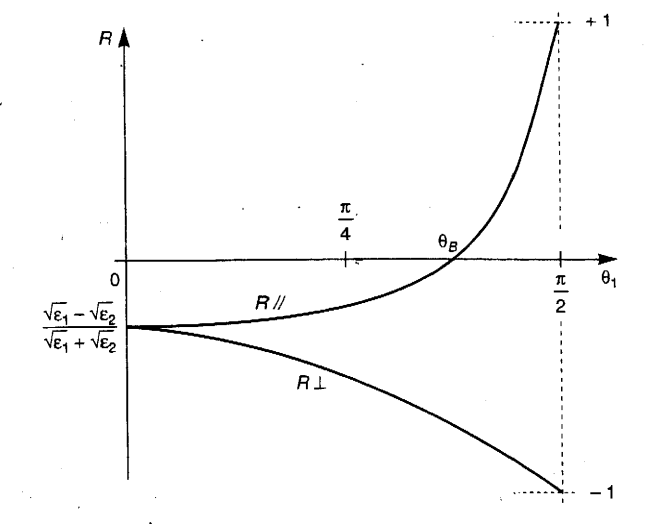
$$\sqrt{\varepsilon_1} \sin \theta_1 = \sqrt{\varepsilon_2} \sin \theta_2 \tag{97}$$

que si  $\varepsilon_1 > \varepsilon_2$ ,  $\theta_1 < \theta_2$  et que si  $\varepsilon_1 < \varepsilon_2$ ,  $\theta_1 > \theta_2$ .

#### a) Cas où $\epsilon_1 < \epsilon_2$ (fig. 11)

Les intervalles de variation de  $\theta_1$  et  $\theta_2$  sont :  $0 \le \theta_1 \le \pi/2$  et  $0 \le \theta_2 \le \theta_{2L}$ .





L'angle  $\theta_2$  limite est défini par :

$$\sqrt{\varepsilon_1} = \sqrt{\varepsilon_2} \sin \theta_{2L} \tag{98}$$

Donc:

$$\theta_{2L} = \arcsin\sqrt{\frac{\varepsilon_1}{\varepsilon_2}}$$
 (99)

Voyons quelles sont les valeurs de  $R_{\perp}$  et  $R_{//}$  pour les valeurs extrêmes de  $\theta_1$ :

• Si 
$$\theta_1 = \theta_2 = 0 \rightarrow R_{\perp} = R_{//} = \frac{\sqrt{\varepsilon_1} - \sqrt{\varepsilon_2}}{\sqrt{\varepsilon_1} + \sqrt{\varepsilon_2}}$$
 (100)

Les deux coefficients de réflexion sont égaux et négatifs.

Si θ<sub>1</sub> = π/2, θ<sub>2</sub> = θ<sub>2L</sub> → R<sub>⊥</sub> = -1 et R<sub>//</sub> = +1.
 Il y a réflexion totale avec changement de signe lorsque E<sub>i</sub> est perpendiculaire au plan d'incidence et sans changement de signe lorsque E<sub>i</sub> est dans le plan d'incidence.

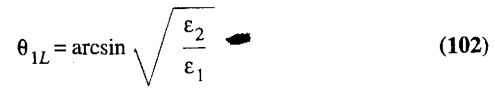
#### b) Cas où $\epsilon_1 > \epsilon_2$ (fig. 12)

Les intervalles de variation de  $\theta_1$  et  $\theta_2$  sont :  $0 \le \theta_1 \le \theta_{1L}$  et  $0 \le \theta_2 \le \pi/2$ .

L'angle  $\theta_1$  limite est donné par :

$$\sqrt{\varepsilon_1} \sin \theta_{1L} = \sqrt{\varepsilon_2} \tag{101}$$

Donc :



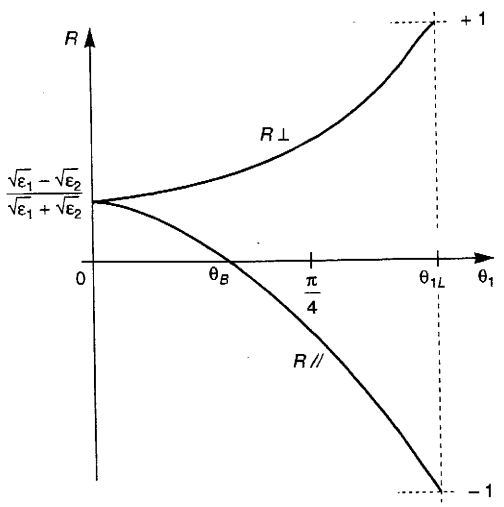


Figure 12. Variation de coefficients si  $\varepsilon_1 > \varepsilon_2$ .

Voyons quelles sont les valeurs de  $R_{\perp}$  et  $R_{//}$  pour les valeurs extrêmes de  $\theta_1$ :

• Si 
$$\theta_1 = \theta_2 = 0 \rightarrow R_{\perp} = R_{\parallel} = \frac{\sqrt{\varepsilon_1} - \sqrt{\varepsilon_2}}{\sqrt{\varepsilon_1} + \sqrt{\varepsilon_2}}$$
 (103)

Les deux coefficients de réflexion sont égaux et positifs.

Si θ<sub>1</sub> = θ<sub>1L</sub> et θ<sub>2</sub> = π/2 → R<sub>⊥</sub> = 1 et R<sub>||</sub> = -1.
 Il y a réflexion totale sans changement de signe lorsque E<sub>i</sub> est perpendiculaire au plan d'incidence et avec changement de signe lorsque E<sub>i</sub> est dans le plan d'incidence.

#### c) Réfraction totale

Dans l'un et l'autre cas qui viennent d'être étudiés,  $R_{\perp}$  reste négatif (si  $\varepsilon_1 < \varepsilon_2$ ) ou positif (si  $\varepsilon_1 > \varepsilon_2$ ) tandis que  $R_{//}$  change de signe et s'annule pour une valeur  $\theta_R$  de  $\theta_1$  qui est calculée (si  $\varepsilon_1 < \varepsilon_2$  ou  $\varepsilon_1 > \varepsilon_2$ ) d'après :

$$\begin{cases} \sqrt{\varepsilon_2} \cos \theta_B = \sqrt{\varepsilon_1} \cos \theta_2 \\ \sqrt{\varepsilon_1} \sin \theta_B = \sqrt{\varepsilon_2} \sin \theta_2 \end{cases}$$

En faisant le produit de ces deux équations, nous trouvons que sin  $2\theta_B = \sin 2\theta_2$ , ce qui ne peut être vérifié ici que si  $\theta_B = (\pi/2) - \theta_2$ . Dans ces conditions :  $\sqrt{\epsilon_1} \sin \theta_B = \sqrt{\epsilon_2} \cos \theta_B$ 

d'où

$$\operatorname{tg} \theta_{B} = \sqrt{\frac{\varepsilon_{2}}{\varepsilon_{1}}} \quad \operatorname{et} \quad \theta_{B} = \operatorname{arctg} \sqrt{\frac{\varepsilon_{2}}{\varepsilon_{1}}}$$
 (104)

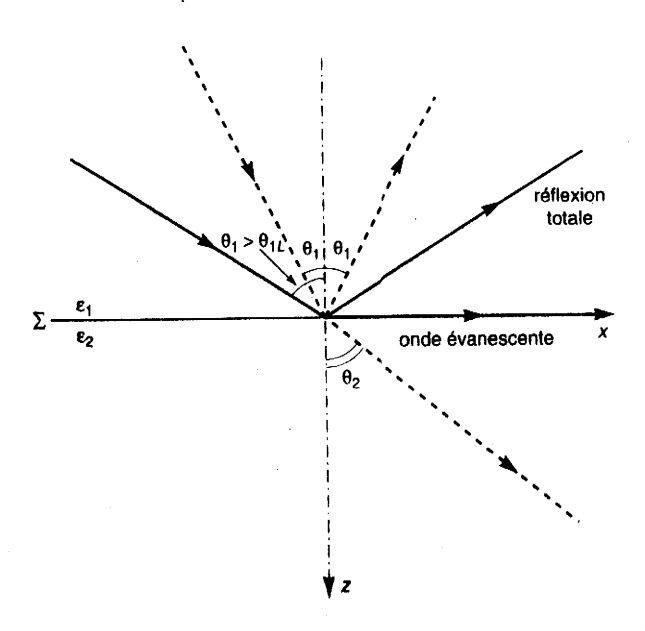
Cet angle  $\theta_B$  est appelé angle de Brewster et l'incidence correspondante, incidence « brewsterienne ». Si  $\epsilon_1 < \epsilon_2$ ,  $\theta_B > 45^\circ$  (fig. 11) et si  $\epsilon_1 > \epsilon_2$ ,  $\theta_B < 45^\circ$  (fig. 12). Il y a alors réfraction totale, en polarisation parallèle.

#### d) Réflexion totale

Dans un système d'axes de référence Oxyz ayant l'axe des x parallèle à l'interface  $\Sigma$  et l'axe des z perpendiculaire à  $\Sigma$  dirigé vers le bas (fig. 13), les champs électriques de l'onde incidente dans le milieu 1 et de l'onde transmise dans le milieu 2 s'écrivent, en amplitudes complexes :

$$\underline{E}_i = E e^{-j k_1 x \sin \theta_1} e^{-j k_1 z \cos \theta_1}$$
 (105)

$$\underline{E}_{t} = \underline{T} E e^{-j k_{2} x \sin \theta_{2}} e^{-j k_{2} z \cos \theta_{2}}$$
 (106)



D'après la loi de Descartes :  $\sin\theta_2 = \sqrt{\epsilon_1/\epsilon_2} \sin\theta_1$ . Si  $\epsilon_1 > \epsilon_2$ , nous avons vu L'u'il y avait réflexion totale pour  $\theta_{1L} = \arcsin\sqrt{\epsilon_2/\epsilon_1}$ .

 $\theta_1 > \theta_{1L} \sin \theta_2 > 1$ . Dans ces conditions, cos  $\theta_2$  est imaginaire pur :

$$\cos \theta_2 = \pm j \sqrt{\sin^2 \theta_2 - 1} \tag{107}$$

L'expression (106) de l'onde transmise s'écrit alors :

$$\underline{E}_{t} = \underline{T} E e^{\pm k_2 z} \sqrt{\sin^2 \theta_2 - 1} e^{-j k_2 x \sin \theta_2}$$
 (108)

Seul le signe moins correspond à une onde ayant une signification physique : il s'agit d'une onde qui se propage le long de l'interface  $\Sigma$  entre les deux milieux (fig. 13), puisque la variation de phase n'a lieu que selon l'axe des x, et dont l'amplitude diminue exponentiellement lorsque l'on s'écarte de l'interface selon l'axe des z. L'onde qui existe dans le milieu z est donc une onde évanescente.

Compte tenu de la valeur de  $\cos \theta_2 = -j \sqrt{\sin^2 \theta_2 - 1}$  les coefficients de réflexion  $R_{\perp}$  et  $R_{//}$ , calculés d'après (83) et (95) sont complexes. Le champ réfléchi a donc un déphasage par rapport au champ incident, qui dépend de la polarisation utilisée. Le n résulte qu'une onde incidente à polarisation rectiligne, non située dans le plan d'incidence, va se transformer, après réflexion totale, en une onde réfléchie à polarisation elliptique puisque les composantes parallèle et perpendiculaire de cette onde, sont déphasées l'une par rapport à l'autre.

## 11.4.4 Réfraction d'une onde dans un diélectrique à pertes

Nous nous intéressons au cas où l'onde provenant d'un milieu sans perte, de permittivité  $\epsilon_1$ , se réfracte dans un milieu à pertes, de permittivité  $\epsilon_2$  complexe. Dans ce cas, nous écrirons la loi de Descartes sous la forme :

$$\sin \theta_1 = \sqrt{\frac{\varepsilon_r}{\varepsilon_r}} \sin \theta_2' \tag{109}$$

avec:

$$\underline{\varepsilon}_r = \frac{\underline{\varepsilon}_2}{\varepsilon_1} = \varepsilon_r' - j \varepsilon_r'' \tag{110}$$

 $\sin \theta_2'$  est une quantité complexe et  $\theta_2'$  ne représente pas l'angle de réfraction  $\theta_2$ , c'est pourquoi nous l'avons noté  $\theta_2'$ .

Dans le cas où le milieu 2 était sans perte, nous avons déjà vu que l'expression de l'onde réfractée pouvait s'écrire, en amplitude complexe :

$$E_1 = A e^{-\frac{1}{2}k_2} (x \sin \theta_2 + z \cos \theta_2)$$
 (111)

avec:

$$k_2 = k_0 \sqrt{\varepsilon_{r2}} = k_1 \sqrt{\varepsilon_r}$$
 (112)

où:

$$\varepsilon_r = \frac{\varepsilon_2}{\varepsilon_1} \tag{113}$$

Dans le cas où le milieu 2 a des pertes, nous pouvons donc écrire l'expression du champ réfracté sous la forme :

$$\underline{E}_{I} = \underline{A} e^{-jk_{1}} \sqrt{\underline{\epsilon}_{I}} (x \sin \theta_{2}^{2} + z \cos \theta_{2}^{2})$$
 (114)

Dans cette expression,  $\sqrt{\underline{\varepsilon}_r} \sin \theta_2' = \sin \theta_1$  est réel, et :

$$\sqrt{\underline{\varepsilon}_r} \cos \theta_2' = \sqrt{\underline{\varepsilon}_r} \sqrt{1 - \sin^2 \theta_2'} = \sqrt{\underline{\varepsilon}_r - \sin^2 \theta_1}$$
 (115)

est complexe, de la forme p - j q, avec :

$$p = \frac{1}{2} \left[ \sqrt{(\epsilon_r' - \sin^2 \theta_1)^2 + \epsilon_r''^2 + (\epsilon_r' - \sin^2 \theta_1)} \right]^{\frac{1}{2}}$$
 (116)

$$q = \frac{1}{2} \left[ \sqrt{(\varepsilon_r' - \sin^2 \theta_1)^2 + \varepsilon_r''^2} - (\varepsilon_r' - \sin^2 \theta_1) \right]^{\frac{1}{2}}$$
 (117)

Avec ces notations, l'expression du champ réfracté dans le milieu 2 peut s'écrire :

$$E_{t} = \underline{A} e^{-j k_{1} x \sin \theta_{1}} e^{-j k_{1} z (p - j q)}$$

$$E_{t} = \underline{A} e^{-k_{1}} q^{zz} e^{-j k_{1} (x \sin \theta_{1} + pz)}$$
(118)

Les plans équiphases de l'onde réfractée sont définis par :

$$x \sin \Theta_1 + pz = \text{cte} \tag{119}$$

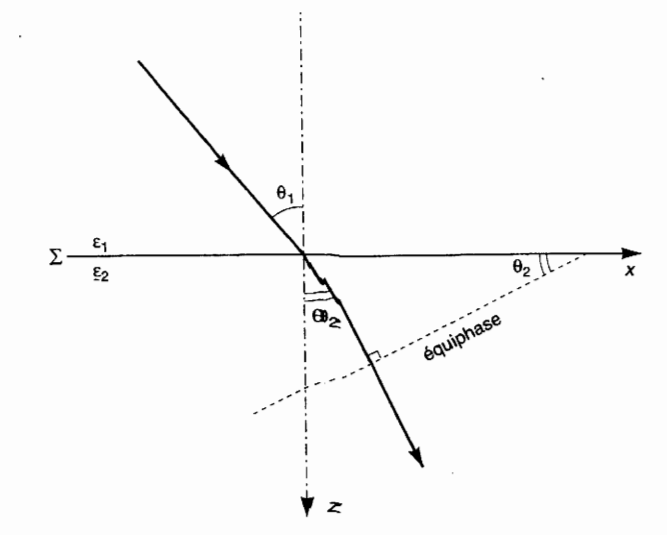


Figure 14.
Réfraction d'une onde dans un diélectrique à pertes.

Ces plans font avec la surface de séparation entre les deux milieux, un angle  $\theta_2$  identique à celui de la direction de l'onde réfractée avec la normale à l'interface (fig. 14).

Pour calculer cet angle, différentions la relation (119):  $(\sin \theta_1) dx + p dz = 0$ .

D'où: 
$$\operatorname{tg} \theta_2 = \left| \frac{\mathrm{d}z}{\mathrm{d}x} \right| = \frac{\sin \theta_1}{p} \tag{120}$$

L'angle de réfraction étant ainsi déterminé, il est possible de définir une permittivité réelle équivalente  $\varepsilon_2^{eq}$ , pour le milieu à pertes, telle que :

$$\sqrt{\varepsilon_1} \sin \theta_1 = \sqrt{\varepsilon_2^{\text{eq}}} \sin \theta_2 \tag{121}$$

Cette permittivité est celle d'un milieu sans perte qui produirait la même réfraction que le milieu à pertes considéré. L'analogie doit s'arrêter là car, dans un milieu sans perte, les surfaces équiphases sont également équiamplitudes tandis que dans le milieu à pertes, la relation (118) montre qu'il y a une variation de l'amplitude en  $e^{-k_1 qz}$ .

raphe 11.2.2 – Réflexion à la surface d'un conducteur imparfait)

mer est caractérisée par une conducti-3(S·m<sup>-1</sup>) et une permittivité relative

ve  $\sigma/\omega \, \epsilon_0 \, \epsilon_r > 10$ , on peut considérer teu de mer se comporte comme un deur imparfait. À partir de quelle frécette propriété est-elle vraie ?

fréquence de 10 MHz, calculer la du coefficient de réflexion à l'interir-conducteur dans le cas d'une incinormale.

#### XERCICE 11.2

raphe 11.3 – Réflexion sur un plan ducteur sous incidence oblique)

onde qui se réfléchit sur un plan ur sous une incidence de 45°. Le lectrique étant de l'air, calculer les d'onde dans les cas T.E. et T.M.

## XERCICE 11.3

rephe 11.4 – Réflexion et transmission interface de deux diélectriques)

Tyennement sec est caractérisé par  $\sigma = 10^{-3} (S \cdot m^{-1})$  et une

permittivité relative  $\varepsilon_r = 15$ , c'est-à-dire par une permittivité complexe  $\underline{\varepsilon} = \varepsilon - \mathrm{j} \ \sigma/\omega$  avec  $\varepsilon = \varepsilon_0 \ \varepsilon_r$ .

- 1) Lorsque  $\sigma/\omega$   $\varepsilon_0$   $\varepsilon_r < 1/10$ , on peut considérer que le sol se comporte comme un diélectrique à pertes. À partir de quelle fréquence cette propriété est-elle vraie?
- À la fréquence de 1 GHz, calculez le coefficient de réflexion à l'interface air (milieu 1)

   sol (milieu 2) pour un angle d'incidence de 60° par rapport à la normale, dans les deux cas de polarisation.



## **EXERCICE 11.4**

(Paragraphe 11.4 – Réflexion et transmission à l'interface de deux diélectriques)

De part et d'autre d'une interface  $\Sigma$  entre deux milieux diélectriques, nous avons :

- une onde incidente  $(\vec{E}_i, \vec{H}_i)$  selon la direction  $\vec{u}_i$ ;
- une onde réfléchie  $(\vec{E_r}, \vec{H_r})$  selon la direction  $\vec{u_r}$ ;
- une onde transmise  $(\vec{E}_t, \vec{H}_t)$  selon la direction  $\vec{u}_r$ .
- À partir des vecteurs de Poynting de chacune de ces ondes, écrire la relation qui traduit la conservation de la puissance.
- 2) Par projection sur un axe des z perpendiculaire à l'interface  $\Sigma$ , en déduire la relation

RÉFLEXION ET RÉFRACTION DES ONDES ÉLECTROMAGNÉTIQUES



qu'il y a entre les modules des coefficients de réflexion et de transmission.

3) Vérifier que  $(R_{\perp}, T_{\perp})$  d'une part et  $(R_{//}, T_{//})$  d'autre part satisfont bien cette relation.

## Chapitre 12

# Les guides d'ondes rectangulaires

## 12.1 LES DIVERS TYPES DE GUIDES D'ONDES ÉTUDIÉS

Dans ce chapitre, nous étudierons d'abord le guide d'ondes rectangulaire à parois lisses qui est très utilisé en micro-ondes, notamment en ondes centimétriques et millimétriques, tant pour les techniques de laboratoire que pour le radar ou pour les applications industrielles.

Notre approche de la propagation en guide rectangulaire sera très physique : nous partirons des résultats établis au chapitre précédent pour la réflexion d'une onde sur une plan conducteur et puis nous verrons à quelles conditions, il est possible d'adjoindre un plan parallèle (§ 12.2) et deux autres plans perpendiculaires afin de constituer un guide d'ondes rectangulaire (§ 12.3). Nous mettrons aussi bien en évidence les caractéristiques de la propagation qui s'effectue par réflexions successives sur les parois du guide que les longueurs d'onde de propagation guidée et de coupure (§ 12.4).

Nous étudierons les modes de propagation de types  $\mathrm{TE}_{mo}$  et  $\mathrm{TE}_{on}$ , notamment le mode fondamental pour m=1 ou n=1 (§ 12.5) ainsi que les modes supérieurs (§ 12.6), en ce qui concerne la répartition transversale du champ, la puissance transportée, le calcul des dimensions du guide, sa bande passante et son atténuation (§ 12.7 et 8). Nous réserverons l'étude des modes  $\mathrm{TE}_{mn}$  et  $\mathrm{TM}_{mn}$  au chapitre suivant.

Après avoir parlé des guides rectangulaires surdimensionnés (§ 12.9) qui sont utilisés en ondes millimétriques, nous nous intéresserons enfin aux guides rectangulaires à nervure (§ 12.10, fig. 11) et aux guides rectangulaires à ailettes (§ 12.11, fig. 13). Ils permettent d'obtenir des bandes passantes plus larges par abaissement de la fréquence de coupure du mode fondamental et leur structure est moins sensible que celle du guide rectangulaire à parois lisses, aux imperfections de fabrication.

#### 12.2 **PROPAGATION** ENTRE DEUX PLANS PARALLÈLES

## 12.2.1 Réflexion sur un plan conducteur

Étant donnée une onde électromagnétique (O.E.M.) arrivant obliquement sur un plan conducteur  $\Sigma$ , le champ électromagnétique a été déterminé au chapitre 11 « Réflexion et réfraction des ondes électromagnétiques » dans les deux cas fondamentaux de polarisation. Dans les expressions des champs données par les relations (52, 53, 54, 68, 69, 70) E et H ne sont déterminés qu'à une constante près puisque leur valeur numérique exacte dépend de la puissance d'émission de la source qui les rayonne. L'explicitation du facteur 2 n'est donc pas indispensable à l'interprétation de ces relations et nous pouvons remplacer 2E par E et 2*H* par *H*.

Dans ces conditions, les expressions que nous utiliserons dans ce chapitre sont les suivantes (rappelons que  $k = 2\pi/\lambda$ ).

## a) Si le champ $\vec{E}$ est perpendiculaire au plan d'incidence

$$\underline{\underline{E}}_{x} = -j E \sin(ky \sin \psi) e^{-jkz \cos \psi}$$
 (1)

$$\underline{H}_{y} = -j H \cos \psi \sin (ky \sin \psi) e^{-jkz \cos \psi}$$
 (2)

$$\underline{H}_{y} = -j H \cos \psi \sin (ky \sin \psi) e^{-jkz \cos \psi} 
\underline{H}_{z} = -H \sin \psi \cos (ky \sin \psi) e^{-jkz \cos \psi}$$
(2)

Un tel régime, dans lequel le champ électrique est perpendiculaire à la direction de propagation Oz, est appelé un mode Transverse Électrique (TE) ou encore mode H, pour rendre compte du fait que seul le champ magnétique a une composante dans la direction de propagation.

### b) Si le champ H est perpendiculaire au plan d'incidence

$$\underline{H}_{x} = -H\cos(ky\sin\psi) e^{-jkz\cos\psi}$$
 (4)

$$\underline{E}_{y} = E \cos \psi \cos (ky \sin \psi) e^{-jkz \cos \psi}$$
 (5)

$$\underline{E}_{-} = j E \sin \psi \sin (ky \sin \psi) e^{-jkz \cos \psi}$$
 (6)

lci c'est le champ magnétique qui est perpendiculaire à la direction de propagation et seul le champ électrique a une composante dans cette direction ; c'est pourquoi on parlera de mode Transverse Magnétique (TM) ou mode E.

## 12.2.2 Condition de propagation entre deux plans parallèles

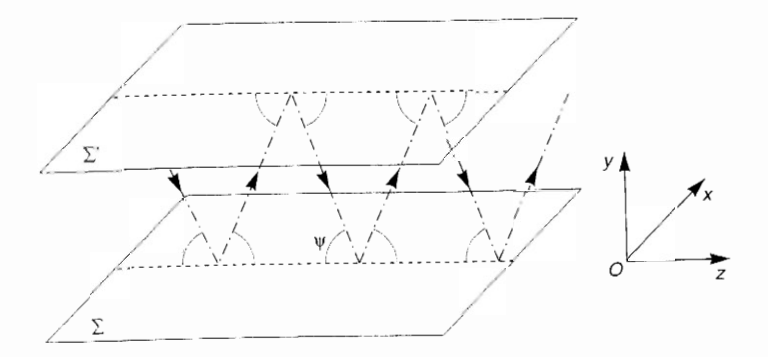


Figure 1. Notacions ut pour la prom entre deux pa parallèles.

Nous ne pourrons introduire un plan  $\Sigma$  parallèle à  $\Sigma$  (c'est-à-dire à xOz d'après les notations de la figure 1) sans interrompre la propagation que si les conditions de continuité sont vérifiées sur ce plan, à savoir :

$$E_T = 0 \rightarrow E_x = 0 \text{ et } E_z = 0,$$
  
 $H_N = 0 \rightarrow H_y = 0 \quad \forall x \text{ et } z.$ 

En se reportant aux relations qui donnent  $\underline{E}_{v}$ ,  $\underline{E}_{-}$  et  $\underline{H}_{v}$ , dans les deux cas fondamentaux de polarisation, ces conditions imposent que :  $\sin (ky \sin \psi) = 0$  soit  $kv \sin \psi = n\pi$ .

• Si l'angle d'incidence ψ<sub>0</sub> est donné, nous avons :

$$y = \frac{n\lambda}{2\sin\psi_0} \quad (n, \text{ entier } \neq 0)$$
 (7)

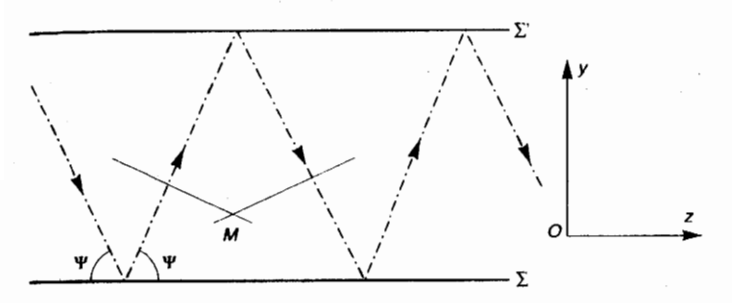
Cette relation nous permet de déterminer les distances auxquelles on doit placer le plan  $\Sigma$  parallèle à  $\Sigma : \lambda/2 \sin \psi_0$  ou  $\lambda/\sin \psi_0$  ou  $3\lambda/2 \sin \psi_0$ , etc.

• Si la distance entre  $\Sigma$  et  $\Sigma$  est fixée à une valeur b, il ne pourra y avoir propagation entre  $\sum$  et  $\sum$ ' que si :

$$\sin \psi = \frac{n\lambda}{2h} \tag{8}$$

*n* devant être tel que :  $0 < n\lambda/2b < 1$ .

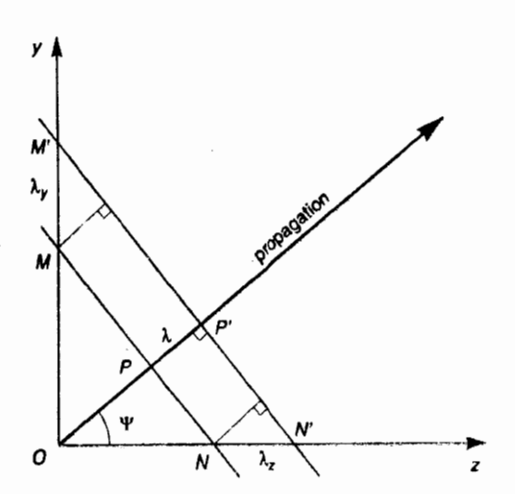
### 12.2.3 Longueurs d'onde et vitesses de phase



La propagation entre deux plans parallèles  $\Sigma$  et  $\Sigma$ ' est caractérisée par des réflexions successives sur l'un et l'autre plan. En un point M de l'espace diélectrique, l'état électromagnétique résulte de la superposition de deux ondes planes réfléchies également inclinées par rapport à Oz (fig. 2). Les expressions des champs en M restent données par les relations (1) à (6) pour les deux cas fondamentaux de polarisation.

Rappelons qu'à partir de ces expressions, nous avons démontré (§ 11.3 ». Réflexion sur un plan conducteur sous incidence oblique ») que les axes Oy et ¿Oz correspondent respectivement aux directions de propagation de la puissance réactive et de la puissance active.

D'après la figure 2, nous voyons que les axes de référence yOz ne coïncident pas avec la direction de propagation de l'une ou l'autre onde réfléchie. Il en résulte que, selon ces axes, elle semble se propager avec une longueur d'onde et une vitesse différentes de celles qu'elle a suivant la direction de propagation.



Considérons, par exemple (fig. 3) l'onde qui se propage de  $\Sigma$  vers  $\Sigma$ '. Nous pouvons représenter, dans le plan y0z, les traces de deux plans d'onde successifs déphasés de  $2\pi$ ; ce sont deux droites perpendiculaires à la direction de propagation et dont la distance est :

 $PP' = \lambda$ , longueur d'onde selon la direction de propagation

$$MM' = \lambda_y = \frac{\lambda}{\sin \psi}$$
, longueur d'onde selon  $Oy$ 

$$NN' = \lambda_z = \frac{\lambda}{\cos \psi}$$
, longueur d'onde selon  $Oz$  (10)

Or, de même qu'il y a un déphasage de  $2\pi$  entre P et P', il y a aussi un déphasage de  $2\pi$  entre M et M' ou N et N'. C'est pourquoi  $\lambda_n$  et  $\lambda_n$  méritent bien le nom de longueurs d'onde, mais ce sont des longueurs d'onde « apparentes » selon des directions différentes de la direction de propagation de l'onde.

D'autre part, comme le temps mis par l'onde pour aller de P en P' est le même que celui qu'elle met pour aller de M en M' ou de N en N', elle semble se propager plus rapidement selon les axes Oy et Oz que selon sa propre direction de propagation; sa vitesse apparente sur les axes Oy et Oz sera respectivement:

$$v_{y} = \frac{v}{\sin w} \tag{11}$$

$$v_z = \frac{v}{\cos w} \tag{12}$$

À ces longueurs d'onde et vitesses de propagation « apparentes », on a donné le nom de longueurs d'onde de phase et de vitesses de phase.

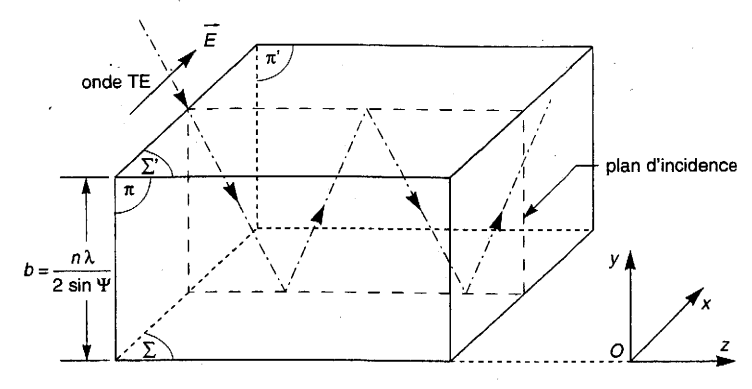
## 12.3 PROPAGATION DANS UN GUIDE D'ONDES RECTANGULAIRE

### 12.3.1 Condition de propagation

a) Nous venons de voir qu'il était possible, sous certaines conditions, d'adjoindre un plan Σ' parallèle à Σ et d'obtenir une propagation guidée entre ces deux plans qui sont, rappelons-le, perpendiculaires au plan d'incidence (fig. 4). Voyons maintenant s'il est possible d'adjoindre des plans π et π' parallèles à yOz et perpendiculaires à Σ et Σ' sans perturber cette propagation. Les conditions de continuité à leur surface s'expriment par :

$$E_y = 0$$
,  $E_z = 0$ ,  $H_y = 0$   $\forall y \text{ et } z$ .

Figure 4. Propagation en mode TE<sub>on</sub>.



Dans le cas où le champ électrique de l'onde incidente est perpendiculaire au plan d'incidence (onde TE), ces conditions sont toujours vérifiées puisque nous avons :  $E_v = 0$ ,  $E_z = 0$  et  $H_x = 0$ .

Il est donc possible d'adjoindre deux plans  $\pi$  et  $\pi$ ' perpendiculaires à  $\Sigma$  et  $\Sigma$ ' et parallèles au plan d'incidence ; la seule condition est que les deux plans  $\Sigma$ et  $\Sigma$ ' soient distants de

$$b = \frac{n\lambda}{2\sin\psi} \tag{13}$$

Par contre, dans le cas où le champ électrique de l'onde incidente est dans le plan d'incidence (onde TM), il n'est pas possible que les conditions de continuité soient satisfaites sur les deux plans  $\pi$  et  $\pi'$  puisque  $E_{xx}$   $E_{x}$  et  $H_{x}$  ne peuvent être nulles quels que soient y et z. Il semble donc que la propagation d'une onde TM soit impossible à l'intérieur d'un guide d'ondes rectangulaire (voir, en fait, la remarque du § 12.3.3)

b) Nous avons considéré jusqu'ici une propagation qui se ferait par réflexions successives sur les plans  $\Sigma$  et  $\Sigma$ , ce qui est d'ailleurs logique puisque nous avons pris  $\pi$  et  $\pi$ ' parallèles au plan d'incidence et qu'il ne saurait y avoir, dans ces conditions, de réflexions sur  $\pi$  et  $\pi$ '.

plan d'incidence onde TE

Figure 5. Propagation en mode TEmo

L'autre cas de propagation (fig. 5) est celui qui se ferait par réflexions successives sur  $\pi$  et  $\pi$ '; il faudrait, pour cela, que le plan d'incidence soit parallèle à  $\sum$  et  $\sum$ ' et que les deux plans  $\pi$  et  $\pi$ ' soient distants de

$$a = \frac{m\lambda}{2\sin\psi} \tag{14}$$

Dans ce cas, nous démontrerions aussi que la propagation n'est possible que si le champ électrique de l'onde incidente est perpendiculaire au plan d'incidence (onde TE).

Il est d'ailleurs à remarquer, notations mises à part, que les figures 4 et 5 se déduisent l'une de l'autre par une simple rotation de 90° autour de l'axe du guide. Aussi n'est-il pas étonnant que l'étude de ces deux cas de figure conduise au même résultat. La conclusion que l'on peut en tirer est la suivante : La propagation d'une O.E.M. à l'intérieur d'un guide d'ondes rectangulaire sera possible si le champ électrique de l'onde incidente est parallèle aux faces sur lesquelles cette onde va se réfléchir successivement.

## 12.3.2 Définition des modes $TE_{mo}$ et $TE_{on}$

Dans le premier cas de figure envisagé (fig. 4), la propagation de l'onde s'effectue par réflexions successives sur les faces perpendiculaires à Oy qui sont distantes de  $b = n\lambda/2 \sin \psi$ . Nous dirons, par convention, qu'il s'agit d'une onde ou mode TE<sub>on</sub>. Le champ électrique étant horizontal, l'excitation de cette onde s'effectue à l'aide d'une petite antenne rectiligne (ou sonde), couplée au générateur, qui pénètre dans le guide horizontalement.

Les expressions des champs pour un tel mode TE<sub>on</sub> sont données par les relations (1), (2) et (3).

Dans le second cas de figure envisagé (fig. 5), la propagation de l'onde s'effectue par réflexions successives sur les faces perpendiculaires à Ox qui sont distantes de  $a = m\lambda/2 \sin \psi$ . Par convention, il s'agit d'un mode  $TE_{mo}$ . Le champ électrique étant vertical, l'excitation de cette onde s'effectue à l'aide d'une sonde qui pénètre dans le guide verticalement.

Les expressions des champs pour ce mode  $TE_{mo}$  se déduisent des relations (1), (2), (3) du mode  $TE_{on}$  en remplaçant x par y et y par -x pour les variables et en remplaçant  $\hat{x}$  par  $\hat{y}$  et  $\hat{y}$  par  $-\hat{x}$  pour les vecteurs unitaires des axes. Nous obtenons ainsi:

$$\underline{E}_{y} = j E \sin(kx \sin \psi) e^{-jkz \cos \psi}$$
(15)

$$H = -i H \cos \psi \sin (kx \sin \psi) e^{-jkz \cos \psi}$$
 (16)

$$\frac{E_y}{H_x} = -j H \cos \psi \sin (kx \sin \psi) e^{-jkz \cos \psi}$$

$$\frac{H_z}{L_z} = -H \sin \psi \cos (kx \sin \psi) e^{-jkz \cos \psi}$$
(16)

Si m = 1 ou si n = 1, la propagation dans le guide d'ondes s'effectue selon le mode fondamental TE10 ou TE01, les deux appellations étant équivalentes puisqu'elles ne dépendent que de la convention prise au départ.

## 12.3.3 Remarque sur les modes TM<sub>mn</sub> et TE<sub>mn</sub>

Nous avons vu qu'il ne paraissait pas possible de faire propager dans un guide d'ondes rectangulaire une onde dont le champ électrique se trouverait dans le plan d'incidence et qui se propagerait par réflexions successives sur  $\Sigma$  et  $\Sigma$ ' (mode  $TM_{on}$ ) ou sur  $\pi$  et  $\pi$ ' (mode  $TM_{mo}$ ). Or, une étudé théorique complète de la propagation guidée (chapitre 13) montre la possibilité de propagation d'ondes  $TM_{mn}$  (avec m et  $n \neq 0$ ). Cela tient au fait suivant : alors que pour les modes  $TM_{on}$  ( $TM_{mo}$ ) les conditions de continuité ne peuvent être sa tisfaites sur les faces  $\pi$  et  $\pi$ ' ( $\Sigma$  et  $\Sigma$ '), au contraire, pour les modes  $TM_{mn}$  (avec m et  $n \neq 0$ ), ces conditions de continuité peuvent être satisfaites.

Il existe aussi des modes  $TE_{mn}$  avec m et  $n \neq 0$  dont la présence sera révélée par l'étude générale de la propagation en guides d'ondes métal·liques (chapitre 13). Dans la suite de ce chapitre, nous étudierons uniquement les modes  $TE_{mo}$  (ou  $TE_{0n}$ ) et notamment le mode fondamental  $TE_{10}$  (ou  $TE_{01}$ ).

## LONGUEURS D'ONDE DE PROPAGATION GUIDÉE ET DE COUPURE

## **12.4.1** Relation fondamentale de la propagation guidée

En guide d'ondes rectangulaire, comme dans le cas de 1ª propagation entre deux plans parallèles, nous pouvons définir des longueurs d'onde de phase.

Dans le cas (fig. 4) où la propagation s'effectue par réflexions sur  $\Sigma$  et  $\Sigma$  (modes  $TE_{nn}$ ), nous avons :

- une longueur d'onde de phase  $\lambda_z = \lambda/\cos \psi$ , correspondant à la propagation de puissance active selon Oz,
- une longueur d'onde de phase  $\lambda_y = \lambda/\sin \psi$  avec  $\sin \psi = n\lambda/2h$  correspondant à la propagation de puissance réactive selon Oy.

$$\left(\frac{\lambda}{\lambda_z}\right)^2 + \left(\frac{\lambda}{\lambda_y}\right)^2 = 1 \tag{18a}$$

Dans le cas (fig. 5) où la propagation s'effectue par réflexions sur  $\pi$  et  $\pi$ ' (modes  $TE_{mo}$ ), nous avons:

• une longueur d'onde de phase  $\lambda_z = \lambda/\cos \psi$ , correspondant à la propagation de puissance active selon Oz,

• une longueur d'onde de phase  $\lambda_x = \lambda/\sin \psi$  avec  $\sin \psi = m\lambda/2a$  correspondant à la propagation de puissance réactive selon Ox.

D'où la relation:  $\left(\frac{\lambda}{\lambda_z}\right)^2 + \left(\frac{\lambda}{\lambda_x}\right)^2 = 1$  (18b)

Dans chacun de ces cas, la relation fondamentale de la propagation guidée s'écrit :

Mode 
$$TE_{mo}$$
:  $\left(\frac{1}{\lambda}\right)^2 = \left(\frac{1}{\lambda_z}\right)^2 + \left(\frac{1}{\lambda_x}\right)^2$  (19a)

Mode TE<sub>on</sub>: 
$$\left(\frac{1}{\lambda}\right)^2 = \left(\frac{1}{\lambda_z}\right)^2 + \left(\frac{1}{\lambda_y}\right)^2$$
 (19b)

 $\rightarrow \lambda$  est la longueur d'onde de propagation en espace libre dans le diélectrique constituant le guide ; elle est reliée à la vitesse de propagation en espace libre par la relation  $\lambda = v/f$ .

 $\rightarrow \lambda_z$  est la longueur d'onde apparente dans la direction de propagation de la puissance active : on l'appelle longueur d'onde de propagation guidée et on la note  $\lambda_g$ . Elle est reliée à la vitesse de phase  $v_z$  selon Oz par  $\lambda_z = v_z/f$ . C'est la longueur d'onde qui intervient dans le terme de phase  $e^{-j kz \cos \psi}$  des relations donnant les champs. En effet :

$$kz \cos \psi = \frac{2\pi}{\lambda} z \cos \psi = 2\pi \frac{z}{\lambda_{\tau}}$$
 (20)

ightarrow La signification physique de  $\lambda_x$  et  $\lambda_y$  est beaucoup plus délicate à saisir : en effet, il ne s'agit pas, à proprement parler, d'une longueur d'onde de propagation dans la direction Ox ou Oy puisqu'il y a, selon cette direction, un régime d'ondes stationnaires. Nous allons approfondir cette question en prenant l'exemple de  $\lambda_x$  (mode  $TE_{mo}$ ).

## 12.4.2 Longueur d'onde et fréquence de coupure

Voyons d'abord quelle est la valeur de  $\lambda_x$ :

$$\lambda_x = \frac{\lambda}{\sin \psi}$$
 et  $\sin \psi = \frac{m\lambda}{2a} \rightarrow \lambda_x = \frac{2a}{m}$  (21)

 $\lambda_r$  est donc fixé par les dimensions du guide. Pour comprendre sa signification, il est bon de réécrire la relation fondamentale (19a) en faisant intervenir la fréquence f de l'O.E.M. se propageant dans le guide :

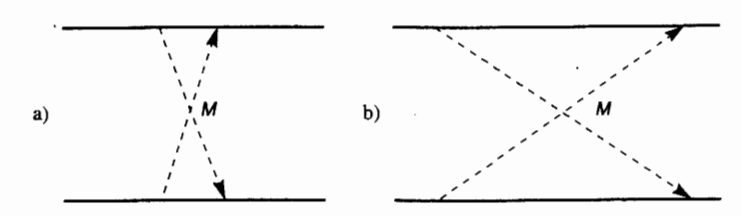
$$\left(\frac{f}{v}\right)^2 = \left(\frac{1}{\lambda_z}\right)^2 + \left(\frac{m}{2a}\right)^2$$
.

- Si f/v > m/2a, cette relation peut être satisfaite en prenant  $\lambda_z$  réel. Dans ces conditions, l'exponentielle  $e^{-j 2\pi z/\lambda_z}$  intervenant dans les relations qui donnent les champs est bien un terme de phase (dont le module est égal à 1) et il y a propagation de l'onde sans affaiblissement autre, bien sûr, que l'affaiblissement dans les parois que nous n'avons pas envisagé dans cette étude puisqu'elles sont supposées infiniment conductrices.
- Si f/v < m/2a, cette relation ne peut être satisfaite qu'en prenant λ<sub>z</sub> imaginaire pur puisque 1/λ<sub>z</sub><sup>2</sup> < 0. Donc tous les termes e j 2πz/λ<sub>z</sub>, sont de la forme e Az, A étant réel positif. Cela signifie que les champs s'affaiblissent exponentiellement lorsque z augmente. Dans ces conditions, l'onde ne se propage pas plus loin que quelques longueurs d'onde.

La fréquence  $f_c = mv/2a$  qui vient d'être mise en évidence et la longueur d'onde correspondante  $\lambda_c = 2a/m$ , qui n'est autre que  $\lambda_x$ , sont appelées la fréquence de coupure et la longueur d'onde de coupure du guide d'ondes considéré, pour le mode  $\text{TE}_{mo}$ . En effet :

- Si  $f > (f_c)_{mo}$  ou  $\lambda < (\lambda_c)_{mo}$  il pourra y avoir propagation de TE<sub>mo</sub>
- Si  $f < (f_c)_{mo}$  ou  $\lambda > (\lambda_c)_{mo}$  il n'y aura pas propagation de TE<sub>mo</sub>.

Figure 6.
Directions de propagation des ondes planes dans le guide.
a. Près de la coupure.
b. Loin de la coupure.



Les figures 6a et 6b représentent les directions de propagation des ondes planes dans le guide d'ondes, près et loin de la coupure ; elles aident à comprendre les phénomènes : à la coupure,  $\lambda = \lambda_x = 2a/m$ , donc  $\psi = \pi/2$ ; au fur et à mesure que l'on s'éloigne de la coupure, l'angle  $\psi$  diminue.

## 12.4.3 Relations concernant $\lambda$ , $\lambda_c$ et $\lambda_g$

Dorénavant, nous écrirons toujours  $\lambda_z = \lambda_g$  et  $\lambda_x$  ou  $\lambda_y = \lambda_c$ . Dans ces conditions, les relations (19a) et (19b) qui expriment la relation fondamentale de la propagation guidée s'écrivent :

$$\left(\frac{1}{\lambda}\right)^2 = \left(\frac{1}{\lambda_g}\right)^2 + \left(\frac{1}{\lambda_c}\right)^2 \tag{22}$$

 $\lambda$  est la longueur d'onde de propagation en espace libre dans le diélectrique qui remplit le guide d'ondes ; elle se calcule d'après  $\lambda = \nu/f$  avec  $\nu = c/\sqrt{\varepsilon_r}$  et  $c=3\cdot 10^8$  m/s.  $\varepsilon_r$  est la permittivité relative du diélectrique du guide d'ondes.

 $\lambda_c = 2a/m$  en mode  $\text{TE}_{mo}$ ;  $\lambda_c = 2b/n$  en mode  $\text{TE}_{on}$ 

- Si λ < λ<sub>c</sub>, il y a propagation du mode considéré ; la longueur d'onde guidée se calcule alors d'après (22).
- Si λ > λ<sub>c</sub>, il n'y a pas propagation du mode considéré.

## 12.5 ÉTUDE DU MODE FONDAMENTAL

Les modes  $TE_{10}$  (ou  $TE_{01}$ ) sont ceux qui se propagent à l'intérieur des guides d'ondes standard les plus utilisés dans la pratique et dont on dit qu'ils fonctionnent selon le mode fondamental. Il est intéressant, à l'occasion de l'étude théorique de ce mode fondamental, de mettre en évidence certaines propriétés caractéristiques des guides d'ondes.

Dans ce paragraphe, nous allons prendre pour exemple le mode  $TE_{10}$  qui se propage par réflexions successives sur les faces  $\pi$  et  $\pi$ ' distantes de  $a = \lambda/2 \sin \psi$ , avec un champ électrique polarisé verticalement (fig. 5).

## 12.5.1 Expressions des champs

Les champs du mode  ${\rm TE}_{mo}$  sont donnés par les relations (15), (16) et (17). Pour le mode fondamental  ${\rm TE}_{10}$ , nous avons :

$$\sin \psi = \frac{\lambda}{\lambda_c} = \frac{\lambda}{2a} \tag{23}$$

$$\cos \psi = \frac{\lambda}{\lambda_g} = \sqrt{1 - \left(\frac{\lambda^2}{4 a^2}\right)}$$
 (24)

d'où l'on déduit :

$$kx \sin \psi = \frac{2\pi}{\lambda} x \frac{\lambda}{2a} = \frac{\pi x}{a}$$

$$kz\cos\psi = \frac{2\pi}{\lambda}z\frac{\lambda}{\lambda_g} = 2\pi\frac{z}{\lambda_g}$$

Dans ces conditions, les expressions des champs deviennent :

$$\underline{E}_{y} = j E \sin\left(\frac{\pi x}{a}\right) e^{-j 2\pi z/\lambda_{g}}$$
 (25)

$$\underline{H}_{x} = -j H \left( \frac{\lambda}{\lambda_{g}} \right) \sin \left( \frac{\pi x}{a} \right) e^{-j 2\pi z / \lambda_{g}}$$
 (26)

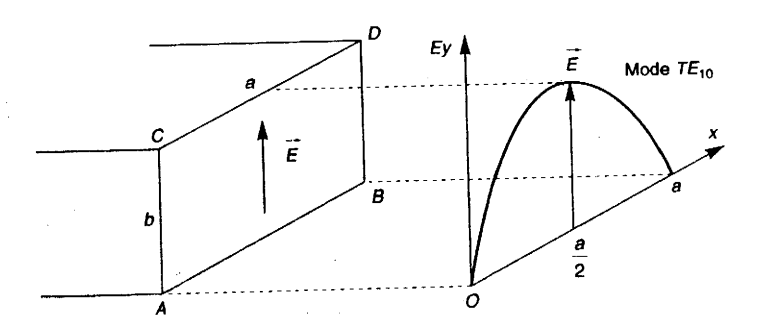
 $\underline{H}_{z} = -H\left(\frac{\lambda}{\lambda_{c}}\right)\cos\left(\frac{\pi x}{a}\right)e^{-j2\pi z/\lambda_{g}}$  (27)

Remarquons que le champ magnétique, qui a deux composantes orthogonales et déphasées de 90°, est à polarisation elliptique dans un plan perpendiculaire à la direction du champ électrique.

## **12.5.2** Variation transversale du champ électrique

Dans un plan de section transversale du guide, tel que ABCD (fig. 7), le champ électrique reste parallèle aux côtés AC et BD puisqu'il n'a qu'une composante  $E_y$ . En déplaçant parallèlement à Ox une sonde de mesure associée à un cristal détecteur et à un galvanomètre, nous allons observer les variations de la valeur efficace du champ électrique :

$$(E_y)_{ef} = \frac{E_y}{\sqrt{2}} = \frac{E}{\sqrt{2}} \left| \sin \frac{\pi x}{a} \right|$$
 (28)



Comme  $0 \le x \le a$ , nous obtenons une demi-sinusoïde avec minima nuls pour  $x \ne 0$  et x = a et maximum pour x = a/2.

C'est la coupe transversale du champ  $\vec{E}$  caractéristique du mode fondamental.

## 12.5.3 Lignes de courant sur les faces du guide d'ondes

Les lignes de courant se calculent à partir de l'expression de la densité surfacique de courant électrique :  $\vec{J}_S = \vec{n} \wedge \vec{H}$  où  $\vec{n}$  est la normale à une face du guide et  $\vec{H} = \vec{H}_r + \vec{H}_r$ .

Leur répartition sur les faces du guide est représentée sur la figure 8 dans laquelle le côté allOx est placé horizontalement tandis que le côté bllOy est vertical.

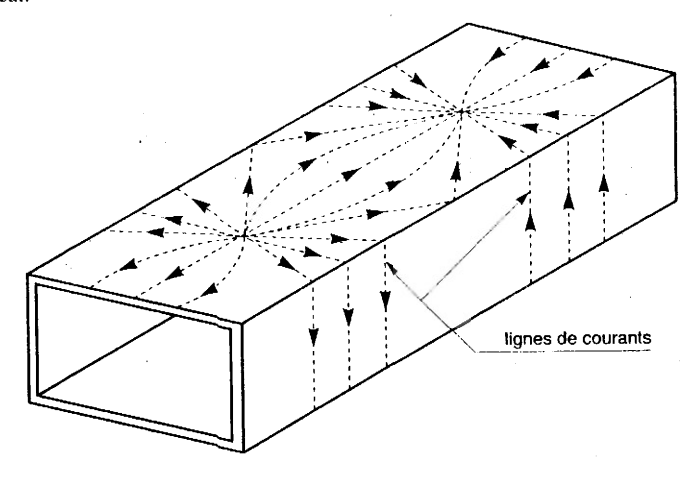


Figure 8.
Lignes de courant su les faces d'un guide rectangulaire.

Il est important de noter que ces lignes sont :

- · verticales sur les faces latérales,
- parallèles à l'axe des z uniquement au milieu des faces supérieure et inférieure.

On ne pourra donc usiner des fentes dans le guide, sans en perturber gravement le fonctionnement, que selon ces deux directions; d'où les lignes de mesure à fente longitudinale. Dès que des fentes coupent les lignes de courant, elles rayonnent une partie de l'énergie qui se propage dans le guide; cela est d'ailleurs utilisé pour certains types d'antennes (volume II, chapitre 14 « Antennes réseaux »).

## **12.5.4** Puissance active transportée par le mode fondamental

C'est la puissance transportée selon la direction Oz. La densité de puissance selon cette direction nous est donnée par la relation :

$$\underline{P}_z = -\frac{1}{2} \, \underline{E}_{\,Y} \, \underline{H}_{\,X}^{\,*} \quad (W/m^2)$$
 (29)

Soit:

$$\underline{P}_{z} = \frac{1}{2} E H \frac{\lambda}{\lambda_{g}} \sin^{2} \frac{\pi x}{a}$$

En tenant compte de ce que 
$$EH = E^2 \sqrt{\frac{\epsilon}{\mu}}$$
 et  $\frac{\lambda}{\lambda_g} = \sqrt{1 - \frac{\lambda^2}{4 a^2}}$ 

Terre 7.

D'où:

Cette expression représente la puissance qui traverse l'unité de surface perpendiculaire à Oz; elle dépend du point où l'on se place dans la section transversale du guide d'ondes. La puissance moyenne active traversant un plan transversal du guide d'ondes nous est donnée par :

$$P = \frac{1}{2}E^2 \sqrt{\frac{\varepsilon}{\mu}} \sqrt{1 - \frac{\lambda^2}{4a^2}} \int_0^a \int_0^b \sin^2 \frac{\pi x}{a} dx dy$$

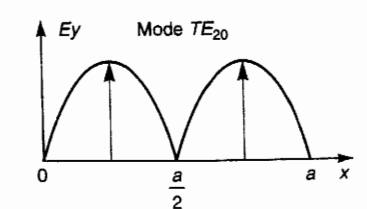
$$P = \frac{1}{4}E^2 \sqrt{\frac{\varepsilon}{\mu}} \sqrt{1 - \frac{\lambda^2}{4a^2}} ab \quad (W)$$
(31)

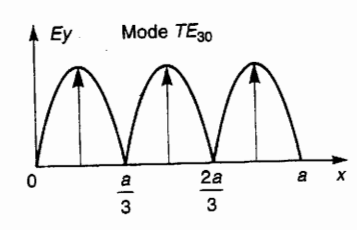
Connaissant la puissance d'alimentation du guide, cette expression permet de calculer E, valeur maximale du champ électrique au centre du guide (x=a/2). Réciproquement, connaissant E, on peut en déduire P. En particulier, la puissance maximale transportable est donnée par la valeur, notée  $P_{\rm max}$ , de l'expression précédente lorsque le champ électrique au centre du guide correspond au champ de « claquage »  $E_{\rm max}$  (champ pour lequel il y a amorce d'un arc électrique). L'air sec est le diélectrique qui donne les meilleurs résultats, notamment quand sa pression est élevée. En pratique, les guides d'ondes rectangulaires permettent de transporter des puissances moyennes de l'ordre du Mégawatt à 2,45 GHz (fréquence d'utilisation industrielle des micro-ondes) et de l'ordre de la centaine de Kilowatts à 10 GHz, ce qui est remarquable.

## 12.6 ÉTUDE DES MODES TE<sub>mo</sub> OU TE<sub>on</sub>

### 12.6.1 Coupes transversales

Figure 9.
Coupes transversales
des modes
TE<sub>20</sub> et TE<sub>30</sub>





Pour les modes  $TE_{mo}$ , le module de  $E_y$  dans un plan de section transversale, tel que le plan ABCD de la figure 7 est donné par  $|\sin(m\pi x/a)|$ . Pour les modes  $TE_{on}$ , le module de  $E_x$  est donné par  $|\sin(n\pi y/b)|$ .

La figure 9 montre quelles sont les variations, selon Ox, de l'amplitude du champ électrique parallèle à Oy pour les modes  $TE_{20}$  et  $TE_{30}$ . Nous aurions les mêmes variations selon Oy pour le champ électrique parallèle à Ox des modes  $TE_{02}$  et  $TE_{03}$ .

## 12.6.2 Longueur d'onde de coupure

Nous avons toujours  $\lambda_c = \lambda/\sin \psi$ ; mais ici:

• Pour un mode 
$$TE_{mo}$$
:  $a = \frac{m\lambda}{2 \sin y}$ 

d'où: 
$$\lambda_c = \frac{2a}{m}$$
 (32)

• Pour un mode 
$$TE_{on}$$
:  $b = \frac{n\lambda}{2 \sin \psi}$ 

d'où: 
$$\lambda_c = \frac{2b}{n}$$
 (33)

Pour m = 1 (mode TE<sub>10</sub>), on retrouve bien  $\lambda_c = 2a$ .

Pour m = 2 (mode  $TE_{20}$ ),  $\lambda_c = a$ 

Pour m = 3 (mode TE<sub>30</sub>),  $\lambda_c = 2a/3$ , etc.

• Pour un mode  $TE_{mn}$  (m et  $n \neq 0$ ):

$$\lambda_c = \frac{2}{\sqrt{\left(\frac{m}{a}\right)^2 + \left(\frac{n}{b}\right)^2}}$$
 (34)

## 12.6.3 Longueur d'onde de propagation guidée

C'est  $\lambda_g = \lambda_z$ ; d'après (22), nous avons :

d'où:

$$\left(\frac{\lambda}{\lambda_g}\right)^2 + \left(\frac{\lambda}{\lambda_c}\right)^2 = 1$$

$$\frac{\lambda}{\lambda} = \sqrt{1 - \left(\frac{\lambda}{\lambda_c}\right)^2}$$
(35)

(36)

• Pour un mode 
$$TE_{mo}$$
:  $\lambda_g = \frac{\lambda}{\sqrt{1 - \frac{m^2 \lambda^2}{4 a^2}}}$ 

• Pour un mode TE<sub>on</sub>: 
$$\lambda_g = \frac{\lambda}{\sqrt{1 - \frac{n^2 \lambda^2}{4 b^2}}}$$
 (37)

## 12.7 DIMENSIONS ET BANDE PASSANTE D'UN GUIDE D'ONDES RECTANGULAIRE

Le problème se pose, en général, de la façon suivante :

- le guide d'ondes doit fonctionner en modes TE<sub>mo</sub> jusqu'à l'ordre p et transmettre une bande de fréquences comprises entre f<sub>1</sub> et f<sub>2</sub> (f<sub>1</sub> > f<sub>2</sub> auxquelles correspondent λ<sub>1</sub> < λ<sub>2</sub>);
- calculer les dimensions a (parallèle à Ox) et b (parallèle à Oy) du guide d'ondes.

Voici la solution de ce problème :

1) Pour que les modes  $\text{TE}_{mo}$  puissent se propager jusqu'à l'ordre p, il faut que  $\lambda < (\lambda_c)_{p0}$ , soit :  $\lambda_2 < 2a/p$ . D'où une première condition sur a:

$$a > p \frac{\lambda_2}{2} \tag{38}$$

2) Pour que les modes  $\text{TE}_{mo}$  d'ordre supérieur à p ne puissent pas se propager, il faut que  $\lambda > (\lambda_c)_{p+1,0} > (\lambda_c)_{p+2,0} > \dots$ 

D'où une deuxième condition sur a:

$$a < (p+1)\frac{\lambda_1}{2} \tag{39}$$

3) La dimension b, distance entre les deux plans Σ et Σ', n'influe pas, nous l'avons vu, sur les régimes TE<sub>mo</sub> qui admettent les plans π et π' (parallèles à yOz) comme plans de réflexion. Elle ne peut cependant pas être arbitraire; elle doit, en particulier, être suffisamment faible pour qu'aucun régime parasite TE<sub>on</sub>, correspondant à des réflexions sur les plans Σ et Σ' (parallèles à xOz) ne puisse exister. Il faut donc que :

$$\lambda_1 > (\lambda_c)_{01} = 2b > (\lambda_c)_{02} = b > \dots$$

D'où la condition sur b:  $b < \frac{\lambda_1}{2}$  (40)

Finalement les conditions fixant les dimensions du guide sont :

$$b < \frac{\lambda_1}{2}$$
 et  $p \frac{\lambda_2}{2} < a < (p+1) \frac{\lambda_1}{2}$  (41)

Le problème inverse est celui de la détermination de la bande passante, selon un mode  $TE_{no}$ , d'un guide d'ondes de dimensions a et b (a > b).

En résolvant en  $\lambda_1$  et  $\lambda_2$  les inégalités (38), (39) et (40), nous trouvons que les longueurs d'onde supérieure  $\lambda_2$  et inférieure  $\lambda_1$ , de la bande passante du guide, sont :

$$\lambda_2 = \frac{2\alpha}{m} \tag{42}$$

$$\lambda_1 = \text{Val sup} \left| \frac{2a}{m+1}, 2b \right|^{\frac{1}{2}}$$
 (43)

Nous voyons que la bande passante d'un guide peut atteindre une octave  $(\lambda_2 = 2\lambda_1)$  en mode fondamental (m = 1) si a = 2h.

## **12.8** ATTÉNUATION DANS LES GUIDES D'ONDES RECTANGULAIRES

Nous avons supposé jusqu'ici que les parois du guide étaient constituées par des conducteurs parfaits, ce qui est évidemment un cas idéal auquel correspond une propagation sans perte. En fait, l'existence de courants dans des parois de conductivité finie implique qu'il y ait une dissipation d'énergie par effet Joule et, par conséquent, une propagation avec pertes. Les champs donnés par les expressions (1) à (3) pour un mode  $TE_{mo}$  et (15) à (17) pour un mode  $TE_{on}$  doivent être affectés d'un facteur  $e^{-\alpha z}$  si l'on appelle  $\alpha$  le paramètre de pertes.

Dans ces conditions, la variation de puissance le long de l'axe du guide est de la forme :

$$P(z) = P_0 e^{-2\alpha z}$$
(44)

$$\alpha = \frac{\frac{dP}{dz}}{\frac{P(z)}{P(z)}} \tag{45}$$

Si l'on suppose que la puissance perdue dans le diélectrique est négligeable : P(z) est la puissance transmise dans le diélectrique et -(dP/dz) représente la puissance perdue dans les parois du guide.

La puissance transmise dans le diélectrique est donnée par :

et par conséquent :

$$P(z) = \frac{1}{2} \iint_{S} \left( \overrightarrow{\underline{E}} \wedge \overrightarrow{\underline{H}}^{\dagger} \right) \cdot \overrightarrow{z} \, dS$$
 (46)

La puissance perdue, par unité de largeur, sur les parois du guide [53, p. 55-57] est :  $\frac{1}{2} R_S J_S^2$ .

$$-\frac{\mathrm{d}P}{\mathrm{d}z} = \frac{1}{2} R_S \oint J_S^2 \,\mathrm{d}\ell \tag{47}$$

 $R_c$  est la résistance superficielle de la paroi, qui est le quotient de sa résistivité  $\rho$ par la profondeur de pénétration  $\delta$  due à l'effet de peau. Comme  $\delta = 1/\sqrt{\pi\mu\sigma f}$ et  $\rho = 1/\sigma$  ( $\sigma$ , conductivité):

$$R_S = \sqrt{\frac{\pi \mu f}{\sigma}} \tag{48}$$

 $\mu$  est la perméabilité magnétique des parois (en général  $\mu = \mu_0$ )  $J_{\rm S}$  est la densité surfacique de courant électrique, donnée par :

$$\overrightarrow{\underline{J}}_{S} = \overrightarrow{n} \wedge \overrightarrow{\underline{H}} = \overrightarrow{\underline{H}}_{t}$$
 (49)

 $\vec{n}$  est la normale à la paroi et  $\vec{H}$  est le champ magnétique dans le guide au voisinage de la paroi.

Compte tenu des relations (45) à (49), le coefficient d'atténuation est obtenu d'après:

 $\alpha = \frac{1}{2} \cdot \frac{R_S \oint H_t^2 \, d\ell}{\iint_{\mathcal{L}} (\vec{\underline{E}} \wedge \vec{\underline{H}}^*) \cdot \vec{z} \, dS}$ 

(50)

En général,  $\mu = \mu_0$ 

Finalement, ce coefficient \alpha s'exprime (voir exercice 12.8) pour le mode fondamental par:

$$\alpha \text{ (Np/m)} = \frac{1}{a^{3/2}} \sqrt{\frac{2\pi\varepsilon v}{\sigma} \cdot \frac{\mu}{\mu_0}} \cdot \frac{\left(\frac{f_c}{f}\right)^{\frac{3}{2}} + \frac{a}{2b} \left(\frac{f}{f_c}\right)^{\frac{1}{2}}}{\sqrt{1 - \left(\frac{f_c}{f}\right)^2}}$$
(51)

- Pour des guides géométriquement semblables (a/b fixé) et construits avec les mêmes matériaux (ε, σ donnés), si l'on maintient constant le rapport de la longueur d'onde aux dimensions du guide ( $\lambda/a$  et  $f/f_c$  constants) l'atténuation varie en raison inverse de  $\lambda^{3/2}$ . Donc, toutes choses égales d'ailleurs,  $\alpha$  augmente si f augmente.
- Pour un guide d'ondes donné  $(a, b, \varepsilon, \text{ et } \sigma \text{ fixés}), \alpha \to \infty \text{ si } f \to f_c \text{ ou si } f \to \infty.$ Il doit donc y avoir une valeur  $f_m$  de  $f(f_c < f_m < \infty)$  pour laquelle l'atténuation est minimale. L'étude des variations de :

$$A = \frac{\left(\frac{f_c}{f}\right)^{\frac{3}{2}} + \frac{a}{2b}\left(\frac{f}{f_c}\right)^{\frac{1}{2}}}{\left|1 - \left(\frac{f_c}{f}\right)^2\right|^{\frac{1}{2}}}$$
(52)

en fonction de la fréquence f, montre en effet que A passe par une valeur minimale  $A_m$  pour la valeur  $f_m$  de f définie par :

$$\frac{b}{a} = \frac{\left(\frac{f_m}{f_c}\right)^2 \left[ \left(\frac{f_m}{f_c}\right)^2 - 3 \right]}{6 \left(\frac{f_m}{f_c}\right)^2 - 2}$$
 (53)

Dans le cas, courant dans la pratique, d'un guide en cuivre rempli d'air :  $\mu = \mu_0$ ,  $\sigma = 5.8 \cdot 10^7$  et  $\varepsilon v = \varepsilon_0 c = 1/120\pi$ , le coefficient d'atténuation s'exprime par :

$$\alpha \text{ (dB/m)} = \frac{1,47 \cdot 10^{-4}}{a^{3/2}} \cdot \frac{\left(\frac{f_c}{f}\right)^{\frac{3}{2}} + \frac{a}{2b} \left(\frac{f}{f_c}\right)^{\frac{1}{2}}}{\left[1 - \left(\frac{f_c}{f}\right)^2\right]^{\frac{1}{2}}}$$
(54)

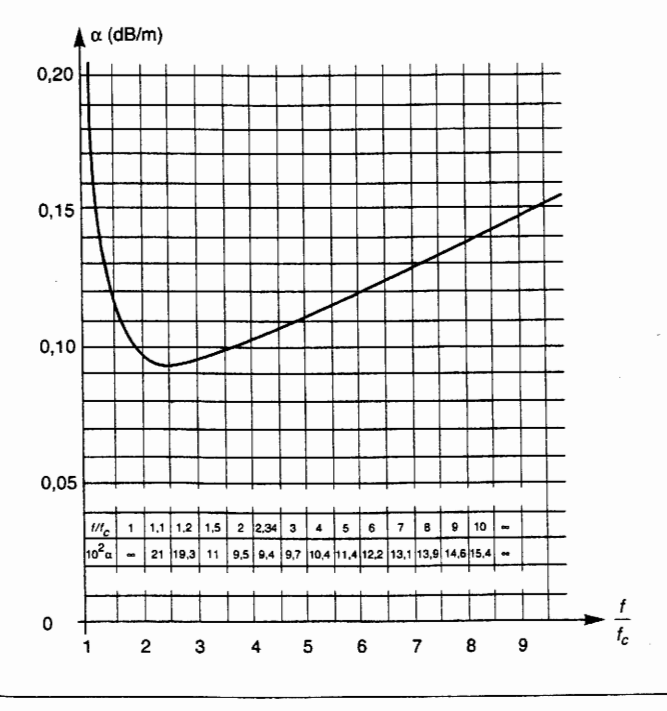


Figure 10. Courbe d'attimu du guide d'ade R 100, de laba pour lequel  $f_c = 6,56 \, \text{GHz}$ 

La variation de  $\alpha$  (dB/m) en fonction de  $f/f_c$  est représentée par la courbe de la figure 10 dans le cas du guide d'ondes standard R 100 de la bande X, pour lequel : a = 22,86 mm et b = 10,16 mm.

La valeur minimale de A est  $A_m = 2.2$  obtenue pour  $f_m/f_c = 2.34$ . Il lui correspond une valeur de  $\alpha = 9.4 \cdot 10^{-2}$  dB/m. Nous voyons donc qu'un tel guide d'ondes, qui présente des pertes négligeables pour les faibles longueurs (de l'ordre du mètre) utilisées en laboratoire, aurait, en revanche, des pertes prohibitives sur les longueurs, de l'ordre de la dizaine de kilomètres sans répéteurs nécessaires pour les télécommunications.

Notons enfin que cette atténuation de 0,1 dB/m ne pourrait être obtenue que pour un guide dont les parois seraient parfaitement polies et recouvertes électrolytiquement d'un dépôt d'or afin de préserver le cuivre de la corrosion par l'air ambiant. Pour des guides d'ondes grossièrement usinés et non recouverts de couches protectrices, l'atténuation peut augmenter de 50 % (0,15 dB/m).

## **12.9** Guides rectangulaires surdimensionnés

Au-delà de 40 GHz, les dimensions des guides d'ondes standard deviennent très faibles (a < 5 mm et b < 2.5 mm), ce qui les rend très coûteux ; les atténuations deviennent supérieures à 1 dB/m, atteignant 3 dB/m vers 90 GHz pour des guides dont les parois doivent être parfaitement polies. Par ailleurs, cette réduction des dimensions s'accompagne d'une diminution de la puissance maximale transmissible. Ainsi, à 75 GHz, est-on limité à des puissances moyennes de l'ordre du kilowatt.

Pour pallier à ces inconvénients, on peut utiliser en ondes millimétriques, des guides standard des bandes centimétriques qui sont largement surdimensionnés pour les bandes millimétriques, d'où leur nom de guides surdimensionnés.

L'atténuation, en mode fondamental, dans un guide surdimensionné en cuivre pour lequel a=2b, est déduite de la formule (54) compte tenu de ce que  $f \gg f_c$ ; elle est donnée par :

$$\alpha (dB/m) = 3.8 \cdot 10^{-4} \frac{\sqrt{f}}{a}$$
 (55)

Dans cette formule f est en GHz et a en mètres. Avec un guide d'ondes standard de la bande X, cette atténuation n'est que de 0,14 dB/m à 70 GHz et 0,2 dB/m à 140 GHz.

Quant aux puissances transmissibles, elles se calculent toujours par la formule (31) et l'on voit qu'elles auraient plutôt tendance à augmenter en guides surdi-

mensionnés puisque,  $\lambda$  ayant diminué, le facteur  $1 - \lambda^2/4a^2$  se rapproche de sa valeir maximale qui est 1.

Les performances qui viennent d'être indiquées ne peuvent être atteintes que si le mode fondamental se propage seul. Or, toute discontinuité du guide surdimensionné (changement de dimensions ou de direction) provoque la transformation d'un pourcentage important du mode fondamental en modes d'ordre supérieur. Il faudra donc prendre de très grandes précautions :

- d'une part pour l'excitation des guides surdimensionnés à partir des guides standard, par des transitions dont les dimensions varient très progressivement et en gardant aux dimensions le même rapport d'homothétie;
- d'autre part, pour les liaisons du générateur au dispositif d'utilisation, qui doivent être exemptes de toute discontinuité.

### 12.10 LES GUIDES D'ONDES À NERVURE

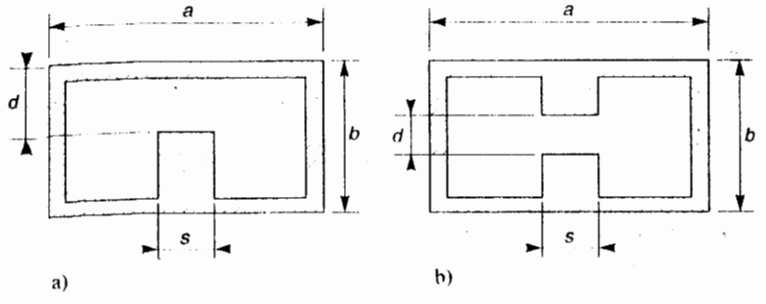


Figure 11.
Guides d'ondes
a. à simple nervure
b. à double nervure

Il existe deux sortes de guides d'ondes à nervure (en anglais, ridged wave guide): les guides à simple nervure (fig. 11a) et les guides à double nervure (fig. 11b). Dans la section transversale du guide, la discontinuité due à la nervure se traduit par une charge capacitive qui a pour effet – par rapport au guide rectangulaire équivalent, de dimensions a et b – d'abaisser la fréquence de coupure du mode fondamental  $TE_{10}$  et de laisser à peu près inchangée celle du premier mode d'ordre supérieur  $TE_{20}$ . En effet, cette nervure se trouve au centre du guide, là où le champ électrique du mode  $TE_{10}$  est maximal alors que celui du mode  $TE_{20}$  y est nul. Il en résulte une nette augmentation de la bande passante du mode fondamental par rapport à celle que l'on aurait en guide rectangulaire. Des largeurs de bande avec des rapports  $f_{\rm max}/f_{\rm min}$  de l'ordre de trois ont pu être obtenues, ce qui est deux fois meilleur qu'avec les guides rectangulaires.

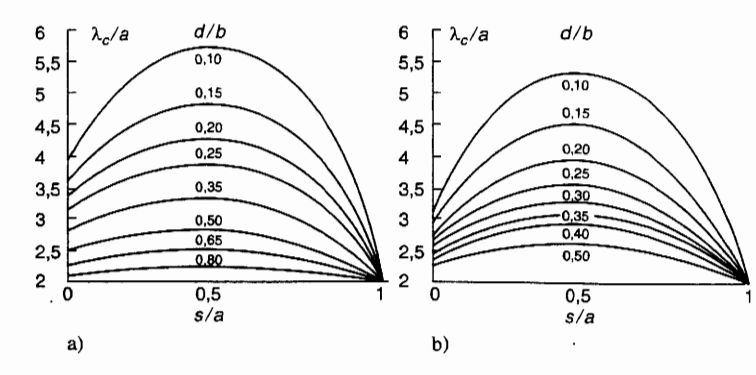
Cette importante diminution de la fréquence de coupure du mode fondamental permet d'utiliser un guide nervuré de mêmes dimensions a et h qu'un guide rec-

tangulaire, à des fréquences nettement plus basses, ce qui réduit beaucoup l'encombrement. Cette propriété est particulièrement intéressante dans la gamme des UHF (300 - 3 000 MHz) où les dimensions des guides rectangulaires deviennent prohibitives.

Le calcul de la longueur d'onde de coupure du mode fondamental en fonction de la largeur s de la nervure, en prenant pour paramètre le rapport d/b, a été fait par Hopfer [54] dans le cas de guides à simple et à double nervure pour lesquels b/a = 0.45.

Les résultats sont montrés sur les figures 12a et b.

Figure 12.  $\lambda_c$  de guides a. à simple nervure, b. à double nervure.



Ce calcul a été généralisé par Pyle [55] pour des rapports b/a quelconques. Il a, en effet, établi une relation entre la  $\lambda_c$  dans le cas général et dans le cas particulier :

$$\left(\frac{\lambda_c}{a}\right)_{\frac{b}{a}} = \left(\frac{\lambda_c}{a}\right)_{0,45} + \left(\frac{b}{a} - 0,45\right)F \tag{56}$$

Cette relation fait intervenir un facteur F dont Pyle a donné des abaques en fonction de b/a, en faisant varier les paramètres s/a et d/b par dixièmes entre 0,1 et 0,9.

D'après Thourel [46], des bandes de fonctionnement avec un rapport  $f_M/f_m=3,6$  ont pu être obtenues avec les dimensions suivantes :

- Pour le guide asymétrique : b/a = 0.45 ; d/b = 0.128 ; s/a = 0.170.
- Pour le guide symétrique : b/a = 0.45 ; d/b = 0.195 ; s/a = 0.25.

Par ailleurs, le calcul de l'impédance d'onde du mode fondamental d'après :  $\zeta_{TE} = \zeta/\cos\psi \text{ où } \zeta = \sqrt{\mu/\epsilon} \text{ et } \cos\psi = \sqrt{1-(\lambda/\lambda_c)^2} \text{ montre que l'impédance}$  d'onde d'un guide à nervure est plus petite que celle d'un guide rectangulaire. Cette propriété peut être utilisée pour réaliser des transitions à large bande entre lignes coaxiales dont l'impédance caractéristique est plus faible et les guides rectangulaires dont l'impédance d'onde du fondamental est plus élevée [46, p. 245].

Cependant, les guides à nervure ne peuvent pas transporter des puissances aussi importantes que les guides rectangulaires. L'étude des champs électromagnétiques montre, en effet, qu'ils sont concentrés au voisinage de la nervure où le champ de claquage est réduit dans le rapport d/b par rapport au guide rectangulaire. Comme la puissance maximale transportable est proportionnelle au carré du champ de claquage, il en résulte une très forte diminution de celle-ci.

Notons enfin que ce guide a un affaiblissement plus grand que le guide rectangulaire, mais que ses caractéristiques sont moins sensibles aux imperfections de fabrication.

#### **12.11** LA LIGNE À AILETTES

### 12.11.1 Intérêt de cette ligne

La ligne à ailettes, proposée par Meier en 1972, est un guide d'ondes qui contient, dans le plan de symétrie électrique, un substrat diélectrique sur lequel sont déposées des bandes conductrices séparées par une fente (fig. 13) dans une configuration bilatérale ou unilatérale.

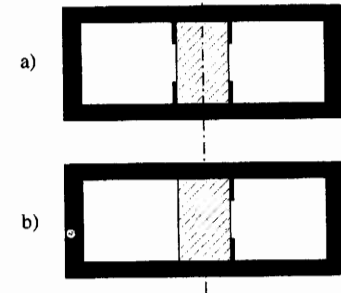


Figure 1. Ligne à a a. bilatér b. unilatér

Par rapport au guide d'ondes non chargé de mêmes dimensions, les principaux avantages sont les suivants:

- la fréquence de coupure du mode fondamental (qui est un mode hybride) est abaissée et sa bande passante est élargie (environ une octave),
- les paramètres caractéristiques de la propagation (α et β) sont assez peu sensibles à la précision d'usinage et à la qualité des conducteurs constituant les parois (ce qui permet d'utiliser des matériaux légers et bon marché comme l'aluminium),
- une structure plane facile à fabriquer grâce aux méthodes bien au point pour les lignes microbandes et pouvant se prêter aux techniques d'intégration.

Par rapport à la ligne microbande, notons que :

- les pertes de propagation sont un peu plus faibles (de 0,05 à 0,1 dB/ $\lambda$ ) et il n'y a pas de perte par rayonnement,
- le couplage à un guide d'ondes est beaucoup plus simple.

GUL

né-

le

gu-

rré

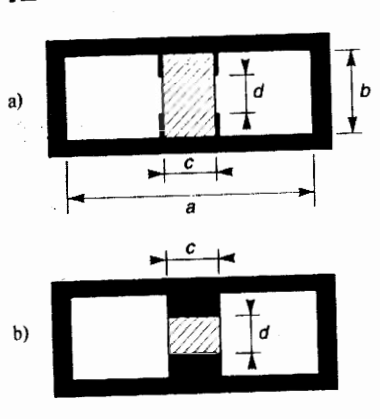
gude

est

es

ur

## 12.11.2 Paramètres caractéristiques



Les paramètres caractéristiques de cette ligne, calculés par Meier |56|, sont la longueur d'onde guidée et l'impédance caractéristique. Pour cela, Meier a identifié la ligne à ailettes (fig. 14a) à un guide nervuré (fig. 14b) dont la fente, de largeur c et de hauteur d, contiendrait un diélectrique de même permittivité  $\varepsilon_r$  que celui qui sert de substrat dans la ligne à ailettes.

Cette approximation suppose que le champ dans le diélectrique situé

entre les ailettes est nul; elle est donc d'autant meilleure que les rapports c/a et (b-d)/b sont plus petits. Dans ces conditions, on peut utiliser les formules des guides nervurés [54].

La longueur d'onde guidée (d'où l'on déduit le paramètre de phase  $\beta$  =  $2\pi/\lambda_g$ ) est donnée par la formule générale de la propagation guidée :

$$\lambda_g = -\frac{\lambda_0}{\sqrt{1 - \left(\frac{\lambda_0}{\lambda_c}\right)^2}}.$$

Dans le modèle équivalent à la ligne à ailettes, il faut tenir compte de l'effet du diélectrique qui charge la fente. Pour cela, Meier a introduit une permittivité équivalente  $\varepsilon_e$  à la place du 1 correspondant au cas de l'air ; d'où

$$\lambda_{g} = \frac{\lambda_{0}}{\sqrt{\varepsilon_{e} - \left(\frac{\lambda_{0}}{\lambda_{c}}\right)^{2}}}$$
(57)

 $\lambda_c$  est identique à la longueur d'onde de coupure d'un guide nervuré, de dimensions identiques à la ligne à ailettes.

L'impédance caractéristique  $Z_a$  est donnée par :

$$Z_a = Z_{a \infty} \left[ \varepsilon_e - \left( \frac{\lambda_0}{\lambda_c} \right)^2 \right]^{-\frac{1}{2}}$$
 (58)

Dans cette formule,  $Z_{a\infty}$  est l'impédance caractéristique du guide d'ondes nervuré de dimensions identiques, dans la limite où  $\lambda \to 0$   $(f \to \infty)$ .

Le calcul de  $\lambda_c$  et  $Z_a$  passe donc par la détermination de  $\varepsilon_c$ ,  $\lambda_c$  et  $Z_{aeo}$ . Des formules empiriques ont été établies par Sharma et Hoefer [60]; seule l'expression de  $\lambda_c$  est simple:

$$\frac{b}{\lambda_c} = 0.245 \left(\frac{d}{b}\right)^{0.173}$$
 (59)

Les expressions pour  $\varepsilon_e$  et  $Z_{aco}$  sont trop longues pour que nous les donnions ici. On pourra les trouver, in extenso, dans [38, p. 293-296] pour divers types de lignes à ailette unilatérales ou bilatérales, à substrat diélectrique de  $\varepsilon_r = 2,22$  et  $\varepsilon_r = 3$ .

### EXERCICES



#### **EXERCICE 12.1.**

(Paragraphe 12.4 – Longueur d'onde de propagation guidée et de coupure)

- Déterminer la fonction qui donne l'affaiblissement en décibels d'un guide d'ondes rectangulaire si λ > λ<sub>c</sub>, longueur d'onde de coupure du mode fondamental.
- 2) Affaiblissement sur une distance  $z = \lambda$  d'un guide d'ondes utilisé à une fréquence telle que  $\lambda = \sqrt{2} \lambda_c$ .

  Même question si  $\lambda = 1, 2 \lambda_c$ .



#### **EXERCICE 12.2.**

(Paragraphe 12.5.1 – Expression des champs du mode fondamental)

- 1) Démontrer que dans un guide rectangulaire fonctionnant en mode fondamental  $TE_{10}$ , il existe deux plans à x = cte où le champ magnétique est à polarisation circulaire droite ou gauche.
- 2) Quelle relation y a-t-il entre ces deux valeurs de x? Application au cas où  $f = f_c \sqrt{2}$ .



#### **EXERCICE 12.3**.

(Paragraphe 12.5.3 – Lignes de courant sur les faces du guide d'ondes)

Calculer les composantes de la densité surfacique de courant j sur les faces d'un guide d'ondes fonctionnant en mode fondamental.

- 2) En deduire la direction des lignes de courant :
  - a) au milieu de la face supérieure du guide d' ondes,
  - b) sur les faces latérales du guide.



### EXERCICE 12.4.

(Parago aphe 12.5.4 – Puissance active transportée par le mode fondamental)

Le gui de d'ondes standard de la bande X (8,2-12,4 G·Hz) a pour dimensions a = 22,86 mm et b = 10,16 mm; il est utilisé à une fréquence f = 10 GHz.

- 1) Ce guide d'ondes étant alimenté par une puis sance de 20 mW, en déduire la valeur du char no électrique au milieu du guide.
- 2) Sachant que la valeur maximale du champ élec trique dans l'air qui remplit le guide est de 1 5 000 V/cm, calculer la puissance maximale transportable par ce guide.



### EXERCICE 12.5

(Para graphe 12.7 – Dimension et bande passante d'un guide d'ondes rectangulaire)

1) Cal culer les conditions auxquelles doivent satisfaire les dimensions a et b (a > b) des côtés d'un guide d'ondes rectangulaire remapli d'air pour que, à la fréquence de 10 GHz, il ne puisse s'y propager que le mod de fondamental  $TE_{10}$ .

 Même question dans la bande de fréquences 8-12 GHz.



#### **EXERCICE 12.6**

(Paragraphe 12.7 – Dimension et bande passante d'un guide d'ondes rectangulaire)

- 1) Les dimensions du guide d'ondes standard R 48 sont : a=47,55 mm et b=22,15 mm ; il est rempli d'air. Calculer dans quelle bande de fréquences il ne pourra se propager que le mode fondamental  $TE_{10}$ .
- 2) Même question si le guide est rempli d'un diélectrique de permittivité  $\varepsilon_r = 2,25$ .



### EXERCICE 12.7.

(Paragraphe 12.7 – Dimension et bande passante d'un guide d'ondes)

Un guide d'ondes carré a 2,4 cm de côté. Il est excité par deux petites antennes perpendicu-

laires aux faces orthogonales du guide qui  $e_{SI}$  rempli d'air.

- Écrire la condition de propagation des modes fondamentaux TE<sub>10</sub> et TE<sub>01</sub>.
- Trouver le premier mode supérieur et écrire la condition de non propagation de ce mode.
- En déduire la bande passante de ce guide carré en modes fondamentaux.



#### **EXERCICE 12.8**

(Paragraphe 12.8 – Atténuation dans les guides d'ondes rectangulaires)

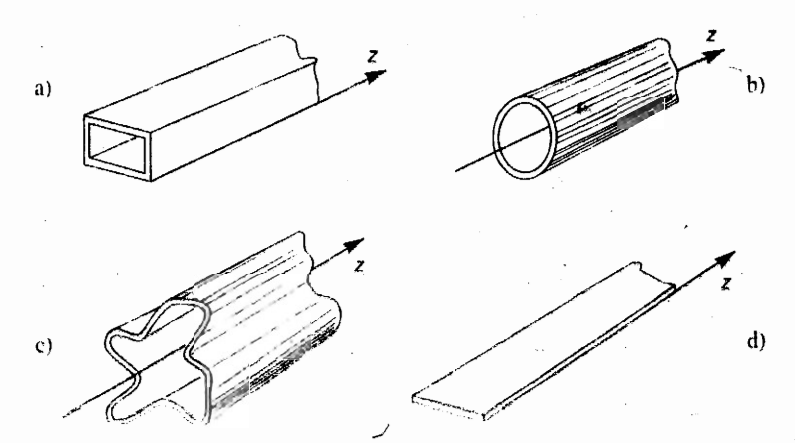
Démontrer la formule (51) donnant le coefficient d'atténuation du mode fondamental dans un guide d'ondes rectangulaire, de dimensions a et b, rempli d'un diélectrique caractérisé par  $(\varepsilon, \mu_0)$  et dont les parois sont caractérisées par  $(\sigma, \mu)$ .

## Chapitre 13

## Étude générale de la propagation en guides d'ondes métalliques

## **13.1** Introduction

Un ensemble de conducteurs métalliques dont la structure reste invariante quand on effectue une translation, le long de l'une des lignes de coordonnées, forme un guide d'ondes. Les schémas de la figure 1 en donnent quelques exemples.



## Figure 1. Divers types de grad'ondes.

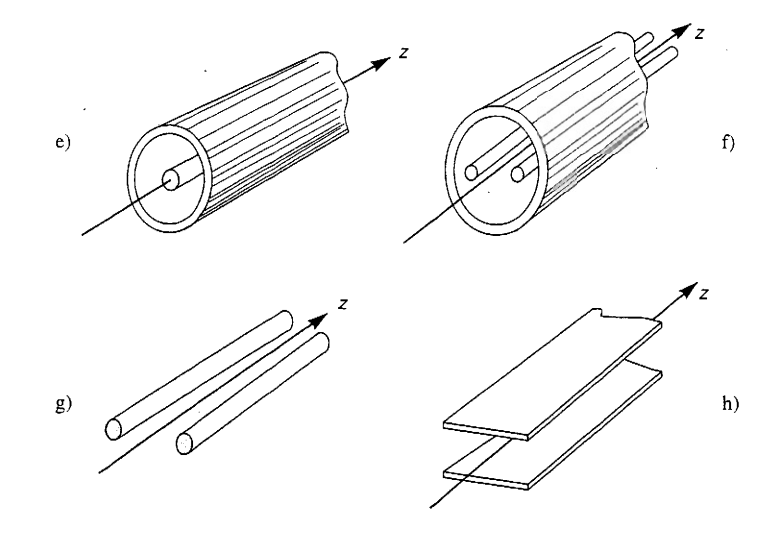
- a. Guide rectangu
- b. Guide cylindriq
- c. Guide de forme quelconque.
- d. Ruban métallique

D'après Gabillard Vibrations et phénomènes de propagations, Dui [57, p. 179] Figure 1 (suite).

Divers types de guides d'ondes.

e. Ligne coaxiale.
f. Ligne bifilaire blindée.
g. Ligne bifilaire.
h. Ligne à bandes

D'après [57, p. 179].



## **13.2** ÉQUATIONS DE PROPAGATION DES ONDES GUIDÉES

### 13.2.1 Principes généraux

Dans un milieu diélectrique de permittivité électrique  $\epsilon$ , de perméabilité magnétique  $\mu$  et de conductivité  $\sigma$  = 0, les équations de Maxwell s'écrivent, en régime sinusoïdal (vol. 2, chap. 5 « Équations de Maxwell ») :

$$\overrightarrow{\text{rot}} \cdot \overrightarrow{\underline{E}} = -j\omega\mu \cdot \overrightarrow{\underline{H}}$$
 (équation de Maxwell – Faraday) (1)

$$\overrightarrow{\text{rot}} \, \overrightarrow{\underline{H}} = j\omega\varepsilon \, \overrightarrow{\underline{E}}$$
 (équation de Maxwell – Ampère) (2)

$$\operatorname{div} \vec{\underline{E}} = 0$$
 et  $\operatorname{div} \vec{\underline{H}} = 0$  (équations complémentaires) (3)

On démontre (vol. 2, chap. 6 « Propagation des O.E.M. en espace libre ») que l'équation de propagation des champs est de la forme

$$\Delta (\underline{\vec{E}} \text{ ou } \underline{\vec{H}}) + \omega^2 \epsilon \mu (\underline{\vec{E}} \text{ ou } \underline{\vec{H}}) = 0$$
 (4)

Dans tous les cas de propagation guidée – par rapport à un système de coordonnées curvilignes orthogonales désignées par  $q_1,\ q_2,\ q_3$  – la solution de cette

équation de propagation, pour une onde qui se propage le long d'un guide dont l'axe est la coordonnée  $q_3$ , est de la forme :

$$\underline{\vec{e}} (q_1, q_2, q_3, t) = \underline{\vec{E}} (q_1, q_2) e^{-\gamma q_3} e^{j\omega t}$$
(5a)

$$\frac{\vec{h}}{(q_1, q_2, q_3, t)} = \frac{\vec{H}}{(q_1, q_2)} e^{-\gamma q_3} e^{j\omega t}$$
(5b)

 $\vec{\underline{e}}$  et  $\vec{\underline{h}}$  sont les valeurs instantanées complexes des champs ;  $\vec{\underline{E}}$  et  $\vec{\underline{H}}$  sont leurs amplitudes complexes dans un plan transversal, perpendiculaire à l'axe longitudinal de la propagation.

γ est le paramètre caractéristique de la propagation guidée.

On choisira le système de coordonnées le mieux adapté à la géométrie du cas considéré.

Les deux systèmes les plus utilisés (fig. 2) sont:

- les coordonnées rectangulaires où :  $q_1 = x$ ,  $q_2 = y$ ,  $q_3 = z$
- les coordonnées cylindriques où :  $q_1 = \rho$ ;  $q_2 = \phi$ ;  $q_3 = z$

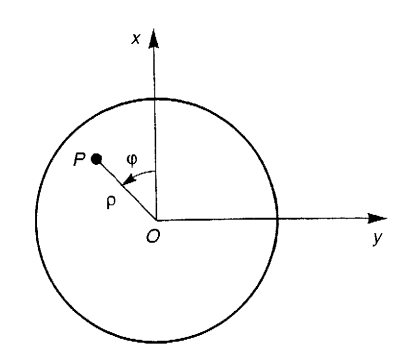


Figure 2.
Coordonnées rectangulaire et cylindrique L'axe z est perpendiculaire au plan de la figure 2.

L'étude de la propagation guidée revient à déterminer :

- a) le paramètre de propagation γ qui, selon les cas, pourra être :
  - imaginaire si la propagation est sans perte, soit  $\gamma = j\beta$ ,
  - réel s'il n'y a pas propagation, soit  $\gamma = \alpha$ ,
  - complexe si la propagation est avec pertes, soit  $\gamma = \alpha + j\beta$ ;
- b) les deux fonctions vectorielles  $\vec{\underline{E}}$   $(q_1,q_2)$  et  $\vec{\underline{H}}$   $(q_1,q_2)$  qui mettent en jeu les six composantes scalaires des champs :
  - les composantes longitudinales  $\underline{E}_3 = \underline{E}_z$  et  $\underline{H}_3 = \underline{H}_z$ ,
  - les composantes transversales  $\underline{E}_1$ ,  $\underline{E}_2$  et  $\underline{H}_1$ ,  $\underline{H}_2$ .

En fait, il suffira de déterminer les expressions des deux composantes longitudinales, compatibles avec les conditions aux limites, pour que le problème soit résolu.

En effet, nous allons montrer que l'on peut déduire toutes les composantes transversales des deux composantes longitudinales grâce aux équations de Maxwell (1) et (2) ; c'est pourquoi  $\underline{E}_z$  et  $\underline{H}_z$  sont appelées « fonctions génératrices ». Nous ferons cette démonstration en utilisant d'abord les coordonnées rectangulaires et puis les coordonnées cylindriques.

## **13.2.2** Détermination des composantes transversales en x et y

En coordonnées rectangulaires, en remarquant que  $\partial/\partial z = -\gamma$  et en sous-entendant les facteurs e  $^{-\gamma z}$  e  $^{jor}$  les équations de Maxwell s'écrivent, sous forme différentielle :

$$\frac{\partial \underline{E}_z}{\partial y} + \gamma \underline{E}_y = -j\omega\mu \, \underline{H}_x \tag{6}$$

$$-\gamma \underline{E}_x - \frac{\partial \underline{E}_z}{\partial x} = -j\omega\mu \, \underline{H}_y \tag{7}$$

$$\frac{\partial \underline{E}_{y}}{\partial x} - \frac{\partial \underline{E}_{x}}{\partial y} = -j\omega\mu \, \underline{H}_{z}$$
 (8)

$$\frac{\partial \underline{H}_z}{\partial v} + \gamma \underline{H}_y = j\omega \varepsilon \, \underline{E}_x \tag{9}$$

$$-\gamma \underline{H}_x - \frac{\partial \underline{H}_z}{\partial x} = j\omega \varepsilon \underline{E}_y$$
 (10)

$$\frac{\partial \underline{H}_{y}}{\partial x} - \frac{\partial \underline{H}_{x}}{\partial y} = j\omega \varepsilon \, \underline{E}_{z} \tag{11}$$

Les éliminations de  $\underline{H}_y$  entre (7) et (9) et de  $\underline{H}_x$  entre (6) et (10) permettent d'obtenir  $\underline{E}_x$  et  $\underline{E}_y$  en fonction de  $\underline{E}_z$  et  $\underline{H}_z$ . De même, les éliminations de  $\underline{E}_y$  entre (6) et (10) et de  $\underline{E}_x$  entre (7) et (9) permettent d'obtenir  $\underline{H}_x$  et  $\underline{H}_y$  en fonction de  $\underline{E}_z$  et  $\underline{H}_z$ . En posant :

$$\gamma^2 + \omega^2 \, \varepsilon \mu = k_c^2 \tag{12}$$

nous obtenons:

$$k_c^2 \underline{E}_x = -\gamma \frac{\partial \underline{E}_z}{\partial x} - j\omega\mu \frac{\partial \underline{H}_z}{\partial y}$$
 (13)

$$k_c^2 \underline{E}_y = -\gamma \frac{\partial \underline{E}_z}{\partial y} + j\omega\mu \frac{\partial \underline{H}_z}{\partial x}$$
 (14)

$$k_c^2 \underline{H}_x = j\omega \epsilon \frac{\partial \underline{E}_z}{\partial y} - \gamma \frac{\partial \underline{H}_z}{\partial x}$$
 (15)

$$k_c^2 H_y = -j\omega \epsilon \frac{\partial \underline{E}_z}{\partial x} - \gamma \frac{\partial \underline{H}_z}{\partial y}$$
 (16)

Remarquons tout de suite que les composantes transversales ne peuvent être calculées en fonction des composantes longitudinales que si  $k_c^2 \neq 0$ .

## 13.2.3 Détermination des composantes transversales en $\rho$ et $\varphi$

Dans un guide d'ondes présentant la symétrie de révolution, il est judicieux d'utiliser les coordonnées cylindriques  $(\rho, \varphi, z)$ . Comme les champs doivent se reproduire identiques à eux-mêmes chaque fois que  $\varphi$  augmente de  $2\pi$  ou de  $2\pi/n$ , nous pouvons supposer qu'ils dépendent de  $\varphi$  par une fonction  $e^{-jn\varphi}$  où n est un entier ; donc  $\partial/\partial\varphi = -jn$ . Nous nous rappellerons, par ailleurs, que les champs varient en z comme  $e^{-\gamma z}$ ; donc  $\partial/\partial z = -\gamma$ . Écrivons maintenant les composantes des équations de Maxwell (1) et (2) compte tenu de ces résultats et en sous-entendant, de plus,  $e^{-\gamma z}$  e  $j^{out}$ .

$$-\frac{\mathrm{j}\,n}{\mathrm{\rho}}\,\underline{H}_{z} + \gamma\,\underline{H}_{\varphi} = \mathrm{j}\omega\varepsilon\,\underline{E}_{\varphi} \tag{17}$$

$$-\gamma \underline{H}_{\rho} - \frac{\partial \underline{H}_{z}}{\partial \rho} = j\omega \varepsilon \, \underline{E}_{\varphi} \tag{18}$$

$$\frac{1}{\rho}\underline{H}_{\varphi} + \frac{\partial \underline{H}_{\varphi}}{\partial \rho} + \frac{j}{\rho}\frac{n}{\underline{H}_{\rho}} = j\omega\varepsilon\underline{E}_{z}$$
 (19)

$$-\frac{jn}{\rho}\underline{E}_z + \gamma\underline{E}_{\varphi} = -j\omega\mu\underline{H}_{\rho}$$
 (20)

$$-\gamma \underline{E}_{\rho} - \frac{\partial \underline{E}_{z}}{\partial \rho} = -j\omega\mu \,\underline{H}_{\varphi} \tag{21}$$

$$\frac{1}{\rho} \underline{E}_{\varphi} + \frac{\partial \underline{E}_{\varphi}}{\partial \rho} + \frac{j \, n}{\rho} \, \underline{E}_{\rho} = -j \omega \mu \, \underline{H}_{z}$$
 (22)

Les éliminations de  $\underline{H}_{\varphi}$  entre (17) et (21) et de  $\underline{H}_{\rho}$  entre (18) et (20) permettent d'obtenir  $\underline{E}_{\varphi}$  et  $\underline{E}_{\varphi}$  en fonction de  $\underline{E}_z$  et  $\underline{H}_z$ . De même, les éliminations de  $\underline{E}_{\varphi}$  entre (18) et (20) et de  $\underline{E}_{\varphi}$  entre (17) et (21) permettent d'obtenir  $\underline{H}_{\varphi}$  et  $\underline{H}_{\varphi}$  en fonction de  $\underline{E}_z$  et  $\underline{H}_z$ . En posant  $k_c^2 = \gamma^2 + \omega^2 \varepsilon \mu$ , il vient :

$$k_e^2 \, \underline{E}_{\rho} = -\frac{\omega \mu n}{\rho} \, \underline{H}_z - \gamma \frac{\partial \underline{E}_z}{\partial \rho} \tag{23}$$

$$k_c^2 \, \underline{E}_{\varphi} = j \omega \mu \, \frac{\partial \underline{H}_z}{\partial \rho} + j \, \frac{\gamma n}{\rho} \, \underline{E}_z \tag{24}$$

## $k_c^2 \, \underline{H}_{\rho} = -\gamma \frac{\partial \underline{H}_z}{\partial \rho} + \frac{\omega \varepsilon n}{\rho} \, \underline{E}_z \tag{25}$

$$k_c^2 \underline{H}_{\varphi} = j \frac{\gamma n}{\rho} \underline{H}_z - j\omega \epsilon \frac{\partial \underline{E}_z}{\partial \rho}$$
 (26)

## 13.2.4 Cas particulier des ondes T.E.M.

D'après les relations (13) à (16) ou (23) à (26), nous voyons que les composantes transversales ne peuvent être calculées en fonction des composantes longitudinales que si  $k_c^2 \neq 0$ . Par contre, si  $k_c^2 = 0$ , les relations suscitées ne peuvent être satisfaites que si  $E_z$  et  $H_z$  sont nulles. Cela se produit pour des guides tels que la ligne bifilaire ou coaxiale où les champs sont purement transversaux, ce qui correspond à des modes de propagation du type T.E.M. (Transverse Électrique et Magnétique).

C'est d'ailleurs en raison de cette propriété que l'étude de ces types de lignes a pu être effectuée [voir 1<sup>re</sup> partie] à partir des concepts tension et courant pour lesquels on peut alors trouver en H.F. une signification physique. Notons enfin que puisque  $k_c^2 = \gamma^2 + \omega^2 \ \epsilon \mu = 0$ , la vitesse de propagation sur une ligne T.E.M. sans perte :  $\nu = \omega/\beta = 1/\sqrt{\epsilon \mu}$  est la même qu'en espace libre.

## 13.2.5 Équation de propagation des composantes longitudinales

Considérant la relation (4). Le laplacien peut être mis sous la forme :

$$\Delta = \Delta_1 + \frac{\partial^2}{\partial z^2}$$

Comme  $\partial^2/\partial z^2 = \gamma^2$  et  $k_c^2 = \gamma^2 + \omega^2 \epsilon \mu$ , nous pouvons écrire les équations de propagation des composantes longitudinales :

$$\Delta_t E_z + k_c^2 E_z = 0 \tag{27a}$$

$$\Delta_t \underline{H}_z + k_c^2 \underline{H}_z = 0 \tag{27b}$$

Ces équations nous permettent, compte tenu des conditions aux limites imposées à  $\underline{E}_z$  et  $\underline{H}_z$ , de calculer  $\underline{E}_z$  et  $\underline{H}_z$  en tout point du diélectrique du guide.

## 13.3 LES DIFFÉRENTS TYPES D'ONDES DE PROPAGATION GUIDÉE

L'étude que nous venons de faire nous montre que le régime le plus général pouvant exister dans un guide d'ondes est formé des six composantes des champs. Ce régime peut toujours être considéré comme résultant de la superposition de deux ondes :

- a) Une onde pour laquelle  $\underline{E}_z = 0$ , dite Onde Transverse Électrique TE ou onde H
- b) Une onde pour laquelle  $\underline{H}_z = 0$ , dite Onde Transverse Magnétique TM ou onde F

Une telle décomposition n'a rien d'artificiel. Elle correspond à l'existence simultanée des deux types d'ondes que nous avons déjà étudiés au chapitre 11 « Réflexion et réfraction des O.E.M. » :

- une onde plane dont le champ  $\vec{E}$  est perpendiculaire au plan d'incidence pour laquelle  $E_z = 0$  ( $\vec{H}$  est alors dans le plan d'incidence et  $H_z \neq 0$ );
- une onde plane dont le champ  $\vec{H}$  est perpendiculaire au plan d'incidence pour laquelle  $H_z = 0$  ( $\vec{E}$  est alors dans le plan d'incidence et  $E_z \neq 0$ ).

Pour les ondes TE, la fonction génératrice  $\underline{H}_z$  dont découlent les quatre autres est déterminée à partir de :  $\Delta_t \underline{H}_z + k_c^2 \underline{H}_z = 0$  (27b) en tenant compte de la condition imposée à  $H_z$  sur les parois métalliques du guide\* :  $\partial H_z/\partial n = 0$ .

Pour les ondes TM, la fonction génératrice  $\underline{E}_z$  est déterminée à partir de  $\Delta_t \underline{E}_z + k_c^2 \underline{E}_z = 0$  (27a) en tenant compte de la condition imposée à  $E_z$  sur les parois du guide\*:  $E_z = 0$ .

On démontre, en mathématiques, que ces équations n'admettent de solutions, compte tenu des conditions imposées aux limites, que pour une suite de valeurs discrètes de  $k_c$ , notées  $k_{cp}$ , appelées valeurs propres. Les ondes correspondant à ces valeurs de  $k_c$  sont appelées « modes de propagation ».

Le paramètre de propagation  $\gamma$  est donné par la relation :

$$\gamma = (k_c^2 - \omega^2 \varepsilon \mu)^{\frac{1}{2}}$$
 (28)

Dans cette relation  $\omega^2$   $\epsilon\mu$  est positif pour un milieu diélectrique comme l'air dont les pertes sont négligeables tandis que  $k_c^2$  est une constante qui peut être positive ou négative. Nous allons donc distinguer les deux cas.

<sup>\*</sup> Les parois du guide étant parallèles à l'axe des z :

<sup>•</sup> la condition  $E_z = 0$  se déduit directement de  $E_T = 0$ ,

<sup>•</sup> la condition  $\partial H_z/\partial n = 0$  se démontre à partir de rot  $\vec{H} = j\omega \epsilon \vec{E}$  en tenant compte de ce que  $E_T = 0$  et  $H_N = 0$ .

## **13.3.1** Ondes TE ou TM telles que $k_c^2 > 0$

Ce cas se produit pour des guides dits à section « simplement connexe » constitués par un conducteur creux à l'intérieur duquel il n'y a que du diélectrique (fig. 1a, b, c).

a) Si  $k_c^2 > \omega^2 \epsilon \mu$ , c'est-à-dire si  $f < k_c/2\pi \sqrt{\epsilon \mu}$ .  $\gamma^2$  est positif, donc  $\gamma = \alpha$  est réel. Par conséquent :

- en onde TM:  $\underline{e}_z = \underline{E}_z(x, y \text{ ou } \rho, \varphi) e^{-\alpha z} e^{j\omega t}$  (29a)

- en onde TE:  $\underline{h}_z = \underline{H}_z(x, y \text{ ou } \rho, \varphi) e^{-\alpha z} e^{j\omega t}$  (29b)

C'est une onde dont l'amplitude diminue exponentiellement et pour laquelle on ne peut mettre en évidence ni périodicité dans l'espace ni vitesse de propagation puisque le terme de phase ne dépend que du temps. Une telle onde est appelée onde évanescente. Au sens classique que l'on donne à la propagation, on peut dire qu'il n'y a pas propagation.

b) Si  $k_c^2 < \omega^2 \epsilon \mu$ , c'est-à-dire si  $f > k_c/2\pi \sqrt{\epsilon \mu}$ ,  $\gamma^2$  est négatif, donc  $\gamma = j\beta$  est imaginaire et par conséquent :

- en onde TM:  $\underline{e}_z = \underline{E}_z(x, y \text{ ou } \rho, \varphi) e^{j(\omega t - \beta z)}$  (30a)

- en onde TE:  $\underline{h}_z = \underline{H}_z(x, y \text{ ou } \rho, \varphi) e^{j(\omega r - \beta z)}$  (30b)

Ces expressions caractérisent une onde qui se propage sans affaiblissement le long de l'axe des z. Si, de plus, l'on tenait compte des pertes dans le diélectrique (paragraphe 13.3.3) et dans les parois, la propagation se ferait avec un affaiblissement. Un tel phénomène est représenté par un paramètre de propagation complexe  $\gamma = \alpha + j\beta$  et les expressions des champs doivent être multipliées par un terme en  $e^{-\alpha z}$ .

### Vitesse de phase et vitesse de groupe

Dans le cas sans perte,  $\gamma = j\beta$ ;  $\beta$  est le paramètre de phase de la propagation qui est relié à la vitesse de phase de l'onde par :

$$v_p = \frac{\omega}{\beta} \tag{31}$$

et à la longueur d'onde de propagation guidée par :

$$\lambda_g = \frac{2\pi}{\beta} \tag{32}$$

Comme nous traitons un cas pour lequel  $k_c^2 = \omega^2 \epsilon \mu - \beta^2$  est positif, nous avons :

$$\frac{\omega^2}{v^2} - \frac{\omega^2}{v_p^2} > 0 \quad \text{d'où}: \quad v_p > v$$
 (33)

Il s'agit donc d'une propagation par ondes dites « rapides ».

Lorsqu'une onde est modulée par des signaux représentant une information, on peut définir une vitesse de propagation de la modulation (chap. 2 « Propagation sur une ligne de haute fréquence ») qui est la vitesse de groupe et se calcule d'après ;

$$v_g = \frac{d\omega}{d\beta} \tag{34}$$

En dérivant la relation  $k_c^2 = (\omega^2/v^2) - \beta^2$ , on trouve :  $0 = 2(\omega/v^2) d\omega - 2\beta d\beta$ 

d'où l'on déduit :

$$v_g = v \frac{\lambda}{\lambda_g} \tag{35}$$

 $v_p v_p = v^2 \tag{36}$ 

Puisque  $v_p > v$ , il en résulte que  $v_g < v$ .

#### Longueur d'onde et fréquence de coupure

- Si  $f > k_c/2\pi \sqrt{\varepsilon \mu}$ , il y a propagation,
- Si  $f < k_c/2\pi \sqrt{\epsilon \mu}$ , il n'y a pas propagation.

La fréquence :

$$f_c = \frac{k_c}{2\pi \sqrt{\epsilon \mu}}$$
 (37)

apparaît donc comme une fréquence de coupure pour les guides d'ondes à section simplement connexe.

La longueur d'onde associée :

$$\lambda_c = \frac{v}{f_c} = \frac{1}{f_c} \cdot \frac{1}{\sqrt{\varepsilon \mu}} = \frac{2\pi}{k_c}$$
 (38)

apparaît également comme une longueur d'onde de coupure telle que :

- si  $\lambda < \lambda_c$ , il y a propagation,
- si  $\lambda > \lambda_c$ , il n'y a pas propagation.

Il est important de noter que ce concept de longueur d'onde de coupure est plus général que celui de fréquence de coupure. En effet, le calcul de  $\lambda_c$  ne fait intervenir que  $k_c$ , valeur propre de l'équation de propagation dans le guide. Or,  $k_c$  ne dépend que de la forme et des dimensions du guide étudié et elle est indépendante du diélectrique dont ce guide est rempli.

#### Relation entre $\lambda$ , $\lambda_c$ et $\lambda_g$ – Paramètre de phase

La relation  $k_c^2 = \omega^2 \varepsilon \mu - \beta^2$ , peut s'écrire :

$$\left(\frac{2\pi}{\lambda_c}\right)^2 = \left(\frac{2\pi}{\lambda}\right)^2 - \left(\frac{2\pi}{\lambda_g}\right)^2 \tag{39}$$

d'où la relation fondamentale de la propagation guidée :

$$\left(\frac{1}{\lambda}\right)^2 = \left(\frac{1}{\lambda_c}\right)^2 + \left(\frac{1}{\lambda_g}\right)^2 \tag{40}$$

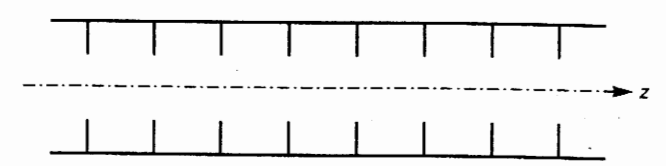
Le paramètre de phase  $\beta = 2\pi/\lambda_g$ , s'exprime d'après la formule :

$$\beta = \frac{2\pi}{\lambda} \sqrt{1 - \left(\frac{\lambda}{\lambda_c}\right)^2} \tag{41}$$

qui nous montre que le guide d'ondes est un milieu dispersif. En effet, la courbe représentative des variations de  $\beta$  en fonction de  $\omega$  n'est pas une droite, au contraire des lignes T.E.M., et il en résulte que la vitesse de propagation  $v_p$  dépend de la fréquence.

## 13.3.2 Ondes TE ou TM telles que $k_c^2 < 0$

Figure 3.
Représentation
schématique d'un
guide d'ondes chargé.



Ce cas se produit uniquement pour des guides à structure périodique. Pour la plupart de ces structures, la périodicité résulte d'une simple translation, comme cela est représenté schématiquement pour le guide d'ondes chargé de la figure 3. Les figures 4 et 5 donnent quelques exemples d'obstacles pouvant charger un tel guide d'ondes

Pour de tels guides,  $k_c^2$  est négatif; comme  $\omega^2$   $\epsilon\mu$  est positif, il en résulte que  $\gamma^2 = k_c^2 - \omega^2$   $\epsilon\mu$  est négatif et donc que  $\gamma = j\beta$ . Il y a donc une propagation sans affaiblissement qui est régie par les mêmes relations que celles du paragraphe 13.3.1b.

Comme nous traitons un cas pour lequel  $k_c^2 = \omega^2 \varepsilon \mu - \beta^2$  est négatif, nous avons :

$$\frac{\omega^2}{v^2} - \frac{\omega^2}{v_p^2} < 0 \quad \text{d'où} : \quad v_p < v$$
 (42)

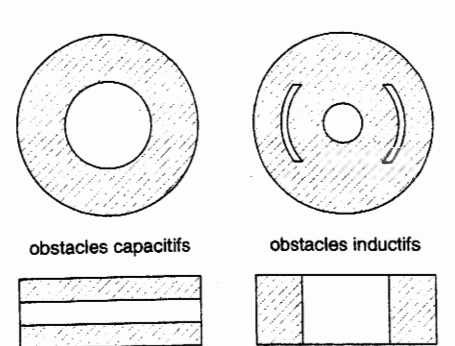


Figure 4.

Obstacles capain inductifs pouvar charger un guide d'onde circulai un guide d'onde rectangulaire.

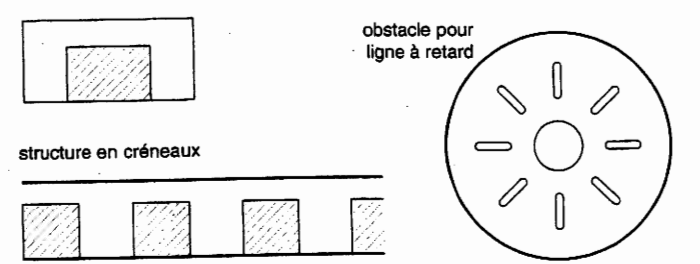


Figure 5.
Autres types
d'obstacles pou
guides rectangue
et circulaires

Il s'agit donc d'une propagation par ondes « lentes » et il n'y a pas de fréquence de coupure. Ce type de propagation qui n'existe que dans les guides d'ondes chargés a été étudié en détail par L. Brillouin [58] ainsi que par Collin [59].

## 13.3.3 Cas des diélectriques à pertes

Nous ne reviendrons pas sur le cas des pertes dans les conducteurs, dont la formulation a déjà été développée au chapitre 12, paragraphe 8. Nous traiterons donc, ici, le cas où la propagation s'effectue dans un diélectrique à pertes caractérisé par une permittivité complexe  $\varepsilon = \varepsilon' - j\varepsilon''$  et une perméabilité réelle  $\mu = \mu_0$ . Il résulte alors de la relation (28) que  $\gamma$  est complexe, de la forme  $\alpha + j\beta$ , et nous pouvons l'écrire :  $\gamma^2 = k_c^2 - \omega^2 \varepsilon \mu_0 = k_c^2 - \omega^2 \varepsilon_0 \varepsilon_r \mu_0$ 

Soit: 
$$\gamma^2 = k_c^2 - k_0^2 \, \mathbf{E}_r \tag{43}$$

D'où: 
$$(\alpha + j\beta)^2 = k_c^2 - k_0^2 (\epsilon_r' - j \epsilon_r'')$$
 (44)

ou: 
$$-\beta^2 \left( 1 - j \frac{\alpha}{\beta} \right)^2 = k_c^2 - k^2 \left( 1 - j \frac{\varepsilon_r^*}{\varepsilon_r^*} \right)$$
 (45)

avec:

$$\beta = \frac{2\pi}{\lambda_g}$$
,  $k_c = \frac{2\pi}{\lambda_c}$  et  $k = \frac{2\pi}{\lambda} = \frac{2\pi}{\lambda_0} \sqrt{\varepsilon_r}$ 

La relation fondamentale de la propagation guidée s'écrit donc, lorsque l'on tient compte des pertes diélectriques :

$$\left(\frac{1}{\lambda}\right)^2 \left(1 - j\frac{\varepsilon_r^{\prime\prime}}{\varepsilon_r^{\prime\prime}}\right) = \left(\frac{1}{\lambda_c}\right)^2 + \left(\frac{1}{\lambda_g}\right)^2 \left(1 - j\frac{\alpha}{\beta}\right)^2 \tag{46}$$

Nous allons calculer maintenant les expressions de  $\alpha$  et  $\beta$ . Pour cela, nous séparons parties réelle et imaginaire dans (44) :

$$\alpha^2 - \beta^2 = k_0^2 - k_0^2 \, \epsilon_r^2 \tag{47}$$

$$2\alpha\beta = k_0^2 \, \varepsilon_r^{"} \tag{48}$$

d'où:

$$\alpha^{2} + \beta^{2} = \pm \left[ (\alpha^{2} - \beta^{2})^{2} + (2 \alpha \beta)^{2} \right]^{\frac{1}{2}}$$
 (49)

Nous devons prendre la solution avec le signe moins afin que lorsque  $\varepsilon$  ", et  $\alpha$  sont nuls, on puisse retrouver la relation du cas sans perte :  $(j\beta)^2 = k_c^2 - k_0^2 \varepsilon_r^2$ .

Donc:

$$\alpha^{2} + \beta^{2} = -\left[ \left( k_{c}^{2} - k_{0}^{2} \, \varepsilon_{r}^{*} \right)^{2} + \left( k_{0}^{2} \, \varepsilon_{r}^{*} \right)^{2} \right]^{\frac{1}{2}}$$
 (50)

Finalement, en faisant la somme et la différence de (47) et (50), nous pouvons calculer :

$$\frac{\alpha^2}{\beta^2} = \frac{1}{2} \left\{ \pm (k_c^2 - k_0^2 \, \epsilon_r^2) - \left[ (k_c^2 - k_0^2 \, \epsilon_r^2)^2 + (k_0^2 \, \epsilon_r^2)^2 \right]^{\frac{1}{2}} \right\}$$
 (51a)

En posant :  $k_0 \sqrt{\varepsilon_r'} = k$  et  $\varepsilon_r''/\varepsilon_r' = \text{tg } \delta$ , ces expressions permettent d'obtenir :

$$\frac{\alpha}{\beta} = \frac{k}{\sqrt{2}} \left( 1 - \frac{k_c^2}{k^2} \right)^{\frac{1}{2}} \left\{ \left[ 1 + \left( \frac{k^2}{k_c^2 - k^2} \right)^2 \operatorname{tg}^2 \delta \right]^{\frac{1}{2}} + 1 \right\}^{\frac{1}{2}}$$
 (52a) (52b)

Nous pouvons également faire apparaître les longueurs d'onde dans ces expressions puisque  $k=2\pi/\lambda$  et  $k_c=2\pi/\lambda_c$ :

$$\frac{\alpha}{\beta} = \frac{1}{\sqrt{2}} \cdot \frac{2\pi}{\lambda} \left( 1 - \frac{\lambda^2}{\lambda_c^2} \right)^{\frac{1}{2}} \left\{ \left[ 1 + \left( \frac{\operatorname{tg} \delta}{1 - \frac{\lambda^2}{\lambda_c^2}} \right)^2 \right]^{\frac{1}{2}} \mp 1 \right\}^{\frac{1}{2}}$$
 (53a)

avec 
$$\lambda = \lambda_0 / \sqrt{\epsilon_r}$$
 et  $\beta = 2\pi / \lambda_g$ .

## ÉTUDE GÉNÉRALE DE LA PROPAGATION EN GUIDES D'ONDES MÉTALLIQUES

Si les pertes diélectriques sont faibles, ce qui est souvent le cas, et si  $\lambda$  n'est pas proche de  $\lambda_c$ , de telle sorte que tg  $\delta/(1-\lambda^2/\lambda_c^2)$  soit petit devant 1, nous aurons :

$$\alpha = \frac{\pi}{\lambda} \cdot \frac{\log \delta}{\left(1 - \frac{\lambda^2}{\lambda_c^2}\right)^{\frac{1}{2}}}$$
 (54)

$$\beta = \frac{2\pi}{\lambda} \left( 1 - \frac{\lambda^2}{\lambda_c^2} \right)^{\frac{1}{2}} \left[ 1 + \frac{1}{8} \cdot \frac{\lg^2 \delta}{\left( 1 - \frac{\lambda^2}{\lambda_c^2} \right)^2} \right]$$
 (55)

## 13.4 LES GUIDES D'ONDES RECTANGULAIRES

Le calcul de la solution générale de la propagation en guide d'ondes rectangulaire se ramène à la détermination des modes TE ou TM pouvant exister dans ce guide.

### 13.4.1 Détermination des modes TM

Dans ce cas,  $\underline{H}_z(x, y) = 0$  et il faut trouver une fonction génératrice  $\underline{E}_z(x, y)$ :

• qui soit solution de l'équation :

$$\frac{\partial^2 \underline{E}_z}{\partial x^2} + \frac{\partial^2 \underline{E}_z}{\partial y^2} + k_c^2 \underline{E}_z = 0$$
 (56)

• qui satisfasse à la condition aux limites  $\underline{E}_z = 0$  sur les parois du guide (fig. 6), soit :

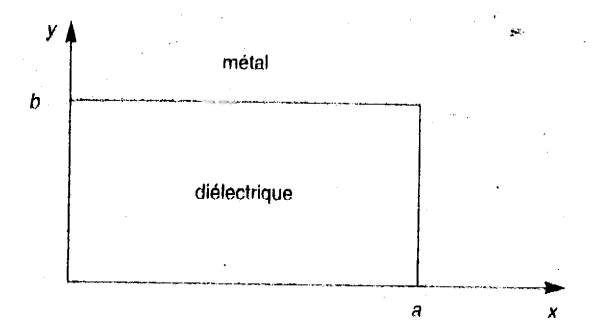


Figure 6. Notations utilisées pour le guide rectangulaire.

#### a) Recherche de la solution de (56)

Nous allons supposer que la fonction inconnue  $\underline{E}_{z}(x, y)$  est le produit d'une fonction de x seul par une fonction de y seul :

$$\underline{E}_{x}(x, y) = X(x) Y(y) \tag{59}$$

(56) devient alors:

$$X''Y + Y''X + k_0^2 XY = 0 (60)$$

En divisant par XY, nous obtenons :  $\frac{X''}{X} + \frac{Y''}{Y} + k_c^2 = 0$ 

Soit aussi:  $\frac{X''}{Y} = -\frac{Y''}{Y} - k_c^2$ 

Le premier membre est une fonction de x seul, le deuxième membre est une fonction de y seul ; ils ne peuvent être égaux qu'à une même constante qui devra être de même degré et de même signe que  $-k_c^2$ .

Posons donc: 
$$\frac{X''}{X} = -k_x^2$$
 (62)

II vient:  $-\frac{Y''}{Y} - k_c^2 = -k_x^2$  ou  $\frac{Y''}{Y} = k_x^2 - k_c^2$ 

Posons: 
$$\frac{Y''}{Y} = -k_y^2 \tag{63}$$

avec: 
$$k_v^2 + k_r^2 = k_c^2$$
 (64)

Dans ces conditions, la solution de (56) est de la forme :

$$\underline{E}_{z}(x, y) = (A \cos k_{x} x + B \sin k_{x} x) (C \cos k_{y} y + D \sin k_{y} y)$$
 (65)

#### b) Les constantes sont déterminées d'après les conditions aux limites

•  $E_z = 0$  pour y = 0 et y = b  $\forall x$   $0 = (A \cos k_x x + B \sin k_x x) C$  d'où C = 0  $0 = (A \cos k_x x + B \sin k_x x) D \sin k_y b$ D ne peut être nul, sinon  $E_z(x, y) = 0$   $\forall x$  et y.

Donc: 
$$\sin k_y b = 0 \quad \text{d'où}: \quad k_y = \frac{n\pi}{h}$$
 (66)

•  $E_z = 0$  pour x = 0 et  $x = a \quad \forall y$  $0 = A (D \sin k_y y)$  comme  $D \neq 0$ , A = 0 —ÉTUDE GÉNÉRALE DE LA PROPAGATION EN GUIDES D'ONDES MÉTALLIQUES

 $0 = (B \sin k_r a) (D \sin k_v y)$ 

d'où

$$k_x = \frac{m\pi}{a} \tag{67}$$

Par conséquent, la fonction génératrice est donnée par :

$$\underline{\underline{E}}_{z}(x, y) = E_{0} \sin \frac{m\pi x}{a} \sin \frac{n\pi y}{b}$$
 (68)

et:

(61)

$$\left(\frac{m\pi}{a}\right)^2 + \left(\frac{n\pi}{b}\right)^2 = k_c^2 \tag{69}$$

effectute

paragn

ont été so

valeur

n et m sont deux entiers positifs quelconques.

Les composantes transversales du champ sont ensuite obtenues au moyen des formules (13), (14), (15), (16) qui se simplifient du fait que  $\underline{H}_{\tau} = 0$ .

$$\underline{E}_{x}(x, y) = -E_{0} \frac{\gamma}{k_{c}^{2}} \cdot \frac{m\pi}{a} \cos \frac{m\pi x}{a} \sin \frac{n\pi y}{b}$$
 (70)

$$\underline{E}_{y}(x, y) = -E_{0} \frac{\gamma}{k_{c}^{2}} \cdot \frac{n\pi}{b} \sin \frac{m\pi x}{a} \cos \frac{n\pi y}{b}$$
 (7)

$$\underline{H}_{x}(x, y) = E_{0} \frac{\mathrm{j}\omega\varepsilon}{k_{c}^{2}} \cdot \frac{n\pi}{b} \sin \frac{m\pi x}{a} \cos \frac{n\pi y}{b}$$
 (72)

$$\underline{H}_{y}(x,y) = -E_{0} \frac{\mathrm{j}\omega\varepsilon}{k_{a}^{2}} \cdot \frac{m\pi}{a} \cos \frac{m\pi x}{a} \sin \frac{n\pi y}{b}$$
 (73)

Dans les équations (72) et (73), il est possible de remplacer  $\omega \varepsilon$  par  $k \sqrt{\varepsilon/\mu}$ , avec  $k = 2\pi/\lambda$ . Nous obtenons ainsi l'impédance d'onde en mode TM :

$$\frac{\underline{E}_x}{\underline{H}_y} = -\frac{\underline{E}_y}{\underline{H}_x} = -j\sqrt{\frac{\mu}{\epsilon}} \cdot \frac{\gamma}{k}$$
 (74)

#### 13.4.2 Détermination des modes TE

Les composantes du champ pour les modes TE (pour lesquels  $E_z(x, y) = 0$ ) seront obtenues de la même manière, en recherchant par la méthode de séparation des variables une fonction  $H_z(x, y)$  satisfaisant l'équation :

$$\frac{\partial^2 \underline{H}_z}{\partial x^2} + \frac{\partial^2 \underline{H}_z}{\partial y^2} + k_c^2 \underline{H}_z = 0$$
 (75)

et les conditions aux limites :  $\partial \underline{H}_{\tau}/\partial n = 0$  sur les parois du guide.

.

La fonction génératrice que l'on obtient ainsi est :

$$\underline{H}_{z}(x, y) = H_{0} \cos \frac{m\pi x}{a} \cos \frac{n\pi y}{b}$$
 (76)

En portant cette expression de  $\underline{H}_z$  dans les formules (13), (14), (15), (16), et en tenant compte de  $\underline{E}_z = 0$ , on obtient les composantes transversales du champ des ondes TE.

$$\underline{E}_{x}(x, y) = H_0 \frac{j\omega\mu}{k_c^2} \cdot \frac{n\pi}{b} \cos \frac{m\pi x}{a} \sin \frac{n\pi y}{b}$$
 (77)

$$\underline{E}_{y}(x, y) = -H_{0} \frac{j\omega\mu}{k_{c}^{2}} \cdot \frac{m\pi}{a} \sin \frac{m\pi x}{a} \cos \frac{n\pi y}{b}$$
 (78)

$$\underline{H}_{x}(x,y) = H_0 \frac{\gamma}{k_c^2} \cdot \frac{m\pi}{a} \sin \frac{m\pi x}{a} \cos \frac{n\pi y}{b}$$
 (79)

$$\underline{H}_{y}(x, y) = H_{0} \frac{\gamma}{k_{c}^{2}} \cdot \frac{n\pi}{b} \cos \frac{m\pi x}{a} \sin \frac{n\pi y}{b}$$
 (80)

Même remarque pour  $H_0$  que pour  $E_0$  au paragraphe 13.4.1, ainsi que pour les termes exponentiels qui sont sous-entendus. Par ailleurs, dans les équations (77) et (78), il est possible de remplacer  $\omega\mu$  par  $k\sqrt{\mu/\epsilon}$  avec  $k=2\pi/\lambda$ . Nous obtenons ainsi l'impédance d'onde en mode TE:

$$\frac{\underline{E}_x}{\underline{H}_y} = -\frac{\underline{E}_y}{\underline{H}_x} = j \sqrt{\frac{\mu}{\epsilon} \cdot \frac{k}{\gamma}}$$
(81)

## 13.4.3 Lignes de champs

Pour les ondes TE et TM les composantes des champs électrique et magnétique dépendent de deux entiers arbitraires, m et n. À tout couple de ces deux entiers, correspond une onde du type TE et une onde du type TM que l'on appelle mode  $\text{TE}_{mn}$  ou  $\text{TM}_{mn}$ .

Figure 7.

These transversales

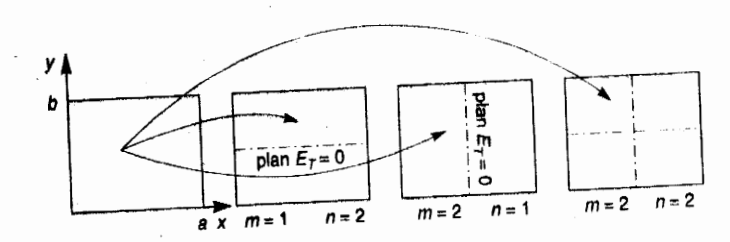
des champs des

Tiera modes TE<sub>mn</sub>

Partir de la coupe

Tersale du champ

du mode TE<sub>11</sub>.



Pour m = n = 1, les composantes tangentielles du champ électrique ne peuvent s'annuler que sur les parois du guide. Par contre, si m et (ou) n > 1, ces composantes peuvent aussi s'annuler sur des plans méridiens, comme le montre la figure 7.

Dans chaque rectangle délimité par ces plans, la configuration du champ est analogue à celle du cas m=n=1. Par exemple, pour m=n=2, nous retrouvons la juxtaposition de 4 motifs élémentaires correspondant au cas m=n=1. Les configurations des champs sont d'autant plus compliquées que les indices m et n ont des valeurs plus élevées.

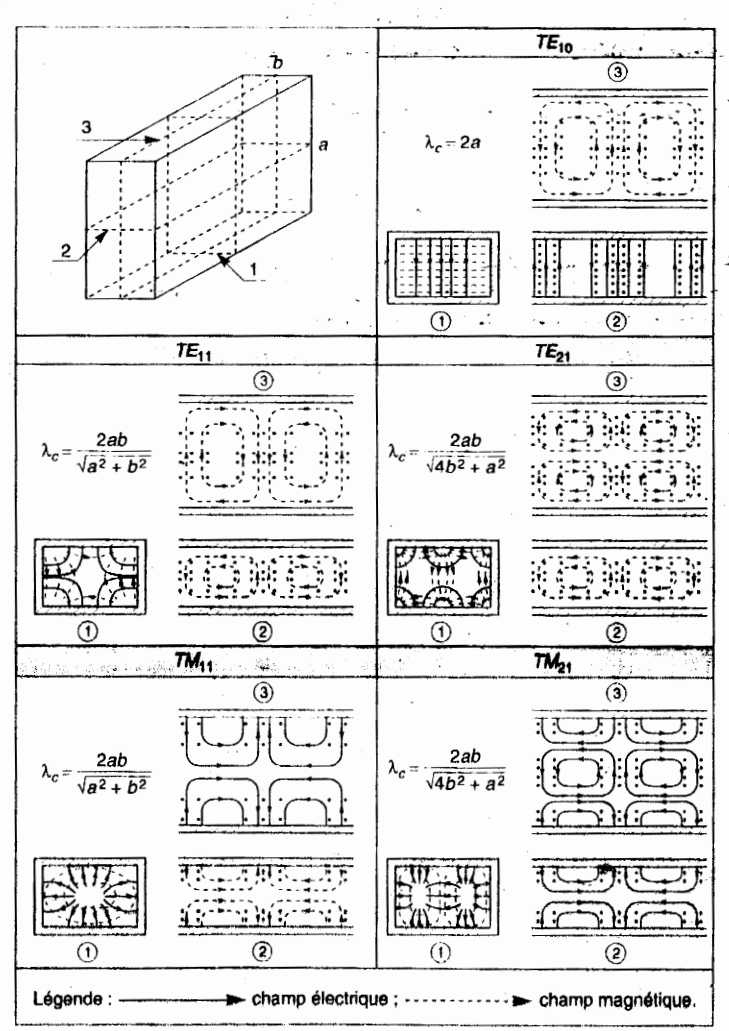


Figure 8.
Lignes de chaquelques mod guide d'ondes rectangulaire.

Figure extraite de Rigal et Vo Hyperfréquen-Éditions Eyrol (1963), p. 121 La figure 8 représente les lignes du champ correspondant à quelques modes du guide rectangulaire, dans divers plans transversaux et longitudinaux.

Remarquons que s'il existe un mode  $TE_{01}$  ou  $TE_{10}$  (mode fondamental du guide rectangulaire), il ne peut pas exister de mode  $TM_{01}$  ou  $TM_{10}$  puisqu'alors  $\mathbf{E}_2(\mathbf{x},\mathbf{y})$  — qui est un produit de sinus — serait nul et comme  $\mathbf{H}_2$  l'est déjà par hypothèse, toutes les autres composantes seraient également nulles.

## 13.4.4 Longueur d'onde et fréquence de coupure

Nous avons vu que :  $k_c^2 = \left(\frac{m\pi}{a}\right)^2 + \left(\frac{n\pi}{b}\right)^2$ 

Comme  $k_c = 2\pi/\lambda_c$ , il en résulte que la longueur d'onde et la fréquence de coupure sont données respectivement par :

$$\lambda_c = \frac{1}{\sqrt{\left(\frac{m}{2a}\right)^2 + \left(\frac{n}{2b}\right)^2}}$$
 (82)

$$f_c = v \sqrt{\left(\frac{m}{2a}\right)^2 + \left(\frac{n}{2b}\right)^2}$$
 (83)

### 13.5 LES GUIDES D'ONDES CIRCULAIRES

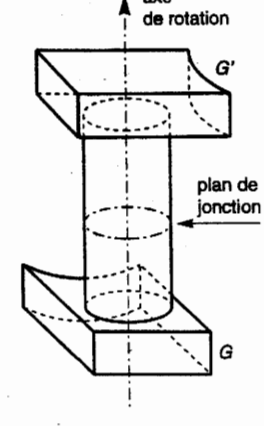


Figure 9.

Joint tournant.

Pendant longtemps, les guides d'ondes circulaires n'ont servi qu'en tant qu'éléments de dispositifs tels que atténuateurs, déphaseurs (vol. 2, chap 2 « Circuits passifs réciproques »), joints tournants. Pour ces derniers (fig. 9) ils jouent le rôle d'éléments de connexion entre deux guides G et G', permettant à l'un d'eux de tourner par rapport à l'autre.

Au début des années 1970, on a envisagé de les utiliser en tant que lignes de télécommunications, d'une part parce qu'un de leurs modes de propagation présente des pertes qui diminuent quand la fréquence augmente, d'autre part parce que l'on sait éliminer les autres modes pour ne conserver que celui-là.

## 13.5.1 Bases théoriques

Nous utiliserons les coordonnées cylindriques (fig. 2) selon lesquelles les  $\Delta_t$  des relations (27a et b) ont pour expressions :  $\frac{\partial^2}{\partial \rho^2} + \frac{1}{\rho} \cdot \frac{\partial}{\partial \rho} + \frac{1}{\rho^2} \cdot \frac{\partial^2}{\partial \phi^2}$ .

Conformément à ce qui a été expliqué au paragraphe 13.2.3 « Détermination des composantes transversales en  $\rho$  et  $\phi$  », la fonction angulaire  $F(\phi)$  est prise de la forme  $e^{-jn\phi}$  et nous recherchons donc pour  $\psi(\rho, \phi) = E_z$  ou  $\underline{H}_z$  des solutions de la forme :  $\psi(\rho, \phi) = F(\rho) e^{-jn\phi}$ .

Les relations (27a et b) nous donnent donc :

$$\frac{\partial^2 F}{\partial \rho^2} + \frac{1}{\rho} \cdot \frac{\partial F}{\partial \rho} + \left(k_c^2 - \frac{n^2}{\rho^2}\right) F = 0$$
 (84)

et admettent pour solutions :

$$F(\rho) = A J_n(k_c \rho) + BY_n(k_c \rho)$$
 (85)

A et B sont les constantes d'intégration dont les valeurs seront déterminées d'après les conditions aux limites.

 $J_n$  et  $Y_n$  sont les fonctions de Bessel d'ordre n, respectivement de première et deuxième espèce.

Notons dès maintenant que  $\psi$  doit garder une valeur finie sur l'axe du guide  $(\rho = 0)$ . Comme  $Y_n(x) \to \infty$  quand  $x \to 0$ , la constante B doit être nulle et la solution pour  $\psi$  doit être de la forme :

$$\psi(\rho, \varphi) = A J_n(k_c \rho) e^{-jn\varphi}$$
 (86)

## 13.5.2 Détermination des ondes TM

Dans ce cas  $H_z = 0$  et d'après (86) :

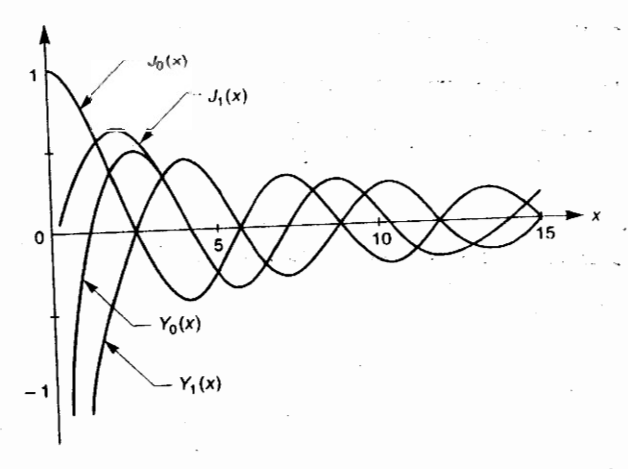
$$\underline{E}_z = E_0 J_n(k_c \rho) e^{-jn\phi}$$
 (87)

La condition aux limites sur la paroi du guide impose que  $E_z = 0$  pour  $\rho = a$ , soit :  $J_n(k_c \, a) = 0$ . Or la figure 10 montre que la fonction  $J_n(u)$  s'annule pour une suite de valeurs de u qui sont les racines de  $J_n$ . À chacune de ces racines correspond un mode de propagation. Le mode correspondant à la  $m^e$  racine d'une fonction d'ordre n est appelé mode  $TM_{nm}$ . Le tableau de la figure 11 donne les valeurs discrètes  $u_{nm}$  de ces racines. Pour ces modes  $TM_{nm}$ :

$$k_c = \frac{u_{nm}}{a} \tag{88}$$

2

de variation stions  $J_0$ ,  $J_1$ ,  $J_1$ 



En portant la fonction génératrice  $\underline{E}_z$  donnée par la relation (87) dans les relations (23) à (26), nous obtenons les composantes transversales :

$$\underline{E}_{\rho} = -E_0 \frac{\gamma}{k_c} J_n'(k_c \rho) e^{-jn\phi}$$
 (89)

$$\underline{E}_{\varphi} = \mathrm{j} E_0 \frac{\gamma n}{k_c^2 \rho} J_n(k_c \rho) e^{-\mathrm{j} n \varphi}$$
(90)

$$\underline{H}_{\rho} = E_0 \frac{\omega \varepsilon n}{k_c^2 \rho} J_n(k_c \rho) e^{-jn\varphi}$$
(91)

$$\underline{H}_{\varphi} = -j E_0 \frac{\omega \varepsilon}{k_c} J_n'(k_c \rho) e^{-jn\varphi}$$
(92)

En remplaçant  $\omega \varepsilon$  par  $k\sqrt{\varepsilon/\mu}$ , nous obtenons l'impédance d'onde en mode TM :

$$\frac{\underline{E}_{\rho}}{\underline{H}_{m}} = -\frac{\underline{E}_{\phi}}{\underline{H}_{\rho}} = -j\sqrt{\frac{\mu}{\varepsilon}} \cdot \frac{\gamma}{k}$$
(93)

## 13.5.3 Détermination des ondes TE

Dans ce cas,  $E_z = 0$  et d'après (86):

$$H_z = H_0 J_n(k_c \rho) e^{-jn\phi}$$
(94)

La condition aux limites sur la paroi du guide impose que  $\partial H_z/\partial n = \partial H_z/\partial \rho = 0$ pour  $\rho = a$ , soit  $J_n(k_c a) = 0$ . La fonction  $J_n(u)$  présentant une suite de maxima et de minima, c'est pour les valeurs de u, notées  $u_{nm}^*$ , correspondant à ces maxima et minima que  $J_n(u) = 0$ . À chaeune de ces racines de  $J_n$  correspond un mode de propagation appelé  $TE_{nm}$ . Le tableau de la figure 11 donné les valeurs discrètes  $u_{nm}^*$  de ces racines. Pour ces modes  $TE_{nm}$ :

$$k_c = \frac{u_{nm}}{\sigma} \tag{95}$$

En portant la fonction génératrice  $H_z$  donnée par la relation (94) dans les relations (23) à (26), nous obtenons les composantes transversales :

$$\underline{E}_{\rho} = -H_0 \frac{\omega \mu n}{k_c^2 \rho} J_n(k_c \rho) e^{-jn\varphi} . \tag{96}$$

$$\underline{\underline{E}}_{\varphi} = j H_0 \frac{\omega \mu}{k_c} J_n(k_c \rho) e^{-jn\varphi}$$
 (97)

$$\underline{H}_{\rho} = -H_0 \frac{\gamma}{k_c} J_n(k_c \rho) e^{-jn\phi}$$
 (98)

$$\underline{H}_{\varphi} = j H_0 \frac{\gamma n}{k_c^2 \rho} J_n (k_c \rho) e^{-jn\varphi}$$
 (99)

Même remarque qu'au paragraphe 13.5.2 concernant  $H_0$  et les termes exponentiels qui sont sous-entendus. Par ailleurs, en remplaçant  $\omega \mu$  par  $k\sqrt{\mu/\epsilon}$ , nous obtenons l'impédance d'onde en mode TE :

$$\frac{\underline{E}_{\rho}}{\underline{H}_{\phi}} = -\frac{\underline{E}_{\phi}}{\underline{H}_{\rho}} = j\sqrt{\frac{\mu}{\varepsilon} \cdot \frac{k}{\gamma}}$$
 (100)

## 13.5.4 Étude des divers modes de propagation

Nous venons de mettre en évidence que, comme dans les guides rectangulaires, la propagation dans les guides circulaires s'effectue selon différents modes TE et TM. Ces modes sont caractérisés par :

- · leur configuration transversale;
- · leur longueur d'onde de coupure.

Les configurations transversales de quelques-uns de ces modes sont représentées sur la figure 11.

Les longueurs d'onde de coupure des modes TE<sub>nm</sub> sont données par :

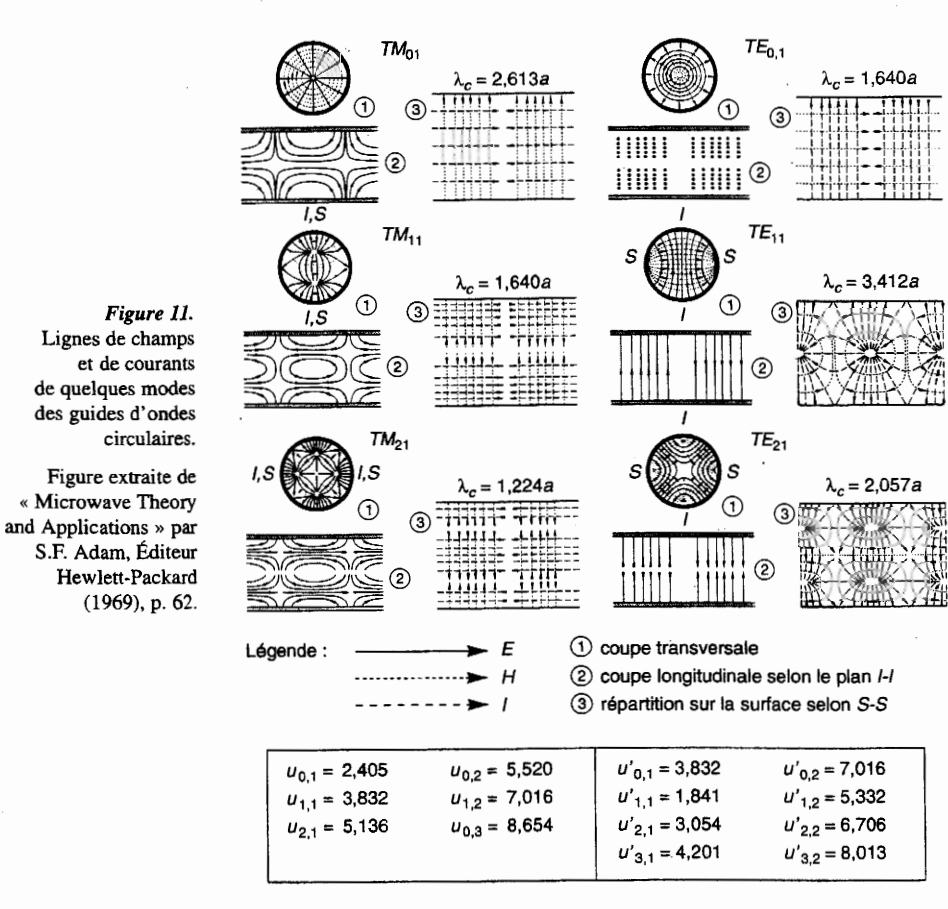
$$\lambda_{c_{TE_{nm}}} = \frac{2\pi a}{u_{nm}} \tag{101}$$

a est le rayon intérieur du guide.

Les longueurs d'onde de coupure des modes TM<sub>nm</sub> sont données par :

$$\lambda_{c_{TM_{nm}}} = \frac{2\pi a}{u_{nm}} \tag{102}$$

Les valeurs de  $u_{nm}$  et  $u'_{nm}$  sont données dans le tableau joint à la figure 11.



Le mode qui apparaît le premier est celui dont la longueur d'onde de coupure est la plus grande ; c'est donc  $TE_{11}$  ( $\lambda_c=3,41a$ ) qui est le mode fondamental cles guides d'ondes circulaires. Apparaissent ensuite, successivement, lorsque la fréquence augmente :

$$TM_{01} (\lambda_c = 2,61a)$$
  
 $TE_{21} (\lambda_c = 2,05a)$   
 $TE_{01}$  et  $TM_{11} (\lambda_c = 1,64a)...$ 

Les modes  $TM_{01}$  et  $TE_{01}$  présentent une parfaite symétrie de révolution autour de l'axe du guide et leur emploi est donc particulièrement indiqué lorsque l'on doit faire tourner l'une par rapport à l'autre deux sections de guides circulaires sans perturber la propagation, comme cela est le cas dans les joints tournants pour les émetteurs radar. Le mode  $TM_{01}$  a l'avantage de pouvoir être excité simplement par un élément d'antenne placé selon l'axe du guide.

## 13.5.5 Étude du mode fondamental TE<sub>11</sub>

La structure de ce mode – qui est caractérisée, dans un plan de section transverse, par une polarisation uniforme selon un des diamètres – correspond à la structure du mode fondamental des guides d'ondes rectangulaires. D'ailleurs,

lorsque par une transition géométriquement progressive (fig. 12) on transforme un guide d'ondes rectangulaire en un guide d'ondes circulaire, c'est le mode TE<sub>11</sub> qui est excité dans le guide d'ondes circulaire si le guide d'ondes rectangulaire fonctionne selon le mode fondamental TE<sub>10</sub>, et réciproquement.

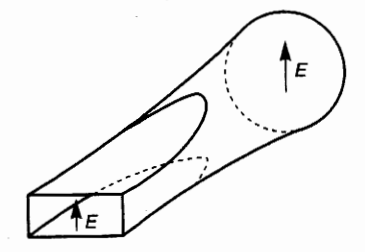


Figure 12.
Transition put
rectangulair circulaire.

L'ennui est qu'à cause de la symétrie de révolution du guide circulaire, la direction de polarisation uniforme dont nous avons parlé plus haut peut tourner car il n'y a aucune direction privilégiée. Cette direction de polarisation dépend, en

fait, de la polarisation du champ délivré par la sonde excitatrice, à laquelle elle est parallèle.

C'est pourquoi on préfère souvent (notamment pour les circuits d'émission et de réception des faisceaux hertziens) employer des guides d'ondes elliptiques pour lesquels la direction de polarisation est fixée, grâce à l'asymétrie du système, selon la direction du petit axe ou du grand axe de l'ellipse (fig. 13). En général, c'est la première disposition qui est utilisée.

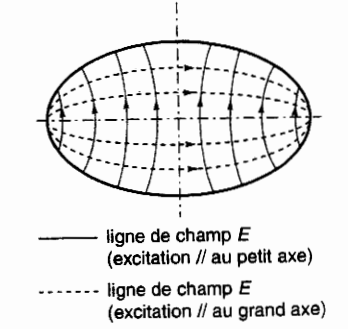


Figure 13. Guide d'ondes elliptique.

### 13.5.6 Atténuation en guide d'ondes circulaire

Les atténuations (en dB/m) sont données, pour les trois modes les plus importants, par :

Mode TE<sub>11</sub>:  $\alpha = \frac{5.5 \cdot 10^{-5}}{a^{3/2}} \cdot \frac{\left(\frac{f}{f_c}\right)^{-\frac{1}{2}} + \frac{1}{2,38} \left(\frac{f}{f_c}\right)^{\frac{3}{2}}}{\left|\left(\frac{f}{f_c}\right)^2 - 1\right|^{\frac{1}{2}}}$ (103)

 $\alpha$  passe par un minimum pour  $f/f_c = 3,15$ .

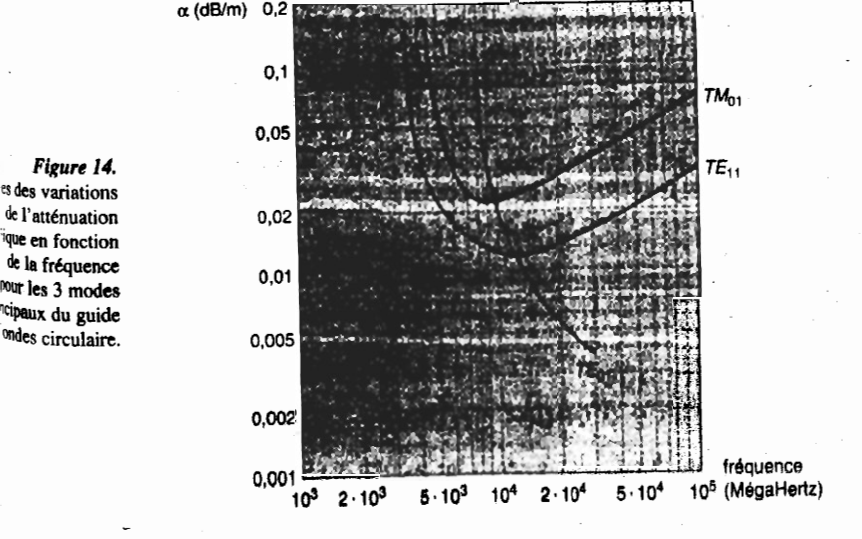
Mode TM<sub>01</sub>: 
$$\alpha = \frac{6.3 \cdot 10^{-5}}{a^{3/2}} \cdot \frac{\left(\frac{f}{f_c}\right)^2}{\left[\left(\frac{f}{f_c}\right)^2 - 1\right]^{\frac{1}{2}}}$$
 (104)

 $\alpha$  passe par un minimum pour  $f/f_c = \sqrt{3}$ .

Mode TE<sub>01</sub>: 
$$\alpha = \frac{8 \cdot 10^{-5}}{a^{3/2}} \cdot \frac{1}{\left(\frac{f}{f_c}\right)^{\frac{1}{2}} \left[\left(\frac{f}{f_c}\right)^2 - 1\right]^{\frac{1}{2}}}$$
(105)

Ici,  $\alpha$  diminue constamment quand f augmente.

Les variations de  $\alpha$  en fonction de la fréquence sont représentées, pour ces trois modes, sur la figure 14. Elle met bien en évidence que, pour le mode  $TE_{01}$ , les pertes diminuent lorsque la fréquence augmente. Il est le seul parmi tous les autres modes des guides circulaires à posséder cette intéressante propriété.



Physiquement, cela provient de ce qu'il est le seul dont les lignes de courant dans la paroi du guide soient situées dans des plans de section droite alors que, pour tous les autres, les lignes de courant sont longitudinales. Cette propriété permet d'ailleurs d'éliminer les autres modes en ne conservant que le mode  $TE_{01}$ : il suffit, pour cela, que le revêtement intérieur du guide, au lieu d'être lisse, soit constitué par des spires en cuivre jointives, recouvertes d'un vernis qui les isole les unes des autres ; tous les modes dont les lignes de courant sont longitudinales peuvent ainsi être stoppés tandis que le mode  $TE_{01}$  n'est pas affecté.

C'est selon ce principe qu'avaient été développés, lors des années 1970, des projets de transmission à moyenne et grande distance par guides circulaires « hélicoïdaux ». La solution retenue en France était un guide de 50 mm de diamètre présentant des pertes de 3 dB/km à 35 GHz. Mais l'augmentation du coût de la matière première (cuivre) et les promesses apportées par les transmissions sur fibres optiques – dont la matière première (silice) est bon marché – ont entraîné l'abandon de ces projets.

## 13.6 ÉTUDE GÉNÉRALE DE LA RÉFLEXION DES ONDES GUIDÉES

#### 13.6.1 Définition d'une onde de référence

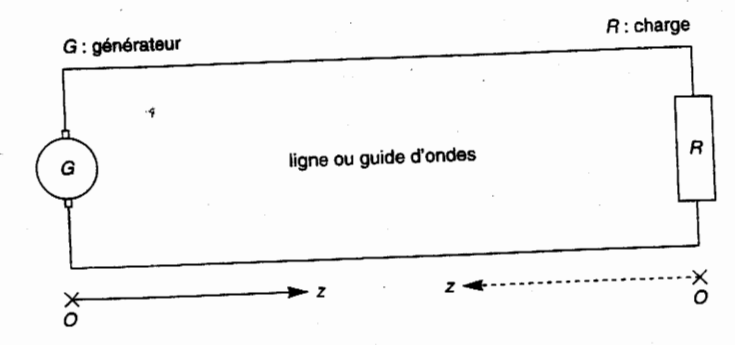
Nous allons exprimer, par référence à une onde unité (onde transportant une puissance de 1/2 Watt), les résultats obtenus dans l'étude des lignes T.E.M. (chap. 2 « Propagation sur une ligne en haute fréquence » et chap. 3 « Étude de la réflexion à l'extrémité d'une ligne ») à partir des concepts tension et courant aussi bien que dans l'étude des guides d'ondes (chap. 12 «.Les guides d'ondes rectangulaires » et chap. 13) à partir des concepts champs électrique et magnétique.

Nous montrerons ainsi que, dans le cas général du régime d'ondes semi-stationnaires, les expressions de  $\underline{V}(z)$  et  $\underline{I}(z)$  pour les lignes T.E.M. ainsi que celles de  $\underline{E}_I(x, y, z)$  et  $\underline{H}_I(x, y, z)$  pour les guides d'ondes, peuvent être écrites sous la forme du produit de deux facteurs :

- l'un, qui est relatif à l'onde unité écrite en fonction de <u>V</u>. I ou de <u>E</u><sub>P</sub>. <u>H</u><sub>I</sub> selon le cas considéré,
- l'autre, qui est identique dans les deux cas et qui ne dépend que du paramètre de propagation γ et des caractéristiques de la charge de la ligne ou du guide d'ondes.

## 13.6.2 Caractérisation de la réflexion en lignes T.E.M.

Figure 15. Conventions de choix de l'origine et de l'orientation de l'axe des z.



### a) L'onde progressive unité

Si l'axe des abscisses est orienté du générateur vers la charge (fig. 15) :

$$\underline{Y}(z) = \underline{Y}_0 e^{-\gamma z} \tag{106}$$

et

$$\underline{I}(z) = \underline{I}_0 e^{-\gamma z} \tag{107}$$

Il est possible de définir une onde unité:

$$\underline{Y}^{u}(z) = \underline{Y}_{0}^{u} e^{-\gamma z} \tag{108}$$

$$I^{u}(z) = I_{0}^{u} e^{-\gamma z}$$
 (109)

telle que :

$$\frac{1}{2} \underline{V}_0^u (\underline{I}_0^u)^* = \frac{1}{2} \text{ Watt}$$
 (110)

## b) Le régime d'ondes semi-stationnaires

Un tel régime peut toujours être considéré comme la superposition d'une onde progressive incidente, se déplaçant du générateur vers la charge, et d'une onde progressive réfléchie, se déplacant en sens inverse :

• si l'axe des abscisses est orienté du générateur vers la charge (fig. 15) :

$$\underline{V}(z) = \underline{V}_i e^{-\gamma z} + \underline{V}_r e^{\gamma z}$$
 (111)

$$I(z) = I_i e^{-\gamma z} + I_r e^{\gamma z}$$
 (112)

avec:

$$\frac{\underline{V}_i}{\underline{I}_i} = -\frac{\underline{V}_r}{\underline{I}_r} \tag{113}$$

• si l'axe des abscisses est orienté de la charge vers le générateur :

$$\underline{Y}(z) = \underline{Y}_i e^{\gamma z} + \underline{Y}_r e^{-\gamma z}$$
 (114)

$$I(z) = L_1 e^{\gamma z} + L_r e^{-\gamma z}$$
 (115)

ÉTUDE GÉNÉRALE DE LA PROPAGATION EN GUIDES D'ONDES METALLIQUES

Exprimons, dans ce dernier cas, les ondes progressives incidente et réfléchie par référence à l'onde progressive unité:

• pour l'onde incidente, il est possible d'introduire un facteur  $\underline{A}$  tel que :

$$\underline{V}_{i} e^{\gamma z} = \underline{A} \underline{V}_{0}^{\mu} e^{\gamma z}$$
 (116)

$$I_1 e^{\gamma z} = A I_0^{\mu} e^{\gamma z}$$
 (117)

• pour l'onde réfléchie, il est possible d'introduire un facteur  $\underline{B}$  tel que :

$$\underline{V}_r e^{-\gamma r} = \underline{B} \, \underline{V}_0^u e^{-\gamma r} \tag{118}$$

$$\frac{V_r}{I_r}e^{-\gamma z} = -\underline{B} \, \underline{V}_0^{\mu} e^{-\gamma z} \tag{119}$$

Nous avons affecté cette dernière expression d'un signe moins puisque :

$$\underline{\mathbf{V}}_{r}/\underline{\mathbf{I}}_{r} = -\underline{\mathbf{V}}_{i}/\underline{\mathbf{I}}_{i}$$

Dans ces conditions, l'onde semi-stationnaire s'écrit :

$$\underline{V}(z) = \underline{V}_0^{\mu} (\underline{A} e^{\gamma z} + \underline{B} e^{-\gamma z})$$
 (120)

$$\frac{V(z) = V_0}{I(z) = I_0^0 \left( \underline{A} e^{\gamma z} - \underline{B} e^{-\gamma z} \right)}$$
 (121)

## 13.6.3 Caractérisation de la réflexion en guides d'ondes

## a) L'onde progressive unité

Les champs constituant l'onde électromagnétique (axe des z orienté du générateur vers la charge) ont :

• pour les modes TE et TM, des composantes transversales de la forme :

$$E_{t} = E_{t}(q_{1}, q_{2}) e^{-\gamma z}$$
(122)

 $\bullet$  pour le mode TE, une composante longitudinale du champ H de la forme :

$$H_z = H_z(q_1, q_2) e^{-\gamma z}$$
(124)

• pour le mode TM, une composante longitudinale du champ E de la forme :

E<sub>z</sub> = E<sub>z</sub> (
$$q_1, q_2$$
) e<sup>- $\gamma z$</sup>  (125)

Nous avons établi qu'il y avait propagation selon l'axe Oz d'un régime d'ondes progressives. La densité de puissance active (W/m²) transportée est :

$$\vec{P}_z = \frac{1}{2} \vec{E}_t \wedge \vec{H}_t^* = \frac{1}{2} \vec{E}_t \vec{H}_t^* \dot{z}$$
 (126)

Cette relation est vraie quelle que soit la base de décomposition choisie pour  $\vec{E}_t$ ,  $\vec{H}_t$   $(q_1 = x, q_2 = y \text{ en cartésiennes ou } q_1 = \rho, q_2 = \phi \text{ en polaires}).$ 

$$P = \frac{1}{2} \iint_{S} \underline{E}_{t} \underline{H}_{t}^{*} dS = \frac{e^{-2\alpha z}}{2} \iint_{S} \underline{E}_{t}(q_{1}, q_{2}) \underline{H}_{t}^{*}(q_{1}, q_{2}) dS$$
 (127)

Il existe des valeurs  $\underline{E}_{t}^{u}$  et  $\underline{H}_{t}^{u}$  de  $\underline{E}_{t}$  et  $\underline{H}_{t}$  telles que, pour  $\alpha z = 0$ , cette puissance active transportée est égale à 1/2 Watt. L'onde ainsi définie est l'onde unité. Elle est constituée par les champs :

$$\underline{E}_{1}^{u} = \underline{E}_{1}^{u} (q_{1}, q_{2}) e^{-\gamma z}$$
 (128)

$$\underline{H}_{I}^{u} = \underline{H}_{I}^{u} (q_{1}, q_{2}) e^{-\gamma z}$$
 (129)

#### b) Le régime d'ondes semi-stationnaires

Nous écrirons les ondes incidente et réfléchie composant ce régime par référence à l'onde unité, mais nous orienterons maintenant l'axe des abscisses de la charge vers le générateur (fig. 15).

• Pour l'onde incidente, nous introduirons un facteur  $\underline{A}$  tel que :

$$\underline{E}_{I}^{i} = \underline{A} \, \underline{E}_{I}^{u} (q_{1}, q_{2}) \, \mathrm{e}^{\gamma z} \tag{130}$$

$$\underline{H}_{I}^{i} = \underline{\Lambda} \, \underline{H}_{I}^{u} (q_{1}, q_{2}) \, \mathrm{e}^{\gamma z} \tag{131}$$

• Pour l'onde réfléchie, nous introduirons un facteur  $\underline{B}$  tel que :

$$\underline{E}_{t}^{r} = \underline{B} \, \underline{E}_{t}^{u} (q_{1}, q_{2}) \, \mathrm{e}^{-\gamma z}$$
 (132)

$$\underline{H}_{t}^{r} = -\underline{B} \, \underline{H}_{t}^{u} (q_{1}, q_{2}) e^{-\gamma \epsilon} \tag{133}$$

#### ME

 $(\vec{E_p}, \vec{H_p} - \vec{z})$  et  $(\vec{E_p}, \vec{H_p}, \vec{z})$  doivent former des trièdres directs, par conséquent :

$$\frac{\underline{\mathbf{E}}_{t}^{i}}{\underline{\mathbf{H}}_{t}^{i}} = -\frac{\underline{\mathbf{E}}_{t}^{r}}{\underline{\mathbf{H}}_{t}^{r}} \tag{134}$$

Les champs de l'onde semi-stationnaire s'écriront enfin :

$$\underline{E}_{t} = E_{t}^{u}(q_{1}, q_{2}) \left[ \underline{A} e^{\gamma t} + \underline{B} e^{-\gamma t} \right]$$
 (135)

$$H_{I} = H_{I}^{u} (q_{1}, q_{2}) \left[ \underline{A} e^{\gamma z} - \underline{B} e^{-\gamma z} \right]$$
 (136)

## 13.6.4 Définition d'un coefficient de réflexion généralisé

Grâce au concept d'onde unité que nous venons d'introduire, il a été possible d'écrire:

- les tensions et courants pour les lignes T.E.M (relations (120) et (121)),
- les champs  $E_i$  et  $H_i$  pour les guides d'ondes (relations (135 et (136)), comme étant le produit de deux facteurs dont l'un ne dépend pas du tout de la charge

alors que l'autre contient les termes  $\underline{\Lambda}$  et  $\underline{B}$  qui vont permettre de la caractériser.

Pour faire l'étude de la réflexion, nous nous intéresserons donc, dans tous les cas, aux facteurs :

$$A e^{\gamma z} + \underline{B} e^{-\gamma z} = \underline{U}$$
 (137)

$$\underline{A} e^{\gamma x} - \underline{B} e^{-\gamma x} = \underline{J}$$
 (138)

Nous aurons toujours à l'esprit la signification de  $\underline{U}$  et  $\underline{J}$ :

• pour les lignes T.E.M. :

$$\underline{U} = \frac{\underline{V}(z)}{\underline{V}_0''} \qquad (139) \qquad \text{et} \quad \underline{J} = \frac{\underline{I}(z)}{\underline{I}_0''} \qquad (140)$$

dans ce cas :  $\gamma = \alpha + j\beta$  avec  $\beta = 2\pi/\lambda$ ;

• pour les guides d'ondes :

$$\underline{U} = \frac{\underline{E}_{t}}{\underline{E}_{t}''} \qquad (141) \qquad \text{et} \quad \underline{J} = \frac{\underline{H}_{t}}{\underline{H}_{t}''} \qquad (142)$$

dans ce cas :  $\gamma = \alpha + j\beta$  avec  $\beta = 2\pi/\lambda_{\rho}$ .

Le rapport :

$$\frac{\underline{B} e^{-\gamma z}}{A e^{\gamma z}} = \frac{\underline{B}}{\underline{A}} e^{-2\gamma z} = \underline{\Gamma}(z)$$
 (143)

quotient de l'onde réfléchie du type U par l'onde incidente de même type, apparaît comme le coefficient de réflexion dans un plan d'abscisse z. Ce rapport a pour valeur  $\underline{B}/\underline{A}$  dans le cas particulier où z=0. C'est le coefficient de réflexion de la charge  $\underline{\Gamma}(0) = \underline{\Gamma}_R$ .

Comme  $\Gamma_R$  est un nombre complexe de la forme  $\Gamma_R$  e  $^{]\phi}$ :

$$\underline{\Gamma}(z) = \Gamma_R e^{-2\alpha z} e^{j(\phi - 2\beta z)}$$
 (144)

#### Remarque

C'est par convention que le coefficient de réflexion a été défini à partir d'une onde de type U, c'est-à-dire de tension ou de champ électrique. S'il avait été défini à partir d'une onde de type J, c'est-à-dire de courant ou de champ magnétique, son signe aurait été changé.

## ÉTUDE GÉNÉRALE DE LA PROPAGATION EN GUIDES D'ONDES MÉTALLIQUES

# 13.7 LES CONCEPTS D'IMPÉDANCE, D'IMPÉDANCE D'ONDE ET D'IMPÉDANCE RÉDUITE

## 13.7.1 L'impédance en lignes T.E.M.

Dans ce cas, les expressions de U et J sont équivalentes à :

$$\underline{V}(z) = \underline{V}_0^{\mu} \underline{A} e^{\gamma z} (1 + \underline{\Gamma}_R e^{-2\gamma z})$$
 (145)

$$\underline{I}(z) = \underline{I}_0^{\mu} \underline{A} e^{\gamma z} (1 - \underline{\Gamma}_R e^{-2\gamma z})$$
 (146)

dont le quotient est :

$$Z(z) = Z_c \frac{1 + \prod_R e^{-2\gamma z}}{1 - \prod_R e^{-2\gamma z}}$$
 (147)

Z(z) est l'impédance en un point de la ligne, Z<sub>e</sub> est l'impédance caractéristique de la ligne,

$$Z_R = Z_c \frac{1 + \Gamma_R}{1 - \Gamma_R} \tag{148}$$

est l'impédance de charge pour z = 0.

Rappelons la formule de transformation des impédances :

$$Z(z) = Z_c \frac{Z_R + Z_c \operatorname{th} \gamma z}{Z_c + Z_R \operatorname{th} \gamma z}$$
 (149)

Pour les lignes T.E.M., ces notions d'impédance ont une signification puisqu'il est toujours possible de définir :

- le courant en un point d'abscisse z d'un conducteur,
- la tension dans un plan d'abscisse z de la ligne comme la tension existant entre les deux conducteurs de la ligne bifilaire ou entre le conducteur intérieur et le conducteur extérieur de la ligne coaxiale (dans ce dernier cas, quelque soit le couple de points choisi, le résultat est toujours le même).

## 13.7.2 L'impédance d'onde en guides d'ondes

Dans ce cas, les expressions de U et J sont équivalentes à :

$$E_{t}(z) = E_{t}^{u} \underline{A} e^{\gamma z} (1 + \underline{\Gamma}_{R} e^{-2\gamma z})$$
 (150)

$$\underline{H}_{t}(z) = \underline{H}_{t}^{u} \underline{A} e^{\gamma z} (1 - \underline{\Gamma}_{R} e^{-2\gamma z})$$
 (151)

dont le quotient est : 
$$\underline{\zeta}(z) = \zeta \frac{1 + \Gamma_R e^{-2\gamma z}}{1 - \Gamma_R e^{-2\gamma z}}$$
 (152)

 $\zeta(z)$  est l'impédance d'onde en un point de la ligne,  $\zeta_{TE}$  est l'impédance d'onde propre au mode TE ou TM,

$$\underline{\zeta}(0) = \underline{\zeta}_R = \zeta_{\text{TE}} \frac{1 + \underline{\Gamma}_R}{1 - \underline{\Gamma}_R}$$
(153)

est l'impédance d'onde au niveau de charge (z = 0).

À partir de (152) et (153), on démontre la formule de transformation des impédances d'onde :

$$\underline{\zeta}(z) = \zeta_{\frac{\text{TE}}{\text{TM}}} \frac{\zeta_R + \zeta_{\frac{\text{TE}}{\text{TM}}} \text{th } \gamma z}{\zeta_{\frac{\text{TE}}{\text{TM}}} + \zeta_R \text{ th } \gamma z}$$
(154)

La comparaison des formules (152) et (147) ou celle des formules (154) et (149), nous montre qu'en guides d'ondes, c'est l'impédance d'onde qui joue le même rôle que l'impédance pour les lignes T.E.M. En effet, le concept d'impédance au sens classique (rapport tension/courant) n'a pas de signification physique en guides d'ondes : si le courant en un point d'abscisse z peut être défini comme la circulation du champ magnétique le long du contour du guide, par contre la tension dans un plan de section transverse ne peut pas être définie d'une façon unique, en raison de l'ambiguité sur le choix du couple de points entre lesquels elle doit être déterminée.

En guide d'ondes, on peut donc utiliser le formalisme établi en lignes T.E.M., à condition d'y remplacer l'impédance par l'impédance d'onde. En particulier, l'impédance d'onde TE ou TM doit être substituée à l'impédance caractéristique d'une ligne. Cependant, alors que l'impédance caractéristique d'une ligne T.E.M. est propre à cette ligne, l'impédance d'onde d'un guide est propre à un type de propagation TE ou TM dans ce guide et, plus spécifiquement encore, à l'ordre mn du mode qui s'y propage. Il n'est donc pas possible, en toute rigueur, de parler d'impédance caractéristique d'un guide d'ondes.

## 13.7.3 L'impédance réduite

La seule quantité qui ait la même signification physique – car directement et uniquement liée au coefficient de réflexion – aussi bien pour les lignes T.E.M. que pour les guides d'ondes, est :

$$\frac{1 + \Gamma_R e^{-2\gamma z}}{1 - \Gamma_R e^{-2\gamma z}} \tag{155}$$

- pour les lignes T.E.M. elle est le quotient  $Z(z)/Z_c$ ,
- pour les guides d'ondes, elle est le quotient  $\zeta(z)/\zeta_{TE \text{ ou }TM}$ .

Elle est appelée impédance réduite. Son nom, qui est lié à la façon dont elle est généralement introduite, ne doit pas faire oublier qu'il s'agit d'un nombre sans dimension et d'un concept qui n'a rien à voir avec le concept classique d'impédance.

Nous noterons cette impédance réduite par un z minuscule souligné d'une part parce que c'est, en général, une quantité complexe, d'autre part afin d'éviter toute confusion avec la coordonnée z qui repère un point de la ligne ou du guide.

Comme  $\Gamma_R e^{-2\gamma z} = \Gamma(z)$ , la relation (155) s'écrit :

$$z = \frac{1 + \underline{\Gamma}(z)}{1 - \underline{\Gamma}(z)} \tag{156}$$

Si nous nous plaçons en z = 0, sur la charge, nous avons :

$$z_R = \frac{1 + \Gamma_R}{1 - \Gamma_R} \tag{157}$$

On peut aussi exprimer  $\Gamma$  ou  $\Gamma_R$  en fonction de  $\zeta$  ou  $\zeta_R$ :

$$\underline{\Gamma}(z) = \frac{z-1}{z+1} \tag{158}$$

$$\Gamma_R = \frac{z_R - 1}{z_R + 1} \tag{159}$$

Rappelons que ces relations sont à la base du diagramme de Smith qui a été étudié au chapitre 4 « Diagramme de Smith ».

#### **EXERCICES**



#### **EXERCICE 13.1**

(Paragraphe 13.3.1 – Qndes TE ou TM telles que  $k_c^2 > 0$ )

Une onde de fréquence f = 3 GHz, traversant une section de guide d'ondes de longueur  $\ell = 2$  cm, rempli d'un diélectrique de permittivité relative  $\varepsilon_r$ , subit un déphasage de 288°. On sait, de plus, que la fréquence de coupure du guide d'ondes vide est de 9 GHz. Quelle est la valeur de  $\varepsilon_r$ ?



#### **EXERCICE 13.2**

(Paragraphe 13.4 – Les guides d'ondes rectangulaires)

Le guide d'ondes standard français de la bande X (8,2-12,4 GHz) avait pour dimensions : a = 20 mm et b = 10 mm. Supposons que ce guide soit rempli d'un diélectrique de permittivité relative  $\varepsilon_r = 2,56$ .

- Trouver par le calcul les modes TE propagatifs jusqu'à 15 GHz.
- 2) Retrouver ce résultat par une méthode graphique, en portant en abscisses (ordonnées) les points représentatifs du rapport m/a (n/b) et en traçant les droites passant par ces points.



#### **EXERCICE 13.3.**

(Paragraphe 13.4 – Les guides d'ondes rectangulaires) -

Quelle est la hande passante maximale d'un guide rectangulaire en mode fondamental.

sachant que ses dimensions ne peuvent êtinférieures à  $\lambda/2$ . Pour avoir une telle banquelle relation doit-il y avoir entre les dimesions a et b du guide?



#### **EXERCICE 13.4**

(Paragraphe 13.4 – Les guides d'ondes rectangulaires)

On considère un guide d'ondes rectangular dont les dimensions a et b sont très voisines telles que :  $a \ge b$ . Ce guide est excité simulanément en polarisations horizontale et vertical

- 1) a) Entre quelles limites doivent être con prises les dimensions a et b de ce gui pour qu'une onde occupant la bande fréquences  $(f_1, f_2 > f_1)$  puisse s'y propager selon les deux modes fondame taux  $TE_{10}$  et  $TE_{01}$ , à l'exclusion de toles modes d'ordre supérieur.
  - b) Quelle relation doit-il y avoir entre  $f_1$   $f_2$  pour que le problème soit possible? Montrer que le choix de a = 1.8 cm b = 1.7 cm est bien justifié si l'on pres  $f_1 = 9$  GHz et  $f_2 = 11$  GHz.
- 2) a) À une fréquence f, quel déphasage tronçon de ce guide, de longueur L, introduit-il entre les deux composantes champs  $\vec{E}$  qui se propagent ?
- b) Quelle doit être sa longueur  $L_0$  pour que une fréquence  $f_0 = 10$  GHz, il produiune onde à polarisation circulaire?



#### **EXERCICE 13.5**

(Paragraphe 13.5 - Les guides d'ondes circulaires)

- 1) Rayon a d'un guide d'ondes circulaire pour qu'il ne propage que le mode fondamental TE<sub>11</sub> de 16 à 18 GHz.
- 2) On prend a = 0.6 cm. Quels sont les modes qui peuvent se propager jusqu'à 35 GHz?



#### **EXERCICE 13.6**

(Paragraphe 13.5 - Les guides d'ondes circulaires)

Un guide d'ondes circulaire est excité de telle sorte que seuls des modes TM peuvent s'y propager.

- À 10 GHz, déterminer entre quelles limites doit être compris le rayon a de ce guide pour qu'il ne s'y propage que le mode TM<sub>01</sub>.
- 2) On choisit a = 1.5 cm. Quelle est la bande passante de ce mode  $TM_{01}$ ?



#### **EXERCICE 13.7**

(Paragraphe 13.7 - Le concept d'impédance, d'impédance d'onde et d'impédance réduite)

Le guide d'ondes standard de la bande X (a = 22,86 mm, b = 10,16 mm) est alimenté par un générateur de fréquence 10 GHz et est terminé par un court-circuit.

Dans une première expérience, ce guide est rempli d'air et l'on pointe la position d'un minimum nul de champ électrique à une distance  $z_m$  du court-circuit pris pour origine.

Dans une seconde expérience, on place contre le court-circuit un morceau de diélectrique sans perte qui remplit complètement le guide sur une longueur  $\ell=1,5$  cm. Soient  $\epsilon=\epsilon_0$   $\epsilon_r$  et  $\mu=\mu_0$  les paramètres caractéristiques de ce diélectrique. On retrouve un minimum nul de champ électrique en se déplaçant de d=0,97 cm vers le générateur à partir du précédent minimum.

- 1) Quelles sont les expressions des impédances d'onde du mode fondamental  $TE_{10}$  dans la partie où le guide est rempli d'air (soit  $\zeta_{10}^a$ ) et dans la partie où il est rempli de diélectrique (soit  $\zeta_{10}^d$ ), en fonction de  $\mu_0$ ,  $\varepsilon_0$ ,  $\lambda_0$ ,  $\varepsilon_r$ ,  $\lambda$  et  $\lambda_c$ .
- 2) Dans le cas où le guide est totalement rempli d'air, déterminer  $\underline{\zeta}(z)$  et la distance  $z_m$ .
- 3) Dans le cas où le guide est partiellement rempli de diélectrique :
  - a) Déterminer  $\underline{\zeta}(\ell)$  à l'interface diélectriqueair.
  - b) Déterminer  $\underline{\zeta}(s+\ell)$  à une distance s de cette interface dans le tronçon rempli d'air.
- Écrire la condition qui est imposée à ζ(s + ℓ) en un minimum nul de champ électrique. En déduire la valeur de ε<sub>r</sub>.

### **Chapitre 14**

# Les guides d'ondes diélectriques

#### **14.1** INTRODUCTION

De même qu'il existe des guides d'ondes « métalliques » où les ondes électromagnétiques (O.E.M.) se propagent à l'intérieur d'un diélectrique délimité par une enveloppe métallique, il existe aussi des guides d'ondes « diélectriques » où les O.E.M. se propagent à l'intérieur d'un diélectrique délimité par une enveloppe constituée par un autre diélectrique (fig. 1).

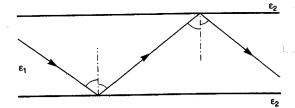


Figure 1.
Propagation du
un guide di

Les guides diélectriques sont, en général, constitués par des cylindres de diélectrique (fig. 2) dont la permittivité  $\varepsilon_1$  est supérieure à la permittivité  $\varepsilon_2$  du milieu extérieur. La partie centrale est appelée le cœur (core, en anglais) tandis que la partie située autour est appelée la gaine (en anglais, cladding).

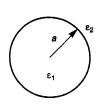


Figure 2. Coupe trans



#### **EXERCICE 13.5**

(Paragraphe 13.5 - Les guides d'ondes circulaires)

- 1) Rayon a d'un guide d'ondes circulaire pour qu'il ne propage que le mode fondamental TE<sub>11</sub> de 16 à 18 GHz.
- 2) On prend a = 0.6 cm. Quels sont les modes qui peuvent se propager jusqu'à 35 GHz?



#### **EXERCICE 13.6**

(Paragraphe 13.5 - Les guides d'ondes circulaires)

Un guide d'ondes circulaire est excité de telle sorte que seuls des modes TM peuvent s'y propager.

- À 10 GHz, déterminer entre quelles limites doit être compris le rayon a de ce guide pour qu'il ne s'y propage que le mode TM<sub>01</sub>.
- 2) On choisit a = 1.5 cm. Quelle est la bande passante de ce mode  $TM_{01}$ ?



#### **EXERCICE 13.7**

(Paragraphe 13.7 - Le concept d'impédance, d'impédance d'onde et d'impédance réduite)

Le guide d'ondes standard de la bande X (a = 22,86 mm, b = 10,16 mm) est alimenté par un générateur de fréquence 10 GHz et est terminé par un court-circuit.

Dans une première expérience, ce guide est rempli d'air et l'on pointe la position d'un minimum nul de champ électrique à une distance  $z_m$  du court-circuit pris pour origine.

Dans une seconde expérience, on place contre le court-circuit un morceau de diélectrique sans perte qui remplit complètement le guide sur une longueur  $\ell=1,5$  cm. Soient  $\epsilon=\epsilon_0$   $\epsilon_r$  et  $\mu=\mu_0$  les paramètres caractéristiques de ce diélectrique. On retrouve un minimum nul de champ électrique en se déplaçant de d=0,97 cm vers le générateur à partir du précédent minimum.

- 1) Quelles sont les expressions des impédances d'onde du mode fondamental  $TE_{10}$  dans la partie où le guide est rempli d'air (soit  $\zeta_{10}^a$ ) et dans la partie où il est rempli de diélectrique (soit  $\zeta_{10}^d$ ), en fonction de  $\mu_0$ ,  $\varepsilon_0$ ,  $\lambda_0$ ,  $\varepsilon_r$ ,  $\lambda$  et  $\lambda_c$ .
- 2) Dans le cas où le guide est totalement rempli d'air, déterminer  $\underline{\zeta}(z)$  et la distance  $z_m$ .
- 3) Dans le cas où le guide est partiellement rempli de diélectrique :
  - a) Déterminer  $\underline{\zeta}(\ell)$  à l'interface diélectriqueair.
  - b) Déterminer  $\underline{\zeta}(s+\ell)$  à une distance s de cette interface dans le tronçon rempli d'air.
- Écrire la condition qui est imposée à ζ(s + ℓ) en un minimum nul de champ électrique. En déduire la valeur de ε<sub>r</sub>.

### **Chapitre 14**

# Les guides d'ondes diélectriques

#### **14.1** INTRODUCTION

De même qu'il existe des guides d'ondes « métalliques » où les ondes électromagnétiques (O.E.M.) se propagent à l'intérieur d'un diélectrique délimité par une enveloppe métallique, il existe aussi des guides d'ondes « diélectriques » où les O.E.M. se propagent à l'intérieur d'un diélectrique délimité par une enveloppe constituée par un autre diélectrique (fig. 1).

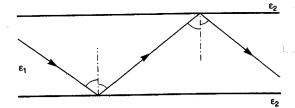


Figure 1.
Propagation du
un guide di

Les guides diélectriques sont, en général, constitués par des cylindres de diélectrique (fig. 2) dont la permittivité  $\varepsilon_1$  est supérieure à la permittivité  $\varepsilon_2$  du milieu extérieur. La partie centrale est appelée le cœur (core, en anglais) tandis que la partie située autour est appelée la gaine (en anglais, cladding).

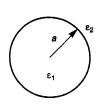


Figure 2. Coupe trans igure 1

Rappelons que la permittivité absolue  $\varepsilon$  et la permittivité relative  $\varepsilon_r$  d'un milieu diélectrique sont liées par la relation  $\varepsilon = \varepsilon_0 \, \varepsilon_r$  dans laquelle  $\varepsilon_0 \, (F/m) = 1/(36\pi \cdot 10^9)$  est la permittivité absolue de l'air ou du vide.

p'autre part, la racine carrée de la permittivité relative d'un milieu est son indice de réfraction n:

 $n = \sqrt{\varepsilon_r} \tag{1}$ 

pans ce chapitre, nous utiliserons indifféremment l'un ou l'autre.

Rappelons aussi que la longueur d'onde dans un diélectrique de permittivité  $\epsilon_r$  se calcule d'après :

$$\lambda = \frac{v}{f} = \frac{c}{\sqrt{\varepsilon_r}} \cdot \frac{1}{f} = \frac{\lambda_0}{\sqrt{\varepsilon_r}} = \frac{\lambda_0}{n}$$
 (2)

$$\lambda_0 = \frac{c}{f}$$
, avec  $c = 3 \cdot 10^8 \text{ m/s}$  (3)

est la longueur d'onde dans l'air ou le vide. Pour qu'il n'y ait pas d'ambiguïté, nous la noterons toujours  $\lambda_0$ ; nous réserverons la notation  $\lambda$  à la longueur d'onde dans un diélectrique autre que l'air.

Dans ce chapitre, nous étudierons la propagation à l'intérieur des guides d'ondes diélectriques en utilisant soit le concept de rayons (§ 14.2, 14.4 et 14.5) soit le concept d'ondes (§ 14.3, 14.6 et 14.7). Nous verrons qu'il s'agit d'une propagation par modes, comme pour la propagation en guides d'ondes métalliques.

La fréquence de fonctionnement optimale se situant dans le domaine des fréquences optiques, on a donné aux réalisations technologiques de ces guides diélectriques, le nom de fibres optiques.

## PROPAGATION EN GUIDES DIÉLECTRIQUES À STRUCTURE PLANE

## 14.2.1 Réflexion sur une interface plane entre deux diélectriques

Considérons deux milieux diélectriques de permittivités  $\varepsilon_1$  et  $\varepsilon_2$ , séparés par une surface plane  $\Sigma$  (fig. 3). Soient  $\theta_1$  et  $\theta_2$  les angles que font les directions de propagation des ondes, dans chacun de ces milieux, par rapport à la normale à  $\Sigma$ .

Nous résumons ci-après les résultats démontrés au paragraphe 11.4 « Réflexion et transmission à l'interface de deux diélectriques » dans les deux cas fondamentaux de polarisation :

- Cas TE où  $\vec{E}$  est perpendiculaire (et  $\vec{H}$  parallèle) au plan d'incidence.
- Cas TM où  $\vec{H}$  est perpendiculaire (et  $\vec{E}$  parallèle) au plan d'incidence.

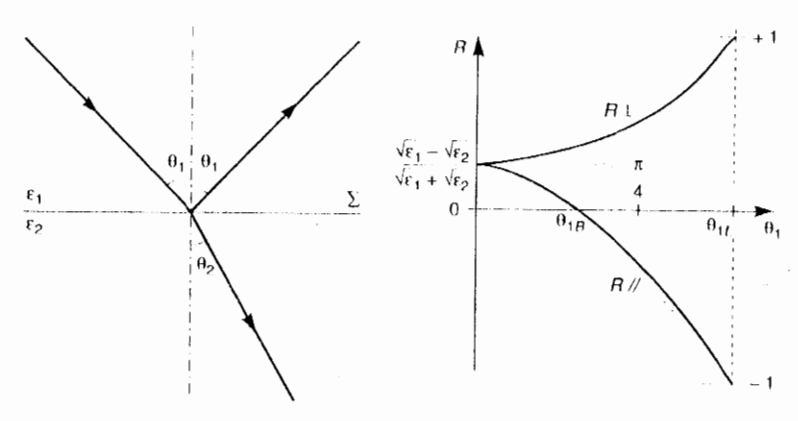


Figure 3.
Réfraction et réflexion à l'interface de deux milieux diélectriques.

Figure 4. Variations de  $R_{\perp}$  et  $R_{//}$  pour  $0 \le \theta_1 \le \theta_{1/}$ .

Le coefficient de réflexion du champ  $\vec{E}$  est donné respectivement par :

$$R_{\perp} = \frac{\sqrt{\varepsilon_1 \cos \theta_1} - \sqrt{\varepsilon_2 \cos \theta_2}}{\sqrt{\varepsilon_1 \cos \theta_1} + \sqrt{\varepsilon_2 \cos \theta_2}} \quad \text{dans le cas TE}$$
 (4)

$$R_{\parallel} = \frac{\sqrt{\varepsilon_1 \cos \theta_2} - \sqrt{\varepsilon_2 \cos \theta_1}}{\sqrt{\varepsilon_1 \cos \theta_2} + \sqrt{\varepsilon_2 \cos \theta_1}}$$
 dans le cas TM (5)

D'après la loi de Descartes :

$$\sqrt{\varepsilon_1}\sin\theta_1 = \sqrt{\varepsilon_2}\sin\theta_2 \tag{6}$$

Si  $\epsilon_1 > \epsilon_2$ , cela implique que  $\theta_1 < \theta_2$ . Les limites de variation de  $\theta_1$  et  $\theta_2$  sont donc :  $0 \le \theta_1 \le \theta_{4L}$  et  $0 \le \theta_2 \le \pi/2$ .

L'angle 
$$\theta_{1L}$$
 est donné par :  $\sin \theta_{1L} = \sqrt{\frac{\tilde{\epsilon}_2}{\tilde{\epsilon}_1}}$  (7)

• Si 
$$\theta_1 = \theta_2 = 0$$
,  $R_1 = R_H = \frac{\sqrt{\varepsilon_1} - \sqrt{\varepsilon_2}}{\sqrt{\varepsilon_1} + \sqrt{\varepsilon_2}} > 0$  (8)

• Si 
$$\theta_1 = \theta_{1L}$$
 et  $\theta_2 = \pi/2$ ,  $R_{\perp} = +1$  et  $R_{H} = -1$ .

La figure 4 montre les variations de  $R_{\perp}$  et  $R_{ll}$  quand  $\theta_1$  varie entre 0 et  $\theta_{1L}$ . Nous notons qu'il y a une valeur de  $\theta_1$  pour laquelle  $R_{ll} = 0$ : c'est l'incidence Brewsterienne correspondant à  $\theta_{1B} = \arctan \sqrt{\varepsilon_2/\varepsilon_1}$ . D'autre part, pour l'angle

$$\theta_{1L} = \arcsin\sqrt{\frac{\varepsilon_2}{\varepsilon_1}}$$
 (9)

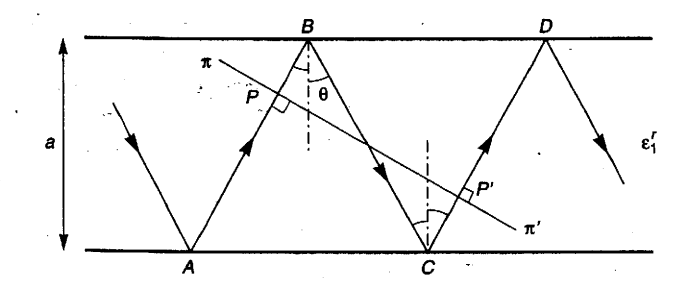
il y a réflexion totale dans les deux polarisations.

Considérons (fig. 1) une couche de diélectrique de permittivité  $\varepsilon_1$ , entourée par deux autres couches de permittivité  $\varepsilon_2 < \varepsilon_1$ . Si  $\theta_1 \ge \theta_{1L}$ , nous pouvons donc avoir propagation par réflexions successives à l'interface entre les deux couches de diélectrique. C'est le principe des guides d'ondes diélectriques.

#### 14.2.2 Les modes de propagation

La condition de propagation guidée  $\theta_1 \ge \theta_{1L}$  est nécessaire, mais elle n'est pas suffisante.

Figure 5.
Plans d'onde π et π'
correspondant
aux directions
de propagation
AB et CD.



Considérons, en effet, deux directions de propagation parallèles (fig. 5) telles que AB et CD et deux plans d'onde  $\pi$  et  $\pi$ ', relatifs à ces deux directions, qui sont confondus. Pour que les champs correspondant à ces plans d'onde s'additionnent et donnent donc lieu à propagation, il faut qu'ils soient déphasés de  $2m\pi$ . Or, le déphasage dû au parcours PBCP' est:

$$\varphi = \frac{2\pi}{\lambda_1} (2a\cos\theta) = \frac{4\pi a}{\lambda_1} \cos\theta \tag{10}$$

Soit  $\varphi'$  le déphasage dû à chacune des réflexions en B et C. Ce déphasage dépend de l'angle d'incidence  $\theta$ , mais aussi du cas de polarisation étudié : cas TE (TM) si  $\vec{E}(\vec{H})$  est perpendiculaire au plan de la figure.

Le déphasage total est :  $\varphi + 2\varphi$ '. Il doit être égal à  $2m\pi$ . Il y a donc une suite de valeurs de  $\theta$  possibles correspondant à la suite des valeurs de m: soient  $(\theta_e, m_e)$  dans le cas TE et  $(\theta_h, m_h)$  dans le cas TM. Comme certaines de ces valeurs sont différentes alors que d'autres sont identiques, il en résulte que la propagation en guides diélectriques se fait par modes TE et TM séparés ou par modes TE et TM

superposés que l'on appelle modes hybrides et qui sont notés HE (pour TE + TM si le mode TE est prépondérant) ou EH (pour TM + TE si le mode TM est prépondérant).

Le nombre M de modes (TE ou TM) pouvant se propager dans un guide diélectrique à structure plane, dont la couche centrale a une épaisseur a, peut se calculer par la formule :

$$M = 2\sqrt{\varepsilon_{1r} - \varepsilon_{2r}} \frac{a}{\lambda_0}$$
 (11)

### **14.3** PROPAGATION EN GUIDES DIÉLECTRIQUES À STRUCTURE CYLINDRIQUE

Ces guides diélectriques (fig. 2) sont constitués d'une partie centrale, de rayon a, appelée le cœur dont la permittivité relative est  $\varepsilon_{1r}$  et d'une enveloppe appelée la gaine dont la permittivité relative est  $\varepsilon_{2r}$ . La propagation dans ces guides se fait également par modes TE, TM, EH et HE; elle sera étudiée en détail au paragraphe 14.6 « Théorie électromagnétique des guides diélectriques ».

#### 14.3.1 Le mode fondamental

Le mode fondamental est le mode hybride  $\mathrm{HE}_{11}$  dont la fréquence de coupure est théoriquement nulle. Les premiers modes d'ordre supérieur sont les modes  $\mathrm{TE}_{01}$  et  $\mathrm{TM}_{01}$  dont la fréquence de coupure est :

$$f_c^{01} = \frac{2,405c}{2\pi a \sqrt{\varepsilon_{1r} - \varepsilon_{2r}}}$$
 (12)

Pour que le mode fondamental se propage seul, il faut que  $f\!<\!f_c^{01}$ , d'où l'on tire :

• si 
$$a$$
 est donné: 
$$f < \frac{2,405c}{2\pi a \sqrt{\varepsilon_{1r} - \varepsilon_{2r}}}$$
 (13)

• si 
$$f$$
 est donnée : 
$$a < \frac{2,405c}{2\pi f \sqrt{\varepsilon_{1r} - \varepsilon_{2r}}}$$
 (14)

Il est également possible de raisonner en longueurs d'ondes. La longueur d'onde de coupure est :

$$\lambda_c^{01} = \frac{v}{f_c^{01}} = \frac{c}{\sqrt{\varepsilon_{1r}}} \cdot \frac{1}{f_c^{01}}$$
 (15)

D'où:  $\lambda_c^{01} = \frac{2\pi a}{2,405} \sqrt{\frac{\varepsilon_{1r} - \varepsilon_{2r}}{\varepsilon_{1r}}}$  (16)

soit:  $\lambda_c^{01} = \frac{2\pi a}{2,405} \sqrt{\Delta} \quad \text{avec } \Delta = \frac{\varepsilon_{1r} - \varepsilon_{2r}}{\varepsilon_{1r}}$  (17)

Δ est la différence relative de permittivité entre le cœur et la gaine.

Pour que le mode fondamental se propage seul, il faut que  $\lambda_1 > \lambda_c^{01}$ , d'où l'on tire :

• si 
$$a$$
 est donné :  $\lambda_1 > \frac{2\pi a}{2.405} \sqrt{\Delta}$  (18)

• si 
$$\lambda$$
 est donnée :  $a < \frac{2,405 \lambda_1}{2\pi} \sqrt{\frac{1}{\Delta}}$  (19)

#### Remarque

La longueur d'onde  $\lambda_l$  intervenant dans ces formules est celle dans le diélectrique qui constitue le cœur. Elle est reliée à la longueur d'onde  $\lambda_0 = c/f$  dans le vide (ou l'air) par  $\lambda_1 = \lambda_0/\sqrt{\varepsilon_{lr}}$ . Si l'on veut exprimer ces conditions par rapport à  $\lambda_D$  il faut donc écrire :

$$\lambda_0 > \frac{2\pi a}{2.405} \sqrt{\varepsilon_h - \varepsilon_{2r}} \tag{20}$$

ou 
$$a < \frac{2.405 \lambda_0}{2\pi} \cdot \frac{1}{\sqrt{\varepsilon_{Ir} - \varepsilon_{2r}}}$$
 (21)

Nous voyons que ces conditions seront d'autant plus faciles à tenir que la différence de permittivité entre le cœur et la gaine sera plus petite ; d'où le choix de permittivités très voisines pour le cœur et la gaine.

#### Exemple

$$n_1 = 1,456 \text{ (silice) et } n_2 = 1,450 \text{ (silicone)}$$

$$\sqrt{\varepsilon_{l_1} - \varepsilon_{2r}} = \sqrt{1,456^2 - 1,450^2} = 0,132$$

$$\Rightarrow 2a < \frac{2,405}{\pi} \cdot \frac{l}{0,132} \lambda_0 \approx 5,8 \lambda_0.$$

Le diamètre du cœur doit donc être inférieur à 5,8  $\lambda_0$ .

Mais pour que la propagation du fondamental s'effectue en quasi-totalité à l'intérieur du cœur – avec le minimum de pertes – on a intérêt à ce que les dimensions du cœur soient aussi grandes que possible. C'est pourquoi on utilise, dans la pratique, des cœurs dont le diamètre correspond à la limite supérieure autorisée soit, dans cet exemple,  $5.8\ \lambda_0$ .

#### 14.3.2 Choix d'une fréquence optimale

Pour le mode fondamental. l'affaiblissement de propagation est donné par :

$$\alpha (dB/m) = 91F (GHz) \sqrt{\varepsilon_{1r}} tg \delta$$
 (22)

Or, alors que  $\varepsilon_{1r}$  ne dépend pas de la fréquence, en revanche tg  $\delta$  en dépend. Par conséquent, la propagation en guides diélectriques ne pourra être envisagée que dans la mesure où le produit F tg  $\delta$  aura une valeur suffisamment faible.

• Aux fréquences radioélectriques, tg  $\delta$  reste à peu près constant ou croît très légèrement avec la fréquence. C'est ainsi que pour le polyéthylène à 10 GHz, tg  $\delta = 0.35 \cdot 10^{-3}$  et  $\epsilon_{1r} = 2.25$ . Dans ces conditions :

$$\alpha = 91 \cdot 10 \cdot \sqrt{2,25} \cdot 0,35 \cdot 10^{-3} \approx 0,4 \text{ dB/m}.$$

Une telle atténuation est prohibitive pour les télécommunications (400 dB/km). Il y aurait la solution d'opérer à des fréquences cent fois plus faibles (100 MHz  $\rightarrow \alpha = 4$  dB/km) mais alors les dimensions du guide deviendraient beaucoup trop grandes puisque nous avons vu qu'elles sont de quelques longueurs d'onde.

• Aux fréquences optiques, c'est-à-dire à des fréquences de l'ordre de 300 THz (1 THz =  $10^{14}$  Hz) où la longueur d'onde est de l'ordre du micron, plusieurs matériaux ont la propriété remarquable de présenter, dans certaines gammes de fréquences, des « fenêtres » transparentes où leurs pertes sont très faibles. Ainsi, à 500 THz ( $\lambda_0 = 0.6 \,\mu\text{m}$ ) la silice a un tg  $\delta = 15 \cdot 10^{-11}$  et  $\epsilon_{1r} = 2.25$ . Nous avons alors :  $\alpha = 91 \cdot 500 \cdot 10^3 \cdot 1.5 \cdot 15 \cdot 10^{-11} \approx 0.01 \, \text{dB/m}$ .

Soit une perte de 10 dB/km acceptable pour les télécommunications.

Avec des silices spéciales, des affaiblissements de 1 dB/km, et même moins, ont pu être obtenus. C'est pourquoi les guides d'ondes diélectriques sont utilisés aux fréquences optiques où ils sont, en fait, connus sous le nom de fibres optiques.

#### **14.4** Les Fibres Optiques

Il y a deux types de fibres:

- les fibres monomodes, dont le diamètre est de quelques longueurs d'onde,
- les fibres multimodes, dont le diamètre est de plusieurs dizaines de  $\lambda$ .

#### 14.4.1 Les fibres monomodes

Les fibres monomodes ne propagent que le mode fondamental HE<sub>11</sub>. Ceci est très intéressant car, puisque l'O.E.M. n'a qu'un seul mode de propagation, elle

n'a qu'une seule vitesse de phase et son parcours (fig. 6), par réflexions successives à l'intérieur du cœur de la fibre, est unique et bien défini : il n'y a donc pas de distorsion de phase et les signaux sont transmis sans déformation.

Figure 6.

Propagation dans une fibre monomode à saut d'indice.

Figure 7.

d'indice,

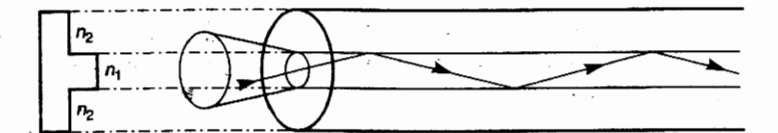
d'indice.

Propagation dans les

fibres multimodes.

b. fibre à gradient

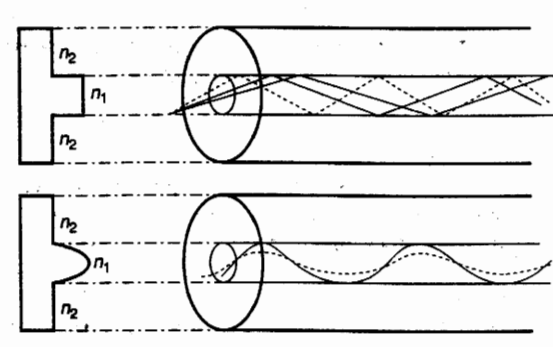
a. fibre à saut



Ces fibres conviennent donc très bien pour la transmission de signaux analogiques ou de signaux numériques occupant une large bande de fréquences (1 GHz) et sur de très grandes distances (50 à 100 km) sans répéteur. Comme la dimension du cœur est de l'ordre de quelques longueurs d'onde dans le cœur (c'est-à-dire de 4 à 8  $\mu$ m), ces fibres monomodes sont très difficiles à réaliser et le raccordement de deux tronçons de fibres pose de délicats problèmes de connectique. Par exemple, si le rapport des surfaces en regard, après connexion, est de 0,8, seule 80 % de la puissance sera transmise, ce qui correspond à une perte de -1 dB.

C'est pourquoi, dans bien des applications où il est possible d'accepter une certaine distorsion des signaux transmis – notamment pour la transmission numérique par impulsions, où celles-ci sont régénérées à la réception – l'on préfère utiliser des fibres de plusieurs dizaines de microns, qui sont multimodes.

#### 14.4.2 Les fibres multimodes



Les fibres multimodes propagent donc plusieurs modes qui ont des vitesses de phase différentes et des parcours différents, d'où distorsion de phase pour le signal transmis.

Cet inconvénient est particulièrement

sensible dans les fibres multimodes à saut d'indice (fig. 7a) dans lesquelles les temps de parcours sont directement proportionnels aux longueurs des trajets puisque la propagation s'effectue dans un milieu à indice constant.

Cet inconvénient peut être limité dans les fibres multimodes à gradient d'indice où l'indice du cœur diminue progressivement depuis l'axe de la fibre où il a une valeur  $n_1$  jusqu'à la périphérie du cœur où il a une valeur  $n_2$  égale à celle de la

gaine (fig. 7b). Il en résulte que les parcours caractéristiques des divers modes sont incurvés de telle sorte que :

- pour les modes dont le parcours est le plus long, les vitesses de phase augmentent au fur et à mesure qu'ils pénètrent dans des zones dont l'indice diminue,
- pour les modes dont le parcours est le plus court, les vitesses de phase sont plus faibles puisqu'ils se situent dans des zones où l'indice reste relativement élevé.

Ainsi, en déterminant convenablement la loi de variation de l'indice, il est possible d'obtenir des temps de parcours qui sont à peu près les mêmes pour les divers modes, ce qui permet de limiter la distorsion de phase (également appelée dispersion modale).

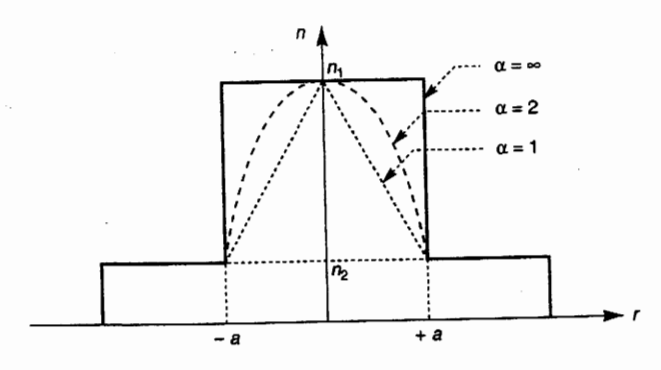


Figure 8.
Profils d'indid
quelques vale
paramètre α

La variation de l'indice dans le cœur (fig. 8) peut être représentée par une loi du type :

$$n(r) = n_1 \left[ 1 - 2\Delta \left( \frac{r}{a} \right)^{\alpha} \right]^{\frac{1}{2}} \quad \text{où } 0 \le r \le a$$
 (23)

$$\Delta = \frac{n_1 - n_2}{n_1} \tag{24}$$

Δ est la différence relative d'indice.

r est la distance radiale comptée depuis l'axe de la fibre.

α est un paramètre caractéristique du profil.

Pour  $\alpha = \infty$ ,  $n(r) = n_1$  pour r < a et  $n(r) = n_2$  pour r = a. C'est le cas limite de la fibre à saut d'indice. Pour  $\alpha = 2$ , le profil d'indice suit une loi parabolique ; c'est cette loi qui permet de limiter le mieux la distorsion de phase.

Le nombre de modes M transportés par une fibre multimodes se calcule à partir du carré du paramètre

$$V = \frac{2\pi a}{\lambda_0} \sqrt{n_1^2 - n_2^2}$$
 (25)

appelé la « fréquence normalisée » de la fibre ;

in motions

• pour une fibre à saut d'indice :

$$M = \frac{V^2}{2} \tag{26}$$

pour une fibre à gradient d'indice et profil parabolique :

$$M = \frac{V^2}{4} \tag{27}$$

pour une fibre à gradient d'indice et profil de paramètre α quelconque :

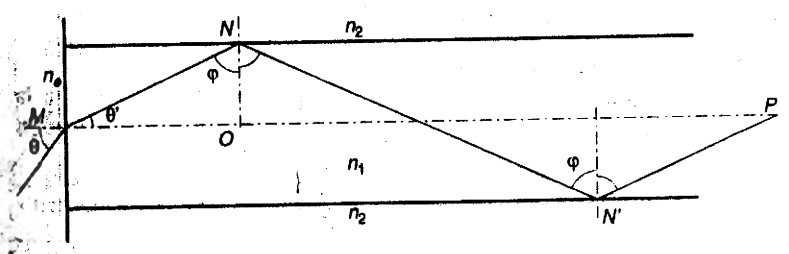
$$M = \frac{\alpha}{\alpha + 2} \cdot \frac{V^2}{2} \tag{28}$$

Les fibres multimodes à saut d'indice ne sont utilisées que pour des liaisons à courte distance (de l'ordre du km) ; elles ont des diamètres de cœur de l'ordre de 100 à 200 µm. Les fibres multimodes à gradient d'indice sont utilisées dans les liaisons terrestres à large bande passante (100 MHz) et sur des distances d'une dizaine de kilomètres sans répéteur. Le diamètre de leur cœur est de l'ordre de  $50\,\mu m$  et celui de leur gaine de 125  $\mu m$ 

#### CARACTÉRISTIQUES DES FIBRES OPTIQUES

#### 14.5.1 L'ouverture numérique

Il y a une relation entre l'angle de réflexion à l'interface entre les deux diélectriques, et l'angle d'incidence de l'onde produite par le dispositif d'émission, sur la face d'entrée du guide d'ondes diélectrique. Traitons le cas (fig. 9) d'un guide diélectrique dont le cœur et la gaine sont respectivement caractérisés par des indices  $n_1 = \sqrt{\varepsilon_{1r}}$  et  $n_2 = \sqrt{\varepsilon_{2r}}$  et dont le face d'entrée se trouve plongée dans un milieu extérieur d'indice  $n_e$ .



Loi de Descartes en M:

 $n_e \sin \theta = n_1 \sin \theta$ 

Loi de Descartes en N: Dans le triangle MON:  $n_1 \sin \phi = n_2 \sin \phi$  $\theta' + \phi = \pi/2.$ 

Pour qu'il y ait réflexion totale en N, il faut que o soit supérieur ou égal à l'angle limite  $\phi_m$  tel que  $\phi_m = \arcsin(n_2/n_1)$ . Nous avons donc  $\phi \ge \phi_m \Rightarrow \theta' \le \theta_M$  et  $\theta \le \theta_M$ . If y a donc un angle d'incidence maximal des ondes,  $\theta_M$ , qui définit en M un cône à l'intérieur duquel doivent se trouver les rayons incidents si l'on veut que la réflexion totale se produise en N.

Par analogie avec les instruments d'optique, on définit un paramètre, appelé ouverture numérique de la fibre (numerical aperture, en anglais) et noté N.A., qui est lié à θ<sub>M</sub> par :

$$N.A. = n_e \sin \theta_M \tag{29}$$

d'où:

$$\theta_{M} = \arcsin \frac{N.A.}{n_{e}}$$
 (30)

Calculons ce paramètre :

• En N:  $n_1 \sin \varphi_m = n_2$ .

• En M:  $n_e \sin \theta_M = n_1 \sin \theta_M = n_1 \cos \phi_m$ .

• D'où: N.A. = 
$$n_1 \sqrt{1 - \left(\frac{n_2}{n_1}\right)^2} = \sqrt{n_1^2 - n_2^2}$$
 (31)

• Si :  $n_1 \approx n_2 \rightarrow n_1 = n_2 + \Delta n$ , avec  $\Delta n$  petit.

• Donc: 
$$N.A. = \sqrt{2n_1 \Delta n}$$
 (32)

Pour une fibre à gradient d'indice la formule de l'ouverture numérique est la même que (31) ou (32) si l'on remplace  $n_1$  par l'indice  $n_2$  selon l'axe du cœur de la fibre et  $\Delta n = n_1 - n_2$  par  $n_c - n_2$ .

#### Rendement énergétique du couplage émetteur-fibre

La connaissance de l'ouverture numérique d'une fibre et du diagramme de rayonnement de la source émettrice est essentielle pour déterminer le rendement énergétique du couplage émetteur-fibre.

Soit: 
$$P_n(\theta) = P_0 \cos^m \theta \ (m \ge 1)$$
 (33)

le diagramme de rayonnement en puissance de la source émettrice dans un plan passant par la direction de rayonnement maximal  $\theta = 0^{\circ}$ . Pour simplifier, nous supposons que ce diagramme est à symétrie de révolution autour de cette direction de rayonnement maximal.

Dans ces conditions, la puissance P, rayonnée dans l'espace à l'intérieur d'un cône de demi-angle au sommet  $\theta_0$ , est donnée par :

$$P_e(\theta_0) = 2\pi \int_0^{\theta_0} P_p \sin \theta \, d\theta = 2\pi P_0 \int_0^{\theta_0} \cos^m \theta \sin \theta \, d\theta$$

L'intégrale I est facile à calculer :

$$I = -\int_{1}^{\cos \theta_0} \cos^m \theta \, d(\cos \theta) = \frac{1 - \cos^{m+1} \theta_0}{m+1}$$

D'où:  $P_e(\theta_0) = 2\pi P_0 \frac{1 - \cos^{m+1} \theta_0}{m+1}$  (34)

La puissance totale rayonnée par la source émettrice est obtenue en prenant  $\theta_0 = \pi/2$ :

$$P_e\left(\frac{\pi}{2}\right) = \frac{2\pi}{m+1} P_0 \tag{35}$$

ďoù:

$$P_e(\theta_0) = P_e(\frac{\pi}{2}) (1 - \cos^{m+1}\theta_0)$$
 (36)

Si  $\theta_M$  est l'angle maximal d'admission des ondes par la fibre optique, le rendement énergétique du couplage de la source émettrice à la fibre est donc :

$$1 - \cos^{m+1} \theta_{M} \tag{37}$$

Une autre cause de pertes est à prendre en compte pour le calcul du couplage émetteur-fibre : l'indice  $n_e$  du milieu où est émise la lumière est différent de l'indice  $n_1$  de la fibre ; souvent ce milieu est de l'air et  $n_e = 1$ . Il en résulte, en première approximation, un coefficient de réflexion dont le module est donné par :

$$\mathcal{R} = \frac{n_1 - n_e}{n_1 + n_e} \tag{38}$$

Le pourcentage de puissance transmise dans la fibre est donc donné par :

$$1 - R^2 = 1 - \left(\frac{n_1 - n_e}{n_1 + n_e}\right)^2 \tag{39}$$

La perte correspondante est appelée « perte de Fresnel » ; elle est, en général, très faible devant la perte de couplage.

#### 14.5.2 La bande passante

Dans une fibre optique utilisée pour les télécommunications, les informations sont transmises sous forme de signaux numériques c'est-à-dire d'impulsions séparées par des zéros. Après transmission, il faut que ces impulsions puissent être clairement reconnues, afin de reconstituer l'information avec un minimum d'altérations. Si les impulsions transmises sont déformées et élargies en cours de propagation, elles peuvent se chevaucher à l'arrivée et il devient difficile, voire impossible de les séparer et donc de reconstituer le signal transmis.

Pour déterminer la bande passante d'une fibre, nous allons donc calculer l'élargissement, en cours de propagation, d'une impulsion dont la largeur à l'émission serait nulle. Si l'élargissement est  $\Delta T$ , le nombre d'impulsions transmissibles par seconde et  $1/\Delta T$  (bit/s) et la bande passante est  $1/\Delta T$  (Hz).

Ce phénomène provient de ce que, dans une fibre multimodes (fig. 7), il y a plusieurs chemins possibles pour aller d'un point de l'axe de la fibre à un autre. En

effet, les premiers modes se propagent quasiment en ligne droite tandis que les modes d'ordre supérieur se propagent avec un grand nombre de réflexions totales à l'interface des deux diélectriques.

#### a) Prenons d'abord l'exemple d'une fibre à saut d'indice

Pour aller de M à P (fig. 9):

- le trajet minimal est MP = L,
- le trajet maximal est  $MNNP = 2NN = L/\sin \varphi_m$

La différence des trajets est :  $\Delta L = L/\sin \varphi_m - L$ 

La différence des temps de parcours est :  $\Delta T = n_1/c (L/\sin \varphi_m - L)$ 

d'où:  $\Delta T = \frac{n_1}{c} \left( \frac{n_1}{n_2} - 1 \right) L = \frac{n_1}{n_2} (n_1 - n_2) \frac{L}{c}$  (40)

Cette formule permet de calculer l'élargissement  $\Delta T$  d'une impulsion pour un parcours L dans la fibre.

Si  $n_1$  et  $n_2$  sont voisins, la formule approchée est :

$$\Delta T = \Delta n \frac{L}{c}$$
 avec  $\Delta n = n_1 - n_2$  (41)

L'élargissement d'une impulsion se propageant sur une fibre dépend donc de la longueur de la fibre et de la différence relative des ses indices. Le débit numérique maximal d'une fibre sera  $1/\Delta T$  (bit/s) et sa bande passante maximale  $1/\Delta T$  (hertz).

#### Evennle

 $n_1 = 1,456$  (silice) et  $n_2 = 1,410$  (silicone).

Pour L =  $1 \text{ km} \rightarrow \Delta T = 0.046 \cdot 1/(3 \cdot 10^5) = 0.15 \cdot 10^{-16} \text{ s}^{-1}$ .

- Le débit numérique maximal est : 6,666 Mbit/s.
- La bande passante maximale est: 6,666 MHz.

#### b) Voyons maintenant le cas d'une fibre à gradient d'indice

Soit  $n_c$  l'indice de l'axe du cœur et  $\Delta n = n_c - n_2$ .

L'élargissement d'impulsion dépend beaucoup du profil d'indice adopté, c'est-àdire de la valeur de l'exposant  $\alpha$  de la loi (23) de variation de cet indice ; d'après [63]:

$$\Delta T = p(\alpha) \frac{(\Delta n)^2}{n_c} \cdot \frac{L}{c}$$
 (42)

Le facteur  $p(\alpha)$  est minimal pour un profil quasi parabolique. Plus précisément, l'on a  $p(\alpha) = 0.125$  pour  $\alpha = 2 (1 - \Delta n/n_c)$ .

L'élargissement d'impulsion d'une fibre à gradient d'indice optimisé est donc :

$$\Delta T_{\text{opt}} = \frac{1}{8} \cdot \frac{(\Delta n)^2}{n_c} \cdot \frac{L}{c}$$
 (43)

Par rapport au cas de la fibre à saut d'indice,  $\Delta T$  est multiplié par un facteur  $\Delta n/8n_c$ ; il en résulte une bande passante multipliée par  $8n_c/\Delta n$ . Ainsi, avec l'indice  $n_c = 1,456$  et le  $\Delta n = 0,046$  de l'exemple précédent du a), nous avons  $8n_c/\Delta n = 253$  et le débit numérique passerait donc à 1 688 Mbit/s pour 1 km.

En pratique, il est très difficile d'obtenir exactement cette valeur optimale de  $\alpha$  et  $p(\alpha)$  varie très rapidement en fonction de  $\alpha$ . C'est ainsi que :

• pour  $\alpha = 2$  (profil parabolique)  $\rightarrow p(\alpha) = 0.5$ .

pour  $\alpha = 2(1 + \Delta n/n_c) \rightarrow p(\alpha) \approx 1$ .

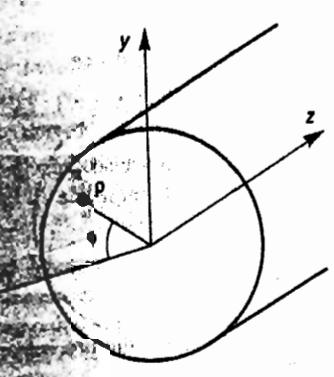
Une valeur assez réaliste de  $\Delta T$  lorsque l'on n'a pas pris toutes les précautions uchnologiques coûteuses pour optimiser le gradient d'indice est :

$$\Delta T = \frac{\left(\Delta n\right)^2}{n_c} \cdot \frac{L}{c} \tag{44}$$

## 14.6 THÉORIE ÉLECTROMAGNÉTIQUE DES GUIDES DIÉLECTRIQUES

Nous allors traiter le cas du guide diélectrique à saut d'indice. Le manque de place nous oblige à ne pas donner le détail de certaines démonstrations et à ne pas faire lous les commentaires utiles. Au lecteur désireux d'approfondir cette question, nous recommandons la lecture de Marcuse [65, p. 289-305].

#### 14.6.1 Mise en équations



Le début de la mise en équations est identique à celle qui a été faite au paragraphe 13.5.1 pour les guides d'ondes circulaires. Nous recherchons donc des solutions de la forme

$$\psi(\rho, \varphi) = F(\rho) e^{-jn\varphi} \qquad (45)$$

satisfaisant:

· d'une part l'équation différentielle

$$\frac{\partial^2 F}{\partial \rho^2} + \frac{1}{\rho} \cdot \frac{\partial F}{\partial \rho} + \left(k_c^2 - \frac{n^2}{\rho^2}\right) F = 0$$
 (46)

$$k_o^2 = \omega^2 \, \varepsilon \mu + \gamma^2 \tag{47}$$

soit (si 
$$\gamma = j\beta$$
): 
$$k_c^2 = k^2 - \beta^2$$
 (48)

- d'autre part les conditions aux limites suivantes :
  - 1)  $F(\rho)$  fini pour  $\rho = 0$  et  $F(\rho) \to 0$  quand  $\rho \to \infty$ .
- Continuité des composantes tangentielles des champs à la surface de séparation des deux diélectriques.

D'après [65, p. 292], les solutions qu'il convient de choisir sont les suivantes :

 Pour ρ < a, F(ρ) est une fonction de Bessel de première espèce d'ordre n et d'argument uρ avec :

$$u^2 = k_1^2 - \beta^2 (49)$$

et:  $k_1^2 = \omega^2 \varepsilon_1 \mu \tag{50}$ 

Les composantes longitudinales des champs sont donc :

$$\underline{E}_z = A J_n(u\rho) e^{-jn\phi}$$
 (51)

$$\underline{H}_{z} = B J_{n}(u\rho) e^{-jn\varphi}$$
 (52)

Les composantes transversales  $\underline{E}_{\rho}$ ,  $\underline{E}_{\phi}$ ,  $\underline{H}_{\rho}$ ,  $\underline{H}_{\phi}$  se calculent d'après les relations (23) à (26) du chapitre 13 « Étude générale de la propagation ».

• Pour  $\rho > a$ ,  $F(\rho)$  est une fonction de Bessel modifiée de première espèce d'ordre n et d'argument  $w\rho$  avec :

$$w^2 = \beta^2 - k_2^2 \tag{53}$$

et: 
$$k_2^2 = \omega^2 \, \varepsilon_2 \, \mu \tag{54}$$

Les composantes longitudinales des champs sont donc :

$$\underline{E}_z = C K_n(w\rho) e^{-jn\phi}$$
 (55)

$$\underline{H}_{z} = D K_{n}(w\rho) e^{-jn\phi}$$
 (56)

Quant aux composantes transversales, elles se calculent toujours d'après les relations (23) et (26) du chapitre 13.

Pour déterminer complètement les champs, nous devons trouver A, B, C, D ainsi que u et w c'est-à-dire  $\beta$ . De plus, notons que  $\beta$  doit se trouver dans l'intervalle :

$$k_2 \le \beta \le k_1 \tag{57}$$

La détermination de ces cinq inconnues s'effectue en écrivant que, pour  $\rho = a$ , les composantes tangentielles des champs  $E_2$ ,  $E_{\phi}$ ,  $H_z$  et  $H_{\phi}$  doivent être continues, ce qui fournit déjà 4 équations dont le déterminant doit être nul d'où une cinquième relation dite « équation caractéristique ou de dispersion » :

$$\left| \frac{J_n^*(ua)}{u J_n(ua)} + \frac{K_n^*(wa)}{w K_n(wa)} \right| \left| \frac{k_1^2 J_n^*(ua)}{u J_n(ua)} + \frac{k_2^2 K_n^*(wa)}{w K_n(wa)} \right| = n^2 \beta^2 \left( \frac{1}{u^2} + \frac{1}{w^2} \right)^2$$
 (58)

$$K_0(x) = j \frac{\pi}{2} e^{jn \frac{\pi}{2}} H_n^{(1)}(jx)$$
 (59)





Au lieu d'utiliser les fonctions de Bessel modifiées de première espèce K<sub>n</sub>(x), certains auteur's [65] préfèrent utiliser les fonctions de Hankel de première espèce H<sub>n</sub><sup>(1)</sup> (jx) qui leur sont reliées par :

Nous n'allons pas entreprendre la résolution fastidieuse, et d'ailleurs pas très heuristique, de ce système d'équations. Ce qui va nous intéresser maintenant, c'est la détermination des modes de propagation possibles, de leur fréquence de coupure et du mode fondamental.

#### 14.6.2 Modes de propagation

- Lorsque n = 0, l'équation (58) a deux solutions :
- l'annulation du premier crochet nous donne :

$$\frac{1}{u} \cdot \frac{J_1(ua)}{J_0(ua)} + \frac{1}{w} \cdot \frac{K_1(wa)}{K_0(wa)} = 0$$
 (60)

On en déduit que A=C=0, soit  $E_z=0$ . La propagation se fait donc selon des modes du type TE;

· l'annulation du second crochet nous donne :

$$\frac{k_1^2}{u} \cdot \frac{J_1(ua)}{J_0(ua)} + \frac{k_2^2}{w} \cdot \frac{K_1(wa)}{K_0(wa)} = 0$$
 (61)

On en déduit que B = D = 0, soit  $H_z = 0$ . La propagation se fait donc selon des modes du type TM.

 Lorsque n ≠ 0, l'équation (58) ne peut être séparée en deux. Physiquement ceci correspond au fait que les modes qui se propagent ont des composantes longitudinales E<sub>z</sub> et H<sub>z</sub> différentes de zéro. De tels modes sont appelés des modes hybrides et notés EH ou HE selon que la composante prépondérante est E<sub>z</sub> ou H<sub>z</sub>.

#### 14.6.3 Fréquences de coupure

Nous avons vu que la variation des champs en fonction de  $\rho$  à l'intérieur de la gaine ( $\rho > a$ ) est régie par une fonction de Bessel modifiée  $K_n(w\rho)$  qui a une décroissance du type exponentiel. Dans le cas où w est grand, les champs diminuent très vite et la quasi-totalité de l'énergie est concentrée à l'intérieur du cœur. Mais, si w n'est pas grand, les champs dans la gaine pénètrent d'autant plus loin que w est petit. À la limite ( $w \to 0$ ), il n'y a plus de diminution des champs dans la gaine, l'onde qui se propage a la forme d'une onde plane et elle n'est plus guidée à l'intérieur du cœur.

La condition  $w^2 = \beta^2 - k_2^2 = 0$ , qui conduit à une telle propagation, est appelée une condition de coupure. Elle va nous permettre de calculer la fréquence de coupure d'après  $u = \sqrt{k_1^2 - \beta^2}$  qui peut s'écrire dans ce cas :

$$u_c = \sqrt{k_1^2 - k_2^2} = \sqrt{\omega_c^2 \, \varepsilon_1 \, \mu - \omega_c^2 \, \varepsilon_2 \, \mu} = 2\pi f_c \sqrt{(\varepsilon_1 - \varepsilon_2) \, \mu}$$
 (62)

D'où:

$$f_c = \frac{u_c}{2\pi \sqrt{(\varepsilon_1 - \varepsilon_2)\,\mu}} \tag{63}$$

Dans les rela (62) à (66) :  $\varepsilon_1 = \varepsilon_0 \varepsilon_{lr}$ 

La détermination des valeurs de u correspondant à la coupure est effectuée dans [65, p. 297-301]. Elle donne les résultats suivants :

- les modes  $\text{TE}_{om}$  ou  $\text{TM}_{om}$  (n=0) sont obtenus pour les valeurs  $u_m a$  qui sont racines de  $J_o(ua)=0$ ;
- les modes  $EH_{nm}$  ( $\forall n \neq 0$ ) sont obtenus pour les racines  $u_m a$  de :  $J_n(ua) = 0$  avec  $ua \neq 0$ :
- les modes  $\text{HE}_{nm}$  ( $\forall n \neq 0$  et 1) sont obtenus pour les racines  $u_m a$  de :  $[(\epsilon_1/\epsilon_2) + 1] J_{n-1}(ua) = [(ua/n) 1] J_n(ua)$ ;
- les modes  $HE_{1m}$  (n = 1) sont obtenus pour les racines  $u_m a$  de :  $J_1(ua) = 0$ .

Le tableau ci-dessous donne les valeurs de  $u_m a$  pour les trois premières racines de quelques-uns de ces modes. Pour les modes  $\text{HE}_{nm}$  (avec  $n \neq 0$  et 1) elles correspondent au cas où  $\epsilon_1/\epsilon_2=1,1$ .

m	1	2	3	Modes
n = 0	2,405	5,520	8,654	TE, TM
1	0,000	3,832	7,016	HE
1	3,832	7,016	10,173	EH
2	2,445	5,538	8,665	HE ,
2	5,136	8,417	11,620	EH

#### 14.6.4 Mode fondamental

Parmi tous ces modes, le seul pour lequel  $u_m = 0$ , soit  $f_c = 0$ , est le mode HE<sub>11</sub> qui est donc le mode fondamental des guides d'ondes circulaires. Les premiers modes d'ordre supérieur sont TE<sub>01</sub> et TM<sub>01</sub> dont la fréquence de coupure correspond à la première racine de  $J_o(ua) = 0$ , obtenue pour  $u_1a = 2,405$ . Pour qu'ils ne se propagent pas, il faut que ua < 2,405, soit :

$$2\pi a f \sqrt{(\varepsilon_1 - \varepsilon_2) \,\mu} < 2{,}405 \tag{64}$$

Si 
$$a$$
 est donné: 
$$f < \frac{2,405}{2\pi a \sqrt{(\varepsilon_1 - \varepsilon_2) \mu}}$$
 (65)

Si 
$$f$$
 est donnée: 
$$a < \frac{2,405}{2\pi f \sqrt{(\varepsilon_1 - \varepsilon_2) \mu}}$$
 (66)

#### CARACTÉRISTIQUES DE LA PROPAGATION

#### L'atténuation

causes des pertes sont au nombre de quatre :

absorption dans les atomes du diélectrique, les plus gênantes étant celles dues à l'ion OH qui présente des raies d'absorption à 0,875 et

pertes par diffusion, dues aux inhomogénéités du diélectrique ( $\sim 1/\lambda^4$ );

perces par rayonnement car la gaine a des dimensions radiales limitées et est entource par une enveloppe dissipative;

pertes par couplage de modes, dues aux défauts mécaniques et aux courbures.

cel étant, les pertes dépendent de l'ordre du mode considéré. Soient  $\alpha_1$  et  $\alpha_2$  les de pertes dans le cœur et la gaine ; le coefficient de pertes global  $\alpha_{nm}$ Wir un rhode d'ordre nm sera :

$$\alpha_{nm} = \frac{\alpha_1 P_{nm}^{(1)} + \alpha_2 P_{nm}^{(2)}}{P_t}$$
 (67)

sont respectivement les puissances dans le cœur et la gaine;  $P_t$  est la phissance totale transportée par ce mode.

Gloge [66] a montré que :

$$\frac{P_{nm}^{(1)}}{P_t} = 1 - \frac{P_{nm}^{(2)}}{P_t} = \left[1 - \frac{J_n^2(u)}{J_{n+1}(u)J_{n-1}(u)}\right] \frac{w^2}{V^2}$$
 (68)

$$V^2 = (\mu^2 + w^2) \tag{69}$$

(70)

 $V^{2} = (u^{2} + w^{2})$   $\alpha = \alpha_{1} + (\alpha_{2} - \alpha_{1}) \frac{u^{2}}{V^{2}} (w^{2} + n^{2})^{-\frac{1}{2}}$ 

Signalons que loin de la coupure, Marcuse a trouvé :

$$\frac{P_{nm}^{(2)}}{P_t} = \left(\frac{u_m a}{V}\right)^4 \left(1 - \frac{2}{V}\right) \tag{71}$$

on what est is  $m^e$  racine de  $J_n(ua) = 0$ .

est enfin obtenue en sommant les pertes pour chaque mode avec s salant de pondération égal à son importance relative.

Livere actuelle (1996), les grands constructeurs mondiaux annoncent des daboratoire, inférieures à 0,5 dB/km. Cela conduit, sur le terrain, à des de la faible bande de fréla porteuse occupée par la modulation, ces pertes sont indépendantes is sequence du signal transmis.

#### 14.7.2 Dispersion – Bande passante

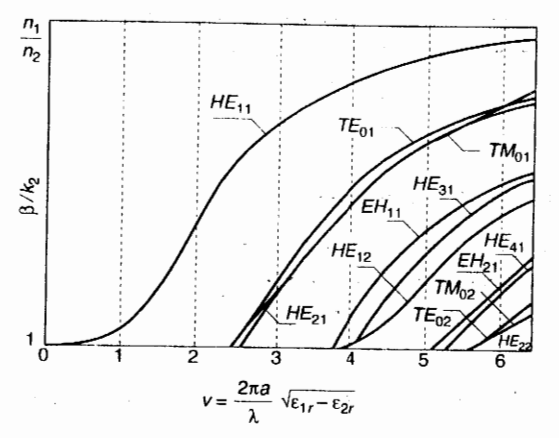


Figure 11. Courbes de dispersion.

Les signaux numériques qui se propagent sur une fibre ont un certain spectre de fréquences. Il est donc très important de connaître la loi de variation du paramètre de phase  $\beta$  avec la fréquence. Au lieu de tracer le graphique  $\beta(f)$ , dont les échelles ne sont pas commodes, on préfère représenter (fig. 11)  $\beta/k_2$  – dont l'intervalle de variation est compris entre 1 et  $n_1/n_2$  – en fonction de  $V = 2\pi(a/\lambda)\sqrt{\varepsilon_{1r} - \varepsilon_{2r}}$ variable proportionnelle à f.

Il est souvent plus instructif de tracer le diagramme  $\omega - \beta$  car :

- la pente de 0Q représente la vitesse de phase  $v_{\phi} = \omega/\beta$ ;
- la pente de la tangente en Q représente la vitesse de groupe  $v_o = d\omega/d\beta$ .

La figure 12 présente ce diagramme pour le mode HE<sub>11</sub>. La courbe a un point d'inflexion au voisinage duquel  $v_{\sigma}$  reste à peu près constante, d'où l'intérêt d'utiliser la bande de fréquences correspondante. Les asymptotes à la courbe donnent les  $v_{\perp}$  extrêmes.

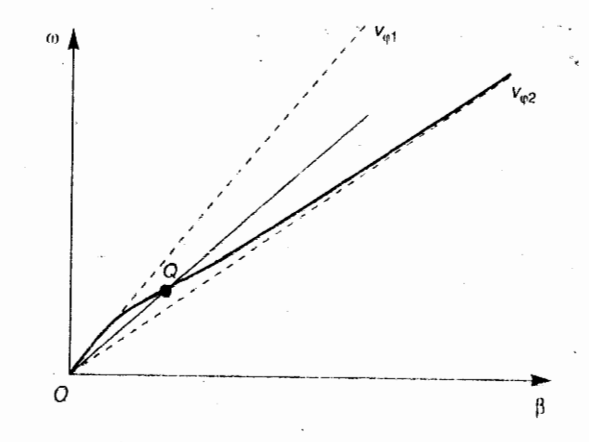


Figure 12. Diagramme ω - β.

#### CARACTÉRISTIQUES DE LA PROPAGATION

#### 14.7.1 L'atténuation

Les causes des pertes sont au nombre de quatre :

- pertes par absorption dans les atomes du diélectrique, les plus gênantes étant celles dues à l'ion OH qui présente des raies d'absorption à 0,875 et  $0.950 \, \mu m$ ;
- pertes par diffusion, dues aux inhomogénéités du diélectrique ( $\sim 1/\lambda^4$ );
- pertes par rayonnement car la gaine a des dimensions radiales limitées et est entourée par une enveloppe dissipative ;
- pertes par couplage de modes, dues aux défauts mécaniques et aux courbures.

Ceci étant, les pertes dépendent de l'ordre du mode considéré. Soient  $\alpha_1$  et  $\alpha_2$  les constantes de pertes dans le cœur et la gaine ; le coefficient de pertes global  $\alpha_{nm}$ pour un mode d'ordre nm sera :

$$\alpha_{nm} = \frac{\alpha_1 P_{nm}^{(1)} + \alpha_2 P_{nm}^{(2)}}{P_t}$$
 (67)

 $P_{nm}^{(1)}$  et  $P_{nm}^{(2)}$  sont respectivement les puissances dans le cœur et la gaine ;  $P_t$  est la puissance totale transportée par ce mode.

Gloge [66] a montré que :

$$\frac{P_{nm}^{(1)}}{\bar{P}_t} = 1 - \frac{P_{nm}^{(2)}}{P_t} = \left[1 - \frac{J_n^2(u)}{J_{n+1}(u)J_{n-1}(u)}\right] \frac{w^2}{V^2}$$
(68)

avec:

$$V^2 = (u^2 + w^2) ag{69}$$

avec: 
$$V^{2} = (u^{2} + w^{2})$$

$$(69)$$

$$(3) \approx (0, \pm 1)$$

$$\alpha = \alpha_{1} + (\alpha_{2} - \alpha_{1}) \frac{u^{2}}{V^{2}} (w^{2} + n^{2})^{-\frac{1}{2}}$$

$$(70)$$

Signalons que loin de la coupure, Marcuse a trouvé :

$$\frac{P_{nm}^{(2)}}{P_t} = \left(\frac{u_m a}{V}\right)^4 \left(1 - \frac{2}{V}\right) \tag{71}$$

où  $u_m a$  est la  $m^e$  racine de  $J_n(ua) = 0$ .

La perte totale est enfin obtenue en sommant les pertes pour chaque mode avec un facteur de pondération égal à son importance relative.

A Theure actuelle (1996), les grands constructeurs mondiaux annoncent des pertes, en laboratoire, inférieures à 0,5 dB/km. Cela conduit, sur le terrain, à des pentes inférieures à 1 dB/km. Notons qu'étant donné la faible bande de fré-Quances de la porteuse occupée par la modulation, ces pertes sont indépendantes de la fréquence du signal transmis.

#### 14.7.2 Dispersion - Bande passante

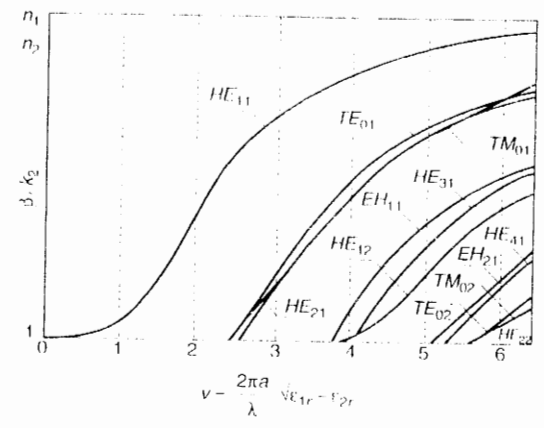


Figure 11. Courbes de dispersion.

Les signaux numériques qui se propagent sur une fibre ont un certain spectre de fréquences. Il est donc très important de connaître la loi de variation du paramètre de phase  $\beta$  avec la fréquence. Au lieu de tracer le graphique  $\beta(f)$ , dont les échelles ne sont pas commodes, on préfère représenter (fig. 11)  $\beta \cdot k_2$  – dont l'intervalle de variation est compris entre 1 et  $n_1/n_2$  – en fonction de  $V = 2\pi(a/\lambda)\sqrt{-\epsilon_{1x} - \epsilon_{2x}}$ variable proportionnelle à f.

Il est souvent plus instructif de tracer le diagramme  $\omega = \beta$  car

- la pente de 0Q représente la vitesse de phase v<sub>b</sub> = ω β;
- la pente de la tangente en Q représente la vitesse de groupe  $v_o = d\omega/d\beta$ .

La figure 12 présente ce diagramme pour le mode  $\mathrm{HE}_{\mathrm{H}}.$  La courbe a un point d'inflexion au voisinage duquel  $v_o$  reste à peu près constante, d'où l'intérêt d'utiliser la bande de fréquences correspondante. Les asymptotes à la courbe donnent les v<sub>a</sub> extrêmes.

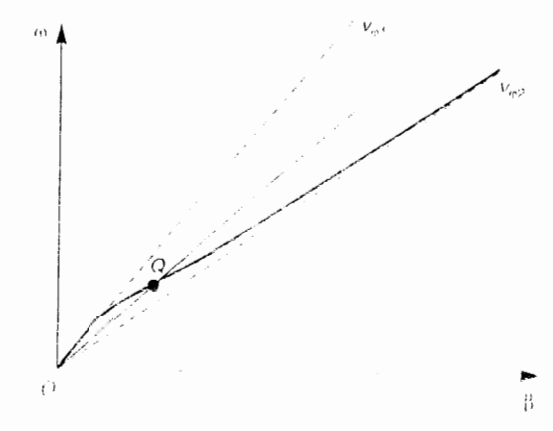


Figure 12. Diagramme or B.

Nous avons déjà indiqué paragraphe 14.5.2 que la bande passante d'une fibre s'exprime en Hertz par le même nombre que l'inverse de l'élargissement d'impulsion  $1/\Delta T$ . Pour une longueur L de fibre :

$$\Delta T = \frac{L}{v_g} \tag{72}$$

Pour les fibres monomodes, l'élargissement d'impulsion ne peut pas provenir de l'existence de plusieurs modes ayant des trajets et donc des temps de parcours différents. La seule cause d'élargissement est la dispersion chromatique qui est liée aux matériaux constituant le cœur de la fibre :

$$\Delta T = \frac{L}{c} \cdot \frac{\Delta \lambda}{\lambda} \lambda^2 \frac{\mathrm{d}^2 n}{\mathrm{d} \lambda^2}$$
 (73)

 $\Delta\lambda/\lambda$  est la largeur de bande relative du signal ;  $\lambda^2(\mathrm{d}^2n/\mathrm{d}\lambda^2)$  est la dispersion du diélectrique.

Avec les silices spéciales actuellement utilisées dans les fibres à faibles pertes, on obtient des  $\Delta T/L=1$  ns/km pour  $\Delta \lambda/\lambda=1$  % à  $\lambda=0.82$   $\mu m$ , ce qui correspond à une bande passante de 1 GHz.

Pour les fibres multimodes, la dispersion chromatique est inférieure d'un facteur 10 à la dispersion modale. L'élargissement d'impulsion provenant de cette dernière a été calculé directement par une méthode de rayons au paragraphe 14.5.2.

#### **EXERCICES**



#### **EXERCICE 14.1**

(Paragraphe 14.2 – Propagation en guide diélectrique à structure plane)

Calculer le nombre de modes TE ou TM qui peuvent se propager dans un guide à structure plane d'épaisseur  $a=50~\mu m$  où se propage une onde dont la longueur d'onde dans l'air ou le vide est :  $\lambda_0=1~\mu m$ ;  $n_1=1,5$  et  $n_2=1,4$ .

- 1) Faire ce calcul à partir de la formule (10) en écrivant que  $\phi + 2\phi' = 2m\pi$  et en se plaçant dans le cas où  $\theta = \theta_{11}$ .
- 2) Retrouver le résultat en appliquant la formule (11).



#### **EXERCICE 14.2**

(Paragraphe 14.3 – Propagation en guides diélectriques à structure cylindrique)

Étant donné un guide diélectrique pour lequel  $\varepsilon_{1r} = 2.25$  et  $\varepsilon_{2r} = 2$ , trouver la dimension maximale du cœur, ex primée en longueurs d'onde, pour que seul le mode fondamental puisse se propager. Calculer cette dimension pour  $f = 230 \cdot 10^{12}$  Hz.



#### **EXERCICE 14.3**

(Paragraphe 14.4 - Les fibres optiques)

Une fibre multimodes a un cœur de diamètre 50  $\mu$ m. L'indice du cœur est  $n_1 = 1,45$ ; celui de la gaine  $n_2 = 1,4$ .

- Calculer le nombre de modes qui peuvent propager à λ<sub>0</sub> = 1,3 μm dans une fibre è d'indice et dans une fibre à gradient d'in dice avec un profil d'indice parabolique
- 2) En déduire le nombre de modes à  $\lambda_{ij}$  0,83  $\mu m$ .



#### **EXERCICE 14.4**

(Paragraphe 14.5.1 - L'ouverture numérique)

- 1) Une fibre optique a un cœur d'indice  $n_1 = 1$  et une gaine d'indice  $n_2 = 1,4$ . Quelle son ouverture numérique?
- En déduire l'angle maximal d'admission ondes si le milieu entre la source et la fil est de l'air.
- 2) La source émettrice est une diode électrominescente (DEL) dont le diagramme rayonnement en puissance est de la for  $P(\theta) = P_0 \cos^2 \theta$ . Calculer en dB la perte couplage émetteur-fibre.
- 3) Calculer aussi en dB la perte de Fresnel.



#### **EXERCICE 14.5**

(Paragraphe 14.5.2 - La bande passante)

1) Calculer le débit numérique maximal bande passante maximale, sur une dis de 1 km, d'une fibre multimodes à sau dice dont les indices du cœur et de la sont : n<sub>1</sub> = 1,5 et n<sub>2</sub> = 1,4.

emes questions pour une fibre optique à dient d'indice optimisé pour laquelle = 1.5 et  $n_2 = 1.4$ .

#### **EXERCICE 14.6**

12(825)21

(Paragraphe 14.5.2 - La bande passante)

d'une fibre à gradient d'indice optimisé 1:000 fois plus grande que celle d'une à saut d'indice?

collication au cas où  $n_1 = n_c = 1.5$ . En déduire



#### **EXERCICE 14.7**

(Paragraphe 14.7.2 – Dispersion Bande passante)

Une diode laser émet à une longueur d'onde  $\lambda_0 = 1.3 \, \mu m$  avec une largeur spectrale  $\Delta \lambda = 5 \cdot 10^{-9} \, \text{m}$ . La fibre optique dopée qui est utilisée présente une dispersion chromatique  $d^2 n/d\lambda^2 = 0.5 \cdot 10^{10} \, \text{m}^{-2}$ .

- 1) Calculer l'élargissement d'impulsion pour une propagation monomode sur une longueur de fibre L = 1 km.
- 2) En déduire le débit numérique maximal et la bande passante maximale.

### Chapitre 15

### Les cavités électromagnétiques

#### **15.1** Introduction

Une cavité électromagnétique est un volume vide ou rempli de diélectrique, limité par des murs de type électrique (interface avec un conducteur) ou de type magnétique (interface avec un diélectrique à haute permittivité). Dans le premier cas, il s'agit d'une cavité métallique et dans le second cas d'un résonateur diélectrique.

Les cavités peuvent, en principe, avoir des formes géométriques quelconques mais, en pratique, elles ont une forme cylindrique à section rectangulaire ou circulaire. Les cavités métalliques peuvent ainsi être obtenues en fermant des guides d'ondes rectangulaires ou circulaires par des plaques métalliques perpendiculaires à l'axe longitudinal du guide.

Si, par un moyen approprié (une antenne du type électrique ou magnétique), un champ électromagnétique est excité à l'intérieur d'une cavité, il peut s'y produire des ondes stationnaires lorsque les conditions de résonance existent. La cavité emmagasine alors une certaine quantité d'énergie électromagnétique.

L'étude des conditions de résonance de la cavité (§ 15.2) permet de définir les modes propres ainsi que les longueurs et les fréquences propres d'une cavité. Nous étudierons ces paramètres caractéristiques pour les principaux types de cavités et de résonateurs diélectriques (§ 15.3).

Lorsque la cavité a des pertes – dans ses parois, dans le diélectrique, par le ou les couplages avec les circuits extérieurs – il est possible, comme dans un circuit

emes questions pour une fibre optique à dient d'indice optimisé pour laquelle = 1.5 et  $n_2 = 1.4$ .

#### **EXERCICE 14.6**

12(825)21

(Paragraphe 14.5.2 - La bande passante)

d'une fibre à gradient d'indice optimisé 1:000 fois plus grande que celle d'une à saut d'indice?

collication au cas où  $n_1 = n_c = 1.5$ . En déduire



#### **EXERCICE 14.7**

(Paragraphe 14.7.2 – Dispersion Bande passante)

Une diode laser émet à une longueur d'onde  $\lambda_0 = 1.3 \, \mu m$  avec une largeur spectrale  $\Delta \lambda = 5 \cdot 10^{-9} \, \text{m}$ . La fibre optique dopée qui est utilisée présente une dispersion chromatique  $d^2 n/d\lambda^2 = 0.5 \cdot 10^{10} \, \text{m}^{-2}$ .

- 1) Calculer l'élargissement d'impulsion pour une propagation monomode sur une longueur de fibre L = 1 km.
- 2) En déduire le débit numérique maximal et la bande passante maximale.

### Chapitre 15

### Les cavités électromagnétiques

#### **15.1** Introduction

Une cavité électromagnétique est un volume vide ou rempli de diélectrique, limité par des murs de type électrique (interface avec un conducteur) ou de type magnétique (interface avec un diélectrique à haute permittivité). Dans le premier cas, il s'agit d'une cavité métallique et dans le second cas d'un résonateur diélectrique.

Les cavités peuvent, en principe, avoir des formes géométriques quelconques mais, en pratique, elles ont une forme cylindrique à section rectangulaire ou circulaire. Les cavités métalliques peuvent ainsi être obtenues en fermant des guides d'ondes rectangulaires ou circulaires par des plaques métalliques perpendiculaires à l'axe longitudinal du guide.

Si, par un moyen approprié (une antenne du type électrique ou magnétique), un champ électromagnétique est excité à l'intérieur d'une cavité, il peut s'y produire des ondes stationnaires lorsque les conditions de résonance existent. La cavité emmagasine alors une certaine quantité d'énergie électromagnétique.

L'étude des conditions de résonance de la cavité (§ 15.2) permet de définir les modes propres ainsi que les longueurs et les fréquences propres d'une cavité. Nous étudierons ces paramètres caractéristiques pour les principaux types de cavités et de résonateurs diélectriques (§ 15.3).

Lorsque la cavité a des pertes – dans ses parois, dans le diélectrique, par le ou les couplages avec les circuits extérieurs – il est possible, comme dans un circuit

résonnant classique, de définir des coefficients de surtension dont nous donne rons les expressions (§ 15.4).

La modélisation d'une cavité par un circuit résonnant série ou parallèle permet d'en calculer l'impédance d'entrée dans un plan de référence sur la voie de couplage de la cavité avec l'extérieur (§ 15.5). Cette étude est très importante car elle établit les conditions d'équivalence entre le circuit résonnant à constantes réparties qu'est une cavité et les circuits résonnants à constantes localisées (R, L. C) classiquement utilisés aux fréquences inférieures.

Lorsque la cavité est couplée par un seul accès (§ 15.6) elle fonctionne en absorption ou en réflexion (voire en émission dans les dispositifs radiométriques) tandis que si elle est couplée par deux accès (§ 15.7) elle fonctionne en transmission. Dans le premier cas, nous établirons les expressions de la puissance absorbée ou réfléchie et dans le second cas, celles des puissances transmise et réfléchie. Dans chacun de ces cas, nous analyserons le fonctionnement de la cavité dans et hors le domaine de résonance.

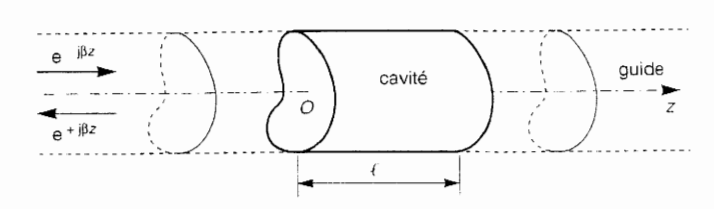
L'importance des cavités va bien au-delà de leur utilisation en tant qu'élément résonnant ou en tant que fréquencemètre dans les circuits hyperfréquences. Elles sont, en effet, utilisées pour la détermination de la permittivité complexe de gaz ou d'échantillons de matériaux de petites dimensions. En ondes millimétriques, on utilise des cavités ouvertes analogues aux résonateurs employés en optique dans les interféromètres de Fabry-Perot (§ 15.8). Notons enfin l'utilisation des cavités métalliques et des résonateurs diélectriques pour fixer la fréquence de résonance des oscillateurs à tubes (tels que le klystron) ou à l'état solide (tels que les transistors à effet de champ à l'Arséniure de Gallium).

#### 15.2 ÉTUDE DES CONDITIONS DE RÉSONANCE D'UNE CAVITÉ

#### 15.2.1 Modes de résonance propres d'une cavité

Figure 1. Schéma d'une cavité découpée dans un guide d'ondes cylindrique.

(Figure extraite de [68], p. 31)



Considérons un guide d'ondes cylindrique supposé sans perte d'axe Oz dont la section droite a une forme quelconque (fig. 1). Soit une onde TE ou TM qui se

propage dans ce guide vers les z > 0 à une fréquence f. Ses champs dépendent de z par l'intermédiaire d'un facteur de propagation e - jβz. Si nous plaçons, en une section transversale du guide, une plaque de court-circuit, il y a propagation vers les z < 0 d'une onde réfléchie dont les champs dépendent de z par le facteur e  $j\beta z$ .

En vertu des conditions aux limites  $E_H = 0$  et  $H_{\perp} = 0$ , le coefficient de réflexion sur la plaque métallique est égal à :

- + 1, pour les composantes longitudinale de E et transversale de H,
- -1, pour les composantes transversale de E et longitudinale de H.

Par conséquent, les champs résultant de la superposition des ondes incidente et réfléchie seront affectés :

- d'un facteur  $e^{-j\beta z}$  +  $e^{j\beta z}$  = 2 cos  $\beta z$  pour les composantes  $E_z$  et  $H_T$  correspondant à R = +1.
- d'un facteur  $e^{-j\beta z} e^{j\beta z} = -2j \sin \beta z$  pour les composantes  $H_z$  et  $E_T$  correspondant à R = -1.

Si nous désirons placer une autre plaque de court-circuit en une autre section transversale, de façon à avoir des réflexions successives sur les deux plaques, il faudra que les conditions aux limites  $E_H = 0$  et  $H_{\perp} = 0$  y soient satisfaites. Ces conditions ne concernent que  $E_T$  et H, qui varient en sin  $\beta z$ . Comme deux minima nuls de sin  $\beta z$  correspondent à  $\beta z = p\pi$ , il faudra donc que :

$$\frac{z}{\lambda_{g}} = \frac{p}{2} \tag{1}$$

Les modes de résonance possibles de la cavité sont appelés modes propres et notés  $\mathrm{TE}_{mnp}$  et  $\mathrm{TM}_{mnp}$ . Les indices m et n dépendent de l'ordre du mode TE ou TM considéré. Ce sont deux entiers positifs ou nuls, mais ils ne peuvent être nuls simultanément. En ce qui concerne p, la démonstration ci-dessus - qui conduit à des valeurs de p strictement positives - doit être complétée.

En effet, dans le cas de modes TM à la coupure, le champ  $\vec{E}$  est uniquement longitudinal alors que le champ  $\vec{H}$  est transversal : les conditions aux limites sur des plaques métalliques transversales sont donc satisfaites quelle que soit la distance séparant ces deux plaques. Ces modes sont notés  $TM_{mno}$  puisque p n'intervient dans aucune condition.

Nous trouverons donc, dans les cavités, les modes TE suivants :

$$\begin{split} & \mathrm{TE}_{10p} \ \mathtt{\grave{a}} \ \mathrm{TE}_{mop}, \ \mathrm{TE}_{11p} \ \mathtt{\grave{a}} \ \mathrm{TE}_{m1p}, \ ..., \ \mathrm{TE}_{1np} \ \mathtt{\grave{a}} \ \mathrm{TE}_{mnp} \\ & \mathrm{TE}_{01p} \ \mathtt{\grave{a}} \ \mathrm{TE}_{onp}, \ \mathrm{TE}_{11p} \ \mathtt{\grave{a}} \ \mathrm{TE}_{1np}, \ ..., \ \mathrm{TE}_{m1p} \ \mathtt{\grave{a}} \ \mathrm{TE}_{mnp} \end{split}$$

avec p = 1, 2, 3...

et les mêmes modes TM, mais avec p pouvant être nul.

Notons que, pour les cavités parallélépipédiques, il est exclu, en mode TM, d'avoir m ou n nul.

plaque

Nous s inter TE<sub>mn</sub> (

Comm

vec:

🚹 en ré

eux.

dire

### **15.2.2** Longueurs et fréquences de résonance propres d'une cavité

**Si la fréquence** f, c'est-à-dire  $\lambda_g$ , est imposée, la distance entre les deux plaques de court-circuit (hormis le cas des modes  $TM_{mno}$ ) doit être :

$$z = \frac{p \, \lambda_g}{2} \tag{2}$$

Nous savons qu'à une fréquence donnée, la longueur d'onde guidée dépend, par l'intermédiaire de la longueur d'onde de coupure, de l'ordre (m, n) du mode  $TE_{mn}^{(n)}$  ou  $TM_{mn}$  qui se propage.

Comme :

$$\frac{1}{\lambda_g} = \sqrt{\left(\frac{1}{\lambda}\right)^2 - \left(\frac{1}{\lambda_c}\right)_{mn}^2} \tag{3}$$

avec:

aromet.

$$\lambda = \frac{v}{f} \tag{4}$$

il en résulte que les longueurs possibles de la cavité sont :

$$\ell_{mnp} = \frac{p}{2} \left[ \left( \frac{f}{v} \right)^2 - \left( \frac{1}{\lambda_c} \right)_{mn}^2 \right]^{-\frac{1}{2}}$$
 (5)

Il y a donc une suite discrète de longueurs  $\ell_{mnp}$  possibles de la cavité correspondent d'une part à la suite des modes  $TE_{mn}$  et  $TM_{mn}$ , d'autre part, pour chacun d'eux, à la suite des nombres entiers p. On dit que la cavité oscille en mode  $TE_{mnp}$ , ou  $TM_{mnp}$ .

Is la longueur  $\ell$  de la cavité est imposée, la condition porte alors sur  $\lambda_g$ , c'estadire sur la longueur d'onde de fonctionnement, d'après :

$$\lambda_g = \frac{2\ell}{p} \tag{6}$$

$$\frac{1}{\lambda_c} : \frac{1}{\lambda} = \sqrt{\left(\frac{1}{\lambda_c}\right)_{mn}^2 + \left(\frac{1}{\lambda_g}\right)^2}, \text{ nous avons :}$$

$$\lambda_{mnp} = \left[ \left( \frac{1}{\lambda_c} \right)_{mn}^2 + \left( \frac{p}{2\ell} \right)^2 \right]^{-\frac{1}{2}} \tag{7}$$

$$f_{mnp} = \nu \left[ \left( \frac{1}{\lambda_c} \right)_{mn}^2 + \left( \frac{p}{2\ell} \right)^2 \right]^{\frac{1}{2}}$$
 (8)

$$v = \frac{c}{\sqrt{\varepsilon_r}} \tag{9}$$

Il y a donc une suite discrète de fréquences possibles de fonctionnement de la cavité, correspondant d'une part à la suite des nombres entiers p, d'autre part à la suite des modes  $\mathrm{TE}_{mn}$  et  $\mathrm{TM}_{mn}$ . Ces fréquences sont appelées les fréquences propres de la cavité.

Parmi les fréquences propres aux modes TE et TM, la plus basse est appelée fréquence fondamentale et correspond au mode propre dominant de la cavité. Les fréquences propres supérieures ne sont pas des multiples entiers de la fréquence fondamentale et leurs fréquences se rapprochent lorsque leur ordre croît. Dans la mesure où la cavité est sans perte, la largeur de bande est nulle autour des diverses fréquences propres ; elles forment un spectre discret de fréquences monochromatiques. Bien sûr, il n'en est pas vraiment ainsi, en raison des pertes, et il y a une courbe de résonance autour de chaque fréquence propre (fig. 2).

En général, un seul mode propre est associé à une fréquence propre, mais il arrive que plusieurs modes propres correspondent à la même fréquence, on dit alors qu'il y a dégénérescence.

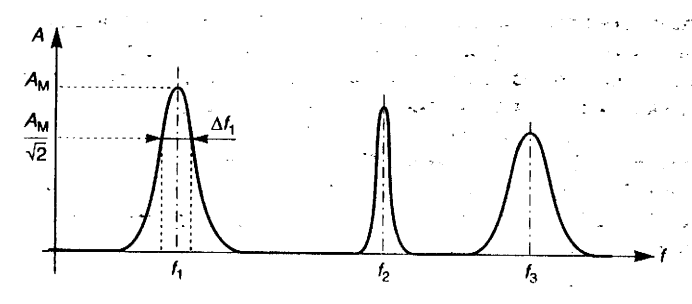


Figure 2.

\*Courbe de réponse spectrale d'une cavité ayant des pertes.

(Figure extraite de [68], p. 70)

## **15.3** PRINCIPAUX TYPES DE CAVITÉS RÉSONNANTES

#### 15.3.1 Cavité cylindrique à section rectangulaire

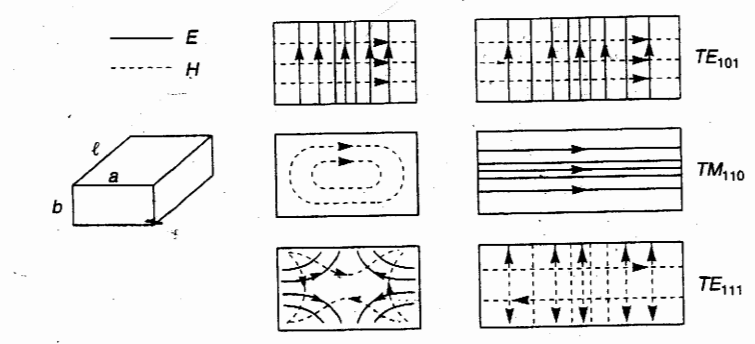
Les équations des champs sont obtenues à partir de celles des champs du guide d'ondes rectangulaire, en multipliant :

- les composantes  $\underline{E}_z$  et  $\underline{H}_T$  par 2 cos  $\beta z$ ,
- les composantes  $\underline{H}_z$  et  $\underline{E}_T$  par  $-2j \sin \beta z$ .

Conformément à la relation (8) les fréquences propres sont données par :

$$f_{mnp} = v \left[ \left( \frac{m}{2a} \right)^2 + \left( \frac{n}{2b} \right)^2 + \left( \frac{p}{2\ell} \right)^2 \right]^{\frac{1}{2}}$$
 (10)

Tableau I



La figure 3 permet de visualiser les lignes de champs électrique et magnétique pour des coupes transversales (au milieu) et longitudinales (à droite) d'une cavité parallélépipédique fonctionnant en modes  ${\rm TE}_{101}$ ,  ${\rm TM}_{110}$  et  ${\rm TE}_{111}$ .

La fréquence fondamentale s'obtient en donnant aux indices m, n, p leurs plus basses valeurs : pour un mode TE (1, 0, 1 si a > b) ou (0, 1, 1 si a < b); pour un mode TM (1, 1, 0). On trouve ainsi que la fréquence fondamentale est celle de l'un des modes TE<sub>101</sub> ou TE<sub>011</sub> ou TM<sub>110</sub>.

Example  $\lambda = 3 \text{ cm}$   $V = 100 \text{ dm}^2$  N = 9 modes/MHz

Une cavité rectangulaire où peuvent coexister un nombre élevé de modes est dite surdimensionnée. Le nombre de modes possibles dans une bande de fréquences  $[f_0, f_0 + \Delta f]$  est :

$$N \simeq 8\pi \frac{V}{\lambda^3} \cdot \frac{\Delta f}{f_0} \tag{11}$$

où V est le volume de la cavité.



Par ailleurs, le nombre de modes correspondant à des longueurs d'onde propres supérieures à une longueur d'onde minimale est :

$$N' \simeq \frac{8\pi}{3} \cdot \frac{V}{\lambda_{\min}^3} \tag{12}$$

#### 15.3.2 Cavité cylindrique à section circulaire

Les équations des champs sont obtenues à partir de celles des champs du guide d'ondes circulaire, en multipliant : •

- les composantes  $\underline{E}_{\tau}$  et  $\underline{H}_{T}$  par 2 cos  $\beta z$ ,
- les composantes  $\underline{H}_z$  et  $\underline{E}_T$  par 2j sin  $\beta z$ .

Les fréquences propres sont données d'après (8) pour les modes  ${\rm TE}_{mnp}$  et  ${\rm TM}_{mnp}$  d'une cavité de rayon R et de hauteur h, par :

modes TE<sub>mnp</sub>: 
$$f_{mnp} = v \left[ \left( \frac{u_{mn}^{\prime}}{2\pi R} \right)^2 + \left( \frac{p}{2h} \right)^2 \right]^{\frac{1}{2}}$$
 (13)

modes 
$$TM_{mnp}$$
: 
$$f_{mnp} = v \left[ \left( \frac{u_{mn}}{2\pi R} \right)^2 + \left( \frac{p}{2h} \right)^2 \right]^{\frac{1}{2}}$$
 (14)

Le tableau I donne les valeurs de  $u_{mn}$  et  $u'_{mn}$  pour les premiers modes  $TM_{mn}$  et  $TE_{mn}$  respectivement.

MODES TM <sub>mn</sub>		MODES TE <sub>ma</sub>	
m, n <sub>s</sub> p	u <sub>mn</sub>	m, n, p	u' <sub>mm</sub>
0 1 p	2,404 8	1 1 p	1,841 2
1 1 <i>p</i>	3,831 7	2 1 p	3,054 2
2 1 p	5,135 6	0 1 p	3,831 7
0 2 p	5,520 1	3 1 p	4,201 2
3 1 p	6,380 2	4 1 p	5,317 5
1 2 p	7,015 6	1 2 p	5,331 4
41p	7,588 3	5 1 p	6,415 6
2 2 p	8,417 2	22 p	6,706 1
03p	8,653 7	0 2 p	7,015 6
5 1 p	8,771 4	61 p	7,501 3

Le mode fondamental correspond à la plus petite valeur de p et de  $u_{mn}$  ou  $u'_{mn}$ . Pour les modes TM, il s'agit du mode TM<sub>010</sub> pour lequel  $u_{01} = 2,405$ 

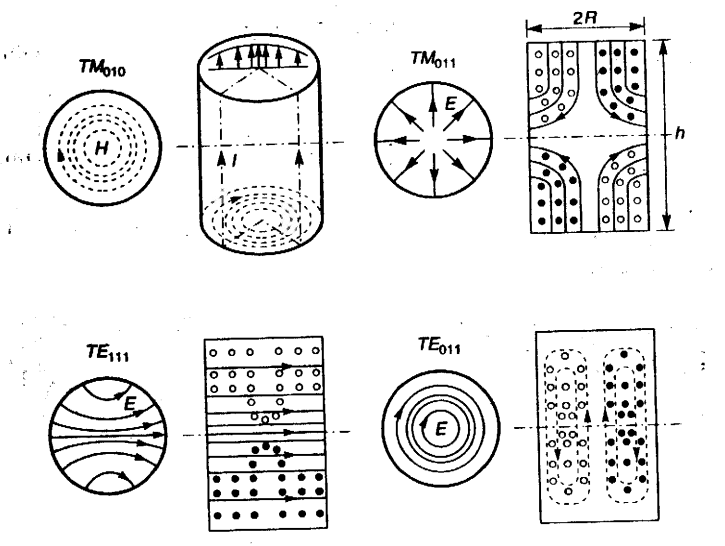
d'où: 
$$f_{010} = 0.383 \frac{v}{R}$$
 (15)

$$\lambda_{010} = 2{,}612\,R\tag{16}$$

Pour les modes TE, il s'agit du mode TE<sub>111</sub> pour lequel  $u'_{11} = 1,841$ , d'où :

$$\lambda_{111} = \left(\frac{0,086}{R^2} + \frac{0,25}{h^2}\right)^{-\frac{1}{2}} \tag{17}$$

Les configurations des lignes de champs  $\vec{E}$  et  $\vec{H}$  sur les parois métalliques de la cavité ainsi qu'en un plan de section transversale médiane sont données à la figure 4 pour ces modes fondamentaux et pour les modes  $TE_{011}$  et  $TM_{011}$ .



Afin d'avoir une notation homogène pour toutes les cavités cylindriques, les modes des cavités à section circulaire ont été notés TE<sub>mnp</sub> et TM<sub>mnp</sub> alors que les modes des guides d'ondes circulaires avaient été notés TE<sub>nm</sub> et TM<sub>nm</sub> au chapitre 13.

Il serait possible, sans ambiguïté, d'adapter la première notation à la seconde en échangeant les places des indices m et n et en notant donc les modes de cavité à section circulaire TEnmp et TMnmp.

Les valeurs numériques données dans le tableau I pour umn et u'mn devraient être conservées pour les u<sub>nm</sub> et u'<sub>nm</sub> correspondant aux modes TM<sub>nmp</sub> et TE<sub>nmp</sub>.

Le diagramme de la figure 5 tracé à partir des relations (13) et (14) permet :

- soit de trouver les fréquences de résonance correspondant aux divers modes possibles, pour une cavité dont on connaît les dimensions (R, h);
- soit de trouver la hauteur d'une cavité correspondant aux divers modes possibles, si l'on connaît son rayon et la fréquence ;
- soit de faire l'inventaire des modes de résonance d'une cavité dans une certaine bande de fréquences.

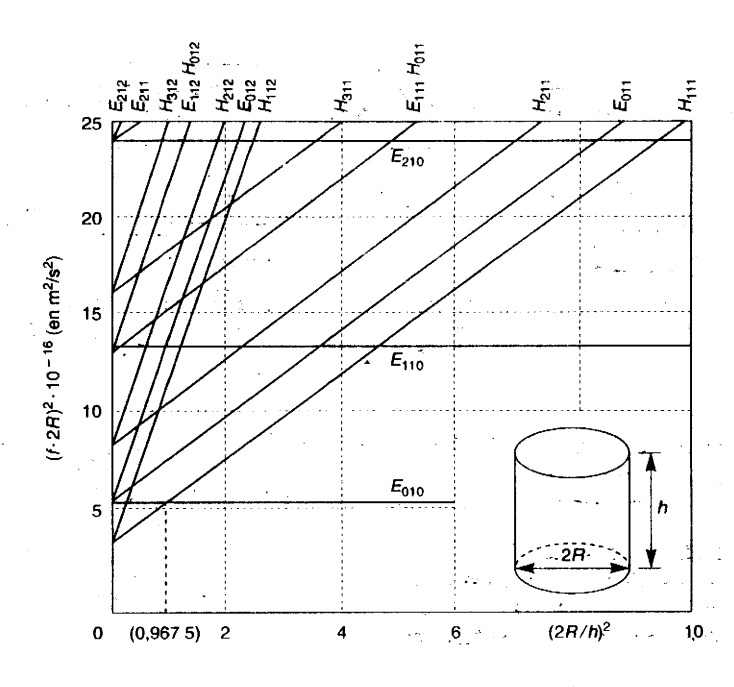


Figure 5. Diagramm et des fréqu résonance d cylindrique circulaire.

(Pour abrég lisé la notat TM et H po

(Figure ext de [68], p.

#### 15.3.3 Résonateurs diélectriques

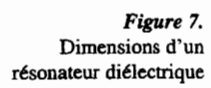
Ce sont des volumes diélectriques à haute permittivité dont la forme est, en général, cylindrique ou parallélépipédique. Ils peuvent être considérés comme des cavités résonnantes pour lesquelles les conditions aux limites sont celles imposées par l'interface air-diélectrique à haute permittivité. Cette interface constitue un mur magnétique alors que dans les cavités constituées à partir de guides d'ondes métalliques, l'interface air-métal constitue un mur électrique. Les résonateurs diélectriques sont utilisés dans certains filtres et dans les oscillateurs micro-ondes pour stabiliser leur fréquence.

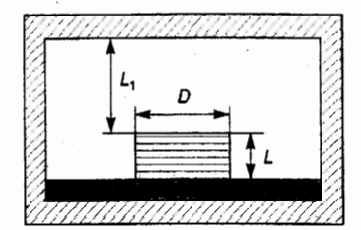
Comme dans les cavités résonnantes à parois métalliques, la résonance s'établit selon différents modes dont les fréquences sont déterminées par les dimensions de la cavité et les conditions aux limites. Le mode fondamental est un mode TE<sub>01n</sub> et les dimensions sont de l'ordre de grandeur de la longueur d'onde guidée  $\lambda_{\sigma} = \lambda_0 / \sqrt{\varepsilon_r} \cdot \varepsilon_r$  étant élevé, les champ E et H sont confinés à l'intérieur du résonateur et à son voisinage, si bien que les pertes par rayonnement sont faibles.

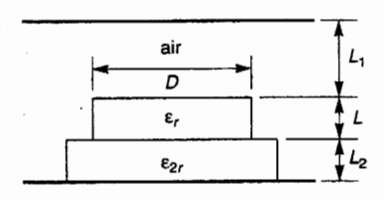
Pour un matériau diélectrique à faibles pertes, il est possible d'obtenir un coefficient de surtension à vide élevé. Les matériaux les plus utilisés sont des céramiques dont la permittivité  $\varepsilon_r$  peut atteindre 90. Les fréquences d'utilisation vont de 3 GHz, au-dessous de laquelle les dimensions du résonateur seraient prohibitives, à 30 GHz, au-dessus de laquelle le coefficient de surtension n'est plus suffisant.

Les résonateurs diélectriques sont montés à l'intérieur d'un boîtier métallique et la configuration la plus utilisée en micro-ondes est celle représentée à la figure 6 car elle se prête bien au couplage avec une ligne microbande.

Figure 6. Schéma d'un résonateur diélectrique







Le calcul du diamètre D du résonateur et de sa hauteur L (fig. 7) se conduit selon la procédure approchée suivante, d'après Kajfez [72] :

- Les hypothèses de départ sont :
- · la fréquence de résonance recherchée,
- l'épaisseur L2 du substrat diélectrique,
- la distance  $L_1$  entre les faces en regard du diélectrique et du boîtier,
- les constantes diélectriques relatives,  $\varepsilon_r$  et  $\varepsilon_{2r}$  du résonateur et du substrat.
- $\blacksquare$  Le diamètre D doit être choisi dans les limites suivantes :

$$\frac{5,4}{k_0\sqrt{\varepsilon_r}} < D < \frac{5,4}{k_0\sqrt{\varepsilon_{2r}}} \tag{18}$$

 $k_0$  est la constante de propagation en espace libre.  $k_0 = 2\pi/\lambda_0$ .

■ La hauteur L est donnée par la formule :

et

$$L = \frac{1}{\beta} \left[ \operatorname{tg}^{-1} \left( \frac{\alpha_1}{\beta} \coth \alpha_1 L_1 \right) + \operatorname{tg}^{-1} \left( \frac{\alpha_2}{\beta} \coth \alpha_2 L_1 \right) \right]$$
 (19)

β est la constante de propagation dans le résonateur diélectrique :

$$\beta^2 = k_0^2 \, \varepsilon_{\scriptscriptstyle \perp} - h^2 \tag{20}$$

 $\alpha_1$  et  $\alpha_2$  sont les constantes d'atténuation dans les guides d'ondes sous coupure, de hauteurs  $L_1$  (diélectrique air) et  $L_2$  (substrat diélectrique).

$$\alpha_1^2 = h^2 - k_0^2 \tag{21}$$

$$\alpha_2^2 = h^2 - k_0^2 \, \varepsilon_{2r} \tag{22}$$

• Le paramètre h de ces formules est à calculer d'après :

$$h = \frac{2}{D} \left[ 2,405 + \frac{y_0}{2,405 \left( 1 + \frac{2,43}{y_0} + 0,291 y_0 \right)} \right]$$
 (23)

avec:

$$y_0 = \sqrt{\left(k_0 \frac{D}{2}\right)^2 \left(\varepsilon_r - 1\right) - 2,405^2}$$
 (24)

Réciproquement, les relations ci-dessus permettent de calculer la fréquence de résonance du résonateur diélectrique connaissant ses caractéristiques géométrique ainsi que  $\varepsilon_r$  et  $\varepsilon_{2r}$ . La résolution précise de ce problème ne peut-être que numérique.

#### 15.4 COEFFICIENTS DE SURTENSION D'UNE CAVITÉ

#### 15.4.1 Définition du coefficient de surtension

Par définition, le coefficient de surtension est le produit par  $2\pi$  du quotient de l'énergie emmagasinée  $W_a$  par l'énergie perdue W pendant une période, soit :

$$Q = 2\pi \frac{W_a}{W} \tag{25}$$

Si P est la puissance perdue moyenne : W = PT et nous avons :

$$Q = \omega \frac{W_a}{P} \tag{26}$$

#### a) Énergie emmagasinée dans la cavité

Si  $\underline{E}$  et  $\underline{H}$  sont les amplitudes complexes des champs, l'énergie emmagasinée dans un élément de volume  $d\nu$  est :

$$dW_a = \frac{1}{2} \varepsilon \underline{E} \cdot \underline{E}^* d\nu = \frac{1}{2} \mu \underline{H} \cdot \underline{H}^* d\nu$$
 (27)

Dans la cavité de volume V, nous aurons donc :

$$W_a = \frac{1}{2} \varepsilon \int_V \underline{E} \cdot \underline{E}^* d\nu = \frac{1}{2} \mu \int_V \underline{H} \cdot \underline{H}^* d\nu$$
 (28)

#### b) Puissance moyenne perdue dans la cavité

Les pertes peuvent être de diverses natures :

• pertes ohmiques dans les parois, soit  $P_i$ ,

Vest 9

201

: 0

- pertes dans le diélectrique dont est remplie la cavité, soit P<sub>d</sub>
- pertes à travers les couplages vers l'extérieur, soit Pex-

Les pertes totales sont donc :

$$P = P_j + P_d + P_{\rm ex} \tag{29}$$

Le coefficient de surtension correspondant à ces pertes totales est :

$$Q_{\rm ch} = \omega \frac{W_a}{P_j + P_d + P_{\rm ex}} \tag{39}$$

Il est appelé coefficient de surtension (ou de qualité) en charge.

### **15.4.2** Coefficients de surtension (ou de qualité) partiels

L'inverse du coefficient de surtension en charge est :

$$\frac{1}{Q_{\rm ch}} = \frac{P_j}{\omega W_a} + \frac{P_d}{\omega W_a} + \frac{P_{\rm ex}}{\omega W_a}$$
 (31)

Si  $W_a \gg P_j$ ,  $P_d$ ,  $P_{\rm ex}$ , nous pouvons considérer que ces pertes n'affectent pas l'énergie emmagasinée  $W_a$  et introduire des coefficients de surtension partiels  $Q_i$ ,  $Q_d$ ,  $Q_{\rm ex}$  en prenant pour référence le même  $\omega$   $W_a$ . Dans ces conditions :

$$\frac{1}{Q_{\rm ch}} = \frac{1}{Q_i} + \frac{1}{Q_d} + \frac{1}{Q_{\rm ex}}$$
 (32)

Les inverses des coefficients de surtension partiels s'ajoutent et l'inverse du coefficient de surtension de la cavité est la somme des inverses des coefficients de surtension partiels. Nous voyens donc que toute cause de pertes supplémentaire a pour effet de diminuer la surtension de la cavité.

Le coefficient de surtension interne (ou propre)  $Q_{\rm pr}$  est défini par :

$$\frac{1}{Q_{\rm pr}} = \frac{1}{Q_i} + \frac{1}{Q_d} \tag{33}$$

Nous pouvons écrire alors :

$$\frac{1}{Q_{\rm ch}} = \frac{1}{Q_{\rm pr}} + \frac{1}{Q_{\rm ex}} = \frac{1}{Q_{\rm pr}} (1 + \beta) \tag{34}$$

avec

$$\beta = \frac{Q_{\rm pr}}{Q_{\rm ex}} \tag{35}$$

β est le coefficient de couplage de la cavité au circuit extérieur.

- Si β < 1, la cavité est dite sous-couplée : les pertes extérieures sont inférieures aux pertes propres.
- Si  $\beta$  > 1, la cavité est dite sur-couplée : les pertes extérieures sont supérieures aux pertes propres.
- Si  $\beta = 1$ , la cavité est au couplage critique.

#### 15.4.3 Calcul de $Q_i$

■ La puissance moyenne perdue par effet Joule dans les parois est :

$$P_{j} = \frac{1}{2} R_{S} \int_{S} \underline{H} \cdot \underline{H}^{*} dS$$
 (36)

avec S, surface des parois de la cavité et  $R_S$ , résistance superficielle des parois de conductivité  $\sigma_1$ . Si  $\delta_S$  est la profondeur de pénétration des courants dans les parois, due à l'effet de Peau :

$$R_{S} = \frac{1}{\sigma_{1} \delta_{S}}$$
 (37)

avec

$$\delta_S = \frac{1}{\sqrt{\pi \, \mu_1 \, \sigma_1 f}} \tag{38}$$

En écrivant :  $R_S = \omega \mu_1 \delta_S / 2$ , nous obtenons

$$P_j = \frac{1}{2} \cdot \frac{\omega \mu_1 \delta_S}{2} \int_S \underline{H} \cdot \underline{H}^* \, \mathrm{d}S$$
 (39)

 $\blacksquare$  Le coefficient de surtension  $Q_i$  dû aux pertes dans les parois est donc :

$$Q_{j} = \omega \left[ \frac{1}{2} \mu \int_{V} \underline{H} \cdot \underline{H}^{*} dv \right] \left[ \frac{1}{2} \cdot \frac{\omega \mu_{1} \delta_{S}}{2} \int_{S} \underline{H} \cdot \underline{H}^{*} dS \right]^{-1}$$
(40)

Compte tenu de ce que, généralement  $\mu = \mu_1 = \mu_0$ , il vient :

$$Q_{j} = \frac{2}{\delta_{S}} \left[ \int_{V} \underline{H} \cdot \underline{H}^{*} \, dv \right] \left| \int_{S} \underline{H} \cdot \underline{H}^{*} \, dS \right|^{-1}$$
(41)

En introduisant le volume V de la cavité et la surface S des parois :

$$Q_j = \frac{2}{\delta_S} \cdot \frac{V}{S} \left| \frac{1}{V} \int_V H \cdot H^* dv \right| \left[ \frac{1}{S} \int_S H \cdot H^* dS \right]^{-1}$$
(42)

Finalement:

$$Q_j = \frac{2}{\delta_S} \cdot \frac{V}{S} F \tag{43}$$

F est un facteur de forme égal au rapport des valeurs moyennes du champ magnétique dans le volume  $V(1^{er}$  crochet) et sur la surface  $S(2^{e}$  crochet) de la

cavité. Ce facteur, qui dépend de la géométrie de la cavité et du mode de résonance étudié, est compris entre 0,1 et 1. On en touvera dans [68, p.74 et 75] les expressions pour divers types de cavités.

La fréquence qui intervient dans le calcul de  $\delta_S$ est la fréquence de résonance de la cavité. Donc,  $\delta_S$  est proportionnel à la racine carrée de la longueur d'onde de résonance. Par ailleurs, V/S qui est homogène à une longueur, est donc proportionnel à la longueur d'onde de résonance ; finalement :

$$Q_{\rm j} = K \sqrt{\lambda_{\rm res}} \tag{44}$$

La surtension des cavités ne pourra donc pas atteindre des valeurs très élevées en ondes millimétriques où l'on devra utiliser des résonateurs spécifiques (voir § 15.8.2 « Résonateurs en ondes millimétriques »).

Notons enfin que, pour une fréquence de résonance donnée,  $Q_j$  est proportionnel à  $\sqrt{\sigma_1}$ : il est donc possible d'augmenter  $Q_j$  en élevant la conductivité des parois, ce qui peut être obtenu à basse tempétature, avec des parois supraconductrices.

#### 15.4.4 Calcul de $Q_d$

 Soit une cavité remplie d'un diélectrique à pertes, présentant donc une certaine conductivité σ. Ce diélectrique peut être caractérisé par la permittivité complexe :

$$\underline{\varepsilon} = \varepsilon - j \frac{\sigma}{\omega} = \varepsilon_0 \left( \frac{\varepsilon}{\varepsilon_0} - j \frac{\sigma}{\omega \varepsilon_0} \right)$$
 (45)

 $\underline{\varepsilon}$  est écrit sous la forme  $\varepsilon_0$  ( $\varepsilon$ ' –  $j\varepsilon$ ").

• La puissance moyenne perdue dans le diélectrique est :

$$P_d = \frac{1}{2} \sigma \int_V \underline{E} \cdot \underline{E}^* \, \mathrm{d}v \tag{46}$$

• Le coefficient de qualité dû aux pertes dans le diélectrique est donc :

$$Q_d = \omega \left[ \frac{1}{2} \varepsilon \int_V \underline{E} \cdot \underline{E}^* \, d\nu \right] \left[ \frac{1}{2} \sigma \int_V \underline{E} \cdot \underline{E}^* \, d\nu \right]^{-1} = \frac{\omega \varepsilon}{\sigma}$$
 (47)

Or  $\omega \epsilon / \sigma = \epsilon' / \epsilon''$  est l'inverse de la tangente de l'angle de pertes du diélectrique.

D'où: 
$$Q_d = \frac{1}{\lg \delta}$$
 (48)

Ce coefficient de qualité est donc indépendant des dimensions de la cavité et de son mode de résonance. Il ne dépend que des pertes du diélectrique remplissant la cavité. En hyperfréquences, les meilleurs diélectriques homogènes ont un tg  $\delta = 10^{-4}$ , ce qui limite  $Q_d$  à  $10^4$ . Pour obtenir des coefficients de qualité plus élevés, il faudra donc utiliser des cavités vides ou remplies d'air.

### 15.5 MODÉLISATION D'UNE CAVITÉ — IMPÉDANCE D'ENTRÉE

Pour qu'une cavité résonnante puisse être utilisée en pratique, elle doit être couplée avec d'autres éléments extérieurs et être excitée par une source à une fréquence voisine de l'une de ses fréquences propres. La cavité fonctionne alors en oscillations forcées.

#### 15.5.1 Modélisation

Vu de la ligne ou du guide d'accès à la cavité, l'ensemble situé au-delà d'un plan de référence  $P_1$  peut être considéré comme une charge. Celle-ci est caractérisée par son coefficient de réflexion  $\Gamma$  ou par l'impédance ou l'admittance réduite qu'elle ramène en ce plan. Ces paramètres sont reliés par :

$$z = \frac{1 + \Gamma}{1 - \Gamma}$$
 et  $y = \frac{1 - \Gamma}{1 + \Gamma}$  (50)

 $\Gamma$  pourra être déterminé par les méthodes de mesure classiques effectuées sur la voie d'accès; on en déduira z et y. Par ailleurs, s'il est possible d'exprimer z et y en fonction des paramètres caractéristiques de la cavité que sont  $\omega_0$ ,  $\beta$  et  $Q_{pr}$ , on pourra calculer ces derniers en déterminant  $\Gamma$  à trois fréquences différentes.

Le comportement d'une cavité résonnante étant identique à celui d'un circuit résonnant, nous allons nous servir des résultats, bien connus, de ces circuits pour identifier une cavité résonnante à un circuit résonnant et calculer ainsi l'impédance ou l'admittance d'entrée d'une cavité.

Soit une cavité qui, lorsqu'elle est isolée, résonne à une pulsation propre  $\omega_0$  et a un coefficient de qualité propre  $Q_{\rm pr}$ . Cette cavité est un circuit accordé à constantes (R, L, C) réparties. Représentons-la par un circuit à constantes (R, L, C) localisées (fig. 8): ce peut être soit un circuit résonnant série  $(R_S, L_S, C_S)$  soit un circuit résonnant parallèle  $(R_p, L_p, C_p)$ .

Pour qu'il y ait équivalence entre la cavité et chacun des deux circuits, il faut que ces derniers présentent la même fréquence de résonance et le même coefficient de qualité que la cavité, soit :

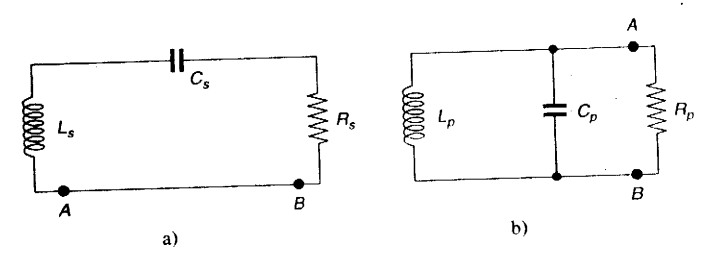
$$L_S C_S \omega_0^2 = 1 (51)$$

$$\frac{L_S \omega_0}{R_S} = Q_{\rm pr} \tag{52}$$

$$L_p C_p \omega_0^2 = 1 (53)$$

$$R_p C_p \omega_0 = Q_{\rm pr} \tag{54}$$

Figure 8. délisation d'une é résonnante par ircuit résonnant érie (fig. 8a) ou rallèle (fig. 8b).



Remarquons que les couples de relations a) et b) contiennent les trois paramètres caractéristiques R, L, C et que, par conséquent, ils ne pourront être déterminés qu'à une constante de proportionnalité près.

### 15.5.2 Impédance d'entrée

Supposons maintenant que la cavité est couplée à un circuit extérieur, mais que le couplage est infinitésimal, c'est-à-dire suffisamment petit pour que l'on puisse considérer que  $\omega_0$  et  $Q_{\rm pr}$  restent inchangés.

Pour étudier l'équivalence de ce cas avec le circuit résonnant à couplage infinitésimal, nous devons nous préoccuper de calculer l'impédance d'entrée des circuits résonnants série et parallèle entre leurs bornes A et B:

• l'impédance d'entrée du circuit résonnant série est :

$$Z_{S}(\omega) = R_{S} \left[ 1 + j Q_{pr} \left( \frac{\omega}{\omega_{0}} - \frac{\omega_{0}}{\omega} \right) \right]$$
 (55)

• l'impédance d'entrée du circuit résonnant parallèle est :

$$Z_{ff}(\omega) = R_p \left[ 1 + j Q_{pr} \left( \frac{\omega}{\omega_0} - \frac{\omega_0}{\omega} \right) \right]^{-1}$$
 (56)

Ces impédances doivent être égales à l'impédance d'entrée  $Z_e$  de la cavité. Or, nettement en dehors de la résonance ( $\omega \gg \omega_0$  ou  $\omega \ll \omega_0$ ).  $Z_S$  est très élevée et  $Z_{ll}$  est très faible tandis que  $Z_e$  doit être presque nulle puisque le trou de couplage qui est tout petit est équivalent à un court-circuit.

Par conséquent, le plan de référence où sera comptée l'impédance d'entrée de la cavité doit être pris, sur la ligne d'accès à la cavité :

- en un maximum d'impédance, soit à  $(2n + 1) \lambda/4$  de l'interface de couplage si la modélisation est celle du circuit résonnant série ;
- en un minimum d'impédance, soit à  $n\lambda/2$  de l'interface de couplage si la modélisation est celle du circuit résonnant parallèle.

À côté des paramètres  $\omega_0$  et  $Q_{\rm pr}$  qui sont accessibles au calcul ou à l'expérience, il subsiste encore un paramètre  $R_p$  ou  $R_S$  qui est indéterminé. Nous allons voir, dans ce qui suit comment peut être levée cette indétermination.

■ Dans le cas où la cavité est couplée au circuit extérieur par un couplage qui n'est plus nécessairement infinitésimal, supposons que la voie d'accès, d'impédance caractéristique  $Z_0$ , est adaptée à son extrémité opposée à la cavité et raisonnons en impédances réduites.

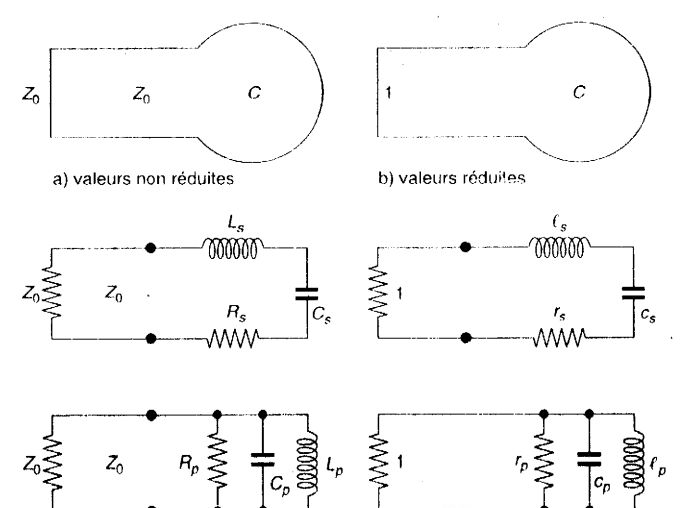
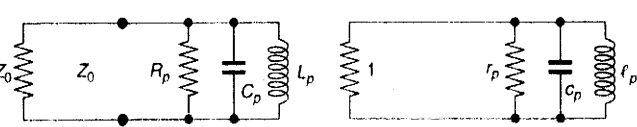


Figure 9. Modélisatio d'une cavitrésonnante à un circuit a, en impéd non réduite b. en impéd réduites.



• Dans le cas série :

$$z_S(\omega) = r_S \left[ 1 + j Q_{pr} \left( \frac{\omega}{\omega_0} - \frac{\omega_0}{\omega} \right) \right]$$
 (57)

Or, nous avons dans ce cas, puisque  $z_0 = 1$ :

$$Q_{\rm ex} = \frac{\ell_S \, \omega_0}{z_0} = \frac{1}{z_0 \, \zeta_S \, \omega_0} = \ell_S \, \omega_0 = \frac{1}{c_S \, \omega_0}$$
 (58)

$$Q_{\rm pr} = \frac{\ell_S \, \omega_0}{r_S} = \frac{1}{r_S \, c_S \, \omega_0}$$
 (59)

d'où :

$$r_S = \frac{Q_{\rm ex}}{Q_{\rm pr}} = \frac{1}{\beta} \tag{60}$$

$$\Rightarrow z_S(\omega) = \frac{1}{\beta} \left[ 1 + j Q_{pr} \left( \frac{\omega}{\omega_0} - \frac{\omega_0}{\omega} \right) \right]$$
 (61)

• Dans le cas parallèle :

$$z_{//}(\omega) = r_p \left[ 1 + j Q_{pr} \left( \frac{\omega}{\omega_0} - \frac{\omega_0}{\omega} \right) \right]^{-1}$$
 (62)

Nous avons, de même, dans ce cas :

$$Q_{\rm ex} = \frac{z_0}{\ell_p \, \omega_0} = z_0 \, c_p \, \omega_0 = \frac{1}{\ell_p \, \omega_0} = c_p \, \omega_0 \tag{63}$$

$$Q_{\rm pr} = \frac{r_p}{\ell_p \, \omega_0} = r_p \, c_p \, \omega_0 \tag{64}$$

d'où;

$$r_p = \frac{Q_{\rm pr}}{Q_{\rm ex}} = \beta \tag{65}$$

$$\Rightarrow z_{//}(\omega) = \beta \left[ 1 + j Q_{pr} \left( \frac{\omega}{\omega_0} - \frac{\omega_0}{\omega} \right) \right]^{-1}$$
 (66)

Nous disposons désormais d'expressions de l'impédance d'entrée réduite qui peuvent être déterminées uniquement à partir des paramètres  $\beta$ ,  $Q_{\rm pr}$  et  $\omega_0$  accessibles au calcul ou à l'expérience. L'expression  $z_S(z_{ll})$  est à utiliser si le plan de référence des impédances réduites est pris en un maximum (minimum) d'impédance sur la voie d'accès.

Dans le cas où la cavité est couplée par un petit iris, l'impédance d'entrée dans le plan de couplage est à peu près nulle en dehors de la résonance. Il convient donc d'utiliser la modélisation de la cavité par un circuit résonnant parallèle, en prenant le plan de couplage de la cavité comme plan de référence pour son impédance réduite. C'est donc l'expression  $z_{||}(\omega)$  et cette convention que nous utiliserons désormais pour calculer l'impédance d'entrée de la cavité résonnante.

## 15.5.3 Représentation sur le diagramme de Smith de $y_e$

L'admittance d'entrée de la cavité est donnée par :

$$y_e = \frac{1}{\beta} \left[ 1 + j \, 2x \, Q_{pr} \right]$$
 (67)

$$2x = \frac{\omega}{\omega_0} - \frac{\omega_0}{\omega} \tag{68}$$

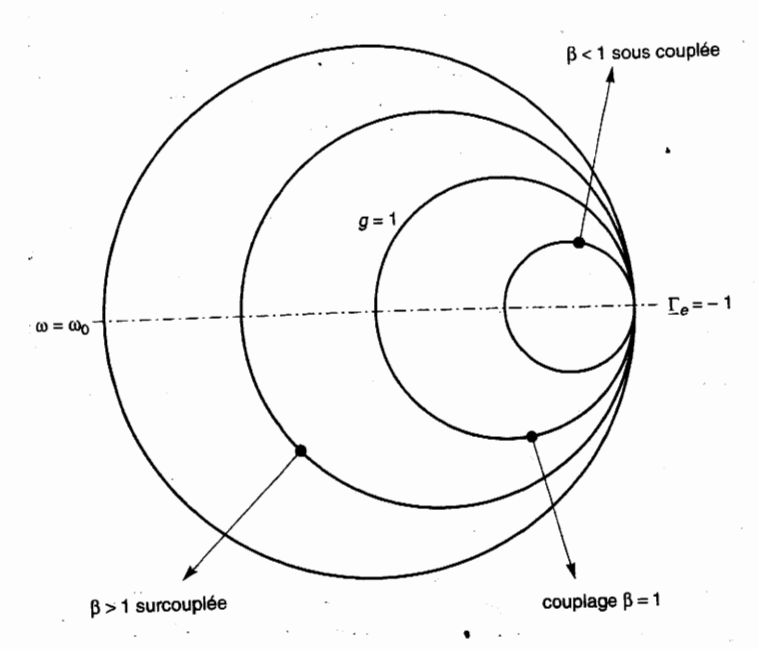


Figure 10.
Représentation su diagramme de Su des domaines d'u cavité sur-couplée.

Sur l'abaque de Smith,  $y_e$  se déplace sur un cercle représentatif de la valeur réelle  $1/\beta$ .

Ce cercle coupe l'axe des abscisses en  $y_e=1/\beta$  pour  $\omega=\omega_0$  :

- si ce point se trouve à l'extérieur du cercle g = 1,  $1/\beta < 1$  et  $\beta > 1$ , la cavité est dite sur-couplée;
- si ce point se trouve à l'intérieur du cercle  $g=1,\,1/\beta>1$  et  $\beta<1,$  la cavité est dite sous-couplée ;
- si ce point se trouve sur le cercle g = 1,  $\beta = 1$ , la cavité est au couplage critique.

Loin de la résonance,  $y_e = (1/\beta)$  j  $2x Q_{pr} = jX$  avec  $X \gg 1$ .

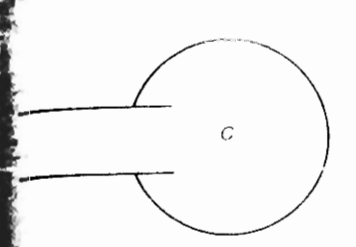
Donc, le coefficient de réflexion  $\Gamma_e$  à l'entrée de la cavité est :

$$\underline{\Gamma}_e = \frac{1 - jX}{1 + jX} \simeq -1,$$

La cavité se comporte donc comme un court-circuit.

d'une

#### 5.6 CAVITÉS COUPLÉES PAR UN ACCÈS



tine telle cavite (fig. 11) fonctions en réflexion ou en absorption et, poin en expliquer le fonctionnement, il faut faire l'étude du coefficient de réflexion qui s'exprime en fonction de l'impédance ou de l'admittance réduite de la cavité.

### **15.6.1** Puissance réfléchie – Puissance transmise à la cavité

Nous venons de démontrer que l'impédance d'entrée de la cavité est donnée, en valeur réduite, par :

$$z_e = \beta \left[ 1 + j Q_{pr} 2x \right]^{-1} \text{ avec } 2x = \frac{\omega - \omega_0}{\omega_0 - \omega}$$
 (69)

n prenant le plan du couplage comme plan de référence.

Rappelons que cette impédance a été calculée en modélisant la cavité par un ciruit résonnant qui prend en compte toutes les causes de pertes, y compris celles qui sont dues au couplage avec le circuit extérieur. Par conséquent, le coefficient de réflexion  $\Gamma_e$  qui lui correspond permettra de calculer la réflexion globale de cavité que l'on pourrait mesurer en intercalant un coupleur directif entre elle et le générateur.

#### a) Loin de la résonance

$$\mathbf{S} \| \boldsymbol{\omega} > \boldsymbol{\omega}_0 \quad \rightarrow \quad \frac{\boldsymbol{\omega}}{\boldsymbol{\omega}_0} - \frac{\boldsymbol{\omega}_0}{\boldsymbol{\omega}} > 0 \quad \rightarrow \quad \boldsymbol{z}_e = \beta \left[ 1 + \mu Q_{\text{pr}} \left( 2 \boldsymbol{v} > 0 \right) \right]^{-1}$$

Donc :

$$z_e = r_e + j x_e \quad \text{avec} \quad x_e < 0 \tag{70a}$$

$$\mathbf{Si} \, \mathbf{\omega} < \mathbf{\omega_0} \quad \rightarrow \quad \frac{\mathbf{\omega}}{\mathbf{\omega_0}} - \frac{\mathbf{\omega_0}}{\mathbf{\omega}} < 0 \quad \rightarrow \quad z_e = \beta \left[ 1 + j \, Q_{pr} \, (2x < 0) \right]^{-1}$$

Donc:

$$z_e = r_e + j x_e \text{ avec } x_e > 0$$
 (70b)

Des que  $\omega$  n'est pas très voisin de  $\omega_0$  – et comme  $Q_{\rm pr}$  est très grand – nous pouvons négliger 1 devant  $2x\,Q_{\rm pr}$ , alors :

$$z_e = -\frac{J\beta}{2xQ_{pr}}$$
 avec  $\frac{\beta}{2xQ_{pr}} \ll 1$  (71)

(les valeurs de  $\beta$ , en general voranes de 1, n'excedent jamais quelque dizaines). Dans ves conditions

$$1 = \frac{1}{1 + i} = \frac{1}{1 + i}$$
 (72)

 $\Gamma_p^2 + \Gamma$  La puissance réfléchie par la cavité est maximale et aucune puissance ne pénetre à l'intérieur de la cavite

#### b) Au voisinage de la résonance ( $\omega = \omega_0$ )

À partir de  $z_i = \beta + 1 + jQ_{pr} + (1 - 1)$ , nous pouvons calculer  $V_{ij}$ 

$$|1_{j,2}|^{\frac{2\gamma}{\gamma}-1} \left| \begin{array}{cc} \beta & 1 & 1 O_{pr} & 2\gamma \\ \beta & 1 & 1 + 1 O_{pr} & 2\gamma \end{array} \right|$$
 (73)

d'où nous déduisons

$$\rightarrow 1_{c} = (-1)^{\frac{1}{2}} + (2\sqrt{Q_{pr}})^{2}$$
 (74)

qui correspond a la puissance réfléchie par la cavité

$$\sim 1 - 1 \left( \frac{4\beta}{(\beta + 1)^2 + (2\sqrt{Q_{pr}})^2} \right)$$
 (75)

qui correspond à la puissance transmise à la cavité.

Comme  $\beta \approx Q_{\rm pl}/Q_{\rm ex}$  et  $\beta + 1 \approx Q_{\rm pl}/Q_{\rm ch}$  il vient

$$1 - 1^{3} = \frac{K}{1 + (2\pi Q_{\rm ch})^{3}}$$
 (76)

ave

$$-K = \frac{Q_{\rm ch}^2}{Q_{\rm pr}Q_{\rm rs}} \tag{77}$$

La courbe des variations de le 1 [ (fig. 12) qui représente la variation de la puissance transmise à la cavité est donnée par

$$= \frac{P_{\text{tab}}}{P_{\text{min}}} = \frac{K}{1 + C \times O_{\text{ch}}}, \quad \text{avec} \quad \forall \tau = \frac{\omega_0 - \omega_0}{\omega_0}$$
 (78)

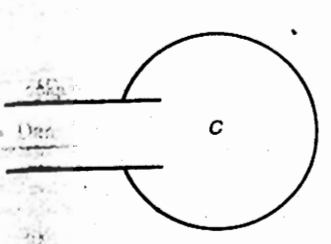
On peut également tracer la courbe des variations (fig. 1.2) de  $\Gamma_c^2$  qui correspond à la puissance réfléchie par la cavité : elle est donnée par .

$$\frac{P_{\text{tel}}}{P_{\text{ca}}} = 1 - \frac{K}{1 + (2\sqrt{O_{\text{ch}}})^2}$$
 (79)

Considers combanation complémentaine set à la résonance s=0 , donc  $P_{\rm con}/P_{\rm inc}=K$  et  $P_{\rm ref}/P_{\rm inc}=1-K$ 



#### CAVITÉS COUPLÉES PAR UN ACCÈS



Une telle cavité (fig. 11) fonctionne en réflexion ou en absorption et, pour en expliquer le fonctionnement, il faut faire l'étude du coefficient de réflexion qui s'exprime en fonction de l'impédance ou de l'admittance réduite de la cavité.

#### 15.6.1 Puissance réfléchie – Puissance transmise à la cavité

Note venons de démontrer que l'impédance d'entrée de la cavité est donnée, en valeur réduite, par :

$$z_e = \beta \left[ 1 + j Q_{pr} 2x \right]^{-1} \quad \text{avec} \quad 2x = \frac{\omega}{\omega_0} - \frac{\omega_0}{\omega}$$
 (69)

mant le plan du couplage comme plan de référence.

qui prend en compte toutes les causes de pertes, y compris celles au couplage avec le circuit extérieur. Par conséquent, le coefficient qui lui correspond permettra de calculer la réflexion globale de qui pourrait mesurer en intercalant un coupleur directif entre elle

#### il de la résonance

$$\frac{\omega}{\omega_0} - \frac{\omega_0}{\omega} > 0 \rightarrow z_e = \beta \left[ 1 + j Q_{pr} (2x > 0) \right]^{-1}$$

$$z_e = r_e + j x_e \quad \text{avec} \quad x_e < 0$$
(70a)

$$\frac{\omega_0}{\omega_0} - \frac{\omega_0}{\omega} < 0 \rightarrow z_e = \beta \left[ 1 + j Q_{pr} (2x < 0) \right]^{-1}$$

$$z_e = r_e + j x_e \text{ avec } x_e > 0$$
 (70b)

est pas très voisin de  $\omega_0$  – et comme  $Q_{\rm pr}$  est très grand – nous pou-

$$z_e = -\frac{j\beta}{2xQ_{pr}}$$
 avec  $\frac{\beta}{2xQ_{pr}} \le 1$  (71)

(les valeurs de  $\beta$ , en général voisines de 1, n'excèdent jamais quelque dizaines). Dans ces conditions :

$$\underline{\Gamma}_e = \frac{z_e - 1}{z_e + 1} \approx -1 \tag{72}$$

 $\Gamma_e^2 = 1$ . La puissance réfléchie par la cavité est maximale et aucune puissance ne pénètre à l'intérieur de la cavité.

#### b) Au voisinage de la résonance ( $\omega \approx \omega_0$ )

À partir de  $z_e = \beta [1 + jQ_{pr} 2x]^{-1}$ , nous pouvons calculer  $\Gamma_e$ :

$$\Gamma_e = \left| \frac{z_e - 1}{z_e + 1} \right| = \left| \frac{\beta - 1 - j Q_{pr} 2x}{\beta + 1 + j Q_{pr} 2x} \right|$$
 (73)

d'où nous déduisons :

$$\to \Gamma_e^2 = 1 - \frac{4\beta}{(\beta + 1)^2 + (2x Q_{pr})^2}$$
 (74)

qui correspond à la puissance réfléchie par la cavité.

$$\rightarrow 1 - \Gamma_e^2 = \frac{4\beta}{(\beta + 1)^2 + (2x Q_{pr})^2}$$
 (75)

qui correspond à la puissance transmise à la cavité.

Comme  $\beta = Q_{pr}/Q_{ex}$  et  $\beta + 1 = Q_{pr}/Q_{ch}$ , il vient :

$$1 - \Gamma_e^2 = \frac{K}{1 + (2x \, Q_{\rm ch})^2} \tag{76}$$

avec :

$$K = 4 \frac{Q_{\rm ch}^2}{Q_{\rm pr} Q_{\rm ex}} \tag{77}$$

La courbe des variations de  $1 - \Gamma_e^2$  (fig. 12) qui représente la variation de la puissance transmise à la cavité est donnée par :

$$\frac{P_{\text{cav}}}{P_{\text{inc}}} = \frac{K}{1 + (2xQ_{\text{ch}})^2} \text{ avec } x = \frac{\omega - \omega_0}{\omega_0}$$
 (78)

On peut également tracer la courbe des variations (fig. 12) de  $\Gamma_e^2$  qui correspond à la puissance réfléchie par la cavité ; elle est donnée par :

$$\frac{P_{\text{ref}}}{P_{\text{cav}}} = 1 - \frac{K}{1 + (2x Q_{\text{ch}})^2} \tag{79}.$$

Ces deux courbes sont complémentaires et à la résonance x = 0; donc  $P_{\text{cav}}/P_{\text{inc}} = K$  et  $P_{\text{réfl}}/P_{\text{inc}} = 1 - K$ .

La valeur de K peut être étalonnée car nous verrons (au c)) qu'à la résonance :

$$\Gamma_e^2 = \left(\frac{\beta - 1}{\beta + 1}\right)^2 \quad \to \quad K = 1 - \left(\frac{\beta - 1}{\beta + 1}\right)^2 \tag{80}$$

La valeur maximale de K, qui est 1, est atteinte pour  $\beta = 1$ .

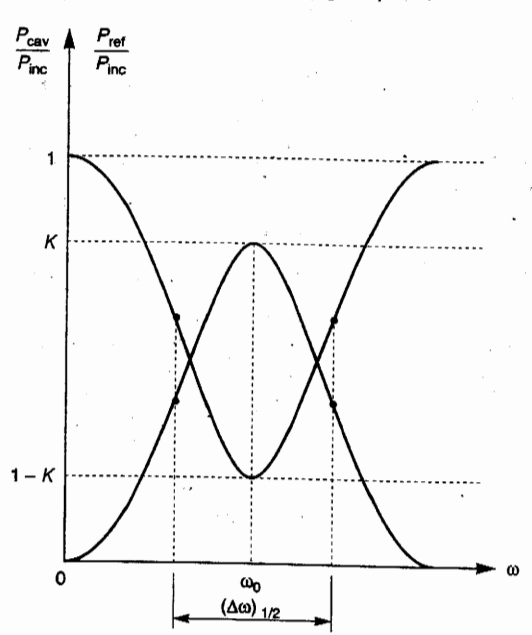


Figure 12.
Courbes des variations
de la puissance
transmise à la cavité
et de la puissance
réfléchie par la cavité.

Sur ces courbes, les points à mi-niveau sont obtenus pour x tel que  $2x\ Q_{\rm ch}=1$ . Soit  $(\Delta\omega)_{1/2}$  la différence des deux pulsations pour lesquelles ce niveau est obtenu :

$$Q_{\rm ch} = \frac{1}{2x} = \frac{\omega_0}{(\Delta\omega)_{1/2}}$$
 (81)

Ainsi,  $Q_{\rm ch}$  se mesure à partir de  $\omega_0$  et de  $(\Delta\omega)_{1/2}$ .

#### c) À la résonance ( $\omega = \omega_0$ )

$$z_e = \beta \rightarrow \Gamma_e = \frac{z_e - 1}{z_e + 1} = \frac{\beta - 1}{\beta + 1}$$
 (82)

D'après les courbes tracées, nous voyons que la puissance transmise à la cavité est maximale tandis que la puissance réfléchie est minimale :

Si 
$$\beta > 1$$
,  $\Gamma_e = \frac{\beta - 1}{\beta + 1} \rightarrow \beta = \frac{1 + \Gamma_e}{1 - \Gamma_e} = \text{R.O.S.}$  (83)

Si 
$$\beta < 1$$
,  $\Gamma_e = \frac{1-\beta}{1+\beta} \rightarrow \beta = \frac{1-\Gamma_e}{1+\Gamma_e} = \frac{1}{\text{R.o.s.}}$  (84)

La mesure du R.O.S. permet donc de déterminer  $\beta$  ou  $1/\beta$  sans qu'il soit possible de savoir lequel. Cette indétermination ne pourra être levée qu'en prenant en considération le changement de phase à la réflexion (voir § 15.6.2).

### 15.6.2 Interprétation physique du fonctionnement de la cavité

#### Loin de la résonance

Nous avons vu que la cavité se comporte comme un court-circuit. Elle réfléchit donc la totalité de l'énergie que lui envoie le générateur et elle n'accumule aucune énergie en son sein. Le R.O.S. dans la ligne d'alimentation sera donc très élevé.

#### Près de la résonance

 $z_e$  est complexe et  $\Gamma_e$  < 1. La cavité ne se comporte plus comme un court-circuit et le R.O.S. diminue dans la ligne d'alimentation. Par conséquent, une partie de l'énergie envoyée par le générateur est réfléchie directement sur l'interface d'entrée ; une autre partie est transmise à l'intérieur de la cavité où l'onde qu'elle produit subit de multiples réflexions sur les parois de la cavité.

Cette énergie transmise à l'intérieur de la cavité engendre :

- de l'énergie emmagasinée sous forme stationnaire (réactive),
- de l'énergie active qui compense les pertes dans les parois et le diélectrique,
- de l'énergie active qui est rayonnée vers l'extérieur à travers l'ouverture de couplage.

Dans la ligne qui relie la cavité au générateur, il y a une onde réfléchie qui se compose :

- de l'onde réfléchie directement sur l'interface d'entrée de la cavité,
- de l'onde rayonnée par la cavité à travers cet interface.

Il est très important de noter que les puissances transportées par ces ondes ne s'additionnent pas obligatoirement. En effet, elles correspondent à des ondes se propageant dans la même direction mais qui ne sont pas forcément en phase. En particulier, il peut se produire que ces ondes soient en opposition de phase,

auquel cas les puissances qu'elles transportent se retranchent et pourront s'annuler.

#### À la résonance

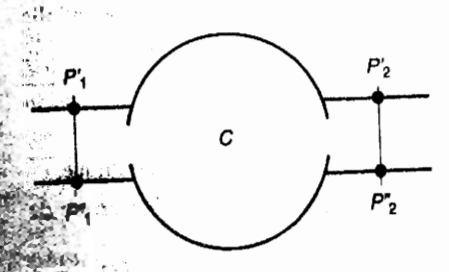
 $z_e = \beta$  est réelle. Le coefficient de réflexion  $\Gamma_e = (\beta - 1)/(\beta + 1)$  est réel et passe par sa valeur minimale ainsi que le R.O.S. dans la ligne d'alimentation de la cavité. L'onde transmise à la cavité est maximale.

Notons que si  $\beta > 1$ ,  $\Gamma_e$  est positif : il y a réflexion sans changement de phase ; tandis que si  $\beta < 1$ ,  $\Gamma_e$  est négatif : il y a réflexion avec un déphasage de 180°. Comme en dehors de la résonance, la réflexion s'effectue avec un déphasage de 180° ( $\Gamma_e = -1$ ), l'examen du comportement de la phase quand la cavité est désaccordée permettra de savoir si cette cavité est sur-couplée (auquel cas la phase change de 180° entre  $\omega_0$  et  $\omega \neq \omega_0$ ) ou si elle est sous-couplée (auquel cas la phase ne change pas entre  $\omega_0$  et  $\omega \neq \omega_0$ ).

Dans le cas particulier où  $\beta=1$ ,  $\Gamma_e=0$ : il n'y a pas de réflexion sur la cavité bien qu'il y ait une onde rayonnée par la cavité vers l'extérieur (puisque  $\beta=1$ :  $P_{\rm ex}/P_{\rm pr}=1$  d'où  $P_{\rm ex}=P_{\rm pr}$ ). Ceci signifie que l'onde rayonnée par la cavité vers l'extérieur et l'onde réfléchie sur l'interface de couplage sont d'amplitudes égales et en opposition de phase, de sorte que les puissances qu'elles transportent doivent être retranchées et qu'elles s'annulent.

### 15.7

### CAVITÉ COUPLÉE PAR DEUX ACCÈS



Considérons une cavité ayant deux accès par lesquels elle se trouve couplée d'une part à une source et d'autre part à une charge (fig. 13). Cette cavité fonctionne en absorption à l'accès relié à la source et en émission à l'accès relié à la charge. Globalement, elle fonctionne en transmission de la source vers la

charge Soient:

11 puissance incidente,

la puissance dissipée dans l'ensemble cavité + charge,

Pa la puissance transmise à la charge.

Nous nous proposons de déterminer :

P; coefficient de transfert de la cavité en absorption ;

 $\tau_t = P_t/P_i$ , coefficient de transfert de la cavité en transmission ou coefficient de transmission.

Nous avons évidemment :  $\tau_t = \tau_a \cdot \tau_e$  (85)

Pour résoudre ce problème, nous allons utiliser le schéma équivalent à ce montage (fig. 14) où :

- les éléments r<sub>p</sub>, ℓ<sub>p</sub>, c<sub>p</sub> sont propres à la cavité isolée,
- les éléments  $r_{p_1}$  et  $r_{p_2}$  représentent les résistances internes de la source et de la charge

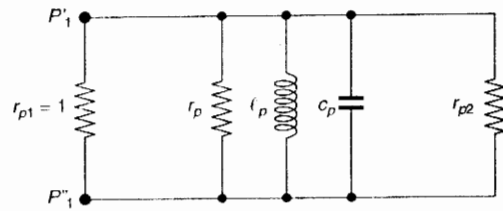


Figure 14.

Modélisation par un circuit parallè d'une cavité coupar deux accès.

sur lesquelles est dissipée la puissance perdue à travers les couplages d'entrée et de sortie.

Toutes ces impédances sont normalisées par rapport à une impédance de référence qui est souvent l'impédance caractéristique des lignes d'accès à la cavité.

Si la ligne est adaptée à la source du côté de l'entrée, nous avons  $r_{p_1} = 1$ .

- Compte tenu des résultats établis au paragraphe 15.5 :
- les relations caractéristiques de la cavité sont :

$$\ell_p \, c_p \, \omega_0^2 = 1 \tag{86}$$

et

$$Q_{\rm pr} = \frac{r_p}{\ell_p \, \omega_0} = r_p \, c_p \, \omega_0 \tag{87}$$

• les relations correspondant au couplage d'entrée sont :

$$Q_{\text{ex}1} = \frac{r_{p_1}}{\ell_p \, \omega_0} = r_{p_1} \, c_p \, \omega_0 \tag{88}$$

et

$$\beta_1 = \frac{Q_{\text{pr}}}{Q_{\text{ext}}} = \frac{r_p}{r_p} \tag{89}$$

- les relations correspondant au couplage de sortie sont les mêmes en remplaçant les indices 1 par des indices 2,
- le coefficient de surtension en charge est :

$$\frac{1}{Q_{\rm ch}} = \frac{1}{Q_{\rm pr}} + \frac{1}{Q_{\rm ex1}} + \frac{1}{Q_{\rm ex2}} = \frac{1}{Q_{\rm pr}} (1 + \beta_1 + \beta_2)$$
 (90)

L'impédance d'entrée de l'ensemble cavité + charge se calcule par une relation du type de celle donnée au paragraphe 15.5 :

$$z_{ff} = r_p \left[ 1 + j Q_{pr} 2x \right]^{-1} \quad \text{avec} \quad 2x = \frac{\omega}{\omega_0} - \frac{\omega_0}{\omega}$$
 (91)

auquel cas les puissances qu'elles transportent se retranchent et pourront s'annuler.

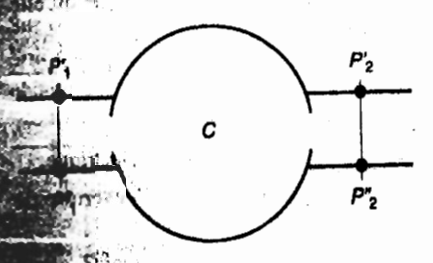
#### À la résonance

 $z_e = \beta$  est réelle. Le coefficient de réflexion  $\Gamma_e = (\beta - 1)/(\beta + 1)$  est réel et passe par sà valeur minimale ainsi que le R.O.S. dans la ligne d'alimentation de la cavité. L'onde transmise à la cavité est maximale.

Notons que si  $\beta > 1$ ,  $\Gamma_e$  est positif : il y a réflexion sans changement de phase ; tandis que si  $\beta < 1$ ,  $\Gamma_e$  est négatif : il y a réflexion avec un déphasage de 180°. Comme en dehors de la résonance, la réflexion s'effectue avec un déphasage de 180° ( $\Gamma_e = -1$ ), l'examen du comportement de la phase quand la cavité est désaccordée permettra de savoir si cette cavité est sur-couplée (auquel cas la phase change de 180° entre  $\omega_0$  et  $\omega \neq \omega_0$ ) ou si elle est sous-couplée (auquel cas la phase ne change pas entre  $\omega_0$  et  $\omega \neq \omega_0$ ).

Dans le cas particulier où  $\beta = 1$ ,  $\Gamma_e = 0$ : il n'y a pas de réflexion sur la cavité bien qu'il y ait une onde rayonnée par la cavité vers l'extérieur (puisque  $\beta = 1$ :  $P_{\rm ex}/P_{\rm pr} = 1$  d'où  $P_{\rm ex} = P_{\rm pr}$ ). Ceci signifie que l'onde rayonnée par la cavité vers l'extérieur et l'onde réfléchie sur l'interface de couplage sont d'amplitudes égales et en opposition de phase, de sorte que les puissances qu'elles transportent doivent être retranchées et qu'elles s'annulent.

#### CAVITÉ COUPLÉE PAR DEUX ACCÈS



Considérons une cavité ayant deux accès par lesquels elle se trouve couplée d'une part à une source et d'autre part à une charge (fig. 13). Cette cavité fonctionne en absorption à l'accès relié à la source et en émission à l'accès relié à la charge. Globalement, elle fonctionne en transmission de la source vers la

Thissance incidente,

La puissance dissipée dans l'ensemble cavité + charge,

la puissance transmise à la charge.

proposons de déterminer :

coefficient de transfert de la cavité en absorption ;

 $\bar{\tau}_t = P_t/P_t$ , coefficient de transfert de la cavité en transmission ou coefficient de transmission.

Nous avons évidemment :  $\tau_{r} = \tau_{r}$ 

$$\tau_t = \tau_a \cdot \tau_e \tag{85}$$

Pour résoudre ce problème, nous allons utiliser le schéma équivalent à ce montage (fig. 14) où :

- les éléments r<sub>p</sub>, l<sub>p</sub>, c<sub>p</sub> sont propres à la cavité isolée,
- les éléments  $r_{p_1}$  et  $r_{p_2}$  représentent les résistances internes de la source et de la charge

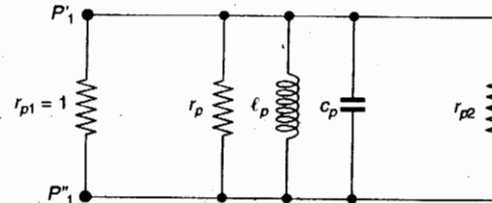


Figure 14.

Modélisation par un circuit parallèl d'une cavité coup par deux accès.

sur lesquelles est dissipée la puissance perdue à travers les couplages d'entrée et de sortie.

Toutes ces impédances sont normalisées par rapport à une impédance de référence qui est souvent l'impédance caractéristique des lignes d'accès à la cavité.

Si la ligne est adaptée à la source du côté de l'entrée, nous avons  $r_{p_1} = 1$ .

- Compte tenu des résultats établis au paragraphe 15.5 :
- · les relations caractéristiques de la cavité sont :

$$\ell_p \, c_p \, \omega_0^2 = 1$$
 (86)

et

$$Q_{\rm pr} = \frac{r_p}{\ell_n \, \omega_0} = r_p \, c_p \, \omega_0 \tag{87}$$

• les relations correspondant au couplage d'entrée sont :

$$Q_{\text{ex}1} = \frac{r_{p_1}}{\ell_p \, \omega_0} = r_{p_1} \, c_p \, \omega_0 \tag{88}$$

et

$$\beta_1 = \frac{Q_{\rm pr}}{Q_{\rm ext}} = \frac{r_p}{r_{p_1}} \tag{89}$$

- les relations correspondant au couplage de sortie sont les mêmes en remplaçant les indices 1 par des indices 2,
- le coefficient de surtension en charge est :

$$\frac{1}{Q_{\rm ch}} = \frac{1}{Q_{\rm pr}} + \frac{1}{Q_{\rm ex1}} + \frac{1}{Q_{\rm ex2}} = \frac{1}{Q_{\rm pr}} (1 + \beta_1 + \beta_2)$$
(90)

L'impédance d'entrée de l'ensemble cavité + charge se calcule par une relation du type de celle donnée au paragraphe 15.5 :

$$z_{\parallel} = r_p \left[ 1 + j Q_{pr} 2x \right]^{-1} \text{ avec } 2x = \frac{\omega}{\omega_0} - \frac{\omega_0}{\omega}$$
 (91)

à condition d'y remplacer  $r_n$  par un  $r'_n$  tel que :

$$\frac{1}{r_p'} = \frac{1}{r_p} + \frac{1}{r_{p_2}} \rightarrow r_p' = \frac{r_p r_{p_2}}{r_p + r_{p_2}} = \frac{\beta_1}{1 + \beta_2}$$
 (92)

et  $Q_{pr}$  par un  $Q'_{pr}$  tel que :

$$\frac{1}{Q_{pr}'} = \frac{1}{Q_{pr}} + \frac{1}{Q_{ex2}} = \frac{1}{Q_{pr}} \left( 1 + \frac{Q_{pr}}{Q_{ex2}} \right) = \frac{1}{Q_{pr}} (1 + \beta_2)$$
 (93)

 $z_e = \frac{\beta_1}{1 + \beta_2} \left[ 1 + j \frac{Q_{pr}}{1 + \beta_2} 2x \right]^{-1}$ Donc:

 $y_e = \frac{1 + \beta_2}{\beta_1} \left[ 1 + j \frac{Q_{pr}}{1 + \beta_2} 2x \right]$ (95)et:

■ Dans ces conditions, le coefficient de réflexion à l'entrée de la cavité est :

$$\underline{\Gamma}_e = \frac{1 - y_e}{1 + y_e} = \frac{-(1 - \beta_1 + \beta_2) - j Q_{pr} 2x}{1 + \beta_1 + \beta_2 + j Q_{pr} 2x}$$
(96)

Nous pouvons en déduire :

• la puissance réfléchie à l'entrée de la cavité :

$$\frac{P_r}{P_i} = \Gamma_e^2 = \frac{(1 - \beta_1 + \beta_2)^2 + Q_{\rm pr}^2 (2x)^2}{(1 + \beta_1 + \beta_2)^2 + Q_{\rm pr}^2 (2x)^2}$$
(97)

• la puissance dissipée dans la cavité :

$$\frac{P_d}{P_i} = 1 - \Gamma_e^2 = \frac{4\beta_1 (1 + \beta_2)}{(1 + \beta_1 + \beta_2)^2 + Q_{\rm pr}^2 (2x)^2} = \tau_a$$
 (98)

Par ailleurs, un calcul simple basé sur la considération du circuit équivalent où les puissances dissipées sont inversement proportionnelles aux résistances correspondantes, permet d'établir que :

$$\frac{P_t}{P_d} = \frac{r_p}{r_p + r_{p_2}} = \frac{\beta_2}{1 + \beta_2} = \tau_e \tag{99}$$

Finalement, nous trouvons le coefficient de transmission de la cavité utilisée en transmission:

$$\tau_r = \tau_a \tau_e = \frac{4 \beta_1 \beta_2}{(1 + \beta_1 + \beta_2)^2 + Q_{\text{pr}}^2 (2x)^2}$$
 (100)

Comme  $Q_{ch} = Q_{pr}/(1 + \beta_1 + \beta_2)^2$ , nous avons aussi :

$$\tau_{t} = \frac{4\beta_{1}\beta_{2}}{(1+\beta_{1}+\beta_{2})^{2}[1+Q_{\text{ch}}^{2}(2x)^{2}]}$$
(101)

(94)

Nous voyons que  $\tau_t = 0.5~\tau_t~(\omega_0)$  pour des pulsations  $\omega_t$  proches de  $\omega_0$  pour lesquelles:  $Q_{ch}^2(2x)^2 = 1$ ,

(102)d'où

 $\Delta\omega_{1/2}$  est l'écart entre les deux pulsations situées de part et d'autre de  $\omega_0$  pour lesquelles la puissance transmise par la cavité a diminué de moitié par rapport à la résonance.

 $\blacksquare$  À la résonance, x = 0 et par conséquent :

$$\Gamma_{e} = -\frac{1 - \beta_{1} + \beta_{2}}{1 + \beta_{1} + \beta_{2}} \tag{103}$$

$$\tau_a = \frac{4 \beta_1 (1 + \beta_2)}{(1 + \beta_1 + \beta_2)^2}$$
 (104)

$$\tau_e = \frac{\beta_2}{1 + \beta_2} \tag{105}$$

$$\tau_{r} = \frac{4 \beta_{1} \beta_{2}}{(1 + \beta_{1} + \beta_{2})^{2}}$$
 (106)

Nous pouvons faire, sur ces relations, quelques remarques intéressantes :

1) L'adaptation ( $\Gamma_e = 0$ ) nécessite que  $\beta_1 = 1 + \beta_2$ . Il n'est donc pas possible de l'obtenir avec des couplages identiques  $(\beta_1 = \bar{\beta_2})$ . À l'adaptation :

$$\tau_a = 1$$
;  $\tau_e = \frac{\beta_2}{1 + \beta_2}$ ;  $\tau_t = \frac{\beta_2}{1 + \beta_2} = \frac{\beta_2}{\beta_1}$ .

2) Le coefficient de transmission est maximal pour  $\beta_1$  =  $\beta_2$  =  $\beta$  et alors :

$$\tau_{t} = \frac{4 \beta^{2}}{(1 + 2\beta)^{2}} = \left(1 - \frac{Q_{ch}}{Q_{pr}}\right)^{2}$$
 (107)

3) Le coefficient de transmission est d'autant plus proche de 1 que  $\beta_1$  et  $\beta_2$  sont grands (cavité fortement sur-couplée) mais simultanément  $Q_{\mathrm{ch}}$  diminue beaucoup et la résonance de la cavité est moins nette.

Notons enfin que Boudouris [69, p. 145] a établi la matrice S du quadripôle que constitue la cavité en transmission :

$$S = \frac{1}{\beta_1 + \beta_2 + y_c} \begin{vmatrix} (\beta_1 - \beta_2 - y_c) & 2\sqrt{\beta_1 \beta_2} \\ 2\sqrt{\beta_1 \beta_2} & (\beta_2 - \beta_1 - y_c) \end{vmatrix}$$
(108)

où  $y_c$  est l'admittance de la cavité isolée avec  $r_p = 1$ :

$$y_c = 1 + j Q_{pr} \left( \frac{\omega}{\omega_0} - \frac{\omega_0}{\omega} \right)$$
 (109)

#### 15.8 APPLICATIONS DES CAVITÉS

## 15.8.1 Détermination de l'indice ou de la permittivité d'un gaz

L'indice de réfraction complexe est  $\underline{n} = n' - j n''$ .

La permittivité complexe est :  $\underline{\varepsilon}_r = \varepsilon' - j \varepsilon''$ .

Calculons  $\underline{n} = \sqrt{\underline{\varepsilon}_r}$  en tenant compte de ce que, pour un gaz  $\varepsilon$ "  $\ll \varepsilon$ ':

$$\sqrt{\underline{\varepsilon}_r} = \sqrt{\overline{\varepsilon}'} \sqrt{1 - j\frac{\varepsilon''}{\varepsilon'}} = \sqrt{\overline{\varepsilon}'} \left( 1 - j\frac{\varepsilon''}{2\varepsilon'} \right)$$

En identifiant avec  $\underline{n} = n' - j n''$ , nous obtenons:

$$n' = \sqrt{\varepsilon'} \tag{110}$$

$$n'' = \frac{\varepsilon''}{2\sqrt{\varepsilon'}} = \frac{\varepsilon''}{2n'},\tag{111}$$

#### Determination de n' et de e'

La fréquence de résonance est :

**bour** la cavité vide :  $f_0 = c/\lambda$ ,

• pour la cavité remplie de diélectrique :  $f_d = v/\lambda = c/n$   $\lambda$ .

$$n' = \frac{f_0}{f_d} \tag{112}$$

Nous avons aussi: 
$$n^* = \left(1 - \frac{\Delta f}{f_0}\right)^{-1}$$
 avec  $\Delta f = f_0 - f_d$  (113a)

Et si 
$$\Delta f/f_0 \ll 1$$
:  $n' = 1 + \frac{\Delta f}{f_0}$  (113b)

 $\rightarrow$  n' et  $\epsilon$ ' peuvent être calculés à partir de la variation de la fréquence de résonance.

#### b) Détermination de n'' et $\epsilon''$

Rappelons que: 
$$\frac{1}{Q_{ch}} = \frac{1}{Q_i} + \frac{1}{Q_d} + \frac{1}{Q_{cx}}$$
 (114)

• pour la cavité vide : 
$$\left(\frac{1}{Q_{\text{ch}}}\right)_1 = \frac{1}{Q_j} + \frac{1}{Q_{\text{ex}}}$$
 (115)

• pour la cavité remplie de diélectrique :

$$\left(\frac{1}{\tilde{Q}_{\rm ch}}\right)_2 = \frac{1}{\tilde{Q}_J} + \frac{1}{\tilde{Q}_{\rm ex}} + \frac{1}{\tilde{Q}_d} \tag{116}$$

D'où: 
$$\frac{1}{Q_d} = \left(\frac{1}{Q_{ch}}\right), -\left(\frac{1}{Q_{ch}}\right)_1$$
 (117)

Or: 
$$\frac{1}{Q_d} = \lg \delta = \frac{\varepsilon^*}{\varepsilon^*} \quad \text{et} \quad \frac{1}{Q_{\text{ch}}} = \frac{\Delta f}{f}$$

 $\Delta f$  est la largeur de la courbe de réponse de la cavité à  $\sim 3$  dB.

Done: 
$$\frac{\varepsilon''}{\varepsilon'} = \frac{\Delta f_2}{\hat{f}_2} - \frac{\Delta f_1}{\hat{f}_1}$$
 (118)

d'où  $\varepsilon^{\infty}$  et  $n'' = \varepsilon''/2n'$ .

 $\rightarrow$  n" et  $\epsilon$ " peuvent être calculés à partir de l'élargissement de la courbe de réponse de la cavité.

### **15.8.2** Résonateurs en ondes millimétriques [68, p.108-114]

Les cavités conventionnelles ne conviennent pas en ondes millimétriques : d'une part leur fabrication devient impossible car leurs dimensions devraient être de l'ordre de grandeur de  $\lambda$  : d'autre part, il n'est pas possible d'obtenir des coefficients de qualité assez élevés, vu qu'ils sont proportionnels à  $\sqrt{\lambda}$ .

Notons enfin que Boudouris [69, p. 145] a établi la matrice S du quadripôle que constitue la cavité en transmission :

$$S = \frac{1}{\beta_1 + \beta_2 + y_c} \begin{bmatrix} (\beta_1 - \beta_2 - y_c) & 2\sqrt{\beta_1 \beta_2} \\ 2\sqrt{\beta_1 \beta_2} & (\beta_2 - \beta_1 - y_c) \end{bmatrix}$$
 (108)

où  $y_c$  est l'admittance de la cavité isolée avec  $r_p = 1$ :

$$y_c = 1 + j Q_{pr} \left( \frac{\omega}{\omega_0} - \frac{\omega_0}{\omega} \right)$$
 (109)

#### 15.8 APPLICATIONS DES CAVITÉS

#### 15.8.1 Détermination de l'indice ou de la permittivité d'un gaz

L'indice de réfraction complexe est  $\underline{n} = n' - j n''$ .

permittivité complexe est :  $\underline{\varepsilon}_r = \varepsilon' - j \varepsilon''$ .

clculons  $\underline{n} = \sqrt{\underline{\varepsilon}_r}$  en tenant compte de ce que, pour un gaz  $\varepsilon$ "  $\ll \varepsilon$ ':

$$\sqrt{\underline{\varepsilon}_r} = \sqrt{\varepsilon'} \sqrt{1 - j \frac{\varepsilon''}{\varepsilon'}} = \sqrt{\varepsilon'} \left( 1 - j \frac{\varepsilon''}{2\varepsilon'} \right)$$

identifiant avec n = n' - j n'', nous obtenons:

$$n' = \sqrt{\varepsilon'} \tag{110}$$

$$n'' = \frac{\varepsilon''}{2\sqrt{\varepsilon'}} = \frac{\varepsilon''}{2n'} \tag{111}$$

rmination de n' et de e'

quence de résonance est :

la cavité vide :  $f_0 = c/\lambda$ ,

cavité remplie de diélectrique :  $f_d = v/\lambda = c/n'\lambda$ .

$$n' = \frac{f_0}{f_d} \tag{112}$$

Nous avons aussi: 
$$n' = \left(1 - \frac{\Delta f}{f_0}\right)^{-1}$$
 avec  $\Delta f = f_0 - f_d$  (113a)

Et si 
$$\Delta f/f_0 \ll 1$$
:  $n' = 1 + \frac{\Delta f}{f_0}$  (113b)

 $\rightarrow$  n' et  $\epsilon$ ' peuvent être calculés à partir de la variation de la fréquence de résonance.

#### b) Détermination de n" et €"

Rappelons que: 
$$\frac{1}{Q_{ch}} = \frac{1}{Q_j} + \frac{1}{Q_d} + \frac{1}{Q_{ex}}$$
 (114)

• pour la cavité vide : 
$$\left(\frac{1}{Q_{ch}}\right)_1 = \frac{1}{Q_j} + \frac{1}{Q_{ex}}$$
 (115)

· pour la cavité remplie de diélectrique :

$$\left(\frac{1}{Q_{\rm ch}}\right)_2 = \frac{1}{Q_j} + \frac{1}{Q_{\rm ex}} + \frac{1}{Q_d}$$
 (116)

D'où: 
$$\frac{1}{Q_d} = \left(\frac{1}{Q_{ch}}\right)_2 - \left(\frac{1}{Q_{ch}}\right)_1 \tag{117}$$

Or: 
$$\frac{1}{Q_d} = \lg \delta = \frac{\varepsilon''}{\varepsilon'} \quad \text{et} \quad \frac{1}{Q_{\text{ch}}} = \frac{\Delta f}{f}$$

Δf est la largeur de la courbe de réponse de la cavité à - 3 dB.

Donc: 
$$\frac{\varepsilon''}{\varepsilon'} = \frac{\Delta f_2}{f_2} - \frac{\Delta f_1}{f_1}$$
 (118)

d'où  $\varepsilon$ " et n" =  $\varepsilon$ "/2n'.

 $\rightarrow$  n" et  $\epsilon$ " peuvent être calculés à partir de l'élargissement de la courbe de réponse de la cavité.

### 15.8.2 Résonateurs en ondes millimétriques [68, p.108-114]

Les cavités conventionnelles ne conviennent pas en ondes millimétriques : d'une part leur fabrication devient impossible car leurs dimensions devraient être de l'ordre de grandeur de  $\lambda$  ; d'autre part, il n'est pas possible d'obtenir des coefficients de qualité assez élevés, vu qu'ils sont proportionnels à  $\sqrt{\lambda}$ .

En revanche, des résonateurs analogues à ceux utilisés en optique dans les interféromètres de Fabry-Perot conviennent bien en ondes millimétriques. Ces résonateurs sont des cavités ouvertes constituées de deux réflecteurs (plans, sphériques ou paraboloïdaux, d'ouverture 2a) placés face à face et séparés par une distance d (fig. 15)

Figure 15.
Cavité résonnante
ouverte
a.à réflecteurs
plans ou
b. à réflecteurs
sphériques

Les réflecteurs, qui sont métalliques, ont un coefficient de réflexion très voisin de 1. Le couplage avec la source millimétrique est effectué à travers un petit trou percé dans l'un des réflecteurs. L'onde excitée subit des réflexions multiples à l'intérieur de la cavité et l'on démontre [70, p. 37-45] que certaines distributions de champ, de type quasi T.E.M., peuvent s'établir et que ce champ se concentre autour de l'axe longitudinal de la cavité. Les modes de fonctionnement sont notés  $TE_{mnp}$  où les indices m et n sont liés à la répartition transversale du champ tandis que l'indice p est lié à la variation longitudinale.

La condition de résonance impose que la phase de l'onde varie de  $2\pi$  ou d'un multiple entier de  $2\pi$  entre deux réflexions successives. Pour un résonateur ouvert à réflecteurs sphériques, de rayon de courbure b, l'écriture de cette condition donne [68, p. 111]:

$$d = \left[2p + (2n + m + 1)\left(1 - \frac{4}{\pi} \arctan \frac{b - d}{b + d}\right)\right] \frac{\lambda}{4}$$
 (119)

Le coefficient de surtension en charge est donné par :

$$Q_{\rm ch} = \omega \frac{W_a}{P_p} \tag{120}$$

 $W_a$  est l'énergie emmagasinée et  $P_p$  la puissance perdue dans le résonateur. En faisant intervenir les coefficients de qualité correspondant aux diverses causes de pertes – par réflexion, par diffraction, par absorption dans le diélectrique et à travers les couplages – nous avons :

$$\frac{1}{Q_{ch}} = \frac{1}{Q_R} + \frac{1}{Q_D} + \frac{1}{Q_A} + \frac{1}{Q_{ex}} = \frac{1}{Q_{pr}} + \frac{1}{Q_{ex}}$$
(121)

Les pertes par diffraction sont, en général, négligeables. Les pertes par absorption peuvent être nulles dans le cas d'une cavité vide : dans ces conditions  $Q_{\rm pr}=Q_R$ . Quant à  $Q_R$ , on démontre (voir exercice 15.8) que :

$$Q_R = \frac{2\pi d}{\lambda \, \alpha_R} \tag{122}$$

 $\alpha_R$  est la fraction de la puissance  $P_p$  représentant les pertes dans les réflecteurs.

Les applications numériques de cette formule montrent que  $Q_R$  est de l'ordre de  $10^5$  à  $10^6$  en ondes millimétriques, ce qui permet de disposer d'excellentes cavités résonnantes.

#### 15.8.3 Fréquencemètres à cavité

La résonance d'une cavité cylindrique, lorsque sa longueur est égale à un nombre entier de demi-longueurs d'onde, est utilisée pour des mesures de la fréquence de l'onde qui sont d'autant plus précises que la résonance est plus étroite, donc que le coefficient de surtension est plus élevé. Ces fréquencemètres à cavité sont souvent appelés ondemètres.

L'une des bases de la cavité est constituée par un court-circuit mobile dont la position est repérée par une vis micrométrique. L'étalonnage préalable peut être effectué par comparaison avec un étalon de fréquences. La cavité doit toujours être placée en dérivation afin de perturber le moins possible le circuit dans lequel on veut mesurer la fréquence.

Selon la position du détecteur, la cavité peut être utilisée en absorption (fig. 16a) ou en transmission (fig. 16b). Dans le premier cas, la résonance est indiquée par un minimum du signal détecté tandis que dans le second cas, le signal détecté, qui était nul en dehors de la résonance, passe par un maximum à la résonance. Le second montage est beaucoup plus sensible que le premier.

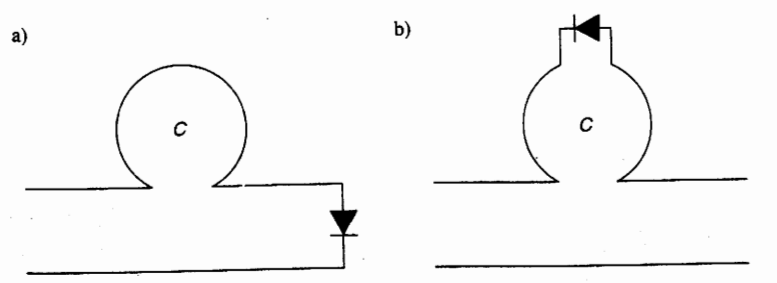


Figure 16.
Fréquencemète à cavité monédérivation sur ligne. Par rapp au détecteur, le est utilisée : a. en absorptio b. en transmis

on t

l'ut kly

Bien que les cavités cylindriques à section rectangulaire fonctionnant en mode  ${\rm TE}_{10p}$  conviennent très bien, ce sont les cavités cylindriques à section circulaire fonctionnant en modes  ${\rm TE}_{11p}$  et  ${\rm TE}_{01p}$  qui sont les plus utilisées. Deux problèmes se posent dans la réalisation de ces cavités :

- obtenir une surtension en charge aussi élevée que possible, ce qui nécessite d'utiliser des couplages avec l'extérieur caractérisés par un coefficient de couplage  $\beta \ll 1$  et des longueurs de cavité égales à plusieurs fois  $\lambda_g/2$ ;
- rester en résonance monomode dans une certaine bande autour de la fréquence de résonance. Pour cela, on a intérêt à utiliser le fonctionnement en mode TE<sub>11p</sub> (qui correspond au mode fondamental TE<sub>11</sub>). Le fonctionnement en mode TE<sub>01p</sub> permettrait d'atteindre des précisions de mesure plus élevées (de

ncemètre

ecteur, la ca

bsorption,

ransmission

Fordre de 10 - 6 au lieu de 10 - 5) mais il faudrait alors éliminer les autres modes en utilisant la propriété des modes TE<sub>01</sub> dont les lignes de courant sont des cercles transversaux.

#### 15.8.4 Autres applications

Les cavités ont bien d'autres applications qu'il n'est pas possible de développer ef: Il convient, toutefois, d'en citer quelques-unes

**la mesure de \varepsilon' et \varepsilon" d'échantillons dont les dimensions sont très petites par** rapport à la longueur d'onde. Ces échantillons sont placés à l'intérieur d'une cavité résonnante et la mesure est faite par une méthode de perturbations dont on trouvera un exposé dans [37, p. 115-121];

l'utilisation de cavités, appelées rhumbatrons, dans les tubes à vide tels que les klystrons [46, p. 285]. Ces cavités interviennent dans l'interaction localisée entre le faisceau d'électrons qui les traverse et l'onde électromagnétique qui règne à l'intérieur d'elles;

les circuits électroniques pour micro-ondes où les caviés résonnantes, et notamment les résonateurs diélectriques, sont utilisés en tant que circuits accordés, par exemple pour fixer très précisément la fréquence des oscillateurs à l'état solide utilisant des transistors à effet de champ à l'AsGa [71, p. 251 et

#### **EXERCICES**



#### **€** EXERCICE 15.1

(Paragraphe 15.3.1 - Cavité exlindrique à section rectangulaire i

Une cavité résonnante de section rectangulaire, de dimensions a = 7.5 cm et b = 5 cm a une longueur  $\ell = 15$  cm. Rechercher les modes dont les fréquences de résonance se trouvent entre 3 et 4 GHz et dormes leurs fréquences de résegance (d'après Gardiol [37, p. 130]).



#### **♠** EXERCICE 15.2

(Paragraphe 15.3.1 - Cavité exlindrique à section rectangulaire)

Une cavité résonnante parallélépipédique a ses trois premières fréquences de résonance pour 5.196 GHz, 6 GHz et 6,708 GHz. Trouver les dimensions de ses trois côtés a, b (section droite) et l' (longueur) (d'après Gardiol /37. p.1301i



#### 6<sup>™</sup> EXERCICE 15.3

(Paragraphy 18.42) Cavite extindrique à section conditions.

Onelle doit être la longueur h d'une cavite evlindrique, à section circulaire de ra von  $R \approx 1.5$  cm. pour que sa fréquence de résonance en mode fondamental TE  $_{\rm HI}$  soit de 9 GHz  $^{\rm o}$ 



#### 

(Paragraphe 15.3 Résonateurs diélectriques)

On considère un résonateur diélectrique à section circulaire tel que celui schématisé sur les figures 6 et 7. Les données sont les suivantes :  $\varepsilon_r = 40$ ;  $\varepsilon_{2r} = 2.4$  et f = 10 GHz.

Par ailleurs, on prend le paramètre h = 5.4/D.

- 1) Quelle est la signification physique des conditions exprimées par la double inégalité (18)? Entre quelles limites doit être compris D?
- 2) On prend D = 10 mm;  $L_1 = 11.2 \text{ mm}$ ;  $L_2 = 0.8$  mm. Calculer la hauteur L du résonateur.



#### **EXERCICE 15.5**

(Paragraphe 15.4.3 - Calcul de Q<sub>i</sub>)

Le facteur de forme d'une cavité cylindrique à section circulaire de rayon R et de longueur h, fonctionnant en mode TE<sub>onp</sub> est donné par :

$$T = \frac{u_{min}^2}{2\pi} = \frac{(1 + A^2 r^2)^3}{1 + A^2 r^3}$$

avec 
$$\gamma = \frac{2R}{h}$$
 of  $A = \frac{p\pi}{2n_{mn}^2}$ 

1) Montrer que F(r) basse par un maximum pour une valeur de r que l'on calculera. En déduire l'expression de  $F_{\rm max}$ 

10-6 au lieu de 10-5) mais il faudrait alors étiminer les autres utilisant la propriété des modes TE<sub>01</sub> dont les lignes de courant sont cecles transversaux.

#### 15.8.4 Autres applications

ont bien d'autres applications qu'il n'est pas possible de développer

ure de c' et c'' d'échantillons dont les dimensions sont très petites par la la longueur d'onde. Ces échantillons sont placés à l'intérieur d'une résonnante et la mesure est faite par une méthode de perturbations dont puyera un exposé dans [37, p. 115-121];

lisation de cavités, appelées rhumbatrons, dans les tubes à vide tels que les literants [46, p. 285]. Ces cavités interviennent dans l'interaction localisée le faisceau d'électrons qui les traverse et l'onde électromagnétique qui le l'intérieur d'elles;

direuits électroniques pour micro-ondes où les cavités résonnantes, et l'iment les résonateurs diélectriques, sont utilisés en tant que circuits par exemple pour fixer très précisément la fréquence des oscillateurs par solide utilisant des transistors à effet de champ à l'AsGa [71, p. 251 et

#### **EXERCICES**



#### **EXERCICE 15.1**

(Paragraphe 15.3.1 – Cavité cylindrique à section rectangulaire)

Une cavité résonnante de section rectangulaire, de dimensions a=7.5 cm et b=5 cm a une longueur  $\ell=15$  cm. Rechercher les modes dont les fréquences de résonance se trouvent entre 3 et 4 GHz et donner leurs fréquences de résonance (d'après Gardiol [37, p. 130]).



#### **EXERCICE 15.2**

(Paragraphe 15.3.1 – Cavité cylindrique à section rectangulaire)

Une cavité résonnante parallélépipédique a ses trois premières fréquences de résonance pour 5,196 GHz, 6 GHz et 6,708 GHz. Trouver les dimensions de ses trois côtés a, b (section droite) et  $\ell$  (longueur) (d'après Gardiol [37, p.1301).



#### **EXERCICE 15.3**

(Paragraphe 15.3.2 – Cavité cylindrique à section circulaire)

Quelle doit être la longueur h d'une cavité cylindrique, à section circulaire de rayon R = 1.5 cm, pour que sa fréquence de résonance en mode fondamental TE<sub>111</sub> soit de 9 GHz?



#### **EXERCICE 15.4**

(Paragraphe 15.3 - Résonateurs diélectriques)

On considère un résonateur diélectrique à section circulaire tel que celui schématisé sur les figures 6 et 7. Les données sont les suivantes :  $\varepsilon_r = 40$ ;  $\varepsilon_{2r} = 2.4$  et f = 10 GHz.

Par ailleurs, on prend le paramètre h = 5.4/D.

- 1) Quelle est la signification physique des conditions exprimées par la double inégalité (18) ? Entre quelles limites doit être compris D?
- 2) On prend D = 10 mm;  $L_1 = 11,2$  mm;  $L_2 = 0.8$  mm. Calculer la hauteur L du résonateur.



#### **EXERCICE 15.5**

(Paragraphe 15.4.3 - Calcul de Qi)

Le facteur de forme d'une cavité cylindrique à section circulaire de rayon R et de longueur h, fonctionnant en mode  $TE_{onp}$  est donné par :

$$F = \frac{u_{mn}}{2\pi} \cdot \frac{(1 + A^2 r^2)^{\frac{3}{2}}}{1 + A^2 r^3}$$

avec:  $r = \frac{2R}{h}$  et  $A = \frac{p\pi}{2u_{mn}}$ 

1) Montrer que F(r) passe par un maximum pour une valeur de r que l'on calculera. En déduire l'expression de  $F_{max}$ .



2) Calculer la valeur correspondante  $(Q_i)_M$  du coefficient de surtension dû aux pertes dans les parois, d'une cavité de rayon R = 2 cm, fonctionnant en mode TE<sub>011</sub> à la fréquence de 10 GHz. On prendra  $\sigma_1 = 5.7 \cdot 10^7$  S/m.

#### **EXERCICE 15.8**

(Paragraphe 15.6.1 - Puissance réfléchie -Puissance transmise à la cavité)

**EXERCICE 15.6** 

- 1) À la fréquence de résonance d'une cavité, le module de son coefficient de réflexion en champ est 0,33; d'autre part, la phase de ce coefficient est la même que lorsque la cavité est en dehors de la résonance. Déterminer le facteur de couplage β.
- $Q_{\rm pr}$  et  $Q_{\rm ex}$ .

2) Pour 8 988 MHz et pour 9 012 MHz, la puissance absorbée par cette cavité est la moitié de celle absorbée à la résonance. Déterminer la fréquence de résonance,  $Q_{ch}$ ,

#### **EXERCICE 15.7**

(Paragraphe 15.8.1 - Détermination de l'indice ou de la permittivité d'un gaz)

La fréquence de résonance d'une cavité remplie d'air est 10 GHz et son coefficient de surtension eff charge est 8 333. Lorsque cette cavité est remplie d'un gaz, sa fréquence de résonance (Paragraphe 15.8.2 - Résonateurs en ondes millimétriques)

est 9 GHz et la largeur de bande à - 3 dB

de sa courbe de résonance est 4 MHz. Déter-

miner l'indice de réfraction n = n' - j n'' de ce

gaz ainsi que sa permittivité  $\varepsilon = \varepsilon' - i \varepsilon''$ .

Soit un résonateur constitué par deux réflecteurs métalliques plans, distants de d, à diélectrique air. Les pertes par diffraction sont supposées négligeables. Les pertes par réflexion sont caractérisées par un coefficient  $\alpha_R$  représentant la fraction de puissance qui se dissipe par effet

Joule dans les réflecteurs  $\alpha_R$ 

- σ, conductivité des réflecteurs.
- 1) Calculer le coefficient de qualité Q, lié aux pertes par effet Joule dans les réflecteurs en fonction de  $(d, \alpha_P \text{ et } \lambda_0)$ .
- 2) Démontrer l'expression de  $Q_i$  en  $f(d, \lambda_0)$ dans le cas où la conductivité des réflecteurs est  $\sigma = 5.33 \cdot 10^7$  S/m. Application numérique au cas où : d = 0.20 m et  $\lambda = 1$  mm.
- 3) Le facteur de pertes de l'air qui se trouve entre les deux réflecteurs est tg  $\delta = 2 \cdot 10^{-6}$ . Calculer le facteur de qualité  $Q_d$  lié aux pertes dans le diélectrique. En déduire le facteur de qualité propre à la cavité.

# Solutions des exercices



2) Calculer la valeur correspondante  $(Q_i)_M$  du coefficient de surtension dû aux pertes dans les parois, d'une cavité de rayon R = 2 cm, fonctionnant en mode TE<sub>011</sub> à la fréquence de 10 GHz. On prendra  $\sigma_1 = 5.7 \cdot 10^7$  S/m.

#### **EXERCICE 15.8**

(Paragraphe 15.6.1 - Puissance réfléchie -Puissance transmise à la cavité)

**EXERCICE 15.6** 

- 1) À la fréquence de résonance d'une cavité, le module de son coefficient de réflexion en champ est 0,33; d'autre part, la phase de ce coefficient est la même que lorsque la cavité est en dehors de la résonance. Déterminer le facteur de couplage β.
- $Q_{\rm pr}$  et  $Q_{\rm ex}$ .

2) Pour 8 988 MHz et pour 9 012 MHz, la puissance absorbée par cette cavité est la moitié de celle absorbée à la résonance. Déterminer la fréquence de résonance,  $Q_{ch}$ ,

### **EXERCICE 15.7**

(Paragraphe 15.8.1 - Détermination de l'indice ou de la permittivité d'un gaz)

La fréquence de résonance d'une cavité remplie d'air est 10 GHz et son coefficient de surtension eff charge est 8 333. Lorsque cette cavité est remplie d'un gaz, sa fréquence de résonance (Paragraphe 15.8.2 - Résonateurs en ondes millimétriques)

est 9 GHz et la largeur de bande à - 3 dB

de sa courbe de résonance est 4 MHz. Déter-

miner l'indice de réfraction n = n' - j n'' de ce

gaz ainsi que sa permittivité  $\varepsilon = \varepsilon' - i \varepsilon''$ .

Soit un résonateur constitué par deux réflecteurs métalliques plans, distants de d, à diélectrique air. Les pertes par diffraction sont supposées négligeables. Les pertes par réflexion sont caractérisées par un coefficient  $\alpha_R$  représentant la fraction de puissance qui se dissipe par effet

Joule dans les réflecteurs  $\alpha_R$ 

- σ, conductivité des réflecteurs.
- 1) Calculer le coefficient de qualité Q, lié aux pertes par effet Joule dans les réflecteurs en fonction de  $(d, \alpha_R \text{ et } \lambda_0)$ .
- 2) Démontrer l'expression de  $Q_i$  en  $f(d, \lambda_0)$ dans le cas où la conductivité des réflecteurs est  $\sigma = 5.33 \cdot 10^7$  S/m. Application numérique au cas où : d = 0.20 m et  $\lambda = 1$  mm.
- 3) Le facteur de pertes de l'air qui se trouve entre les deux réflecteurs est tg  $\delta = 2 \cdot 10^{-6}$ . Calculer le facteur de qualité  $Q_d$  lié aux pertes dans le diélectrique. En déduire le facteur de qualité propre à la cavité.

# Solutions des exercices

# ERCICES DU CHAPITRE 2

# Propagation sur une ligne en haute fréquence

#### **EXERCICE 2.1**

\*\*\*\*\*\*

es les relations (5) et (11a), nous avons :  $e^{-\gamma x} + \gamma Y_{p} e^{\gamma x} = -(R_{1} + j L_{1} \omega) I$ 

te tenu de (9) et (11b), nous pouvons

$$= \sqrt{\frac{R_1 + jL_1 \omega}{R_1 + jC_1 \omega}} \left( \underline{I}_i e^{-\gamma r} + \underline{I}_r e^{\gamma r} \right)$$

it will be termes en  $e^{-\gamma x}$  et en  $e^{\gamma x}$ , il

$$\int_{a}^{a} \sqrt{\frac{R_1 + j L_1 \omega}{G_1 + j C_1 \omega}} \sqrt{\frac{R_1 + j L_1 \omega}{G_1 + j C_1 \omega}}$$

#### RGICE 2.2

$$L_{1} \omega^{2} = 20.72 \cdot 10^{-3}$$

$$L_{1} \omega = 70.25^{\circ}$$

$$C_{1}^{2} \omega^{2} = 36.6 \cdot 10^{-9}$$

$$\omega = 84^{\circ}$$

$$C_{1}^{2} \omega^{2} = 36.6 \cdot 10^{-9}$$

$$\gamma = \sqrt{\rho_1 \rho_2} e^{\frac{i}{2} \frac{\phi_1 + \phi_2}{2}}$$

$$= 27.54 \cdot 10^{-6} e^{\frac{i}{2} 77.125}$$

$$\alpha = 6.137 \cdot 10^{-6} \text{ Np/m}$$

$$\beta = 26.848 \cdot 10^{-6} \text{ rad/m}.$$

#### **EXERCICE 2.3**

1) 
$$\lambda_1 = \frac{2\pi}{\beta_1} \operatorname{avec} \beta_1 = 26.848 \cdot 10^{-6}$$

(résultat de l'exercice 2)

$$\lambda_1 = 234 \cdot 10^3 \text{ m} = 234 \text{ km}$$

$$v_1 = \frac{\omega}{\beta_1} = \frac{2\pi \cdot 10^3}{26.848 \cdot 10^{-6}} = 234 \cdot 000 \text{ km/s}$$

2) 
$$v_1 = \frac{1}{\sqrt{L_4 C_1}} = 235.833 \text{ km/s}$$
  
$$\beta_1 = \frac{\omega}{v_1} = 26.64 \cdot 10^{-6} \text{ rad/m}$$

# **EXERCICE 2.4**

1) 
$$I_0 = \frac{E}{Z_0 + Z_G} = \frac{100}{175 \cdot \text{j}} \frac{120}{120}$$
  
175 - j 120 = 212,20 e - j,34,44  
D'où :  $I_0 = 0.471 \text{ e}^{+34,44}$ 

$$V_0 = Z_0 I_0$$
 avec  $Z_0 = 173.28 \text{ e}^{-143.83}$   
D'où :  $V_0 = 81.61 \text{ e}^{-19.39}$ 

2) D'après les relations C71 et C81

$$V_R \sim V_D \cos 2\pi \frac{\ell}{\lambda} - i Z_e T_D \sin 2\pi \frac{\ell}{\lambda}$$

$$I_{R} = I_{0} \cos 2\pi \frac{t}{\lambda} - i \left( \frac{V_{0}}{Z_{i}} \right) \sin 2\pi \frac{t}{\lambda}$$

$$2\pi \frac{t}{\lambda} = 240^{\circ} \mod a \log 2\pi (t + 10 \text{ m} \pm \lambda - 1.5 \text{ m})$$

$$V_R = -40.805 e^{-1.9.39} + j.20.305 e^{\frac{i}{2}.34.11}$$
  
= -51.7925 + j.23.4775

$$I_R = 0.2355 \,\mathrm{e}^{\,\mathrm{i}\,34.11} + \mathrm{j}\,1.4135\,\mathrm{e}^{-\,\mathrm{i}^{\,\alpha\,39}} - 0.037 + \mathrm{j}\,1.262$$

D'où : 
$$V_R = 56.865 \text{ e}^{-1.21.38}$$
 (V

-et:
$$I_R = 1.263 e^{(1+88.32)}$$

$$3)Z_R \sim 15.02 \, \mathrm{e}^{-1.112.70}$$
 (Q2)

On peut retrouve ce résultat à partir de la formule (29) qui donne  $Z_R$  pour  $x \sim t$ .

#### EXERCICE 2.5

**1)** Puisque  $\mathbb{Z}_R \subseteq \mathbb{Z}_+$ , nous avons à l'entrée de  $\mathbb{R}_{+}$ 

$$Z_0 = Z_c = 800 \cdot j \cdot 200 \cdot 824.62 e^{-j \cdot j \cdot k}$$
  
Le contant à l'entrée de la ligne est donne par

$$I_0 = \frac{E}{Z_0 + Z_0} \approx \frac{100}{875 - j200} \approx 0.111 e^{\pm 1.0878}$$

$$A_0 = Z_0 I_0 : 91.88 e^{-(1.12)}$$

2) 
$$I_R \circ I_0 \leftarrow \mathcal{I}$$
 of  $V_R \circ V_0 \in \mathcal{I}$   
 $e^{-\mathcal{I}} \circ e^{-\mathcal{I}} \circ e^{-\mathcal{I}} \mathcal{I}$ 

$$at = 0.775 \text{ Np} \rightarrow e^{-tat} = 0.46$$

PC 255 rad (2n) = 0.5845 rad = 210.424

D'ou : 
$$I_R = 0.051 e^{-0.197510}$$
. (A)

So 
$$F_{n,i} = \frac{1}{2} \left[ R \left[ V_R T_R \right] - \frac{1}{2} \left[ R \left[ Z_R T_L \right] \right] \right]$$

$$P_{\text{act}} = \frac{1}{2} R_R T_R^2 = 1.0 \pm 0.04 \text{ Watts}$$

# ✓ EXERCICI€E 2.6

1) Nous avons démon noutatré (paragraphe 6) que

$$= (Z_0)_{cc} + Z_c \operatorname{th}_{Y^0 h} - \gamma \ell \operatorname{et} (Z_0)_{c0} = \frac{Z_c}{\operatorname{th}_{Y^0}}.$$

Done: 
$$Z_c^2 = (Z_0)_{cc} (Z_{C3}/Z_0)_{c0}$$

$$c_1: \operatorname{div} A(\lambda, \lambda) \to \frac{(X^0)^{\alpha}}{(X^0)^{\alpha}} \to \operatorname{d}_{\alpha} \operatorname{ori} A(\lambda)$$

Avec les valeurs mesus suffrées pour  $(Z_0)_{cc}$  et  $(Z_0)_{c}$ 

$$Z_{i} = 753.06 \,\mathrm{e}^{-\mathrm{i} T} = 7 = 747.45 \,\mathrm{-j} \, 91.77 \,(\Omega)$$

th 
$$\gamma \ell = 0.704 \text{ c}_{-1}$$
:  $^{+38} = 0.62 - \text{j} \cdot 0.33$ 

Or 
$$t = \frac{1}{2} \int \frac{dh}{dt} \frac{dh}{dt} \frac{dh}{dt} = \frac{0.50 \text{ e}^{\frac{1}{2}40.97^{\circ}}}{1.65 \text{ e}^{-\frac{1}{2}41.51^{\circ}}}$$
  
=  $\frac{0.30 \text{ e}^{\frac{1}{2}52^{\circ}} \text{ f}^{\frac{5}{2}2.18^{\circ}}}{1.65 \text{ e}^{-\frac{1}{2}41.51^{\circ}}}$ 

Done: 
$$e^{-2\alpha t} = 0.30$$
 et  $y$  et  $e^{-\frac{12\beta t}{\pi}} = e^{\frac{152.48^{\circ}}{\pi}}$ 

D'ou ,  $e^{crt} = 1.81.25 o v \ \alpha \approx 0.6 \cdot 10^{-1.5} \text{ Np/m}$ et : 2Bl - 52,48° + 24 360° puisque l'doit êti

$$\beta t = 153.76^{\circ} 766^{\circ} = 2.6836 \text{ rad}$$
  
+  $\beta = 2.68^{\circ} 88^{\circ} \cdot 10^{\circ}$  rad/m

2) À partu des relations aux de définition de y et Z

$$K_1 + j I_1 \omega = j Z_c \omega_{c'} \cdot \text{et } C_1 + j C_1 \omega = \frac{Y}{Z_c}$$
$$7 < 0 + j \beta = 2.746 c_{10} c \cdot 10^{-5} \text{ e} 1.77.38^{\circ}$$

$$\begin{array}{c} R_1 + _1 I_1 \Leftrightarrow 2.068 = _10 - _{10} O_{-} \stackrel{5}{\circ} e^{1.70,38^{\circ}} \\ = _694,39 + _10 - _{10} O_{-} \stackrel{5}{\circ} + _11.947,93 + _10 \\ + _8 I_1 = _6.94 \cdot _{10} I_1 = _10 - _3 \Omega/m \\ et I_1 = _3, 10 + _{10} = _10 \stackrel{5}{\circ} 6H/m \end{array}$$

$$G_{1} \mapsto C_{1} \oplus \cdots \oplus 0.00365 + \kappa_{5} \geq 10^{-5} e^{184.38^{5}}$$

$$+57 - 10 + 0.0 - 0.40363 + 10$$

$$+ C_{1} = 3.5 \times \%7 - 10^{-9} \text{ S/m}$$

$$+1 - C_{1} = 5.78, -77.8 + 10^{-17} \text{ F/m}$$

#### - SOLUTIONS DES EXERCICES

#### **EXERCICE 2.7**

1) 
$$Z_c = \sqrt{75 \times 300} = 75 \times 2 = 150 \Omega$$

2) 
$$Z_{c_1} = \sqrt{150 \times 300} = 150 \sqrt{2} = 212 \Omega$$
  
 $Z_{c_2} = \sqrt{75 \times 150} = 75 \sqrt{2} = 106 \Omega$ 

### **EXERCICE 2.8**

1) Différentions la relation  $k^2 = \beta^2 + k_c^2$ :  $k dk = \beta d \beta$ 

Or: 
$$k = \frac{2\pi}{\lambda} = \frac{\omega}{v}$$
 et  $dk = \frac{d\omega}{v}$ 

v est la vitesse de propagation en espace libre dans le diélectrique dont est constituée la ligne (v = c uniquement si le diélectrique est de l'air).

Donc: 
$$\frac{\omega d\omega}{v^2} = \beta d\beta$$
 ou  $\frac{\omega}{\beta} \cdot \frac{d\omega}{d\beta} = v^2$ 

D'où : 
$$v_p \cdot v_g = v^2$$

2) 
$$v_p = \frac{\omega}{\beta} = f\lambda_d = v \frac{\lambda_d}{\lambda} \rightarrow v_g = v \frac{\lambda}{\lambda_d}$$

### **EXERCICES DU CHAPITRE 3**

# Étude de la réflexion à l'extrémité d'une ligne

### **EXERCICE 3.1**

1) 
$$\underline{V}(x = \ell) = \underline{V}_e = \underline{V}_R \cos \beta \ell + j Z_c \underline{I}_R \sin \beta \ell$$
  
=  $\underline{I}_R (Z_r \cos \beta \ell + j Z_c \sin \beta \ell)$ 

$$\beta \ell = 28,56 \text{ rad} = 4,5455 \cdot 2\pi$$
  
= 0,5455 \cdot 360° = 196,37°

$$\underline{V}_e = I_R \cdot 1\ 000\ [-(2+j)\ 0.9595$$

$$-j\ 0.5 \cdot 0.2818]$$

$$= 34.1\ e^{-j\ 45.166} \cdot \cdot 2.212\ e^{j\ 29.822^\circ}\ e^{j\ 180^\circ}$$

$$\underline{V}_e = 75,43 \,\mathrm{e}^{\mathrm{j}\,164,66^\circ}$$
 (V)

$$\underline{I}_{e} = \underline{I}_{R} \cos \beta \ell + j \frac{\underline{V}_{R}}{Z_{c}} \sin \beta \ell$$
$$= \underline{I}_{R} \left( \cos \beta \ell + j \frac{Z_{R}}{Z_{c}} \sin \beta \ell \right)$$

= 
$$\underline{I}_R$$
 [- 0,9595 - j (4 + j 2) 0,2818]  
= 0,0341 e - j 45,17° · 1,1947 e j 70.65° e j 180°

$$\underline{I}_e = 0.0407 \text{ e}^{\text{j } 205.48^{\circ}}$$
 (A)

2) 
$$Z_e = \frac{V_e}{I_e} = 1.851 \,\mathrm{e}^{-\mathrm{j}\,40.82^\circ}$$
 (\O)

On retrouve ce résultat par la formule :

$$Z_e = Z_c \frac{Z_R + j Z_c \operatorname{tg} \beta \ell}{Z_c + j Z_R \operatorname{tg} \beta \ell}$$

3) 
$$P_{\text{act}} = \frac{1}{2} \Re \left[ \underline{V}_e \underline{I}_e^* \right]$$
  
=  $\frac{1}{2} 75,43 \cdot 0,041 \cos 40,83^\circ$   
= 1,16 Watts

#### **EXERCICE 3.2**

1) 
$$\underline{\Gamma}_R = \frac{Z_R - Z_c}{Z_R + Z_c} = \frac{50 + \text{j} \ 100}{200 + \text{j} \ 100} = \frac{0.5 + \text{j}}{2 + \text{j}}$$
  
 $\underline{\Gamma}_R = 0.5 \, \text{e}^{\text{j} \ 36.87^\circ} = 0.4 + \text{j} \ 0.3$ 

2) Sur la charge (x = 0):

$$\underline{\Gamma}_R = \frac{\underline{V}_r}{\underline{V}_i} \text{ et } \underline{V}_R = \underline{V}_i + \underline{V}_r$$

Donc: 
$$\underline{V}_R = \underline{V}_i (1 + \underline{\Gamma}_R)$$
 et  $V_R = V_i | 1 + \underline{\Gamma}_R |$ 

$$V_i = \frac{V_R}{|1 + \underline{\Gamma}_R|} = \frac{143.2}{|1.4 + \text{j} 0.3|} = 100 \text{ V}$$

$$V_r = \underline{\Gamma}_R V_i = 50 \text{ V}$$

3) 
$$\underline{V}_i = 100 \text{ e}^{\text{j} 0^{\circ}}$$
  
 $\rightarrow \underline{V}_r = \underline{\Gamma}_R \underline{V}_i = 50 \text{ e}^{\text{j} 36.87^{\circ}}$  (V)

$$\frac{V_i}{I_i} = Z_c \rightarrow \underline{I}_i = 1,33 \text{ e}^{\text{j}\,0^\circ}$$
 (A)

$$\frac{\underline{V}_r}{\underline{I}_r} = -Z_c \to \underline{I}_r = -0.667 \text{ e}^{\frac{1}{3}6.87^\circ}$$

$$= 0.667 \text{ e}^{\frac{1}{2}216.87^\circ}$$
(A)

4) 
$$\underline{V}_{R} = \underline{V}_{i} + \underline{V}_{r} = \underline{V}_{i} (1 + \underline{\Gamma}_{R})$$
  
 $\underline{V}_{R} = 100 (1.4 + \text{j } 0.3) = 143.2 \text{ e}^{\text{j } 12.1^{\circ}}$  (V)  
 $\underline{I}_{R} = \underline{I}_{i} + \underline{I}_{r} = \underline{I}_{i} (1 - \underline{\Gamma}_{R})$   
 $\underline{I}_{R} = 1.33 (0.6 - \text{j } 0.3) = 0.895 \text{ e}^{-\text{j } 26.56^{\circ}}$  (A)  
 $\underline{P}_{\text{act}} = \frac{1}{2} \Re [\underline{V}_{R} \underline{I}_{R}^{*}] = \frac{1}{2} \underline{I}_{R}^{2} \Re [Z_{R}]$ 

 $=\frac{1}{2}0,895^2 \times 125 = 50 \text{ W}$ 

1) 
$$\Gamma_R = \frac{Z_R - Z_c}{Z_R + Z_c} = \frac{j X_R - Z_c}{j X_R + Z_c} = -\frac{Z_c - j X_R}{Z_c + j X_R}$$

$$\Gamma_R = 1$$
et  $\arg \Gamma_R = \arg (-1) + \arg (Z_c - j X_R)$ 

$$- \arg (Z_c + j X_R)$$

Or: 
$$\arg (Z_c - j X_R) = -\arg (Z_c + j X_R)$$
  
=  $-\arg \frac{X_R}{Z_c}$   
Donc:  $\arg \underline{\Gamma}_R = \pi - 2 \operatorname{arctg} \frac{Z_R}{Z_c}$ 

2) a) 
$$\arctan \frac{X_R}{Z_c} = \arctan \frac{100}{75} = 53,13^\circ$$
  
 $\rightarrow \arg \Gamma_R = 180^\circ - 2 \cdot 53,13^\circ = 73,74^\circ$ 

b) 
$$\operatorname{arctg} \frac{X_R}{Z_c} = \operatorname{arctg} - \frac{50}{75} = -33,69^{\circ}$$
  
 $\rightarrow \operatorname{arg} \Gamma_R = 180^{\circ} + 2 \cdot 33,69^{\circ} = 247,38^{\circ}$ 

### EXERCICE 3.4

1) 1 Np = 8,68 dB; donc:  $\alpha = 0.3$  dB/m = 0.0345 Np/m

$$\beta = \frac{2\pi}{\lambda} = 20,1062 \text{ rad/m}$$

(A) 
$$\Gamma_R = \frac{Z_R - Z_c}{Z_R + Z_c} = \frac{250}{350} = 0.714$$
  
 $\Gamma(\ell) = \Gamma_R e^{-2\gamma\ell} = \Gamma_R e^{-2\alpha\ell} e^{-2j\beta\ell}$   
 $e^{-2\alpha\ell} = e^{-0.0690} = 0.933$ 

$$\beta\ell = \frac{2\pi\ell}{\lambda} = 2\pi \cdot 3, 2 = 0, 4\pi \text{ (modulo } 2\pi\text{)}$$

$$e^{-2j\beta\ell} = e^{-j \cdot 0.8\pi}$$

Donc : 
$$\underline{\Gamma}(\ell) = 0,666 e^{-j \cdot 144^{\circ}}$$

**b**) 
$$Z(\ell) = Z_c \frac{1 + \underline{\Gamma}(\ell)}{1 - \Gamma(\ell)} = 50 \frac{0.461 - \underline{j} \ 0.3915}{1,539 + \underline{j} \ 0.3915}$$

$$Z(\ell) = 50 \frac{0,6048 e^{-j \cdot 40,34^{\circ}}}{1,5880 e^{j \cdot 14.27^{\circ}}}$$
$$= 19,04 e^{-j \cdot 54,61^{\circ}} = 11,03 - j \cdot 15,52$$

#### EXERCICE 3.5

1) 
$$\Gamma_R = \frac{65 + j75}{165 + j75} = \frac{99,25 e^{j49,08^{\circ}}}{181,25 e^{j24,44^{\circ}}}$$

 $S = \frac{1}{1 - \Gamma_R} = 3,425$ 

 $\rho Z_c = 171.25 \Omega$ 

ition and un maximum de tension se

$$2\pi = 2\beta x_{\mathbf{M}} \rightarrow x_{\mathbf{M}} = \frac{1}{\beta} \left( \frac{\varphi}{2} - k\pi \right)$$

 $n = 24.64^{\circ} \cdot \frac{\pi}{180^{\circ}} = 0,43 \text{ radiams}$ 

== 0/21

or or premier maximum de tension

$$M = \frac{0.215}{3.307} = 0.065 \text{ m}$$

turnim de ternsion esti à  $\lambda/4$  plus

1.9 m, nous avens: 0.475 = 0.54 m.

#### ECE 3.6

na pas de perte, nous avons :

 $X \mid Y(x) \not = (x)^*] \quad \forall \quad x$ 

mple; en un maximum de est le courant I<sub>m</sub> sont en

$$|\mathbf{Z}_{m}| = \frac{1}{2} V_{M} I_{m}$$

$$|\mathbf{Z}_{M}| = 0 Z_{c},$$

nous avons

$$P_{\text{act}} = \frac{1}{2} \cdot \frac{V_{\text{M}}^2}{\rho Z_c} = \frac{\left(V_{\text{M}}^{\text{ef}}\right)^2}{\rho Z_c}$$

Nous obtenons donc les valeurs efficaces cherchées:

$$V_{M} = \sqrt{P \rho Z_{c}} = 100 \sqrt{2} = 141.4 \text{ V}$$

$$V_{m} = \frac{V_{M}}{\rho} = \frac{100}{\sqrt{2}} = 70.7 \text{ V}$$

$$I_{M} = \frac{V_{M}}{Z_{c}} = \sqrt{2} = 1.414 \text{ A}$$

$$I_{m} = \frac{I_{M}}{\rho} = \frac{1}{\sqrt{2}} = 0.707 \text{ A}$$

#### **EXERCICE 3.7**

1) 
$$\Gamma_R = \frac{\rho - 1}{\rho + 1} = \frac{1}{3} = 0.333$$
  
 $\varphi - 2\beta x_m = (2k + 1) \pi \rightarrow \varphi = 4\pi \frac{x_m}{\lambda} + \pi (2\pi)$ 

Donc: 
$$\varphi = 4\pi \frac{0.75}{10} + \pi = 1.3\pi$$

$$\Gamma_R = 0.333 e^{j \cdot 234^{\circ}}$$

$$Z_R = Z_c \frac{1 + \Gamma_R}{1 - \Gamma_R} = 100 \frac{0.804 - j \cdot 0.270}{1.196 + j \cdot 0.270}$$

$$Z_R = 100 \frac{0.848 e^{-j \cdot 18.56^{\circ}}}{1.226 e^{j \cdot 12.72^{\circ}}}$$

$$Z_R = 69.17 e^{-j \cdot 31.28^{\circ}} = 59.115 - j \cdot 35.915 \Omega$$

**2)** 
$$P_{\text{act}} = \frac{1}{2} \mathcal{R} \left[ \underline{V}_R \underline{I}_R^* \right] = \frac{1}{2} R_R I_R^2$$

Donc: 
$$I_R = \sqrt{\frac{2P}{R_R}} = 1,84 \text{ A}$$
  
et:  $V_R = |Z_R|I_R = 127,27 \text{ V}$ 

# **EXERCICES DU CHAPITRE 4**

# Diagramme de Smith

# **EXERCICE 4.1** (fig. E.1)

1) M est le point représentatif de  $\Gamma_R = 0.54$  et arg  $\Gamma_R = 128^\circ$ .

Le R.O.S. se lit à l'intersection du cercle de rayon  $\Gamma_R = 0.54$  avec l'axe des réels à droite  $\rightarrow \rho = 3.35$ .

Impédance réduite correspondant au point M:

$$z_R = 0.36 + \text{j} \ 0.44$$

D'où : 
$$Z_R = z_R \cdot Z_C = 18 + j 22$$
 (5)

Admittance réduite correspondant au point M $y_R = 1.13 - j 1.35$ 

D'où: 
$$Y_R = y_R \cdot Y_c = (2.26 - j 2.7) \cdot 10^{-2} \text{ S}.$$

2) De la même manière, on trouve :  $\rho = 2.35$ 

$$z_R = 1.07 - \text{j } 0.9 \rightarrow Z_R = 53.5 - \text{j } 45 \Omega$$

$$y_R = 0.55 + j 0.45 \rightarrow Y_R = (1.1 + j 0.90) 10^{-2}$$

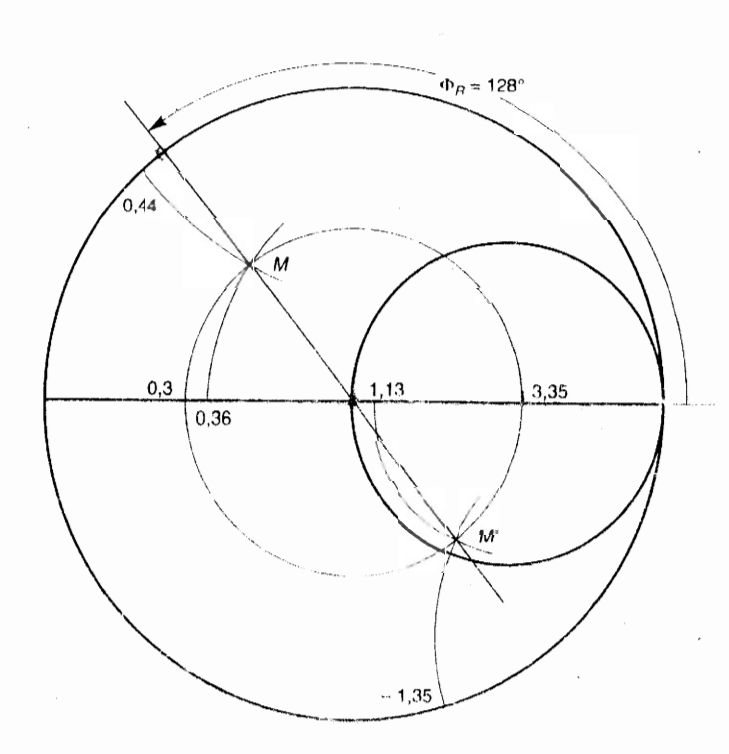


Figure E. i

# **EXERCICE 4.2** (fig. E.2)

1) 
$$z_R = \frac{Z_R}{Z_c} = 0.8 + j 1.3$$

(Point M du diagramme)

$$y_R = 0.35 - i 0.55$$

(Point M', symétrique de M)

$$Y_R = y_R Y_c = (0.7 - j 1.1) 10^{-2} S$$

Au point B, on lit le R.O.S. :  $\rho = 3.9$ .

La position du point M en coordonnées polaires nous donne:

$$\underline{\Gamma}_R = 0.59 \,\mathrm{e}^{\,\mathrm{j}\,63^\circ}$$

2) De la même manière, nous obtenons :

$$z_R = 0.6 - j 1.4$$

$$y_R = 0.26 + j \ 0.60 \rightarrow Y_R = (0.52 + j \ 1.20) \ 10^{-2} \text{ S}$$

$$\rho = 5.3 \text{ et } \Gamma_R = 0.68 \text{ e}^{-\text{j} 65^\circ}$$

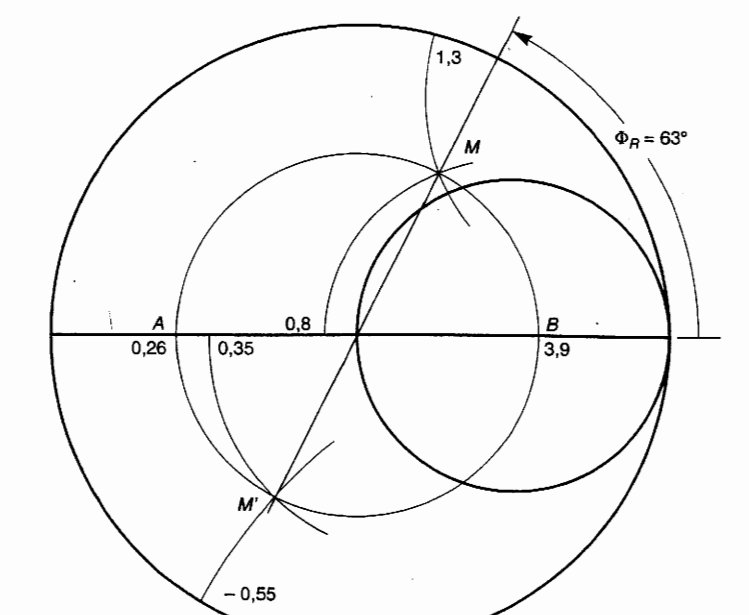


Figure E.2.

# EXERCICE 4.3 (fig. E.3)

1) 
$$z_R = \frac{Z_R}{Z_c} = 0.6 - \text{j} 1.1$$

(Point M du diagramme)

Au point B, on lit le R.O.S. :  $\rho = 4.1$ .

La position de M en coordonnées polaires nous donne :  $\Gamma_R = 0.61 e^{-j.76^\circ}$ 

2) À 11 cm de la charge :  $x/\lambda = 1,375$  soit 0,375.

Nous devons donc tourner de 0,375 vers le générateur en partant de la graduation 0,355 qui repère la position de la charge. Le point d'arrivée correspond donc à la graduation :

$$0,355 + 0,375 = 0,730$$
 soit  $0,230$ 

En ce point:

$$z = 3.3 + j \ 1.6 \rightarrow Z = 165 + j \ 80.$$

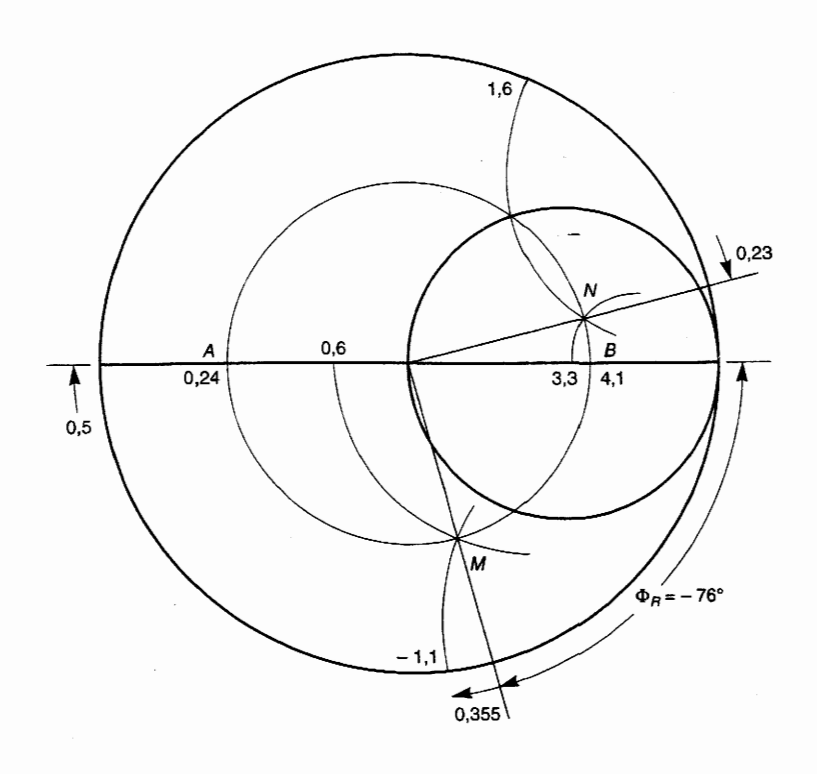


Figure E.3.

3) Un minimum de tension correspond au point A dont la distance à la charge est

$$\frac{x_{\rm m}}{\lambda} = 0,500 - 0,355 = 0,145$$

D'où: 
$$x_{\rm m} = 0.145\lambda + \frac{k\lambda}{2} = 1.16 \text{ cm} + 4k \text{ cm}$$

(k, nombre entier positif ou nul pour le premier minimum).

En ce point : 
$$z_{\rm m} = 0.24 \rightarrow Z_{\rm m} = 12 \Omega$$
.

Un maximum de tension correspond au point B dont la distance à la charge est :

$$\frac{x_{\rm M}}{\lambda} = \frac{x_{\rm m}}{\lambda} + 0.250 = 0.395$$

D'où: 
$$x_{\text{M}} = 0.395\lambda + \frac{k\lambda}{2} = 3.16 \text{ cm} + 4k \text{ cm}$$

En ce point : 
$$z_M = 4.1 \rightarrow Z_M = 205 \Omega$$
.

## EXERCICE 4.4 (fig. E.4)

1) La position du point M, représentatif de  $z_R = 2.1 + j 1.35$ , est déterminée par la graduetion 0,212.

Pour trouver l'impédance d'entrée  $z_e$ , il faut tourner de  $\ell/\lambda = 1,184$  soit 0,184 vers le générateur; z, correspond donc à la graduation: 0,212 + 0,184 = 0,396.

Nous lisons:

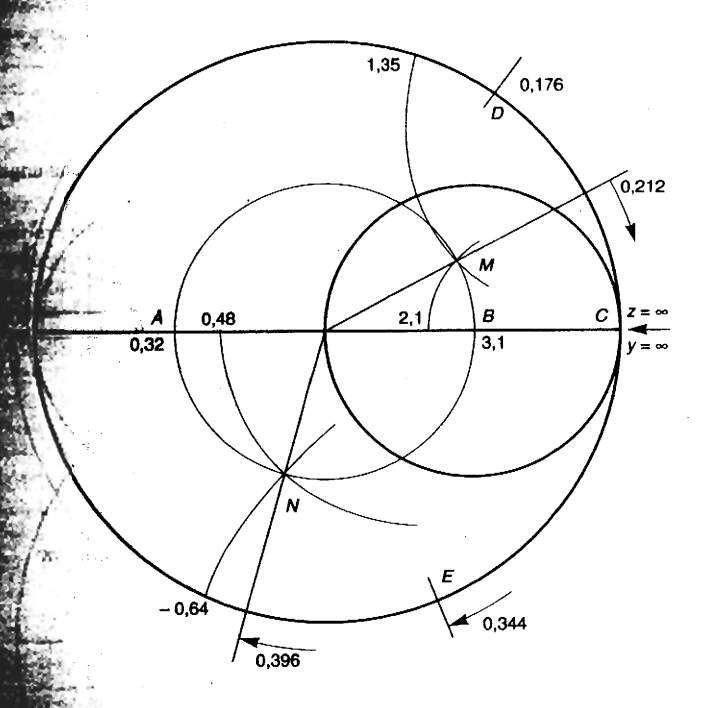
$$z_p = 0.48 - j 0.64 \text{ (Point } N\text{)}$$

D'où : 
$$Z_e = z_e Z_c = 36 - j 48 \Omega$$
.

2) Le R.O.S. se lit en  $B : \rho = 3,1$ .

 $\Gamma_R$  est donné par les coordonnées polaires qu point M:

$$\underline{\Gamma}_R = 0.51 e^{j 27^\circ}$$



se trouve

2) Le point représentatif du circuit ouvert est C pour lequel  $z_R = \infty$ . On tourne vers le générateur jusqu'au point E représentatif de z = -1.5 j.

$$\frac{\ell}{1} = 0.344 - 0.250 = 0.094 \rightarrow \ell = 0.94 \text{ cm}$$

**EXERCICE 4.6** (fig. E.5)

Pour le premier tronçon de ligne :

Dyra 2 j.

 $z_1 = \frac{Z_1}{Z_2} = 1 - j 1,5 \text{ (Point } A_1 \leftrightarrow 0.324)$ 

On tourne de  $\ell_1/\lambda_1 = 0.333$  vers le générateur jusqu'au point  $B_1 \leftrightarrow 0.657$  soit 0.157) représentatif de l'impédance d'entrée. Le point C1 représente l'admittance d'entrée :

$$y_{e_1} = 0.34 - j 0.60.$$

Pour le deuxième tronçon de ligne :

$$z_2 = \frac{Z_2}{Z_{c_2}} = 1.33 + \text{j 1 (Point } A_2 \leftrightarrow 0.182)$$

On tourne de  $\ell_2/\lambda_2 = 0.300$  vers le générateur jusqu'au point  $B_2$  ( $\leftrightarrow$  0,482) représentatif de l'impédance d'entrée.

Le point  $C_2$  représente l'admittance d'entrée :

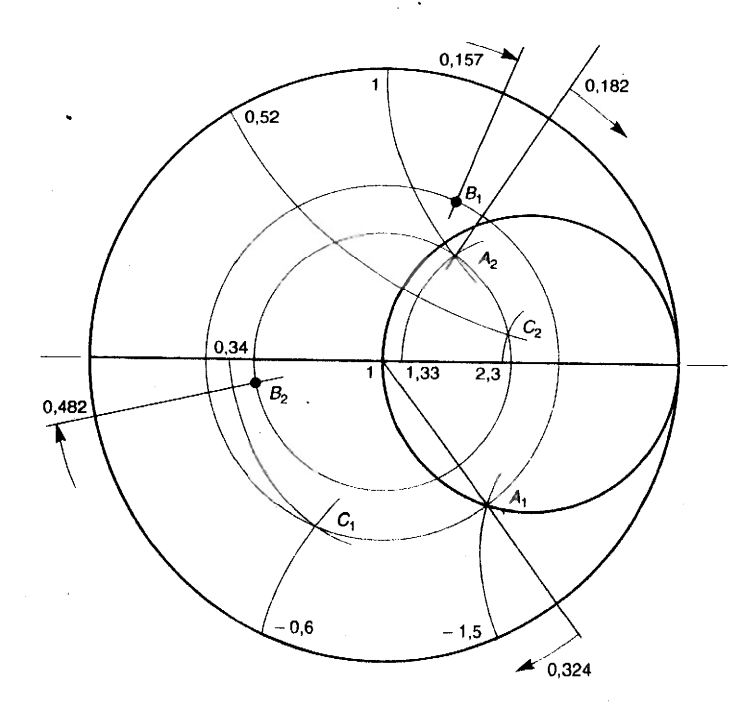
$$y_{e_2} = 2.3 + j 0.52.$$

Pour trouver l'admittance résultant de la mise en parallèle de ces deux tronçons d'impédances caractéristiques différentes, nous devons obligatoirement passer en valeurs vraies; nous

$$Y_{e_1} = y_{e_1} \cdot Y_{c_1} = (6.8 - \text{j } 12) \cdot 10^{-3} \text{ S}.$$
  
 $Y_{e_2} = y_{e_2} \cdot Y_{c_2} = (30.7 + \text{j } 6.9) \cdot 10^{-3} \text{ S}.$ 

$$Y_{e_2} = y_{e_2} \cdot Y_{c_2} = (30.7 + j 6.9) 10^{-3} \text{ S}$$

D'où: 
$$Y_e = Y_{e_1} + Y_{e_2} = (37.5 - j 5.1) 10^{-3} \text{ S}.$$



## Figure E.5.

# EXERCICE 4.7 (fig. E.6)

1) Nous partons du point A qui représente  $z_m$  et nous tournons vers la charge de  $x_{\rm m}/\lambda = 0.348$ sur le cercle à R.O.S. = 2,7. Nous obtenons  $z_R = 0.88 + j 0.95$  (Point  $B \leftrightarrow 0.348$ ).

2) Nous partons du point B et nous tournons vers le générateur de  $\ell/\lambda = 1,450$  soit 0,450 sur le cercle à R.O.S. = 2,7.

Nous obtenons le point  $C \leftrightarrow 0.102$  soit 0,450 +0,152 = 0,602) qui représente

$$z_e = 0.55 + j 0.60.$$

## **EXERCICE 4.8** (fig. E.6)

1) Soit  $x_1$  la position d'un minimum de tension, c'est-à-dire d'impédance, lorsque la ligne est terminée par  $Z_R$ .

Lorsque l'on remplace  $Z_R$  par un court-circuit, le minimum de tension (qui d'ailleurs devient nul) se trouve en  $x_2$  (voir fig. 8a et 8b du chapitre 3 « Étude de la réflexion à l'extrémité d'une ligne ») dont la distance au court-circuit est  $n\lambda/2$ .

La distance entre le minimum d'impédance et la charge est donc :

$$x_{\rm m} = (x_1 - x_2) + \frac{n\lambda}{2} = 5{,}25 \text{ cm} + \frac{n\lambda}{2}$$

Pour trouver  $z_R$ , il faut donc partir de  $z_m$  (point A') et tourner vers la charge de 5,25/50 = 0,105 sur le cercle à R.O.S. = 5. Nous obtenons le point B' pour lequel :  $z_R = 0,32 - j 0,72$  d'où :  $Z_R = 16 - j 36$ .

2) Avec un circuit-ouvert, les minima sont décalés de  $\lambda/4$  par rapport au cas d'un court-circuit. Comme  $\lambda/4=12,5$  cm, le minimum de tension se serait déplacé de 5,25+12,5=17,75 cm vers la charge ou de 12,5-5,25 cm = 7,25 cm vers le générateur.

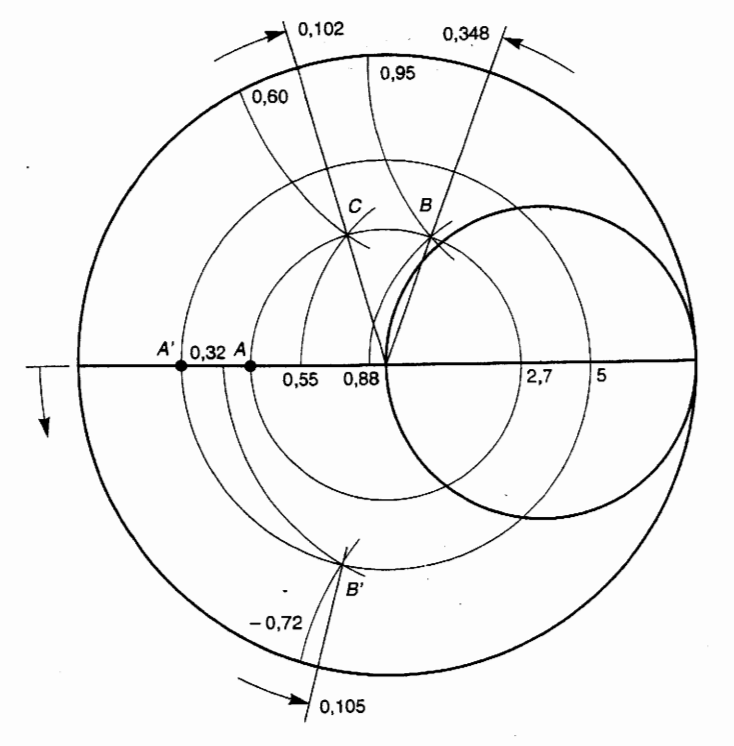


Figure E.6.

#### - SOLUTIONS DES EXERCICES

### **EXERCICES DU CHAPITRE 5**

# Les dispositifs d'adaptation

### EXERCICE 5.1 (fig. E.7)

1) À f = 500 MHz,  $\lambda = 60$  cm donc  $\ell_1 = \lambda/4$ . Impédance de charge :

 $Z_R = R + jL\omega = 50 + j 62.8 \Omega.$ 

Impédance réduite :

$$z_R = 0.5 + \text{j } 0.628 \text{ (Point } A \leftrightarrow 0.102)$$

La longueur  $\ell_1$  doit être telle que l'impédance  $z_1$  ( $\ell_1 - \epsilon$ ) soit réelle ; en tournant vers le géné-

rateur, à partir du point A, le pre mier point dont l'impédance est réelle est le poir B.

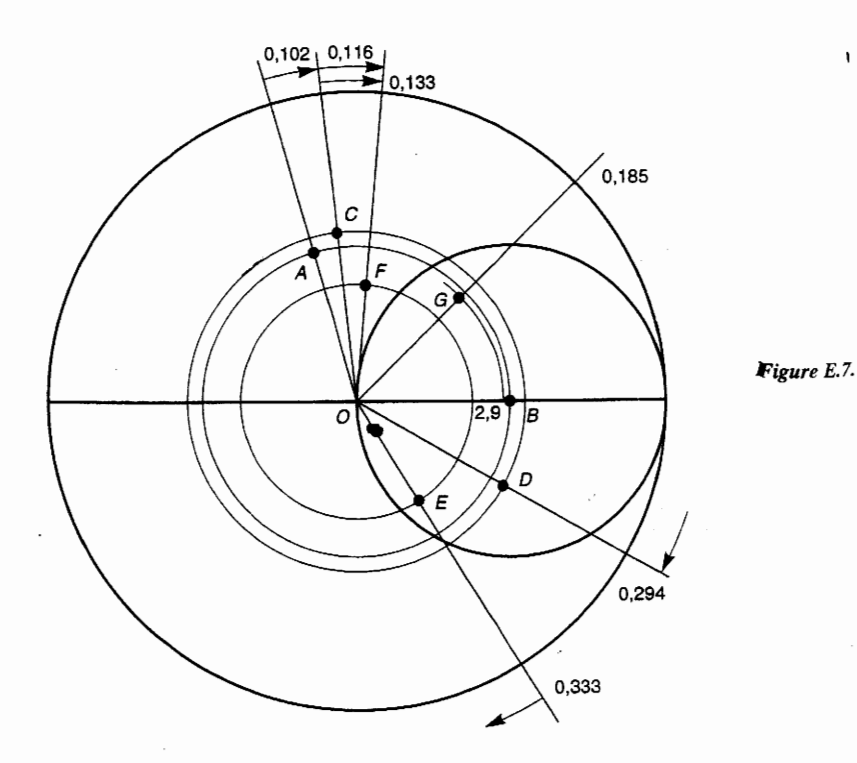
En B: 
$$z_M = 2.95 \rightarrow Z_M = 295 \Omega$$
.

La longueur  $\ell_1$  est donnée par :

$$\frac{\ell_1}{\lambda} = 0.250 - 0.102 = 0.148 \text{ d'où } \ell_1 = 8.88 \text{ cm}$$

L'impédance caractéristique de la ligne  $\lambda/4$  doit être :

$$Z_c' = \sqrt{295 \times 100} = 171,75 \Omega$$



2) À f

3.4

À la d

À la d

À la c génér

Àla

Fig

2) 
$$\lambda f = 600 \text{ MHz}, \lambda' = 50 \text{ cm}.$$

$$Z_R = 50 + \text{j } 75,40$$
  
 $\rightarrow z_R = 0,50 + \text{j } 0,754 \text{ (Point } C \leftrightarrow 0,116).$ 

À la distance  $\ell_1 - \epsilon (\ell_1/\lambda' = 0.178)$  vers le générateur :

$$z_1 = 1.9 - \text{j } 1.5$$
  
(Point  $D \leftrightarrow 0.116 + 0.178 = 0.294$ ).

À la distance  $\ell_1 + \epsilon$ :

$$z'_1 = z_1 \frac{Z_c}{Z'_c} = 1,106 - j0,873$$

(Point  $E \leftrightarrow 0.333$ ).

À la distance  $\ell_1 + \ell_2 - \epsilon (\ell_2/\lambda' = 0.300)$  vers le générateur :

$$z_2' = 0.79 + j 0.75$$
  
(Point  $F \leftrightarrow 0.633$  soit 0.133).

À la distance  $\ell_1 + \ell_2 + \epsilon$ :

Figure E.8.

$$z_2 = z_2^{\prime} \frac{Z_c^{\prime}}{Z_c} = 1,357 + j 1,288$$
  
(Point  $G \leftrightarrow 0,185$ ).

Le cercle de centre O passant par G correspond à un R.O.S. de 2,9.

#### **EXERCICE 5.2** (fig. E.8)

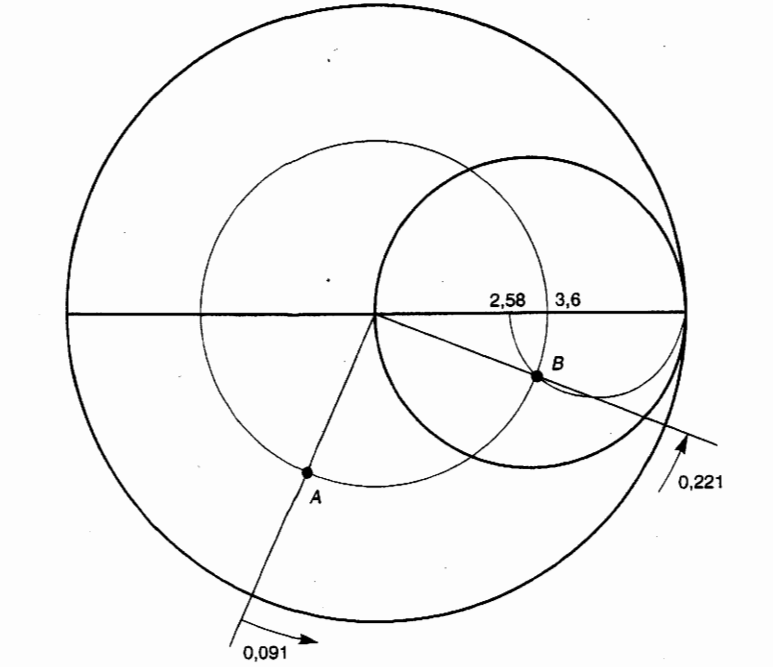
$$Z_c = \sqrt{50 \cdot 7.5} = 19,365 \Omega$$

L'impédance d'entrée de la ligne doit être égale à  $Z_G^{\star}$ , soit en impédance réduite :

$$z_G^* = 0.387 - j 0.568 \text{ (Point } A \leftrightarrow 0.091\text{)}$$

L'impédance de charge, en valeur réduite, est :

$$z_R = 2,582 - \frac{j}{C\omega} \cdot \frac{1}{Z_c}$$



À partir du point A, il faut se déplacer vers la charge sur le cercle à R.O.S. = 3,6, jusqu'à la rencontre du demi-cercle à r = 2,582 et x < 0. L'intersection est le point  $B \ (\leftrightarrow 0,221)$  pour lequel :  $z_R = 2,852 - j$  1,5

d'où: 
$$\frac{\ell'}{\lambda} = 0.130 \text{ et } \frac{1}{C_{\omega}} \cdot \frac{1}{Z_c} = 1.5$$

donc:  $\ell$ ' = 0,130  $\lambda$  et C = 2,24  $\cdot$  10<sup>-12</sup> F.

# **EXERCICE 5.3**

En appliquant la procédure qui a été détaillée au paragraphe 5.6.1, on trouve que :

1re solution:

$$d = 10.6$$
 cm et  $s = 5.3$  cm,

2<sup>e</sup> solution:

$$d' = 18,6 \text{ cm et } s' = 19,7 \text{ cm}.$$

# EXERCICE 5.4 (fig. E.9)

$$z_R = \frac{Z_R}{Z_c} = 0.3 - \text{j } 0.85 \text{ (Point } A\text{)}$$

$$y_R = 0.37 + j 1.05 \text{ (Point } B \leftrightarrow 0.134).$$

Le stub doit être placé à un endroit de la ligne où la partie réelle de l'admittance est égale à 1. Il y a deux solutions.

1) En 
$$C: y(d-\epsilon) = 1 + j 2$$
.

La distance de ce point à la charge est :

$$\frac{d}{\lambda}$$
 = 0,188 - 0,134 = 0,054  $\rightarrow$  d = 1,62 cm

L'admittance d'entrée du stub devra être : y(s) = -j 2. Or, cette admittance réduite est normalisée par rapport à  $Z_c = 1/Y_c = 50 \Omega$ .

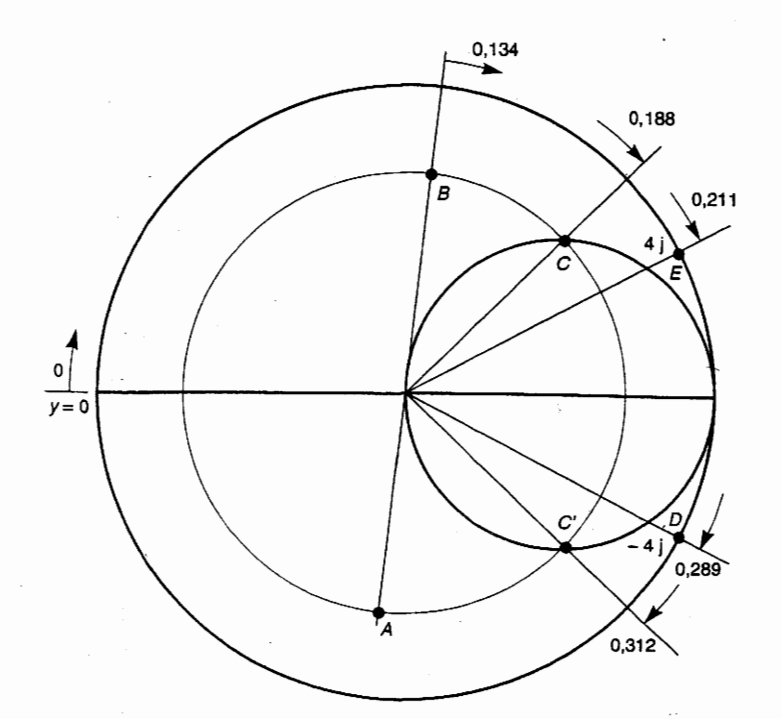


Figure E.9.

Donc  $y(s) = Y(s)/Y_c$ , où Y(s) est l'admittance d'entrée du stub en valeur vraie.

Comme le stub a une impédance caractéristique  $Z_c' = 1/Y_c' = 100 \Omega$ , la même admittance Y(s) normalisée par rapport à  $Z_c'$  a pour valeur réduite :

$$y'(s) = \frac{Y(s)}{Y_c'} = y(s) \frac{Y_c}{Y_c'} = y(s) \frac{Z_c'}{Z_c} = -j 4$$

Nous devons donc rechercher la longueur d'un stub en circuit ouvert (y = 0) dont l'admittance d'entré est - j 4 (Point  $D \leftrightarrow 0.289$ ).

$$\frac{s}{\lambda} = 0.289 \rightarrow s = 8.67 \text{ cm}$$

2) En C': 
$$y(d' - \varepsilon) = 1 - j 2$$
.  
 $\frac{d'}{\lambda} = 0.312 - 0.134 = 0.178 \rightarrow d' = 5.34 \text{ cm}$ 

L'admittance d'entrée du stub devra être :

Figure E.10.

$$y(s') = j 2$$

soit y'(s') = j 4 lorsque l'on normalise par rapport à 100  $\Omega$ .

La longueur d'un stub en circuit ouvert (y = 0) dont l'admittance d'entrée est j 4 (Point  $E \leftrightarrow 0,211$ ) est :

$$\frac{s'}{\lambda} = 0.211 \rightarrow s' = 6.33 \text{ cm}$$

#### **EXERCICE** 5.5

En appliquant la procédure qui a été détaillée au paragraphe 5.6.2, on trouve :

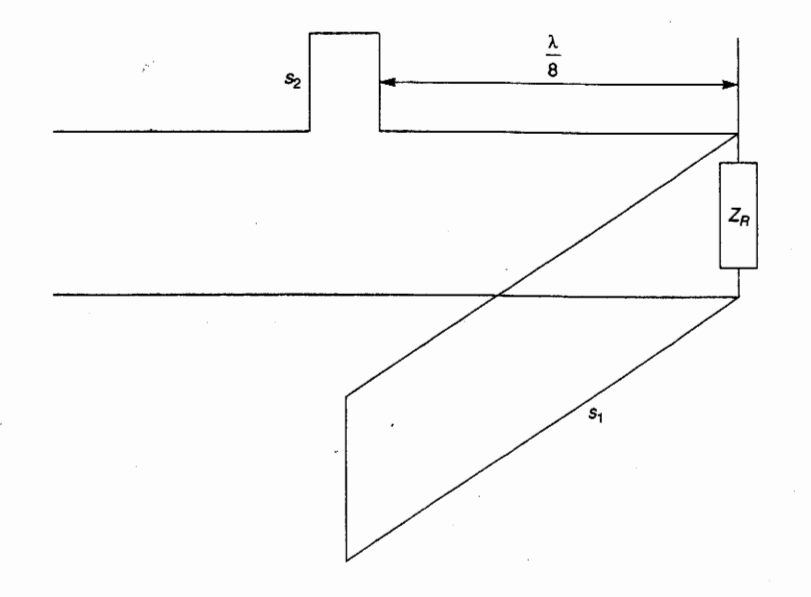
1<sup>re</sup> solution: 
$$s_1' = 5.6$$
 cm et  $s_2' = 16.75$  cm,  
2<sup>e</sup> solution:  $s_1'' = 3.3$  cm et  $s_2'' = 5.35$  cm.

# **EXERCICE 5.6** (fig. E.10)

Nous allons donner une solution entièrement analytique :

$$z_R = 1.5 - \text{j} \ 1.2 \text{ et } y_R = 0.40 + \text{j} \ 0.33$$
  
 $y(0) = y_R + y_{s_1} = 0.40 + \text{j} \ 0.33 + \text{j} \ b_1$ 

D'après la formule de transformation des admittances :



$$y\left(\frac{\lambda}{8} - \varepsilon\right) = \frac{y(0) + j \operatorname{tg} \frac{\beta \lambda}{8}}{1 + j y(0) \operatorname{tg} \frac{\beta \lambda}{8}} = \frac{y(0) + j}{1 + j y(0)}$$

et: 
$$z\left(\frac{\lambda}{8} + \varepsilon\right) = z\left(\frac{\lambda}{8} - \varepsilon\right) + z(s_2)$$

soit: 
$$z\left(\frac{\lambda}{8} + \varepsilon\right) = \frac{1 + j \cdot 0.40 - 0.33 - b_1}{0.40 + j \cdot 0.33 + j \cdot b_1 + j} + j x_2$$

Or: 
$$z\left(\frac{\lambda}{8} + \varepsilon\right) = 1 + j 0$$

donc: 
$$\frac{0.67 + \text{j} \ 0.40 - b_1}{0.40 + \text{j} \ 1.33 + \text{j} \ b_1} = 1 - \text{j} \ x_2$$

En égalant parties réelles et parties imaginaires, nous obtenons deux équations à deux inconnues  $(b_1, x_2)$ :

(1) 
$$0.93 = 0.40 x_2 - b_1$$

(2) 
$$0.27 = 1.33 x_2 + b_1 + b_1 x_2$$

d'où l'équation du second degré en  $x_2$ :

(3) 
$$x_2^2 + 2x_2 - 3 = 0$$

qui a pour solutions:

$$x_2' = 1 \rightarrow b_1' = -0.53$$
  
 $x_2'' = -3 \rightarrow b_1'' = -2.13$ 

d'où l'on déduit :

$$z(s_2') = j 1 \text{ et } \frac{s_2'}{\lambda} = 0,125$$

$$z(s_2) = -j 3 \text{ et } \frac{s_2}{\lambda} = 0.302$$

(distances lues sur le diagramme de Smith entre le point z = 0 et les points représentatifs de j 1 et -i 3)

$$y(s_1') = -j 0.53 \text{ et } \frac{s_1'}{\lambda} = 0.174$$

$$y(s_1'') = -j 2.13 \text{ et } \frac{s_1''}{\lambda} = 0.070$$

(distances lues sur le diagramme entre le point  $y = \infty$  et les points représentatifs de -j 0,53 et -j 2,13.)

# EXERCICE 5.7 (fig. E.1)

Normalisons les impédances par  $Z_c = 40 \Omega$ :

$$z_R = 0.1 + \text{j } 0.05 \text{ (Point } A \leftrightarrow 0.008) \text{ et } z_G = 1.2$$

Nous allons écrire la condition d'adaptation l'interface  $(\ell, \ell + \epsilon)$ . Comme les admittance de part et d'autre de cette interface sont complexes, cette condition est :

$$y^*(\ell + \varepsilon) = y(\ell)$$

• Calculons  $y(\ell)$  en partant de la charge  $z_p$ :

$$\ell = 2 \text{ cm}, \ \lambda = 25 \text{ cm}, \ \frac{\ell}{\lambda} = 0,080$$

$$z(\ell - \varepsilon) = 0.14 + j 0.61 \text{ (Point } B \leftrightarrow 0.088)$$
  
 $v(\ell - \varepsilon) = 0.36 - j 1.55 \text{ (Point } C)$ 

$$y(\ell) = 0.36 - j 1.55 + j C_p \omega Z_c$$

Le lieu de  $y(\ell)$  est un arc du cercle  $C_1$  à g = 0.3 et b > -1.55.

• Calculons  $y^*(\ell + \varepsilon)$  en partant du générateur

$$z(\ell + \varepsilon) = 1,25 - j\frac{1}{C_s \omega} \cdot \frac{1}{Z_c}$$

Le lieu de  $z(\ell + \varepsilon)$  est le demi-cercle à r = 1, et x < 0 (demi-cercle  $C_2$ ); le lieu de  $y(\ell + \varepsilon)$  est le demi-cercle symétrique par rappé au centre du diagramme (demi-cercle  $C_1$ ) le lieu de  $y^*(\ell + \varepsilon)$  est le demi-cercle symtrique du précédent par rapport à l'axe horzontal (demi-cercle  $C_4$ ).

• À l'intersection de  $C_1$  et de  $C_4$ , nous lisons  $y(\ell) = y^*(\ell + \varepsilon) = 0.36 - j 0.4$  (Point D)

CIC

Lig

ER

ns dén

2αβ

ablir I'd

et l'on en déduit :

$$y (\ell + \varepsilon)$$
 (Point E)  
et  $z (\ell + \varepsilon) = 1,25 - j 1,45$  (Point F)

D'après les relations (1) et (3), on trouve  $C_p$ 

$$j C_p \omega Z_c = j 1,15 \text{ d'où} : C_p = 7,625 \text{ p}^{\text{F}}$$

D'après les relations (2) et (4), on trouve  $C_8$ :

$$-j\frac{1}{Z_c C_s \omega} = -j 1,45 \text{ d'où}: C_s = 4,573 \text{ ps}$$

0.008  $\frac{1}{2} \operatorname{cercle} C_3$   $\frac{1}{2} \operatorname{cercle} C_4$  D  $\frac{1}{2} \operatorname{cercle} C_2$  F

# Lignes avec pertes

FEXERCICE 6.1

rouve Cs: Was démontré que :

z<sub>R</sub>: E.11.

 $B \mapsto 0.088$ 

rappo

$$\alpha^{2} - \beta^{2} = R_{1} G_{1} - L_{1} C_{1} \omega^{2}$$

$$2\alpha\beta = \omega (L_{1} G_{1} + R_{1} C_{1})$$

tablir l'expression de  $\alpha^2 + \beta^2$ ;

nous avons :

$$\alpha^{4} - 2 \alpha^{2} \beta^{2} + \beta^{4} = R_{1}^{2} G_{1}^{2}$$

$$- 2 R_{1} G_{1} L_{1} C_{1} \omega^{2} + L_{1}^{2} C_{1}^{2} \omega^{4}$$

$$4 \alpha^{2} \beta^{2} = \omega^{2} L_{1}^{2} G_{1}^{2}$$

$$+ 2 \omega^{2} L_{1} G_{1} R_{1} C_{1} + \omega^{2} R_{1}^{2} C_{1}^{2}$$

d'où:

$$\alpha^{4} + 2\alpha^{2}\beta^{2} + \beta^{4} = R_{1}^{2}G_{1}^{2} + \omega^{2}L_{1}^{2}G_{1}^{2} + \omega^{2}R_{1}^{2}C_{1}^{2} + L_{1}^{2}C_{1}^{2}\omega^{4}$$

$$+ \omega^{2}R_{1}^{2}C_{1}^{2} + L_{1}^{2}C_{1}^{2}\omega^{4}$$

ou: 
$$\alpha^2 + \beta^2 = \sqrt{(R_1^2 + L_1^2 \omega^2)(G_1^2 + C_1^2 \omega^2)}$$

En faisant la somme et la différence de  $\alpha^2 - \beta^2$  et  $\alpha^2 + \beta^2$ , on obtient les expressions de  $\alpha^2$  et  $\beta^2$ , d'où finalement les expressions (1) et (2) de  $\alpha$  et  $\beta$ .

#### **EXERCICE 6.2**

1) Dans l'expression (3) de  $Z_c$ , il est possible de négliger les termes en  $G_1^2$  et  $R_1$   $G_1$ ; dans ces conditions:

$$Z_{c} = \sqrt{\frac{L_{1} C_{1} \omega^{2} + j \omega (L_{1} G_{1} - R_{1} C_{1})}{C_{1}^{2} \omega^{2}}}$$

$$Z_{c} = \sqrt{\frac{L_{1}}{C_{1}}} + j \frac{L_{1} G_{1} - R_{1} C_{1}}{C_{1}^{2} \omega}$$

$$= \sqrt{\frac{L_{1}}{C_{1}}} \sqrt{1 + j \frac{L_{1} G_{1} - R_{1} C_{1}}{L_{1} C_{1} \omega}}$$

Comme  $R_1$  et  $G_1$  sont faibles et compte tenu des ordres de grandeur de  $C_1$ ,  $L_1$  et  $\omega$ , la seconde racine est de la forme  $\sqrt{1+\varepsilon}=1+\varepsilon/2$  donc:

$$Z_c = \sqrt{\frac{L_1}{C_1}} \left[ 1 + j \left( \frac{G_1}{2 C_1 \omega} - \frac{R_1}{2 L_1 \omega} \right) \right]$$

**2**) Dans ce cas  $(G_1 = 0)$ :

$$Z_c = \sqrt{\frac{L_1}{C_1}} \left[ 1 - j \frac{R_1}{2 L_1 \omega} \right]$$

Comme  $\alpha = \frac{1}{2} R_1 \sqrt{\frac{C_1}{L_1}}$  (relation (6))

et  $\beta = \omega \sqrt{L_1 C_1}$  (relation (4))

nous avons:  $\frac{\alpha}{\beta} = \frac{1}{2} \cdot \frac{R_1}{L_1 \omega}$ 

Donc: 
$$Z_c = \sqrt{\frac{L_1}{C_1}} \left[ 1 - j \frac{\alpha}{\beta} \right]$$

#### **EXERCICE 6.3**

Par définition des Nepers :

$$K(Np) = \frac{1}{2} \ln \frac{P(0)}{P(\ell)} = \frac{1}{2} \ln e^{-2\alpha \ell} = -\alpha \ell$$

Cette relation nous montre que l'unité naturelle de  $\alpha$  est le Neper par mètre (Np/m).

Par définition des Décibels :

$$K(dB) = 10 \lg \frac{P(0)}{P(\ell)} = 10 \log e^{-2\alpha \ell}$$

Comme  $\ln x = 2.3026 \log x$ , nous avons:

$$\frac{1}{2}\ln\frac{P(0)}{P(\ell)} = 1,1513\log\frac{P(0)}{P(\ell)} = \frac{10}{8,686}\log\frac{P(0)}{P(\ell)}$$

Donc: 
$$K(Np) = \frac{1}{8.686} K(dB)$$

et: 
$$K(dB) = 8,686 K(Np)$$

La valeur numérique de K en Décibels est donc égale à 8,686 fois la valeur numérique de K en Nepers ; d'où l'on tire que :

$$1 \text{ Np} = 8.686 \text{ dB} \text{ et } 1 \text{dB} = 0.115 \text{ Np}$$

#### **EXERCICE 6.4**

La perte due à l'affaiblissement linéique de la ligne est :

$$\alpha \ell = 0.1 \text{ (dB/m)} \cdot 10 \text{ (m)} = 1 \text{ dB}.$$

La perte due à la désadaptation est donnée par l'abaque de la figure 7. Calculons le R.O.S.:

$$\dot{\rho} = \frac{1 + \Gamma_R}{1 - \Gamma_R} \text{ avec } \Gamma_R = \frac{|Z_R - Z_c|}{|Z_R + Z_c|}$$

Comme  $Z_R$  et  $Z_c$  sont réels et que  $Z_R > Z_c$ , nous avons :

$$\Gamma_R = \frac{Z_R - Z_C}{Z_R + Z_C}$$
 d'où  $\rho = \frac{Z_R}{Z_C} = 4$ 

Nous lisons sur l'abaque une perte de 0.9 dB correspondant à  $\alpha \ell = 1$  dB et  $\rho = 4$ .

La perte totale est donc de 1,9 dB.

$$\Gamma_R = \frac{Z_c - Z_R}{Z_R + Z_c}$$
 d'où  $\rho = \frac{Z_c}{Z_R} = 4$ .

Le résultat reste le même.

# **EXERCICES DU CHAPITRE 8**

# Lignes bifilaires et coaxiales

### EXERCICE 8.1

#### a) Calcul de R<sub>1</sub>

La résistance d'un conducteur par unité de longueur est:

 $R_1 = \frac{1}{\pi} \cdot \frac{1}{\epsilon}$ 

où  $\sigma$  est la conductivité et s la section où circulent les courants.

Dans notre cas, à cause de l'effet de Peau, les courants pénètrent à une profondeur :

$$\delta = \frac{1}{\sqrt{\pi \, \mu_0 \, \sigma f}}$$

c'est-à-dire pour le conducteur intérieur (extérieur) dans une couronne de section  $2\pi r_1 \delta$  $(2\pi r_2 \delta)$  puisque  $\delta \ll r_1, r_2$ .

La résistance linéique due au conducteur intérieur est donc :

$$R_1' = \frac{1}{\sigma_1} \cdot \frac{1}{2\pi r_1} \sqrt{\pi \mu_0 \sigma_1 f} = \frac{1}{d_1} \sqrt{\frac{\mu_0 f}{\pi \sigma_1}}$$

De même, la résistance linéique du conducteur extérieur est :

$$R_1'' = \frac{1}{d_2} \sqrt{\frac{\mu_0 f}{\pi \sigma_2}}$$

D'où:

$$R_{1} = R_{1}^{*} + R_{1}^{*}$$

$$= \sqrt{\frac{\mu_{0} f}{\pi} \left( \frac{1}{d_{1} \sqrt{\sigma_{1}}} + \frac{1}{d_{2} \sqrt{\sigma_{2}}} \right)}$$

#### b) Calcul de $L_1$

D'après le théorème d'Ampère, le courant I qui circule à la surface du conducteur intérieur du coaxial est égal à la circulation du champ magnétique H sur la circonférence d'un cercle de rayon  $r(r_1 < r < r_2) : I = 2\pi r H$ .

D'où l'induction magnétique :

$$B = \mu_0 H = \mu_0 \frac{I}{2\pi r}$$

Le flux de B à travers une surface de longueur  $\ell$  parallèle à l'axe du coaxial et de largeur dr

$$\mu_0 \frac{I}{2\pi r} \ell dr$$

Le flux total est donc:

$$\Phi = \mu_0 \frac{I\ell}{2\pi} \int_{r_1}^{r_2} \frac{dr}{r} = \mu_0 \frac{I\ell}{2\pi} \ln \frac{r_2}{r_1}$$

L'inductance par unité de longueur est :

$$L_1 = \frac{1}{\ell} \cdot \frac{\Phi}{I}$$

D'où: 
$$L_1 = \frac{\mu_0}{2\pi} \ln \frac{r_2}{r_1}$$

#### c) Calcul de C1

Soit  $Q_1$  la charge par unité de longueur sur le conducteur central du coaxial. Appliquons le théorème de Gauss à un cylindre de rayon r  $(r_1 < r < r_2)$  et de longueur  $\ell$  : le flux de l'induction électrique  $D = \varepsilon E$  (qui est radiale) à travers cette surface est égal à la charge qui se trouve sur le conducteur central.

$$2\pi r \ell D = Q_1 \ \ell \ \text{d'où } E = \frac{Q_1}{2\pi r \epsilon}$$

La tension entre les deux conducteurs du coaxial

$$V = \int_{r_1}^{r_2} E \, dr = \frac{Q_1}{2\pi\varepsilon} \int_{r_1}^{r_2} \frac{dr}{r} = \frac{Q_1}{2\pi\varepsilon} \ln \frac{r_2}{r_1}$$

La capacité par unité de longueur est  $C_1 = Q_1/V$ .

D'où : 
$$C_1 = 2\pi\varepsilon \frac{1}{\ln\left(\frac{r_2}{r_1}\right)}$$

#### d) Calcul de $G_1$

Pour un milieu diélectrique avec des pertes conductrices caractérisées par une conductivité σ, le courant en régime variable est

$$\vec{\underline{J}} = \sigma \, \vec{\underline{E}} + j\omega \varepsilon \, \vec{\underline{E}}.$$

En termes de circuit, cette relation s'écrit :

 $\underline{I} = G\underline{V} + j\omega C\underline{V}$ . La conductance linéique donc être obtenue en remplaçant e par o d la formule de  $C_1$ .

D'où: 
$$G_1 = 2\pi\sigma \frac{1}{\ln\left(\frac{r_2}{r_1}\right)}$$

Comme le facteur de pertes d'un milieu dieu trique est tg  $\delta = \sigma/\omega \varepsilon$ , nous avons.

$$G_1 = 4 \pi^2 \varepsilon f \operatorname{tg} \delta \frac{1}{\ln \left(\frac{r_2}{r_1}\right)}$$

#### **EXERCICE 8.2**

Nous avons vu au chapitre 6 que, pour u ligne à faibles pertes :

$$\alpha = \frac{1}{2} \left| R_1 \sqrt{\frac{C_1}{L_1}} + G_1 \sqrt{\frac{L_1}{C_1}} \right|$$

$$\frac{1}{2} R_1 \sqrt{\frac{C_1}{L_1}} = \alpha_c$$

représente les pertes dans les conducteurs.

$$\frac{1}{2}G_1\sqrt{\frac{L_1}{C_1}}=\alpha_d$$

représente les pertes dans le diélectrique.

Compte tenu des expressions (1) à (4) pour paramètres primaires d'une ligne coaxi nous obtenons:

$$\alpha_c \text{ (Np/m )} = \sqrt{\pi \varepsilon f} \left| \frac{1}{d_1 \sqrt{\sigma_1}} + \frac{1}{d_2 \sqrt{\sigma_2}} \right| \frac{1}{\ln \left| \frac{d_2}{d_1} \right|}$$

$$\alpha_d (\text{Np/m}) = \frac{\pi f}{v} \text{tg } \delta$$

Pour exprimer  $\alpha_c$  et  $\alpha_d$  en dB/m, il suffi multiplier ces expressions par 8,686 (voir )? cice 6.3). D'autre part, explicitons numéril nt les

ľoù : 8

l'où : ;

D'apri

après

ı négli fectué

 $Z_{c} = \cdot$ 

$$\pi \varepsilon f = \pi \varepsilon_0 \varepsilon_r f = \frac{1}{36 \cdot 10^9} \varepsilon_r f$$

n milieu diéle d'où : 8,686 
$$\sqrt{\pi \epsilon f} = \frac{8,686}{\sqrt{36 \cdot 10^9}} \sqrt{\epsilon_r f}$$
ns :
$$= 4,578 \cdot 10^{-5} \sqrt{\epsilon_r f}$$

C'est bien le coefficient de a<sub>c</sub> (dB/m) dans (10).

$$\cdot \frac{\pi f}{v} = \pi f \sqrt{\varepsilon \mu} = \pi f \sqrt{\varepsilon_0 \varepsilon_r \mu_0} = \pi f \sqrt{\varepsilon_r} \frac{1}{c}$$

d'où: 8,686 
$$\frac{\pi f}{v} = \pi f \sqrt{\varepsilon_r} \frac{8,686}{3 \cdot 10^8}$$
  
= 9,096 \cdot 10^{-8} f  $\sqrt{\varepsilon_r}$ 

C'est bien le coefficient de  $\alpha_d$  (dB/m) dans (11).

que, pour u

#### EXERCICE 8.3

1) D'après les relations (1) et (2) nous obtenons : ducteurs.

ectrique.

$$\frac{R_1}{L_1 \omega} = \frac{1}{\sqrt{\pi \mu_0 \sigma f}} \left[ \frac{1}{d_1} + \frac{1}{d_2} \right] \frac{1}{\ln \left( \frac{d_2}{d_1} \right)}$$

dont la valeur numérique est 2,36 · 10<sup>-3</sup>.

D'après les relations (3) et (4), nous obtenons :

$$\frac{G_1}{G_1 \omega} = \operatorname{tg} \delta = 10^{-3}$$

En négligeant  $R_1$   $2L_1$   $\omega$  et  $G_1$   $2C_1$   $\omega$ , l'erreur effectuée est de l'ordre du millième.

2) 
$$Z_c = \sqrt{\frac{L_1}{C_1}} = \sqrt{\frac{\mu_0}{\epsilon}} \frac{\ln\left(\frac{d_2}{d_1}\right)}{2\pi}$$

pent les coefficients de 
$$\alpha_c$$
 et de  $\alpha_d$ :
$$\pi \varepsilon f = \pi \varepsilon_0 \varepsilon_r f = \frac{1}{36 \cdot 10^9} \varepsilon_r f$$

$$Or: \sqrt{\frac{\mu_0^{\text{min}}}{\varepsilon}} = \sqrt{\frac{\mu_0}{\varepsilon_0 \varepsilon_r}} = \frac{120\pi}{\sqrt{\varepsilon_r}}$$

D'où: 
$$Z_c = \frac{60}{\sqrt{\varepsilon_r}} \ln \left( \frac{d_2}{d_1} \right)$$

Dans le cas traité :

$$Z_c = \frac{60}{\sqrt{2,25}} \ln 3.6 = 51,24 \Omega$$

#### EXERCICE 8.4

1) L'expression de P peut être mise sous la

$$P = \frac{\sqrt{\varepsilon_r}}{120} E_1^2 \rho_2^2 \left(\frac{\rho_1}{\rho_2}\right)^2 \ln\left(\frac{\rho_2}{\rho_1}\right)$$

 $E_1$  et  $\rho_2$  étant imposés, nous pouvons écrire :

$$P = K \left(\frac{1}{x}\right)^2 \ln x \text{ avec } K = \frac{\sqrt{\epsilon_r}}{120} E_1^2 \rho_2^2 = \text{cte}$$

$$\frac{dP}{dx} = K \frac{(\ln x)^{2} x^{2} - (\ln x)(x^{2})^{2}}{x^{4}} = K \frac{1 - 2 \ln x}{x^{3}}$$

La puissance transportée est maximale si dP dx = 0, soit pour :

$$\ln x = \frac{1}{2} \rightarrow x = e^{0.5} = 1.65$$

2) 
$$\frac{\rho_2}{\rho_1} = 1.65 \rightarrow \rho_1 = \frac{\rho_2}{1.65} = 6.06 \text{ mm}$$

$$P = \frac{1}{120} (10^5)^2 (6.06 \cdot 10^{-3})^2 0.5$$
  
= 1.53 kW

#### **EXERCICES DU CHAPITRE 9**

# Lignes à bandes et à fentes

#### EXERCICE 9.1

1) w/h = 0.5; nous devons donc utiliser la formule (2) d'après laquelle  $\varepsilon_{\rho} = 5.8$ .

Ce résultat est confirmé par l'abaque de Wheeler (fig. 11) sur laquelle nous lisons:

$$\sqrt{\varepsilon_e} = 2.4.$$

2) D'après cette abaque, nous lisons  $Z_0 = 170 \Omega$ . d'où:

$$Z_{\rm m} = \frac{Z_0}{\sqrt{\varepsilon_e}} = 70.83 \,\Omega$$

La formule la plus simple est celle d'Hammerstad (10) d'après laquelle :  $Z_m = 69.51 \Omega$ .

D'après celle de Wheeler (7), nous trouvons  $Z_{\rm m} = 69,20 \ \Omega.$ 

Ces formules sont donc en accord à mieux que

La précision de lecture sur l'abaque est de l'ordre de 2 à 3 %.

#### **EXERCICE 9.2**

Dans cette formule (8), Z<sub>m</sub> est l'impédance caractéristique de la ligne microbande modélisée par une structure à diélectrique homogène, de permittivité  $\varepsilon_a$ ;  $Z_0$  est l'impédance caractéristique de la même ligne, mais à diélectrique air  $(\varepsilon_{\rho} = 1)$ .

L'impédance caractéristique d'une ligne T.E.M. est donnée, dans l'approximation des lignes sans perte, par:

$$Z_c = \sqrt{\frac{L_1}{C_1}}$$

D'autre part, la vitesse de propagation sur une telle ligne est :

$$v_p = \frac{1}{\sqrt{L_1 C_1}}$$

Nous avons donc:

$$Z_c = \frac{1}{v_p C}$$

Pour une ligne à diélectrique  $\varepsilon_{\rho}$ :

$$(Z_c)_{\varepsilon} = \frac{1}{(v_p)_{\varepsilon}(C_1)_{\varepsilon}} \equiv Z_{\mathsf{m}}$$

Pour la ligne à diélectrique air :

$$(Z_c)_0 = \frac{1}{(v_p)_0 (C_1)_0} \equiv Z_0$$

Or: 
$$(v_p)_{\varepsilon} = \frac{(v_p)_0}{\sqrt{\varepsilon_e}}$$
 et  $(C_1)_{\varepsilon} = (C_1)_0 \varepsilon_e$ .

Il en résulte que :

$$Z_{\rm m} = \frac{Z_0}{\sqrt{\epsilon_e}}$$

#### **EXERCICE 9.3**

Dans la formule (12) on veut que :

$$G\left(\frac{f}{f_d}\right)^2 < \frac{1}{100}$$

Soit: 
$$\left(\frac{f}{f_d}\right)^2 < \frac{1}{100} \cdot \frac{1}{G} \rightarrow f < \frac{f_d}{10\sqrt{G}}$$

m, il suffit 36 (voir l'ex ns numériq

$$G = 0.6 + 0.009 Z_{\rm m} = 1.23$$

$$f_d = \frac{10^7}{8\pi} \cdot \frac{Z_{\rm m}}{h} = 4,386 \cdot 10^{10}$$

D'où: 
$$f < \frac{43.86}{11.1} \cdot 10^9 = 3.95 \text{ GHz}$$

#### **EXERCICE 9.4**

D'après le graphique de Hammerstad (fig. 12), nous voyons que w/h < 2. Le calcul de w/h se fait donc d'après les formules (15) et (16).

D'après (16) : A = 2,15et d'après (15) : w/h = 0,96d'où : w = 0,61 mm.

Compte tenu de l'épaisseur b du ruban, sa largeur doit être calculée d'après la formule (11) dans laquelle x = h puisque  $w/h > 1/2\pi$ ; donc  $w_a = w + \Delta w$  avec :

$$\Delta w = \frac{b}{\pi} \left( 1 + \ln \frac{2h}{b} \right) = 0.0186 \text{ mm}$$

Cette correction est de 3 % en valeur relative.

#### **EXERCICE 9.5**

1) Cette fréquence est donnée par la relation (25) d'après laquelle :

$$f_{\rm M} = 2.14 \frac{9^{1/4}}{0.635} = 5.837 \,\rm{GHz}$$

2)  $\alpha_c$  se calcule d'après les formules (19) et (21) dans lesquelles nous prendrons  $w_e = w$  et B = h.

D'après (21): A = 3.93.

D'autre part : 
$$R_S = \sqrt{\pi \mu_0 \rho f} = 8{,}425 \cdot 10^{-3}$$

d'où l'on calcule, d'après (19) :

$$\alpha_c = 1.35 \text{ dB/m}$$

La formule (22), largement surestimée, donnerait :  $\alpha_c = 2.3$  dB/m.

3) Les pertes dans le diélectrique sont données par (24).

Compte tenu de ce que  $\varepsilon_e = 6.11$  en appliquant (1) ou (2), nous avons :  $\alpha_d = 0.212$  dB/m.

#### **EXERCICE 9.6**

1) Les couples de solutions possibles sont lus directement à partir de l'abaque de la figure 15.

$$\frac{t}{b} = 0.05 \rightarrow \frac{w}{b} = 0.7$$

$$\frac{t}{b} = 0.10 \rightarrow \frac{w}{b} = 0.6$$

$$\frac{t}{b} = 0.15 \rightarrow \frac{w}{b} = 0.52$$

$$\frac{t}{b} = 0.20 \rightarrow \frac{w}{b} = 0.45$$

$$\frac{t}{b} = 0.25 \rightarrow \frac{w}{b} = 0.37$$

2) La fréquence jusqu'à laquelle cette ligne fonctionne en mode T.E.M., dans le cas où w/b = 0.6 et b = 1 cm, se détermine d'après la formule (35) : f = 7.22 GHz.

#### **EXERCICES DU CHAPITRE 10**

# Réalisation des impédances et des circuits résonnants

#### EXERCICE 10.1

1) Réalisation d'une inductance  $L = Z_c x/v$ 

Il faut une  $Z_c$  élevée, donc w/h = 0.1.

D'après l'abaque de Wheeler (fig. 11, chap. 9) :

$$Z_0 = 260 \ \Omega$$

et: 
$$\sqrt{\varepsilon_a} = 1.65 \rightarrow \varepsilon_a = 2.72$$

d'où : 
$$Z_c = Z_m = 157,6$$
 Ω

et : 
$$v = \frac{c}{\sqrt{\varepsilon_e}} = 1,82 \cdot 10^8 \text{ m/s}$$

À 1 GHz:

$$\lambda = \frac{\lambda_0}{\sqrt{\varepsilon_e}} = \frac{30}{1,65} = 18,18 \text{ cm} \rightarrow \frac{\lambda}{12} = 1,515 \text{ cm}$$

L'inductance maximale réalisable est donc :

$$L = 0.866 \cdot 10^{-6} \cdot 1.515 \cdot 10^{-2}$$
$$= 1.312 \cdot 10^{-8} H$$

2) Réalisation d'une capacité  $C = (1/Z_c)(x/v)$ 

Il faut une  $Z_c$  faible, donc w/h = 5.

D'après l'abaque de Wheeler:

$$Z_0 = 50 \ \Omega \ \text{et} \ \sqrt{\varepsilon_e} = 1.8$$

d'où :  $Z_c = Z_m = 27.8 \Omega$ et  $v = 1.667 \cdot 10^8$  m/s.

À 1 GHz :

$$\lambda = \frac{\lambda_0}{\sqrt{\varepsilon_e}} = 16.67 \text{ cm} \rightarrow \frac{\lambda}{12} = 1.39 \text{ cm}$$

La capacité maximale réalisable est donc :  $C = 0.216 \cdot 10^{-9} \cdot 1.39 \cdot 10^{-2} = 3 \cdot 10^{-12} \text{ F.}$ 

#### **EXERCICE 10.2**

L'impédance aux bornes du circuit série (L', C

$$Z_S = j L' \omega - \frac{j}{C' \omega} \operatorname{avec} L' C' \omega_0^2 = 1$$

Cette impédance peut aussi s'écrire :

$$Z_{S} = j L' \omega \left[ 1 - \left( \frac{\omega_{0}}{\omega} \right)^{2} \right]$$

$$Z_{S} = \frac{j}{C'\omega} \left| \left( \frac{\omega}{\omega_{0}} \right)^{2} - 1 \right|$$
 (2\*)

L'admittance aux bornes du circuit parallèl (L, C) est :

$$\frac{1}{Z_p} = \frac{1}{jL\omega} + jC\omega \text{ avec } LC\omega_0^2 = 1$$

Cette admittance peut aussi s'écrire :

$$\frac{1}{Z_p} = \frac{1}{j L \omega} \left[ 1 - \left( \frac{\omega}{\omega_0} \right)^2 \right]$$

ou 
$$\frac{1}{Z_p} = j C\omega \left[ 1 - \left( \frac{\omega_0}{\omega} \right)^2 \right]$$

Après la ligne  $\lambda/4$ , nous avons :  $Z_A = Z_c^{2/2}$ soit :

$$Z_A = \frac{Z_c^2}{j L \omega} \left[ 1 - \left( \frac{\omega}{\omega_0} \right)^2 \right]$$

$$Z_A = j Z_c^2 C \omega \left| 1 - \left( \frac{\omega_0}{\omega} \right)^2 \right|$$

En identifiant (1') et (3'), nous trouvons:

$$L \omega_0 = \frac{Z_c^2}{L' \omega_0}$$

Vons q

Oils q

ation p

 $\frac{K}{Z_c}$   $-\left(\frac{K}{Z}\right)$ 

tg θ =

tenu de

> 0 e

KER didanc

 $Z_{AB}$ 

$$C \omega_0 = \frac{Y_c^2}{C' \omega_0}$$

#### **EXERCICE 10.3**

$$\frac{K}{Z_c} = \operatorname{tg} \left| \frac{\theta}{2} \right| = \operatorname{tg} \left| \frac{\pi \ell}{\lambda} \right|$$

 $\ell$  relation permet donc de déterminer  $\ell$ :

$$\begin{vmatrix} \operatorname{crire} : & \frac{\pi^{\ell}}{\lambda} \\ \end{vmatrix} = \operatorname{arctg}\left(\frac{K}{Z_c}\right) \to \ell = \pm \frac{\lambda}{\pi} \operatorname{arctg}\left(\frac{K}{Z_c}\right)$$

 $\left(\frac{1}{2}\right)^2$  (1) the part, nous pouvons écrire:

$$\begin{vmatrix} x & y \\ -1 & y \end{vmatrix} = \frac{K}{\frac{Z_c}{|z_c|^2}} = \frac{tg \left| \frac{\theta}{2} \right|}{1 - tg^2 \left| \frac{\theta}{2} \right|} = \frac{1}{2} tg \left| \frac{\theta}{2} \right|$$

circuit parallèle me  $\operatorname{tg} \left| \theta \right| = \left| \frac{2X}{Z_c} \right|$ , nous avons :

 $\frac{X}{Z_c} = \pm \frac{\overline{Z_c}}{1 - \left(\frac{K}{C}\right)^2}$ 

Ouples de solutions sont :

3 EXERCICE 10.4

pte tenu de ce que  $\theta = -\arctan(2X/Z_0)$  (18).

impédance d'entrée du circuit résonnant

 $\ell > 0$  et X < 0 ou  $\ell < 0$  et X > 0

$$C\omega_0^2=1$$

 $S: Z_A = Z_c^2/Z_p$ 

 $Z_{AB} = R + j L\omega \left[1 - \frac{1}{LC \omega^2}\right]$  $= R + j L\omega \left| \frac{\omega^2 - \omega_0^2}{2} \right|$ 

# $(\omega + \omega_0) = 2\omega_0 \Delta \omega$

$$Z_{AB} = R + j L\omega \frac{2\omega_0 \Delta\omega}{\omega^2}$$
$$= R + 2j L \frac{\omega_0}{\omega} \Delta\omega$$

Donc:  $X(\omega) = 2L \frac{\omega_0}{\omega} \Delta \omega$ , relation (27)

$$\mathbf{d'o\dot{u}}: \frac{\mathbf{d}X}{\mathbf{d}\omega} = 2L \frac{\omega_0}{\omega}$$

et pour 
$$\omega \simeq \omega_0$$
,  $\frac{dX}{d\omega} = 2L$ , relation (28)

b) L'impédance d'entrée d'une ligne en courtcircuit est:

$$Z_e = j Z_c tg \beta \ell$$

dans notre cas :  $\ell = \lambda_0/2$ .

$$\beta \ell = \frac{2\pi}{\lambda} \cdot \frac{\lambda_0}{2} = \pi \frac{\omega}{\omega_0}$$

$$=\pi \frac{\omega_0 + \Delta \omega}{\omega_0} = \pi + \pi \frac{\Delta \omega}{\omega_0}$$

$$tg \beta \ell = tg \left( \pi + \pi \frac{\Delta \omega}{\omega_0} \right)$$
$$= tg \left( \pi \frac{\Delta \omega}{\omega_0} \right) = \pi \frac{\Delta \omega}{\omega_0}$$

Compte tenu de la présence de R en série, nous avons:

$$Z_{AB} = R + j Z_c \pi \frac{\Delta \omega}{\omega_o}$$

de la forme R + iX avec :

$$X(\omega) = Z_c \pi \frac{\Delta \omega}{\omega_0}$$
, relation (29)

Pour  $\omega \simeq \omega_0$ :

$$\frac{\mathrm{d}X}{\mathrm{d}\omega} = Z_c \frac{\pi}{\omega_0} = \frac{Z_c}{2f_0}, \text{ relation (30)}$$

# **EXERCICES DU CHAPITRE 11**

# Réflexion et réfraction des ondes électromagnétiques

### EXERCICE 11.1

1) 
$$\frac{\sigma}{\omega \varepsilon_0 \varepsilon_r} > 10 \rightarrow \frac{\sigma}{2\pi f \varepsilon_0 \varepsilon_r} > 10$$

d'où: 
$$f < \frac{\sigma}{20\pi \, \epsilon_0 \, \epsilon_r} = \frac{\sigma}{\epsilon_r} \cdot \frac{36\pi \cdot 10^9}{20\pi}$$
$$= \frac{1.8\sigma}{\epsilon_r} \, 10^9$$

Pour l'eau de mer :

$$f < \frac{1.8 \cdot 3}{70} \cdot 10^9 = 77,143 \text{ MHz}$$

2) 
$$\underline{R} = \frac{\underline{\zeta}_c - \zeta_d}{\zeta_c + \zeta_d}$$
 avec  $\underline{\zeta}_c = \sqrt{\frac{\omega \mu}{2\sigma}} (1 + j)$ 

et: 
$$\zeta_d = \sqrt{\frac{\mu_0}{\varepsilon_0}} = 120\pi$$

$$\underline{\zeta}_{c} = \sqrt{\frac{2\pi f \cdot \mu_{0}}{2\sigma}} (1+j)$$

$$= \sqrt{\frac{2\pi \cdot 10^{7} \cdot 4\pi \cdot 10^{-7}}{6}} (1+j)$$

$$\underline{\zeta}_{c} = 2\pi \sqrt{0.333} (1+j) = 2\pi \cdot 0.577 (1+j)$$

donc: 
$$\frac{\zeta_c}{\zeta_d} \simeq 0.01 (1+j)$$

et: 
$$R = \frac{0.01 (1 + j) - 1}{0.01 (1 + j) + 1} = \frac{-0.99 + 0.01 j}{1.01 + 0.01 j}$$
  
 $R = \frac{99 e^{-j 0.58^{\circ}}}{1.01 + j 0.57^{\circ}} = 0.98 e^{-j 1.15^{\circ}}$ 

# EXERCICE 11.2

Cas TE: 
$$\zeta_{TE} = \frac{\zeta_0}{\cos w}$$

 $\zeta_{TM} = \zeta_0 \cos \psi$ 

Dans notre cas

$$\zeta_0 = \sqrt{\frac{\mu_0}{\varepsilon_0}} = 120\pi \text{ et } \cos \psi = \cos 45^\circ = \frac{1}{\sqrt{2}}$$

Donc :  $\zeta_{TE}$  = 266,62 Ω et :  $\zeta_{TM}$  = 533,24 Ω

#### **EXERCICE 11.3**

1) 
$$\frac{\sigma}{\omega \varepsilon_0 \varepsilon_r} < \frac{1}{10} \rightarrow \frac{2\pi f \varepsilon_0 \varepsilon_r}{\sigma} > 10$$

d'où: 
$$f > \frac{10\sigma}{2\pi \, \varepsilon_0 \, \varepsilon_r} = \frac{10\sigma}{\varepsilon_r} \cdot \frac{36\pi \cdot 10^9}{2\pi}$$
$$= \frac{180\sigma}{\varepsilon_r} \cdot 10^9$$

Pour le sol movennement sec :

$$f > \frac{180 \cdot 10^{-3} \cdot 10^9}{15} = 12 \text{ MHz}$$

2) 
$$R_{\perp} = \frac{\sqrt{\varepsilon_1} \cos \theta_1 - \sqrt{\varepsilon_2} \cos \theta_2}{\sqrt{\varepsilon_1} \cos \theta_1 + \sqrt{\varepsilon_2} \cos \theta_2}$$

et: 
$$R_{\parallel} = \frac{\sqrt{\varepsilon_1} \cos \theta_2 - \sqrt{\varepsilon_2} \cos \theta_1}{\sqrt{\varepsilon_1} \cos \theta_2 + \sqrt{\varepsilon_2} \cos \theta_1}$$

#### tifiant (21) et (4"); nous trouvons : "

 $C \omega_0 = \frac{\gamma_c^2}{C' \omega}$ 

#### XERCICE 10.3

vons que :

$$\frac{K}{Z_c} = \operatorname{tg} \left| \frac{\theta}{2} \right| = \operatorname{tg} \left| \frac{\pi \ell}{\lambda} \right|$$

lation permet donc de déterminer  $\ell$  :

$$= \operatorname{arctg}\left(\frac{K}{Z_c}\right) \to \ell = \pm \frac{\lambda}{\pi} \operatorname{arctg}\left(\frac{K}{Z_c}\right)$$

part, nous pouvons écrire :

$$\frac{\left|\frac{K}{Z_c}\right|}{-\left(\frac{K}{Z_c}\right)^2} = \frac{\operatorname{tg}\left|\frac{\theta}{2}\right|}{1-\operatorname{tg}^2\left|\frac{\theta}{2}\right|} = \frac{1}{2}\operatorname{tg}\left|\theta\right|$$

 $tg[\theta] = \frac{2X}{Z_c}$ , nous avons:

$$\frac{X}{Z_c} = \pm \frac{\frac{K}{Z_c}}{1 - \left|\frac{K}{Z_c}\right|^2}$$

tenu de ce que  $\theta = -\arctan(2X/Z_c)$  (18), es de solutions sont :

$$\ell > 0$$
 et  $X < 0$  ou  $\ell < 0$  et  $X > 0$ 

#### XERCICE 10.4

pédance d'entrée du circuit résonnant crit:

$$Z_{AB} = R + j L\omega \left[ 1 - \frac{1}{LC \omega^2} \right]$$
$$= R + j L\omega \left[ \frac{\omega^2 - \omega_0^2}{\omega^2} \right]$$

 $\mathbf{O} \cdot \mathbf{\omega} + \mathbf{\omega}_0 = (\mathbf{\omega} + \mathbf{\omega}_0) (\mathbf{\omega} - \mathbf{\omega}_0) = 2\mathbf{\omega}_0 \Delta \mathbf{\omega}$ 

$$Z_{AB} = R + j L\omega \frac{2\omega_0 \Delta\omega}{\omega^2}$$
$$= R + 2j L \frac{\omega_0}{\omega} \Delta\omega$$

Donc:  $X(\omega) = 2L \frac{\omega_0}{\omega} \Delta \omega$ , relation (27)

$$d'où: \frac{dX}{d\omega} = 2L \frac{\omega_0}{\omega}$$

et pour  $\omega \simeq \omega_0$ ,  $\frac{dX}{d\omega} = 2L$ , relation (28)

**b**) L'impédance d'entrée d'une ligne en courtcircuit est :

$$Z_e = j Z_c tg \beta \ell$$

dans notre cas :  $\ell = \lambda_0 2$ .

$$\beta \ell = \frac{2\pi}{\lambda} \cdot \frac{\lambda_0}{2} = \pi \frac{\omega}{\omega_0}$$
$$= \pi \frac{\omega_0 + \Delta \omega}{\omega_0} = \pi + \pi \frac{\Delta \omega}{\omega_0}$$

$$tg \beta \ell = tg \left( \pi + \pi \frac{\Delta \omega}{\omega_0} \right)$$
$$= tg \left( \pi \frac{\Delta \omega}{\omega_0} \right) \approx \pi \frac{\Delta \omega}{\omega_0}$$

Compte tenu de la présence de *R* en série, nous avons :

$$Z_{AB} = R + j Z_c \pi \frac{\Delta \omega}{\omega_0}$$
.

de la forme R + jX avec :

$$X(\omega) = Z_c \pi \frac{\Delta \omega}{\omega_0}$$
, relation (29)

Pour  $\omega \simeq \omega_0$ :

$$\frac{\mathrm{d}X}{\mathrm{d}\omega} = Z_c \frac{\pi}{\omega_0} = \frac{Z_c}{2f_0}, \text{ relation (30)}$$

## **EXERCICES DU CHAPITRE 11**

# Réflexion et réfraction des ondes électromagnétiques

#### EXERCICE 11.1

1) 
$$\frac{\sigma}{\omega \varepsilon_0 \varepsilon_r} > 10 \rightarrow \frac{\sigma}{2\pi f \varepsilon_0 \varepsilon_r} > 10$$

d'où: 
$$f < \frac{\sigma}{20\pi \, \epsilon_0 \, \epsilon_r} = \frac{\sigma}{\epsilon_r} \cdot \frac{36\pi \cdot 10^9}{20\pi}$$
$$= \frac{1.8\sigma}{\epsilon_r} \, 10^9$$

Pour l'eau de mer :

$$f < \frac{1.8 \cdot 3}{70} \cdot 10^9 = 77,143 \text{ MHz}$$

2) 
$$\underline{R} = \frac{\underline{\zeta}_c - \zeta_d}{\underline{\zeta}_c + \zeta_d}$$
 avec  $\underline{\zeta}_c = \sqrt{\frac{\omega \mu}{2\sigma}}$  (1 + j)

et: 
$$\zeta_d = \sqrt{\frac{\mu_0}{\varepsilon_0}} = 120\pi$$

$$\zeta_c = \sqrt{\frac{2\pi f \cdot \mu_0}{2\sigma}} (1+j)$$

$$= \sqrt{\frac{2\pi \cdot 10^7 \cdot 4\pi \cdot 10^{-7}}{6}} (1+j)$$

$$\zeta_{c} = 2\pi \sqrt{0.333} (1+j) = 2\pi \cdot 0.577 (1+j)$$

donc: 
$$\frac{\zeta_c}{\zeta_d} \simeq 0.01 (1 + j)$$

et: 
$$\underline{R} = \frac{0.01 (1 + j) - 1}{0.01 (1 + j) + 1} = \frac{-0.99 + 0.01 j}{1.01 + 0.01 j}$$
  
 $\underline{R} = \frac{99 e^{-j 0.58^{\circ}}}{101 e^{j 0.57^{\circ}}} = 0.98 e^{-j 1.15^{\circ}}$ 

# **E** EXERCICE 11.2

Cas TE:  $\zeta_{\text{TE}} = \frac{\zeta_0}{\cos w}$ 

Cas TM:  $\zeta_{TM} = \zeta_0 \cos \psi$ 

Dans notre cas:

$$\zeta_0 = \sqrt{\frac{\mu_0}{\varepsilon_0}} = 120\pi \text{ et } \cos \psi = \cos 45^\circ = \frac{1}{\sqrt{2}}$$

Donc:  $\zeta_{TE} = 266,62 \Omega$  et:  $\zeta_{TM} = 533,24 \Omega$ 

#### **EXERCICE 11.3**

1) 
$$\frac{\sigma}{\omega \varepsilon_0 \varepsilon_r} < \frac{1}{10} \rightarrow \frac{2\pi f \varepsilon_0 \varepsilon_r}{\sigma} > 10$$

d'où: 
$$f > \frac{10\sigma}{2\pi \, \varepsilon_0 \, \varepsilon_r} = \frac{10\sigma}{\varepsilon_r} \cdot \frac{36\pi \cdot 10^9}{2\pi}$$
$$= \frac{180\sigma}{\varepsilon_r} \cdot 10^9$$

Pour le sol moyennement sec :

$$f > \frac{180 \cdot 10^{-3} \cdot 10^9}{15} = 12 \text{ MHz}$$

2) 
$$R_{\perp} = \frac{\sqrt{\varepsilon_1} \cos \theta_1 - \sqrt{\varepsilon_2} \cos \theta_2}{\sqrt{\varepsilon_1} \cos \theta_1 + \sqrt{\varepsilon_2} \cos \theta_2}$$

et: 
$$R_{//} = \frac{\sqrt{\varepsilon_1} \cos \theta_2 - \sqrt{\varepsilon_2} \cos \theta_1}{\sqrt{\varepsilon_1} \cos \theta_2 + \sqrt{\varepsilon_2} \cos \theta_1}$$

Dans ces deux formules, nous avons :  $\varepsilon_1 = \varepsilon_0$ et  $\varepsilon_2$  complexe de la forme :

$$\underline{\varepsilon}_2 = \varepsilon - j \frac{\sigma}{\omega} = \varepsilon \left( 1 - j \frac{\sigma}{\omega \varepsilon} \right)$$

Dans notre cas:

$$\frac{\sigma}{\omega \varepsilon} = \frac{\sigma}{\omega \, \varepsilon_0 \, \varepsilon_r} = \frac{10^{-3} \cdot 36\pi \cdot 10^9}{2\pi \cdot 10^9 \cdot 15} = \frac{18}{15} \, 10^{-3}$$

Nous allons donc pouvoir négliger la partie imaginaire de  $\varepsilon_2$ .

Donc: 
$$R_{\perp} = \frac{\cos \theta_1 - \sqrt{\varepsilon_r} \cos \theta_2}{\cos \theta_1 + \sqrt{\varepsilon_r} \cos \theta_2}$$

et: 
$$R_{II} = \frac{\cos \theta_2 - \sqrt{\varepsilon_r} \cos \theta_1}{\cos \theta_2 + \sqrt{\varepsilon_r} \cos \theta_1}$$

 $\theta_1 = 60^\circ$  et  $\theta_2$  se calcule d'après :

$$\sqrt{\varepsilon_1} \sin \theta_1 = \sqrt{\varepsilon_2} \sin \theta_2$$

$$\sin \theta_2 = \frac{1}{\sqrt{\varepsilon_r}} \sin \theta_1 = 0,2236 \rightarrow \theta_2 = 12,92^\circ$$

Dans ces conditions, nous obtenons:

$$R_{\perp} = \frac{0.5 - 3.775}{0.5 + 3.775} = -\frac{3.275}{4.275} = -0.766$$

$$R_{\parallel} = \frac{0.975 - 1.936}{0.975 + 1.936} = -\frac{0.961}{2.911} = -0.330$$

#### EXERCICE 11.4

1) Écrivons les vecteurs de Poynting de chaque onde, en tenant compte de ce que :

$$\frac{\underline{E}_i}{\underline{H}_i} = -\frac{\underline{E}_r}{\underline{H}_r} = \zeta_1 \text{ et } \frac{\underline{E}_t}{\underline{H}_t} = \zeta_2$$

$$\vec{P}_{i} = \frac{1}{2} \vec{E}_{i} \wedge \vec{H}_{i}^{*} = \frac{1}{2} E_{i} H_{i}^{*} \vec{u}_{i} = \frac{1}{2} \cdot \frac{E_{i}^{2}}{\zeta_{1}} \vec{u}_{i}$$

$$\vec{P}_r = \frac{1}{2} \vec{E}_r \wedge \vec{H}_r^* = \frac{1}{2} E_r \vec{H}_r^* \vec{u}_r = -\frac{1}{2} \cdot \frac{E_r^2}{\zeta_1} \vec{u}_r$$

$$\vec{P}_t = \frac{1}{2} \vec{E}_t \wedge \vec{H}_t^* = \frac{1}{2} E_t H_t^* \vec{u}_t = \frac{1}{2} \cdot \frac{E_t^2}{\zeta_2} \vec{u}_t$$

La loi de conservation de la puissance s'écrit, sur l'interface  $\Sigma$ :

$$\begin{split} & \vec{P}_i = \vec{P}_r + \vec{P}_t \\ \text{d'où} : & \frac{E_i^2}{\zeta_1} \vec{u}_i = -\frac{E_r^2}{\zeta_1} \vec{u}_r + \frac{E_t^2}{\zeta_2} \vec{u}_t \end{split}$$

2) En projection sur l'axe des z, nous avons :

$$E_i^2 \vec{u}_i \cdot \vec{z} = -E_r^2 \vec{u}_r \cdot \vec{z} + \frac{\zeta_1}{\zeta_2} E_t^2 \vec{u}_t \cdot \vec{z}$$

$$E_i^2 \cos \theta_1 = -E_r^2 \cos (\pi - \theta_1) + \frac{\zeta_1}{\zeta_2} E_i^2 \cos \theta_2$$

En divisant par  $E_i^2 \cos \theta_1$  pour faire apparaître  $R^2$  et  $T^2$ , il vient:

$$1 = R^2 + \frac{\zeta_1}{\zeta_2} T^2 \frac{\cos \theta_2}{\cos \theta_1}$$

3) On vérifie l'exactitude de cette relation aussi bien pour les coefficients  $R_{\perp}$  et  $T_{\perp}$  donnés par (84) et (85) que pour les coefficients  $R_{II}$  et  $T_{II}$ donnés par (96) et (97).

### **EXERCICES DU CHAPITRE 12**

# Les guides d'ondes rectangulaires

#### **EXERCICE 12.1**

1) Les champs de l'onde qui se propage dans le guide sont tous affectés d'un facteur en :

$$e^{-j\frac{2\pi}{\lambda}z\cos\psi}$$

avec: 
$$\cos \psi = \sqrt{1 - \left(\frac{\lambda}{\lambda_c}\right)^2}$$
 et  $\lambda_c = 2a$ .

Si  $\lambda > \lambda_c$ , nous avons :  $1 - (\lambda/\lambda_c)^2 < 0$  et l'on peut écrire :

$$\cos \psi = \sqrt{j^2 \left[ \left( \frac{\lambda}{\lambda_c} \right)^2 - 1 \right]} = \pm j \sqrt{\left( \frac{\lambda}{\lambda_c} \right)^2 - 1}$$

Les champs sont donc affectés d'un facteur en :

$$e^{\left(\pm\frac{2\pi}{\lambda}z\,\sqrt{\left(\frac{\lambda}{\lambda_c}\right)^2-1}\right)}$$

Seule la solution avec le signe - permet de traduire un affaiblissement exponentiel caractérisé par le paramètre :

$$\alpha = \frac{2\pi}{\lambda} \sqrt{\left(\frac{\lambda}{\lambda_c}\right)^2 - 1}$$

**Donc**:  $E(z) = E_0 e^{-\alpha z}$ 

L'affaiblissement en décibels est donné par :

$$A \text{ (dB)} = 20 \log \frac{E(z)}{E_0} = 20 \log e^{-\alpha z}$$
  
= 8.686 ln e<sup>-\alpha z</sup>

La fonction qui donne l'affaiblissement est donc :  $A (dB) = -8,686 \alpha z$ 

$$= -8,686 \ 2\pi \frac{z}{\lambda} \sqrt{\left(\frac{\lambda}{\lambda_c}\right)^2 - 1}$$

D'où: 
$$A (dB) = -54.6 \frac{z}{\lambda} \sqrt{\left(\frac{\lambda}{\lambda_c}\right)^2 - 1}$$

2) Pour  $z = \lambda$ ,

$$A \text{ (dB)} = -54.6 \sqrt{\left(\frac{\lambda}{\lambda_c}\right)^2 - 1}$$

Si 
$$\lambda = \sqrt{2} \lambda_c \rightarrow A = -54.6 \text{ dB}$$

Si 
$$\lambda = 1.2 \lambda_c \rightarrow A = -36.2 \text{ dB}$$

#### EXERCICE 12.2

1) Le champ magnétique a deux composar orthogonales  $H_r$  et  $H_r$ .

Pour qu'il soit à polarisation circulaire, que :  $\underline{H}_x = \pm j \underline{H}_z$ . Le signe plus (moins)  $c_{M}$ pond à la polarisation circulaire droite (gaic

d'où : 
$$\cos \psi \sin \frac{\pi x}{a} = \pm \sin \psi \cos \frac{\pi x}{a}$$

et: 
$$tg\frac{\pi x}{a} = \pm \frac{\sin \psi}{\cos \psi} = \pm \frac{\lambda}{\lambda_c} \cdot \frac{\lambda_g}{\lambda} = \pm \frac{\lambda_g}{\lambda_c}$$

La solution 
$$\operatorname{tg} \frac{\pi x_1}{a} = \frac{\lambda_g}{\lambda_c} \to x_1 = \frac{a}{\pi} \operatorname{arctg} \left( \frac{\lambda_g}{\lambda_c} \right)$$

correspond à 
$$: 0 < \frac{\pi x_1}{a} \le \frac{\pi}{2}$$
 soit  $0 < x_1 < \frac{a}{2}$ 

$$= -8,686 \ 2\pi \frac{z}{\lambda} \sqrt{\left(\frac{\lambda}{\lambda_c}\right)^2 - 1} \qquad \text{tg } \frac{\pi x_2}{a} = -\frac{\lambda_g}{\lambda_c} \rightarrow x_2 = \frac{a}{\pi} \arctan\left(-\frac{\lambda_g}{\lambda_c}\right)$$

IER

dérée s ions

all so faces

 $\operatorname{d} a : \frac{\pi}{2} < \frac{\pi x_2}{a} < \pi \operatorname{soit} \frac{a}{2} < x_2 < a$ 

nons que :

$$\frac{\pi x_2}{a} = \pi - \frac{\pi x_1}{a} \rightarrow x_2 = a - x_1$$

$$(\overline{2}, \lambda = \frac{\lambda_c}{\sqrt{2}})$$

$$\sin \psi = \frac{\lambda}{\lambda_c} = \frac{1}{\sqrt{2}} \operatorname{et} \cos \psi = \frac{1}{\sqrt{2}}$$

$$= \frac{a}{4} \text{ et } x_2 = \frac{3a}{4}.$$

#### **CERCICE 12.3**

brant surfacique est donné par le vec- $\vec{k} \wedge \vec{H}$ ;  $\vec{n}$  est la normale unitaire à la idérée du guide.

omposa ressions des composantes de H en mode atal sont données par les relations (26) Let (27) pour  $\underline{H}_{+}$ 

oins) colles faces parallèles à xOz

$$(\overrightarrow{H}_x + \overrightarrow{H}_z) = \overrightarrow{y} \wedge \overrightarrow{H}_x + \overrightarrow{y} \wedge \overrightarrow{H}_z = \overrightarrow{J}_z + \overrightarrow{J}_x$$

c deux composantes

laire, il

(a) x, d'amplitude complexe  $I_{x} = H_{x}$ 

 $\mathbf{e} \in \mathbb{R} \subset \mathbf{d}$  amplitude complexe:  $J_{\perp} = H_{\perp}$ 

es faces parallèles à vOz

$$x_1 < \frac{a}{2}$$
  $\vec{J} = \vec{x} \wedge (\vec{H}_x + \vec{H}_z) = \vec{x} \wedge \vec{H}_z = \vec{J}_y$ 

u' ane composante en y dont l'ampli $m_E$  (exe est  $\underline{J}_v = \underline{H}_z$  (relation 27).

milieu de la face supérieure (//xOz) du

$$x = \frac{a}{2} \to \cos \frac{\pi x}{a} = 0 \text{ et } \sin \frac{\pi x}{a} = 1$$

Le composante  $J_x$  est nulle tandis que  $J_z$  a une amplitude maximale. Donc, au milieu de la face supérieure (ou inférieure) du guide, il y a une ligne de couraint parallèle à l'axe Oz (fig. 8).

b) Sur les faces latérales du guide, qui sont parallèles à yOz, il n'y a qu'une composante  $J_{\nu}$ ; donc les lignes de courant sont verticales (fig. 8).

#### EXERCICE 12.4

1) D'après la relation (31), nous avons :

$$E^{2} = 4P \sqrt{\frac{\mu_{0}}{\varepsilon_{0}} \cdot \frac{1}{ab} \cdot \frac{1}{1 - \frac{\lambda^{2}}{4a^{2}}}}$$

$$\lambda = 3 \text{ cm} \rightarrow \sqrt{1 - \frac{\lambda^{2}}{4a^{2}}} = 0.747$$

$$\sqrt{\frac{\mu_{0}}{\varepsilon_{0}}} = 120\pi$$

$$E^{2} = 4 \cdot 20 \cdot 10^{-3} \cdot 377 \frac{10^{6}}{232.26} \cdot \frac{1}{0.747}$$
$$= 173.87 \cdot 10^{3} \rightarrow E = 417 \text{ V/m}$$

2) 
$$P_{M} = \frac{1}{4} E_{M}^{2} \sqrt{\frac{\varepsilon_{0}}{\mu_{0}}} \sqrt{1 - \frac{\lambda^{2}}{4a^{2}}} ab$$
  
 $P_{M} = \frac{1}{4} (15 \cdot 10^{5})^{2} \frac{1}{377} 0.747 \cdot 232.26 \cdot 10^{-6}$   
 $\rightarrow P_{M} = 258.867 \text{ kW}.$ 

#### EXERCICE 12.5

1) Condition de propagation du mode TE<sub>10</sub>:

$$\lambda < (\lambda_c)_{10} = 2a \rightarrow a > \frac{\lambda}{2}$$
 (C1)

Condition de non propagation des modes TE,  $(m \ge 2)$ :

$$\lambda > (\lambda_c)_{20} = a \rightarrow a < \lambda$$
 (C2)

Condition de non propagation des modes TE<sub>on</sub>  $(n \ge 1)$ :

$$\lambda > (\lambda_c)_{01} = 2b \rightarrow b < \frac{\lambda}{2}$$
 (C3)

Condition de non propagation du mode TE<sub>11</sub>  $\lambda > (\lambda_c)_{11}$ 

Or: 
$$(\lambda_c)_{11} = \frac{1}{\sqrt{\left(\frac{1}{2a}\right)^2 + \left(\frac{1}{2b}\right)^2}} = \frac{2b}{\sqrt{1 + \left(\frac{b}{a}\right)^2}}$$

d'où: 
$$b < \frac{\lambda}{2} \sqrt{1 + \left(\frac{b}{a}\right)^2}$$
 (C4)

La synthèse des conditions (C1) à (C4) nous donne:

$$\frac{\lambda}{2} < a < \lambda$$
 et  $b < \frac{\lambda}{2}$ 

À la fréquence de 10 GHz :  $\lambda = 3$  cm ; donc : 1.5 cm < a < 3 cm et b < 1.5 cm.

2) À 8 GHz :  $\lambda_8 = 3.75$  cm À 12 GHz:  $\lambda_{12} = 2.5 \text{ cm}$ 

Les conditions écrites au 1) deviennent :

$$\frac{\lambda_8}{2} < a < \lambda_{12} \quad \text{et} \quad b < \frac{\lambda_{12}}{2}$$

Soit: 1,875 cm < a < 2,5 cm et b < 1,25 cm.

#### EXERCICE 12.6

1) Notons  $\lambda_1$  la longueur d'onde inférieure (fréquence  $f_1$ ) et  $\lambda_2$  la longueur d'onde supérieure (fréquence  $f_2$ )

Condition de propagation du mode TE<sub>10</sub>:

$$\lambda < (\lambda_c)_{10}$$
 d'où  $\lambda_2 < 2a$ 

Condition de non propagation des modes TE<sub>m</sub>

$$\lambda > (\lambda_c)_{20}$$
 d'où  $\lambda_1 > a$ 

Condition de non propagation des modes TE<sub>on</sub>  $(n \ge 1)$ :

$$\lambda > (\lambda_c)_{01}$$
 d'où  $\lambda_1 > 2b$ 

Comme  $(\lambda_c)_{01} > (\lambda_c)_{11}$ , il en résulte que le mode TE11 et les autres modes TEmn ne peuvent se propager.

 $\rightarrow$  Puisque a > 2b, la synthèse de ces trois conditions nous donne:

$$\lambda_1 > a = 47,55$$
 mm d'où  $f_1 < 6,31$  GHz  $\lambda_2 < 2a = 95,10$  mm d'où  $f_2 > 3,155$  GHz

La bande passante du guide est donc :

$$3,155 \text{ GHz} \rightarrow 6,31 \text{ GHz}$$

2) Si le guide est rempli de diélectrique, les conditions concernant les longueurs d'onde restent inchangées. Par contre, puisque :

$$f = \frac{v}{\lambda} = \frac{c}{\sqrt{\varepsilon_r}} \cdot \frac{1}{\lambda}$$

les conditions concernant les fréquences sont divisées par :

$$\sqrt{\varepsilon_r} = \sqrt{2,25} = 1.5.$$

Par conséquent, la bande passante du guide est :  $2,103 \text{ GHz} \rightarrow 4,206 \text{ GHz}.$ 

#### **EXERCICE 12.7**

1) Condition de propagation des modes fondamentaux TE<sub>10</sub> et TE<sub>01</sub>:

$$\lambda < (\lambda_c)_{01} = (\lambda_c)_{10} = 2a \rightarrow \lambda < 4.8 \text{ cm}.$$

2) Recherche du premier mode supérieur :

$$(\lambda_c)_{02} = (\lambda_c)_{20} = a$$

$$(\lambda_c)_{11} = \frac{2}{\sqrt{2a^2 + 2a^2}} = \frac{2a}{2} = a$$

$$(\lambda_{o})_{11} = \frac{2}{\sqrt{\left(\frac{1}{a}\right)^{2} + \left(\frac{1}{a}\right)^{2}}} = \frac{2a}{\sqrt{2}} = a\sqrt{2}$$

Le premier mode supérieur est donc TE<sub>11</sub>.

Condition de non propagation de ce mode :

$$\lambda > (\lambda_c)_{11} \rightarrow \lambda > a \sqrt{2} \rightarrow \lambda > 3.4 \text{ cm}$$

3) Bande passante en mode fondamental

$$\lambda$$
 < 4.8 cm  $\rightarrow$   $f$  > 6.25 GHz  
 $\lambda$  > 3.4 cm  $\rightarrow$   $f$  < 8.82 GHz

La bande passante va donc de 6,25 à 8,82 GHz.

# $\int_{0}^{\infty} \frac{dx}{2} < \frac{dx}{a} < \int_{0}^{\infty} \int_{0}^{\infty} \frac{dx}{2} < x_{2} < a^{-\frac{1}{2}}$

greens due

$$\frac{\pi x_2}{a} = \pi - \frac{\pi x_1}{a} \rightarrow x_2 = a - x_1$$

$$\widehat{\frac{2}{2}}_{-1} \qquad \sqrt{2}, \lambda = \frac{\lambda_c}{\sqrt{2}}$$

$$\Rightarrow \sin \psi = \frac{\lambda}{\lambda_c} = \frac{1}{\sqrt{2}} \text{ et } \cos \psi = \frac{1}{\sqrt{2}}$$

$$x_1 = \frac{a}{4}$$
 et  $x_2 = \frac{3a}{4}$ .

#### **EXERCICE 12.3**

courant surfacique est donné par le vec-= $\vec{n} \wedge \vec{H}$ ;  $\vec{n}$  est la normale unitaire à la onsidérée du guide.

composantessions des composantes de  $\vec{H}$  en mode nental sont données par les relations (26) culaire, il  $f_x$  et (27) pour  $\underline{H}_z$ .

moins) conles faces parallèles à xOz

roite (gauch

$$(\overrightarrow{H}_x + \overrightarrow{H}_z) = \overrightarrow{y} \wedge \overrightarrow{H}_x + \overrightarrow{y} \wedge \overrightarrow{H}_z = \overrightarrow{J}_z + \overrightarrow{J}_x$$

ne deux composantes :

e en x, d'amplitude complexe 
$$I_x = \underline{H}_z$$
  
tion 27)

tre en z, d'amplitude complexe :  $I_z = \underline{H}_x$ arctg $\left(\frac{\lambda_g \text{tion 26}}{1}\right)$ 

λ<sub>c</sub>les faces parallèles à yOz

$$\langle x_1 \langle \frac{a}{2} \quad \overrightarrow{J} = \overrightarrow{x} \wedge (\overrightarrow{H}_x + \overrightarrow{H}_z) = \overrightarrow{x} \wedge \overrightarrow{H}_z = \overrightarrow{J}_y$$

qu'une composante en y dont l'amplilement est  $I_v = H_x$  (relation 27).

Au milieu de la face supérieure (//xOz) du

$$x = \frac{a}{2} \to \cos \frac{\pi x}{a} = 0$$
 et  $\sin \frac{\pi x}{a} = 1$ 

malle tandis que La ane to Done, au mineu de la con deferieure) du guide, il y a de commit parallèle à l'axe Oz (fig. 8).

b) Sur les faces latérales du guide, qui sont parallèles à yOz, il n'y a qu'une composante I, ; donc les lignes de courant sont verticales (fig. 8).

#### EXERCICE 12.4

1) D'après la relation (31), nous avons :

$$E^{2} = 4P \sqrt{\frac{\mu_{0}}{\varepsilon_{0}} \cdot \frac{1}{ab} \cdot \frac{1}{\sqrt{1 - \frac{\lambda^{2}}{4a^{2}}}}}$$

$$\lambda = 3 \text{ cm} \rightarrow \sqrt{1 - \frac{\lambda^{2}}{4a^{2}}} = 0.747$$

$$\sqrt{\frac{\mu_{0}}{\varepsilon_{0}}} = 120\pi$$

$$E^{2} = 4 \cdot 20 \cdot 10^{-3} \cdot 377 \frac{10^{6}}{232,26} \cdot \frac{1}{0,747}$$
$$= 173.87 \cdot 10^{3} \rightarrow E = 417 \text{ V/m}$$

2) 
$$P_{\rm M} = \frac{1}{4} E_{\rm M}^2 \sqrt{\frac{\varepsilon_0}{\mu_0}} \sqrt{1 - \frac{\lambda^2}{4a^2}} ab$$

$$P_{\rm M} = \frac{1}{4} (15 \cdot 10^5)^2 \frac{1}{377} 0.747 \cdot 232,26 \cdot 10^{-6}$$
  
 $\rightarrow P_{\rm M} = 258,867 \text{ kW}.$ 

#### EXERCICE 12.5

1) Condition de propagation du mode TE<sub>10</sub>:

$$\lambda < (\lambda_c)_{10} = 2a \rightarrow a > \frac{\lambda}{2}$$
 (C1)

Condition de non propagation des modes  $TE_{mo}$   $(m \ge 2)$ :

$$\lambda > (\lambda_c)_{20} = a \to a < \lambda$$
 (C2)

Condition de non propagation des modes  $TE_{on}$   $(n \ge 1)$ :

$$\lambda > (\lambda_c)_{01} = 2b \rightarrow b < \frac{\lambda}{2}$$
 (C3)

Condition de non propagation du rmode  $TE_{11}$ 

$$\lambda > (\lambda_c)_{11}$$

Or: 
$$(\lambda_c)_{11} = \frac{1}{\sqrt{\left(\frac{1}{2a}\right)^2 + \left(\frac{1}{2b}\right)^2}} = \frac{2b}{\sqrt{1 + \left(\frac{b}{a}\right)^2}}$$

d'où: 
$$b < \frac{\lambda}{2} \sqrt{1 + \left(\frac{b}{a}\right)^2}$$
 (C4)

La synthèse des conditions (C1) à (C4) nous donne :

$$\frac{\lambda}{2} < a < \lambda$$
 et  $b < \frac{\lambda}{2}$ 

À la fréquence de 10 GHz :  $\lambda = 3$  icm ; ionc : 1,5 cm < a < 3 cm et b < 1.,5 cm

2) À 8 GHz:  $\lambda_8 = 3.75$  cm À 12 GHz:  $\lambda_{12} = 2.5$  cm

Les conditions écrites au 1) deviennent:

$$\frac{\lambda_8}{2} < a < \lambda_{12} \quad \text{et} \quad b < \frac{\lambda_{12}}{2}$$

Soit: 1.875 cm < a < 2.5 cm et b < 1.25 cm.

#### EXERCICE 12.6

1) Notons  $\lambda_1$  la longueur d'on de inférieure (fréquence  $f_1$ ) et  $\lambda_2$  la longueur d'on le supérieure (fréquence  $f_2$ )

Condition de propagation du mode TE<sub>10</sub>:

$$\lambda < (\lambda_c)_{10}$$
 d'où  $\lambda_2 < 22a$ 

Condition de non propagation des modes  $TE_{mo}$   $(m \ge 2)$ :

$$\lambda > (\lambda_c)_{20}$$
 d'où  $\lambda_1 > a$ 

Condition de non propagation des moles  $TE_{on}$   $(n \ge 1)$ :

$$\lambda > (\lambda_c)_{01}$$
 d'où  $\lambda_1 > 2b$ 

#### NR

Comme  $(\lambda_c)_{01} > (\lambda_c)_{11}$ , il en résulte que le mode  $TE_{11}$  et les autres modes  $TE_{mm}$  ne peuvent se propager.

 $\rightarrow$  Puisque a > 2b, la synthèse de ces trois conditions nous donne :

$$\lambda_1 > a = 47,55 \text{ mm d'où } f_1 < 6,31 \text{ GHz}$$
  
 $\lambda_2 < 2a = 95,10 \text{ mm d'où } f_2 > 3,155 \text{ GHz}$ 

La bande passante du guide est donc :

$$3,155 \text{ GHz} \rightarrow 6,31 \text{ GHz}$$

2) Si le guide est rempli de diélectrique, les conditions concernant les longueurs d'onde restent inchangées. Par contre, puisque :

$$f = \frac{v}{\lambda} = \frac{c}{\sqrt{\varepsilon_r}} \cdot \frac{1}{\lambda}$$

les conditions concernant les fréquences sont divisées par :

$$\sqrt{\varepsilon_r} = \sqrt{2,25} = 1,5.$$

Par conséquent, la bande passante du guide est :  $2.103 \text{ GHz} \rightarrow 4.206 \text{ GHz}.$ 

#### EXERCICE 12.7

1) Condition de propagation des modes fondamentaux  $TE_{10}$  et  $TE_{01}$ :

$$\lambda < (\lambda_c)_{01} = (\lambda_c)_{10} = 2a \rightarrow \lambda < 4.8 \text{ cm}.$$

2) Recherche du premier mode supérieur :

$$(\lambda_c)_{02} = (\lambda_c)_{20} = a$$

$$(\lambda_c)_{11} = \frac{2}{\sqrt{\left(\frac{1}{a}\right)^2 + \left(\frac{1}{a}\right)^2}} = \frac{2a}{\sqrt{2}} = a\sqrt{2}$$

Le premier mode supérieur est donc TE<sub>11</sub>.

Condition de non propagation de ce mode :

$$\lambda > (\lambda_c)_{11} \rightarrow \lambda > a\sqrt{2} \rightarrow \lambda > 3.4 \text{ cm}$$

3) Bande passante en mode fondamental  $\lambda < 4.8 \text{ cm} \rightarrow f > 6.25 \text{ GHz}$   $\lambda > 3.4 \text{ cm} \rightarrow f < 8.82 \text{ GHz}$ 

La bande passante va donc de 6,25 à 8,82 GHz.

#### EXERCICE 12.8

Le coefficient d'atténuation se calcule d'après la formule (50) dans laquelle:

$$R_S = \sqrt{\frac{\pi \mu f}{\sigma}}$$

Le champ magnétique a deux composantes dont les modules sont :

$$H_x = H \frac{\lambda}{\lambda_g} \sin \frac{\pi x}{a} \text{ et } H_z = H \frac{\lambda}{\lambda_c} \cos \frac{\pi x}{a}$$

Donc:

$$H_t^2 = H^2 \left[ \left( \frac{\lambda}{\lambda_g} \right)^2 \sin^2 \frac{\pi x}{a} + \left( \frac{\lambda}{\lambda_c} \right)^2 \cos^2 \frac{\pi x}{a} \right]$$

- · L'intégrale du numérateur doit être évaluée sur le contour de la section transversale du guide:
- sur la face supérieure ou inférieure, qui est parallèle à xOz:

$$\int_0^a H_t^2 d\ell = H^2 \left(\frac{\lambda}{\lambda_g}\right)^2 \int_0^a \sin^2 \frac{\pi x}{a} dx$$

$$+ H^2 \left(\frac{\lambda}{\lambda_c}\right)^2 \int_0^a \cos^2 \frac{\pi x}{a} dx$$

$$= H^2 \left[\left(\frac{\lambda}{\lambda_g}\right)^2 + \left(\frac{\lambda}{\lambda_c}\right)^2\right] \frac{a}{2} = H^2 \frac{a}{2}$$

- sur une face latérale, parallèle à yOz, où x = 0 ou x = a

$$H_x(x=0) = H_x(x=a) = 0$$

$$H_z(x=0) = -H_z(x=a) = H\frac{\lambda}{\lambda_c}$$

Donc: 
$$H_t^2 = H_z^2 = H^2 \left(\frac{\lambda}{\lambda_c}\right)^2$$

et: 
$$\int_0^b H_t^2 d\ell = H^2 \left(\frac{\lambda}{\lambda_c}\right)^2 b$$

Au total: 
$$\oint H_t^2 d\ell = H^2 \left[ a + 2b \left( \frac{\lambda}{\lambda_c} \right)^2 \right]$$

• Le dénominateur représente le double de la puissance transmise par le guide. En mode fondamental, il est donné, d'après la relation

$$\iint_{S} (\vec{\underline{E}} \wedge \vec{\underline{H}}^{*}) \cdot \vec{z} \, dS$$

$$= \frac{1}{2} E^{2} \sqrt{\frac{\varepsilon}{\mu_{0}}} \sqrt{1 - \left(\frac{\lambda}{\lambda_{c}}\right)^{2}} ab$$

• La relation (50) s'écrit donc :

$$\alpha = \sqrt{\frac{\pi \mu f}{\sigma}}$$

$$\cdot \frac{H^2 \left[ a + 2b \left( \frac{\lambda}{\lambda_c} \right)^2 \right]}{E^2 \sqrt{\frac{\varepsilon}{\mu_0}} \sqrt{1 - \left( \frac{\lambda}{\lambda_c} \right)^2}} \cdot \frac{1}{ab}$$

$$\alpha = \sqrt{\frac{\pi \varepsilon f}{\sigma} \cdot \frac{\mu}{\mu_0}} \frac{a + 2b \left(\frac{\lambda}{\lambda_c}\right)^2}{\sqrt{1 - \left(\frac{\lambda}{\lambda_c}\right)^2}} \cdot \frac{1}{ab}$$

Remplaçons f par:

$$f = \frac{v}{\lambda} = \frac{v}{\lambda_c} \cdot \frac{\lambda_c}{\lambda} = \frac{v}{2a} \cdot \frac{\lambda_c}{\lambda}$$

$$\alpha = \sqrt{\frac{\pi \varepsilon v}{\sigma} \cdot \frac{\mu}{\mu_0}} \cdot \frac{1}{\sqrt{2} a^{3/2}}$$
$$\cdot \frac{\frac{a}{b} \left(\frac{\lambda_c}{\lambda}\right)^{1/2} + 2\left(\frac{\lambda}{\lambda_c}\right)^{3/2}}{\sqrt{1 - \left(\frac{\lambda}{\lambda_c}\right)^2}}$$

En remplaçant  $\lambda/\lambda_c$  par  $f_c/f$  nous obtenons enfin la formule (51).

### **EXERCICES DU CHAPITRE 13**

# Étude générale de la propagation

#### **EXERCICE 13.1**

Le déphasage subi par l'onde est donné par :

$$\varphi = 2\pi \frac{\ell}{\lambda_g}$$

$$\frac{1}{\lambda_g} = \sqrt{\left(\frac{1}{\lambda}\right)^2 - \left(\frac{1}{\lambda_c}\right)^2} = \frac{1}{\lambda_c} \sqrt{\left(\frac{\lambda_c}{\lambda}\right)^2 - 1}$$

avec: 
$$\lambda = \frac{v}{f} = \frac{c}{\sqrt{\varepsilon_r}} \cdot \frac{1}{f}$$
 et  $\lambda_c = \frac{c}{f_c}$ ;

Donc: 
$$\frac{1}{\lambda_g} = \frac{f_c}{c} \sqrt{\varepsilon_r \left(\frac{f}{f_c}\right)^2 - 1} = \frac{\phi}{2\pi} \cdot \frac{1}{\ell}$$

D'où: 
$$\varepsilon_r \left(\frac{f}{f_c}\right)^2 = 1 + \left(\frac{\varphi}{2\pi} \cdot \frac{1}{\ell} \cdot \frac{c}{f_c}\right)^2$$

Nous avons :  $f = 3 \cdot 10^9 \text{ Hz}$  ;  $f_c = 9 \cdot 10^9 \text{ Hz}$  ;  $\ell = 2 \text{ cm} : \phi = 288^{\circ}$ 

Soit :  $\varepsilon_r = 25$ .

#### EXERCICE 13.2

1) À 15 GHz:

$$\lambda = \frac{v}{f} = \frac{c}{\sqrt{\varepsilon_r f}} = \frac{3 \cdot 10^{10}}{1.6 \cdot 15 \cdot 10^9} = 1.25 \text{ cm}$$

· Les modes TE<sub>mo</sub> propagatifs doivent satisfaire la condition :

$$\lambda < (\lambda_c)_{mo} = \frac{2a}{m} \rightarrow m < \frac{2a}{\lambda} = 3.2$$

Il y a donc propagation de TE<sub>10</sub>, Th

• Les modes TE<sub>on</sub> propagatifs doivent sair E.12. la condition

$$\lambda < (\lambda_c)_{on} = \frac{2b}{n} \rightarrow n < \frac{2b}{\lambda} = 1.6$$

Il y a donc propagation de TE<sub>01</sub>.

 Les modes TE<sub>mn</sub> propagatifs doivent faire la condition:

$$\lambda < (\lambda_c)_{mn} = \frac{2}{\sqrt{\left(\frac{m}{a}\right)^2 + \left(\frac{n}{b}\right)^2}}$$
$$= \frac{2a}{\sqrt{m^2 + n^2 \left(\frac{a}{b}\right)^2}} = \frac{2}{\sqrt{m^2}}.$$

d'où: 
$$\sqrt{m^2 + 4n^2} < \frac{2a}{\lambda} = 3,2$$

Il y a donc propagation de TE<sub>11</sub> et TE<sub>21</sub>.

2) Sur la figure ci-après :

- les points situés en abscisses (ordon représentent la valeur de 2/λ, pour le μ  $TE_{ma}(TE_{on});$
- · les intersections des droites représentent des modes TE<sub>mn</sub>

Traçons un cercle de rayon  $2/\lambda = 1.6$  cm point représentatif de 1/b correspond à 1 t Les points représentatifs de  $2/\lambda_c$  situés à rieur de ce cercle (et qui sont tels que  $2/\lambda$  $\Leftrightarrow \lambda < \lambda_c$ ) correspondent donc aux mode pagatifs. Nous voyons ainsi que les n propagatifs sont : TE<sub>10</sub>, TE<sub>20</sub>, TE<sub>30</sub>  $TE_{11}$  et  $TE_{21}$ .

EXE

ation

tion

nditio (m ≥ est

une i s d'o nous

geur



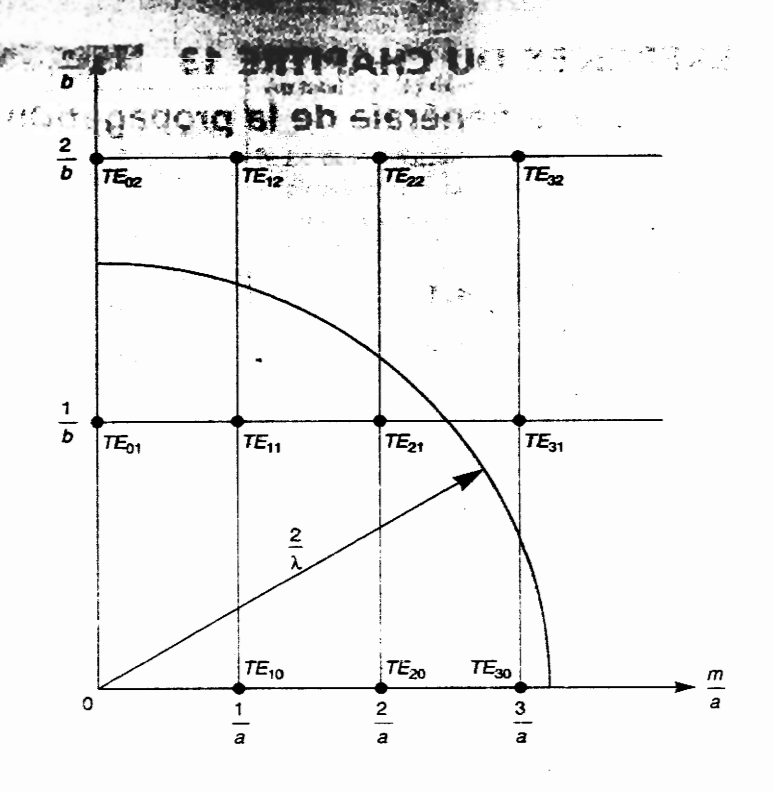
doivent sati igure E.12.

$$\frac{2b}{\lambda} = 1.6$$

-01.

fs doivent:

$$\frac{1}{2} = \frac{1}{\sqrt{m}}$$



### EXERCICE 13,3

et  $TE_{21}$ . a relation qui synthétise la condition de proagation du mode fondamental  $TE_{10}$  et es conditions de non propagation des modes ses (ordon  $E_{mo}$   $(m \ge 2)$ ,  $TE_{on}$   $(n \ge 1)$  et  $TE_{mn}$   $(m \ge 1)$  et pour les  $n \ge 1$ ) est:

$$\frac{\lambda}{2} < a, 2b < \frac{\lambda}{\lambda} \tag{C1}$$

)ans une bande de fréquences, dont les lon-= 1,6 cm jueurs d'onde inférieure et supérieure sont  $\lambda_i$ pond à 1 cm  $\lambda_s$ , nous avons :

$$l_c$$
 situés à les que  $2/\lambda_c$  aux modes

eprésentent

$$\frac{\lambda_s}{2} < a, 2b < \lambda, \tag{C2}$$

que les n<sub>la largeur</sub> de bande est donnée par :

$$\Delta \lambda = \lambda_s - \lambda_i = \lambda_i \left[ \frac{\lambda_s}{\lambda_s} - 1 \right]$$

La largeur de bande maximale  $\Delta\lambda_{M}$  correspond à la valeur maximale du rapport  $\lambda_{s}/\lambda_{i}$ ; comme  $\lambda_{s} < 2\lambda_{i}$ , il vient :

$$\left(\frac{\lambda_s}{\lambda_i}\right)_{\mathbf{M}} = 2 \to \Delta \lambda_{\mathbf{M}} = \lambda_i$$

Dans ce cas, il résulte de l'inégalité (C2) que : a = 2b.

Remarquons que, dans ces conditions, les modes  ${\rm TE}_{20}$  et  ${\rm TE}_{01}$  apparaissent simultanément.

#### EXERCICE 13.4

1) a) Soient  $\lambda_1$  et  $\lambda_2$  ( $\lambda_2 < \lambda_1$ ) les longueurs d'onde correspondant à  $f_1$  et  $f_2$ :

- Condition de propagation du mode  ${\rm TE}_{10}$  :

$$\lambda < (\lambda_c)_{10} \rightarrow \lambda_1 < 2a$$
 (C1)

• Condition de propagation du mode TE<sub>01</sub>:

$$\lambda < (\lambda_c)_{01} \to \lambda_1 < 2b \tag{C2}$$

• Condition de non propagation du mode TE<sub>11</sub>:

$$\lambda > (\lambda_c)_{11} = \frac{1}{\sqrt{\left(\frac{1}{2a}\right)^2 + \left(\frac{1}{2b}\right)^2}}$$
$$= \frac{2a}{\sqrt{1 + \left(\frac{a}{b}\right)^2}} = a\sqrt{2}$$

d'où l'on déduit :  $a\sqrt{2} < \lambda_2$  (C3)

Notons que cette condition implique, a fortiori, la non propagation des modes  $TE_{20}$  et  $TE_{02}$  dont les longueurs d'onde de coupure sont a et b.

Finalement, la synthèse des conditions (C1) à (C3) nous donne :

$$\frac{\lambda_1}{2} < b \leqslant a < \frac{\lambda_2}{\sqrt{2}} \tag{C4}$$

**b)** On déduit de (C4) la relation qu'il doit y avoir entre  $f_1$  et  $f_2$ :

$$f_2 < \sqrt{2} f_1$$

$$f_1 = 9 \text{ GHz} \rightarrow \frac{\lambda_1}{2} = 1,665 \text{ cm}$$

$$f_2 = 11 \text{ GHz} \rightarrow \frac{\lambda_2}{\sqrt{2}} = 1,93 \text{ cm}$$

La condition (C4) est bien vérifiée pour :

$$a = 1.8 \text{ cm et } b = 1.7 \text{ cm}.$$

2) a) Pour le mode TE<sub>10</sub>, le paramètre de phase est :

$$\beta_{10} = \frac{2\pi}{\lambda_{g_{10}}} \text{ avec } \lambda_{g_{10}} = \frac{1}{\sqrt{1 - \left(\frac{\lambda}{\lambda_{c_{10}}}\right)^2}}$$
$$= \frac{\lambda}{\sqrt{1 - \left(\frac{\lambda}{2a}\right)^2}}$$

Pour le mode TE<sub>01</sub>, le paramètre de phase est

$$\beta_{01} = \frac{2\pi}{\lambda_{g_{01}}} \operatorname{avec} \lambda_{g_{01}} = \frac{1}{\sqrt{1 - \left(\frac{\lambda}{2b}\right)^2}}$$

Sur une longueur L de guide, le déphasage entre ces deux modes est :

$$\Delta \varphi = \beta_{10} L - \beta_{01} L$$

$$=2\pi \frac{L}{\lambda} \left[1 - \left(\frac{\lambda}{2a}\right)^2\right]^{1/2} - 2\pi \frac{L}{\lambda} \left[1 - \left(\frac{\lambda}{2b}\right)^2\right]^{1/2}$$

b) Pour avoir une polarisation circulaire, il faut que  $\Delta \phi = \pi/2$ 

$$\rightarrow L_0 = \frac{\lambda}{4} \left[ \left[ 1 - \left( \frac{\lambda}{2a} \right)^2 \right]^{1/2} - \left[ 1 - \left( \frac{\lambda}{2b} \right)^2 \right]^{1/2} \right]^{-1}$$

Pour a = 1.8 cm; b = 1.7 cm et  $\lambda = 3$  cm. nous trouvons:

$$L_0 = 9,125$$
 cm.

#### EXERCICE 13.5

- 1) Pour  $f_1 = 16$  GHz,  $\lambda_1 = 1.875$  cm. Pour  $f_2 = 18$  GHz,  $\lambda_2 = 1.667$  cm.
- Condition de propagation du mode fondamental TE<sub>11</sub>:

$$\lambda < (\lambda_c)_{\text{TE}_{11}} \rightarrow \lambda_1 < \frac{2\pi a}{1,841} \rightarrow a > 0.55 \text{ cm}$$

 Condition de non propagation du premier mode supérieur TM<sub>01</sub>:

$$\lambda > (\lambda_c)_{TM_{01}} \rightarrow \lambda_2 > \frac{2\pi a}{2,405} \rightarrow a < 0.638 \text{ cm}$$

Donc: 0.55 cm < a < 0.638 cm.

2) Conditions de propagation d'un mode TE ou TM:

$$\lambda < (\lambda_c)_{TE} = \frac{2\pi a}{u_{nm}} \text{ et } \lambda < (\lambda_c)_{TM} = \frac{2\pi a}{u_{nm}}$$

Il en résulte que peuvent se propager les modes :  $TE_{11}$ ,  $TE_{21}$ ,  $TE_{01}$ ,  $TE_{31}$  et  $TM_{01}$ ,  $TM_{11}$ .

### EXERCICE 13.6

1) Condition de propagation du mode TM<sub>01</sub>:

$$\lambda < (\lambda_c)_{01} = \frac{2\pi a}{2,405} \rightarrow a > \frac{2,405\lambda}{2\pi} = 1,15 \text{ cm}$$

Condition de non propagation du premier mode supérieur TM<sub>11</sub>:

$$\lambda > (\lambda_c)_{11} = \frac{2\pi a}{3,832} \to a < \frac{3,832\lambda}{2\pi} = 1,83 \text{ cm}$$

D'où: 1,15 cm < a < 1,83 cm.

2) À partir de la condition de propagation du mode  $TM_{01}$ , nous trouvons la longueur d'onde supérieure de la bande :

$$\lambda_1 = \frac{2\pi \cdot 1.5}{2,405} = 3.92 \text{ cm} \rightarrow f_1 = 7.655 \text{ GHz}$$

À partir de la condition de non propagation du mode  $TM_{11}$ , nous trouvons la longueur d'onde inférieure de la bande :

$$\lambda_2 = \frac{2\pi a}{3,832} = 2,46 \text{ cm} \rightarrow f_2 = 12,20 \text{ GHz}$$

# **EXERCICE 13.7**

1) L'impédance d'onde d'une mode TE est donnée par :

$$\zeta_{\text{TE}} = \frac{\zeta}{\cos \psi}$$

$$\operatorname{avec} \zeta = \sqrt{\frac{\mu}{\varepsilon}}$$

Calculons  $\lambda_{e}^{a}/\lambda_{0}$ :

$$\left(\frac{1}{\lambda_g^a}\right)^2 = \left(\frac{1}{\lambda_0}\right)^2 - \left(\frac{1}{\lambda_c}\right)^2 \text{ avec } \lambda_0 = \frac{c}{f} \text{ et } \lambda_c = 2a$$

$$\mathbf{d}' \circ \hat{\mathbf{u}} : \frac{\lambda_g^a}{\lambda_0} = \left[1 - \left(\frac{\lambda_0}{\lambda_c}\right)^2\right]^{-\frac{1}{2}}$$

$$\rightarrow \zeta_{10}^d = \sqrt{\frac{\mu_0}{\varepsilon}} \frac{\lambda_g^d}{\lambda} = \sqrt{\frac{\mu_0}{\varepsilon_0 \varepsilon_r}} \frac{\lambda_g^d}{\lambda}$$

$$= \sqrt{\frac{\mu_0}{\varepsilon_0}} \frac{\lambda_g^d}{\lambda_0}.$$

Calculons  $\lambda_{\rho}^{d}/\lambda_{0}$ :

$$\left(\frac{1}{\lambda_g^d}\right)^2 = \left(\frac{1}{\lambda}\right)^2 - \left(\frac{1}{\lambda_c}\right)^2$$

avec: 
$$\lambda = \frac{v}{f} = \frac{\lambda_0}{\sqrt{\varepsilon_r}}$$
 et  $\lambda_c = 2a$ 

'où ·

$$\frac{\lambda_g^d}{\lambda_0} = \left[ \left( \frac{\lambda_0}{\lambda} \right)^2 - \left( \frac{\lambda_0}{\lambda_c} \right)^2 \right]^{-1/2} = \left[ \varepsilon_r - \left( \frac{\lambda_0}{\lambda_c} \right)^2 \right]^{-1/2}$$

2) Considérons un guide court-circuité rempli d'air :  $\Gamma_R = -1$  et  $\gamma = j \beta_a$ .

D'après la relation (152):

$$\underline{\zeta}(z) = \zeta_{10}^{a} \frac{1 - e^{-2j \beta_{a} z}}{1 + e^{-2j \beta_{a} z}}$$
$$= \zeta_{10}^{a} j \operatorname{tg} \beta_{a} z$$

avec: 
$$\beta_a = \frac{2\pi}{\lambda_a^a}$$

Il y a un minimum nul pour tg  $\beta_a z_m = 0$  soit  $\beta_a z_m = k\pi$ , d'où:

$$z_{\rm m} = k \, \frac{\lambda_g^a}{2}$$

- 3) Considérons un guide court-circuité, rempli de diélectrique jusqu'à  $z = \ell$  et rempli d'air audelà.
- Dans le tronçon rempli de diélectrique :

$$\Gamma_R = -1$$
 et  $\gamma = j \beta_d$ .

D'après la relation (152):

$$\underline{\zeta}(z) = \zeta_{10}^d \frac{1 - e^{-2j \beta_d z}}{1 + e^{-2j \beta_d z}}$$
$$= \zeta_{10}^d j \operatorname{tg} \beta_d z$$

avec: 
$$\beta_d = \frac{2\eta}{\lambda}$$

• Dans le tronçon rempli d'air, plaçons-nous à une distance s de l'interface (soit à  $s+\ell$  de l'origine) sur laquelle  $\underline{\zeta}(\ell) = \zeta_{10}^d$  j tg  $\beta_d$   $\ell$ .

En appliquant la formule (154) de transformation des impédances d'onde, nous avons :

$$\underline{\zeta}(s+\ell) = \zeta_{10}^{a} \frac{\underline{\zeta}(\ell) + \mathrm{j} \zeta_{10}^{a} \operatorname{tg} \beta_{a} s}{\zeta_{10}^{a} + \mathrm{j} \zeta(\ell) \operatorname{tg} \beta_{a} s}$$

#### MR

- s étant compté à partir de l'interface, nous avons donc :  $s = z \ell$ .
- 4) En un minimum nul de champ électrique,

nous avons :  $\underline{\zeta}(s_m + \ell) = 0$ , ce qui imp que :

$$\underline{\zeta}(\ell) + j \zeta_{10}^a \operatorname{tg} \beta_a s_{\mathrm{m}} = 0$$

soit:  $j \zeta_{10}^d \operatorname{tg} \beta_d \ell + j \zeta_{10}^a \operatorname{tg} \beta_a s_m = 0$ 

d'où: 
$$\lambda_g^d \operatorname{tg} \beta_d \ell = -\lambda_g^a \operatorname{tg} \beta_a s_m$$

avec: 
$$s_{\rm m} = (z_{\rm m} - \ell) + d = k \frac{\lambda_{\rm g}^a}{2} + (d - \ell)$$

Or: 
$$\lg \beta_a s_m = \lg \left[ \frac{2\pi}{\lambda_g^a} \left( k \frac{\lambda_g^a}{2} \right) + \frac{2\pi}{\lambda_g^a} (d - \ell) \right]$$
  
=  $\lg \left[ \frac{2\pi}{\lambda_g^a} (d - \ell) \right]$ 

Donc: 
$$\frac{\lambda_g^d}{2\pi\ell} \operatorname{tg}\left(\frac{2\pi\ell}{\lambda_g^d}\right) = -\frac{\lambda_g^a}{2\pi\ell} \operatorname{tg}\left[\frac{2\pi}{\lambda_g^a}(d-\ell)\right]$$

Nous avons:

$$\ell = 1.5 \text{ cm}$$
;  $d = 0.97 \text{ cm}$  et  $\lambda_g^a = 3.975 \text{ c}$ 

d'où : 
$$\frac{\operatorname{tg} u}{u} = 0,4682 \operatorname{avec} u = \frac{2\pi \ell}{\lambda_o^d}$$

La solution est:

$$u = 4,247 \rightarrow \lambda_g^d = 2,22 \text{ cm}$$

et: 
$$\varepsilon_r = \left(\frac{\lambda_0}{\lambda_c}\right)^2 + \left(\frac{\lambda_0}{\lambda_g^d}\right)^2 \to \varepsilon_r = 2,25.$$

RE

L

EXE

-

lexion 0) dar

∶θ≥θ

φ' = π Θ = θ<sub>1</sub>, r maxii s οù φ'

٨

a/λ<sub>0</sub> ons:

partir d

retrou

EXI

que s ager, i rion d

non a -01, so

# KERCICES DU CHAPITRE 14

# Les guides d'ondes diélectriques

! – ℓ)

#### D EXERCICE 14.1

 $|(d-\ell)|$  Pour qu'il y ait propagation, il faut que :

$$\frac{4\pi \dot{a}}{\lambda_1}\cos\theta + 2\varphi' = 2m\pi \tag{1}$$

que:  $\theta \ge \theta_{1L} = \arcsin \frac{n_2}{n_1} \to \cos \theta \le \cos \theta_{1L}$ 

réflexion totale s'effectue sans déphasage = 0) dans le cas TE et avec un déphasage = 3,975 c  $\pi$  ( $\phi$ ' =  $\pi$ ) dans le cas TM (voir § 14.2.1).

For  $\theta = \theta_{1L}$ , la relation (1) va nous donner la deux maximale de m, soit  $m_L$ , qui correspond toas où  $\varphi' = \pi$ :

$$\frac{4\pi a}{\lambda_1}\cos\theta_{1L} + 2\pi = 2 m_L \pi \quad \circ$$

$$\delta \hat{\mathbf{u}} : m_L = 1 + \frac{2a}{\lambda_0} n_1 \cos \theta_{1L}$$
 (2)

vec  $a/\lambda_0 = 50$ ,  $n_1 = 1.5$  et  $\theta_{1L} = 69^{\circ}$ , nous ouvons :

$$m_L = 54.8 \rightarrow 54$$
 modes.

À partir de la formule

$$M = 2 \sqrt{\varepsilon_{1r} - \varepsilon_{2r}} \frac{a}{\lambda_0}$$

ous retrouvons ce résultat.

#### EXERCICE 14.2

Pour que seul le mode fondamental puisse se propager, il faut écrire la condition de non propagation des premiers modes supérieurs TM<sub>01</sub> et TE<sub>01</sub>, soit :

$$\lambda_1 > (\lambda_c)_{01} = \frac{2\pi a}{2,405} \sqrt{\frac{\varepsilon_{1r} - \varepsilon_{2r}}{\varepsilon_{1r}}}$$

D'où l'on déduit le diamètre maximal du cœur :

$$2a_{\rm M} = \frac{2,405 \,\lambda_1}{\pi} \sqrt{\frac{\varepsilon_{1r}}{\varepsilon_{1r} - \varepsilon_{2r}}}$$

Soit:

$$2a_{\rm M}=2.3 \lambda_{\rm l}$$
.

 $\lambda_1$  est la longueur d'onde dans le cœur du guide ; donc :

$$\lambda_1 = \frac{v_1}{f} = \frac{c}{\sqrt{\varepsilon_{1r}}} \cdot \frac{1}{f}$$
$$= \frac{3 \cdot 10^8}{1.5} \cdot \frac{1}{230 \cdot 10^{12}} = 0.87 \,\mu\text{m}$$

d'où:

$$2a_{\rm M} = 2 \,\mu{\rm m}$$

#### **EXERCICE 14.3**

1) La fréquence normalisée d'une fibre optique est :

$$V = \frac{2\pi a}{\lambda_0} \sqrt{n_1^2 - n_2^2}$$
$$= \frac{50 \cdot 10^{-6}}{1.3 \cdot 10^{-6}} \pi \sqrt{1.45^2 - 1.40^2}$$

d'où: V = 45,613

• Pour une fibre à saut d'indice :

$$M = \frac{V^2}{2} = 1040$$
 modes.

· pour une fibre à gradient d'indice :

$$M = \frac{V^2}{4} = 520$$
 modes.

2)) M est inversement proportionnel au carré de lan longueur d'onde. Donc, le nombre de modes esst multiplié par le rapport  $(1,3/0,83)^2 = 2,453$ . Nious avons donc respectivement:

2 551 modes et 1 275 modes.

#### EXERCICE 14.4

1) L'ouverture numérique est calculée d'après :

$$NA = \sqrt{n_1^2 - n_2^2} = \sqrt{0.29} = 0.5385$$

 $\theta_{\rm M} = \arcsin NA = \arcsin 0.5385 = 32.58^{\circ}$ 

22) Le rendement énergétique du couplage est dionné par :

$$1 - \cos^{m+1} \theta_{M} = 1 - \cos^{3} 32.58^{\circ} = 0.40$$

La perte due au couplage est donc :

$$10 \lg 0.40 = -3.96 \, dB$$

3) Le pourcentage de puissance transmise est :

$$1 - \left(\frac{n_1 - n_0}{n_1 + n_0}\right)^2 = 1 - \left(\frac{0.5}{2.5}\right)^2 = 0.96$$

La perte de Fresnel est donc :

$$10 \lg 0.96 = -0.18 \text{ dB}.$$

#### **Æ** EXERCICE 14.5

1) L'élargissement d'impulsion est donné par :

$$\Delta T = \frac{n_1}{n_2} (n_1 - n_2) \frac{L}{c}$$
$$= \frac{1.5 \cdot 0.1}{1.4} \cdot \frac{1}{3 \cdot 10^5} = 0.357 \cdot 10^{-6} \text{ s}$$

donc:  $\frac{1}{\Lambda T} = 2.8 \cdot 10^6 \text{ s}^{-1}$ ; d'où l'on déduit:

- le débit numérique maximal = 2,8 Mbit/s,
- la bande passante maximale = 2,8 MHz.

2) Dans ce cas, l'élargissement d'impulsion est donné par :

$$\Delta T = \frac{1}{8} \cdot \frac{(\Delta \pi)^2}{n_c} \cdot \frac{L}{c}$$

$$= \frac{1}{8} \cdot \frac{(0.1)^2}{1.5} \cdot \frac{1}{3 \cdot 10^5} = 2,777 \cdot 10^{-9} \text{ s}$$

- débit numérique maximal = 360 Mbit/s,
- bande passante maximale = 360 MHz.

#### EXERCICE 14.6

Le rapport des bandes passantes de ces deux fibres est  $8n_c/\Delta n$ . Il faut donc que :

$$8\frac{n_c}{\Delta n} = 1000$$

En prenant  $n_c = 1.5$ , nous trouvons que

$$\Delta n = n_c - n_2$$

doit être égale à 0,012.

D'où: 
$$n_2 = 1.5 - 0.012 = 1.488$$
.

#### **△** EXERCICE 14.7

1) 
$$\Delta T = \frac{L}{c} (\Delta \lambda) \lambda_0 \frac{d^2 n}{d\lambda^2}$$
  
=  $\frac{1}{3 \cdot 10^5} 5 \cdot 10^{-9} \cdot 1.3 \cdot 10^{-6} \cdot 0.5 \cdot 10^{10}$ 

On trouve:  $\Delta T = 0.1083 \cdot 10^{-9}$  s

2) 
$$\frac{1}{\Delta T}$$
 = 9,230 · 10<sup>9</sup> s<sup>-1</sup>;

d'où l'on déduit :

- le débit numérique maximal = 9,230 Gbit/s
- la bande passante maximale = 9,230 GHz.

### **EXERCICES DU CHAPITRE 15**

# Les cavités électromagnétiques

#### **EXERCICE 15.1**

La longueur d'onde de résonance d'un mode mnp est donnée par :

$$\left(\frac{1}{\lambda_{mnp}}\right)^2 = \left(\frac{m}{2a}\right)^2 + \left(\frac{n}{2b}\right)^2 + \left(\frac{p}{2\ell}\right)^2$$

Pour 3 GHz,  $\lambda_0 = 10$  cm et pour 4 GHz,  $\lambda_0 = 7.5$  cm.

Nous recherchons donc les  $\lambda_{mnp}$  telles que :

$$\left(\frac{1}{10^{-1}}\right)^2 < \left(\frac{1}{\lambda_{mnp}}\right)^2 < \left(\frac{1}{0.75 \cdot 10^{-1}}\right)^2 \text{ m}^{-2}$$

Soit

$$10^{2} < \left(\frac{100m}{15}\right)^{2} + \left(\frac{100n}{10}\right)^{2} + \left(\frac{100p}{30}\right)^{2} < \left(\frac{4}{3}\right)^{2} 10^{2}$$

Ou: 
$$1 < \left(\frac{m}{1.5}\right)^2 + n^2 + \left(\frac{p}{3}\right)^2 < \left(\frac{4}{3}\right)^2$$

d'où:  $9 < 4 m^2 + 9 n^2 + p^2 < 16$ .

Les solutions sont les suivantes :

Valeurs de			Mode	9 (1)2	λ <sub>mnp</sub>	$f_{map}$
P	m	11		100 (Xmp)	(cm)	(GFIz)
0	1	1	TM <sub>110</sub>	13 m <sup>-2</sup>	8,32	3,606
1	1	1	TE <sub>111</sub> , TM <sub>111</sub>	14	8,02	3,741
1	0	1	TE <sub>011</sub>	10	9,49	3,161
2	0	1	TE <sub>012</sub>	13 —	8,32	3,606
3	1	0	TE <sub>103</sub>	13 —	8,32	3,606

#### **EXERCICE 15.2**

La fréquence de résonance d'un mode *mnp* est donnée par :

$$\left(\frac{f_{mnp}}{v}\right)^2 = \left(\frac{m}{2a}\right)^2 + \left(\frac{n}{2b}\right)^2 + \left(\frac{p}{2\ell}\right)^2$$

Les trois premières fréquences de résonance correspondent aux modes :

$$TE_{101} \rightarrow \left(\frac{f_{101}}{v}\right)^2 = \left(\frac{1}{2a}\right)^2 + \left(\frac{1}{2\ell}\right)^2$$
 (1)

$$TE_{011} \rightarrow \left(\frac{f_{011}}{v}\right)^2 = \left(\frac{1}{2b}\right)^2 + \left(\frac{1}{2\ell}\right)^2$$
 (2)

$$TM_{110} \rightarrow \left(\frac{f_{110}}{v}\right)^2 = \left(\frac{1}{2a}\right)^2 + \left(\frac{1}{2b}\right)^2$$
 (3)

Supposons que  $\ell > a > b$ ; nous avons :

$$f_{101} = 5,196 \text{ GHz} < f_{011}$$
  
= 6 GHz <  $f_{110} = 6,708 \text{ GHz}$ 

$$(2) - (1) \to \left(\frac{1}{2b}\right)^2 - \left(\frac{1}{2a}\right)^2 = \left(\frac{f_{011}}{v}\right)^2 - \left(\frac{f_{101}}{v}\right)^2 (4)$$

En faisant la différence (3) - (4), nous obtenons:

$$2v^2 \left(\frac{1}{2a}\right)^2 = f_{110}^2 - f_{011}^2 + f_{101}^2$$

Soit: 
$$\sqrt{2} v \frac{1}{2a} = (45 - 36 + 27)^{1/2} \cdot 10^9$$
  
=  $\sqrt{36} \cdot 10^9$ 

D'où : 
$$2a = \sqrt{\frac{2}{36}} \frac{3 \cdot 10^{10}}{10^9}$$
 cm = 7,07 cm.

En faisant la somme (3) + (4) et en opérant de même, nous obtenons 2b = 5,77 cm.

Enfin: 
$$\left(\frac{1}{2\ell}\right)^2 = \left(\frac{f_{101}}{v}\right)^2 - \left(\frac{1}{2a}\right)^2$$
  
= 0.03 - 0.02 = 0.0

D'où :  $2\ell = 10$  cm.

### EXERCICE 15.3

La fréquence de résonance d'un mode TE<sub>mnp</sub> est donnée par :

$$f_{mnp}^2 = v^2 \left[ \left( \frac{u_{mn}^*}{2\pi R} \right)^2 + \left( \frac{p}{2h} \right)^2 \right]$$

Pour le mode fondamental TE<sub>111</sub>:

$$u'_{mn} = 1,841 \text{ et } p = 1.$$

Comme l'on veut que  $f_{111}$  = 9 GHz :

$$\left(\frac{1}{2h}\right)^2 = \left(\frac{9 \cdot 10^9}{3 \cdot 10^8}\right)^2 - \left(\frac{1,841}{\pi \cdot 3 \cdot 10^{-2}}\right)^2$$
$$= 30^2 - 19,53^2$$

D'où :  $2h = 43.92 \text{ mm} \rightarrow h = 21.96 \text{ mm}$ .

#### EXERCICE 15.4

1) a) 
$$\beta^2 = k_0^2 \varepsilon_r - h^2$$
  

$$\Rightarrow \beta^2 = \left(k_0 \sqrt{\varepsilon_r}\right)^2 - \left(\frac{5.4}{D}\right)^2$$

Pour que  $\beta$  soit réel, il faut que  $\beta^2$  soit positif, d'où :

$$k_0 \sqrt{\varepsilon_r} > \frac{5.4}{D} \Leftrightarrow \frac{5.4}{k_0 \sqrt{\varepsilon_r}} < D$$

**b)** 
$$\alpha_2^2 = h^2 - k_0^2 \, \epsilon_{2r} \Rightarrow \alpha_2^2 = \left(\frac{5.4}{D}\right)^2 - \left(k_0 \sqrt{\epsilon_{2r}}\right)^2$$

Pour que  $\alpha_2$  soit réel, il faut que  $\alpha_2^2$  soit positif, d'où :

$$\frac{5.4}{D} > k_0 \sqrt{\varepsilon_{2r}} \Leftrightarrow \frac{5.4}{k_0 \sqrt{\varepsilon_{2r}}} > D$$

c) Nous trouvons: 4,08 mm < D < 16,65 n

2) Pour calculer la longueur L d'après la mule (19), nous devons déterminer d'abord  $\alpha_2$  et  $\beta$  d'après (21), (22) et (20) compte de ce que :  $h = 5,4/D = 540 \text{ m}^{-1}$ .

$$\alpha_1^2 = (540)^2 - \left(\frac{2\pi}{3 \cdot 10^{-2}}\right)^2 = 247734.89$$

D'où :  $\alpha_1 = 497,73 \text{ m}^{-1}$ .

$$\alpha_2^2 = (540)^2 - \left(\frac{2\pi}{3 \cdot 10^{-2}}\right)^2 2.4 = 186323.7$$

d'où :  $\alpha_2 = 431,65 \text{ m}^{-1}$ 

$$\beta^2 = \left(\frac{2\pi}{3 \cdot 10^{-2}}\right)^2 40 - (540)^2 = 1 \ 463 \ 004$$

 $d'où : \beta = 1 \ 209,55 \ m^{-1}$ 

La hauteur L est donc : L = 2,35 mm.

#### EXERCICE 15.5

1) Calculons  $\partial F/\partial r$  et écrivons que  $\partial F/\partial r$ 

F est de la forme 
$$\frac{u}{v} \rightarrow \frac{\partial F}{\partial r} = \frac{u'v - uv'}{v^2}$$

$$u = (1 + A^2 r^2)^{3/2} \rightarrow u' = 3A^2 r (1 + A^2 r^2)$$

$$v = 1 + A^2 r^3 \rightarrow v' = 3A^2 r^2$$

On trouve que  $\partial F/\partial r = 0$  si r = 1, soit 2R = 1

Pour 
$$r = 1 \rightarrow F_{\mathbf{M}} = \frac{u'_{mn}}{2\pi} (1 + A^2)^{1/2}$$

2) D'après la relation (43):

$$(Q_j)_M = \frac{2}{\delta_s} \cdot \frac{V}{S} F_M$$

$$\frac{1}{\delta_s} = \sqrt{\pi \mu_0 \sigma_1 f}$$

$$= (\pi \cdot 4\pi \cdot 10^{-7} \cdot 5.7 \cdot 10^{7} \cdot 10^{10})^{1/2}$$

$$= 15 \cdot 10^5$$

#### la i Le schiebe V de la cavistica

$$V=\pi R^2\times 2R=2\pi R^{3}$$

La surface S des parces ess.
$$S = 4\pi R^2 + 2\pi R^2 = 6\pi R^2$$

$$F_{M} = \frac{u_{01}^{2}}{2\pi} \left[ 1 + \left( \frac{\pi}{2u_{01}^{2}} \right)^{2} \right]^{\frac{1}{2}}$$

$$= 0.61 \left[ 1 + \left( \frac{1}{2.44} \right)^{2} \right]^{\frac{1}{2}} = 0.66$$

D'où: 
$$(Q_j)_{M} = 3 \cdot 10^6 \cdot \frac{2}{3} \cdot 10^{-2} \cdot 0,66$$
  
= 13 200.

## 🚈 EXERCICE 15.6

i) À la résonance, la relation entre le coeffiient de réflexion complexe de la cavité  $\Gamma_e$  et e facteur de couplage  $\beta$  est donnée par (82):

$$\underline{\Gamma}_e = \frac{\beta - 1}{\beta + 1}$$

In dehors de la résonance, la cavité se comporte omme un court-circuit et  $\Gamma_e = -1$ . Donc, à la ésonance, arg  $\Gamma_e = \pi$  et  $\beta < 1$ : la cavité est ous-couplée.

La fréquence de résonance est :

$$f_0 = 9\,000\,\text{MHz}$$

largeur de bande à mi-puissance est :

$$(\Delta f)_{1/2} = 9.012 - 8.988 = 24 \text{ MHz}$$

$$\frac{P_{\text{carv}}}{P_{\text{carv}}} = \frac{K}{1 + (2x Q_{\text{ch}})^2}$$

$$\frac{1/2}{6}$$
 ec:  $\frac{\omega - \omega_0}{\omega_0} = \frac{f - f_0}{f_0}$ .

la rés**pan**ce : 
$$x = 0$$
 et  $\frac{P_c}{P_i} = K$ .

# The presence willes que $\frac{P_c}{P_i} = \frac{K}{2}$ , $2x_{1/2}Q_{ch} = 1$

Prod: 
$$Q_{ch} = \frac{1}{2 \cdot x_{1/2}} = \frac{1}{2} \cdot \frac{f_0}{f_{1/2} - f_0} = \frac{f_0}{(\Delta f)_{1/2}}$$

**Donc**: 
$$Q_{\rm ch} = \frac{9000}{24} = 375$$
.

Comme: 
$$\frac{Q_{pr}}{Q_{ch}} = \beta + 1 \rightarrow Q_{pr} = 1.5 Q_{ch} = 562.5$$

et: 
$$\frac{Q_{pr}}{Q_{ex}} = \beta \rightarrow Q_{ex} = \frac{Q_{pr}}{0.5} = 1 125$$

#### EXERCICE 15.7

1) D'après (1125):

$$n' = \frac{f_0}{f_d} = \frac{10}{9} = 1,111 \rightarrow \varepsilon' = 1,234$$

D'après (113b) :

$$n' = 1 + \frac{1}{10} = 1, 1 \rightarrow \epsilon' = 1,21$$

L'approximation n est donc de 1,1 % sur n et de 2,4 % sur  $\epsilon$ .

2) 
$$\left(\frac{1}{Q_{ch}}\right)_{air} = \frac{(\Delta^{1}f)_{a}}{ff_{a}} = \frac{1}{8333} = 1.2 \cdot 10^{-4}$$

$$\left(\frac{1}{Q_{\rm ch}}\right)_{\rm gaz} = \frac{(\Delta_s f)_g}{f} = \frac{4 \cdot 10^6}{9 \cdot 10^9} = 4.44 \cdot 10^{-4}$$

D'après (118) :

$$\frac{\varepsilon''}{\varepsilon'} = \frac{(\Delta f)_{\frac{1}{2}g}^{\frac{1}{2}g}}{f_g} - \frac{(\Delta f)_a}{f_a} = 3.24 \cdot 10^{-4}$$

$$\varepsilon \varepsilon'' = 4 \cdot 10^{-4}$$

$$n'' = \frac{1}{2} \frac{\varepsilon''}{2n'} = 1.82 \cdot 10^{-4}$$

Donc: 
$$\underline{n} = 1, 1 - j |j| 1,82 \cdot 10^{-4}$$

et : 
$$\varepsilon = 1,21 - j \cdot 4 \cdot 10^{-4}$$

#### **EXERCICE 15.8**

1) Par définition:

$$Q_j = \frac{W_a}{P_j} \, \omega$$

 $W_a$  est l'énergie emmagasinée dans la cavité.  $P_j$  représente les pertes par effet Joule dans les réflecteurs.

ω est la pulsation de résonance de la cavité.

Soit  $P_a$ , la puissance moyenne transportée par l'onde qui se déplace dans la cavité entre les deux réflecteurs distants de d; elle est égale à l'énergie emmagasinée, divisée par le temps de parcours:

$$P_a = \frac{W_a}{\frac{d}{c}} = W_a \frac{c}{d}$$

Donc: 
$$Q_j = \omega \frac{P_a}{P_j} \cdot \frac{d}{c}$$

or: 
$$\alpha_R = \frac{P_j}{P_a}$$

D'où: 
$$Q_j = \omega \frac{d}{\alpha_R c} = 2\pi f \frac{d}{\alpha_R c}$$

Finalement:  $Q_j = 2\pi \frac{d}{\alpha_R \lambda_0}$  (relation 122)

$$\mathbf{2)} \ \alpha_{R} = \left(\frac{8 \ \epsilon_{0} \ \omega}{\sigma}\right)^{1/2}$$

$$\alpha_R^2 = \frac{8 \cdot 2\pi \cdot 3 \cdot 10^8}{36\pi \cdot 10^9 \cdot 5{,}33 \cdot 10^7} \cdot \frac{1}{\lambda_0} = \frac{1}{4} \cdot \frac{10^{-8}}{\lambda_0}$$

Donc: 
$$Q_j = 2\pi \frac{d}{\lambda_0} \cdot \frac{2\sqrt{\lambda_0}}{10^{-4}}$$
$$= 4\pi \cdot 10^4 \frac{d}{\sqrt{\lambda_0}}$$

Avec d = 0.20 m et  $\lambda_0 = 1$  mm, nous trouvons:

$$Q_j = \frac{12,56 \cdot 10^4 \cdot 0.2}{\sqrt{10^{-3}}} \approx 800\,000$$

3) D'après (48):

$$Q_d = \frac{1}{\lg \delta} = 500\ 000$$

$$\frac{1}{Q_{\rm pr}} = \frac{1}{Q_{\rm j}} + \frac{1}{Q_{\rm d}} = \frac{1,25}{10^6} + \frac{2}{10^6} = \frac{3,25}{10^6}$$

D'où : 
$$Q_{pr} = 307 692$$
.

### **ERCICES DU CHAPITRE 2**

# Propagation sur une ligne en haute fréquence

#### **EXERCICE 2.1**

- trans-

rès les relations (5) et (11a), nous avons :  $\mathbf{e}^{-\gamma x} + \gamma Y_r \mathbf{e}^{\gamma x} = -(R_1 + \mathbf{j} L_1 \omega) I$ 

pre lenu de (9) et (11b), nous pouvons

$$\sqrt{\frac{R_1 + jL_1\omega}{G_1 + jC_1\omega}} \left( \underline{I}_i e^{-\gamma x} + \underline{I}_i e^{\gamma x} \right)$$

es termes en e - yx et en e yx, il

$$\frac{Y_{1}}{I_{1}} = \sqrt{\frac{R_{1} + j L_{1} \omega}{G_{1} + j C_{1} \omega}}$$

$$\sqrt{\frac{R_{1} + j L_{1} \omega}{G_{1} + j C_{1} \omega}}$$

#### RGICE 2.2

$$L_1^2 \omega^2 = 20.72 \cdot 10^{-3}$$

$$\frac{1}{R_1} = 70,25^{\circ}$$

$$C_1^2 \omega^2 = 36,6 \cdot 10^{-9}$$

$$\frac{\int_{0}^{4} \frac{\varphi_{1} - \varphi_{2}}{2}}{2} = 752 e^{-j \cdot 6,875}$$

745,54190.

$$\gamma = \sqrt{\rho_1 \rho_2} e^{\frac{1}{2} \frac{\phi_1 + \phi_2}{2}}$$

$$= 27.54 \cdot 10^{-6} e^{\frac{1}{2} 77.125}$$

$$\alpha = 6.137 \cdot 10^{-6} \text{ Np/m}$$

$$\beta = 26.848 \cdot 10^{-6} \text{ rad/m}.$$

#### **EXERCICE 2.3**

1) 
$$\lambda_1 = \frac{2\pi}{\beta_1} \operatorname{avec} \beta_1 = 26.848 \cdot 10^{-6}$$

(résultat de l'exercice 2)

$$\lambda_1 = 234 \cdot 10^3 \text{ m} = 234 \text{ km}$$

$$v_1 = \frac{\omega}{\beta_1} = \frac{2\pi \cdot 10^3}{26.848 \cdot 10^{-6}} = 234\,000 \text{ km/s}$$

2) 
$$v_1 = \frac{1}{\sqrt{L_1 C_1}} = 235.833 \text{ km/s}$$
  
$$\beta_1 = \frac{\omega}{a} = 26.64 \cdot 10^{-6} \text{ rad/m}$$

## EXERCICE 2.4

1) 
$$I_0 = \frac{E}{Z_0 + Z_G} = \frac{100}{175 \cdot \text{j} \cdot 120}$$

$$175 - j \cdot 120 = 212,20 e^{-j \cdot 34,44}$$

D'où : 
$$I_0 = 0.471 e^{\frac{1}{3}34.44^{\circ}}$$
 (A)

$$V_0 = Z_0 I_0$$
 avec  $Z_0 = 173,28 e^{-(43,83)^2}$   
D'où:  $V_0 = 81,61 e^{-(9,39)^2}$  (V)

2) D'après les relations (27) et (28)

$$V_R = V_0 \cos 2\pi \frac{\ell}{\lambda}$$
  $j Z_c I_0 \sin 2\pi \frac{\ell}{\lambda}$ 

$$I_R = I_0 \cos 2\pi \frac{\ell}{\lambda} - j \left(\frac{V_0}{Z_c}\right) \sin 2\pi \frac{\ell}{\lambda}$$

$$2\pi \frac{\ell}{\lambda} = 240^\circ \mod 2\pi \ (\ell = 10 \ \mathrm{m} : \lambda = 1.5 \ \mathrm{m})$$

$$\Sigma_R = -40.805 \,\mathrm{e}^{-\frac{1}{2}0.30} + \mathrm{j} \, 20.395 \,\mathrm{e}^{\frac{1}{2}33.11}$$
  
=  $-51.7925 + \mathrm{j} \, 23.4775$ 

$$I_R = -0.2355 e^{\int 34,41} + j \cdot 1.4135 e^{-\int 9.30} -0.037 + j \cdot 1.262$$

D'où: 
$$\underline{V}_R = 56.865 \, e^{-\frac{1}{2} \cdot 24.38}$$
 (V)

et: 
$$\underline{I}_R = 1.263 \text{ e}^{+\frac{1}{1}88.32}$$
 (A)

3) 
$$Z_R = 45.02 \,\mathrm{e}^{-\frac{1112.70^{\circ}}{}}$$
 ( $\Omega$ )

On peut retrouve ce résultat à partir de la formule (29) qui donne  $Z_R$  pour  $x = \ell$ .

#### **EXERCICE 2.5**

1) Puisque  $Z_R = Z_r$ , nous avons à l'entrée de la ligne ;

$$Z_0 = Z_c = 800 - \text{j} \ 200 = 824,62 \text{ e}^{-3.14}$$

Le courant à l'entrée de la figns est donné par

$$I_0 = \frac{E}{Z_0 + Z_G} = \frac{100}{875 - j \cdot 200} = 0.111 e^{-1.12.878}$$

$$V_0 = Z_0 I_0 = 91.88 \,\mathrm{e}^{-1.125}$$

2) 
$$I_R = I_0 e^{-\gamma t} \text{ et } Y_R = V_0 e^{-\gamma t}$$
  
 $e^{-\gamma t} = e^{-\alpha t} e^{-1\beta t}$   
 $\alpha t = 0.775 \text{ Np} \rightarrow e^{-\alpha t} = 0.46$   
 $\beta t = 255 \text{ rad } (2\pi) = 0.5845 \text{ rad} = 210.424$ 

D'où : 
$$I_R = 0.051 e^{-(107.510)}$$
, (A)

et: 
$$V_R = 42.265 e^{-1.211.5494}$$
 (A)

3) 
$$P_{\text{not}} = \frac{1}{2} \Re \left[ V_R I_R^* \right] = \frac{1}{2} \Re \left[ Z_R I_R^2 \right]$$

 $P_{\text{pet}} = \frac{1}{2} R_R I_R^2 = 1.04 \text{ Waitts}$ 

#### ✓ EXERCICE 2.6

1) Nous avons démontré (paragrap<sup>fe</sup> 6) que :

$$(Z_0)_{cc} = Z_c \text{ th } \gamma (\text{ et } (Z_0)_{ct}) = \sqrt{\frac{Z_c}{h}} \frac{Z_c}{\gamma \ell}$$

Done: 
$$Z_c^2 = (Z_0)_{cc} (Z_0)_{c0}$$

et: 
$$(\operatorname{th} \gamma \ell)^2 \approx \frac{(Z_0)_{cc}}{(Z_0)_{cl}}$$
 d'où  $\gamma \ell$ 

Avec les valeurs mesurées p our  $(Z_0^{l_1})_{cc}$  et  $(Z_0)_{cl}$  on trouve :

$$Z_r = 753.06 \text{ c}^{-1.77} = 747.45 - \text{ j}^{-1} \text{ L} \cdot 77^{\circ} (\Omega)$$
  
th  $\gamma \ell = 0.704 \text{ c}^{-1.287} = 0.62 - \text{ l}^{-1} \cdot 0.33$   
Or;  $e^{-2.7\ell} = \frac{1}{1 + \text{th}} \frac{\gamma \ell}{\ell} = \frac{0.50 \text{ c}^{-1.340} \text{ l}^{-1.57} \text{ c}^{-1.340}}{1.65 \text{ c}^{-1.340} \text{ l}^{-1.57} \text{ c}^{-1.340}}$ 

$$=0.30 \text{ e}^{\frac{1}{3}52.48^{\circ}}$$
  
Donc:  $e^{-\frac{20l}{3}}=0.30 \text{ et e}^{-\frac{1}{3}2\beta l}=e^{\frac{1}{3}5.2.48^{\circ}}$ 

D'où : 
$$e^{t/t} = 1.8125 \rightarrow \alpha = (0.6 + 10)^{-1.5} \text{ Np/m}.$$
  
et :  $2\beta t = -52.48^{\circ} + 360^{\circ} \text{ puiscuu}^{\circ} + 0.00^{\circ} \text{ doit êtr}$ 

$$\beta \ell = 153.76^{\circ} = 2.6836 \cdot \text{ra}^{13}$$
  
 $\rightarrow \beta = 2.68 \cdot 10^{\circ} \cdot 5 \cdot \text{racM}$ 

2) À partir des relations de définitifor de  $\gamma$  et  $Z_c$ 

$$K_1 + jL_1 \omega = \gamma Z_c \text{ct} G_1 + jG_1 D = \frac{\gamma}{Z_c}$$
  
 $\gamma = \alpha + j\beta = 2.746 \cdot 10^{-5} \text{ e}^{-j} T^{0.38}$   
 $Z_c = 753.06 \text{ e}^{-j.7}$ 

$$R_1 + j I_1 \omega = 2.068 + 10^{-5} e^{-j.70.388^{\circ}}$$
  
=  $694.39 + 10^{-5} + j 1.994^{\circ}$ .93 + 10  
 $\rightarrow R_1 = 6.94 + 10^{-3} \Omega / m$   
et  $L_1 = 3.10 + 10^{-6} H / m$   
 $G_1 + j G_1 \omega = 0.00365 + 10^{-5} e^{-j.184/38^{\circ}}$ 

$$\begin{array}{c} -3.57 \cdot 10^{-9} + j \ 0.000 \ 3 \cdot 53 \cdot 10^{-5} \\ \rightarrow G_1 \cdot 3.57 \cdot 10^{-9} \cdot 15 / n \\ \text{et } C_1 = 5.78 \cdot 10^{-12} \cdot 15 / n \end{array}$$

# Bibliographie

- [1] Libois (L.J.)
   Genèse et croissance des télécommunications
   Masson, Paris (1983).
- [2] Massachusetts Institute of Technology Radiation Laboratory Series McGraw Hill, New York (1948-1950).
- [3] Thuery (J.)

  Industrial, scientific and medical applications of Microwaves

  Artech House, Boston, London (1992).
- [4] Kraus (J.D.)
   Radio-astronomy
   Cygnus Quasar Books, Powell Ohio, USA (2e éd. 1988).
- [5] Combes (P.-F.), Graffeuil (J.), Sautereau (J.-F.)

  Composants, dispositifs et circuits actifs micro-ondes

  Dunod, Paris (1985).
- [6] Ulaby (F.T.), Moore (R.K.), Fung (A.K.) Microwave remote sensing, vol. 1, 2 et 3 Addison-Wesley, Reading, Massachusetts (USA) (1981).
- [7] Darricau (J.) Physique et théorie du RADAR, vol. 1, 2 et 3 Sodipe, Paris (3<sup>e</sup> édition 1993).
- [8] Fombonne (P.) « Radiolocalisation – Radionavigation » in *Traité d'électronique* – Fascicule E.6600 Techniques de l'ingénieur, Paris.
- (9) Combes (P.-F.)
   « Satellite de puissance solaire (S.P.S.) »
   L'Aéronautique et l'Astronautique n° 93, 1982-2, p. 62-77.
- [10] Prache (P.M.)
   « Lignes de télécommunications »
   in Traité d'électronique Fascicule E.2840
   Techniques de l'ingénieur, Paris.

- [11] Fritz (P.), Boutney (P.), Lober (G.)

  « Transmission de legislature (G.)

  « Transmission de legislature (G.)

  numériques à grande viscant (G.)

  Onde électrique, février 1971, vol. 51, fasc. 2, p. 137-141.
- [12] De Vecchis (M.), Hulin (J.P.), Staath (J.C.)

  « Câbles à fibres options de spinsures

  Revue technique Thomson 1635, Vol. 13 nº 4 (décembre 1981), p. 10131040.
- [13] Reinaudo (Ch.)

  « Le câble sous-marin : une technologie de pointe »

  Revue des télécommunications, 1<sup>ex</sup> trimestre 1994, p. 5-10
  Éditeur Alcatel Alsthom, 12 rue de la Baume, 75008 Paris.
- [14] Fernandez (E.), Mathieu (M.)

  Les faisceaux hertziens analogiques et numériques

  Dunod et CNET-ENST, Paris (1991).
- [15] Rémy (J.G.), Cueugnet (J.), Siben (C.)

  Systèmes de radiocommunications avec les mobiles

  Evrolles et CNET-ENST, Paris (2<sup>e</sup> éd. 1993).
- [16] Maral (G.), Bousquet (M.)

  Satellite communication systems

  Wiley, Chichester, UK (2e éd. 1993).
- [17] Télécommunication spatiales
  Vol. 1 Bases théoriques, vol. 2 Secteur spatial, vol. 3 Secteur terrien
  Masson et CNES-CNET, Paris (1982).
- [18] Revue des télécommunications
  Numéro spécial sur les communications par faisceaux hertziens et satellites 4<sup>e</sup> trimestre 1994
  Éditeur Alcatel Alsthom. Paris.
- [19] Freeman (R.L.) Reference manual for telecommunications engineering Wiley Interscience, Chichester, UK (1994)
- [20] Wadell (B.C.) Transmission line handbook Artech House, Boston, London (1991).
- [21] Magnusson (P.C.), Alexander (G.C.), Tripathi (V.K.)

  Transmission lines and wave propagation

  CRC Press, Boca Raton, USA (1992)
- [22] Davidson (C.W.) Transmission lines for telecommunications Mac Millan, London (1989).

- [23] Dworsky (L.N.)

  Modern transmission line theory and applications
  Wiley, New York (1979).
- [24] Gardiol (F.E.)

  Lossy transmission lines

  Artech House, Norwood, USA (1987).
- [25] Roubine (E.)

  Lignes et antennes
  Éditions de la Revue d'optique, Paris (1954).
- [26] Grivet (P.)

  Physique des lignes de HF et UHF

  Masson, Paris (1974).
- [27] Liot (L.)

  Lignes de transmission et filtres pour très hautes fréquences

  Dunod, Paris (1959)
- [28] Smith (P.H.) Electronic applications of the Smith chart McGraw Hill, New York (1969).
- [29] Thomas (R.L.) A pratical introduction to impedance matching Artech House, Dedham, USA (1978).
- [30] Parson (A.J.), Meadows (R.G.)

  Matching techniques for microwave integrated circuits

  Microwave engineering Europe journal, octobre 1994, p. 47-57.
- [31] Comte (G.)

  « Lignes de télécommunications »

  in *Traité d'électronique*, vol. E.7, fascicule E.7320

  Techniques de l'ingénieur, Paris (1984)
- [32] Walker (C.S.)

  Capacitance, inductance and crosstalk analysis

  Artech House, Norwood, USA (1990).
- [33] Sander (K.F.), Reed (G.A.L.)

  Transmission and propagation of electromagnetic waves

  Cambridge Press, Cambridge, UK (1986)
- [34] Gupta (K.C.), Garg (R.), Bahl (I.J.)

  Microstrip lines and slot-lines

  Artech House, Dedham USA (1979).
- [35] Hammerstad (E.D.)

  Equations for microstrip circuit design

  European Microwave Conference (1975)

  Proceedings p. 268-272, Peter Peregrinus Ltd.

- [36] Wheeler (H.A.)«Transmission lines properties of a strip on a dielectric sheet on a plane »IEEE Trans, vol MTT-25, 1977, p. 631-647.
- [37] Gardiol (F.) Hyperfréquences, vol XIII du Traité d'électricité Dunod, Paris (1981).
- [38] Bhartia (P.), Bahl (I.J.)
  Millimeter wave engineering and applications
  Wiley, Chichester (1984).
- [39] Edwards (T.) Foundations for microstrip circuit design Wiley, Chichester (1992)
- [40] Wheeler (H.A.)

  « Transmission line properties of a stripline between parallel planes »

  IEEE Trans, vol MTT-26, novembre 1978, p. 866-876.
- [41] Howe (H.)

  Stripline circuit design

  Artech House, Dedham, USA (1974).
- [42] Saad (S.), Hansen (R.C.), Wheeler (G.J.)

  Microwave engineers handbook, vol. 1

  Artech House, Dedham, USA (1971).
- [43] Gupta (K.C.), Garg (R.), Chadha (R.)

  Computer-aided design of microwave circuits

  Artech House, Dedham, USA (1981).
- [44] Cohn (S.B.)

  « Slot line on a dielectric substrate »

  IEEE Trans, vol. MTT-17, 1969, p. 768-778.
- [45] Thourel (L.)
   « Réseaux et filtres en hyperfréquences »
   Polycopié de l'École nationale supérieure de l'Aéronautique et de l'Espace ENSAE, Toulouse (1976).
- [46] Thourel (L.)

  Circuits passifs

  CEPADUES, Toulouse (1988).
- [47] Caulton (M.)

  « Lumped elements in microwave integrated circuits » in Advances in microwaves, vol. 8 (1974)

  Edited by L. Young, Academic Press.
- [48] Bryan (H.E.)
  « Printed inductors and capacitors »

  Tel-Tech, vol. 14, n° 12, 68 (décembre 1955).

- [49] Alley (G.D.)

  « Interdigital capacitors and their application to lumped elements MIC »

  IEEE Trans on MTT, vol. 18, p. 1028-1032 (1970).
- [50] Kajfez (D.)
   « Elementary functions procedure simplifies dielectric resonators design »
   Microwave system news, juin 1982, p. 133-140.
- [51] Aitchison (C.S.)
   « Lumped microwave components and active circuits: Past, present and future »
   11th European microwave conference (Helsinki, 1981), Conf. Proc., p. 37-46.
- [52] Matthaei (G.), Young (L.), Jones (E.M.T.)

  Microwave filters, impedance matching networks and coupling structures

  Artech House, Dedham, USA (1980).
- [53] Goudet (G.) et Chavance (P.)

  Ondes centimétriques

  Chiron, Paris (1955).
- [54] Hopfer (S.)

  « The design of ridged waveguides »

  IRE Trans on MTT, vol. 3, p. 20-29 (1955).
- [55] Pyle (J.R.)
   « The cut-off wavelength of the TE<sub>10</sub> mode in ridged rectangular waveguide of any aspect ratio »
   IEEE Trans on MTT, vol. 14, p. 175-183 (avril 1966)
- [56] Meier (P.J.)

  « Integrated fin line millimeter components »

  IEEE Trans on MTT, vol. 22, n° 12, p. 1209-1215 (1974).
- [57] Gabillard (R.)

  Vibrations et phénomènes de propagation

  Dunod, Paris (1968).
- [58] Brillouin (L.) et Parodi (M.)

  Propagation des ondes dans les milieux périodiques

  Masson, Paris (1956).
- [59] Collin (R.E.)

  Foundations for microwave engineering
  McGraw Hill, New York (1966)
- [60] Sharma (A.K.), Hoefer (W.J.R.)

  « Empirical expressions for fin line design »

  IEEE Trans on MTT, vol. MTT-31, n° 4, p. 350-356 (avril 1983)
- [61] Nerou (J.P.)

  Les fibres optiques

  Le griffon d'argile, Sainte-Foy (Québec) (1983)

- Dunod, Paris (1989) 27 (1987) 87
- [63] Commet (A.), Fleuret (J.), Maitre (H.), Rousseau (M.) Optique es sélécoministicacions la Evrolles Paris (1981)
- [64] Vassalo (Ch.), Leboutet (A.), Hui Bon Hoa (D.) « Fibres optiques pour les télécommunications » Traité d'électronique, vol. E.7-I, fascicule E.7370 Les Techniques de l'ingénieur, Paris (1987).
- [65] Marcuse (D.) Light transmission optics Van Nostrand, New York (1972).
- [66] Gloge (D.) « Propagation effects in optical fibers » IEEE Trans on MTT, vol. 23, n° 1, janvier 1975, p. 106-120.
- [67] Miller (S.E.), Chynoweth (A.G.) Optical fiber telecommunications Academic Press, London (1979).
- [68] Boudouris (G.) Cavités électromagnétiques Dunod, Paris (1971).
- [69] Boudouris (G.), Chenevier (R.) Circuits pour ondes guidées Dunod, Paris (1975)
- [70] Weinstein (L.A.) Open resonators and open waveguides Golem Press (1969).
- [71] Soares (R.), Graffeuil (J.), Obregon (J.) Applications des transistors à effet de champ en ASGa Collection technique et scientifique du CNET-ENST Eyrolles, Paris (1984).
- [72] Kajfez (D.) « Elementary functions procedure simplifies dielectric resonators design » Microwave system news, juin 1982, p. 133-140.

# Index des sujets

Lorsqu'un sujet est traité sur plusieurs pages, la page qui est indiquée est la première.

### A, B

#### Abaque:

- Z<sub>a</sub> des lignes bifilaires et coaxiales, 133
- perte de puissance d'une ligne, 105

#### Adaptation:

- à un stub. 81, 85
- à deux stubs, 83, 86
- par ligne  $\lambda/4$ , 79
- --- par réseau d'impédances, 88

#### Affaiblissement (ou atténuation):

- d'un guide circulaire, 253
- d'un guide diélectrique, 282
- d'un guide rectangulaire, 219
- d'une ligne bifilaire, 127
- d'une ligne coaxiale, 123
- d'une ligne microbande, 145

#### Bande passante:

- d'une fibre optique, 277
- d'un guide diélectrique, 283
- d'un guide rectangulaire, 218

#### Câbles de télécommunications :

- à circuits coaxiaux, 132
- à fibres optiques, 10
- à fréquences vocales, 130
- à lignes bifilaires, 9, 130
- à lignes coaxiales, 10, 132
- --- sous-marins, 11

#### Cavité couplée :

- par un accès, 306
- par deux accès, 310

#### Cavité à section :

- rectangulaire, 291
- circulaire, 292

#### Coefficient de réflexion:

- sur une ligne, 49, 102
- généralisé, 258

Coefficient de surtension d'une cavité, 297

#### Conditions d'adaptation, 78

- de HEAVISIDE, 95, 96
- Constante de propagation, voir paramètre de propagation
- Conventions de notations, VII

#### D

Diagramme de BRILLOUIN, voir dispersion

Diagramme des modes d'une cavité, 295

#### Diagramme de SMITH

- Construction, 67
- Intérêt, 65
- Principe, 66
- Propriétés, 69

#### Dimension:

- optimale d'une ligne coaxiale, 125
- d'une ligne microbande, 144

io

ali

Reali

Reali

R/fle

Réfle

- Cas

- Car

Réfle Inc Inc



Discontinuité sur une ligne microbande, 159

Dispersion:

- d'un guide diélectrique, 283

- d'une ligne T.E.M., 42

Distorsion d'une ligne, 96

# E, F

Équations de propagation :

- des ondes guidées, 232

- sur une ligne T.E.M., 29, 32

Équivalence entre :

- un tronçon de ligne et L ou C, 156

— une ligne  $\lambda/4$  ou  $\lambda/2$  et un circuit résonnant, 164

Fibres optiques:

--- monomode, 271

- multimodes, 272

Fréquencemètre à cavité, 317

Fréquences de résonance d'une cavité, 290

# G, H

Guides diélectriques cylindriques

- Atténuation, 282

- Bande passante, 283

- Équations des champs, 278

- Fréquences de coupure, 281

- Fréquence optimale, 271

- Mode fondamental, 269, 281

- Modes de propagation, 280

Guides diélectriques plans, 266

Guides d'ondes à nervure, 223

Guides d'ondes circulaires

- Atténuation, 253

- Lignes de champs, 252

- Mode fondamental, 253

- Modes de propagation, 251

- Ondes TM, 249

- Ondes TE, 250

Guides d'ondes rectangulaires

- Atténuation, 219

- Bande passante, 218

- Condition de propagation, 207

- Dimensionnement, 218

- Lignes de champs, 247

- Lignes de courant, 215

- Longueur d'onde guidée, 210, 217

- Longueur d'onde de coupure, 211, 217

- Mode fondamental, 213

- Modes TE<sub>mo</sub> et TE<sub>on</sub>, 209, 216

Modes TE<sub>mn</sub>, 245
 Modes TM<sub>mn</sub>, 243

- Puissance transportée, 215

- surdimensionnés, 222

# I, J, K

Impédance caractéristique :

— d'une ligne, 32, 94

- d'une ligne à fente, 151

d'une ligne bifilaire, 128

--- d'une ligne coaxiale, 124

- d'une ligne microbande, 141

Impédance de charge d'une ligne :

- par le calcul, 60

- par le diagramme de SMITH, 73

Impédance d'entrée :

- d'une cavité, 301

— d'une ligne en court-circuit, 52

Impédance d'onde en guide, 260

Impédance réduite, 262

Impédance sur une ligne :

- sans pertes, 35

- avec pertes, 34, 48, 97, 101

Indicateur d'ondes stationnaires, 58

#### L

Ligne à ailettes, 225

Ligne à fente, 150

Ligne bifilaire

- Affaiblissement, 127

- Impédance caractéristique, 128

- Paramètres primaires, 123

Lignes coaxiales

- Atténuation, 123

- Dimension optimale, 125

- Impédance caractéristique, 124

- Paramètres primaires, 122

- Puissance transportable, 126

Lignes de champs:

--- d'une cavité, 292, 294

- d'un guide circulaire, 252

- d'un guide rectangulaire, 247

Ligne de mesures, 58

Ligne en circuit ouvert, 38, 53

Ligne en court-circuit, 37, 49

Lignes  $\lambda/4$  et  $\lambda/2$ , 38

Ligne microbande

- Affaiblissement, 145

- Dimensionnement, 144

- Impédance caractéristique, 141

- Permittivité effective, 140

Ligne terminée sur :

— une charge quelconque, 54

— une réactance, 54

Ligne triplaque, 147

Longueur d'onde de phase, 206

# M, N

Mesure de :

— l'affaiblissement d'une ligne, 36

-- l'impédance de charge d'une ligne, 60

- R.O.S. à niveau constant, 59

— tension sur une ligne, 58

Mesure en cavité de n et  $\epsilon$ , 314

Minimisation des pertes d'une ligne, 94

Micro-ondes

- Applications, 4

- Bandes de f et de  $\lambda$ , 2, 22

- Définition, 1

- Historique, 3

- Situation dans le spectre électromagnétique, 2

Modélisation d'une ligne, 27

0

Observation de la Terre par satellite, 19

Ondes progressives sur une ligne, 35

Ondes semi-stationnaires sur une ligne, 49

Ondes stationnaires sur une ligne, 54

Ouverture numérique des fibres optiques,

# P, Q

Paramètre de phase :

- d'une ligne bifilaire, 128

-d'une ligne coaxiale, 124

-- d'une ligne microbande, 141

Paramètre de propagation, 33, 93, 94

Paramètres primaires :

- d'une ligne bifilaire, 123

— d'une ligne coaxiale, 122

Paramètres secondaires :

— des lignes en basse fréquence, 129

- d'une ligne bifilaire, 127

— d'une ligne coaxiale, 123

Permittivité effective des lignes microbal 139

Perte de puissance sur une ligne désad<sup>24</sup> 104

Propagation entre deux plans parallèles, 2

Propagation en guides métalliques :

— à pertes diélectriques, 241

— chargés, 240

— charges, 24 — creux, 238

Puissance transportable par une coaxiale, 126

Puissance transportée par une ligne, 103

R. S

Radiocommunications avec les mobiles,

Radiodiffusion par satellites, 17, 21

Radiolocalisation, 17

les mobiles, 1: , 17, 21

Radionavigation, 18

Rapport d'ondes stationnaires, 57

me ligne, 49 Réalisation de circuits résonnants, 161

Réalisation des condensateurs, 158, 170

es optiques, 2 Réalisation d'inductances, 158, 167

Réalisation de résistances, 166

Réflexion des ondes guidées, 255

Réflexion et réfraction diélectrique :

- Cas TE, 189
- Cas TM, 191
- Variation des coefficients de réflexion, 193

Réflexion sur un plan conducteur

- -- imparfait, 181
- Incidence normale, 179
- Incidence oblique TE, 184
- Incidence oblique TM, 187

Régime d'échelon sur une ligne

- Générateur adapté, 114
- Générateur désadapté, 117

Régime impulsionnel sur une ligne

- Générateur adapté, 108
- Générateur désadapté, 109

Réseaux inverseurs d'impédance ou d'admittance, 163

Résonateurs diélectriques, 295

Résonateurs en ondes millimétriques, 315

# T, U, V

Télécommunications:

- avec les sondes spatiales, 19
- par faisceau hertzien, 13
- par satellites artificiels, 17, 20

Temps de propagation de groupe, 42

Tension et courant:

- sur une ligne avec pertes, 34, 35, 48, 97,
- sur une ligne sans pertes, 34, 35

Vitesse de groupe, 39

Vitesse de phase, 206

# Paul François Combes

# Volume 2: Circuits passifs, propagation, antennes

## 1<sup>re</sup> partie: Circuits passifs

- 1. Filtres micro-ondes
- Circuits passifs réciproques : les quadripôles
- Circuits passifs réciproques : les multipôles
- Circuits passifs non réciproques à ferrites

# 2e partie: Propagation

- 5. Les équations de Maxwell
- Propagation des ondes électromagnétiques en espace libre
- Influence de la Terre et de l'atmosphère sur la propagation des ondes
- Bilan des liaisons de télécommunications et de radar
- Qualité des liaisons de télécommunications

#### 3e partie : Antennes

- 10. Définitions et propriétés caractéristiques des antennes
- 11. Les dipôles rayonnants
- 12. Les ouvertures rayonnantes
- 13. Les antennes à réflecteurs
- 14. Les antennes réseaux
- 15. Les antennes à éléments imprimés

## Solutions des exercices